

КАДЕМИЯ НАУК СССР

# ЖУРНАЛ ФИЗИЧЕСКОЙ ХИМИИ

ТОМ  
XXXIII

ВЫПУСК 10

ОКТАБРЬ

---

ИЗДАТЕЛЬСТВО АКАДЕМИИ НАУК СССР  
МОСКВА · 1959

# ЖУРНАЛ ФИЗИЧЕСКОЙ ХИМИИ

*Редакционная коллегия:*

В. Я. АНОСОВ, К. В. АСТАХОВ, А. И. БРОДСКИЙ, Г. К. БОРЕСКОВ,  
Я. И. ГЕРАСИМОВ, С. В. ГОРБАЧЕВ, Г. С. ЖДАНОВ,  
Л. А. НИКОЛАЕВ, Н. Н. СЕМЕНОВ, А. Н. ТЕРЕНИН, А. Н. ФРУМКИН,  
К. В. ЧМУТОВ

*Главный редактор* Я. И. ГЕРАСИМОВ

*Заместители главного редактора:* С. В. ГОРБАЧЕВ, К. В. ЧМУТОВ

*Отв. секретарь* Л. А. НИКОЛАЕВ



# РЕАКЦИЯ ОКИСЛЕНИЯ СМЕСЕЙ ПРОПАНА С КИСЛОРОДОМ ПРИ ПОСТОЯННЫХ ТЕМПЕРАТУРЕ И ДАВЛЕНИИ С ТЕРМОДИНАМИЧЕСКОЙ ТОЧКИ ЗРЕНИЯ

Кирилл Попов

В своей книге [1] акад. Н. Н. Семенов приводит результаты экспериментальных исследований Н. Я. Черняк и В. Н. Штерн [2] о протекании реакций в смеси  $C_3H_8 + O_2$  при  $350^\circ C$  и давлении около 282 мм рт. ст. Табл. 22 книги [1] дан состав реакционной смеси по концентрации компонентов для различных моментов времени от 57 до 150 сек. после выпуска смеси в сосуд. В продуктах реакции найдены  $C_3H_8$ ,  $O_2$ ,  $H_2O$ ,  $HCNO$ ,  $CH_3CNO$ ,  $H_3OH$ ,  $C_3H_6$ ,  $C_2H_4$ ,  $CH_4$ ,  $H_2$ ,  $CO$ ,  $CO_2$  и в незначительной концентрации перекиси и кислоты.

Анализируя результаты экспериментальных исследований конечных промежуточных веществ, образующихся в результате конкурирующих реакций, наличие которых делает вскрытие механизма реакций легкой задачей, Н. Н. Семенов указывает, что при анализе энергетической стороны вопроса обыкновенно совершенно игнорируется. Однако именно величина теплового эффекта является, по-видимому, наиболее мощным фактором, определяющим направление и скорость реакции, и игнорировать это нельзя.

В настоящей работе мы ставим себе задачу осветить динамику процесса окисления пропана кислородом, исходя из теории термодинамики необратимых процессов, которую мы развили в различных наших трудах [3, 4].

Прежде всего дадим некоторые общие указания о применяемом методе. Состояние термодинамического равновесия в замкнутой изотермически-изобарной системе определяется, как известно, максимумом функции

$$\Phi = S - \frac{U + pV}{T},$$

где  $S$  — энтропия,  $U$  — внутренняя энергия,  $V$  — объем,  $p$  — давление и  $T$  — абсолютная температура системы.

Обозначим через  $\xi_1, \xi_2, \dots, \xi_n$  независимые переменные, определяющие вместе с заданными  $p$  и  $T$  термодинамическое состояние системы, а через  $\xi_1^0, \xi_2^0, \dots, \xi_n^0$  — их равновесные значения.

Мерой отклонения системы от состояния равновесия является

$$\Delta\Phi = \Phi(\xi) - \Phi(\xi^0) = -\frac{1}{2} \sum_{i,k} g_{ik} x_i x_k, \quad g_{ik} = g_{ki}, \quad i, k = 1, 2, \dots, n,$$

где  $g_{ik}$  — функции  $\xi_1^0, \xi_2^0, \dots, \xi_n^0$ ,  $x_i = \xi_i - \xi_i^0$  и  $\sum g_{ik} x_i x_k$  является положительно определенной квадратичной формой. При  $x_i = 0$  ( $i = 1, 2, \dots, n$ ), система будет находиться в термодинамическом равновесии.

Мы показали [4], что в этом случае  $(-\Delta\Phi)$  выполняет роль потенциальной функции, которой соответствуют силы

$$X_i = \frac{\partial (-\Delta\Phi)}{\partial x_i} = g_{i1}x_1 + g_{i2}x_2 + \dots + g_{in}x_n, \quad i = 1, 2, \dots, n.$$

Решения  $x_i(t)$  системы дифференциальных уравнений:

$$\frac{d^2 x_i}{dt^2} = X_i = g_{i1}x_1 + g_{i2}x_2 + \dots + g_{in}x_n, \quad i = 1, 2, 3, \dots, n,$$

интегрированной при граничных условиях:

$$x_i(0) = x_i^0, \quad x_i(+\infty) = 0,$$

удовлетворяют физическим требованиям и допускают феноменологические соотношения Онзагера [5] в качестве первых интегралов.

Рассмотрим состав реакционной смеси при окислении пропана  $C_3H_8$  кислородом  $O_2$  при  $350^\circ C$  и давлении 282 мм рт. ст. Как видно из табл. 22 в книге [1], концентрация перекиси и кислоты в смеси продуктов реакции незначительна. Для простоты положим, что она равна нулю и что через  $t$  сек. после выпуска смеси в сосуд мы имеем замкнутую систему, состоящую из  $n_0$  молей  $C_3H_8$ ,  $n_1$  молей  $O_2$ ,  $n_2$  молей  $H_2O$ ,  $n_3$  молей  $HCHO$ ,  $n_4$  молей  $CH_3CHO$ ,  $n_5$  молей  $CH_3OH$ ,  $n_6$  молей  $C_3H_6$ ,  $n_7$  молей  $C_2H_4$ ,  $n_8$  молей  $CH_4$ ,  $n_9$  молей  $H_2$ ,  $n_{10}$  молей  $CO$ ,  $n_{11}$  молей  $CO_2$ , где  $n_0, n_1, \dots$  — число молей соответствующих компонентов в газообразной смеси.

Так как система замкнутая, то в каждый момент времени  $t$  числа  $g$ -атомов C, O, H в системе остаются постоянными и равными

$g$ -атомов углерода:

$$3n_0 + n_3 + 2n_4 + n_5 + 3n_6 + 2n_7 + n_8 + n_{10} + n_{11} = a,$$

$g$ -атомов водорода:

$$8n_0 + 2n_2 + 2n_3 + 4n_4 + 4n_5 + 6n_6 + 4n_7 + 4n_8 + 2n_9 = b,$$

$g$ -атомов кислорода:

$$2n_1 + n_2 + n_3 + n_4 + n_5 + n_{10} + 2n_{11} = c,$$

где  $a, b, c$  — постоянные. Здесь для простоты мы писали  $n_i$  вместо  $n_i(t)$ . Система уравнений (1) определяет три из 12 переменных как функции остальных.

Так как числа  $g$ -атомов C и H в смеси остаются постоянными, то они равны исходным числам  $g$ -атомов C и H, т. е., когда в смеси мы имели только  $C_3H_8$  и  $O_2$ , и, следовательно,  $3n_0(0) = a$   $g$ -атомов C,  $8n_0(0) = b$   $g$ -атомов H и  $a:b = 3:8$ . Соответственное уравнение между числом  $g$ -атомов C и числом  $g$ -молей H не дает ничего нового.

Из табл. 22 книги [1] видно, что концентрации  $H_2$  и  $CO_2$  в смеси очень малы, так что относительная ошибка их опытного определения значительна. То же самое можно сказать и о концентрации CO. Поэтому мы выбрали  $n_0, n_1, n_2, n_3, n_4, n_5, n_6, n_7, n_8$  независимыми переменными, определяющими вместе с постоянными  $T$  и  $p$  состояние системы. Таким образом мы имеем в каждый момент времени  $t$ :

$$\left. \begin{aligned} n_9 &= \frac{b}{2} - 4n_0 - n_2 - n_3 - 2n_4 - 2n_5 - 3n_6 - 2n_7 - 2n_8, \\ n_{10} &= 2a - c - 6n_0 + 2n_1 + n_2 - n_3 - 3n_4 - n_5 - 6n_6 - 4n_7 - 2n_8, \\ n_{11} &= c - a + 3n_0 - 2n_1 - n_2 + n_4 + 3n_6 + 2n_7 + n_8, \end{aligned} \right\} \quad (2)$$

или

$$\left. \begin{aligned} \delta n_9 &= -4\delta n_0 - \delta n_2 - \delta n_3 - 2\delta n_4 - 2\delta n_5 - 3\delta n_6 - 2\delta n_7 - 2\delta n_8, \\ \delta n_{10} &= -6\delta n_0 + 2\delta n_1 + \delta n_2 - \delta n_3 - 3\delta n_4 - \delta n_5 - 6\delta n_6 - 4\delta n_7 - 2\delta n_8, \\ \delta n_{11} &= +3\delta n_0 - 2\delta n_1 - \delta n_2 + \delta n_4 + 3\delta n_6 + 2\delta n_7 + \delta n_8. \end{aligned} \right\} \quad (2')$$



Устойчивое термодинамическое равновесие системы при данных условиях определяется максимумом функции  $\Phi$  (т. е.  $\delta\Phi = 0$ ,  $\delta^2\Phi < 0$ ), которую в данном случае можно написать в виде [6]

$$\Phi = S - \frac{U + pV}{T} = \sum_{i=0}^{11} n_i (\varphi_i - R \lg c_i), \quad (3)$$

$$= \frac{n_0}{n}, \quad c_1 = \frac{n_1}{n}, \quad c_2 = \frac{n_2}{n}, \dots, \quad c_{11} = \frac{n_{11}}{n}, \quad n = n_0 + n_1 + \dots + n_{11} \quad (4)$$

начают концентрации отдельных компонентов смеси,

$$\varphi_i = C_{p_i} \lg T - \frac{b_i}{T} - \lg p + a_i, \quad (5)$$

$$a_i = k_i - C_{v_i} - R = k_i - C_{p_i}. \quad (6)$$

в уравнениях (5) и (6)  $k_i$  и  $b_i$  означают характерные константы компонентов  $i$ ,  $p_i$  — парциальное давление, а  $C_{p_i}$  и  $C_{v_i}$  — молярная теплоемкость при постоянном давлении и постоянном объеме.

Так как в данном случае  $\delta T = \delta p = 0$ , то мы имеем

$$\delta\Phi = \sum_{i=0}^{11} (\varphi_i - R \lg c_i) \delta n_i + \sum_{i=0}^{11} n_i \delta (\varphi_i - R \lg c_i). \quad (7)$$

Поскольку  $\varphi_i$  зависит только от постоянных  $T$  и  $p$ , поэтому

$$\delta\Phi = \sum_{i=0}^{11} (\varphi_i - R \lg c_i) \delta n_i - R \sum_{i=0}^{11} n_i \frac{\delta c_i}{c_i}, \quad (8)$$

$$c_i = \frac{n_i}{n}, \quad \frac{n_i}{c_i} = \frac{n_i}{n_i} n = n \quad (9)$$

$$\sum n_i \frac{\delta c_i}{c_i} = n \sum \delta c_i = n \delta \sum c_i = 0, \quad (10)$$

так как  $\sum c_i = 1$ .

Следовательно,

$$\delta\Phi = \sum_{i=0}^{11} (\varphi_i - R \lg c_i) \delta n_i. \quad (11)$$

Используя связь между числами  $n_i$  и вариациями  $\delta n_i$ , мы получим

$$\begin{aligned} \delta\Phi = & (A_0 - 4A_9 - 6A_{10} + 3A_{11}) \delta n_0 + (A_1 + 2A_{10} - 2A_{11}) \delta n_1 + \\ & + (A_2 - A_9 + A_{10} - A_{11}) \delta n_2 + (A_3 - A_9 - A_{10}) \delta n_3 + \\ & + (A_4 - 2A_9 - 3A_{10} + A_{11}) \delta n_4 + (A_5 + 2A_9 - A_{10}) \delta n_5 + \\ & + (A_6 - 3A_9 - 6A_{10} + 3A_{11}) \delta n_6 + (A_7 - 2A_9 - 4A_{10} + 2A_{11}) \delta n_7 + \\ & + (A_8 - 2A_9 - 2A_{10} + A_{11}) \delta n_8, \end{aligned} \quad (12)$$

$$A_i = \varphi_i - R \lg c_i.$$

Но так как  $n_0, n_1, n_2, n_3, \dots, n_8$  являются независимыми переменными, определяющими состояние замкнутой системы, то стабильное термодина-

мическое равновесие системы выразится уравнениями:

$$\left. \begin{aligned} A_0 - 4A_9 - 6A_{10} + 3A_{11} &= 0, \\ A_1 + 2A_{10} - 2A_{11} &= 0, \\ A_2 - A_9 + A_{10} - A_{11} &= 0, \\ A_3 - A_9 - A_{10} &= 0, \\ A_4 - 2A_9 - 3A_{10} + A_{11} &= 0, \\ A_5 - 2A_9 - A_{10} &= 0, \\ A_6 - 3A_9 - 6A_{10} + 3A_{11} &= 0, \\ A_7 - 2A_9 - 4A_{10} + 2A_{11} &= 0, \\ A_8 - 2A_9 - 2A_{10} + A_{11} &= 0, \end{aligned} \right\} \quad (13)$$

которые вместе с уравнениями:

$$\left. \begin{aligned} 3n_0 + n_3 + 2n_4 + n_5 + 3n_6 + 2n_7 + n_8 + n_{10} + n_{11} &= a, \\ 8n_0 + 2n_2 + 2n_3 + 4n_4 + 4n_5 + 6n_6 + 4n_7 + 4n_8 + 2n_9 &= b, \\ 2n_1 + n_2 + n_3 + n_4 + n_5 + n_{10} + 2n_{11} &= 0, \end{aligned} \right\} \quad (14)$$

позволяют определить  $n_0, n_1, \dots, n_8, n_9, n_{10}, n_{11}$ , если корни этой системы положительны или некоторые из них нули.

Легко показать, что найденные таким образом величины  $n_0^0, n_1^0, \dots$  характеризуют абсолютный максимум функции  $\Phi$ , т. е. определяют стабильное термодинамическое равновесие системы. И действительно, учитывая, что для независимых переменных  $n_0, n_1, \dots, n_8$ , а также и для  $n_9, n_{10}, n_{11}$ , как линейных функций первых  $\delta^2 n_i = 0$  и что  $\delta T = \delta \varphi_i = 0$  получаем из (11)

$$\delta^2 \Phi = -R \sum_{i=0}^{11} \frac{\delta n_i \delta c_i}{c_i}. \quad (15)$$

Так как  $\delta c_i$  и  $\delta n_i$  имеют одинаковые знаки, то  $\delta^2 \Phi < 0$ , что и надо было доказать.

С учетом (2) выразим  $\Phi$  как функцию независимых переменных  $n_0, n_1, \dots, n_8$ , зависящую как непосредственно от этих переменных, так посредством  $n_9, n_{10}, n_{11}$ ,

$$\Phi(n_0, n_1, n_2, \dots, n_8).$$

Полагая, что

$$\delta n_i = n_i - n_i^0 = \nu_i \quad (16)$$

и сохраняя в разложении  $\Phi$  по степеням  $\nu_i$  только члены второй степени, получаем:

$$\Delta \Phi = \Phi(n_0, n_1, \dots, n_8) - \Phi(n_0^0, n_1^0, \dots, n_8^0) = \frac{1}{2} \sum_{i=0}^8 g_{ik} \nu_i \nu_k, \quad g_{ik} = g_{ki}, \quad (17)$$

где

$$\frac{1}{2} \sum_{i,k} g_{ik} \nu_i \nu_k, \quad i, k = 0, 1, \dots, 8,$$

является положительной квадратичной формой  $\nu_i$ . При  $\nu_i = \nu_k = 0$  система будет находиться в стабильном термодинамическом равновесии.



Мы показали [3], что в этом случае  $(-\Delta\Phi)$  выполняет роль потенциальной функции, которой соответствуют силы

$$N_i = \frac{\partial(-\Delta\Phi)}{\partial v_i}.$$

Решение  $v_i(t)$  системы дифференциальных уравнений

$$\frac{d^2 v_i}{dt^2} = N_i, \quad (17)$$

интегрированной при граничных условиях

$$v_i(0) = v_i^0, \quad v_i(+\infty) = 0,$$

удовлетворяет физическим требованиям и допускает феноменологические соотношения Онзагера [5] в качестве первых интегралов.

Обратимся теперь к установлению  $(-\Delta\Phi)$  как функции независимых переменных  $v_0, v_1, v_2, \dots, v_8$ , где  $v_i = \delta n_i = n_i - n_i^0$ .

Из уравнения (14) мы получаем

$$\begin{aligned} \delta^2\Phi &= -R \sum_{i=0}^{11} \frac{\delta n_i \delta c_i}{c_i} = -R \sum_{i=0}^{11} \frac{\delta n_i}{c_i} \frac{n \delta n_i - n_i \delta n}{n^2} = \\ &= -R \sum_{i=0}^{11} \frac{(\delta n_i)^2}{n_i} + R \sum_{i=0}^{11} \frac{\delta n_i \delta n}{n}, \end{aligned} \quad (18)$$

где  $\delta n = \delta n_0 + \delta n_1 + \dots + \delta n_{11}$  и  $\delta n_9, \delta n_{10}, \delta n_{11}$  надо рассматривать как функции  $\delta n_0, \delta n_1, \dots, \delta n_8$ , заданные уравнениями (2').

Вблизи стабильного термодинамического равновесия  $(n_0^0, n_1^0, \dots, n_{11}^0)$ , заменяя  $\delta n_i = v_i$ , находим

$$-\Delta\Phi = \frac{\delta^2\Phi}{2} = \frac{R}{2} \sum_{i=0}^{11} \frac{(v_i)^2}{n_i^0} - \frac{R}{2} \sum_{i=0}^{11} \frac{v_i v}{n^0}, \quad (19)$$

где  $n^0 = n_0^0 + n_1^0 + \dots + n_{11}^0$ ,  $v = v_0 + v_1 + \dots + v_{11}$ .

Выражая  $v_9, v_{10}, v_{11}$  через их значения:

$$\begin{aligned} v_9 &= -4v_0 - v_2 - v_3 - 2v_4 - 2v_5 - 3v_6 - 2v_7 - 2v_8, \\ v_{10} &= -6v_0 + 2v_1 + v_2 - v_3 - 3v_4 - v_5 - 6v_6 - 4v_7 - 2v_8, \\ v_{11} &= +3v_0 - 2v_1 - v_2 + v_4 + 3v_6 + 2v_7 + v_8, \end{aligned}$$

получаем

$$(-\Delta\Phi) = \frac{\delta^2\Phi}{2} = \frac{1}{2} \sum_{i,k} g_{ik} v_i v_k, \quad g_{ik} = g_{ki}, \quad (i, k = 0, 1, \dots, 8), \quad (20)$$

где  $\sum g_{ik} v_i v_k$  является положительной квадратичной формой.

Рассмотрим теперь решение системы дифференциальных уравнений

$$\frac{d^2 v_i}{dt^2} = N_i = g_{i0} v_0 + g_{i1} v_1 + g_{i2} v_2 + \dots + g_{i8} v_8, \quad i = 0, 1, 2, \dots, 8 \quad (21)$$

интегрированной при граничных условиях:

$$v_i(0) = v_i^0, \quad v_i(+\infty) = 0.$$

Эта система линейных дифференциальных уравнений с постоянными коэффициентами удовлетворяется интегралами вида:

$$\begin{aligned} v_0 &= \alpha e^{rt}, \quad v_1 = \beta e^{rt}, \quad v_2 = \gamma e^{rt}, \quad v_3 = \delta e^{rt}, \quad v_4 = \varepsilon e^{rt}, \quad v_5 = \zeta e^{rt}, \\ v_6 &= \kappa e^{rt}, \quad v_7 = \lambda e^{rt}, \quad v_8 = \mu e^{rt}, \end{aligned} \quad (22)$$





## Выводы

Рассмотрено во времени развитие реакции в системе  $mC_3H_8 + nO_2$  около состояния термодинамического равновесия при постоянных температуре и давлении.

Болгария  
София

Поступила  
3.II.1959

## ЛИТЕРАТУРА

- Н. Н. Семенов. О некоторых проблемах химической кинетики и реакционной способности, Изд-во АН СССР, Москва, 1954.  
Н. Я. Черняк, В. Н. Штерн, Докл. АН СССР, 78, 91, 1951.  
Kyrille Popoff, Les bases mathématiques de la théorie des processus thermodynamiques irréversibles, Mem. Sc. phys., fase 63, 1956, Prix Henri de Parville de l'Académie des Sciences de Paris.  
Kyrille Popoff, J. Math. et Phys. appl. (ZAMP), 3, 42, 3, 440, 1952; 5, 67, 1954; 6, 378, 1958; C. R., 235, 648, 1952; 236, 785, 1640, 1953; 237, 698, 1953; 238, 331, 1954; 239, 1192, 1361, 1954; Ann. phys., 9, 261, 1954, C. R., 240, 735, 1955. Киррил Попов, Ж. эксперим. и теор. физ., 28, № 3, 1955; Ж. физ. химии, 32, 1638, 1958 и др.  
L. Onsager, Phys. Rev., 37, 405, 38, 2265, 1931.  
M a x P l a n k, Vorlesungen über Thermodynamik, Berlin, Leipzig, 1930.

THE THERMODYNAMICAL APPROACH TO THE OXIDATION OF PROPANE-OXYGEN  
MIXTURES AT CONSTANT TEMPERATURE AND PRESSURE

*Kyrille Popoff (Sofia)*

Summary

The development with time of the reaction  $mC_3H_8 + nO_2$  in the vicinity of the thermodynamic equilibrium at constant temperature and pressure has been examined.

ЭЛЕКТРОКРИСТАЛЛИЗАЦИЯ НИКЕЛЯ В УСЛОВИЯХ  
ПЕРЕМЕННОГО ТОКА

## II. ЭЛЕКТРОЛИТЫ С ДОБАВКАМИ ПОВЕРХНОСТНО-АКТИВНЫХ ВЕЩЕСТВ

*А. А. Сутягина и К. М. Горбунова*

В предыдущей статье [1] были изложены результаты исследований, в которых установлено резкое влияние переменного тока на процессы электрокристаллизации никеля. Казалось возможным предполагать, что основная причина наблюдаемых эффектов связана с изменением под влиянием сдвига потенциала в адсорбируемости гидроокиси никеля, образуемой в приэлектродном слое.

С целью уточнения этой точки зрения нами было поставлено настоящее исследование, в котором использовались растворы со специально введенными поверхностно-активными веществами известной природы. Постановка этих исследований представляла интерес и потому, что роль поверхностно-активных веществ при различных электрических режимах на электроде изучена совершенно недостаточно.

При подборе поверхностно-активных веществ мы исходили из целесообразности изучения действия добавок, широко применяемых в промышленности. Кроме того, представляло интерес изучить действие добавок, различных по своему строению.

## Экспериментальная часть

Нами использовалась методика, подробно описанная в предыдущих работах [1—4].

Электроосаждение никеля в условиях наложения переменного тока исследовано в присутствии одной из следующих добавок: блескообразующей добавки анионного типа 2,6—2,7 дисульфонафталиновой кислоты, блескообразующих добавок, действие которых связывают с отщеплением в растворе ионов серы (тиомочевина, аллилтиомочевина), добавки молекулярного типа (формальдегид), добавки катионного типа (анилин). Основной электролит, в который вводилось одно из перечисленных веществ, содержал 160 г/л  $\text{NiSO}_4 \cdot 7\text{H}_2\text{O}$ , 30 г/л  $\text{H}_3\text{BO}_3$ , 10 г/л  $\text{NaCl}$ . Кислотность раствора поддерживалась в пределах  $\text{pH} = 5,9$ . Поверхностно-активные вещества вводились в раствор в количествах, рекомендуемых в литературе, а именно: 3 г/л 2,6—2,7 дисульфонафталиновой кислоты, 0,1 г/л тиомочевины, 0,1 г/л аллилтиомочевины, 0,13 г/л анилина, 8 см<sup>3</sup>/л формальдегида.

Осадки никеля, возникающие на катоде при использовании только постоянного тока при  $D_n = 2\text{A}/\text{dm}^2$  из электролитов, содержащих одну из перечисленных выше блескообразующих добавок, имеют совершенно гладкую блестящую поверхность, на которой не обнаруживается элементов кристаллического ограничения или границ между кристаллитами, составляющими осадок, даже при увеличениях, допускаемых электронным микроскопом ЭМ-3.

В качестве примера такого рода осадка на рис. 1 представлен электронно-микроскопический снимок поверхности блестящего осадка никеля, полученного из раствора, содержащего 2,6—2,7 дисульфонафталиновую кислоту.

На рентгенограммах, полученных от таких осадков, линии оказываются размытыми, нерезкими (рис. 2); линия, отвечающая плоскости (200), имеет четко выраженный максимум. Подобная размытость дифракционной картины, нечеткость линий, характерна вообще для всех напряженных и блестящих осадков никеля.





Рис. 1

Рис. 1. Фотография поверхности блестящего осадка никеля из раствора II ( $D_{II} = 2A/\partial m^2$ )  $\times 16\,000$

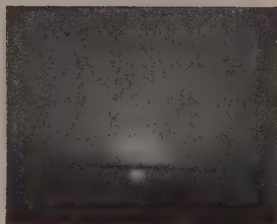


Рис. 3

Рис. 3. Электронограмма от осадка никеля из раствора состава II ( $D_{II} = 2A/\partial m^2$ )



Рис. 2

Рис. 2. Рентгенограмма от осадка никеля из раствора состава II ( $D_{II} = 2A/\partial m^2$ )  
Fe-излучение

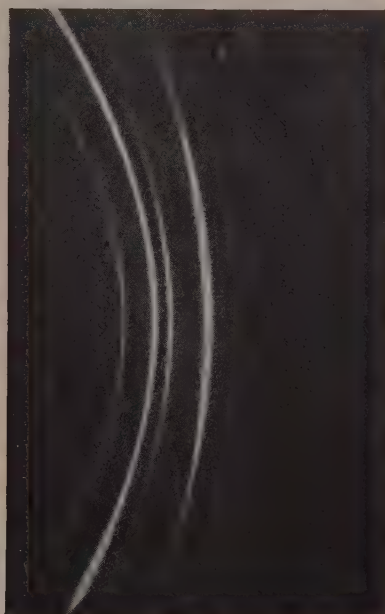


Рис. 5

Рис. 5. Рентгенограмма осадка никеля из раствора состава II ( $D_{II} = 2A/\partial m^2$ ,  $D_{пер} = 7,5 A/\partial m^2$ ; 50 гц). Fe-излучение

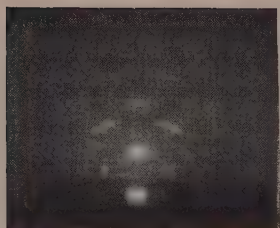


Рис. 6

Рис. 6. Электрограмма от осадка никеля из раствора состава II ( $D_{II} = 2A/\partial m^2$ ,  $D_{пер} = 7,5 A/\partial m^2$ , 50 гц)



Рис. 9

Рис. 9. Электрограмма от осадка никеля из раствора состава VI ( $D_{II} = 2A/\partial m^2$ )

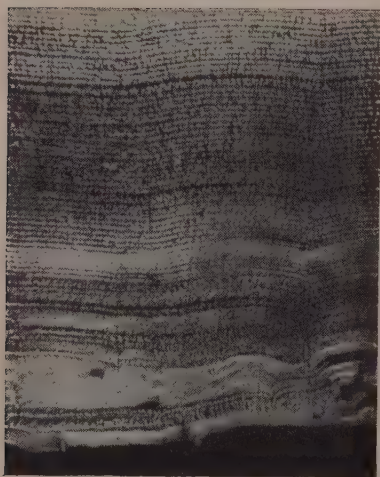


Рис. 7

Рис. 7. Фотография поперечного среза блестящего никеля из раствора состава II ( $D_{II} = 2A/\partial m^2$ )  $\times 420$

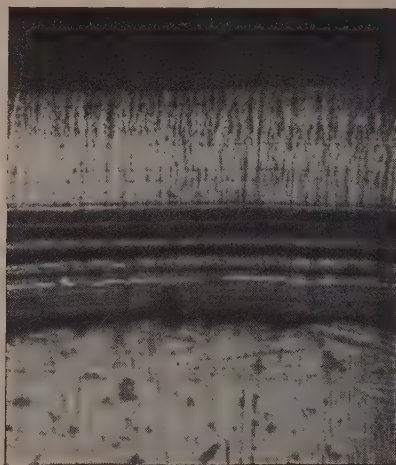


Рис. 8

Рис. 8. Фотография поперечного среза осадка никеля из раствора состава II ( $D_{II} = 2A/\partial m^2$ ,  $D_{пер} = 7,5 A/\partial m^2$ , 50 гц)  $\times 420$



Расчет \* рентгенограммы (рис. 2) показал наличие в блестящем осадке никеля текстуры по оси [001]. На электронограмме (рис. 3), соответствующей поверхности блестящего никеля, полученного из раствора с добавкой 2,6—2,7 дисульфонафталиновой кислоты, в согласии с более ранними исследованиями К. М. Горбуновой, Т. В. Ивановской и Н. А. Шишова, обнаруживается нечеткая картина с диффузными кольцами. Эти факты отнесли появление такой картины за счет присутствия на поверхности никеля слоя гидроокиси [5].

Наложение на постоянный ток  $D_{\text{п}} = 2 \text{ A/дм}^2$  переменного тока с частотой 50 гц той же плотности\*\* (суммарный ток характеризуется нами как лизирующий) не вызывает резкого изменения кристаллической поверхности.

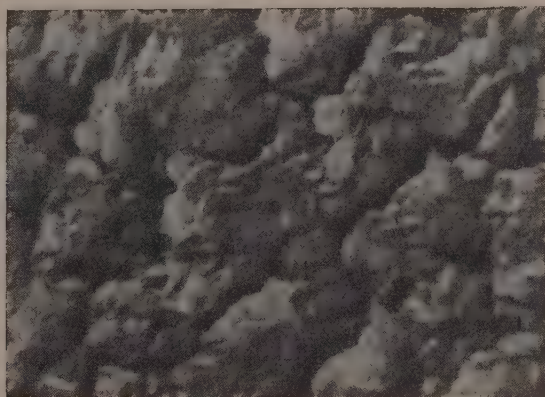


Рис. 4. Фотография поверхности осадка никеля из раствора состава II ( $D_{\text{п}} = 2 \text{ A/дм}^2$ ,  $D_{\text{пер}} = 7,5 \text{ A/дм}^2$ , 50 гц)  $\times 16\,000$

При  $D_{\text{п}} = 2 \text{ A/дм}^2$  и  $D_{\text{пер}} = 7,5 \text{ A/дм}^2$  (т. е. в случае, когда результирующий ток часть периода течет в обратном направлении) в растворе с добавкой дисульфонафталиновой кислоты, как и в ранее описанных исследованиях по электрокристаллизации никеля из растворов без добавок, наблюдается укрупнение и более четкое ограничение кристаллитов (рис. 4). Осадки при этом оказываются совершенно матовыми, серого цвета, коэффициент отражения снижается с 88 до 25.

Рентгено- и электронографическая картины от этих осадков представлены соответственно на рис. 5 и 6. На последних, в отличие от картин рис. 2 и 3, видны четкие линии, соответствующие металлическому никелю текстурой по оси [001].

Интересно отметить, что наложение переменного тока в этом случае приводит к появлению осадков со строением, характерным для осадков из никелевых электролитов той же кислотности, но не содержащих специальных добавок поверхностно-активных веществ. Как будет видно из дальнейшего изложения, эта закономерность, за редкими исключениями, является общей для исследуемого основного электролита, независимо от природы вводимых в него поверхностно-активных веществ.

При исследовании зависимости наблюдаемого эффекта от частоты колебаний переменного тока установлено, что с увеличением числа перемен-

\* Метод, использованный для расчета текстуры в осадках, подробно описан в диссертации А. А. Сутягиной [4].

\*\* Расчет плотности переменного тока во всех случаях производился по максимальной амплитуде.

направления тока в секунду его влияние на процесс снижается и в растворах, содержащих дисульфонафталиновую кислоту. Однако, в отличие от растворов без добавок, влияние переменного тока сказывается до значительно больших частот. Лишь при частотах тока порядка 5000 гц осадки, полученные в  $D_{II} = 2 \text{ А/дм}^2$  и  $D_{пер} = 7,5 \text{ А/дм}^2$ , становятся, как по внешнему виду, так и по внутреннему строению, одинаковыми с осадками, полученными при постоянном токе. В этом случае на электрограммах обнаруживается опять нечеткая картина с диффузными кольцами, характерная для блестящих осадков никеля, возникающих при  $D_{II} = 2 \text{ А/дм}^2$  из растворов, содержащих данную добавку.

Металломикроскопическими исследованиями шлифов поперечных срезов было установлено, что осадки, получаемые в условиях постоянного тока из растворов с добавками, имеют по всей толщине четко выраженную слоистость\* (рис. 7).

Для выяснения вопроса о том, сохраняется ли слоистость у осадков, полученных в условиях электролиза с наложением переменного тока (внешний вид и строение которых оказываются сильно измененными), изготовлялся шлиф среза осадка в направлении, перпендикулярном поверхности. На микрофотографии этого шлифа, представленной на рис. 8, видно, что слоистость сохраняется в слоях, примыкающих к поверхности, по мере же удаления от нее она постепенно исчезает. Вид линий, характеризующих расположение сечения слоя, указывает на наличие в осадках отдельно развивающихся сфероидов, которые, по-видимому, и являются причиной шероховатости поверхности и отсутствия блеска.

Данные исследования по влиянию переменного тока на кристаллизацию никеля из растворов, содержащих тиомочевину (0,1 г/л), оказались совершенно аналогичными полученным с добавкой дисульфонафталиновой кислоты и поэтому нами здесь не приводятся.

Осадки никеля, полученные при постоянном токе ( $D_{II} = 2 \text{ А/дм}^2$ ) из растворов с добавкой формальдегида или анилина, не имели зеркального блеска; коэффициент отражения их лишь немного превышал таковой для осадков никеля, полученных из растворов того же состава, но без добавок поверхностно-активных веществ (таблица). И в этих случаях использование переменного тока с амплитудой, большей чем величина применяемого постоянного тока, ведет к увеличению размеров кристаллитов и резкому снижению коэффициента отражения (таблица).

Состав электролита	Характеристики осадка ( $D_{II} = 2 \text{ А/дм}^2$ )		Характеристики осадка $D_{II} = 2 \text{ А/дм}^2$ , $D_{пер} = 7,5 \text{ А/дм}^2$	
	текстура	коэффициент отражения	текстура	коэффициент отражения
I. 160 г/л $\text{NiSO}_4 \cdot 7\text{H}_2\text{O}$ , 30 г/л $\text{H}_3\text{BO}_3$ , 10 г/л $\text{NaCl}$ , pH = 5,9	[110]	63	[001]	19
II. Электролит I + 2,6—2,7 дисульфонафталиновая кислота (3 г/л)	[001] слабая	88	[001]	25
III. Электролит I + тиомочевина (0,1 г/л)	[001] слабая	89	[001]	20
IV. Электролит I + анилин (0,13 г/л)	Отсутствует	78	[001]	20
V. Электролит I + формальдегид (8 см <sup>3</sup> )	[110]	72	[001]	21
VI. Электролит I + аллилтиомочевина (0,1 г/л)	[001]	95	Отсутствует	30

Рентгенографическими исследованиями осадков, полученных из растворов, содержащих добавки формальдегида или анилина, показано, что

\* Травление шлифов проводилось электрохимически в растворе, содержащем 10 г  $\text{CrO}_3$ ; 1,7 см<sup>3</sup>  $\text{H}_2\text{SO}_4$  ( $d = 1,84$ ); 87 г  $\text{H}_2\text{O}$ .

наложение переменного тока с большими амплитудами при частоте 50 гц вызывает влияние и на характер текстуры в осадке. Так, в осадках, полученных без переменного тока в электролите с добавкой формальдегида, обнаруживается текстура в направлении оси [110], т. е. текстура, совпадающая с обнаруженной в осадках никеля, полученных при том же электрическом режиме из раствора без добавок [1, 4], однако с меньшей степенью совершенства. Осадки, полученные при  $D_{\text{п}} = 2 \text{ A/}\delta\text{м}^2$  и  $D_{\text{пер}} = 7,5 \text{ A/}\delta\text{м}^2$ , имеют текстуру по оси [001], как и во всех описанных выше случаях электроосаждения никеля с переменным током той же амплитуды и частоты.

Исключение из этой общей закономерности обнаруживают осадки, получаемые из растворов с добавкой 0,1 г/л аллилтиомочевины. Аллилтиомочевина, как показано нами, также является блескообразующей добавкой. Осадки, полученные при  $D_{\text{п}} = 1-2 \text{ A/}\delta\text{м}^2$ , имеют очень гладкую поверхность. Коэффициент отражения света этих осадков выше, чем у всех описанных ранее блестящих осадков никеля (таблица).

Рентгенографическими исследованиями показано, что эти блестящие осадки имеют отчетливо выраженную текстуру по оси [001]. В осадках, получаемых при наложении переменного тока (50 гц) с большой амплитудой ( $D_{\text{п}} = 2 \text{ A/}\delta\text{м}^2$ ,  $D_{\text{пер}} = 7,5 \text{ A/}\delta\text{м}^2$ ), текстура отсутствует.

На рис. 9 представлена электронографическая картина осадка никеля, полученного при  $D_{\text{п}} = 2 \text{ A/}\delta\text{м}^2$ . В отличие от блестящих осадков никеля, получаемых из растворов с добавками 2,6—2,7 дисульфонафталиновой кислоты или тиомочевины, на поверхности которых, согласно нашим, а также более ранним исследованиям других авторов, обнаруживается пленка гидроокиси, электронограммы от осадков из растворов с аллилтиомочевинной обнаруживают четкую картину, характерную для металлического никеля текстурой по оси [001]. Это указывает, по-видимому, на то, что наличие пленки гидроокиси на поверхности металла не является обязательным для всех блестящих осадков.

Исследование потенциала катода в условиях наложения переменного тока в случае растворов с добавками поверхностно-активных веществ, проведенное при помощи шлейфового осциллографа, привело к результатам, подобным наблюдавшимся в растворах без добавок [1, 4]. Следует отметить, что, несмотря на наблюдающееся снижение поляризации, потенциал и в этом случае не достигает значений, соответствующих потенциалу никеля в данном растворе при отсутствии тока.

### Обсуждение результатов

Анализ экспериментального материала, изложенного в этой и предыдущих статьях, приводит к выводу, что характер влияния переменного тока на процесс электрокристаллизации никеля оказывается, за некоторыми исключениями, не зависящим от исходных условий. Из материала предыдущей статьи [1] и настоящего исследования можно видеть, что в условиях наложения переменного тока обнаружена интересная закономерность, заключающаяся в том, что независимо от наличия и природы поверхностно-активной добавки, переменный ток (50 гц) вызывает снижение блеска осадков и приводит к укрупнению кристаллов. Условием проявления такого влияния, как было указано ранее, является отношение соотношения токов  $D_{\text{пер}}/D_{\text{п}} > 1$  ( $D_{\text{п}} = 2 \text{ A/}\delta\text{м}^2$ ).

Кристаллы в осадках, образующихся при этом, ориентированы в направлении [001], независимо от того, какая ориентация наблюдалась в них, когда электролиз проводился только постоянным током.

Так как действие переменного тока, как указано выше, выражается в основном в резком увеличении размеров кристаллов, то нам казалось естественным предположить, что потенциал электрода в этих условиях называется сдвинутым до значений, при которых происходит десорб-



ция поверхностно-активной добавки, и, таким образом, устраняются факторы, тормозящие нормальный рост кристаллов.

Известно, что, пользуясь представлениями о потенциалах нулевого заряда металлов, некоторым авторам [6] удалось объяснить своеобразие адсорбционных эффектов, наблюдающихся при протекании различных электродных процессов. Однако наблюдаемое нами влияние переменного тока в случае электрокристаллизации никеля в присутствии поверхностно-активных веществ не удается объяснить с этой точки зрения.

Действительно, потенциалу нулевого заряда никеля, согласно литературным данным [7, 8], приписывают значения 0,3 и  $-0,28$  В. Выше было показано, что при наложении переменного тока потенциал электрода сдвигается в сторону более положительных значений. И если такие вещества, как 2,6—2,7 дисульфонафталиновая кислота, тиомочевина, аллил-тиомочевина и формальдегид адсорбировались при потенциалах, соответствующих условиям выделения никеля при постоянном токе, то нет оснований ожидать, что при смещении потенциала в положительную сторону, т. е. при приближении его к точке нулевого заряда, произойдет их десорбция. В соответствии с этим находятся и результаты специальных исследований по адсорбции никелем поверхностно-активных добавок, проведенных с использованием радиоактивных изотопов [9]. Эти исследования, осуществленные с применением меченой тиомочевины ( $S^{35}$ ), показали, что действительно при использованных в настоящем исследовании концентрациях тиомочевины и электрических режимах воздействие переменного тока не приводит к десорбции серы \*. Вместе с тем осадки и в этих опытах оказались также крупнокристаллическими.

Исследование потенциалов выделения никеля в условиях наложения переменного тока показало, что потенциал в процессе колебания не достигает значений потенциала никеля в данном растворе в отсутствие тока. Это заставляет предполагать, что, в отличие от цинка и кадмия [4], растворения никеля во время протекания тока в обратном направлении происходить не должно. Следовательно, и повышения концентрации ионов никеля у электрода в это время ожидать нельзя.

Причина однотипных изменений в строении осадков никеля под влиянием переменного тока связана, по-видимому, в основном с изменением кислотности в примыкающем непосредственно к электроду слое раствора и вызванным этим обстоятельством образованием гидроокиси никеля. Известно, что в растворах никелевых солей при падении концентрации ионов водорода (до значений, соответствующих рН порядка 5—6\*\*) происходит выпадение гидроокиси никеля. Гидроокись, образующаяся в условиях пониженной общей концентрации ионов никеля у катода, может, по-видимому, находиться в высокодисперсном состоянии. Хотя вопрос о знаке заряда гидроокиси никеля в присутствии как ионов  $Ni^{2+}$ , так и ионов  $Cl^-$  и  $SO_4^{2-}$  недостаточно изучен и экспериментальные данные противоречивы\*\*\*, все же есть основания полагать, что возникающая гидроокись способна адсорбироваться на поверхности заряженного отрицательно никелевого электрода и включаться в осадок [12, 13].

Существенным является вопрос о характере реакций, протекающих на электроде в короткий промежуток времени ( $\approx 0,01$  сек.) работы его в качестве анода. Высказанное Н. А. Изгарышевым и С. Беркман [16]

\* Данные количественных исследований, характеризующих адсорбцию (включение) серы никелем при других концентрациях тиомочевины и электрических режимах, будут опубликованы позднее.

\*\* Как показано исследованиями А. Л. Ротиняна и В. Я. Зельдеса [10], величина рН, при которой наступает образование гидрата окиси никеля, сильно зависит от природы и концентрации присутствующих в растворе веществ.

\*\*\* Согласно данным И. И. Жукова и З. Д. Пигаревой [11], гидроокись, образуемая в присутствии избытка ионов  $SO_4^{2-}$ , имеет отрицательный заряд, а в присутствии избытка ионов  $Cl^-$  — положительный заряд. Наряду с этим в литературе высказываются и противоположные мнения [12—15].

предположение о том, что в этот промежуток происходит выделение водорода, нельзя признать правильным, так как потенциал, даже при учете возможного повышения концентрации гидроксильных ионов, не достигает необходимых для этого значений.

Едва ли возможно предполагать в этом случае и протекание реакции  $\text{Ni} + 2\text{OH}^- \rightarrow \text{Ni}(\text{OH})_2 + 2e^-$ , так как, даже при  $\text{pH} = 10$ , приведенная реакция становится возможной лишь при потенциалах более положительных, чем  $-0,45 \text{ V}$ , т. е. тех, которые в нашем случае не достигаются. Кроме того, это предположение не согласуется и с рядом экспериментальных фактов. Так, на поверхности осадков никеля, полученных при наложении переменного тока больших амплитуд, при помощи метода электронографии гидроокись не была обнаружена (рис. 6). На электронограммах видны четкие дифракционные картины, характерные для металлического никеля. На отсутствие гидроокиси на поверхности указывает также и то, что в этих условиях наблюдается снижение потенциала и увеличение размера кристаллов, которые приобретают более четкие очертания.

В условиях электрического режима на электроде, который создавался в наших исследованиях, наиболее вероятной, по-видимому, следует считать реакцию ионизации водорода, адсорбированного на никеле  $\text{H}(\text{адс}) \rightarrow \text{H}^+ + e^-$ , или водорода, связанного с последним более прочной связью (гидрид). Протекание указанной реакции ионизации должно приводить к накоплению  $\text{H}^+$ -ионов, т. е. подкислению раствора в слое, непосредственно прилегающем к электроду. Последнее естественно затрудняет возможность образования гидроокиси и адсорбции ее на поверхности электрода.

Основываясь на этом представлении, можно объяснить и наблюдаемое в нашей работе снижение поляризации при выделении никеля и увеличение размера кристаллов.

Высказанное предположение о характере анодного процесса подтверждается и следующими, установленными нами, экспериментальными фактами, а именно: 1) отсутствием влияния переменного тока на размер кристаллов никеля, получаемых из кислых электролитов ( $\text{pH} \leq 2$ ); 2) уменьшением под влиянием переменного тока количества водорода, включенного в осадок\*; 3) изменением характера слоистости осадков, полученных в условиях наложения переменного тока по сравнению с осадками никеля, возникающими при постоянном токе; 4) возрастанием содержания серы в осадках никеля под влиянием переменного тока, что соответствует изменениям, происходящим при повышении кислотности.

Следует, однако, отметить, что в противоречии с высказанным предположением находится наблюдаемое при наложении переменного тока снижение выхода никеля по току.

Отличия в текстуре осадков, полученных из кислых электролитов ( $\text{pH} \leq 2$ ) при электролизе постоянным током, от текстуры осадков, полученных из электролитов с  $\text{pH} = 5,9$  при наложении переменного тока, указывают также на то, что полностью отнести действие переменного тока за счет подкисления раствора едва ли было бы правильно.

Есть основания ожидать, что существенные сведения о природе процессов, протекающих при воздействии переменного тока, могут быть получены из данных ультрамикроскопических наблюдений за условиями образования и поведения коллоидных частиц в режиме постоянного и переменного токов.

### Выводы

1. Изучено влияние переменного тока на процессы кристаллизации никеля в растворах, содержащих поверхностно-активные вещества.

\* Количество водорода в осадках никеля при разных электролитических режимах определялось Ю. М. Полукаровым [17]. Им показано, что при  $D_{\text{H}} = 1 \text{ A}/\text{dm}^2$  количество водорода в осадке составляет  $65 \text{ cm}^3$ , а при  $D_{\text{H}} = 1 \text{ A}/\text{dm}^2$  и  $D_{\text{пер}} = 3 \text{ A}/\text{dm}^2$  содержание водорода снижалось до  $45 \text{ cm}^3$  на  $100 \text{ г}$  металла.



2. Показано, что при соотношении  $D_{\text{пер}}/D_{\text{п}} > 1$  переменный ток (50 гц) оказывает резкое влияние на внешний вид и текстуру электролитического никеля; в большинстве случаев при этом, независимо от природы введенной добавки, возникают осадки с текстурой по оси [001].

3. Установлено, что с увеличением частоты колебаний влияние переменного тока снижается; при частоте порядка 5000 гц осадки имеют то же строение, что при электролизе только постоянным током.

4. Осуществлен анализ результатов исследования с учетом изменения условий адсорбции на катоде при смещении потенциала и изменений концентрации  $\text{H}^+$  у катода, обусловленных периподической сменой катодного и анодного процессов.

Академия наук СССР  
Институт физической химии

Поступила  
22.II.1958

#### ЛИТЕРАТУРА

1. А. А. Сутягина, К. М. Горбунова, Ж. физ. химии, **33**, 1982, 1959.
2. А. Т. Ваграмян, А. А. Сутягина, Изв. АН. СССР, Отд. хим. н., № 3, 409, 1952.
3. К. М. Горбунова, А. А. Сутягина, Ж. физ. химии, **29**, 3, 1955.
4. А. А. Сутягина, Диссертация «Влияние переменного тока на процессы электрокристаллизации некоторых металлов». Ин-т. физ. химии АН СССР, Москва, 1956.
5. К. М. Горбунова, Т. В. Ивановская, Н. А. Шишаков, Ж. физ. химии, **25**, 984, 1951.
6. Л. П. Антропов, Ж. физ. химии, **25**, 1494, 1951; Тр. Всесоюзной конференции по теорет. и прикладной электрохимии, Киев, 1949, стр. 138.
7. R. Parsons, Z. Elektrochem., **55**, 411, 1951.
8. А. Легран, С. Д. Левина, Ж. физ. химии, **14**, 211, 1940.
9. А. А. Сутягина, Заводская лаборатория, **1**, 1957.
10. А. А. Ротинян, В. Я. Зельдес, Ж. прикл. химии, **23**, 717, 1950; **24**, 604, 1951.
11. И. И. Жуков, З. Д. Пигарева, Коллоидн. ж., **6**, 491, 1940.
12. Ж. Биллитер, Основы гальванотехники, ОНТИ, 1937.
13. D. J. Macnaughton, A. W. Hammond, G. E. Gardam, Trans. Faraday Soc., **24**, 387, 497, 1928; D. J. Macnaughton, Trans. Faraday Soc., **29**, 755, 1933.
14. К. М. Горбунова, П. Д. Данков, Тр. Совещания по электрохимии, Изв-во АН СССР, **222**, 1953.
15. А. Т. Ваграмян, З. А. Соловьева, Докл. АН СССР, **77**, 629, 1951.
16. Н. А. Изгарышев, С. Беркман, Z. Elektrochem., **31**, 180, 1925.
17. Ю. М. Полукаров, Ж. физ. химии, **32**, 1008, 1958.

#### ELECTROCRYSTALLIZATION OF NICKEL UNDER ALTERNATING CURRENT CONDITIONS

*A. A. Sutyagina and K. M. Gorbunova (Moscow)*

#### Summary

The effect of superposition of alternating current on the crystallization of nickel from solutions with various organic brightening additions has been investigated. It has been shown that for a ratio of  $\frac{D_{\text{alt}}}{D_{\text{dir}}} > 1$  50 cycle alternating current exerts a strong effect on the external appearance and texture of electrolytic nickel. The deposits become coarsely crystalline, the light reflection coefficient diminishes and the crystals orientation is changed. In the majority of cases deposits are formed with texture along the [001] axis whatever the nature of the addition and the type of texture arising on using only direct current.

The effect of alternating current on the electrocrystallization process depends upon the frequency, diminishing with rise in the latter. Nickel deposits formed at frequencies of the order of 500 Hz have the same external appearance and internal structure as those formed by direct current only.

The results of the investigation have been analyzed with account made of:

- a) the change in conditions of adsorption on the cathode due to potential shift under the influence of alternating current,
- b) the concentration changes of  $\text{H}^+$  at the cathode, caused by the periodic alternation of cathodic and anodic processes.

## ВНУТРИМОЛЕКУЛЯРНАЯ ВОДОРОДНАЯ СВЯЗЬ И ДИПОЛЬНЫЕ МОМЕНТЫ ОРГАНИЧЕСКИХ СОЕДИНЕНИЙ

## VI. НИТРО- И НИТРОЗОНАФТОЛЫ

А. Е. Луцкий и Л. А. Кочергина

Дипольные моменты нитро- и нитрознафтолов и их метиловых эфиров были определены с целью: а) выяснения характера влияния внутримолекулярной водородной связи на дипольные моменты молекул; б) проверки общности ранее установленных соотношений значений моментов дизамещенных нафталина и бензола [1] и в) привлечения электрических свойств молекул к рассмотрению особенностей поведения нитрознафтолов 2,1- и 1,2-дизамещенных нафталина. Результаты измерения диэлектрической проницаемости  $\epsilon_{1,2}$  и плотности  $d_{1,2}$  растворов указанных соединений в бензоле и диоксане в качестве растворителей приведены в табл. 1 и 2.

Синтез и очистка изученных веществ и растворителей произведены по литературным указаниям [2] и подробно описаны в [3]. Рассчитанные Гедестранду [4] значения  $P_{\infty}$ , а также значения  $P_{e+a} = 1,05 MR_D$  дипольных моментов сопоставлены в табл. 3.

Там же приведены значения моментов для соответствующих дизамещенных бензола, а также рассчитанные по формуле Фукса [5] для условия свободного вращения невзаимодействующих функциональных групп и по [6] для *цис*- и *транс*-расположения функциональных групп у 1,2- и 2,1-замещенных нафталина. Полученные значения моментов 1-нитрозо-2-нафтола (4,37 D) и 2-нитрозо-1-нафтола (4,31 D) в бензоле совпадают с известными для них в литературе значениями соответственно 4,39 и 3,6 D [7].

Как следует из приведенных данных, 1-нитро-2-нафтол и 2-нитро-1-нафтол проявляют все особенности в соотношениях значений дипольных моментов, характерные для соединений с внутримолекулярной водородной связью [1, 8]. Действительно: а) дипольный момент 1,2- и 2,1-нитронафтолов заметно понижен сравнительно с таковым у 1,4-нитронафтола, причем значение  $\Delta\mu = \mu_n - \mu_o$  (соответственно 1,36 и 1,38 D в бензоле) совпадает с таковым у оксибензальдегидов, оксиацетофенонов, ацетилнафтолов и других соединений с внутримолекулярной водородной связью; б) дипольный момент рассматриваемых соединений имеет более низкое значение (0,45 D у 2-нитро-1-нафтола), чем у исходных нитронафталинов; в) метиловые эфиры 1-нитро-2-нафтола и 2-нитро-1-нафтола, в отличие от эфира 1-нитронафтола, обладают моментами, значительно превышающими таковой у исходных нафтолов (на 0,75 и 1,13 D), как это наблюдается и у других соединений с внутримолекулярной водородной связью; г) как и у последних, момент 1,2- и 2,1-нитронафтолов в отличие от 1,4-нитронафтола заметно понижен сравнительно с рассчитанным по формуле Фукса [5] и условиями свободного вращения невзаимодействующих функциональных групп; д) в отличие от 1,4-нитронафтола, у которого переход от бензола к диоксану вызывает рост момента на 0,61 D, и подобно некоторым другим замещенным фенолам с внутримолекулярной водородной связью, 1,2- и 2,1-нитронафтолы обнаруживают при этом сравнительно небольшой почти такой же, как и у их эфиров, прирост момента. Аномальное пониже-



Таблица 1

 $d_{1,2}$  и  $\epsilon_{1,2}$  растворов в бензоле и диоксане нитронафтолов

Соединение	В бензоле			В диоксане		
	мол.%	$d_{1,2}$	$\epsilon_{1,2}$	мол.%	$d_{1,2}$	$\epsilon_{1,2}$
1-нитро-2-нафтол	0,0192	0,87386	2,2770	0,0114	1,02745	2,2302
	0,0316	0,87398	2,2795	0,0296	1,02755	2,2344
	0,0470	0,87410	2,2830	0,0471	1,02763	2,2388
	0,0629	0,87420	2,2863	0,0634	1,02771	2,2424
	0,0769	0,87432	2,2890	0,0852	1,02781	2,2481
2-нитро-1-нафтол	0,0177	0,87386	2,2774	0,0255	1,02755	2,2340
	0,0346	0,87398	2,2815	0,0410	1,02765	2,2376
	0,0566	0,87412	2,2862	0,0546	1,02771	2,2415
	0,0739	0,87424	2,2901	0,0640	1,02777	2,2436
	0,0872	0,87432	2,2929	0,0727	1,02781	2,2460
1-нитро-4-нафтол	0,0149	0,87392	2,2798	0,0141	1,02749	2,2342
	0,0219	0,87400	2,2827	0,0224	1,02753	2,2383
	0,0283	0,87408	2,2854	0,0335	1,02759	2,2440
	0,0354	0,87416	2,2882	0,0438	1,02765	2,2498
	—	—	—	0,0540	1,02772	2,2543
Метилловый эфир 1-нитро-2-нафтола	0,0274	0,87396	2,2829	0,0119	1,02749	2,2313
	0,0398	0,87404	2,2865	0,0219	1,02753	2,2348
	0,0559	0,87418	2,2916	0,0339	1,02761	2,2391
	0,0685	0,87428	2,2957	0,0469	1,02767	2,2433
	0,0764	0,87434	2,2979	0,0586	1,02775	2,2476
Метилловый эфир 2-нитро-1-нафтола	0,0238	0,87394	2,2827	0,0188	1,02749	2,2341
	0,0416	0,87406	2,2888	0,0395	1,02757	2,2425
	0,0634	0,87422	2,2968	0,0515	1,02761	2,2470
	0,0828	0,87438	2,3036	0,0702	1,02769	2,2548
	0,0950	0,87446	2,3076	0,0878	1,02777	2,2618
Метилловый эфир 1-нитро-4-нафтола	0,0195	0,87386	2,2812	0,0220	1,02753	2,2362
	0,0247	0,87394	2,2833	0,0311	1,02757	2,2399
	0,0356	0,87402	2,2874	0,0428	1,02767	2,2446
	0,0476	0,87410	2,2914	0,0552	1,02769	2,2498
	0,0629	0,87420	2,2978	—	—	—

ние момента 1,2- и 2,1-нитронафтолов сравнительно с рассчитанным в формуле Фукса [5], как и понижение сравнительно с моментами 1,4-нитронафтола и более полярных монозамещенных нафталина, вызваны наличием у них *цис*-конфигурации с фиксированным благодаря внутримолекулярной водородной связи положением функциональных групп. Свидетельством этому может служить близость особенно у 2-нитро-1-нафтола значения момента к рассчитанному для такого рода конфигурации, причем превышение  $\mu_{\text{набл}}$  над  $\mu_{\text{цис}}$  связано, по-видимому, с наложением более заметного эффекта сопряжения групп через нафталиновое кольцо. У метиловых эфиров этих веществ  $\mu_{\text{набл}}$  близок по своему значению к рассчитанному для *транс*-формы, чем и вызвано то, что переход к эфиру сопровождается у них ростом, а не снижением момента, как у незамещенных нафтолов и у параизомера.

С другой стороны, значения моментов изученных нитроэнафтолов их метиловых эфиров свидетельствуют об обратном — отсутствии у 1,2- и 2,1-нитроэнафтолов внутримолекулярной водородной связи.

Действительно, дипольные моменты 1,2- и 2,1-нитроэнафтолов близки к рассчитанным для *транс*-, а не *цис*-формы, при учете возможного эффекта сопряжения групп они близки и к значениям, рассчитанным при условии свободного вращения не взаимодействующих функциональных групп. Их дипольный момент выше, а не ниже, чем у 1,4-нитроэнафтола; при переходе к метиловым эфирам у них наблюдается не рост, а снижение момента; их момент заметно превосходит таковой исходного нитроэнафтола (на 1,3 D). Отсутствие внутримолекулярной водородной связи у рассматриваемых соединений подтверждается также данными инфракрасной спектроскопии.

Таблица 2

 $d_{1,2}$  и  $\epsilon_{1,2}$  растворов в бензоле и диоксане нитрозоафтолов

Соединение	В бензоле			В диоксане		
	мол. %	$d_{1,2}$	$\epsilon_{1,2}$	мол. %	$d_{1,2}$	$\epsilon_{1,2}$
итрозо-2-нафтол	0,0230	0,87372	2,2804	0,0417	1,02757	2,2395
	0,0385	0,87380	2,2841	0,0675	1,02773	2,2466
	0,0617	0,87392	2,2910	0,1033	1,02789	2,2569
	0,0867	0,87402	2,2981	0,1271	1,02801	2,2638
	0,1094	0,87418	2,3051	0,1593	1,02817	2,2731
итрозо-1-нафтол	0,0200	0,87389	2,2793	—	—	—
	0,0329	0,87397	2,2827	—	—	—
	0,0407	0,87398	2,2851	—	—	—
	0,0454	0,87405	2,2861	—	—	—
	0,0533	0,87410	2,2883	—	—	—
итрозо-4-нафтол	—	—	—	0,0300	1,02757	2,2353
	—	—	—	0,0427	1,02761	2,2389
	—	—	—	0,0579	1,02769	2,2428
	—	—	—	0,0717	1,02777	2,2467
	—	—	—	0,0860	1,02783	2,2510
иловый эфир	0,0270	0,87398	2,2807	0,0207	1,02749	2,2331
итрозо-2-нафтола	0,0485	0,87411	2,2858	0,0477	1,02757	2,2396
	0,0621	0,87418	2,2889	0,0820	1,02769	2,2487
	0,0803	0,87429	2,2937	0,1158	1,02781	2,2573
	—	—	—	0,1387	1,02789	2,2636
иловый эфир	0,0333	0,87388	2,2793	0,0355	1,02749	2,2341
итрозо-1-нафтола	0,0639	0,87398	2,2852	0,0721	1,02761	2,2418
	0,0947	0,87412	2,2910	0,0996	1,02769	2,2474
	0,1269	0,87424	2,2966	0,1285	1,02779	2,2532
	0,1559	0,87436	2,3020	0,1509	1,02785	2,2571
иловый эфир	0,0280	0,87382	2,2790	0,0228	1,02749	2,2318
итрозо-1-нафтола	0,0445	0,87394	2,2818	0,0360	1,02753	2,2349
	0,0658	0,87406	2,2862	0,0501	1,02757	2,2375
	0,0788	0,87411	2,2883	0,0639	1,02763	2,2404
	—	—	—	0,0767	1,02767	2,2431

Таблица 3

Значения  $\mu \cdot 10^{18}$  нитро- и нитрозоафтолов

Соединение	$P_{200}$ в		$P_{E+A}$	$\mu \cdot 10^{18}$ в		$\mu \cdot 10^{18}$ в бензоле $\mu \cdot 10^{18} \text{H}_4\text{XU} \cdot 10^{18}$ в бензоле	$\mu \cdot 10^{18}$ , расчит. по ф-ле [5]	$\mu \cdot 10^{18}$ , рас- счит. для формы в бен- золе		$\mu \Delta = \mu_{\text{диокс}} - \mu_{\text{бенз}}$ , D	$\Delta \mu = \mu_{\text{C}_6\text{H}_4\text{XU}} -$ $-\mu_{\text{C}_6\text{H}_4\text{XU}}$ в бензоле, D	$\Delta \mu = \mu_{\text{набл}} - \mu_{\text{расч.}}$ по [5], D	$\Delta \mu = \mu_{\text{OCH}_3} - \mu_{\text{ОН}}$ в бензоле, D
	бензоле	диоксане		бензоле	диоксане			цис-	транс				
$\text{C}_6(\text{NO}_2)\text{OH}$	370,6	398,2	54,2	3,91	4,07	3,10	4,11	2,91	5,40	+0,16	+0,81	+0,20	+0,75
$\text{C}_6(\text{NO}_2)\text{OH}$	368,1	400,7	54,2	3,89	4,11	3,10	4,45	3,29	5,60	+0,22	+0,79	-0,56	+1,15
$\text{C}_6(\text{NO}_2)\text{OH}$	630,1	769,9	54,2	5,27	5,88	5,05	4,49	—	—	+0,61	+0,22	+0,78	-0,08
$\text{C}_6(\text{NO}_2)\text{OCH}_3$	509,2	548,8	59,2	4,66	4,86	4,83	4,11	3,35	5,02	+0,20	-0,7	+0,55	—
$\text{C}_6(\text{NO}_2)\text{OCH}_3$	584,4	612,8	59,2	5,04	5,17	4,83	4,47	3,78	5,22	+0,13	+0,21	+0,57	—
$\text{C}_6(\text{NO}_2)\text{OCH}_3$	616,1	633,3	59,2	5,19	5,27	4,74	4,29	—	—	+0,08	+0,45	+0,90	—
$\text{C}_6(\text{NO})\text{OH}$	450,8	463,1	53,6	4,37	4,45	—	3,39	2,12	4,60	+0,08	—	+0,98	-0,26
$\text{C}_6(\text{NO})\text{OH}$	439,1	—	53,6	4,45	—	—	3,38	2,12	4,60	—	—	+0,93	-0,78
$\text{C}_6(\text{NO})\text{OH}$	—	430,0	53,6	—	4,26	4,72 (гек- сан)	3,76	—	—	—	—	—	-0,54 (диок- сан)
$\text{C}_6(\text{NO})\text{OCH}_3$	408,1	423,1	58,6	4,11	4,19	—	3,37	2,58	4,23	+0,08	—	+0,74	—
$\text{C}_6(\text{NO})\text{OCH}_3$	317,1	333,9	58,6	3,57	3,65	—	3,36	2,58	4,23	+0,08	—	+0,17	—
$\text{C}_6(\text{NO})\text{OCH}_3$	321,2	346,0	58,6	3,56	3,72	—	3,53	—	—	+0,16	—	+0,03	—



ваемых соединений вызвано тем, что расстояние между кислородами гидроксильной и нитрозогруппы у них (3,75 Å — из построения молекулярной модели с учетом ван-дер-ваальсовских и ковалентных радиусов и углов между связями) заметно превосходит необходимое для образования сколько-нибудь прочной водородной связи [9].

Как и в случае ранее исследованных ацилнафтолов [1], все нитронафтолы обладают заметно повышенным значением момента (в бензоле) сравнительно с таковым у соответствующих дизамещенных бензола. Положительное значение  $\Delta\mu = \mu_{C_{10}H_7NO} - \mu_{C_{10}H_8}$  имеет место и у метиловых эфиров 2-нитро-1-нафтола и 1-нитро-4-нафтола. Исключением является лишь метиловый эфир 1-нитро-2-нафтола, у которого указанное  $\Delta\mu$ , как и эфиров *o*-ацилнафтолов, наоборот, отрицательно. Таким образом наличие более значительного сопряжения групп через нафталиновое, чем через бензольное кольцо вследствие более высокой степени двоевязности  $C_1$ — $C_2$  и  $C_3$ — $C_4$  связей доказывается и данными для дипольных моментов нитронафтолов и их эфиров. Именно этим, по существу, объясняют и другие особенности нитронафтолов сравнительно с нитрофенолами, например, различие в константах диссоциации [10]. Неподчинение этой закономерности некоторых *o*-метоксисоединений вызвано, по-видимому, наложением более значительного, чем у соответствующих замещенных бензола, стерического эффекта.

Особенности поведения изомерных 1,2- и 2,1-дизамещенных нафталинов остаются неясными. С одной стороны, для 1,2- и 2,1-нитронафталинов установлены существенные различия в значениях моментов (4,47 и 4,89 D) [1] и частот колебания N—H группы [12]; установлены различия рассматриваемых изомерных соединений и в части их химического поведения и спектров поглощения в ближнем ультрафиолете [13]. Эти различия часто связывают со стерическим эффектом атома водорода у  $C_8$  и с различной степенью прочности внутримолекулярной водородной связи или даже наличием такого рода связи лишь у одного из изомеров [11, 12]. С другой, — 1,2- и 2,1-нитрозо-нафтолов значения дипольных моментов почти совпадают [7]; лишь незначительно различаются и частоты колебания нитро- и гидроксильной групп у 1,2- и 2,1-нитронафтолов [14], карбонильной группы у 1,2- и 2,1-ацетил-, формил- и карбметоксинафтолов [15]. Полученные нами значения моментов 1,2- и 2,1-нитронафтолов как в бензоле, так и в диоксане, несмотря на существенное различие в моментах исходных нитронафталинов [16], оказались почти идентичными. Подтверждает и идентичность значений моментов у 1,2- и 2,1-нитрозо-нафтолов. Однако у метиловых эфиров 1,2- и 2,1-нитро- и нитрозо-нафтолов дипольные моменты заметно различаются (на 0,4—0,5 D). По-видимому, особенности рассматриваемых изомерных соединений определяются не только положением, но и природой функциональных групп. Совпадение значений физических свойств молекул в основном состоянии, возможно, является результатом того, что различия в условиях проявления стерических эффектов соседних атомов водорода и индуктивного взаимодействия групп или не сказываются заметно на свойствах молекул, или компенсируются разницей индекса валентности и степени двоевязности  $C_{ar}$ —X или  $C_{ar}$ —Y связи, зависящей и от природы X и Y. Следует также отметить, что наблюдающиеся различия в химическом поведении и спектрах поглощения рассматриваемых изомеров могут быть вызваны разницей в свойствах молекул не в основном, а в возбужденном или активном состояниях.

О строении молекул нитрозо-нафтолов и нитрофенолов высказывались различные соображения, главным образом на основании таких их свойств, как спектры поглощения, потенциалы восстановления и другие химические свойства. При этом по одним данным предполагалось, что 1,2-нитрозо-нафтолы, 1,2- и 2,1- или только 2,1-нитрозо-нафтолы обладают внутримолекулярной водородной связью [17], по другим, что эти соединения являются частью оксимами в отличие от 1,4-нитрозо-нафтола — настоящего фено-

8]. Некоторые считают, что и у 1,4-нитрозофенола и 1,4-нитрозонафтаола более предпочтительно хиноноксимальное строение [19]. О строении молекул в основном состоянии следует судить и по данным для их физических свойств, характеризующих это состояние. Как указывалось, данные для дипольных моментов нитрозофенолов и их метиловых эфиров позволяют сделать вывод об отсутствии как у 1,2-, так и у 2,1-нитрозофенолов в изоле и диоксане внутримолекулярной водородной связи. Нормальное превышение дипольного момента у 1,4-нитрозофенола (как это наблюдается и для *p*-нитрофенола) над рассчитанным при условии свободного вращения невзаимодействующих групп, как и нормальное снижение момента его при переходе к эфиру позволяют предположить о том, что в изученных растворителях его молекулы имеют главным образом фенольное, а не хиноноксимальное строение. Приведенные выше особенности моментов 1,2- и 2,1-нитрозофенолов (нормальное, особенно у первого, снижение момента при образовании эфира, близость рассчитанного момента таковому для *транс*-формы и другие) могут быть удовлетворительно объяснены при предположении, что их молекулы в изученных растворителях имеют строение нитрозофенолов, а не хинонимнооксимальных. В пользу этой точки зрения свидетельствует и то, что их момент заметно понижен ( $\sim 2D$ ) сравнительно с рассчитанным для ортохинонимнооксимального (6,31D). При расчете были приняты следующие значения моментов связей:  $C \equiv N - 4,11 D$  (на основании данных для изонитрилов),  $N-O - 1,35 D$  (на основании данных для нитритов);  $O-C - 1,12$ ;  $O-H - 1,6$  и  $C=O - 2,7 D$ ;  $\angle O-H - 110^\circ$ .

### Выводы

1. Определены значения дипольных моментов в бензоле и диоксане у 1,2- и 1,4-нитро- и нитрозофенолов и их метиловых эфиров.
2. Значения дипольных моментов указанных соединений свидетельствуют о наличии у 1,2- и 2,1-нитрофенолов внутримолекулярной водородной связи и отсутствии ее у 1,2- и 2,1-нитрозофенолов.
3. Данные для дипольных моментов нитрофенолов и их метиловых эфиров подтверждают рост при отсутствии наложения значительного стericкого эффекта степени сопряжения групп у замещенных нафталинов сравнительно с таковым у соответствующих замещенных бензолов.
4. В бензоле по данным дипольных моментов 1,4-нитрофенол имеет главным образом фенольную структуру; такую же, а не хинонимнооксимальную, имеют, по-видимому, и 1,2- и 2,1-нитрозофенолы.

Политехнический институт  
им. В. И. Ленина  
Харьков

Поступила  
26.II.1958

### ЛИТЕРАТУРА

- А. Е. Луцкий, Л. А. Кочергина, Ж. физ. химии, **33**, 174, 1959.  
F. Reverdin, Ber., **27**, 3459, 1894; F. Reverdin, H. Kaufmann, Ber., **28**, 3049, 1895; E. Grandmougin, O. Michael, Ber., **25**, 973, 1892;  
R. Warme, Ber., **15**, 1814, 1882; K. Henriques, M. Ilinski, Ber., **18**, 706, 1885; M. Ilinski, Ber., **17**, 2585, 1884; K. Hess, H. Frahm, Ber., **71**, 2627, 1938.  
Л. А. Кочергина, Дипольные моменты некоторых замещенных фенолов. Диссертация, гл. I, 1959, Б-ка Харьковск. политех. ин-та.  
G. Nedestrand, Z. phys. Chem. B., **2**, 428, 1929.  
O. Fuchs, Z. phys. Chem., B., **14**, 339, 1931.  
A. Eucken, L. Mayer, Phys. Z., **30**, 397, 1929.  
K. Higashi, Bull. Inst. phys. Chem. Res. Tokyo, **11**, 729, 1932.  
А. Е. Луцкий, Ж. физ. химии, **23**, 361, 1949; А. Е. Луцкий, В. В. Дорофеев, Ж. физ. химии, **33**, 331, 1959; А. Е. Луцкий, Б. П. Кондратенко, Ж. физ. химии, **33**, 2073, 1959.  
П. Паулинг, Природа химической связи, Госхимиздат, 1947, стр. 320.  
K. Schreiber, M. Kennedy, J. Amer. Chem. Soc., **78**, 153, 1956.

11. В. П. Васильев, Я. К. Сыркин, *Acta phys. chim. URSS*, 14, 414, 1941; *Ж. физ. химии*, 12, 153, 1938.
12. D. Hathway, M. Flett, *Trans. Faraday Soc.*, 45, 818, 1949; Г. Ватсон, *Успехи химии*, 9, 916, 1940; H. Chaplin, L. Hunter, *J. Chem. Soc.*, 375, 1034, 1938.
13. W. Baker, G. Caruther, *J. Chem. Soc.*, 479, 1937; R. Arnold, J. Sprung, *J. Amer. Chem. Soc.*, 60, 1163, 1938; N. Melchior, *J. Amer. Chem. Soc.*, 71, 3647, 1949; M. Padhye, N. Rao, K. Venkataraman *Proc. Indian Acad. Sci., A*, 38, 297, 1953.
14. H. Lüther, H. Gänzler, *Z. Naturforsch.*, b 10, 445, 1955.
15. J. Hunsberger, *J. Amer. Chem. Soc.*, 72, 5626, 1950.
16. В. П. Васильев, Я. К. Сыркин, *Ж. физ. химии*, 15, 254, 1941.
17. H. Hodson, W. Battu, *J. Chem. Soc.*, 1617, 1935; А. Е. Луцкий. Диссертация, 1949, стр. 356; L. Holleck, H. Marsen, H. Exner *Z. Naturforsch.*, в 9, 90, 1954; A. Schara, A. Kraayeveld, E. Havinga *Rec.*, 74, 1243, 1955; D. Hadji, *J. Chem. Soc.*, 2725, 1956.
18. В. Хиккинботтом, *Реакции органических соединений*, Гонтл, Москва, 1939, стр. 132—133; E. Baltazzi, *C. R.*, 232, 986, 1951; Н. Н. Ворожцов, *Основы синтеза промежуточных продуктов и красителей*, Госхимиздат, 1955, стр. 164—165, 169; В. Хюккель, *Теоретические основы органической химии*, ИИЛ, 1955, т. 1, стр. 244.
19. H. Jaféé, *J. Amer. Chem. Soc.*, 77, 4448, 1955; E. Hertel, F. Lebeck *Z. phys. Chem.*, B. 47, 313, 1940.
20. E. Cowley, J. Partington, *J. Chem. Soc.*, 1255, 1933.

## INTRAMOLECULAR HYDROGEN BOND AND THE DIPOLE MOMENTS OF ORGANIC COMPOUNDS

*A. E. Lutskiĭ and L. A. Kochergina*

(Kharkov)

### Summary

The values for the dipole moments of 1,2-, 2,1- and 1,4-nitro- and nitrosonaphthol and of their methyl esters show that: a) In 1,2- and 2,1-nitronaphthols there is a intramolecular hydrogen bond, whereas the latter is absent in 1,2 and 2,1-nitrosonaphthols; b) The presence of the second benzene ring in naphthalene marked by increases the degree of conjugation of the groups. c) Benzene solution 1,4- and evidently 1,2- and 2,1-nitrosonaphthol molecules have a phenol structure.



К ВОПРОСУ ОБ АДСОРБЦИОННОЙ СПОСОБНОСТИ ЕДИНИЦЫ  
ПОВЕРХНОСТИ КВАРЦА

М. М. Егоров, В. Ф. Киселев и К. Г. Красильников

Ранее при исследовании адсорбционных свойств силикагелей [1—4] было показано, что степень гидратации и соответственно адсорбционные свойства единицы поверхности образцов при одинаковых условиях их подготовки различны. Поскольку количество ОН-групп определяется углом свободных углов тетраэдров  $\text{SiO}_4$ , выступающих на поверхность слета силикагеля, предполагалось [2—4], что обнаруженное различие степени гидратации поверхности, по-видимому, связано с характером упаковки тетраэдров на поверхности частиц силикагеля в зависимости от условий его получения. В связи с этим представлялось интересным провести сравнение адсорбционных свойств образцов аморфного кремнезема различного происхождения (силикагели и кварцевое стекло) и его кристаллических модификаций, прежде всего кварца, обладающего наиболее плотной упаковкой кремнийкислородных тетраэдров.

В работе использовались порошки, полученные путем размолва образца кристаллического кварца и прозрачного кварцевого стекла в стальной вибромельнице \*. Целью выяснения влияния среды, в которой происходит образование новой поверхности, на ее адсорбционные свойства помол образцов производился как в сухом состоянии, так и с добавками воды (см. таблицу). Полученные порошки обрабатывались для растворения намолва железа. Весьма эффективная очистка тонких порошков кварца и кварцевого стекла достигалась путем пропускания водных суспензий, содержащих хлорное железо, через колонку, заполненную катионитовой смолой [5] до отсутствия реакции на железо. Избыток  $\text{HCl}$  удалялся многократным выпариванием порошка, предварительно смоченного водой, с последующей сушкой его при  $200^\circ$ . Подготовленные порошки до выполнения опытов в течение нескольких месяцев хранились во влажном состоянии. Измерение адсорбции паров воды и содержания структурной воды на образце Кв-2 проводилось весовым методом. Все измерения на остальных образцах были выполнены объемным методом. Удельная поверхность образцов определялась по БЭТ из изотерм адсорбции паров азота.

На рис. 1 представлены результаты измерений адсорбции паров воды на всех образцах. Как видно из рис. 1, для образца Кв-2 изотерма десорбции и вторичной адсорбции совпадают, т. е. такая изотерма является образцовой \*\*. Полученная при этом величина необратимой адсорбции ( $4,0 \text{ моль/м}^2$ ) значительно выше, чем в случае силикагелей [3]. Термическая обработка кремнезема перед адсорбционными измерениями проводится обычно главным образом с целью удаления адсорбированной воды. В настоящее время нет еще достаточно убедительных данных, позволяющих определить условия, при которых удаляется лишь адсорбированная вода, не затрагиваясь гидроксильные группы поверхности. В большинстве работ, посвященных исследованию поверхностных свойств кремнезема, такая обработка производится путем эвакуации образца при температурах  $100\text{—}300^\circ$ . Если принять согласно [6], что вода на поверхности кремнезема может связываться с координационно-ненасыщенными атомами кремния и что энергия такой связи больше, чем связи с гидроксилами

\* Авторы выражают благодарность Л. А. Фейгину за проведение вибромолола образцов.

\*\* Для остальных образцов приведены только обратимые ветви изотерм.

поверхности [7], то необратимую сорбцию воды, в особенности для образцов, обработанных при сравнительно невысоких температурах, в значительной мере можно отнести за счет такой координационной связи. С другой стороны, очевидно, что обратимая адсорбция воды в этом случае происходит на поверхности, содержащей как гидроксильные группы, так и координационно-связанную воду. Сопоставление изотерм, приведенных на рис. 1, показывает, что адсорбционная способность кварца зависит от условий, в которых проводилось дробление образца. Изотермы на образцах, полученных сухим помолом или с малой добавкой воды, лежа-

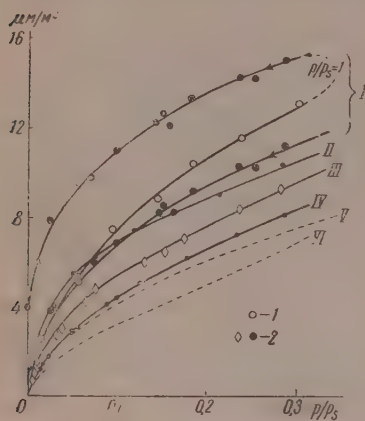


Рис. 1

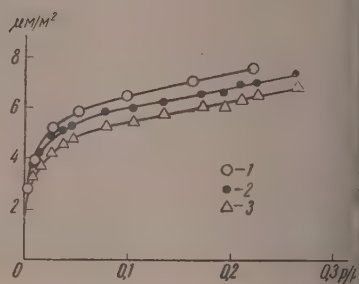


Рис. 2

Рис. 1. Изотермы: 1 — адсорбции; 2 — десорбции и вторичной адсорбции паров воды на образцах кварца: I — Кв-2; II — Кв-1; III — КС-1; IV — Кв-3 и силикагелем V — КСК-1; VI — К-2.

Рис. 2. Изотермы адсорбции паров метанола: 1 — на образце кварца Кв-2 и силикагелей; 2 — КСК-1; 3 — К-2.

значительно выше, чем изотерма на образце, полученном мокрым помолом. Такой же ход имеет место и в величинах степени гидратации (см. таблицу). Для всех изученных в [3] силикагелей адсорбционная способность по отношению к парам метанола оказывается выше, чем для паров воды в случае образца кварца Кв-2 имеет место обратное отношение (рис. 2). Последнее можно было бы объяснить наличием ультрапористости в исходном образце кварца. Однако значительное различие в адсорбционных свойствах поверхности порошков, полученных из одного и того же образца кварца, не подтверждает этого предположения. Таким образом условия помола кварца могут оказать существенное влияние не только на дисперсность полученных порошков, но и на их адсорбционные свойства, что сих пор не учитывалось. Одна из причин этого явления лежит, по-видимому, в том, что при дроблении кварца на поверхностях раскола возникают ненасыщенные связи, за счет которых в процессе сухого помола происходит сращивание частиц. Тонкие зазоры, образовавшиеся между слипшимися частицами, могут оказаться доступными для молекул воды, но не доступными для молекул метанола, а также и азота, имеющего близкий к метанолу молярный объем. Тогда удельная поверхность образцов Кв-1, Кв-2, определенная из изотерм адсорбции азота, будет заниженной, а истинные значения удельных величин степени гидратации, адсорбции паров воды и теплот смачивания водой ( $296 \text{ эрг/см}^2$ ) [4] для этих образцов будут меньше приведенных на рис. 1 и в таблице. В связи с этим следует отметить, что отношение теплоты смачивания к количеству структурной воды, которое не зависит от величины удельной поверхности, при этом все же оста-

ке, чем для силикагелей и не укладывается в ранее найденную зависимость между этими величинами [1]. Таким образом сделанное в работе [4] предположение об относительном понижении энергетических свойств поверхности исследованного образца кварца остается в силе. Из рис. 1 следует, что обратимая изотерма адсорбции паров воды на образце Кв-3 мокрого помола, когда слипания частиц во время помола, по-видимому, не происходит, лежит лишь немного выше изотермы на наиболее гидратированном силикагеле КСК-1, а величина адсорбции воды соответствует найденной ранее [3] зависимости между адсорбцией паров воды при  $p = 0,1$  и степенью гидратации поверхности, в отличие от измерений образцах сухого помола.

Адсорбционные характеристики примененных образцов

Образец	Удельная поверхность, $\text{м}^2/\text{г}$	Общее содержание структурной воды *, $\mu\text{моль}/\text{м}^2$	Условия измельчения
Кварц			
Образец Кв-1	8,3	14,7	Сухой помол
» Кв-2	35,8	19,7	С добавкой 1% воды
» Кв-3	50,8	6,5	С избытком воды
Кварцевое стекло			
Образец КС-1	41,1	10,1	С избытком воды
Силикагели			
Образец КСК-1	275	5,16	
» К-2	695	3,5	

\* После обработки водой и откочки при  $20^\circ$ .

Из сравнения изотерм адсорбции паров воды на образцах кристаллического кварца Кв-3 и кварцевого стекла КС-1 (рис. 1), полученных при одинаковых условиях помола, видно, что удельная изотерма на изотропном кварцевом стекле лежит выше, чем на кристаллическом кварце. Указанное различие, очевидно, связано с различной упаковкой тетраэдров на поверхности этих модификаций кремнезема. В работе [8], где впервые были сделаны детальные расчеты степени гидратации поверхности кварца по его кристаллографическим сечениям, авторы указывали, что использовать эти данные для порошков кварца затруднительно, поскольку в этом случае неизвестно распределение поверхности частиц по их кристаллографическим сечениям. Используя данные [8] и считая, что раскол кварца идет преимущественно по плоскостям спайности, автор работы [9] пришел к тому, что на  $1 \text{ м}^2$  поверхности кварца содержится  $8,2 \mu\text{моль}$  ОН-групп. Проверив эти расчеты и допуская, что доля различных поверхностей в общей поверхности частиц порошка соответствует их отношению для элементарной ячейки кварца, расколотой по ромбоэдру, авторы [10] определили содержание ОН-групп в  $12,8 \mu\text{моль}/\text{м}^2$ . Таким образом из рассмотренных кристаллографических сечений кварца можно лишь составить предположение о верхнем пределе содержания ОН-групп на поверхности. С другой стороны, согласно [6] при дроблении кварца имеет место деструкция поверхностного слоя, что заставляет еще с большей осторожностью относиться к данным по гидратации поверхности, полученным из рассмотренных его кристаллографических сечений.

Результаты настоящей работы не подтверждают точку зрения А. В. Киселева [11, 12] об одинаковых адсорбционных свойствах кристаллического



го и аморфного кремнезема, основанную на совпадении абсолютных изотерм адсорбции на кварце, кварцевом стекле и силикагеле [11], степеней гидратации поверхности которых не определялась.

Авторы выражают благодарность К. В. Чмутову за поддержку этой работы.

### Выводы

1. Адсорбционные свойства кварца зависят от условий, в которых производилось его дробление.

2. При одинаковых условиях дробления и последующей подготовки образцов кристаллического кварца и кварцевого стекла их адсорбционные свойства различны.

Московский государственный  
университет им. М. В. Ломоносова

Поступила  
26.II.1958

### ЛИТЕРАТУРА

1. М. М. Егоров, К. Г. Красильников, Е. А. Сысоев, Док. АН СССР, 108, 103, 1956.
2. М. М. Егоров, К. Г. Красильников, В. Ф. Киселев, Изв. АН СССР, физ. химии, 32, 2448, 1958.
3. М. М. Егоров, Т. С. Егорова, В. Ф. Киселев, К. Г. Красильников, Ж. физ. химии, 32, 2624, 1958.
4. М. М. Егоров, В. Ф. Киселев, К. Г. Красильников, В. В. Мурина, Ж. физ. химии, 33, 65, 1959.
5. К. В. Чмутов, О. Г. Ларионов, Коллоидн. ж., 19, 396, 1957.
6. W. A. Weil, Structure and Properties of Solid Surfaces, R. Gomer, Chicago, 1953, стр. 147.
7. А. Н. Сидоров, Ж. физ. химии, 30, 995, 1956.
8. H. Seifert, R. Buhl, K. E. Seifert, Kolloid-Z., 141, 146, 1944.
9. W. Stöber, Kolloid-Z., 145, 17, 1956.
10. С. П. Жданов, А. В. Киселев, Ж. физ. химии, 31, 2213, 1957.
11. А. В. Киселев, Сборник «Поверхностные химические соединения и их роль в явлениях адсорбции», Изд-во МГУ, 1957.
12. А. В. Киселев, Г. Г. Муттик, Коллоидн. ж., 19, 562, 1957.

### ADSORPTION CAPACITY OF UNIT SURFACE OF QUARTZ

*M. M. Egorov, V. F. Kiselev and K. G. Krasilnikov (Moscow)*

### Summary

The adsorption properties of quartz depend upon the conditions of its disintegration. For similar conditions of disintegration and of subsequent preparation of specimens of crystalline quartz and quartz glass their adsorption properties are different.

## ДИНАМИЧЕСКИЙ МЕТОД ИЗМЕРЕНИЯ ЕМКОСТИ ЭЛЕКТРОДОВ И ЕГО ПРИМЕНЕНИЕ ДЛЯ ОПРЕДЕЛЕНИЯ ПОТЕНЦИАЛОВ НУЛЕВОГО ЗАРЯДА

А. М. Сухотин и К. М. Карташова

Основным методом определения потенциалов нулевого заряда является изучение дифференциальной емкости двойного электрического слоя электродов. Для измерения дифференциальной емкости существует ряд методов. Наиболее удобными и чаще всего применяемыми являются измерения при помощи мостов переменного тока. Однако применимость существующих методов ограничена металлами, имеющими очень чистую поверхность. общего способа изучения строения двойного слоя электродов, покрытых кислами или другими адсорбционными пленками, не существует. При исследовании зависимости емкости  $C$  таких электродов от потенциала обычными статическими методами изменение потенциала сопровождается изменением величины и характера адсорбции поверхностно-активных веществ, что делает невозможным получение кривой  $C - \varphi$ , относящейся какому-то определенному, неизменному состоянию поверхности. Этим объясняется практически полное отсутствие сведений о потенциалах нулевого заряда окисленных металлов, затрудняющее использование этой электрохимической характеристики при решении практически важных проблем (ингибирование коррозии в реальных условиях, изучение анодных процессов электролиза и других).

Описываемый ниже способ основан на снятии кривой  $C - \varphi$  за такое короткое время, в течение которого сравнительно медленные процессы адсорбции и десорбции кислорода и других прочно адсорбированных молекул не успевают протекать в заметной степени. Измениться за это время спевает только ионный двойной слой в растворе. Поэтому кривая  $C - \varphi$ , снятая таким путем, позволяет судить о строении двойного слоя и, в частности, о положении точки нулевого заряда при вполне определенном состоянии поверхности, определяемом исходным потенциалом, при котором установилось адсорбционное равновесие.

На рис. 1 приведена схема, поясняющая принцип, положенный в основу метода измерений. При помощи шлейфов  $III_0$  и  $III_x$  можно на одну и ту же пленку записать зависимость мгновенных значений тока в обоих ветвях от времени. Пример такой записи приведен на рис. 2. зная величину тока  $i_0$ , текущего через эталонное сопротивление, можно рассчитать напряжение  $U_0$  между точками  $a$  и  $b$ , при помощи которого легко найти комплексное сопротивление (импеданс) правой ветви (рис. 1):

$$Z_x = \frac{U_0}{I_x}. \quad (1)$$

Кроме того, из осциллограммы рис. 2 можно определить угол сдвиг фаз  $\theta$  между токами  $i_x$  и  $i_0$  и, следовательно, между током  $i_x$  и напряжением  $U_0$ \*

$$\theta = 360 \frac{\Delta t}{T}. \quad (2)$$

\* Сдвиг синусоид  $\Delta t$  (рис. 2) точнее и удобнее определять не по смещению максимумов, а как расстояние между средними точками соседних ветвей обеих синусоид.

Из теории переменных токов известно, что угол  $\theta$  и импеданс  $Z_x$  связаны с  $C_x$  и  $R_x$  следующим образом:

$$Z_x = \frac{1}{\sqrt{\frac{1}{R_x^2} + \omega^2 C_x^2}}; \quad \operatorname{tg} \theta = -R_x \omega C_x, \quad (3)$$

где  $\omega = 2\pi f$  ( $f$  — частота переменного тока в герцах).

Уравнения (3) позволяют вычислить значения  $C_x$  и  $R_x$  для любого момента времени опыта.

Схема установки, основанной на таком принципе, приведена на рис. 3.

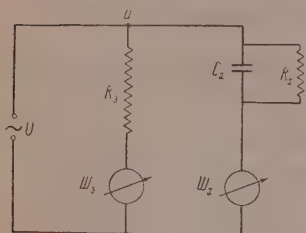


Рис. 1

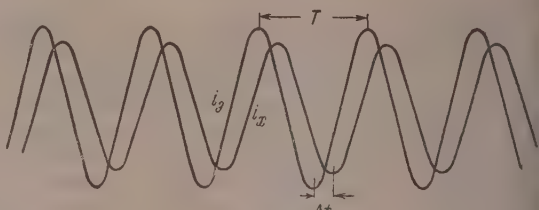


Рис. 2

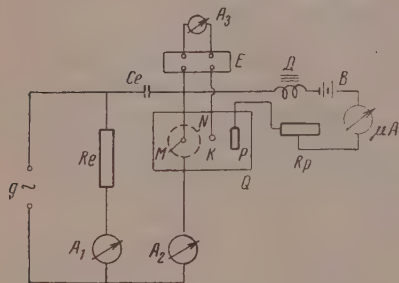


Рис. 3

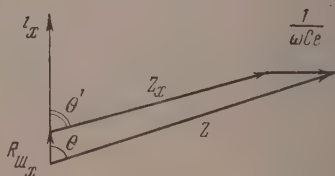


Рис. 4

Рис. 1. Принципиальная схема, поясняющая динамический метод измерений емкости и поляризационного сопротивления электродов (первый вариант):  $C_x$  и  $R_x$  — искомые емкость и поляризационное сопротивление электрода;  $R_0$  — эталонное активное сопротивление;  $W_0$  и  $W_x$  — шлейфы магнитоэлектрического осциллографа;  $U$  — генератор переменного тока

Рис. 2. Пример записи рабочего и эталонного токов на осциллограмме

Рис. 3. Схема установки для измерения импеданса электродов динамическим методом

Рис. 4. Пример определения  $\theta'$  и  $Z_x$  при помощи векторной диаграммы (первый вариант)

Переменный ток от генератора  $g$  (типа 3Г-10) проходил через эталонное сопротивление  $R_0$  и через ячейку  $Q$ . В цепь переменного тока включены изучаемый электрод  $M$  и вспомогательный платиновый электрод  $N$ , изготовленный в виде цилиндра, покрытого платиновой чернью;  $A_1$  и  $A_2$  — шлейфы осциллографа МПО-2, соответствующие шлейфам  $W_0$  и  $W_x$  рис. 1. Разность потенциалов между изучаемым и каломельным  $K$  электродами записывалась на пленку осциллографа шлейфом  $A_3$ , перед которым включался усилитель постоянного тока  $E$ . Для поляризации электрода  $M$  постоянным током служил вспомогательный платиновый электрод  $P$ , батарея  $B$ , переменное сопротивление  $R_p$  и микроамперметр. Дроссель  $D$ , емкость  $C_e$  (10—50  $\mu F$ ) служили для разделения



пей переменного и постоянного тока. Измерения расстояний на осциллограммах производились при помощи инструментального микроскопа с точностью 0,005 мм.

В приведенном выше способе расчета значений  $C_x$  и  $R_x$  не приняты внимание емкость  $C_e$  и сопротивления шлейфа  $A_2$ . Необходимость учета этих величин делает более удобным графический способ расчета  $C_x$  и  $R_x$  при помощи векторной диаграммы. В качестве примера рассмотрим результат, полученный для пассивного железа в 1 N  $H_2SO_4$  при  $\varphi = 0,7$  V.

В этом опыте эталонное сопротивление было равно  $R_0 = 30,0 \Omega$ , сопротивление шлейфа  $A_1 = 5,0 \Omega$ ,  $A_2 = 5,0 \Omega$ ,  $C_e = 45 \mu F$ , сопротивлением электролита можно было пренебречь. Частота переменного тока была равна 400 гц, поверхность электрода составляла  $5 \text{ см}^2$ . На основании измерения амплитуд, периода и сдвига синусоид получены следующие данные:

$$i_0 = 1,89 \text{ mA}; i_x = 1,46 \text{ mA}; T = 12,60 \text{ мс};$$

$$\Delta t = 2,52 \text{ мс}; U_0 = i_0 (R_0 + R_{ш_0}) = 65,2 \text{ мВ},$$

позволяющие определить угол сдвига фаз между током и напряжением  $\theta = 72^\circ$  и общий импеданс левой ветви цепи (рис. 1 и 2)  $Z = U_0/i_x = 45,3 \Omega$ . Импеданс электрода  $Z_x$  и соответствующий сдвиг фаз найдем из векторной диаграммы (рис. 4), считая активное сопротивление  $R_{ш_x}$  и реактивное слагаемое  $1/\omega C_e$ :  $Z_x = 35,2 \Omega$ ,  $\theta' = 75^\circ$ . Теперь при помощи уравнений (3) можно найти  $C_e = 22 \mu F$  и  $R_x = 136 \Omega$  или, переходя к удельным величинам,  $C_x = 44 \mu F/\text{см}^2$  и  $R_x = 68 \Omega/\text{см}^2$ .

Скорость движения ленты осциллографа, частота переменного тока и скорость изменения потенциала должны быть выбраны так, чтобы опыт мог быть зарегистрирован на пленку длиной 2—5 м и чтобы одному периоду переменного тока на пленке отвечала длина не менее 1 см. Второго ограничения можно было бы избежать, применяя так называемый метод двух амперметров ([1], стр. 79). По этому методу сдвиг фаз не измеряется по сдвигу синусоид, а рассчитывается из амплитуд токов в обеих ветвях в неразветвленной части цепи (рис. 1). Включив большое сопротивление, можно добиться независимости тока в неразветвленной части цепи от импеданса ячейки. Величину тока можно измерить отдельно в статических условиях. Задача опыта тогда сведется к получению амплитуд  $i_0$  и  $i_x$ , причем частота тока может быть выбрана вне связи со скоростью движения ленты. Этот метод в принципе позволяет применять сравнительно высокие частоты, однако опытная проверка и теоретическая оценка влияния погрешностей измерений на конечный результат показывает, что он значительно уступает в точности первому методу и не может быть использован для определения  $C_x$ , когда реактивное сопротивление электрода значительно превышает активное.

Описанный выше метод удобен для изучения импеданса электродов в растворах значительных концентраций. При малых концентрациях сопротивление раствора возрастает, что приводит к снижению точности и даже к полной невозможности вычисления  $C_x$  и  $R_x$ . Для таких случаев разработан второй вариант методики, принцип которого пояснен рисунком 5\*. В этом варианте эталонное сопротивление  $R_0$  включается последовательно с ячейкой. Шлейфы  $Ш_x$  и  $Ш_0$ , перед которыми ставятся усилители  $E_1$  и  $E_2$ , фиксируют на осциллограмму мгновенные значения па-

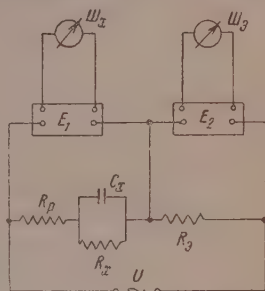


Рис. 5. Второй вариант динамического метода измерения  $C_x$  и  $R_x$ . Принципиальная схема

\* На таком же принципе Н. Гнусным ранее был разработан статический метод измерений импеданса электродов при помощи катодного вольтметра [2].

дений напряжения на ячейке и на сопротивлении  $R_0$ ;  $C_x$  и  $R_x$  — емкости и поляризационное сопротивление электрода,  $R_p$  — сопротивление раствора электролита.

Силу тока  $i$ , текущего через ячейку, легко найти, зная падение напряжения  $U_0$  на эталонном сопротивлении. Напряжение  $U_0$  совпадает по фазе с током. Поэтому сдвиг синусоид, записываемых обоими шлейфами отвечает сдвигу фаз между током и напряжением на ячейке  $U_{яч}$ . Зная угол сдвига фаз  $\theta$ , импеданс ячейки  $Z = U_{яч}/i$  и сопротивление раствора, можно при помощи векторной диаграммы (рис. 6) определить сдвиг фаз и импеданс электрода ( $\theta'$  и  $Z_x$ ) и по уравнениям (3) рассчитать  $C_x$ .

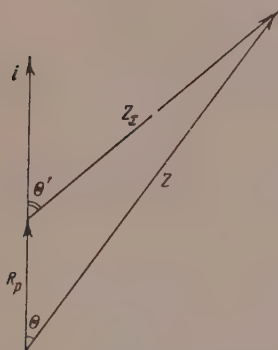


Рис. 6. Векторная диаграмма для нахождения  $\theta'$  и  $Z_x$  по второму варианту

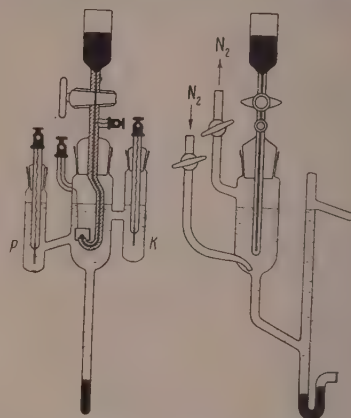


Рис. 7. Схема ячейки для определения емкости и поляризационного сопротивления ртутного капельного электрода

и  $R_x$ . Емкость разделительного конденсатора ( $C_e = 1 \mu F$ ), включаемого между генератором и ячейкой, в этом случае учитывать нет необходимости.

Этот метод можно применять для изучения электродов, погруженных в очень слабые растворы, что особенно важно при определении потенциалов нулевого заряда. В этом случае поверхность электрода и частота переменного тока должны быть достаточно малыми, чтобы импеданс электрода по величине был сравним с сопротивлением раствора. Амплитуда падения напряжения на границе металл — раствор при этом обычно не превышает 20 мВ.

Оба варианта методики были испытаны путем измерения эталонных комплексных сопротивлений, составленных из магазинов емкостей и сопротивлений, и показали такую же точность, как и обычный метод измерений с помощью моста Вина.

Первый вариант методики использован для изучения пассивного железного электрода в 1 N  $H_2SO_4$ . Результаты этого исследования будут изложены нами в следующей статье.

С целью выяснения пригодности второго варианта для определения потенциалов нулевого заряда была изучена зависимость емкости ртутного капельного электрода от потенциала в растворе  $3 \cdot 10^{-3}$  N KCl. Измерительная ячейка схематически изображена на рис. 7 (в двух проекциях). Ртутная капля лежит на срезе толстостенного капилляра. Вспомогательным электродом служит платинированный платиновый цилиндр диаметром 4 мм. Поляризующий электрод  $P$  и хлорсеребряный электрод  $K$  вынесены в отдельные пространства. Перед опытом через электролит длительно пропускался очищенный от кислорода азот. Потенциал ртутной капли в

чале опыта устанавливался близким к  $-1,0$  V. Вскоре после начала пили синхронизирующее реле осциллографа автоматически выключало дризирующий ток, и потенциал ртути самопроизвольно в течение  $\sim 20$  сек. ещался до  $0,05-0,10$  V. За это время на пленку осциллографа записы- лись обе синусоиды и линия потенциала. Частота переменного тока была вна 25 гц. Результаты опытов удовлетворительно воспроизводились. ичный пример полученной зависимости емкости от потенциала приве- н на рис. 8. Как положение минимума, точно отвечающего потенциалу

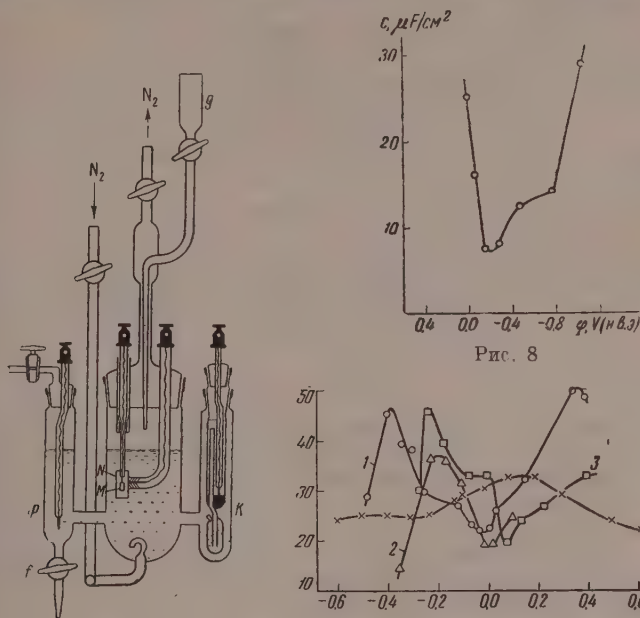


Рис. 9

Рис. 8

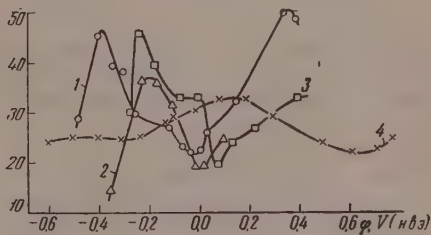


Рис. 10

Рис. 8. Зависимость дифференциальной емкости от потенциала для ртутного капельного электрода в растворе  $3 \cdot 10^{-3} N$  KCl

Рис. 9. Ячейка для измерения емкости и поляризационного сопротивления твердых электродов

Рис. 10. Зависимость дифференциальной емкости электрода из стали 1X25 от потенциала в  $10^{-3} N$   $HClO_4$ , полученная динамическим методом. Значения исходных потенциалов: 1 —  $\varphi_{исх} = -0,49$  V, 2 —  $\varphi_{исх} = -0,36$  V, 3 —  $\varphi_{исх} = +0,38$  V, 4 — получена статическим методом

левого заряда ртути ( $\varphi_0 = -0,20$  V), так и другие особенности кривой  $\varphi$  вполне соответствуют известным литературным данным [3].

Разработанный метод был применен для определения потенциала нулевого заряда хромистой стали 1X25 в  $10^{-3} N$   $HClO_4$ . Эта сталь представляет собой твердый раствор хрома в  $\alpha$ -железе и содержит 25% Cr.

На рис. 9 изображена схема измерительной ячейки. Стальной электрод  $M$  изготавливался в виде цилиндрика диаметром 1,1 мм и высотой 1 мм. В торцевой части его высверливалось небольшое углубление, куда зачеканивался конец платиновой проволоки, имевший диаметр 0,1 мм. Платиновую проволоку надевался стеклянный капилляр, доходивший до платинированной платиновой фольги;  $K$  — каломельный электрод, — электрод для поляризации постоянным током. При помощи отвода крана  $f$  можно было осуществлять проток электролита.



Кислород из раствора перед опытом вытеснялся путем длительного пропускания очищенного азота. Нужно исходное значение потенциала электрода выдерживалось постоянным в течение часа. За это время на поверхности металла образовывалась равновесная в данных условиях пассивирующая пленка. После этого опыт проводился так же, как и в случае ртутного электрода.

На рис. 10 показаны результаты трех опытов, отвечающих исходным потенциалам — 0,49, — 0,36 и — 0,38 В. Потенциалы нулевого заряда, отвечающие минимумам на этих кривых, равны — 0,04; 0,00 и — 0,07 В.

Кривые, изображенные на рис. 10, приведены главным образом для иллюстрации возможностей описанного выше метода измерений. Они, конечно, недостаточны для выявления зависимости потенциала нулевого заряда изучаемой стали от состояния ее поверхности. Следует отметить, что форма кривых  $C - q$  в значительной степени зависит от длительности выдержки электрода при исходном потенциале и от скорости съемки осциллограмм. Только после тщательного изучения влияния этих факторов можно будет получить данные, однозначно характеризующие исследуемую зависимость.

Преимущества динамического метода отчетливо выступают при сравнении полученных результатов с кривой  $\delta$  (рис. 10), снятой обычным статическим методом при помощи импедансного моста. Кривая  $\delta$ , как и следовало ожидать, не позволяет судить о строении двойного слоя на электроде.

### Выводы

1. Разработаны два варианта динамического метода измерения дифференциальной емкости и поляризационного сопротивления электродов. Один вариант пригоден для изучения электродов, находящихся в сравнительно концентрированных растворах, другой — для случая слабых растворов. Метод позволяет снимать кривую  $C - \varphi$  за очень короткое время, в течение которого не успевают существенно сместиться хемосорбционные равновесия. Метод пригоден для изучения электродов, покрытых окисными и другими адсорбционными пленками.

2. Пригодность динамического метода для определения потенциалов нулевого заряда показала на примере ртутного электрода в растворе  $3 \cdot 10^{-3} N KCl$  и электрода из стали 1X25 в  $10^{-3} N HClO_4$ .

Государственный институт  
прикладной химии  
Ленинград

Поступила  
3.III.1958

### ЛИТЕРАТУРА

1. К. А. Круг. Основы электротехники, том II, Госэнергоиздат, 1946.
2. Н. П. Гнусин, Диссертация, ЛТИ им. Ленсовета, Ленинград, 1953.
3. А. Н. Фрумкин, В. С. Богоцкий, З. А. Иофа, В. Н. Кабанов, Кинетика электродных процессов, Изд-во МГУ, 1952.

### DYNAMIC METHOD OF CAPACITANCE MEASUREMENTS OF ELECTRODES AND ITS APPLICATION IN DETERMINATIONS OF THE ZERO CHARGE POTENTIAL

*A. M. Sukhotin and K. M. Kartashova (Leningrad)*

### Summary

Two variants of the dynamic method of measuring the differential capacitance and polarization resistance of electrodes have been developed. One of them is useful for studying electrodes in relatively concentrated solutions and the other for weak solutions. The method permits determination of the  $C - \varphi$  curve in a very short time, during which there is no significant shift in chemisorption equilibrium. The method may be used for studying electrodes coated with oxide and other adsorption films.

The validity of the dynamic method for determining zero charge potentials has been demonstrated on the example of the mercury electrode in a  $3 \cdot 10^{-3} N KCl$  solution and of the steel electrode 1 X 25 in  $10^{-3} N HClO_4$ .

## КИНЕТИЧЕСКИЙ МЕТОД ПРИМЕНЕНИЯ МЕЧЕННЫХ АТОМОВ ДЛЯ ИССЛЕДОВАНИЯ СЛОЖНЫХ ХИМИЧЕСКИХ И БИОХИМИЧЕСКИХ ПРОЦЕССОВ

### VIII. ОБРАЗОВАНИЕ И РАСХОДОВАНИЕ МЕТИЛОВОГО СПИРТА ПРИ ОКИСЛЕНИИ ПРОПИЛЕНА

*В. Я. Ефремов, М. Б. Нейман и В. Н. Панфилов*

В составе продуктов низкотемпературного окисления углеводов рядом с окислами углерода и водой обнаруживаются промежуточные соединения, такие, как альдегиды, перекиси, кислоты и спирты. Выяснение процессов, связанных с образованием и расходом этих соединений в процессе окисления, имеет важное значение для суждения о механизме исследуемой реакции.

В ряде работ [1—3] было подробно изучено поведение альдегидов. Сведения же о путях и скоростях превращения других промежуточных продуктов являются далеко не исчерпывающими. Так, например, до настоящего времени остается неясной роль спиртов. Для решения этого вопроса нами была проведена работа по исследованию поведения  $\text{CH}_3\text{OH}$  в реакции окисления пропилена.

В качестве метода исследования мы использовали кинетический метод изменения меченых атомов [4]. Для того чтобы выяснить, с какой скоростью образуется метиловый спирт, с какой скоростью и в какие продукты он расходуется в процессе окисления пропилена, опыты проводились небольшими добавками метилового спирта, меченного радиоуглеродом  $\text{C}^{14}$ .

### Экспериментальная часть

**Методика.** Метиловый спирт при окислении пропилена впервые был обнаружен А. Ф. Луковниковым [2], но из-за отсутствия надежных методов он не был определен количественно. Для определения концентраций спиртов в сложных органических смесях мы применили метод изотопного разбавления [5].

Так как спирт в наших опытах получался радиоактивным, то формула для расчета его концентрации имеет вид:

$$x = \frac{a\beta}{a - \beta}, \quad (1)$$

где  $x$  — искомое количество спирта;  $a$  — количество добавляемого нерадиоактивного спирта;  $\alpha$  и  $\beta$  — удельные активности спирта до и после смешения соответственно. Из смеси спирты выделялись при помощи 3,5-динитробензоилхлорида в виде эфиров 3,5-динитробензойной кислоты характерными температурами плавления, которые сравнительно легко выделяются из сложной органической смеси. Из них нетрудно приготовить хорошие образцы для измерения радиоактивности.

Контрольные опыты, поставленные для проверки метода изотопного разбавления, показали, что в большинстве случаев ошибка в определении концентрации метилового и этилового спиртов меньше 4—5%.

Концентрация формальдегида определялась полярографически. В качестве фона использовался 0,1 N LiOH. Для измерения удельной активности формальдегид выделялся в виде димедоновых производных [6].

Результаты эксперимента. Опыты по окислению пропилена с добавками  $C^{14}H_3OH$  проводились в статических условиях со

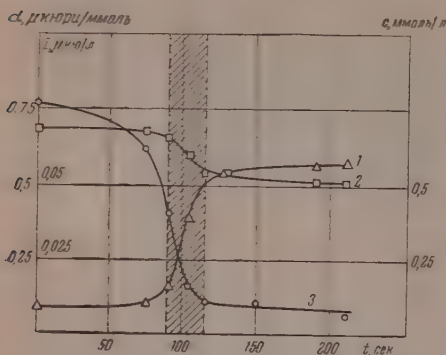


Рис. 1. Изменение: 1 — концентрации; 2 — общей активности; 3 — удельной активности метилового спирта. Заштрихованная область соответствует зоне холодных пламен

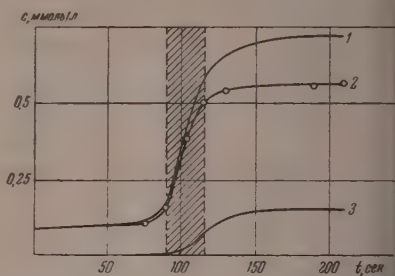


Рис. 2. Кинетика: 1 — образования без учета расхождения; 2 — накопления; 3 — расходования метилового спирта

смесью 50%  $O_2$ ; 46,82%  $C_3H_8$ ; 1,33%  $C^{14}H_3OH$ ; 1,59%  $CH_3CHO$ ; 0,13%  $CO$  и 0,13%  $CO_2$  при  $315^\circ C$  и начальном давлении 245 мм рт. ст. В этих условиях после периода индукции 1'30" наблюдалось пять холодных пламен.

Изменение концентрации и удельной активности метилового спирта в ходе процесса представлено на рис. 1. Из него видно, что концентрация метилового спирта возрастает, а общая активность падает по ходу реакции. Это означает, что метиловый спирт не только образуется, но и расходуется. Об этом свидетельствует также наличие радиоактивного углерода в формальдегиде,  $CO$  и  $CO_2$ .

Зная, как изменяются концентрация и удельная активность метилового спирта, можно рассчитать скорости его образования и расходования. Известно [4], что

$$-\frac{d\alpha}{dt} = \frac{aw}{x}, \quad (2)$$

где  $\alpha$  — удельная активность метилового спирта,  $x$  — его концентрация,  $w$  — скорость его образования.

Количество метилового спирта, образующегося за время  $t$  со скоростью  $w$  (без учета расходования), равно

$$c = \int_0^t w dt. \quad (3)$$

Подставляя значение  $w$  из уравнения (2) в (3), получаем

$$c = \int_{\alpha_0}^{\alpha} x d \ln \alpha. \quad (4)$$

Построив кривую  $x = f(\ln \alpha)$ , графическим интегрированием находим  $c$ .

На рис. 2 представлены кинетические кривые образования метилового спирта, его накопления и расходования (последняя находится как разность количества образовавшегося спирта и количества экспериментально найденного).



Путем графического дифференцирования кривых 1 и 2 можно определить скорости образования и расходования метилового спирта при окислении пропилена. Найденные таким образом скорости графически представлены на рис. 3. Из графика видно, что образование и расходование идут наиболее интенсивно в зоне холодных пламен.

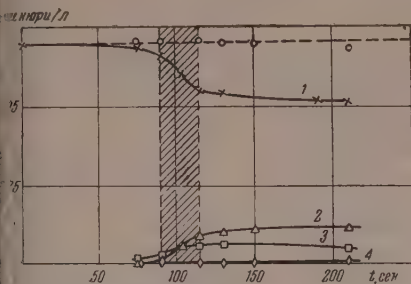


Рис. 3

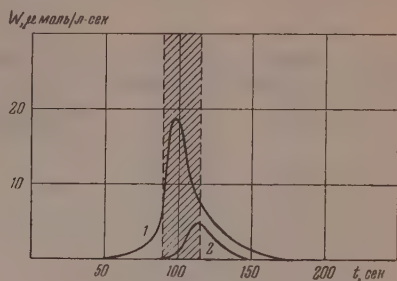


Рис. 4

Рис. 3. Скорости: 1 — образования; 2 — расходования метилового спирта  
с. 4. Изменение: 1 — общей активности метилового спирта; 2 —  $\text{CO}_2$ ; 3 — формальдегида и 4 —  $\text{CO}$ . Точки на пунктирной кривой — результаты суммирования общих активностей указанных продуктов

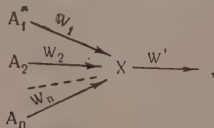
Кроме формальдегида,  $\text{CO}$  и  $\text{CO}_2$  нами было обнаружено, что муравьиная кислота также активна. Однако ее концентрация и удельная активность не были измерены. Из баланса радиоактивности (рис. 4) видно, что она не вносит существенного вклада в состав продуктов, образующихся из метилового спирта.

### Обсуждение результатов

Как уже указывалось выше, выделенный нами из продуктов реакции формальдегид оказался активным. Это означает, что в исследуемой реакции в крайней мере часть формальдегида получается в результате окисления спирта. Совершенно очевидно, что это не единственный путь, так как кривая падения удельной активности метанола (см. рис. 5) на всем протяжении процесса лежит значительно выше кривой удельной активности  $\text{H}_2\text{O}$  [7].

Зная, как изменяется удельная активность метанола и формальдегида, можно оценить, насколько интенсивно по сравнению с другими возможными путями формальдегид образуется из спирта.

Решим сначала задачу в общем виде. Пусть промежуточный продукт  $x$  образуется сразу из нескольких предшественников  $A_1, A_2, \dots, A_n$ , один из которых, например  $A_1$ , меченый, по схеме:



где  $w_1, w_2$  и т. д. — скорости соответствующих процессов. В этом случае суммарную скорость образования продукта  $x$  можно выразить формулой:

$$\sum w_i = \frac{\alpha w_1 - [x] \frac{d\beta}{dt}}{\beta}, \quad (5)$$

где  $\alpha$  — удельная активность предшественника  $A_1^*$ ;  $\beta$  — удельная активность вещества  $x$ .

Когда удельная активность промежуточного продукта в ходе процесса уменьшается, т. е.

$$\frac{d\beta}{dt} < 0, \quad (6)$$

уравнение (5) можно переписать в виде неравенства:

$$\frac{w_1}{\sum w_i} < \frac{\beta}{\alpha}. \quad (7)$$

Полученный нами в общем виде результат можно применить к случаю скоростей образования формальдегида из метилового спирта  $w_{\text{CH}_3\text{OH}}$  и суммарной скорости его образования  $\sum w_i$ .

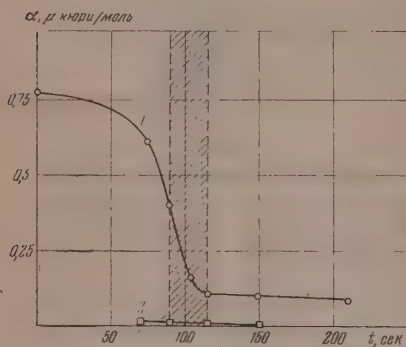


Рис. 5

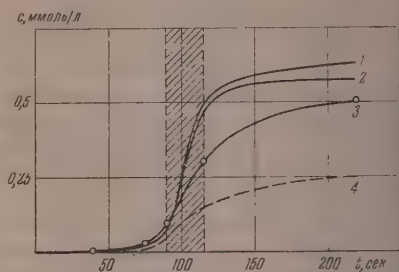


Рис. 6

Рис. 5. Изменение: 1 — удельной активности метилового спирта и 2 — формальдегида.

Рис. 6. Кинетика: 1 — образования метилового спирта; 2 — расхода ацетальдегида\*; 3 — накопления  $\text{CO}_2$  и 4 — образования  $\text{CO}_2$  из карбонильной группы ацетальдегида.

Так как удельная активность  $\beta_{\text{CH}_2\text{O}}$  падает, то справедливо неравенство вида (7):

$$\frac{w_{\text{CH}_3\text{OH}}}{\sum w_i} < \frac{\beta_{\text{CH}_2\text{O}}}{\alpha_{\text{CH}_3\text{OH}}}. \quad (8)$$

Подставив в формулу (8) численные значения удельных активностей формальдегида и метанола, можно оценить величину  $\frac{w_{\text{CH}_3\text{OH}}}{\sum w_i}$ . Результаты оценки приведены в таблице 1.

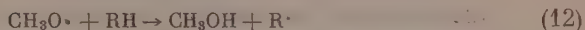
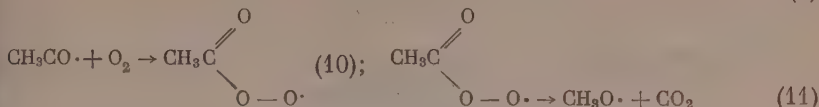
Таблица 1  
Скорость образования формальдегида из метанола

Время отбора пробы, секунды	75	90	115	150
Скорость образования $\text{CH}_2\text{O}$ из $\text{CH}_3\text{OH}$ в % к общей скорости образования $\text{CH}_2\text{O}$	<2,3	<2,8	<10	<10

Из таблицы видно, что на всем протяжении реакции лишь незначительная часть формальдегида, по-видимому не более 5%, образуется из метанола. Основная масса  $\text{CH}_2\text{O}$  получается другими путями. Нам представляется, что наиболее вероятным источником формальдегида являются перекисные радикалы согласно схеме, предложенной в работе [8].

\* Кривая расхода ацетальдегида из работы [3].

Для выяснения механизма окисления пропилена важно знать, из каких предшественников образуется метиловый спирт. Авторы работ 9] предположили, что  $\text{CH}_3\text{OH}$  образуется из ацетальдегида по схеме:



Из приведенной схемы видно, что если бы образование метилового спирта происходило лишь указанным путем, то количество  $\text{CO}_2$ , полученной из формильной группы ацетальдегида, было бы равно количеству образовавшегося спирта. Однако сравнение кинетики накопления двуокиси перода и образования спирта (см. рис. 6) показывает, что количество образовавшегося спирта значительно больше  $\text{CO}_2$ , полученной по всем возможным путям. Если же учесть, что количество  $\text{CO}_2$ , образовавшейся из формильной группы ацетальдегида, составляет всего лишь около 50% [10] от общего количества двуокиси углерода, то совершенно очевидно, что наряду с образованием метанола по вышеприведенной схеме имеют место и другие пути образования метилового спирта.

### Выводы

1. Определены скорости образования и расходования метилового спирта при окислении пропилена.
2. Установлено, что из метилового спирта получается не более 10% формальдегида.

Академия наук СССР  
Институт химической физики

Поступила  
6.III.1958

### ЛИТЕРАТУРА

- С. С. Поляк, В. Я. Штерн, Ж. физ. химии, 27, 341, 1953.  
 М. Б. Нейман, А. Ф. Луковников, Г. И. Феклисов, Вопросы химической кинетики, катализа и реакционной способности, Изд. АН СССР, М., 1955.  
 М. Б. Нейман, В. Я. Ефремов, Н. К. Сердюк, А. Ф. Луковников, Изв. АН СССР, Отд. хим. наук, 4, 408, 1956.  
 М. Б. Нейман, Ж. физ. химии, 28, 1235, 1954.  
 В. Я. Ефремов, М. Б. Нейман, В. Н. Панфилов, Труды комиссии по аналитической химии, 9, 361, 1958.  
 А. Ф. Луковников, Журн. аналит. химии, 2, 300, 1956.  
 М. Б. Нейман и А. Ф. Луковников, Ценные реакции окисления углеводородов в газовой фазе. Изд. АН СССР, М., 1955.  
 В. Я. Штерн, Вопросы химической кинетики, катализа и реакционной способности. Изд. АН СССР, М., 1955.  
 Н. Н. Семенов, О некоторых проблемах химической кинетики и реакционной способности, Изд. АН СССР, М., 1955.  
 М. Б. Нейман, Н. К. Сердюк, Всесоюзная научно-техническая конференция по применению радиоактивных и стабильных изотопов и излучений в народном хозяйстве и науке. Москва, 1958.

## KINETIC METHOD OF TRACER ATOM IN STUDIES OF INVOLVED CHEMICAL AND BIOCHEMICAL PROCESSES

### VIII. THE FORMATION AND CONSUMPTION OF METHYL ALCOHOL IN THE OXIDATION OF PROPYLENE

V. Ya. Efremov, M. B. Neiman and V. N. Panfilov (Moscow)

#### Summary

The rates of formation and of consumption of methyl alcohol during oxidation of propylene have been determined. It has been found that over 90% of the formaldehyde are not formed from methyl alcohol.

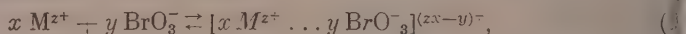


## ВОССТАНОВЛЕНИЕ АНИОНА $\text{BrO}_3^-$ НА РТУТНОМ КАПЕЛЬНОМ ЭЛЕКТРОДЕ

### III. ВЛИЯНИЕ ДОБАВОК $\text{La}^{3+}$ НА КИНЕТИКУ РАЗРЯДА $\text{BrO}_3^-$ В ПРИСУТСТВИИ КАТИОНОВ БОЛЕЕ НИЗКОЙ ЗАРЯДНОСТИ

В. И. Зыков

При объяснении экспериментальных данных по полярографии  $\text{BrO}_3^-$  в присутствии одно- и двузарядных катионов [1, 2] было высказано предположение о том, что в двойном слое имеет место равновесие образований ионных ассоциаций:



и что в процессе разряда принимают участие именно те анионы  $\text{BrO}_3^-$ , которые входят в состав таких образований. При этом ожидалось, что при переходе к более высокозарядным катионам, например, к катиону  $\text{La}^{3+}$ , прочность ионных ассоциаций должна повышаться, и как следствие этого температурный коэффициент  $\varphi_{1/2}$ , оставаясь положительным, должен возрастать. Экспериментальная проверка последнего при восстановлении бромат-аниона в буферных растворах  $\text{LaCl}_3$ , однако, не может быть сделана, так как поляризационная кривая в этом случае имеет аномальную форму — резкий скачок силы тока при достижении определенного потенциала, отличающегося заметным непостоянством и зависящего сложным образом от концентрации как  $\text{BrO}_3^-$ , так и  $\text{La}^{3+}$ , а также pH среды. Наблюдающиеся небольшие температурные эффекты вследствие этого искажаются не только количественно, но и качественно. Вместо с тем, вопрос о прочности ионных ассоциаций и непосредственно связанный с ним вопрос о взаимном влиянии частиц, входящих в состав таких образований, имеет общее значение и, особенно, для изучения кинетики электрохимических процессов.

На возможность образования ионных ассоциаций и на существенную их роль в кинетике некоторых частных электродных реакций в литературе уже указывалось [3—11]. До сих пор, однако, не существует единого мнения относительно этой роли. Так Я. Гейровский [3] считает, что ионные пары \* образуются из восстанавливаемой частицы и иона индифферентного электролита в объеме раствора. В целом такая ионная ассоциация несет заряд, противоположный знаку заряда поверхности электрода, и поэтому может легко подходить к последнему. Таким образом роль ионных ассоциаций, по мнению Гейровского, сводится к облегчению переноса деполаризатора в зону реакции. Такое представление встречает серьезные возражения и не подтверждается экспериментально, хотя сам факт существования ионных ассоциаций в объеме раствора не вызывает сомнений. Прямые опыты, выполненные Холлемом [5, 10] по выяснению роли ионных ассоциаций в переносе ионов  $\text{NO}_3^-$  в объеме электролита показали, что нитрат-анион попадает на катод путем диффузии.

Принципиальное отличное соображение общего порядка было высказано Г. М. Флорианович и А. Н. Фрумкин [11], которые полагают, что «при достаточно высокой заряде катионов наряду с общим повышением концентрации анионов в двойном слое возможно и образование ионных пар из адсорбированных катионов и анионов».

В настоящей работе предпринята попытка подойти к исследованию указанной проблемы путем изучения влияния добавок катионов более высокой зарядности на кинетику восстановления  $\text{BrO}_3^-$  на фоне катионов более низкой зарядности.

\* Поскольку количественный состав «ионных пар» неизвестен, правильнее называть ионными ассоциациями.

# Экспериментальная часть

Поляризационные кривые измерялись на полярографической установке по методике, описанной ранее [1], при  $25 \pm 0,1^\circ \text{C}$ . Характеристики катоды следующие: длина  $l = 266 \text{ мм}$ , период капания  $\tau$  в  $1,0 \text{ N KCl}$  и  $\phi = -0,6 \text{ В}$  и давлении ртутного столба  $h_{\text{Hg}} = 300 \text{ мм}$  равен  $6,1 \text{ сек.}$ ;  $= 1,89 \text{ мг/сек}$  при  $h_{\text{Hg}} = 300 \text{ мм}$ . Потенциал ртутной капли измерялся относительно нормального каломельного электрода.

Было изучено влияние добавок  $\text{LaCl}_3$  на поляризационные кривые  $\text{O}_3^-$  в  $0,1$ ;  $1,0$ ;  $2,0$ ;  $4,0 \text{ N}$  и насыщенном нейтральном и подкисленном растворах  $\text{KCl}$ ;  $0,1$  и  $1,0 \text{ N LiCl}$ ;  $1,0 \text{ N BaCl}_2$  и в растворах  $(\text{C}_2\text{H}_5)_4\text{NBr}$  и

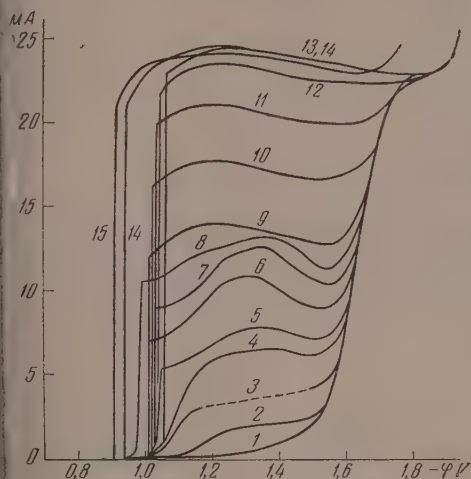


Рис. 1. Влияние добавок  $\text{LaCl}_3$  на восстановление  $\text{BrO}_3^-$  на фоне  $4,0 \text{ N KCl}$ : 1— $4,0 \text{ N KCl} + 1,14 \cdot 10^{-3} \text{ N KBrO}_3$ ; концентрация  $\text{LaCl}_3$ : 2— $6,5 \cdot 10^{-5}$ ; 3— $1,36 \cdot 10^{-4}$ ; 4— $2,84 \cdot 10^{-4}$ ; 5— $4,24 \cdot 10^{-4}$ ; 6— $6,96 \cdot 10^{-4}$ ; 7— $8,95 \cdot 10^{-4}$ ; 8— $1,15 \cdot 10^{-3}$ ; 9— $1,46 \cdot 10^{-3}$ ; 10— $2,06 \cdot 10^{-3}$ ; 11— $2,61 \cdot 10^{-3}$ ; 12— $3,03 \cdot 10^{-3}$ ; 13— $3,62 \cdot 10^{-3}$ ; 14— $4,92 \cdot 10^{-3}$ ; 15— $1,85 \cdot 10^{-2} \text{ M}$

$(\text{C}_2\text{H}_5)_4\text{NBr}$  различных концентраций. Качественное влияние добавок  $\text{La}^{3+}$  не зависит ни от природы, ни от заряда катионов перечисленных электролитов. Влияние  $\text{La}^{3+}$  на поляризационные кривые  $\text{BrO}_3^-$  будет рассмотрено подробно на примере явлений, наблюдаемых в  $4,0 \text{ N KCl}$ .

Если к раствору фона, содержащему  $\text{BrO}_3^-$  (рис. 1, кривая 1), прибавить  $\text{La}^{3+}$ , то при некоторой определенной концентрации последнего, не только зависящей от природы и концентрации фона, первоначальная волна  $\text{BrO}_3^-$  раздваивается: при значительно более положительных потенциалах появляется новая волна (кривая 2), которую в дальнейшем мы будем обозначать волной I. Суммарная высота волн I и II (последняя расщеплена при более отрицательных потенциалах, чем волна I) остается при этом неизменной. По мере увеличения концентрации  $\text{La}^{3+}$  волна I сдвигается (кривые 3—13) до тех пор, пока она не достигнет по высоте высоты II (кривая 13, ср. с кривой 1). Дальнейшее увеличение концентрации  $\text{La}^{3+}$  уже не приводит к повышению волны I; поляризационная кривая представляет одну волну (кривые 13—15). Многочисленные опыты показывают, что высота волны I перестает зависеть от концентрации  $\text{La}^{3+}$  при отношении  $[\text{La}^{3+}] : [\text{BrO}_3^-] \approx 2$ .

При условии  $[\text{La}^{3+}] : [\text{BrO}_3^-] < 2$  высота волны I практически не чувствительна к изменению концентрации  $\text{BrO}_3^-$ . Волна I при условии  $[\text{La}^{3+}] : [\text{BrO}_3^-] < 2$  по мере увеличения концентрации  $\text{La}^{3+}$  сначала сдвигается в положительную сторону, а затем стабилизируется. Положение волны II при этом остается практически неизменным. Увеличение концентрации  $\text{La}^{3+}$  при этом условии приводит к сдвигу волны I в положительную сторону.

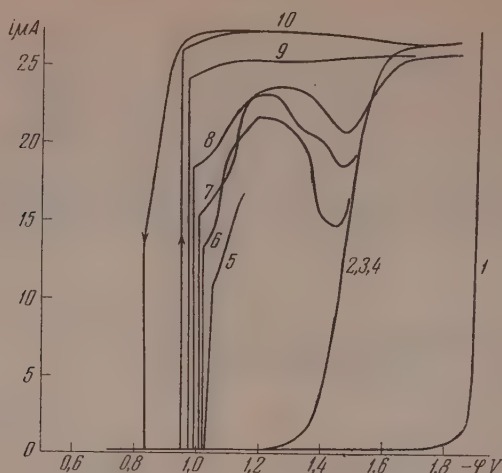


Рис. 2. Влияние добавок  $\text{LaCl}_3$  на восстановление  $\text{BrO}_3^-$  на фоне  $1,0 \text{ N BaCl}_2$ : 1 — фон; 2 — фон +  $10^{-3} \text{ N KBrO}_3$ ; концентрация  $\text{LaCl}_3$ : 3— $10^{-5}$ ; 4— $1,5 \cdot 10^{-4}$ ; 5— $4,5 \cdot 10^{-4}$ ; 6— $9,2 \cdot 10^{-4}$ ; 7— $1,3 \cdot 10^{-3}$ ; 8— $2,27 \cdot 10^{-3}$ ; 9— $4,18 \cdot 10^{-3}$ ; 10— $9,88 \cdot 10^{-3} \text{ M}$

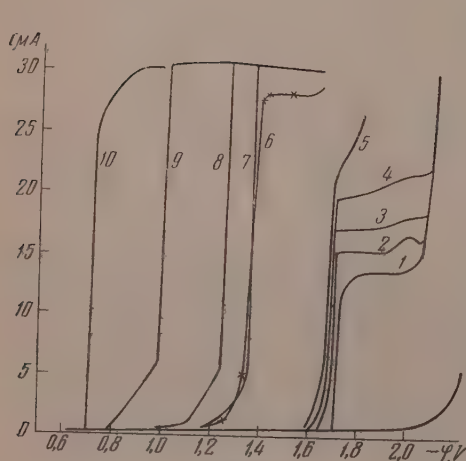


Рис. 3

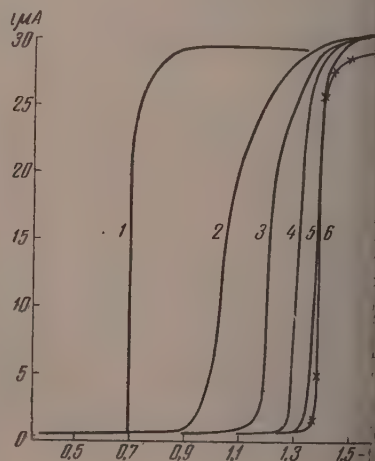


Рис. 4

Рис. 3. Влияние концентрации  $(\text{C}_2\text{H}_5)_4\text{N}^+$  и добавок  $\text{LaCl}_3$  на восстановление  $\text{Br}^-$  на фоне  $(\text{C}_2\text{H}_5)_4\text{NBr}$ . Состав раствора: 1— $0,625 \text{ N } (\text{C}_2\text{H}_5)_4\text{NBr} + 10^{-3} \text{ N KBrO}_3 + 2,5 \cdot 10^{-4}$ ; 2— $+5,0 \cdot 10^{-4}$ ; 3— $+9,34 \cdot 10^{-4}$ ; 4— $+1,88 \cdot 10^{-3}$ ; 5— $5,19 \cdot 10^{-3} \text{ M LaCl}_3$ ; 6— $0,118 \text{ N } (\text{C}_2\text{H}_5)_4\text{NBr} + 1,16 \cdot 10^{-3} \text{ N KBrO}_3 + 3,2 \cdot 10^{-2} \text{ M LaCl}_3$ ; 7— $1,28 \cdot 10^{-3} \text{ N KBrO}_3 + 1,28 \cdot 10^{-2} \text{ M LaCl}_3$ ; 8— $1,27 \cdot 10^{-1} \text{ N } (\text{C}_2\text{H}_5)_4\text{NBr}$ ; 9— $1,27 \cdot 10^{-1} \text{ N } (\text{C}_2\text{H}_5)_4\text{NBr} + 1,27 \cdot 10^{-1} \text{ N } (\text{C}_2\text{H}_5)_4\text{NBr}$ ; 10— $0,01 \text{ M } (\text{C}_2\text{H}_5)_4\text{NBr}$

Рис. 4. Влияние концентрации  $(\text{C}_4\text{H}_9)_4\text{NBr}$  на восстановление  $\text{BrO}_3^-$  в присутствии  $\text{LaCl}_3$ : 1— $1,28 \cdot 10^{-2} \text{ M LaCl}_3 + 1,2 \cdot 10^{-3} \text{ N KBrO}_3$ ; концентрация  $(\text{C}_4\text{H}_9)_4\text{NBr}$ : 2— $4 \cdot 10^{-4}$ ; 3— $8 \cdot 10^{-4}$ ; 4— $1,56 \cdot 10^{-3}$ ; 5— $3,43 \cdot 10^{-3}$ ; 6— $3,97 \cdot 10^{-2} \text{ M LaCl}_3 + 1,1 \cdot 10^{-2} \text{ N KBrO}_3 + 3,34 \cdot 10^{-3} \text{ N } (\text{C}_4\text{H}_9)_4\text{NBr}$



ну. При условии же  $[\text{La}^{3+}] : [\text{BrO}_3^-] > 2$  увеличение концентрации  $\text{La}^{3+}$  вызывает заметный сдвиг волны в положительную сторону.

Аналогичные явления наблюдаются также при разряде  $\text{BrO}_3^-$  на фоне  $\text{BaCl}_2$  в присутствии добавок  $\text{La}^{3+}$ , что иллюстрируется рис. 2.

В не очень широких пределах концентраций  $\text{La}^{3+}$  порядка  $10^{-4}$ — $10^{-3}$  предельный ток волны I измерить трудно из-за очень сильного колебания силы тока, которое проявляется в тем большей степени, чем более разбавлен фон. В насыщенном растворе  $\text{KCl}$  это явление отсутствует.

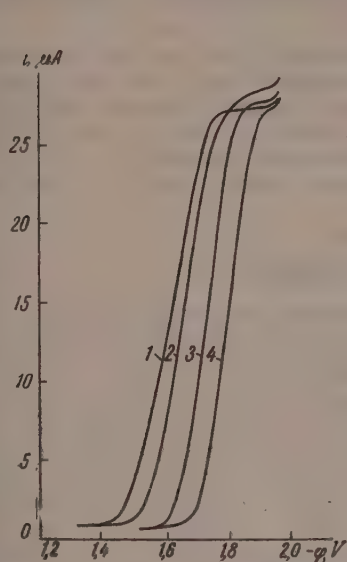


Рис. 5. Влияние концентрации  $(\text{C}_2\text{H}_5)_4\text{NBr}$  на восстановление  $\text{BrO}_3^-$  в присутствии  $\text{BaCl}_2$ : 1— $0,1 \text{ M}$   $\text{BaCl}_2 + 1,25 \cdot 10^{-3} \text{ N}$   $\text{KBrO}_3$ ; концентрация  $(\text{C}_2\text{H}_5)_4\text{NBr}$ : 2— $8,5 \cdot 10^{-3}$ ; 3— $4,62 \cdot 10^{-2}$ ; 4— $1,27 \cdot 10^{-1} \text{ N}$

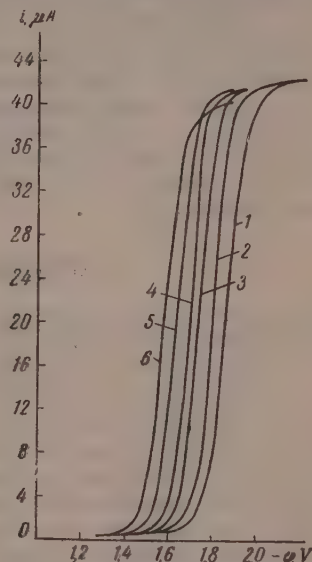


Рис. 6. Влияние добавок  $\text{BaCl}_2$  на восстановление  $\text{BrO}_3^-$  в присутствии  $0,1 \text{ N}$   $\text{LiCl}$ : 1 — фон +  $2,1 \cdot 10^{-3} \text{ N}$   $\text{KBrO}_3$ ; концентрация  $\text{BaCl}_2$ : 2— $2,0 \cdot 10^{-4}$ ; 3— $5,7 \cdot 10^{-4}$ ; 4— $1,29 \cdot 10^{-3}$ ; 5— $4,74 \cdot 10^{-3}$ ; 6— $1,91 \cdot 10^{-2} \text{ M}$

На фоне  $(\text{C}_2\text{H}_5)_4\text{NBr}$  и  $(\text{C}_4\text{H}_9)_4\text{NBr}$  волна  $\text{BrO}_3^-$  в отсутствие  $\text{La}^{3+}$  вообще обнаруживается. Если, однако, к раствору  $(\text{C}_2\text{H}_5)_4\text{NBr}$ , содержащему  $\text{BrO}_3^-$ , прибавлять  $\text{La}^{3+}$ , то появляется отчетливая волна  $\text{BrO}_3^-$ , высота которой также зависит от концентрации  $\text{La}^{3+}$ , как в вышеописанном случае (кривые 1—5 рис. 3). Характерно в этом случае то, что потенциал скачка силы тока существенно зависит от концентрации фона, сдвигаясь в положительную сторону при разбавлении последнего. Так, например, при изменении концентрации  $(\text{C}_2\text{H}_5)_4\text{NBr}$  от  $0,625$  до  $0,0085 \text{ N}$  потенциал скачка силы тока изменяется приблизительно на  $0,7 \text{ V}$  (ср. кривые 1 и 9 рис. 3). Еще больший эффект торможения наблюдается в присутствии катиона  $(\text{C}_4\text{H}_9)_4\text{N}^+$ , что иллюстрируется рис. 4. В обоих случаях зависимость потенциала от концентрации органического катиона имеет плато насыщения. Торможение процесса указанными поверхностно-активными катионами не обязательно присутствию в растворе именно  $\text{La}^{3+}$ , оно имеет место также при восстановлении  $\text{BrO}_3^-$  на фоне  $\text{BaCl}_2$  (рис. 5), хотя и в меньшей степени. На фоне катионов щелочных и щелочноземельных металлов влияние концентрации фона на потенциал скачка силы тока в присутствии катиона  $\text{La}^{3+}$  практически не наблюдается. При переходе от однозарядных катионов фона к двузарядным потенциал разряда  $\text{BrO}_3^-$  в присутствии  $\text{La}^{3+}$  также остается неизменным (ср. рис. 1 и

2), тогда как при отсутствии  $\text{La}^{3+}$  подобный переход приводит к смещению волны примерно на 0,3 В.

Своеобразной особенностью восстановления  $\text{BrO}_3^-$  в присутствии добавок  $\text{La}^{3+}$  является наличие петли гистерезиса, т. е. несовпадение потенциала скачкообразного возрастания силы тока с потенциалом его спада. Это явление описывается также в работах других авторов [5, 12] и наблюдается при восстановлении  $\text{JO}_3^-$  и  $\text{NO}_3^-$  [12, 13]. Опыт показывает, что скачок силы тока и петля гистерезиса являются результатом накопления в приэлектродном пространстве продуктов реакции, ускоряющих ее, а именно — ионов  $\text{OH}^-$ .

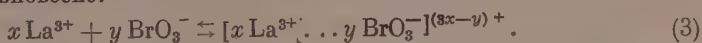
Влияние добавок  $\text{BaCl}_2$  на восстановление  $\text{BrO}_3^-$  на фоне  $\text{LiCl}$  иллюстрируется рис. 6. Увеличение концентрации  $\text{Ba}^{2+}$  в растворе приводит лишь к смещению волны в положительную сторону; зависимость  $i_{\text{пр}}$  от концентрации  $\text{Ba}^{2+}$ , а также скачки тока и петли гистерезиса не наблюдаются. Из этого следует, что механизм влияния двузарядного катиона  $\text{Ba}^{2+}$  на кинетику разряда  $\text{BrO}_3^-$  существенным образом отличен от механизма влияния катионов  $\text{La}^{3+}$ .

### Обсуждение результатов

Приведенные экспериментальные данные могут быть объяснены при предположении, что волна I обусловлена разрядом анионов  $\text{BrO}_3^-$ , входящих в состав ионных ассоциаций типа  $[\text{xLa}^{3+} \dots \text{yBrO}_3^-]^{(3\text{x}-\text{y})+}$  или  $[\text{xLa}^{3+} \dots \text{yBrO}_3^- \dots \text{zOH}^-]^{(3\text{x}-\text{y}-\text{z})+}$ , образующихся в двойном электрическом слое; наиболее вероятно, что  $\text{x} = \text{y} = \text{z} = 1$ . Механизм влияния катионов  $\text{La}^{3+}$  может быть описан, исходя из представлений о дискретном распределении поля в двойном слое вдоль поверхности электрода, следующим образом. При прибавлении к раствору одно- или двузарядного индифферентного электролита, содержащему  $\text{BrO}_3^-$ , катиона  $\text{La}^{3+}$ , последний адсорбируется на поверхности катода, изменяя строение двойного слоя и распределение поля вдоль его поверхности. В некоторой локализованной области вблизи адсорбированного катиона  $\text{La}^{3+}$   $\psi_1$ -потенциал имеет положительное значение, где, следовательно, созданы благоприятные условия для подхода аниона  $\text{BrO}_3^-$  к поверхности электрода. Приблизившись к ней, бромат-анион попадает в сильное электрическое поле катиона  $\text{La}^{3+}$  и образует с ним ионную ассоциацию. Если бы роль адсорбированных катионов  $\text{La}^{3+}$  сводилась лишь к увеличению поверхностной концентрации ионных ассоциаций благодаря сдвигу среднего значения  $\psi_1$ -потенциала в положительную сторону, то эффект при прибавлении  $\text{La}^{3+}$  проявлялся бы лишь в виде сдвига первоначальной волны в положительную сторону при неизменном  $i_{\text{пр}}$ . Такой случай имеет место при разряде  $\text{BrO}_3^-$  на фоне однозарядных катионов в присутствии добавок  $\text{Ba}^{2+}$  (рис. 6). Влияние же  $\text{La}^{3+}$  проявляется, по-видимому, двояко. С одной стороны, облегчается подход аниона  $\text{BrO}_3^-$ , а с другой — своим сильным полем катион  $\text{La}^{3+}$  активизирует бромат-анион, входящий в состав ионной ассоциации настолько, что появляется возможность разряда его при значительно менее отрицательном потенциале. В результате такого взаимодействия частиц, составляющих ионную ассоциацию, первоначальная волна раздваивается: волна I соответствует разряду ионных ассоциаций типа  $[\text{xLa}^{3+} \dots \text{yBrO}_3^-]^{(3\text{x}-\text{y})+}$ , а волна II — разряду ионных ассоциаций типа  $[\text{xM}^{2+} \dots \text{yBrO}_3^-]^{(2\text{x}-\text{y})+}$ , где  $\text{M}^{2+}$  — катион фона. Суммарная высота волн I и II остается при этом неизменной, так как  $i_{\text{пр}}$  волн I определяется концентрацией  $\text{La}^{3+}$ , а волн II — предельной диффузией  $\text{BrO}_3^-$ . Такое утверждение, разумеется, предполагает, что между адсорбированными катионами  $\text{La}^{3+}$  и катионами, находящимися в приэлектродном слое, существует равновесие



ещающееся влево при возрастании аналитической концентрации  $\text{La}^{3+}$  в растворе. Кроме того, необходимо также допущение, что в двойном слое существует равновесие:



оявление при определенной концентрации  $\text{La}^{3+}$  волн I, начинающихся с некоторой силой тока, свидетельствует, по-видимому, о существовании некоторой пороговой области значений pH в приэлектродном пространстве, за которой процесс разряда  $\text{BrO}_3^-$  протекает по различным механизмам. В связи с указанным ранее каталитическим действием ионов  $\text{OH}^-$  наиболее вероятно предположение, согласно которому волнам I, начинающимся с некоторым током, соответствует разряд анионов  $\text{BrO}_3^-$ , входящих в состав более

сложных ионных ассоциаций, именно, типа  $[x\text{La}^{3+} \dots y\text{BrO}_3^- \dots z\text{OH}^-]^{(3x-y-z)+}$ . С развиваемой точки зрения становятся понятными также и некоторые экспериментальные факты, а именно: практическая независимость положения волны I по оси потенциала от зарядности, природы и концентрации фонов (за исключением четвертных аммониевых солей), и, наоборот, зависимость ее от концентрации  $\text{La}^{3+}$ , особенно при условии  $[\text{La}^{3+}] : [\text{BrO}_3^-] > 2$  и другие. Исходя из сказанного, очевидно, что любое изменение в системе, ведущее к изменению равновесной концентрации адсорбированных катионов  $\text{La}^{3+}$ , должно вводить при условии  $[\text{La}^{3+}] : [\text{BrO}_3^-] < 2$  к изменению  $i_{\text{пр}}$  волн I и сравнительно небольшому изменению потенциала скачка силы тока, а при условии  $[\text{La}^{3+}] : [\text{BrO}_3^-] > 2$  к изменению потенциала скачка при неизменном  $i_{\text{пр}}$ . Это полностью подтверждается опытами с добавками щелочных солей при условии  $[\text{La}^{3+}] : [\text{BrO}_3^-] > 2$  и опы-

тами с добавками  $\text{SO}_4^{2-}$  при восстановлении  $\text{BrO}_3^-$  на фоне  $0,063 \text{ M}$   $\text{LaCl}_3$  (рис. 7). В первом случае наблюдаемое снижение волны I обусловлено вытеснением  $\text{La}^{3+}$  в осадок, которое, согласно нашим потенциометрическим измерениям и данным других авторов [12—17], соответствует  $\text{pH} = 7,8$ . Во втором случае аналитическая концентрация адсорбированных катионов  $\text{La}^{3+}$ , возможно, остается неизменной, но эффективная концентрация их, благодаря экранирующему действию сульфат-аниона, по мере возрастания концентрации последних, падает. Как и следовало ожидать, небольшие количества добавок  $\text{SO}_4^{2-}$  сперва сдвигают волну в отрицательную сторону (условие  $[\text{La}^{3+}] : [\text{BrO}_3^-] > 2$ ); дальнейшее же увеличение концентрации  $\text{SO}_4^{2-}$  приводит к уменьшению  $i_{\text{пр}}$  при незначительном смещении волны в отрицательную сторону (условие  $[\text{La}^{3+}] : [\text{BrO}_3^-] < 2$ ). Независимость  $i_{\text{пр}}$  волн I от концентрации  $\text{BrO}_3^-$  указывает на постоянство состава ионных ассоциаций в довольно широком интервале изменения концентраций, составляющих ионную ассоциацию частиц.

Существенный интерес представляют данные по влиянию катионов  $(\text{H}_5)_4\text{N}^+$  и  $(\text{C}_4\text{H}_9)_4\text{N}^+$ . Из литературы известно, что адсорбция катионов ускоряет разряд положительно заряженных частиц и, наоборот, уско-

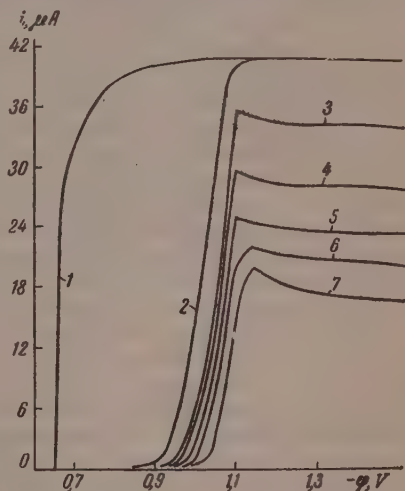


Рис. 7. Влияние добавок  $\text{Na}_2\text{SO}_4$  на восстановление  $\text{BrO}_3^-$  на фоне  $0,063 \text{ M}$   $\text{LaCl}_3$ ;  $[\text{BrO}_3^-] = 1,96 \cdot 10^{-3} \text{ N}$ . 1 — без добавок; концентрации  $\text{Na}_2\text{SO}_4$ : 2 —  $9,61 \cdot 10^{-3}$ ; 3 —  $1,88 \cdot 10^{-2}$ ; 4 —  $2,8 \cdot 10^{-2}$ ; 5 —  $3,63 \cdot 10^{-2}$ ; 6 —  $4,46 \cdot 10^{-2}$ ; 7 —  $6,03 \cdot 10^{-2} \text{ M}$ .



ряет процесс разряда анионов. Такое действие оказывают как неорганические [18, 19], так и поверхностно-активные органические катионы. Например,  $(C_4H_9)_4N^+$  повышает перенапряжение выделения водорода [20], но сильно ускоряет разряд анионов феррицианида [21],  $[Hg(CN)_4]^{2-}$  [22] и  $S_2O_3^{2-}$  [23]. Результаты предыдущих и настоящей работы также показывают, что катионы ускоряют процесс восстановления анионов. Поэтому описанное выше тормозящее влияние катионов  $(C_2H_5)_4N^+$  и  $(C_4H_9)_4N^+$  на разряд  $BrO_3^-$ , казалось бы, противоречит накопленному экспериментальному материалу. Это, однако, не так. Тормозящее действие указанных катионов в нашем случае объясняется именно тем, что в разряде участвуют ионные ассоциации. Поверхностно-активные катионы  $(C_2H_5)_4N^+$  или  $(C_4H_9)_4N^+$ , адсорбируясь на поверхности катода, сдвигают  $\phi_1$ -потенциал в положительную сторону и тем самым затрудняют адсорбцию  $La^{3+}$ , а следовательно, и уменьшают концентрацию ионных ассоциаций в двойном слое. Чем больше концентрация  $(C_2H_5)_4N^+$  или  $(C_4H_9)_4N^+$  в растворе, тем меньше поверхностная концентрация ионных ассоциаций при данном потенциале, тем в большей степени волна сдвинута в отрицательную сторону. На адсорбционный характер действия  $(C_2H_5)_4N^+$  и  $(C_4H_9)_4N^+$  указывает наличие площадки насыщения на графике  $\Delta\phi$ ,  $C_{доб}$ . Поскольку в присутствии  $La^{3+}$  сдвиг  $\phi_1$ -потенциала значительно больше, чем в присутствии  $Ba^{2+}$ , эффективность тормозящего действия одного из того же органического катиона должна быть в первом случае также большей. Различная же эффективность влияния  $(C_2H_5)_4N^+$  и  $(C_4H_9)_4N^+$  объясняется, очевидно, адсорбционными свойствами последних.

Таким образом все наблюдаемые на опыте явления могут быть объяснены при предположении об участии в реакции ионных ассоциаций. В настоящее время мы не располагаем достаточным экспериментальным материалом, позволяющим сделать окончательные выводы относительно механизма активации в случае высокозарядного катиона  $La^{3+}$ . Наиболее вероятным представляется деформация разряжающейся частицы сильным полем катиона, следствием чего является ослабление в ней связей. Возможно также, что облегчение процесса обязано наиболее энергетически выгодному расположению в двойном слое частиц, составляющих ионную ассоциацию.

Пользуясь случаем, выражаю глубокую благодарность акад. А. Н. Фрумкину, а также С. И. Жданову за ценные советы при обсуждении данной работы.

### Выводы

1. Изучено влияние добавок катионов более высокой зарядности на кинетику восстановления  $BrO_3^-$  на фоне катионов более низкой зарядности.
2. Наблюдаемые на опыте явления объяснены, исходя из представлений о дискретном распределении поля вдоль поверхности электрода и при предположении, что в разряде участвуют именно те анионы  $BrO_3^-$ , которые входят в состав ионных ассоциаций. При этом адсорбированному на поверхности катода катиону  $La^{3+}$  приписывается двойная роль: во-первых, облегчение образования ионных ассоциаций в двойном слое (влияние через  $\phi_1$ -потенциал), во-вторых, активация разряжающейся частицы. Вы сказано соображение относительно механизма активации.
3. Предполагается, что состав ионных ассоциаций зависит от рН и приэлектродном слое; при некотором значении последнего реакция восстановления  $BrO_3^-$  становится автокаталитической, ускоряющейся по мере  $OH^-$  в присутствии  $La^{3+}$ .
4. Разобран механизм тормозящего действия органических катионов  $(C_2H_5)_4N^+$  и  $(C_4H_9)_4N^+$ .

## ЛИТЕРАТУРА

- В. И. Зыков, С. И. Жданов, Ж. физ. химии, 32, 644, 1958.  
 В. И. Зыков, С. И. Жданов, Ж. физ. химии, 32, 791, 1958.  
 J. Heyrovsky, Actualités scientifiques et industr., 90, Paris, 1934.  
 M. Tokunaka, J. Ruzicka, Coll. czech. chem. comm., 6, 339, 1934.  
 J. Masek, Chem. Risty, 46, 683, 200, 1952.  
 A. Rilich, Coll. czech. chem. comm., 7, 288, 1935.  
 E. Orlemann, J. Kolthoff, J. Amer. Chem. Soc., 64, 1970, 1942.  
 A. Н. Фрумкин, С. И. Жданов, Докл. АН СССР, 92, 629, 1953.  
 L. Holleck, Z. phys. Chem., 194, 140, 1944.  
 L. Holleck, Z. Elektrochem., 49, 400, 1943.  
 Г. М. Флорианович, А. Н. Фрумкин, Ж. физ. химии, 29, 1827, 1955.  
 С. И. Жданов, Диссертация, ИФХ АН СССР, 1954.  
 J. M. Kolthoff, W. E. Harris, G. Matuyama, J. Amer. Chem. Soc., 66, 1782, 1944.  
 Bowles, Partridge, Industr. Eng. Chem. Anal. Ed., 9, 124, 1937.  
 T. Moeller, N. Vogel, J. Amer. Chem. Soc., 73, 4481, 1951.  
 T. Moeller, H. E. Kremers, J. Phys. Chem., 48, 395, 1944.  
 E. J. Wherlwright, F. H. Spedding, G. Schwarzenbach, J. Amer. Chem. Soc., 75, 4196, 1953.  
 В. В. Михайлов, Успехи химии, 20, 194, 1951.  
 Р. М. Васенин, С. В. Горбачев, Ж. физ. химии, 28, 2156, 1954.  
 Е. П. Андреева, Ж. физ. химии, 29, 699, 1955.  
 Л. А. Фокина, Дипломная работа, Хим. фак. МГУ, 1957.  
 J. Siekierski, Roszni. chem. 30, 1083, 1956.  
 Н. В. Николаева-Федорович, Б. Б. Дамаскин, Тр. Совещания по вопросам влияния поверхностно-активных веществ на электроосаждение металлов, Вильнюс, 1957, стр. 33; А. Н. Фрумкин, Тр. 4-го совещания по электрохимии (в печати).

# REDUCTION OF THE $\text{BrO}_3^-$ ANION ON THE DROPPING MERCURY ELECTRODE. III

V. I. Zykov (Moscow)

## Summary

Based on experimental data on the effect of higher charge cations on the reduction kinetics of  $\text{BrO}_3^-$  with lower charge cations as supporting electrolyte, it has been suggested that in the discharge anions participate that are constituents of ionic associations, the part played by the cation adsorbed on the cathode surface being, firstly, facilitating the formation of ionic associations in the electrical double layer (effect through the  $\psi$  potential) and, secondly, activation of the discharging particle. Depending upon the charge of the cation one or the other side of this dual effect may predominate. In case of  $\text{BrO}_3^-$  discharge in the presence of  $\text{La}^{3+}$  with univalent cations as supporting electrolyte, the influence of the  $\text{La}^{3+}$  cation is manifested chiefly in the activation process, whereas in the presence of  $\text{Ba}^{2+}$  it is manifested in an increase in surface concentration of ionic associations, activation of  $\text{BrO}_3^-$  by  $\text{Ba}^{2+}$  being insignificant. An assumption has been advanced regarding the mechanism of activation. The composition of the ionic associations could depend upon the pH in the pre-electrode layer. The mechanism of the retarding effect of the organic cations  $(\text{C}_2\text{H}_5)_4\text{N}^+$  and  $(\text{C}_4\text{H}_9)_4\text{N}^+$  has been examined.

## К ИЗУЧЕНИЮ КИНЕТИКИ РЕАКЦИЙ ДИССОЦИАЦИИ И ОБРАЗОВАНИЯ ИНТЕРМЕТАЛЛИЧЕСКИХ СОЕДИНЕНИЙ В РАСПЛАВАХ МЕТОДОМ ИЗМЕРЕНИЯ ВЯЗКОСТИ

*В. М. Глазов и В. Н. Вигдорович*

Детальное изучение процессов, протекающих при синтезе и разложении интерметаллических соединений, помимо известного теоретического интереса, имеет также большое практическое значение, так как при этом становится возможным выяснение многих важных особенностей химических процессов и более глубокое понимание механизма взаимодействия веществ. Методы исследования кинетики химических реакций, протекающих в растворах, в настоящее время хорошо известны и широко используются при изучении самых разнообразных реакций. Однако аналогичные исследования в расплавах интерметаллических соединений затруднены, поскольку в большинстве случаев нет возможности химическим путем определить концентрации взаимодействующих веществ в процессе протекания реакции между ними. По этой причине реакции образования и диссоциации интерметаллических соединений до настоящего времени совершенно не исследовались. Между тем для этих целей с успехом может быть использован метод измерения вязкости расплава.

Впервые исследование кинетики медленно текущих реакций образования интерметаллических соединений было проведено в работе [1]. Настоящая работа имеет целью показать возможность исследования кинетики химических реакций 1, 2, 3 и  $n$ -го порядка методом вязкости, не имея при этом в виду химических реакций, протекающих в растворах.

Некоторые теоретические предпосылки. Как известно, вязкость, являясь структурно-чувствительной характеристикой, изменяется при изменении размеров и формы структурных единиц, составляющих данную жидкость\* [2]. В связи с этим, очевидно, что с течением времени по мере диссоциации или образования химического соединения вязкость расплава должна изменяться в соответствующем направлении, а по окончании реакции — оставаться постоянной. Связав вязкость с концентрацией химического соединения или других реагирующих веществ в расплаве, представляется возможным при помощи этого метода изучать процесс течения реакции во времени.

В 1887 г. Аррениусом была предложена формула для двойных жидких растворов

$$\lg \eta = x \lg \eta_1 + (1 - x) \lg \eta_2, \quad (1)$$

где  $x$  — объемная доля одного из компонентов.

Аррениус показал, что эта формула довольно хорошо соответствует опытным данным в сравнительно узком интервале концентраций (до 0,1 объемной доли одного из компонентов) [3].

Впоследствии Кендэлл и Монроэ [4], придав  $x$  в уравнении Аррениуса (1) значение мольной концентрации одного из компонентов, обследовали несколько десятков

\* Под этим понимаются структурные изменения, касающиеся перемещений в структуре ближнего порядка жидкости, в ассоциации и диссоциации молекул и атомов и других явлений, которые обычно не связаны с появлением межфазовых поверхностей раздела, переводящих систему из гомогенного в гетерогенное состояние.



ойных жидких систем и нашли, что в этом случае получается лучшее соответствие между расчетными и экспериментальными данными, однако полного совпадения во всем интервале концентраций обнаружено не было.

Позднее Кендэллом и Райтом [5] было обнаружено очень хорошее совпадение опытных и рассчитанных величин (максимальное отклонение 0,2%) для системы фенотол — дифениловый эфир в пределах значений  $x$  от 0 до 1.

Д. А. Поспеховым [6] была произведена обработка данных по вязкости, полученных в работах [7, 8], и показано, что в системах 1,1,2,2-тетрахлорэтан — ацетофенон, цетон — четыреххлористый углерод и этилацетат — диэтилсукцинат аддитивность логарифма вязкости соблюдается с очень большой точностью.

Среди жидкостей наиболее простым строением отличаются металлические расплавы. Поэтому можно полагать, что аддитивность логарифма вязкости в случае последних будет выполняться с еще большей точностью, вязкость расплава интерметаллического соединения по мере течения реакции изменяется таким образом, что с достаточной точностью соблюдается аддитивность логарифма вязкости. Это позволяет использовать вязкость в качестве критерия концентрации химического соединения в расплаве.

В данном случае, очевидно, будут использоваться значения вязкости в начале и конце исследуемой реакции, причем, полагая логарифм каждого из этих значений аддитивным от логарифмов вязкости веществ, вступающих и полученных в результате реакции в отдельности ( $\lg \eta = \sum_i x_i \lg \eta_i$ ), расплав можно рассматривать как квазибинарную систему и использовать для расчетов уравнение (1). Тогда текущая вязкость определится из следующего уравнения:

$$\lg \eta = c_H \lg \eta_H + (1 - c_H) \lg \eta_K, \quad (2)$$

где  $\eta$  — вязкость системы, изменяющаяся в процессе изучаемой химической реакции,  $c_H$  и  $c_K$  — «мольные» доли начальных и конечных продуктов в реакции,  $\eta_H$  и  $\eta_K$  — вязкости расплавов исходных и конечных веществ, принимающих участие в реакции.

Отсюда можно определить «мольные» доли начальных и конечных продуктов реакции:

$$c_H = \frac{\lg \eta_K - \lg \eta}{\lg \eta_K - \lg \eta_H}, \quad (3)$$

$$c_K = \frac{\lg \eta_H - \lg \eta}{\lg \eta_H - \lg \eta_K}. \quad (4)$$

Далее, если для простоты принять в качестве допущения\*, что стехиометрические коэффициенты реагирующих веществ в уравнении химической реакции одинаковы, то определение мольной доли каждого из реагирующих веществ не встречает затруднения. При этом мольные доли начальных веществ составляют равные части от  $c_H$  и  $c_K$ , обратно пропорциональные числу взаимодействующих веществ.

Реакции первого порядка. В общем виде реакция первого порядка может быть представлена, например, в виде уравнения:



Реакция протекает в гомогенном расплаве необратимо. Тогда к ней можно применить уравнение гомогенной кинетики.

\* Допущение принимается для упрощения, поскольку более общий случай приводит к более громоздким уравнениям, не являющимся принципиально отличными.

Для реакции первого порядка имеем

$$k = \frac{2,303}{\tau} \lg \frac{c}{c_0}, \quad (5)$$

где  $k$  — константа скорости реакции,  $c$  и  $c_0$  — текущая и начальная концентрация. Поскольку  $c$  задается уравнением (3), а  $c_0 = 1$ , то получаем

$$k = \frac{2,303}{\tau} \lg \frac{\lg \eta_K - \lg \eta_H}{\lg \eta_K - \lg \eta}, \quad (6)$$

откуда видно, что признаком реакции первого порядка может служить линейность функции

$$\lg \lg \eta = f(\tau). \quad (7)$$

Реакции второго порядка. Реакцию второго порядка схематически можно изобразить следующим образом:



что соответствует обычным реакциям образования соединений. Для реакций второго порядка имеем

$$k = \frac{1}{\tau} \left( \frac{1}{c} - \frac{1}{c_0} \right). \quad (8)$$

Так как

$$c = \frac{1}{2} \frac{\lg \eta_K - \lg \eta}{\lg \eta_K - \lg \eta_H} \quad (9)$$

и

$$c_0 = \frac{1}{2},$$

то получаем

$$k = \frac{2}{\tau} \frac{\lg \eta - \lg \eta_H}{\lg \eta_K - \lg \eta}. \quad (10)$$

Признаком реакций второго порядка, изучаемых методом вязкости, может служить линейность функции

$$\frac{a}{b - \lg \eta} = f(\tau), \quad (11)$$

где  $a$  и  $b$  — любые постоянные величины.

Реакции третьего порядка. Схематически реакцию третьего порядка можно представить в виде:



Возможны и другие схемы протекания таких реакций, однако принципиального значения это обстоятельство не имеет. Для реакций третьего порядка имеем

$$k = \frac{1}{\tau} \left( \frac{1}{c^2} - \frac{1}{c_0^2} \right). \quad (12)$$

Учитывая, что

$$c = \frac{1}{3} \frac{\lg \eta_K - \lg \eta}{\lg \eta_K - \lg \eta_H} \quad (13)$$

$$c_0 = \frac{1}{3},$$

лучаем

$$k = \frac{9}{2\tau} \left[ \left( \frac{\lg \eta_K - \lg \eta_H}{\lg \eta_K - \lg \eta} \right)^2 - 1 \right]. \quad (14)$$

В этом случае признаком реакции третьего порядка, выраженным через измеренные значения вязкости, может служить линейность функции

$$\frac{a}{b - \lg^2 \eta} = f(\tau). \quad (15)$$

Общая форма написания уравнений при  $n$ -ом порядке. Анализируя полученные закономерности в изменении формы написания уравнений по мере возрастания порядка реакций, для реакции  $n$ -го порядка имеем

$$c = \frac{1}{n} \frac{\lg \eta_K - \lg \eta}{\lg \eta_K - \lg \eta_H} \quad (16)$$

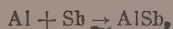
$$k = \frac{1}{\tau} \frac{n^{n-1}}{n-1} \left[ \left( \frac{\lg \eta_K - \lg \eta_H}{\lg \eta_K - \lg \eta} \right)^{n-1} \right]. \quad (17)$$

Следует, что критерием для определения порядка реакции служит линейность функции:

$$\frac{a}{b - (\lg \eta)^{n-1}} = f(\tau). \quad (18)$$

Полученные соотношения являются принципиально правильными в отношении к исследованию реакций, протекающих в гомогенных системах и являющихся необратимыми. Экспериментальное изучение реакций одом вязкости выдвигает в качестве основного требования относительно медленного протекание исследуемой реакции.

Возможность использования метода вязкости для изучения кинетики реакций, протекающих в расплавах интерметаллических соединений, была экспериментально проверена на примере реакции образования антимоноиды миния. Была исследована вязкость при 1090, 1120, 1150 и 1200° С в зависимости от времени. Обработка полученных данных при помощи уравнений (7), (11) и (15) показывает, что лучше всего полученные экспериментальные данные удовлетворяют линейному закону (11). На основании этих данных сделано заключение, что реакция образования антимоноиды миния является реакцией второго порядка и может быть записана следующим образом:



что соответствует схеме (II).

Расчет по формуле (9) зависимости концентрации алюминия от времени для четырех указанных выше температур и анализ полученных данных при помощи обычных критериев для определения порядка реакции показывает, что лучше всего линейный закон удовлетворяется в случае построения зависимости обратной концентрации алюминия от времени, что подтверждает сделанный вывод о порядке разбираемой реакции. Тот факт, что экспериментально найденный порядок реакции и предполагаемая молекулярность ее совпадают, свидетельствует о правильности сделанных предположений при выводе основных уравнений.



При помощи уравнения (10) произведен расчет констант скорости реакции для четырех температур (таблица). Представление полученных данных в полулогарифмических координатах показывает, что зависимость логарифма константы скорости реакции от обратной температуры удовлетворяет известному уравнению Аррениуса:

t, °C	1090	1120	1150	1200
k	0,115	0,222	0,355	1,02

$$\lg k = \frac{A}{T} + B$$

Определенная отсюда энергия активации реакции образования антимонида алюминия оказалась равной  $91\,500 \pm 200$  кал/моль.

В заключение следует указать, что метод вязкости можно использовать не только для изучения реакций, протекающих в расплавах интерметаллических соединений, но также и в иных системах (например, в расплавах солей), однако всякий раз необходимо оценить справедливость уравнения (2) в применении к рассматриваемой системе.

### Выводы

1. Для исследования кинетики химических процессов синтеза и разложения интерметаллических соединений предложен метод измерения вязкости расплава. Этому методу дано теоретическое обоснование, и указана связь концентраций реагирующих веществ с величиной вязкости расплава.

2. Для иллюстрации развиваемых положений в качестве примера приведено экспериментальное изучение реакции образования антимонида алюминия.

Академия наук СССР  
Институт металлургии им. А. А. Байкова  
Институт цветных металлов и золота  
им. М. И. Калинина

Поступила  
12.III.1958

### ЛИТЕРАТУРА

1. В. М. Глазов, Заводск. лаборатория, № 7, 1958.
2. В. Я. Аносов, С. А. Погодин, Основные начала физико-химического анализа, Изд-во АН СССР, М., 1947.
3. S. Arrhenius, Z. phys. Chem., 1, 285, 1887.
4. J. Kendall, K. P. Monroe, J. Amer. Chem. Soc., 39, 1787, 1917.
5. J. Kendall, A. H. Wright, J. Amer. Chem. Soc., 42, 1776, 1920.
6. Д. А. Поспехов, Ж. физ. химии, 30, 228, 1956.
7. А. Н. Саханов, Н. А. Ряховский, ЖРХО, 47, 118, 1915.
8. R. Kremann, F. Gugl, R. Meingast, Monatsh. Chem., 35, 1365, 1904.

### CONTRIBUTION TO THE STUDY OF THE KINETICS OF DISSOCIATION AND FORMATION OF INTERMETALLIC COMPOUNDS IN MELTS BY THE VISCOSITY METHOD

V. M. Glazov and V. N. Vigdorovich (Moscow)

#### Summary

Kinetic studies of reactions of intermetallic compounds by usual methods met with difficulties. In the present work the viscosity method is proposed for this purpose. Based on the assumption of additivity of the logarithm of viscosity a formal mathematical procedure has been presented for studying with the aid of this method reactions of first, second, third and  $n^{\text{th}}$  order.

The principles described have been experimentally illustrated on the reaction of formation of aluminium antimonide.

ОБ ИСПОЛЬЗОВАНИИ ЕМКОСТНЫХ ЯВЛЕНИЙ У РТУТНОГО  
ПЕЛЬНОГО ЭЛЕКТРОДА ДЛЯ ИССЛЕДОВАНИЯ ХИМИЧЕСКОЙ  
КИНЕТИКИ*А. Добренков, Р. К. Банковский и Р. Ш. Нигматуллин*

В настоящее время в области кинетики широко применяются самые различные обстоятельно разработанные методы исследования химических процессов. Несмотря на это задачи дальнейшего расширения и совершенствования методики эксперимента в этой важной и сложной области физической химии до сих пор продолжают сохранять свое значение. Приводимая ниже работа посвящена рассмотрению одного из таких вопросов и ставит результаты приложения емкостных явлений у ртутного капельного электрода для исследования кинетики химических реакций в водных растворах. Предлагаемая в работе методика изучения скоростей реакций применима в тех случаях, когда одним из участников или продуктов реакции является вещество, обладающее поверхностной активностью на границе раздела фаз: ртуть — электролит.

В присутствии поверхностно-активных веществ молекулярного типа в растворе электролитов кривые дифференциальной емкости двойного электрического слоя претерпевают значительные изменения ввиду адсорбции молекул органических соединений. Эти изменения наблюдаются в определенной области электродных потенциалов и характеризуются резким изменением емкости двойного слоя.

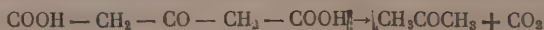
В то же время на границах области адсорбции кривая дифференциальной емкости имеет два резких максимума, называемых пиками десорбции, потенциалы которых зависят от природы адсорбирующегося вещества. Образование таких пиков на емкостных кривых было впервые обнаружено и теоретически объяснено в работах А. Н. Фрумкина [1, 2]. С тех пор опубликовано большое число работ, содержащих сведения о действии различных органических молекул на дифференциальную емкость ртутного электрода. Результаты некоторых из них отчетливо показывают, что при постепенном изменении концентрации поверхностно-активных молекул пики закономерно и монотонно изменяются и емкости, соответствующие максимумам и минимумам на кривых дифференциальных емкостей [3-6]. В зависимости от природы органических молекул степень изменения емкости может довольно сильно отличаться от опыта к опыту. При определенных для каждого случая условиях изменения величин максимумов емкостей настолько значительны, что могут быть использованы для достаточно точных определений концентрации поверхностно-активных веществ.

Этой точки зрения, обращают на себя внимание также и выводы работ [7] о значительных и монотонных смещениях потенциалов максимумов емкостей по мере изменения концентрации поверхностно-активных веществ.

Обычно применяемая для измерения дифференциальной емкости трудная методика определения емкостных кривых по точкам не могла позволить рационально использовать упомянутые выше особенности емкостных явлений у капельного ртутного электрода для каких-либо практических положений. Постановка и решение такой задачи в данной работе стали возможными благодаря использованию преимуществ снятия емкостных кривых при помощи осциллографического полярографа.

### Экспериментальная часть

В качестве объекта исследования нами была выбрана реакция распада ацетондикарбоновой кислоты, обстоятельно изученная химическим методом титрования проб [8]. Измерение скорости разложения кислоты в водном растворе по уравнению



осуществлялось при помощи определений концентрации образующегося ацетона. В отличие от кислоты, не обладающей поверхностной активностью, продукт реакции — ацетон вызывает на кривой дифференциальной емкости появление пиков десорбции, которые отчетливо видны на осциллограмме, изображенной на рис. 1.

Все измерения кривых дифференциальной емкости, использованные для расчетов скорости реакции, проведены при частоте 20 гц на осциллографическом полярографе, радиотехническая схема которого представляла собой несколько измененную схему, опубликованную в статье [9]. Капляр имел следующие характеристики:  $m = 0,413 \text{ мг} \cdot \text{сек}^{-1}$ , период капляния  $\tau = 3,3 \text{ сек}$ . Потенциал поляризуемого электрода измерялся в сравнении с потенциалом донной ртути. Осциллограммы анализировали по кривой емкости, соответствующей моменту отрыва ртутной капли. При этом максимальная величина поверхности равнялась  $0,01 \text{ см}^2$ .

Ацетондикарбоновая кислота получалась по методу, предложенному в литературе [10]. После надлежащей сушки продукт имел т. пл.  $135^\circ \text{C}$ .

На осциллограмме рис. 1 видны два максимума емкости, возникающие соответственно при потенциалах  $\varphi = -0,50 \text{ В}$  и  $\varphi = -1,40 \text{ В}$ , а также область преимущественной адсорбции, лежащая между этими значениями потенциалов. В присутствии ацетондикарбоновой кислоты кривая дифференциальной емкости ртутного электрода в растворе  $2N \text{ NaNO}_3$ , содержащем ацетон, несколько изменяется. В этом случае на осциллограмме сохраняется лишь один максимум емкости при потенциале  $\varphi = -0,50 \text{ В}$ , а второй максимум сливается с волной восстановления водородного иона. Одновременно наблюдается также и некоторое снижение высоты первого максимума.

На основании результатов работы [8] в качестве электролита-фона избран нитрат натрия как реагент, мало влияющий на кинетику разложения ацетондикарбоновой кислоты. Высокая концентрация поддерживающего электролита объясняется необходимостью снизить влияние изменения концентрации кислоты на кривую емкости.

В последующих опытах расчет концентрации ацетона производился по участку кривой емкости, отдельно представленному для растворов различных концентраций на рис. 2.

Как видно из этого рисунка, для определения концентрации ацетона использовались либо величины пиков емкости ( $h_1$ ,  $h_2$  и т. д.), либо относительные значения потенциалов пиков десорбции ( $e_1$ ,  $e_2$  и т. д.). При этом значения  $e_1$ ,  $e_2$  и другие рассчитывались по разности потенциалов пиков и потенциалов минимумов емкости. В связи с относительно небольшими изменениями концентраций потенциалы минимумов в процессе измерения практически не менялись.

В начале работы было установлено, что высоты пиков емкости в присутствии ацетона возрастают линейно до концентрации ацетона, равной  $0,8 \text{ моль/л}$ . Калибровочные линии, приведенные на рис. 3, получены в указанном интервале концентраций и с учетом влияния концентрации ацетондикарбоновой кислоты.

\* Константа реакции разложения кислоты, полученная для проверки в условиях опытов работы [8] при  $40^\circ \text{C}$ , оказалась равной  $52,6 \cdot 10^{-4}$  вместо  $57,0 \cdot 10^{-4}$ .



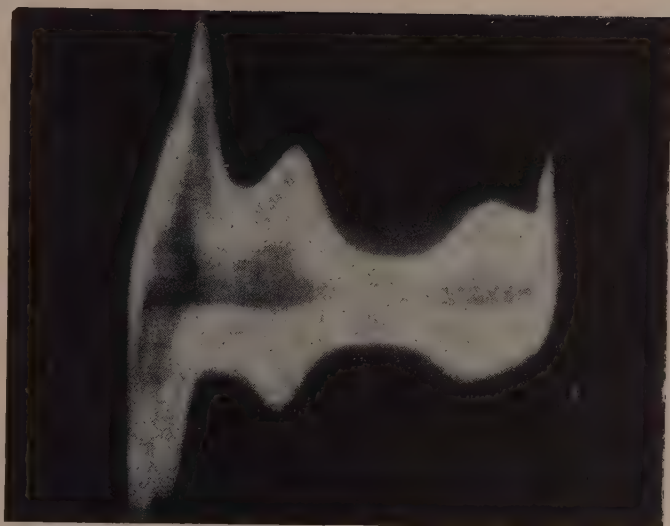


Рис. 1. Осциллограмма раствора 2 *N* NaNO<sub>3</sub> + 0,7 *M* ацетона

[illegible]

В начальной стадии реакции, когда концентрация образующегося ацетона невелика, величина максимума емкости также является небольшой. Поэтому целесообразно ко всем анализируемым и калибровочным растворам добавлять определенное количество ацетона, влияние которого на измеряемые величины в дальнейшем, при необходимости, может быть легко учтено.

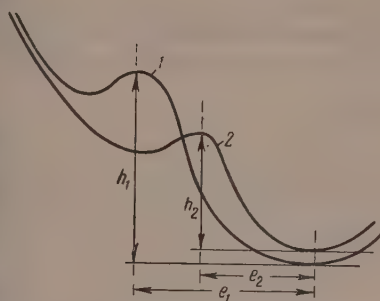


Рис. 2. Анализируемые участки кривой емкости для растворов, содержащих  $\text{NaNO}_3 + \text{CO}(\text{CH}_2\text{COOH})_2 +$  ацетон, при двух концентрациях ацетона  $c_1 > c_2$

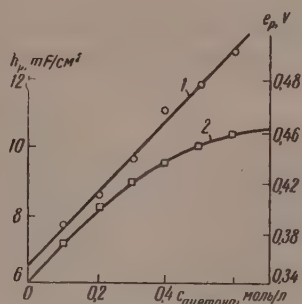


Рис. 3. Калибровочные линии: 1 — калибровка по величинам пиков емкости  $h_p$ , 2 — калибровка по значениям разностей потенциалов  $e_p$

Результаты исследования кинетики разложения ацетондикарбоновой кислоты в присутствии  $2N \text{ NaNO}_3$  при  $20^\circ\text{C}$  приведены в таблице. Таблица содержит одновременно данные химических и осциллографических измерений. Все концентрации ацетона для упрощения работы пересчитаны на

Результаты химических измерений			Результаты осциллографических измерений			
Время, мин.	концентрация кислоты, моль/л	константа скорости реакции, $k \cdot 10^4 \text{ мин.}^{-1}$	по величинам пиков $h_p$		по потенциалам пиков $e_p$	
			концентрация кислоты, моль/л	константа скорости реакции, $k \cdot 10^4 \text{ мин.}^{-1}$	концентрация кислоты, моль/л	константа скорости реакции, $k \cdot 10^4 \text{ мин.}^{-1}$
0	0,846	—	0,85	—	0,85	—
20	0,810	3,6	0,82	3,0	0,81	4,0
40	0,788	3,0	0,78	3,6	0,79	3,1
60	0,766	2,8	0,74	3,9	0,75	3,5
80	0,723	3,3	0,72	3,5	0,72	3,5
100	0,713	2,9	0,71	3,0	0,71	3,0
120	0,648	3,2	0,67	3,3	0,68	2,8
Среднее						
			$3,1 \pm 0,2$		$3,4 \pm 0,3$	
					$3,3 \pm 0,4$	

соответствующие концентрации кислоты. Кинетические константы подсчитались по уравнению реакции первого порядка. Максимальная относительная ошибка измерений концентраций при химических определениях составляла 0,3% и при осциллографических измерениях 2%.

Рассчитанные величины констант скоростей  $k$ , содержащиеся в таблице, показывают хорошее совпадение величин, полученных химическим и осциллографическим способами. Они одновременно позволяют сделать вывод, что точность определений константы  $k$  по величинам емкостей максимумов и по значениям потенциалов пиков примерно одинакова. В других сериях измерений отклонения были того же порядка, какие указаны в таблице.



Ввиду большой распространенности органических соединений, обладающих поверхностной активностью на границе раздела ртуть — электролит (спирты, кислоты, производные бензола, соединения с ненасыщенными связями и т. д.), предлагаемая методика изучения кинетики реакции с участием поверхностно-активных веществ может найти широкое применение.

Можно предполагать также, что в случаях, отличающихся сложностью определения концентраций, эта методика окажется более простой по сравнению с другими апробированными химическими методами исследования.

### Выводы

1. Монотонные изменения высоты и потенциалов пиков десорбции и кривой дифференциальной емкости при изменении концентрации поверхностно-активных веществ могут быть использованы для изучения кинетики химических реакций с участием этих веществ.

2. С применением осциллографической полярографии на примере разложения ацетондикарбоновой кислоты показано, что точность кинетических определений по величинам емкостей максимумов и по значениям потенциалов пиков десорбции примерно одинакова. Результаты осциллографических измерений находятся в хорошем согласии с результатами химического определения константы скорости реакции.

3. Высказано мнение о принципиальной возможности широкого применения метода к изучению химической кинетики, ввиду большой распространенности реакций с участием поверхностно-активных реагентов.

Химико-технологический  
институт им. С. М. Кирова  
Авиационный институт  
Казань

Поступила  
12.III.1958

### ЛИТЕРАТУРА

1. М. А. Проскурнин и А. Н. Фрумкин, Trans. Faraday Soc., 31, 11, 1935.
2. А. Н. Фрумкин, В. С. Багоцкий, З. А. Иофа, Б. Н. Кабанов, Кинетика электродных процессов, МГУ, 1952, стр. 40.
3. М. А. Лошкарёв, А. М. Кривцов и А. А. Крюкова, Ж. физ. химии, 23, 221, 1949.
4. В. Л. Хейфец, Б. С. Красиков, В. В. Сысоева, И. В. Гусева, Вестн. ЛГУ, Сер. физ. и химии, 22, 128, 1956.
5. В. Л. Хейфец, Б. С. Красиков, Ж. физ. химии, 31, 1227, 1957.
6. В. И. Мелик-Гайказян, Ж. физ. химии, 26, 560, 1952.
7. I. W. Loveland, P. I. Elving, J. Phys. Chem., 56, 945, 1952.
8. E. Wiig, J. Phys. Chem., 32, 961, 1928; 34, 596, 1930.
9. I. W. Loveland, P. I. Elving, J. Phys. Chem., 56, 250, 1952.
10. Синтезы органических препаратов, сборник 1, стр. 70, ИЛ, 1949.

### ON THE USE OF CAPACITANCE PHENOMENA AT THE DROPPING MERCURY ELECTRODE TO STUDY CHEMICAL KINETICS

G. A. Dobrenkov, R. K. Bankovskii and R. Sh. Nigmatullin (Kazan')

#### Summary

The unilateral changes in the sizes of the desorption peaks and in the values of the potentials on the curves for the differential capacitance of the electrical double layer observed in the presence and on gradual change in concentration of surface active substances may be used for investigating the kinetics of chemical reactions in aqueous solution. Employing oscillographic polarography it has been shown on the example of decomposition of acetone dicarboxylic acid that the results of oscillographic measurements in good agreement with the results of chemical determinations of rate constants.

Owing to the widespreadness of reactions with participation of surface active substances it is believed that the method may find wide application in studies of chemical kinetics.

О ДЕЙСТВИИ ДОБАВОК 8-ОКСИХИНОЛИНА НА СКОРОСТЬ  
РАСТВОРЕНИЯ ЖЕЛЕЗА И АЛЮМИНИЯ В СОЛЯНОЙ КИСЛОТЕ \*

И. Е. Титова

8-Оксихинолин находит широкое применение в аналитической химии для разделения металлов, а также употребляется в медицине и сельском хозяйстве как средство, обладающее бактерицидными свойствами. В литературе есть указания об ингибиторном действии 8-оксихинолина при растворении железа в серной кислоте. Например, в 1,6 N  $H_2SO_4$  при концентрации 8-оксихинолина 1,45%, процент защитного действия равен 4 [1].

Мы изучали применение 8-оксихинолина в качестве ингибитора растворения железа и алюминия в соляной кислоте, но не получили ожидаемых результатов, тем не менее исследование выявило специфику действия 8-оксихинолина, что может быть полезным дополнением к углубленной представленной о его химических свойствах; результаты опытов интересны также с точки зрения разработки теории действия добавок.

## Экспериментальная часть

В работе использовались весовой метод и метод поляризационных кривых. Методика экспериментов была аналогична ранее описанной [2]. Температура опытов  $18^\circ \pm 1$ . Изучение скорости растворения железа и алюминия в соляной кислоте в присутствии добавок 8-оксихинолина показало, что добавки оказывают различное действие на скорость растворения этих металлов. Скорость растворения алюминия в соляной кислоте в присутствии добавок возрастает, а скорость растворения железа — падает. Величина как стимулирующего, так и ингибиторного действия 8-оксихинолина зависит от концентрации кислоты и от концентрации самих добавок (рис. 1).

Из рис. 1 видно, что добавки 8-оксихинолина оказывают наибольшее стимулирующее действие на скорость растворения алюминия в более разведенной (0,51 N) соляной кислоте. С увеличением концентрации соляной кислоты стимулирующее действие падает, а в 2,28 N HCl переходит в ингибиторное.

Величина стимулирующего действия зависит также и от концентрации добавок. При увеличении количества 8-оксихинолина в соляной кислоте одной и той же концентрации наблюдается спадение стимулирующего действия. Ингибиторное действие 8-оксихинолина на скорость растворения железа возрастает с увеличением концентрации добавок.

Применение метода поляризационных кривых показало, что характер действия добавок 8-оксихинолина при растворении железа и алюминия в соляной кислоте различен (рис. 2 и 3).

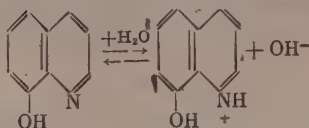
Из приведенных рисунков видно, что добавки 8-оксихинолина в случае растворения железа в соляной кислоте замедляют и катодный и анодный процессы, а в случае алюминия замедляют катодный процесс, а интенсивность анодного процесса усиливают.

\* В работе принимали участие студенты А. Родионова и В. Иконникова.

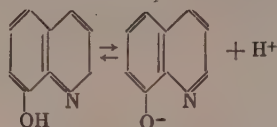
## Обсуждение результатов

Наблюдающиеся особенности действия добавок 8-оксихинолина могут быть объяснены, если исходить из свойств этого соединения.

8-Оксихинолин, как известно, амфотерен и способен проявлять и кислотные и основные свойства в зависимости от кислотности среды. В кислой среде проявляются, главным образом, основные свойства его, причем образуются положительно заряженные ионы:



В щелочной среде проявляются кислотные свойства, причем образуются анионы:



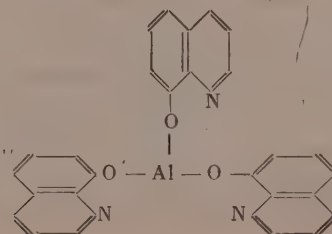
По литературным данным константы диссоциации 8-оксихинолина по кислотному и по основному типу равны [3]:  $K_K = 2 \cdot 10^{-10}$ ,  $K_O = 1 \cdot 10^{-10}$ .

Зная активность  $H^+$  и  $OH^-$  и концентрацию взятой добавки 8-оксихинолина, можно подсчитать число катионов и анионов соединения, которое имеется в изученных растворах, по формулам:

$$[\text{катионов}] = \frac{10^{-10} \cdot [\text{соединения}]}{[OH^-] + 10^{-10}}, \quad [\text{анионов}] = \frac{2 \cdot 10^{-10} \cdot [\text{соединения}]}{[H^+] + 2 \cdot 10^{-10}}$$

Из расчетов следует, что концентрация катионов и анионов соединения в растворе растет с увеличением концентрации добавки, но концентрация анионов падает при увеличении концентрации соляной кислоты. Снижение ускоряющего действия добавок 8-оксихинолина на скорость растворения алюминия наблюдается при отношении концентраций анионов и катионов в растворе, приблизительно равном  $0,2 \cdot 10^{-9}$ . До этого момента ускоряющее действие растет при увеличении концентрации добавок, достигает максимума. Значение максимума каждый раз при увеличении концентрации соляной кислоты понижается (рис. 1).

Такое явление объясняется изменением числа катионов и анионов в растворе при указанных условиях и их различным действием на скорость растворения алюминия в соляной кислоте. Катионы способны замедлять скорость растворения алюминия, однако они начинают адсорбироваться поверхностью алюминия только при более или менее значительной концентрации их в растворе. Анионы способны ускорить растворение алюминия, причем ускоряющее действие пропорционально их относительной концентрации в растворах. Ускоряющее действие анионов, по-видимому, связано с их способностью образовывать вблизи поверхности алюминия соединение [4]:





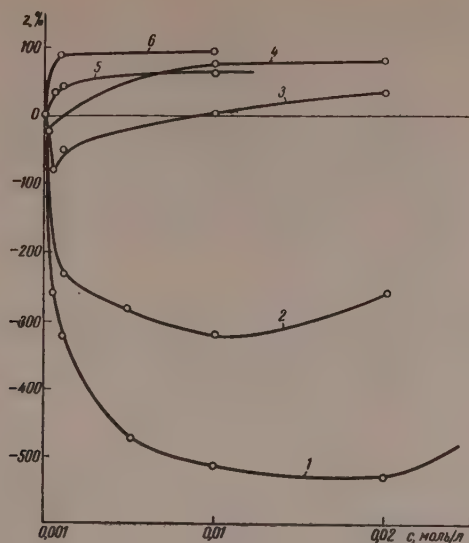


Рис. 1

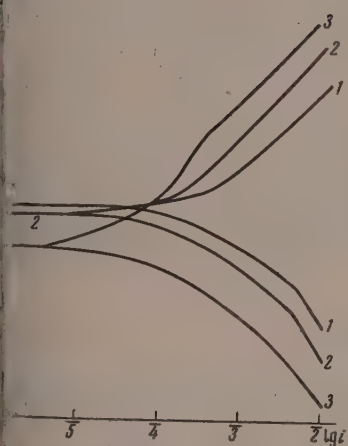


Рис. 2

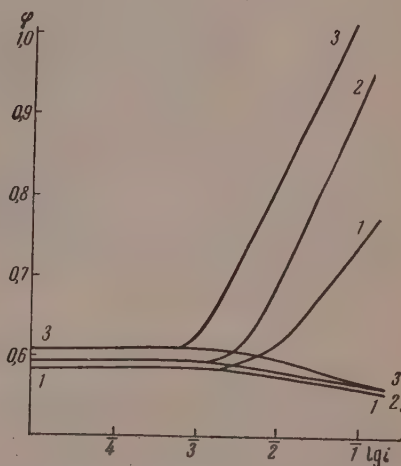


Рис. 3

1. Процент защитного действия ( $z\%$ ) добавок 8-оксихинолина при растворении железа и алюминия в соляной кислоте: 1—Al, 0,51 N HCl; 2—Al, 1,06 N HCl; 3—Al, 1,6 N HCl; 4—Al, 2,28 N HCl; 5—Fe, 1,06 N HCl; 6—Fe, 2,28 N HCl
2. Поляризационные кривые железа в соляной кислоте в присутствии добавок 8-оксихинолина: 1—1,69 N HCl; 2—1,69 N HCl + 0,0005 моль/л  $C_9H_7ON$ ; 3—1,69 N HCl + 0,01 моль/л  $C_9H_7ON$
3. Поляризационные кривые алюминия в соляной кислоте в присутствии добавок 8-оксихинолина: 1—1,69 N HCl; 2—1,69 N HCl + 0,001 моль/л  $C_9H_7ON$ ; 3—1,69 N HCl + 0,01 моль/л  $C_9H_7ON$

Из литературы известно, что для образования комплексных соединений металлов с анионами слабых кислот требуются весьма малые концентрации последних, величины которых определяются кислотностью среды, а также константами диссоциации слабой кислоты и получающегося комплекса [5].

Способность анионов ускорять анодный процесс подтверждается поляризационными измерениями, показывающими, что анодный процесс облегчается в присутствии добавок 8-оксихинолина (рис. 3). По отношению к растворению железа в соляной кислоте 8-оксихинолин является полным ингибитором. Основным действующим компонентом в данном случае являются катионы, которые хорошо адсорбируются поверхностью железа. Этим объясняется увеличение замедляющего действия при росте концентрации добавок. Такое мнение подтверждается поляризационными измерениями, которые показывают, что добавки 8-оксихинолина вызывают торможение и катодного и анодного процессов (рис. 2). Известно, что многие положительные ионы азотсодержащих соединений вызывают логичный сдвиг поляризационных кривых [6]. По-видимому, катионы способны адсорбироваться поверхностью железа и при анодной его поляризации. Поверхностью же алюминия катионы и при стационарном потенциале адсорбируются слабо. Адсорбция их усиливается при катодной поляризации поверхности алюминия, причем и проявляется их тормозящее действие на катодный процесс (рис. 3). Мы и раньше наблюдали, что различные азотсодержащие соединения, сильно ингибирующие растворение железа в соляной кислоте, являются слабыми ингибиторами для алюминия [7]. Различная адсорбируемость положительных азотсодержащих ионов объясняется различным зарядом поверхностей железа и алюминия.

На поверхности железа в соляной кислоте имеет место специфическая адсорбция ионов хлора, причем поверхность приобретает отрицательный заряд, все это способствует адсорбируемости катионов [8]. Поверхность же алюминия, по-видимому, заряжена положительно.

Различная адсорбируемость анионов 8-оксихинолина поверхностью железа и алюминия объясняется не только различным знаком зарядов поверхностей этих металлов, но и спецификой их. В литературе есть сведения, что связь металл—кислород может иметь разную степень ковалентности в зависимости от природы металла [9]. Относительно алюминия указывается, что этот металл способен образовывать с 8-оксихинолином прочные соединения, указанная связь в которых по характеру приближается к ковалентной [4].

### Выводы

1. Изучено действие добавок 8-оксихинолина на скорость растворения железа и алюминия в соляной кислоте 0,51; 1,06; 1,69 и 2,28 N, при различных концентрациях добавок: от 0,0001 до 0,04 моль/л.
2. Установлено, что 8-оксихинолин является ингибитором растворения железа в соляной кислоте, причем ингибиторное действие его нарастает при увеличении концентрации кислоты и при увеличении концентрации добавок.
3. Показано, что на скорость растворения алюминия в соляной кислоте 8-оксихинолин может оказывать и стимулирующее и ингибиторное действие в зависимости от концентрации кислоты и концентрации добавок.
4. Наблюдаемые явления объяснены из рассмотрения химических свойств 8-оксихинолина и специфических свойств поверхностей железа и алюминия в соляной кислоте.

## ЛИТЕРАТУРА

1. С. Д. Бесков, С. А. Балежин, Уч. зап. Московск. пед. ин-т, 44, 3, 1947.
2. И. Е. Титова и Г. И. Чуфаров. Ж. физ. химии, 29 502, 1955.
3. Р. Берг, Применение 8-оксихинолина в аналитической химии, ОНТИ, 1937.
4. J. P. Phillips, Chem. Revs., 56, 271, 1956.
5. А. К. Бабко, Заводск. лаборатория, 13, 648, 1947.
6. В. А. Кузнецов и Э. А. Иоффа, Ж. физ. химии, 21, 201, 1947.
7. И. Е. Титова, Ж. прикл. химии, 30, 576, 1957.
8. Э. О. Азян, Докл. АН СССР, 100, 473, 1955.
9. Г. П. Миклухин, Докл. АН СССР, 70, 437, 1950.

EFFECT OF 8-OXYQUINOLINE ON THE RATE OF SOLUTION OF IRON  
AND ALUMINUM IN HYDROCHLORIC ACID*I. E. Titova (Sverdlovsk)*

## Summary

A study has been made of the effect of 8-oxyquinoline additions on the rate of solution of iron and aluminum in 0.51, 1.06, 1.69 and 2.28 N hydrochloric acid, the concentration of the additions ranging from 0.001 to 0.04 molar. Oxyquinoline has been found to be an inhibitor of iron dissolution in hydrochloric acid, its action increasing with its concentration and the concentration of the acid.

With respect to dissolution of aluminum in hydrochloric acid 8-oxyquinoline has been shown capable of both accelerating and retarding action, depending upon the concentration of the acid and of the addition.

The phenomena observed have been explained from the standpoint of the chemical properties of 8-oxyquinoline and the specificities of the iron and aluminum surfaces in hydrochloric acid.



## К ВОПРОСУ О РОЛИ ПОВЕРХНОСТИ В ТЕРМИЧЕСКОЙ РЕАКЦИИ ВОДОРОДА С ХЛОРОМ

В. С. Гурман и А. М. Чайкин

В опубликованной А. М. Маркевичем [1] статье «Роль поверхности в термической реакции водорода с хлором» при помощи метода калориметрирования, разработанного А. А. Ковальским [2], показано, что реакция водорода с хлором протекает гомогенно в газовой фазе, является цепной и что цепи зарождаются на поверхности сосуда.

Однако, делая заключение о характере протекания реакции, А. М. Маркевич пользовался значениями коэффициентов теплопроводности смесей хлора и водорода с хлористым водородом и кислородом, вычисленными в предположении линейной зависимости коэффициента теплопроводности смеси от молярных долей компонентов. Однако это предположение для смеси газов с сильно отличающимися коэффициентами теплопроводности не оправдывается, как было показано Чепманом и Коулингом [3] на примере эквимолекулярной смеси гелия и аргона. Тем более оно может не выполняться для смеси хлора с водородом, так как коэффициент теплопроводности водорода в 20 раз больше, чем хлора при  $0^{\circ}\text{C}$  (коэффициент теплопроводности гелия только в 9 раз больше, чем аргона).

Ввиду принципиальной важности выводов, сделанных А. М. Маркевичем в своей работе, казалось необходимым выяснить, как повлияет на результаты работы использование в расчетах более достоверных коэффициентов теплопроводности. Кроме того, следовало выяснить, не протекает ли в условиях опытов, проводимых А. М. Маркевичем, инициированное хлором окисление водорода. Также представлялось интересным узнать, как влияет на скорость неингибированной и ингибированной кислородом реакции изменение величины удельной поверхности реакционного сосуда ( $S/V$ ).

## Экспериментальная часть

Установка и методика работы такие же, как и в работе А. М. Маркевича. Насколько отличается размерами реакционный сосуд, длина которого 300 мм и внутренний диаметр 35 мм. Диаметры осевого и пристеночного капилляров, в которых помещена дифференциальная термopара, соответственно равны 0,45 мм и 0,39 мм.

Водород получался электролизом 30%-ного раствора КОН на никелевых электродах, очищался от кислорода пропусканием через нагретую до  $500^{\circ}\text{C}$  кварцевую трубку, наполненную восстановленной медью, и осушался в ловушке, охлаждаемой жидким азотом. Использовался также водород из баллона, очищенный таким же способом. Никаких различий в результатах опытов при этом обнаружено не было.

Хлор и кислород набирались из баллонов и очищались перегонкой в вакууме.

**Результаты эксперимента.** Все опыты проводились в статических условиях с эквимолекулярной смесью хлора с водородом при  $286^{\circ}\text{C}$  и давлении смеси 115 мм рт. ст. Кинетическая кривая реакции без добавок кислорода представлена на рис. 1 кривой 1. Результаты калориметрирования реакции приведены в табл. 1.

Приведенная в табл. 1 скорость реакции определялась графически по кривой 1 рис. 1. Коэффициент теплопроводности реагирующей смеси вычислялся на основании измеренных разработанным одним из нас методом [4] коэффициентов теплопроводности хлора, водорода, хлористого водо-

Таблица 1

№ ПЫТОВ	Время, сек.	$p_{\text{HCl}}$ , мм рт. ст.	$p_{\text{HCl}}/dt$ , мм/сек	$\lambda \cdot 10^5$ , кал/см·сек·град	$\Delta T^\circ$ , $C_{\text{оп}}$	$\Delta T^\circ$ , $C_{\text{гомо}}$	$\rho$
24	30	26,5	0,59	16,9	0,92	1,67	0,55
23	60	37,2	0,44	15,6	0,76	1,35	0,56
22	90	49,5	0,34	14,2	0,63	1,16	0,54
21	120	57,0	0,27	13,3	0,53	0,99	0,54
20	150	64,4	0,22	12,5	0,45	0,86	0,52
18	180	71,3	0,19	11,7	0,38	0,76	0,50
17	210	74,8	0,17	11,3	0,33	0,72	0,46
16	210	74,8	0,17	11,3	0,33	0,72	0,46
15	240	81,6	0,14	10,5	0,29	0,64	0,45
14	240	81,6	0,14	10,5	0,30	0,64	0,47

и смесей водорода с хлором и водорода с хлором и хлористым водородом (табл. 2, рис. 2). Коэффициенты теплопроводности эквимолекулярной смеси водорода и хлора оказались значительно ниже вычисленных на основании предположения об их линейной зависимости от молярной доли компонентов.

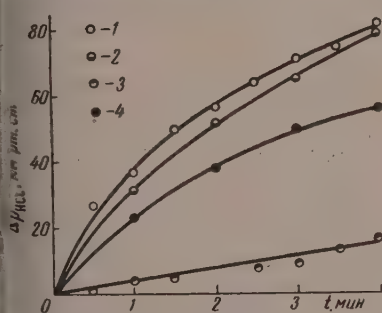


Рис. 1

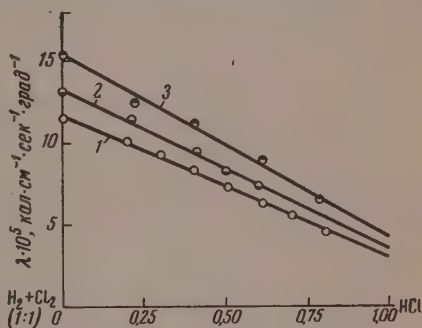


Рис. 2

рис. 1. Ход реакции водорода с хлором во времени в зависимости от содержания кислорода и величины удельной поверхности сосуда при  $286^\circ \text{C}$  и  $p_{\text{H}_2} = p_{\text{Cl}_2} = 57,5$  мм рт. ст.: 1—0%  $\text{O}_2$ ,  $S/V = 1,1 \text{ см}^{-1}$ ; 2—0%  $\text{O}_2$ ,  $S/V = 9,5 \text{ см}^{-1}$ ; 3—15%  $\text{O}_2$ ,  $S/V = 1,1 \text{ см}^{-1}$ ; 4—15%  $\text{O}_2$ ,  $S/V = 9,5 \text{ см}^{-1}$

рис. 2. Зависимость коэффициента теплопроводности смеси  $\text{H}_2$ ,  $\text{Cl}_2$  и  $\text{HCl}$  от состава: 1— $20^\circ$ ; 2— $60^\circ$  и 3— $100^\circ \text{C}$

Коэффициент теплопроводности смеси водорода с хлором измерен только до  $200^\circ \text{C}$  (при более высоких температурах заметна реакция). Его пришлось экстраполировать до  $286^\circ \text{C}$ , что не приводит к серьезным ошибкам, так как его зависимость от температуры близка к линейной. Коэф-

Таблица 2

Газ	$20^\circ \text{C}$	$60^\circ \text{C}$	$100^\circ \text{C}$	$147^\circ \text{C}$	$200^\circ \text{C}$	$230^\circ \text{C}$
$\text{H}_2$	41,1	43,2	49,6	52,4	—	58,5
$\text{Cl}_2$	1,9	2,3	2,9	3,5	—	4,1
$\text{HCl}$	3,1	3,6	4,3	4,6	—	5,8
$\text{H}_2 + \text{Cl}_2 (1:1)$	11,2	13,2	15,3	16,2	17,8	—

Коэффициент теплопроводности эквимолекулярной смеси водорода с хлором с различными добавками хлористого водорода вычислялся по закону линейной зависимости  $\lambda_{H_2+Cl_2+HCl}$  от содержания хлористого водорода. Такой характер зависимости подтверждается экспериментом, (см. рис. 2). Были приняты значения  $\lambda_{H_2+Cl_2} = 19,9 \cdot 10^{-5}$  и  $\lambda_{HCl} = 6,6 \cdot 10^{-5}$  кал/см сек град.

Если  $\Delta T_{оп}$  — разность температур между центром и стенкой реакционного сосуда, вызванная тепловыделением в ходе реакции и измеренная дифференциальной термопарой,  $\Delta T_{гомо}$  — та же разность температур вычисленная по формуле:

$$\Delta T_{гомо} = \frac{Q}{4\pi\lambda},$$

где  $Q$  — тепло, выделяющееся в 1 см длины сосуда за 1 сек.,  $\lambda$  — коэффициент теплопроводности реакционной смеси, то отношение  $\Delta T_{оп}/\Delta T_{гомо}$  характеризует степень гомогенности реакции: оно представлено в табл. величиной  $\rho$ . Так, при  $\rho = 1$  реакция полностью гомогенна, при  $\rho_{гет} = \frac{2r}{R+r} \ln \frac{R}{r}$  ( $R$  — радиус сосуда;  $r$  — радиус центрального капилляра) реакция носит полностью гетерогенный характер.

Для выяснения вопроса о природе зарождения активных центров была проделана серия опытов с добавками кислорода.

Кинетика реакции хлора с водородом в присутствии 15% кислорода представлена прямой 3 на рис. 1. Результаты опытов и расчеты по калориметрированию приведены в табл. 3.

Таблица 3

№ опыта	Время, сек.	$r_{HCl}$ , мм рт. ст.	$dr_{HCl}/dt$ , мм/сек	$\lambda \cdot 10^5$ , кал/см·сек × град	$\Delta T$ , °C <sub>оп</sub>	$\Delta T$ , °C <sub>гомо</sub>	$\rho$
66	30	1,26	0,058	18,5	0,032	0,153	0,2
65	60	3,45	0,058	18,2	0,041	0,155	0,2
69	90	4,37	0,058	18,1	0,038	0,156	0,2
67	150	7,47	0,058	17,8	0,030	0,158	0,1
71	180	8,85	0,058	17,7	0,027	0,159	0,1
68	210	13,20	0,058	17,3	0,026	0,163	0,1
70	240	16,80	0,058	16,9	0,023	0,167	0,1

В табл. 3 коэффициенты теплопроводности рассчитаны уже для смеси четырех газов. Для этого вначале рассчитывался коэффициент теплопроводности тройной смеси (без кислорода) для данного времени реакции, а затем — смеси хлора водорода и хлористого водорода с кислородом в предположении линейной зависимости  $\lambda_{H_2+Cl_2+HCl+O_2}$  от содержания кислорода. Такой расчет допустим потому, что, во-первых, содержание кислорода в смеси невелико, и, во-вторых,  $\lambda_{H_2+Cl_2+HCl}$  и  $\lambda_{O_2}$  близки по величине ( $\lambda_{O_2}$  при 286°С равен  $11,1 \cdot 10^{-5}$  кал/см сек. град) [5]. Поскольку в ингибированной кислородом реакции возможны какие-либо индцированные хлором реакции окисления, смесь газов до реакции и после анализировалась на масс-спектрометре. Анализ показал, что при 44 израсходования водорода в реакции расход кислорода не превышал 1%. Т. е., если реакции окисления и идут, то в пренебрежимо малой степени. Следовательно, скорости реакции и теплота реакции, по которым рассчитывалась величина  $\Delta T_{гомо}$ , действительно относятся к реакции водорода с хлором.

## Обсуждение результатов

Результаты опытов свидетельствуют о том, что экспериментальные данные, полученные в нашей работе, и данные А. М. Маркевича практически совпадают. Однако, считая, что реакция идет с одинаковой скоростью во всем объеме сосуда, А. М. Маркевич тем самым принимал величину  $\rho$  равной единице. При этом он предполагал, что величина коэффициента теплопроводности, усредненная за время реакции, равная  $24 \cdot 10^{-5}$  кал/см.ж. град, близка к действительной. Но, как следует из табл. 1, коэффициент теплопроводности, усредненный за время реакции, равен  $12,6 \cdot 10^{-5}$  кал/см.сек. град, т. е. в 2 раза меньше, а величина  $\rho$  равна 0,51. Появление  $\rho < 1$  указывает, что либо тепловыделение более интенсивно идет в тех частях объема сосуда, которые ближе к поверхности, из-за зарождения цепей на поверхности с дальнейшим выходом в объем, либо часть тепла выделяется равномерно по всему объему, другая часть выделяется непосредственно на поверхности вследствие гетерогенной реакции. Последнее предположение приходится отвергнуть, так как в этом случае доля гетерогенной реакции в общей скорости реакции составила бы  $\alpha = (1 - \rho)/(1 - \rho_{\text{гет}}) = 0,55$ , и на общей скорости реакции должно было бы сильно сказаться изменение  $S/V$ , чего на опыте не наблюдалось (кривая 2 рис. 1). То, что  $\neq 1$  в бескислородной реакции, можно объяснить тем, что обрыв цепей, зарождающихся на поверхности, происходит не только на поверхности, но частично и в объеме. Это подтверждается опытами А. Трифонова [6], который, исследуя фотохимическую реакцию водорода с хлором, показал, что при общем давлении газов свыше 100 мм в сосуде диаметром 40 мм вероятностью обрыва цепей в объеме нельзя пренебрегать. По-видимому, тот обрыв происходит при столкновении активного центра с молекулой кислорода, от следов которого, возможно, не удается полностью очистить сходные газы.

Введение 15% кислорода в реакционную смесь, как можно заключить из табл. 1, вызывало уменьшение начальной скорости в 10 раз, что сопровождалось уменьшением величины разогрева в 30 раз. Такое резкое уменьшение разогрева, не соответствующее уменьшению скорости реакции, можно объяснить только перераспределением тепловыделения по сосуду (т. е. локализацией реакции к поверхности).

С увеличением удельной поверхности  $S/V$  в 8,6 раза скорость реакции возросла примерно в 6 раз (кривая 4 рис. 1). Эти результаты служат дополнительным доказательством правильности предложенного А. М. Маркевичем механизма.

## Выводы

1. В дополнение к работе А. М. Маркевича методом раздельного калориметрирования исследована термическая реакция водорода с хлором при  $286^\circ \text{C}$  и давлении эквимолекулярной смеси 115 мм рт. ст.
2. К расчетам, связанным с выяснением характера реакции, применены коэффициенты теплопроводности смесей газов, измеренные непосредственно.
3. Подтверждены выводы А. М. Маркевича о цепном характере термической реакции водорода с хлором и о развитии цепей в объеме сосуда при зарождении их на поверхности.



## ЛИТЕРАТУРА

1. А. М. Маркевич, Ж. физ. химии, 22, 941, 1948.
2. М. Л. Богоявленская, А. А. Ковальский, Ж. физ. химии, 20, 1325, 1946.
3. S. Chapman and T. G. Cowling, The mathematical theory of gases, Cambridge, 1939.
4. А. М. Чайкин, А. М. Маркевич, Ж. физ. химии, 32, 116, 1958.
5. Нормы теплового расчета котельного агрегата, Всесоюзный НИИ им. Дзержинского, 1952.
6. А. Трифонов, Ж. физ. химии, 1, 26, 1930.

---

ON THE ROLE OF THE SURFACE IN THE THERMAL REACTION BETWEEN  
HYDROGEN AND CHLORINE

*V. S. Gurman and A. M. Chaikin (Moscow)*

Summary

The thermal reaction of equimolecular mixtures of hydrogen and chlorine has been studied at 286° C and 115 mm pressure. It has been shown in confirmation of the work of A. M. Markevich that the reaction proceeds in accordance with a chain mechanism, the chains being initiated at the surface of the reaction vessel and propagated in space

---

РЕНТГЕНОГРАФИЧЕСКОЕ ИССЛЕДОВАНИЕ ЭЛЕКТРОЛИТИЧЕСКИХ  
ОСАДКОВ МАРГАНЦА

В. П. Моисеев и О. С. Попова

До настоящего времени в работах, посвященных исследованию осадков неясно кристаллического типа [1—4], рассматривались в основном причины возникновения таких осадков, а также их морфологические особенности без анализа вопросов, связанных с процессами превращения в них. В электролитическом марганце, являющемся одним из характерных представителей осадков этого типа, структурные превращения были изучены сравнительно мало (4—9), в то время как они представляют существенный научный и практический интерес.

## Экспериментальная часть

**Методика.** Исследовались электролитические осадки марганца, полученные из ванн следующих составов:

- 1) 150—200 г/л  $\text{MnSO}_4 \cdot 5\text{H}_2\text{O}$  + 50—100 г/л  $(\text{NH}_4)_2\text{SO}_4$ ;
- 2) 150—200 г/л  $\text{MnSO}_4 \cdot 5\text{H}_2\text{O}$  + 50—100 г/л  $(\text{NH}_4)_2\text{SO}_4$  + 20 г/л глицерина

С целью исследования влияния водорода, включающегося в осадок в процессе электролиза, на структуру марганца, осаждение проводилось при плотности тока  $0,1 \text{ А/дм}^2$ , которая, как было установлено в более ранних работах [4], соответствует наибольшему количеству водорода в осадке. Кислотность раствора, соответствующая условиям образования осадков марганца неясно кристаллического типа, поддерживалась в пределах  $\text{pH} = 3,8\text{—}4,0$ . Осаждение проводилось на медные, серебряные и железные пластинки размером  $20 \times 8 \times 0,3 \text{ мм}$ . Толщина осадков изменялась от 10 до 60  $\mu$ . Для предотвращения окисления образцов, по изъятии его из ванны, пассивировался погружением в 5%-ный раствор двуххромовокислого калия.

Осадки марганца имели гладкую, чаще всего блестящую поверхность. Характер поверхности этих осадков показан на рис. 1 (а и б).

Для характеристики содержания водорода в осадке и кинетики его выделения при различных температурах использовался метод вакуумного нагрева.

Структура осадков и характер фазовых превращений, происходящих в осадках при их нагреве в вакууме, исследовались рентгенографическим методом, при этом использовалось железное излучение с применением текстурной камеры диаметром 3 мм при  $u = 30 \text{ кВ}$ ,  $I = 10 \text{ мА}$ . Экспозиция в зависимости от объекта съемки изменялась от 6 до 20 час.

Определение водорода, выделяющегося при нагреве образцов, производилось в вакуумной установке [4] при последовательном нагреве до 50, 80, 100, 125, 140, 200, 300, 500 и  $700^\circ \text{C}$ .

При выборе условий съемки использовалась формула Курдюмова:

$$\text{tg } \alpha = \frac{\sin 2\theta}{(R/a) + \cos 2\theta},$$

где  $\alpha$  — угол наклона образца к направлению первичного рентгеновского луча, — брегговский угол отражения,  $R$  — радиус камеры и  $a$  — расстояние от точечного источника лучей до образца (в наших опытах  $a = R$ ). При фокусировке наиболее интенсивных первых четырех линий  $\alpha$ -марганца угол  $\alpha$  изменяется от  $27^\circ 30'$  до  $33^\circ 40'$ . При этом во всех съемках был взят угол  $\alpha = 30^\circ$ . При этих условиях на рентгенограммах большинство линий получилось сфокусированными.

При расшифровке рентгенограмм, полученных от плоских образцов электролитического марганца, ввиду неопределенности положения на них центра первичного рентгеновского луча, а также сильного размытия и большой интенсивности линий при больших углах отражения, точное

определение параметра кристаллической решетки затруднительно. Поэтому для расчета параметра была использована выведенная нами следующая формула:

$$a = \frac{\lambda}{z} \sqrt{\frac{(h_2^2 + k_2^2 + l_2^2) - (h_1^2 + k_1^2 + l_1^2)}{\sin \delta_{12} \sin (\delta_{12} + \beta)}},$$

где  $(h_2^2 + k_2^2 + l_2^2)$  и  $(h_1^2 + k_1^2 + l_1^2)$  — суммы квадратов индексов для отражений  $(h_2 k_2 l_2)$  и  $h_1 k_1 l_1$ , соответственно,  $\delta_{12}$  — угол между линиями на рентгенограмме, соответствующими отражениям  $(h_1 k_1 l_1)$  и  $(h_2 k_2 l_2)$ . Угол вычисляется по формуле:

$$\operatorname{tg} \beta = \frac{k \sin \delta_{1m} - \sin \delta_{1n}}{\cos \delta_{1n} - k \cos \delta_{1m}},$$

где

$$k = \frac{\sin \delta_{1m}}{\sin \delta_{1n}} \left[ \frac{(h_n^2 + k_n^2 + l_n^2) - (h_1^2 + k_1^2 + l_1^2)}{(h_m^2 + k_m^2 + l_m^2) - (h_1^2 + k_1^2 + l_1^2)} \right].$$

Здесь  $\sum h_m^2$  может относиться к отражению  $(h_2 k_2 l_2)$ , а  $\sum h_n^2$  — к  $(h_3 k_3 l_3)$ .  $\delta_{1m}$  и  $\delta_{1n}$  — углы между линиями, относящимися к отражениям  $(h_1 k_1 l_1)$  и  $(h_2 k_2 l_2)$  и  $(h_1 k_1 l_1)$  и  $(h_3 k_3 l_3)$ , соответственно.

Для вычисления параметра решетки по этой формуле достаточно знать индексы трех линий и углы между ними, при этом совершенно необязательно знание положения центра первичного рентгеновского луча. Следует заметить, что приведенная выше формула применима только для расчета параметров кристаллов, имеющих кубическую решетку.

Как показали вычисления, величина параметров, определенных по этой формуле, хорошо согласуется с данными, полученными другими авторами [5, 10, 11].

Результаты исследования. На рис. 2 (1 и 2) представлены рентгенограммы от электролитически осадков марганца, полученных из первой и второй ванн. Характерной особенностью их рентгеновской картины является то, что она по своему виду

подобна таковой от аморфных веществ, а именно: на рентгенограмме обнаруживается одна, сильно размытая диффузная линия и большой фон некогерентного рассеяния.

На рис. 3 представлены микрофотограммы рентгенограмм [рис. 2 (1 и 3)]: 1 — исходное состояние, 2 — после нагрева в вакууме при 125° С.

На рис. 3 представлены микрофотограммы рентгенограмм [рис. 2 (1 и 3)], которые показывают различие в характере дифракции от этих осадков в исходном состоянии (1) и после нагрева в вакууме при 125° С в течение 1,5 час.

В наших опытах электролитический марганец был получен в виде двух аллотропических форм: α-марганец и γ-марганец. γ-форма марганца была получена в осадке толщиной 10 м на серебряной основе из ванны без добавки глицерина при определенных условиях электролиза. Эта форма характеризуется тетрагональной гранецентрированной решеткой с параметрами  $a = 3,777 \pm 0,002 \text{ \AA}$  и  $c = 3,533 \pm 0,002 \text{ \AA}$ , представляла собой крайне неустойчивую модификацию. При комнатной температуре она в течение 6—10 час. переходит в α-форму марганца, имеющую сложную

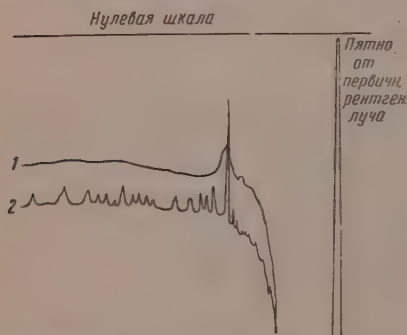


Рис. 3. Микрофотограммы рентгенограмм [рис. 2 (1 и 3)]: 1 — исходное состояние, 2 — после нагрева в вакууме при 125° С.

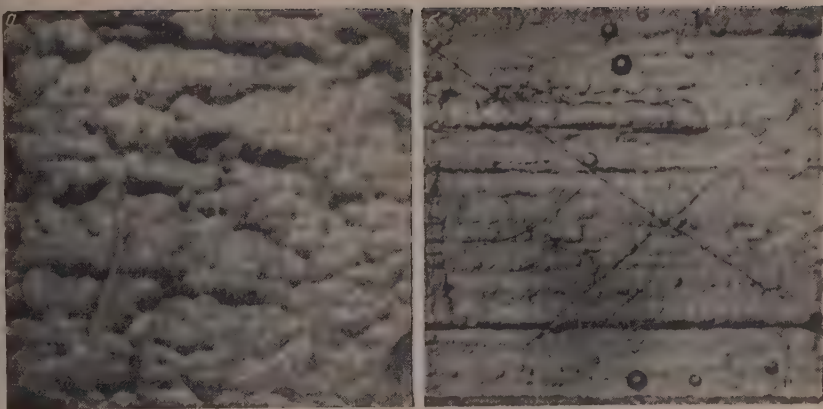


Рис. 1. Микрофотографии ( $\times 450$ ) поверхности осадков марганца, полученных:  
а — из первой ванны и б — из второй ванны

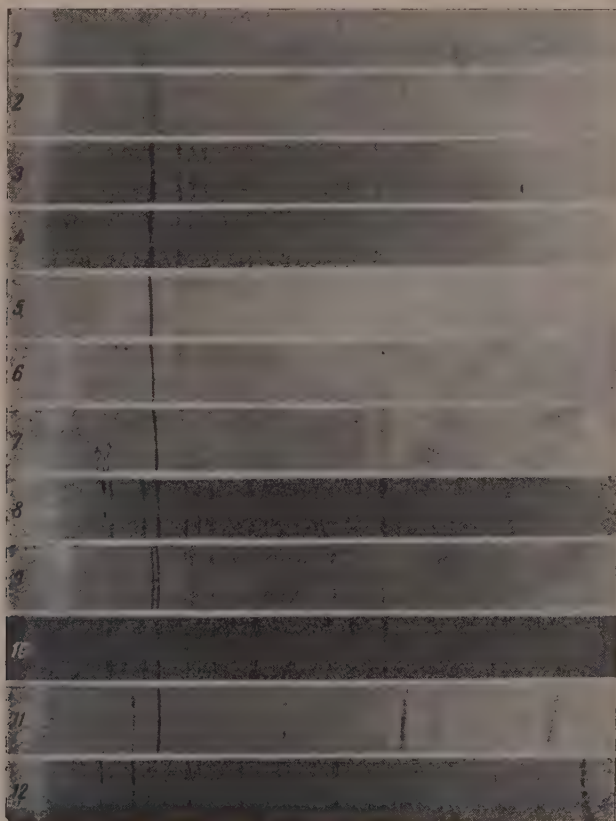


Рис. 2. Рентгенограммы от осадков марганца. Исходное состояние осадка: 1 — первой ванны, 2 — второй ванны. После нагрева в вакууме: 3— $125^{\circ}\text{C}$ , 1,5 часа (первая ванна), 4— $140^{\circ}\text{C}$ , 1,5 часа (вторая ванна), 5— $200^{\circ}\text{C}$ , 2 часа (первая ванна), 6— $200^{\circ}\text{C}$ , 2 часа (вторая ванна), 7— $500^{\circ}\text{C}$ , 3 часа (первая ванна), 8— $500^{\circ}\text{C}$ , 3 часа (вторая ванна), 9— $700^{\circ}\text{C}$ , 1 час (первая ванна), 10— $700^{\circ}\text{C}$ , 1 час (вторая ванна), 11 — рентгенограмма от железной основы ( $\alpha = \text{Fe}$ ) после нагрева при  $1080^{\circ}\text{C}$  в течение 5 мин., 12 — рентгенограмма от осадка марганца, полученного из второй ванны, толщиной 30  $\mu$  на  $\alpha\text{-Fe}$  основе, после нагрева в вакууме при  $1080^{\circ}\text{C}$  в течение 5 мин. (вместо линий от  $\alpha\text{-Fe}$  видны линии от  $\gamma\text{-Fe}$ , а также линии от  $\text{MnO}$ )





бическую решетку. Незначительное присутствие примесей в электролите ускоряет этот переход и даже совершенно подавляет образование модификации.

Изменение параметра кристаллической решетки  $\alpha$ -марганца в зависимости от содержания водорода в осадке дано в табл. 1.

Таблица 1

температура, °С	Марганец из первой ванны			Марганец из второй ванны		
	количество водорода, выделивш. из осадка, см <sup>3</sup> /г	количество водорода в осадке, см <sup>3</sup> /г	параметр решетки, Å	количество водорода, выделивш. из осадка, см <sup>3</sup> /г	количество водорода в осадке, см <sup>3</sup> /г	параметр решетки, Å
20	0	5,7*	нкт**	0	7,7*	нкт
50	0	5,7	нкт	0	7,7	нкт
80	2,8	2,9	нкт	0,5	7,2	нкт
100	3,0	2,7	—	1,0	6,7	—
125	3,5	2,2	8,967	2,5	5,2	—
140	3,75	1,95	—	3,5	4,2	8,978
200	4,0	1,7	—	4,8	2,9	—
300	4,2	1,5	8,894	5,0	2,7	8,894

\* Значение соответствует всему количеству водорода, выделяющемуся из осадка и его нагреве до 700° С.

\*\* нкт — структура неясно кристаллического типа.

Нагрев осадков в вакууме ( $p=10^{-3}$  мм рт. ст.) до 80—90° С не меняет рентгеновской картины, а при 100—125° С наблюдается появление линий, которые при 125—140° С получают свое полное выражение и соответствуют  $\alpha$ -модификации марганца [рис. 2 (3 и 4)].

Сопоставление данных табл. 1 показывает различие как в отношении содержания водорода, так и кинетики его выделения, для осадков марганца, полученных из разных ванн. Из таблицы также видно, что параметр кристаллической решетки  $\alpha$ -марганца значительно увеличен: марганец первой ванны при 125° С содержал 2,2 см<sup>3</sup>/г водорода и имел  $a=8,967$  Å, тогда как марганец из второй ванны при 140° С содержал 4,2 см<sup>3</sup>/г водорода и имел  $a=8,976$  Å. С повышением температуры нагрева до 300° С количество водорода в осадках уменьшается, чему соответствует и уменьшение параметра вплоть до нормальной его величины  $a=8,894$  Å.

Различие в кинетике выделения водорода заключается в том, что из марганца, полученного из первой ванны, основная масса водорода выделяется при 80—100° С, тогда как из марганца, полученного из второй ванны, выделение протекает в более широком интервале температур (от 80 до 200° С).

Исследование электролитических осадков марганца на медной основе, нагретых в вакууме до 700° С, позволило выявить некоторые особенности структурных изменений. Было установлено, что при нагреве этих осадков до 500° С на рентгенограммах, наряду с линиями от  $\alpha$ -модификации, появляются линии окисла MnO, имеющего кубическую решетку с  $a=4,437$  Å, причем содержание окисла в осадке растет с повышением температуры нагрева [рис. 2 (8—10)]. Интенсивность линий на рентгенограммах от MnO в осадке из первой ванны даже при 700° С остается небольшой [рис. 2 (9)] по сравнению с интенсивностью от MnO в осадке из второй ванны [рис. 2 (10)].

Интересно отметить, что повышение температуры нагрева с 500° С до 700° С приводит вновь к увеличению параметра решетки  $\alpha$ -марганца. На рентгенограммах рис. 2 (8, 9) от осадков марганца, полученных из первой ванны, кроме линий  $\alpha$ -марганца и MnO, присутствуют линии, принадлежащие твердому раствору замещения марганца в меди, причем

с повышением температуры нагрева наблюдается смещение этих линий их размытие.

При исследовании электролитических осадков марганца толщиной 30  $\mu$ , полученных из второй ванны на железной основе ( $\alpha$ -Fe), было обнаружено, что нагрев их до 1080° С в течение 5—14 мин. с последующим медленным охлаждением в печи приводит к полному торможению распада аустенита ( $\gamma$ -Fe) — вплоть до комнатной температуры [рис. 2 (11, 12)]. Следует отметить, что при этом на рентгенограммах наряду с линиями от  $\gamma$ -Fe присутствуют и линии от MnO. В этом случае действие покры-

Таблица 2

-Условия электролиза			Форма марганца	Текстура	Степень совершенства текстуры
%	pH	$D_k, A/\partial m^2$			
0,3	2,0	25	$\alpha$	110	Слабая
0,3	3,0	25	$\alpha$	100	Средняя
0,3	3,2	17	$\alpha$	110	Средняя
0,3	4,2	25	нкп *	нет	—
0,5	3,0	25	$\alpha$	111	Средняя
0	3,8—4,0	30	нкп	нет	—

\* нкп — структура неявно кристаллического типа.

аналогично легированию стали марганцем, который, как известно, тормозит распад аустенита. Настоящее наблюдение следует подвергнуть более глубокому изучению, так как оно может представить практический интерес.

Интересные изменения в строении осадков марганца возникают при введении в раствор сернистого газа. Эти осадки \*, в отличие от осадков, получаемых из ванн приведенного выше состава, при достаточной кислотности ( $pH > 3,8$ ) имеют явно кристаллическое строение и обнаруживают текстуру.

Условия получения этих осадков и установленная в них текстура представлены в табл. 2.

Из данных таблицы видно, что тип текстуры в осадках марганца определяется условиями электролиза. Увеличение температуры нагрева до 700° С хотя и приводило к снижению степени совершенства текстуры, иногда и к появлению текстуры другого типа, однако строгой закономерности влияния температуры установить не удалось. По-видимому, в этих случаях текстура, образующаяся в процессе электроосаждения марганца, является текстурой роста.

Осадки, полученные из электролитов с  $pH \approx 4,0$  и выше, независимо от других условий электролиза, как правило, имели структуру неявно кристаллического типа. В результате нагрева этих осадков в вакууме до 125° С обнаруживается структура  $\alpha$ -марганца, причем текстура отсутствует.

### Обсуждение результатов

Экспериментальные данные показывают, что при электроосаждении марганец может быть получен в виде двух аллотропических форм, а именно:  $\alpha$ -марганец и  $\gamma$ -марганец. Условия получения и поведение  $\gamma$ -модификации марганца, установленные в данной работе, хорошо согласуются с данными работ [5—9]. Из литературных данных также известно, что  $\gamma$ -марганец является устойчивой модификацией при высоких температурах.

\* Образцы для рентгенографического исследования нам были любезно предоставлены А. Т. Санжаровским.

их, т. е. при  $1100-1191^{\circ}\text{C}$  и выше. Причем до сих пор в чистом виде отсутствие примесей других металлов эта модификация не может быть сохранена при закалке от этих температур до комнатной [11, 12]. В электролитическом марганце эта форма, как было показано, после нагрева в вакууме при  $125-140^{\circ}\text{C}$  необратимо переходит в  $\alpha$ -форму.

В работах [7, 13-19]  $\gamma$ -модификацию марганца рассматривают как электронное соединение, родственное таким соединениям, как  $\text{Ag}_3\text{Al}$ ,  $\text{Cu}_5\text{Si}$ ,  $\text{Cu}_2\text{Mg}$  и  $\text{Cu}_5\text{Zn}_8$ . Они считают, что в кристаллической решетке марганца электроны неравномерно распределены между атомами, т. е. часть атомов имеет избыток электронов, а часть атомов — их недостаток.

Образующаяся  $\alpha$ -модификация марганца, как при электролизе, а также в результате перехода из  $\gamma$ -модификации, является, согласно нашим исследованиям, твердым раствором внедрения водорода в  $\alpha$ -марганец. Присутствие атомов водорода в значительном количестве в кристаллической решетке  $\alpha$ -марганца (содержание водорода в осадке, полученном из первой ванны, равно  $5,7\text{ см}^3/\text{г}$ , а в осадке, полученном из второй ванны, равно  $7,7\text{ см}^3/\text{г}$ ) вызывает, по-видимому, не только нарушение в распределении электронов между атомами марганца, но и смещение самих атомов из своих положений. Как следствие этого, твердый раствор в данном случае является разупорядоченным и дифракция рентгеновских лучей от его кристаллической решетки подобна дифракции от аморфных веществ [рис. 2 (1, 2) и рис. 3 (1)].

Анализ полученных данных позволяет сделать вывод о влиянии присутствия в растворе глицерина на характер превращений в осадках марганца. Присутствие глицерина в электролите приводит к образованию осадков марганца с большим содержанием в них водорода. Добавка глицерина медляет, в процессе нагрева осадков в вакууме, возврат решетки марганца к нормальному ее состоянию (табл. 1) и способствует при дальнейшем нагреве образованию  $\text{MnO}$  [рис. 2 (8)]. По-видимому, последнему благоприятствует наличие в осадке продуктов распада глицерина, разующихся в процессе электролиза и нагрева. О большем содержании  $\text{MnO}$  в осадках, полученных в присутствии глицерина, свидетельствует большая интенсивность линий, соответствующих  $\text{MnO}$ , по сравнению с картиной от осадков из первой ванны [рис. 2 (9, 10)].

Образование при высоких температурах нагрева твердого раствора (внедрения) марганца в медь происходит в результате диффузии атомов покрытия в медную основу. С повышением температуры количество атомов марганца в решетке твердого раствора возрастает, что приводит к искажению решетки и соответственно к размытию линий на рентгенограммах [рис. 2 (7 и 9)].

Отмеченное выше полное торможение распада аустенита ( $\gamma\text{-Fe}$ ) в железной основе ( $\alpha\text{-Fe}$ ) под слоем электролитического марганца при медленном охлаждении с  $1080^{\circ}\text{C}$  объясняется диффузией в него атомов марганца, которая по своему воздействию подобна легированию стали марганцем. Как известно, легирование стали марганцем тормозит распад аустенита в ней.

Благодарим проф. К. М. Горбунову за внимание и помощь, оказанные при выполнении и обсуждении данной работы.

### Выводы

1. Проведено рентгенографическое исследование электролитических осадков марганца, полученных из сульфатных ванн без добавки и с добавкой глицерина.

2. Показано, что при электролизе марганец может возникать как в так и в  $\gamma$ -модификациях.  $\gamma$ -Марганец получается из ванн без добавки и определенных условий электролиза и представляет собою крайне устойчивую модификацию, переходящую необратимо в  $\alpha$ -форму в течение



ние нескольких часов. Незначительное присутствие примесей в электролите ускоряет этот переход и даже совершенно подавляет образование  $\gamma$ -модификации марганца.

3. Образующийся при электролизе, как непосредственно, так и в результате перехода из  $\gamma$ -модификации, марганец может быть рассматриваем как твердый раствор внедрения водорода в  $\alpha$ -марганец с сильно искаженной кристаллической решеткой. Дифракционная картина от такого осадка в исходном состоянии подобна картине от аморфных веществ, которая обусловлена как неравномерным распределением электронов между атомами марганца в кристаллической решетке, так и смещением атомов в своих положениях, возможного ввиду большого содержания в решетке атомов водорода. При нагреве в вакууме происходит распад твердого раствора, сопровождающийся уменьшением параметра его кристаллической решетки.

4. Добавка глицерина в электролит приводит к увеличению содержания в марганце водорода. При нагреве этих осадков возврат решетки  $\alpha$ -марганца к нормальному состоянию оказывается замедленным. Наряду с этим при нагреве в осадках обнаруживается  $MnO$ .

5. Обнаружено тормозящее влияние покрытий марганца на распад при медленном охлаждении аустенита, возникающего в железной основе ( $\alpha$ -Fe) при нагреве образцов при  $1080^\circ C$ , аналогичное легированию стали марганцем.

6. Установлено, что вид текстуры в электролитических осадках марганца, полученных в присутствии  $SO_2$ , определяется условиями электролиза. Текстура, образующаяся в процессе электроосаждения марганца, является текстурой роста, изменение степени ее совершенства при нагреве не обнаруживает определенной закономерности. Осадки марганца, полученные из электролитов с  $pH \geq 4,0$ , независимо от других условий электролиза, как правило, имеют структуру неявно кристаллического типа, которая при нагреве в вакууме до  $125^\circ C$  переходит в нетекстурированную  $\alpha$ -модификацию марганца.

7. Предложена новая методика расчета параметра решетки кристаллокубической сингонии из рентгенограмм, полученных от плоских поликристаллических образцов.

Академия наук СССР  
Институт физической химии  
Москва

Поступила  
12.III.1958

#### ЛИТЕРАТУРА

1. К. М. Горбунова, О. С. Попова, А. А. Сутягина, Ю. М. Полкаров, Рост кристаллов, Изд-во АН СССР, Москва, 1957, 58—66.
2. К. М. Горбунова, А. А. Сутягина, К. П. Лебедев, Ю. М. Полкаров. Тр. Совещания по вопросам влияния поверхностно-активных веществ на электроосаждение металлов, Гос. изд. полит. и науч. лит. ЛатССР, Вильнюс, 1957, стр. 49—62.
3. В. П. Моисеев и О. С. Попова, Изв. АН СССР, Сер. физ., 20, 64, 1956.
4. О. С. Попова и К. М. Горбунова, Ж. физ. химии, 32, 2020, 1958.
5. A. F. Westgren и G. Phragmen, Z. f. Physik, 33, 777, 1925.
6. A. J. Bradley, Phil. Mag., 50, 1018, 1925.
7. A. J. Bradley, I. Hewllis, Pros. of. Roy. Soc., A115, 456, 1927.
8. J. Koster, The Electrochem. Soc., 146, 1946.
9. R. S. Dean «Electrolytic Manganese and Its Alloys», 1952.
10. R. S. Dean, J. Trans. Am. Soc. f. Met., 29, 881, 1941.
11. G. D. Preston, Phil. Mag., 5, № 33, 1198, 1928.
12. S. Sekito, Z. f. Krist., 72, 406, 1930.
13. M. L. Gayler, J. Iron a. Sfell Inst., 115, № 1, 393, 1927.
14. M. L. Gayler, Nature, 124, 840, 1929.
15. E. Persson, E. Ohmen, Nature, 124, 333, 1929.
16. E. Persson, Z. f. Phys. Chem., 9B, № 1, 25, 1930.
17. G. Hägg, Z. f. Phys. Chem., 6B, 221, 1929.
18. A. F. Westgren a. G. Phragmen, J. Trans. Far. Soc., 25, 379, 1929.
19. V. Griffiths a. H. O. Neill, J. Inst. of. Met. 85, № 3, 105, 1956.

## X-RAY STUDY OF ELECTROLYTIC MANGANESE DEPOSITS

*V. P. Moiseev and O. S. Popova (Moscow)*

## S u m m a r y

An x-ray study has been made of the electrolytic deposits of manganese obtained from sulfate baths both with and without addition of glycerine. During electrolysis both  $\alpha$  and  $\gamma$  modifications of manganese can be formed. The amount of hydrogen in the precipitate and the kinetics of the phase transitions on heating depend upon the bath composition. It has been suggested that hydrogen is incorporated in  $\alpha$ -manganese to form solid solution. Manganese coatings have been shown to have an inhibiting effect on the composition of austenite during slow cooling from high temperatures analogous to the alloying of steel by manganese. A «growth texture» has been established in these deposits, its appearance depending upon the conditions of electrolysis. At  $\text{pH} \geq 4.0$  deposits are formed, characterized by an implicit crystalline structure that passes over on heating in vacuum to a non-structurized  $\alpha$ -Mn modification. A new formula has been proposed for calculating the parameter of the cubic lattice from x-ray diagrams obtained from polycrystalline specimens.

---

# РЕНТГЕНОСТРУКТУРНОЕ ИССЛЕДОВАНИЕ ПОЛИЭФИРА ЭЙКОЗАНДИОЛА И ДЕКАМЕТИЛЕНДИКАРБОНОВОЙ КИСЛОТЫ

Ю. В. Мнюх

Исследование структуры линейных полиэфиров с весьма большим числом  $\text{CH}_2$ -групп, приходящихся на один атом кислорода молекулярной цепи, преследовало две основные цели. Поскольку можно было с уверенностью ожидать, что такие полиэфиры должны быть в основном изоструктурны с полиэтиленом, было интересно проверить работу [1]\*\*. В этой работе была установлена структура полиэтилена, однако объяснения ненормально больших расхождений между измеренными и вычисленными интенсивностями не являются убедительными. Другой нашей целью было выяснение на примере полиэфира эйкозандиола и декаметилендикарбоневой кислоты, какими особенностями обладает упаковка молекул в структурах, отличающихся от полиэтилена только тем, что в их молекулярной цепочке появляется небольшое количество периодически расположенных атомов кислорода.

Стерические препятствия при упаковке молекулярных цепей полиэфира в ромбической подъячейке\*\*\* могут быть обусловлены в основном лишь атомами кислорода  $\text{O}_1$  (см. рис. 1), в то время как атомы кислорода  $\text{O}_2$  и по своему расположению, и по рассеивающей способности как бы подменяют собой  $\text{CH}_2$ -группы плоско-зигзагообразной цепочки\*\*\*\*. При этом опираясь на опыт органической кристаллохимии [3], мы полагали, что полярность связи  $\text{C}=\text{O}$  не оказывает влияния на упаковку молекул (п крайней мере в пределах точности теории плотной упаковки).

## Экспериментальная часть

Рентгенограммы полиэфира эйкозандиола и декаметилендикарбоневой кислоты были получены на порошковых камерах большого радиуса применением  $K_\alpha$ -излучения  $\text{Cu}$ , монохроматизированного отражением от кристалла пентаэритрита. Они демонстрировали чрезвычайно высокую «степень кристалличности» и мало отличались от рентгенограмм обычных низкомолекулярных органических кристаллов.

Структура имеет ромбическую подъячейку с параметрами

$$\begin{aligned} a &= 7,407 \pm 0,005 \text{ \AA}, \quad b = 4,975 \pm 0,005 \text{ \AA}, \\ c &= 2,513 \pm 0,005 \text{ \AA}, \end{aligned}$$

близко совпадающими с параметрами элементарной ячейки полиэтилена найденной в [1]:  $a = 7,40 \text{ \AA}$ ;  $b = 4,93 \text{ \AA}$ ;  $c = 2,534 \text{ \AA}$ .

Таким образом, полиэфир в основном сохраняет упаковку полиэтилена. Такую структуру можно назвать псевдополиэтиленовой, так как истинная элементарная ячейка полиэфира имеет длинный период вдоль молекулярной цепи и проявляется в виде «сверхструктуры», образованной узором из атомов кислорода, в какой-то степени нарушающим полиэтиленовое строение полиэфира. Отражения, определяемые расположением

\* См. [6].

\*\* См. также [2].

\*\*\* Подъячейка строится на векторах повторяемости метиленовых групп.

\*\*\*\* Межатомное расстояние  $\text{C}-\text{O}$ -связи ( $1,43 \text{ \AA}$ ) несколько меньше межатомного расстояния  $\text{C}-\text{C}$ -связи ( $1,53 \text{ \AA}$ ).

мов кислорода, хорошо выявляются на рентгенограммах полиэфиров более короткой повторяемой единицей, но отсутствуют у рассматриваемого здесь полиэфира ввиду относительно малого числа атомов кислорода в молекулярной цепи. Несмотря на отсутствие экспериментального гернала, необходимого для установления истинной элементарной ячейки, имеется возможность сравнить упаковку полиэфира и полиэтилена в плоскости  $xy$ , перпендикулярной оси молекулярной цепи.

Расчет сечения  $z = 1/2$  ряда межатомных векторов по экспериментальным данным, приведенным в табл. 1, не дал ожидаемого результата след-

Таблица 1

Межплоскостные расстояния (Å)		Индексы		$F_{\text{выч}}$ в произвольных единицах	$F_{\text{изм}}$ в произвольных единицах
измер.	вычисл.	( $hkl$ 0)	( $hkl$ )		
4,133	4,130	110		79,3	93,0
3,711	3,704	200		77,9	70,4
2,974	2,971	210		13,3	17,9
2,487	2,487	020		36,7	38,8
2,364	2,358	120		13,9	15,7
2,247	2,244		011	31,6	35,1
2,215	2,212	310		31,4	33,7
2,146	2,147		111	—15,1	—17,6
{ 2,072	2,079		201	—23,3	—34,0
	2,065	220		20,1	25,8
1,919	1,919		211	21,5	21,5
1,850	1,852	400		30,5	25,0
1,752	1,752	320		17,5	15,4
1,718	1,719		121	28,4	24,3
1,659	1,660		311	—18,9	—17,2
1,619	1,618	130		11,1	18,0
1,593	1,595		221	—11,6	—8,5
1,514	1,514	230		14,5	11,9
{ 1,487	1,491		401	—19,8	—19,0
	1,486	420		10,1	10,9
1,436	1,436		321	15,5	13,5
1,416	1,419	510		14,8	12,9
{ 1,382	1,384		031		
	1,378	330			
1,295	1,296		231	19,0	14,6
1,274	1,273	520		15,8	14,7
1,253	1,256		002	—41,4	—46,8
1,234	1,234	600; 430			
{ 1,200	1,202		112		—10,0
	1,198	610			10,0
1,185	1,190		202	—20,3	—15,7
1,104	1,105	620; 530	141		

ствие слияния максимумов. Поэтому был произведен расчет сечения  $= 1/4$  электронной плотности. Интенсивности измерялись микрофотометром МФ-4 с применением калибровочной кривой, построенной по маркам чернения. Знаки структурных амплитуд для первого приближения были взяты из работы по структуре полиэтилена. Предварительно они были подвергнуты проверке прямым методом. Этим же методом были определены недостающие знаки структурных амплитуд. Как известно из теории прямого метода определения знаков структурных амплитуд\*, при выполнении неравенства  $|\hat{F}_h \cdot \hat{F}_k \cdot \hat{F}_{h+k}| > 1/8$  произведение входящих в него единичных структурных амплитуд достоверно положительно. При помощи этого неравенства была определена достоверно опорная группа из 13 зна-

\* См., например, [4].



ков. Остальные знаки были найдены методом Захариасена. Все знаки оказались правильными, за исключением знака  $F_{221}$ .

Последовательные приближения оказались ненужными. Разумеется, определить знаки можно было бы и расчетом структурных амплитуд, однако казалось интересным показать справедливость закона о преимущественной положительности структурных произведений [4] для случая простой структуры, когда основные предпосылки статистической теории выполняются.

Расчет сечения электронной плотности (рис. 2) дал следующие результаты: угол  $\phi_c$  между плоскостью зигзага углеродной цепи и осью  $y$  (рис.

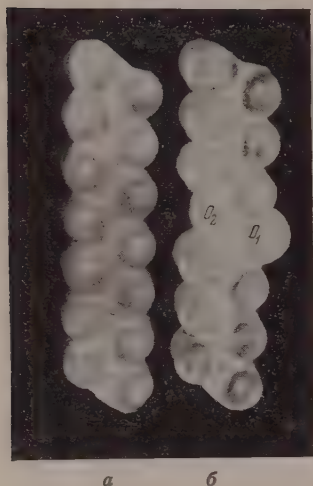


Рис. 1. Модели молекулярной цепи: а — полиэтилена, б — полиацетилена

равен  $36^\circ$ ; расстояние между двумя соседними атомами углерода в молекулярной цепи равно  $1,40 \text{ \AA}$  (вместо обычной величины  $1,52—1,53 \text{ \AA}$ ). Не следует думать, что  $C—C$  расстояние  $1,40 \text{ \AA}$  реально осуществляется в структуре. Причиной кажущегося сближения является взаимное наложение максимумов электронной плотности двух соседних атомов углерода в цепи. Мы убедились в этом, произведя графическое сложение этих максимумов (взятых из карты электронной плотности), поместив их на нормальном расстоянии  $1,52 \text{ \AA}$  друг от друга. Эффект кажущегося сближения максимумов, конечно, не может повлиять на правильность определения угла  $\phi_c$ . Поэтому координаты атома углерода были нами приняты, исходя из угла  $\phi_c = 36^\circ$  и  $C—C$  расстояния, равного  $1,52 \text{ \AA}$ .  $x_C = 0,034$ ;  $y_C = 0,069$ .

Координаты атомов водорода были рассчитаны, исходя из межатомного  $C—H$  расстояния  $1,08 \text{ \AA}$  и тетраэдрического угла  $H—C—H$ . Заметим, что учет атомов водорода при вычислении структурных амплитуд не

характер поправки, поэтому было достаточно знания приближенных значений их координат.

В табл. 1 приведены измеренные и вычисленные значения структурных амплитуд в произвольной шкале, в которые была введена поправка на тепловые колебания в виде  $e^{-B \sin^2 \theta}$ , где  $B = 1$ .

Таблица 2

Единичная структурная амплитуда	С учетом атомов водорода	Без учета атомов водорода	$\frac{\hat{F}}{\hat{F}} \text{ с учетом без учета}$
$\hat{F}_{011}$	0,455	0,300	1,52
$\hat{F}_{111}$	0,274	0,165	1,66
$\hat{F}_{201}$	0,438	0,338	1,30
$\hat{F}_{211}$	0,368	0,266	1,38

По данным табл. 1 подсчитан фактор достоверности

$$\frac{\sum |F_{\text{изм}} - F_{\text{выч}}|}{\sum |F_{\text{изм}}|} = 14\%.$$

В работе [1] для структуры полиэтилена были получены большие расхождения между измеренными и вычисленными интенсивностями и сделана попытка теоретически обосновать их анизотропией тепловых колебаний

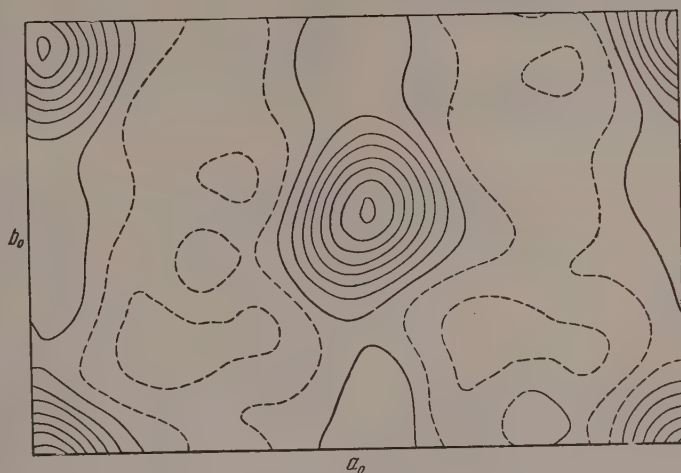


Рис. 2. Сечение  $ab$  ряда электронной плотности ромбической подъячейки полиэфира

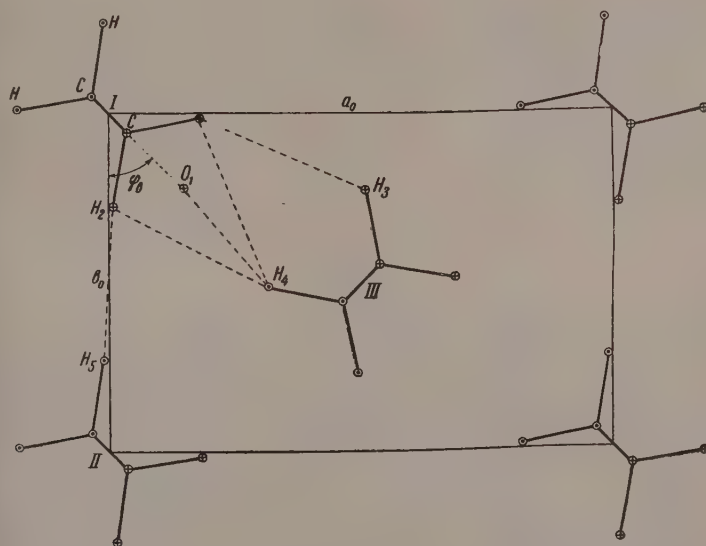


Рис. 3. Схема межмолекулярных расстояний в ромбической подъячейке. Оси молекул перпендикулярны плоскости чертежа

несферичностью электронного облака  $\text{CH}_2$ -групп. Между тем, причина этих расхождений кроется в неучете атомов водорода в расчетных значениях интенсивностей. В подтверждение сказанного приводится табл. 2 в которой даны значения единичных структурных амплитуд, рассчитанные с учетом и без учета атомов водорода для четырех наиболее выпадающих

Таблица 3

Межмолекулярные расстояния в структуре полиэфира (Å)

$d_{\text{H} \cdots \text{H}}$	$\varphi = 41,2^\circ$	$\varphi = 36^\circ$
$\text{H}_1 \cdots \cdots \text{H}_3$	2,48	2,36
$\text{H}_1 \cdots \cdots \text{H}_4$	2,92	2,93
$\text{H}_2 \cdots \cdots \text{H}_1$	2,86	3,04
$\text{H}_3 \cdots \cdots \text{H}_5$	2,43	2,42
$\text{O}_1 \cdots \cdots \text{H}_4$	2,26	2,36

Примечания. 1) Обычное значение межмолекулярного расстояния  $\text{O} \cdots \cdots \text{H}$  равно 2,53 Å. 2) В структурах, образованных цепочечными молекулами, кратчайшие  $\text{H} \cdots \cdots \text{H}$  расстояния составляют величину от 2,40 до 2,60 Å при комнатной температуре. 3) Причина аномального увеличения межмолекулярных расстояний  $\text{H}_1 \cdots \cdots \text{H}_4$  и  $\text{H}_2 \cdots \cdots \text{H}_4$  подробно рассматривается в [5].

большим стерическим затруднениям вследствие сильного сокращения межмолекулярного расстояния  $\text{O}_1 \cdots \cdots \text{H}_4$ . Это иллюстрирует табл. 3, в которой приведены значения кратчайших межмолекулярных расстояний для двух случаев:  $\varphi_b = 41,2^\circ$ , имеющего место в структуре полиэтилена, и реально осуществляющегося угла  $36^\circ$ . Угол  $\varphi_b = 36^\circ$  является компромиссным уменьшение его вызвало бы слишком сильное сокращение межмолекулярного расстояния  $\text{H}_1 \cdots \cdots \text{H}_3$ , а увеличение — межмолекулярного расстояния  $\text{O}_1 \cdots \cdots \text{H}_4$ .

Работа была выполнена под руководством проф. А. И. Китайгородского, которому автор выражает глубокую благодарность.

### Выводы

Линейные полиэфиры с малым числом атомов кислорода, приходящихся на одну структурную единицу молекулярной цепи, имеют псевдополиэтиленовую ромбическую подячейку. На основании расчета сечений ряда электронной плотности выяснено, что поворот цепей в элементарной ячейке полиэфира отличается от полиэтилена таким образом, что обеспечивает возможность внедрения атома кислорода в структуру полиэтиленового типа. При этом межмолекулярные расстояния приобретают компромиссные значения. Выяснено, что большие расхождения между  $\hat{F}_{\text{выч}}$  и  $\hat{F}_{\text{изм}}$  в работе по структуре полиэтилена объяснены автором ошибочно вызваны неучетом атомов водорода.

Академия наук СССР  
Институт элементоорганических соединений

Поступила  
13.III.1958

## ЛИТЕРАТУРА

- C. W. Bunn, Trans. Faraday Soc., 35, 482, 1939.  
Б. К. Вайнштейн и З. Г. Пинскер, Докл. АН СССР, 72, 59, 1950.  
А. И. Китайгородский, Органическая кристаллохимия, Академиздат, 1955.  
А. И. Китайгородский, Кристаллография, 1, 14, 1956; 2, 352, 1957.  
А. И. Китайгородский и Ю. В. Мнюх, Докл. АН СССР, 121, 291, 1958.  
Ю. В. Мнюх, Изв. АН СССР, Отд. хим. наук, № 10, 1276, 1958.
- 

X-RAY ANALYSIS OF THE POLYESTER OF EICOSANDIOL AND  
DECAMETHYLENEDICARBOXYLIC ACID*Yu. V. Mnyukh (Moscow)*

## S u m m a r y

Linear polyesters with few oxygen atoms per molecular chain unit possess a pseudopolythene rhombic subcell. Based on calculation of the  $xy$ -electron density section it has been established that the bend of the chain in the elementary polyester unit in contrast to polythene makes it possible for an oxygen atom to be incorporated into the polythene type of structure. The intermolecular distances then assume intermediate values. The explanation given by Bunn in his work on polythene structure as to the large deviations between  $\hat{F}_{\text{calc}}$  and  $\hat{F}_{\text{obs}}$  has been found to be erroneous owing to neglect of the hydrogen atoms.

---



## ЭКСПЕРИМЕНТАЛЬНОЕ ИЗУЧЕНИЕ ПОВЕРХНОСТНОГО НАТЯЖЕНИЯ МЕТАЛЛИЧЕСКИХ РАСТВОРОВ

### II. ПОВЕРХНОСТНОЕ НАТЯЖЕНИЕ СИЛЬНО РАЗБАВЛЕННЫХ АМАЛЬГАМ ЩЕЛОЧНЫХ МЕТАЛЛОВ ПРИ 22°C

*П. П. Пугачевич и О. А. Тимофеевичева*

Поверхностное натяжение разбавленных амальгам изучалось Шмиттом [1], В. К. Семенченко, Б. П. Берингом и Н. Л. Покровским [2], а также Конвером [3]. Однако результаты, полученные этими исследователями, как мы указывали в работах [4, 5], не были однозначными и в некоторых случаях отличались не только по величине, но и по знаку эффекта. При ознакомлении с работами [1—3] создавалось впечатление, что в сильно разбавленных металлических растворах адсорбционные явления не починаются уравнию Гиббса и что к ним нельзя применить молекулярную теорию поверхностных явлений, разработанную В. К. Семенченко [6].

Нам всегда казалось, что различия в экспериментальных результатах, полученных в работах [1—3], связаны не с особенностями взаимодействия молекул растворителя и растворенного вещества в разбавленных растворах, как это считает Конвер [3], но являющиеся, скорее всего, следствием применения мало надежных методов исследования поверхностного натяжения [1, 3] или грубых препаративных приемов, допускавших окисление амальгам, загрязнение их парами воды, органических веществ, вакуумной смазкой [2, 3] и т. д.

Мы предприняли исследования поверхностного натяжения сильно разбавленных амальгам с целью выяснения применения теории В. К. Семенченко к предельно разбавленным металлическим растворам. В связи с этим была разработана [7] прежде всего такая методика приготовления амальгам, которая позволяла получать их в условиях высокого вакуума, причем загрязнения амальгам парами вакуумной смазки, окислителей щелочных металлов и прочее практически исключались. В результате были получены амальгамы, поверхностное натяжение которых в предельно чистом опыте не менялось с течением времени.

#### Экспериментальная часть

Измерение поверхностного натяжения приготовленных амальгам производилось методом максимального давления в капле в комбинационном приборе, который был описан нами ранее в работах [8]. Расчет поверхностного натяжения производился по формуле Кантора [9], причем для этого, как известно, надо было знать плотность исследуемого раствора при температуре опыта. Мы не производили измерения плотности амальгам и рассчитывали их поверхностное натяжение по плотности ртути (в нижеприводимых таблицах эта величина обозначена как  $\sigma_{\text{рт}}^0$ ), а также в предположении справедливости закона аддитивности удельных объемов и обозначали найденную таким способом величину поверхностного натяжения амальгамы как  $\sigma_1$ . Результаты наших исследований помещены в табл. [1—3].

Эти результаты говорят о том, что, в соответствии с требованиями теории В. К. Семенченко [6], поверхностная активность щелочных металлов на ртути возрастает от натрия к цезию и в области предельно-разб

Таблица 1

## Поверхностное натяжение амальгам щелочных металлов при 22° С

Концентрация амальга, ат. %	$\sigma$ , дин/см	$\sigma_1$ , дин/см	$\sigma_{1P}$ , дин/см	$\Delta\sigma_1 = \sigma_1 - \sigma_{1P}$ , дин/см	Концентрация калия или цезия, ат. %	$\sigma$ , дин/см	$\sigma_1$ , дин/см	$\sigma_{1P}$ , дин/см	$\Delta\sigma_1 = \sigma_1 - \sigma_{1P}$ , дин/см
Амальгама натрия					Амальгама калия				
0,00000	463,1	—	—	—	0,000000	462,0	—	—	—
0,00080	460,4	460,4	462,7	-2,3	0,000030	441,4	441,4	445,5	-4,1
0,00421	459,2	459,2	461,1	-1,9	0,000249	426,0	426,0	421,0	+5,0
0,00843	458,5	458,5	459,3	-0,8	0,000463	422,2	422,2	416,6	+5,6
0,0106	457,8	457,8	458,6	-0,8	0,000722	420,3	420,3	414,5	+5,8
0,0148	456,9	456,9	457,1	-0,2	0,00113	416,6	416,6	412,8	+3,8
0,0184	456,3	456,2	455,8	+0,4	0,00194	414,0	414,0	411,2	+2,8
0,0231	455,7	455,7	454,5	+1,2	0,00342	410,8	410,7	409,5	+1,2
0,0273	454,4	454,4	453,3	+1,1	0,00550	406,9	406,9	407,9	-1,0
0,0313	454,0	454,0	452,3	+1,7	0,00844	404,1	404,0	406,0	-2,0
0,0353	452,6	452,6	451,4	+1,2	0,0123	401,4	401,2	403,8	-2,6
0,0405	452,5	452,4	450,2	+2,2	0,0173	399,2	399,0	401,5	-2,5
0,0485	450,2	450,1	448,7	+1,4	0,0236	396,3	396,1	398,9	-2,8
0,0568	448,2	448,1	447,3	+0,8	0,0318	394,4	394,0	396,1	-2,1
0,0682	445,3	445,3	445,7	-0,4	0,0399	393,0	392,6	393,8	-1,2
0,0802	444,3	444,2	444,2	0,0	0,0488	391,4	390,8	391,7	-0,9
0,0931	442,6	442,5	442,9	-0,4	0,0594	389,8	389,1	389,6	-0,5
0,105	441,4	441,3	441,8	-0,5	0,0710	388,5	387,7	387,7	0,0
0,117	440,5	440,5	440,8	-0,3	0,0847	386,8	385,9	385,8	+0,1
0,129	439,7	439,6	439,9	-0,3	0,1019	385,7	384,6	383,9	+0,7
0,148	439,0	438,9	438,8	+0,1	0,1242	383,9	382,6	382,0	+0,6
0,164	438,0	437,9	437,9	0,0	0,1484	383,1	381,5	380,4	+1,1
0,183	437,4	437,3	437,0	+0,3	0,1766	381,1	379,2	378,9	+0,3
0,201	436,5	436,4	436,3	+0,1	0,2064	380,7	378,4	377,7	+0,7
0,222	436,0	435,9	435,5	+0,4	0,2368	378,6	376,0	376,7	-0,7
0,240	435,4	435,2	434,9	+0,3	0,2708	378,5	375,5	375,8	-0,3
0,259	434,8	434,7	434,3	+0,4	$\Delta\sigma_{1P} = \pm 1,9$				
0,284	432,9	432,7	433,7	-1,0	Амальгама цезия № 1				
0,303	434,1	433,9	433,2	+0,7	0,000000	461,6	—	—	—
0,331	432,7	432,5	432,6	-0,1	0,000028	404,7	404,7	403,6	+1,1
0,356	432,3	432,1	432,1	0,0	0,000033	401,5	401,5	400,8	+0,7
0,384	431,9	431,7	431,6	+0,1	0,000039	396,4	396,4	397,7	-1,3
0,416	431,9	431,7	431,1	+0,6	0,000044	395,1	395,1	395,8	-0,7
0,448	430,9	430,6	430,6	0,0	0,000048	392,8	392,8	394,2	-1,4
0,482	430,4	430,1	430,2	-0,1	0,000052	390,9	390,9	392,7	-1,8
0,518	430,2	429,8	429,7	+0,1	0,000059	389,9	389,9	391,1	-1,2
0,552	429,6	429,2	429,3	-0,1	0,000066	388,0	388,0	389,3	-1,3
0,586	429,6	429,2	428,9	+0,3	0,000072	387,2	387,2	388,1	-0,9
0,627	429,5	429,1	428,5	+0,6	0,000081	385,5	385,5	386,1	-0,6
0,669	428,7	428,3	428,1	+0,2	0,000095	384,6	384,6	384,7	-0,1
0,717	428,2	427,7	427,7	0,0	0,000108	382,7	382,7	383,2	-0,5
0,769	428,0	427,5	427,3	+0,2	0,000124	381,6	381,6	381,8	-0,2
0,834	427,5	427,0	426,8	+0,2	0,000140	379,9	379,9	380,5	-0,6
0,909	426,7	426,1	426,3	-0,2	0,000160	378,9	378,9	379,2	-0,3
0,993	426,1	425,5	425,7	-0,2	0,000178	378,7	378,7	378,2	+0,5
0,097	425,9	425,2	425,1	+0,1	0,000195	377,5	377,5	377,4	+0,1
0,214	425,5	424,7	424,4	+0,3	0,000213	377,0	377,0	376,7	+0,3
0,350	424,6	423,7	423,8	-0,1	0,000233	375,9	375,9	375,8	+0,1
0,487	424,2	423,3	423,1	+0,2	0,000251	375,5	375,5	375,2	+0,3
0,635	423,4	422,4	422,5	-0,1	0,000269	374,7	374,7	374,7	0,0
0,793	423,0	421,9	421,9	0,0	0,000273	373,7	373,7	374,5	-0,8
0,974	422,2	420,9	421,2	-0,3	0,000277	374,3	374,3	374,4	-0,1
0,176	422,1	420,7	420,6	+0,1	0,000280	374,8	374,8	374,3	+0,5
0,373	421,6	420,1	420,0	+0,1	0,000284	374,2	374,2	374,2	0,0
0,592	420,6	419,0	419,3	-0,3	0,000288	374,6	374,6	374,1	+0,5
0,832	420,1	418,7	418,7	0,0	0,000293	374,6	374,6	374,0	+0,6
0,972	420,1	418,3	418,4	-0,1	0,000297	373,4	373,4	373,9	-0,5
$\Delta\sigma_{1P} = \pm 0,5$									

Таблица 1 (продолжение)

Концентрация цезия, ат. %	$\sigma$ , дин/см	$\sigma_1$ , дин/см	$\sigma_{1P}$ , дин/см	$\Delta\sigma_1 = \sigma_1 - \sigma_{1P}$ , дин/см	Концентрация цезия, ат. %	$\sigma$ , дин/см	$\sigma_1$ , дин/см	$\sigma_{1P}$ , дин/см	$\Delta\sigma_1 = \sigma_1 - \sigma_{1P}$ , дин/см
0,000301	374,0	374,0	373,7	+0,3	0,000836	365,6	365,6	365,3	+0,3
0,000306	373,4	373,4	373,6	-0,2	0,000932	364,7	364,7	364,4	+0,3
0,000312	373,2	373,2	373,4	-0,2	0,00104	363,5	363,5	363,5	0,0
0,000320	373,2	373,2	373,2	0,0	0,00118	363,0	363,0	362,5	+0,5
0,000329	373,1	373,1	373,0	+0,1	0,00132	361,5	361,5	361,6	-0,1
0,000340	372,8	372,8	372,7	+0,1	0,00147	361,5	361,5	360,8	+0,7
0,000353	371,7	371,7	372,4	-0,7	0,00164	360,7	360,7	359,9	+0,8
0,000368	371,2	371,2	372,0	-0,8	0,00182	359,7	359,7	359,1	+0,6
0,000387	371,6	371,6	371,6	0,0	0,00200	358,2	358,2	358,4	-0,2
0,000413	371,5	371,5	371,1	+0,4	0,00220	357,8	357,7	357,7	0,0
0,000442	370,8	370,8	370,6	+0,2	0,00241	357,4	357,4	357,1	+0,3
0,000474	370,8	370,8	370,0	+0,8	0,00262	356,5	356,4	356,6	-0,2
0,000513	370,0	370,0	369,4	+0,6	0,00283	355,6	355,5	356,1	-0,6
0,000557	369,4	369,4	368,7	+0,7	0,00305	355,2	355,2	355,6	-0,4
0,000614	368,2	368,2	367,9	+0,3	0,00323	351,1	355,0	355,2	-0,2
0,000679	367,3	367,3	367,1	+0,2					
0,000754	366,7	366,7	366,2	+0,5					$\Delta\sigma_{1P} = \pm 0$

Таблица 2

## Поверхностное натяжение амальгам цезия № 2 и № 3

Концентрация цезия, ат. %	$\sigma$ , дин/см	$\sigma_1$ , дин/см	Концентрация цезия, ат. %	$\sigma$ , дин/см	$\sigma_1$ , дин/см
Амальгама цезия № 2					
0,000000	462,0	—	0,00520	350,7	350,7
0,000080	385,8	385,8	0,00598	349,7	349,6
0,000160	378,4	378,3	0,00678	348,6	348,5
0,000241	375,3	375,3	0,00776	347,6	347,5
0,000421	372,1	372,1	0,00885	346,5	346,4
0,000562	369,0	369,0	0,0100	345,0	344,9
0,000722	366,4	366,4	0,0114	344,2	344,0
0,000903	364,2	364,2	0,0128	343,4	343,2
0,00112	363,4	363,4	0,0145	342,3	342,1
0,00136	362,0	362,0	0,0164	340,8	340,5
0,00162	360,4	360,5	0,0186	340,0	339,7
0,00197	359,1	359,1	0,0211	339,2	338,9
0,00233	357,2	357,2	0,0240	338,1	337,7
0,00273	356,0	356,0	0,0274	337,1	336,7
0,00317	354,4	354,3	0,0310	335,9	335,4
0,00357	353,8	353,8	0,0350	335,2	334,8
0,00403	353,0	352,9	0,0399	334,5	334,0
0,00457	351,7	351,7			
Амальгама цезия № 3					
0,00000000	462,0	—	0,0000434	392,6	392,6
0,0000534	457,9	457,9	0,0000471	392,1	392,1
0,0000820	439,1	439,1	0,0000502	391,1	391,1
0,0000975	446,4	446,4	0,0000542	389,2	389,2
0,000117	446,0	446,0	0,0000602	389,4	389,4
0,000145	433,9	433,9	0,0000701	387,3	387,3
0,000172	422,2	422,2	0,0000847	385,3	385,3
0,000193	415,2	415,2	0,000102	384,0	384,0
0,000210	414,0	414,0	0,000124	382,6	382,6
0,000233	409,9	409,9	0,000147	380,9	380,9
0,000259	405,2	405,2	0,000170	379,3	379,3
0,000280	403,7	403,7	0,000198	377,8	377,8
0,000313	398,1	398,1	0,000202	378,1	378,1
0,000339	396,6	396,6			
0,000371	394,6	394,6			
0,000403	394,0	394,0			

нных растворов, причем в этой области на изотермах поверхностного натяжения амальгам мы не обнаружили точек перегиба и экстремальных точек, найденных Шмидтом [1], Конвером [3] и другими [2].

Таблица 3

Температурная зависимость поверхностного натяжения амальгам цезия

$t, ^\circ\text{C}$	Поверхностное натяжение, $\text{дин/см}$			
	$c = 0,000000 \text{ ат.}\%$	$c = 0,000202 \text{ ат.}\%$	$c = 0,00323 \text{ ат.}\%$	$c = 0,0399 \text{ ат.}\%$
22	462,0	378,1	355,1	334,5
50	458,3	378,3	354,1	332,8
100	448,2	377,5	351,7	329,4
150	435,8	374,7	349,1	324,1
200	423,6	372,5	345,4	319,0*
250	410,0	369,9	341,6	315,1
300	396,6	364,8	337,4	310,2
350	382,1	358,5	331,3	304,9

\* Измерено при  $205^\circ\text{C}$

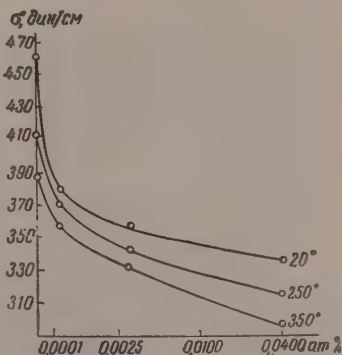
Отсутствие на изотермах бинарных растворов сигнатурных точек указывает на то, что эти растворы принадлежат к иррациональным системам, для которых зависимость данного свойства от состава может быть представлена, как показал М. А. Решетников [1], в виде непрерывной аналитической функции. В случае, когда не известны предельные поверхностные активности компонентов, поверхностное натяжение расплавленного вещества, а также способ выделения состава, уравнение М. А. Решетникова для изотермы поверхностного натяжения запишется в виде:

$$\sigma = \sigma_{\text{Hg}} + \frac{Ac_{N1} + Bc_{N1}^2}{1 + Cc_{N1} + Dc_{N1}^2}, \quad (1)$$

где  $\sigma_{\text{Hg}}$  — поверхностное натяжение ртути,  $c_{N1}$  — атомная доля растворенного металла,  $A, B, C, D$  — константы, вычисляемые из экспериментальных данных методом наименьших квадратов.

Мы применили уравнение (1) для расчетов изотерм поверхностного натяжения амальгам щелочных металлов и нашли, что отклонение значений поверхностного натяжения, вычисленных по уравнению М. А. Решетникова (в табл. 1 они обозначены как  $\sigma_{\text{пр}}$ ), от экспериментальных значений  $\sigma$  в среднем не превышает  $\pm 2 \text{ дин/см}$ , т. е. лежит в пределах ошибки измерения. Ни одно из известных нам уравнений для изотерм поверхностного натяжения бинарных растворов, которые предлагались в свое время различными авторами, не дает таких превосходных результатов, как уравнение М. А. Решетникова. В частности, наши расчеты изотермы поверхностного натяжения амальгам натрия по известному уравнению Шипковского [11] показали, что средние отклонения в этом случае достигают  $\text{дин/см}$ .

Пользуясь уравнением (1) М. А. Решетникова и полным адсорбционным уравнением Гиббса для идеальных систем, можно найти уравнение



Поверхностное натяжение амальгам цезия



изотермы адсорбции растворенного вещества:

$$\Gamma = (1 - c_{N1}) \frac{c_{N1}}{RT} \cdot \frac{A + 2Bc_{N1} + (BC - AD)c_{N1}^2}{(1 + Cc_{N1} + Dc_{N1}^2)^2} \quad (4)$$

При помощи уравнения (2) мы рассчитали адсорбцию щелочных металлов в амальгамах при 22° С и в исследованной нами области концентрации на каждой изотерме адсорбции нашли максимальное значение ее, удовлетворяющее неравенству:

$$\Gamma_{\text{цезия}} > \Gamma_{\text{калия}} > \Gamma_{\text{натрия}}, \quad (5)$$

тогда как для концентраций, соответствующих максимальным значениям адсорбции, имело место неравенство:

$$(c_{N1})_{\text{цезия}} < (c_{N1})_{\text{калия}} < (c_{N1})_{\text{натрия}} \quad (6)$$

Уравнение М. А. Решетникова позволило рассчитать предельную поверхностную активность  $G_0 = (-\partial\tau, \partial c_{N1})_{c_{N1}=0}$  щелочных металлов амальгамах при 22° С; при этом было найдено, что

$$G_0 \text{ цезия} > G_0 \text{ калия} > G_0 \text{ натрия} \quad (7)$$

Мы нашли также, что предельная поверхностная активность цезия в амальгамах убывает с увеличением температуры, т. е.

$$(G_0) >_{T_1} (G_0)_{T_2}, \quad (8)$$

если  $T_1 < T_2$  (см. рис. 1 и табл. 3).

Аналогичная зависимость предельной поверхностной активности температуры была найдена П. П. Пугачевичем [12] для амальгам натрия и калия. Сравнение наших данных для амальгам цезия с данными П. Пугачевича для амальгам натрия и калия показывают, что неравенство (5) выполняется во всем исследованном интервале температур от 20 до 350° С.

Все эти адсорбционные закономерности, найденные нами при исследовании поверхностного натяжения амальгам щелочных металлов и представленные неравенствами (3) — (6), находятся в полном соответствии с предсказаниями молекулярной теории поверхностных явлений в растворах, созданной В. К. Семенченко [6]. Это указывает на то, что теория В. К. Семенченко с успехом может применяться не только к сравнительно концентрированным растворам, как это было показано многими исследователями [13], но и к сильноразбавленным металлическим растворам.

### Выводы

Измерено при 22° С в вакууме поверхностное натяжение разбавленных амальгам натрия, калия и цезия. Показана применимость к полученным результатам молекулярной теории поверхностных явлений В. Семенченко и уравнения М. А. Решетникова.

Академия наук СССР  
Институт общей и неорганической  
химии имени Н. С. Курнакова

Поступила  
12.III.1958

### ЛИТЕРАТУРА

1. G. Schmidt, Ann. d. Physik, 18, 1108, 1912.
2. В. К. Семенченко, В. П. Беринг, Н. Л. Покровский, физ. химии, 8, 364, 1936.
3. L. Convers, Recherches sur l'adsorption en solution métallique, Nancy, 1936.
4. П. П. Пугачевич, О. А. Тимофеевичева, Докл. АН СССР, 1958, 198, 1955.

- П. П. Пугачевич, Сб. научн. тр. Инж.-техн. ов-а цветн. металлургии, № 30, 1957.
- В. К. Семенченко, Ж. физ. химии, 3, 285, 1932; Успехи химии, 3, 710, 1934; Коллоидн. ж., 9, 125, 1947; 11, 109, 1949; Изв. Сектора физ.-хим. анализа ИОНХ АН СССР, 21, 14, 1952.
- П. П. Пугачевич, Ж. физ. химии, 31, 2140, 1957.
- П. П. Пугачевич, О. А. Тимофеевичева, Докл. АН СССР, 79, 831, 1951; Ж. неорганич. химии, 1, 1387, 1956.
- М. Сантог, Ann. d. Physik, 47, 399, 1892.
- М. А. Решетников, Изв. Сектора физ.-хим. анализа ИОНХ АН СССР, 19, 165, 1949.
- В. Szyzowski, Z. phys. Chem., 64, 385, 1908.
- П. П. Пугачевич, Ж. физ. химии, 25, 1365, 1951.
- В. К. Семенченко, Поверхностные явления в металлах и сплавах, Гос-техиздат, Москва, 1957.

## EXPERIMENTAL STUDY OF THE SURFACE TENSION OF METALLIC SOLUTIONS

*P. P. Pugachevich and O. A. Timofeevicheva (Moscow)*

## Summary

With the aid of a combination apparatus measurements have been made in vacuum the surface tensions of highly dilute sodium, potassium and cesium amalgams. It has been shown that the molecular theory of surface phenomena developed by V. K. Semenchenko and M. A. Reshetnikov's equation may be applied to these solutions.

НОВЫЙ МЕТОД ОПРЕДЕЛЕНИЯ УДЕЛЬНОЙ ПОВЕРХНОСТИ  
АДСОРБЕНТОВ И ДРУГИХ МЕЛКОДИСПЕРСНЫХ ВЕЩЕСТВ

М. Г. Коганер

Удельная поверхность является одной из наиболее важных величин характеризующих пористые вещества. Определение «сглаженной» (внешней) удельной поверхности необходимо в ряде случаев для расчета гидравлического сопротивления и теплопередачи, а также оценки эффективного диаметра пор и частиц фильтров, кусковых насадок различных аппаратов, порошкообразных материалов и т. п. Имеется несколько пригодных для этой цели методов, основанных на определении эффективного диаметра пор [1, 2]. Часто при решении технических задач необходимо знание истинной (внутренней) удельной поверхности мелкодисперсных веществ, в основном, адсорбентов и катализаторов. Определение истинной удельной поверхности необходимо также для изучения микроструктуры поверхностей и природы поверхностных явлений.

Наиболее надежными и широко распространенными методами определения удельной поверхности в этом случае являются методы, основанные на измерении адсорбции газов. Сюда относятся методы Брунауэра, Эмметта и Теллера (БЭТ), точки В, Гаркина и Юра (ГЮ) и Грэгга. Последний метод применяется сравнительно редко, недавно было показано [3], что он не является независимым, а может быть выведен из уравнения БЭТ. Наибольшее распространение получил первый метод, являющийся довольно простым и теоретически обоснованным.

Согласно основным положениям теории физической адсорбции поверхность адсорбента при низких относительных давлениях  $p/p_s$  начинает покрываться мономолекулярным слоем адсорбата, а при дальнейшем увеличении давления одновременно с постепенным заполнением первого слоя происходит образование второго и последующих молекулярных слоев, т. е. полимолекулярная адсорбция.

Методы БЭТ и ГЮ основаны на измерении полимолекулярной адсорбции. Поэтому они приводят к значительным ошибкам и становятся непригодными в случае тонкопористых веществ, в порах которых размещается 1—3 слоя адсорбата. В этом случае нельзя принимать число слоев  $n = \infty$ , а следует применять полное уравнение БЭТ, включающее действительную величину  $n$  и сводящееся к уравнению Лэнгмюра при  $n = 1$  (мономолекулярная адсорбция). Такой метод приводит к более точным результатам, но связан со сложными расчетами [4], что затрудняет его практическое использование.

Метод определения удельной поверхности, основанный на измерении адсорбции газов в мономолекулярной области, не имел бы указанного недостатка, будучи одинаково легко применимым к крупнопористым и тонкопористым веществам. Отсутствие до настоящего времени такого метода объясняется отчасти сложностью процесса адсорбции при образовании первого слоя. Вследствие неоднородности поверхности адсорбция вначале происходит лишь на наиболее активных участках поверхности, в частности в ультратонких порах. После покрытия этих участков мономолекулярная адсорбция протекает на сравнительно однородной поверхности. Можно предположить, что соответствующий участок изотермы адсорбции пригоден для определения поверхности.

# Экспериментальная часть

В данной работе сняты изотермы низкотемпературной адсорбции азота как олимолекулярной, так и в мономолекулярной области. Схема установки для измерений адсорбции приведена на рис. 1. Адсорбцию измеряли объемным методом. Отловку порций азота производили большей частью в объеме, включающем манометры 1 и 2 и ловушку 3. В ловушке задерживаются пары ртути, а также пары смазки кранов 6—9 и, частично, кранов 4 и 5. Остатки паров смазки последних кранов вымораживаются в трубе, соединяющей адсорбционную ампулу 10 с установкой.

В некоторых случаях при низких давлениях подключали баллон емкостью 1003 см<sup>3</sup>. Баллон и левоколено ртутного манометра 12 предварительно прокачивали соответственно водой и ртутью, затем использованы для калибровки остальных объемов установки азотом и гелием. Обведенная пунктиром установка заключена в воздушный термостат, в котором поддерживалась температура  $25 \pm 0,1^\circ \text{C}$ . Давление от  $1 \cdot 10^{-5}$  до 3 мм рт. ст. измеряли компрессионным манометром с составным капилляром, до 30 мм рт. ст. — масляным манометром 13 до 500 мм — ртутным U-манометром 12. Уровни жидкости в манометрах измеряли катетометром с ценой деления 0,01 мм. Манометр сопротивления 1, которым можно было измерять давление от  $1 \cdot 10^{-5}$  до 2—3 мм рт. ст. [5], служил, в основном, для контроля давления в процессе адсорбции. При откачке ампулу 10 с адсорбентом сообщали краном 4 с высоковакуумным насосом и подогревали при этом в электрической печи с электронным терморегулятором.

Азот для опытов очищали от примесей на тонкопористом силикагеле методом акционированной десорбции.

Возможная ошибка в определении объемов частей установки не превышала 0,5%. Точность измерений давлений, в основном, определялась, в основном, точностью измерения давлений и составляла 1—2%, возрастая при давлениях порядка  $10^{-5}$  мм рт. ст. до 5—8%. В области низких давлений вводили поправку на термомолекулярный эффект [6], в результате которого истинное давление над адсорбентом ниже измеренного манометром. Диаметр трубки, соединяющей ампулу с установкой, равен 6 мм.

Установление равновесия при низких давлениях происходило крайне медленно. Стояное давление порядка  $10^{-3}$ — $10^{-5}$  мм рт. ст. устанавливалось через 15—25 час. после впуска порции газа.

На описанной установке были сняты изотермы адсорбции азота\* на различных адсорбентах при температуре  $77,5$ — $77,8^\circ \text{K}$  и давлениях от  $1 \cdot 10^{-5}$  до 300 мм рт. ст. Для трех адсорбентов изотермы были сняты при  $90,1^\circ \text{K}$ . Результаты опытов приведены на рис. 2 и 3, а в табл. 1 даны численные значения для представителей различных типов адсорбентов.

Исследование показывает, что при степени покрытия поверхности адсорбента 1 полученные данные лучше всего согласуются с уравнением Дубинина-Радупкевича [7]:

$$a = \frac{w_0}{v} \exp \left[ -B \frac{T^2}{\beta^2} \left( \lg \frac{P_s}{P} \right)^2 \right], \quad (1)$$

где  $a$  — адсорбированное количество,  $w_0$  — объем адсорбционного пространства,  $v$  — удельный объем адсорбата в жидком виде,  $\beta$  — коэффициент аффинности характеристических кривых и  $B$  — константа, характерная для адсорбента.

\* В проведении опытов принимала участие А. И. Данилина.

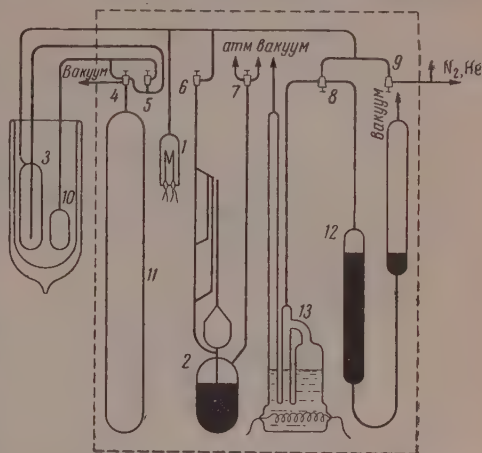


Рис. 1. Схема установки для измерения адсорбции при низких давлениях



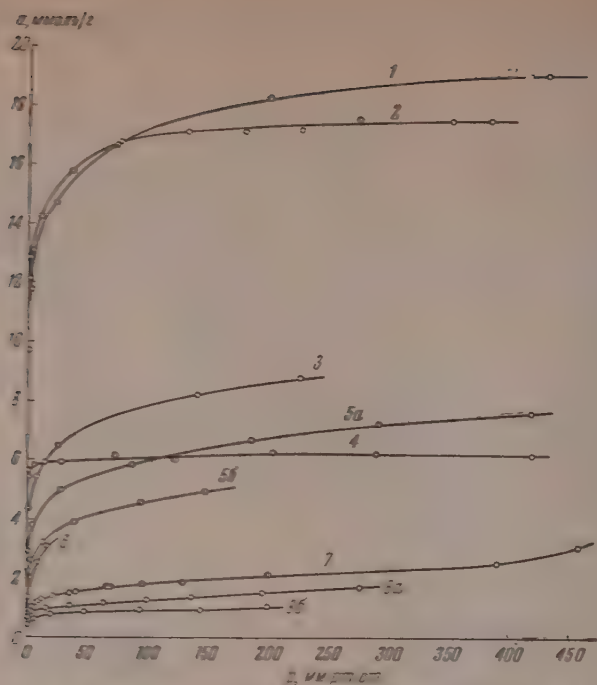


Рис. 2. Изотермы адсорбции азота при температурах 77,6 и 90,1° К и давлениях от  $1 \cdot 10^{-5}$  до 500 мм рт. ст. Цифры на кривых соответствуют номерам образцов в табл. 2

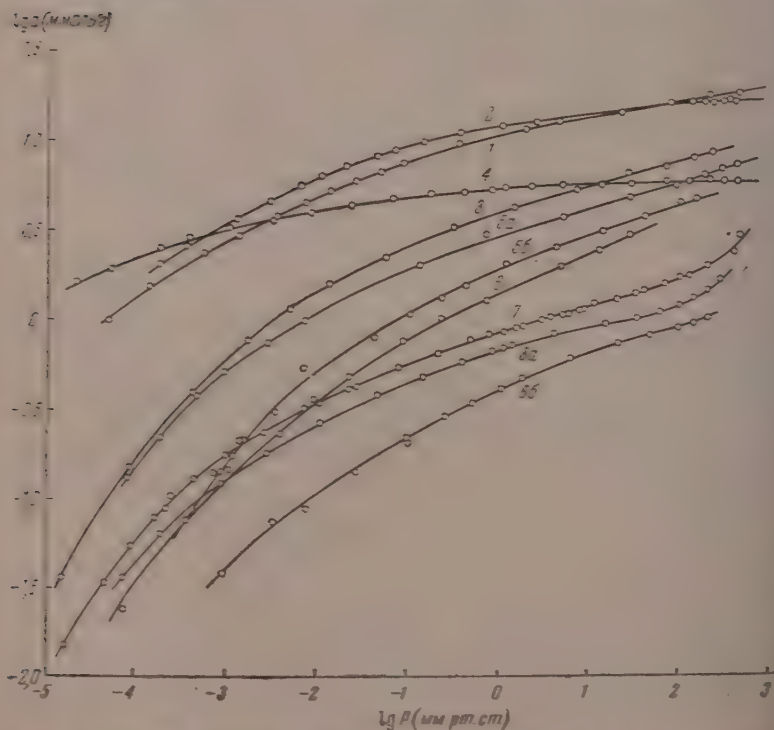


Рис. 3. Изотермы адсорбции азота при температурах 77,6 и 90,1° К и давлениях от  $1 \cdot 10^{-5}$  до 500 мм рт. ст. в логарифмических координатах. Цифры на кривых соответствуют номерам образцов в табл. 2.

Уравнение (1) может быть написано также в следующем виде:

$$\lg a = C - D \left( \lg \frac{p}{p_s} \right)^2, \quad (2)$$

$C = \lg \frac{w_0}{v}$  и  $D = 0,434 BT^2/\beta^2$ . Уравнение (2) выражается прямой линией в координатах  $\lg a - \left( \lg \frac{p}{p_s} \right)^2$ . Было установлено [8, 9], что в слу-

Таблица 1

Опытные данные по адсорбции азота адсорбентами различных типов при 77,6 и 90,1° К

Давление, мм рт. ст.	Адсорбция, ммоль/г	Давление, мм рт. ст.	Адсорбция, ммоль/г
Кокосовый уголь, $T = 77,6^\circ \text{ К}$		Силикагель С — 204, $T = 77,6^\circ \text{ К}$	
5,31 · 10 <sup>-5</sup>	0,977	8,05 · 10 <sup>-5</sup>	0,129
1,472 · 10 <sup>-4</sup>	1,537	8,50 · 10 <sup>-5</sup>	0,144
5,58 · 10 <sup>-4</sup>	2,335	1,898 · 10 <sup>-4</sup>	0,219
1,415 · 10 <sup>-3</sup>	2,936	4,758 · 10 <sup>-4</sup>	0,384
3,554 · 10 <sup>-3</sup>	3,710	9,84 · 10 <sup>-4</sup>	0,519
7,55 · 10 <sup>-3</sup>	4,485	2,890 · 10 <sup>-3</sup>	0,749
1,423 · 10 <sup>-2</sup>	5,18	7,43 · 10 <sup>-3</sup>	1,031
2,649 · 10 <sup>-2</sup>	5,97	1,300 · 10 <sup>-1</sup>	1,993
5,04 · 10 <sup>-2</sup>	6,81	7,22 · 10 <sup>-1</sup>	2,909
8,96 · 10 <sup>-2</sup>	7,59	5,30 · 10 <sup>0</sup>	3,859
3,693 · 10 <sup>-1</sup>	9,69	2,787 · 10 <sup>1</sup>	5,01
1,916 · 10 <sup>0</sup>	11,81	8,59 · 10 <sup>1</sup>	5,87
4,350 · 10 <sup>0</sup>	13,07	1,843 · 10 <sup>2</sup>	6,68
2,221 · 10 <sup>1</sup>	14,69	2,904 · 10 <sup>2</sup>	7,27
7,28 · 10 <sup>1</sup>	16,73	4,185 · 10 <sup>2</sup>	7,67
1,996 · 10 <sup>2</sup>	18,31		
4,324 · 10 <sup>2</sup>	19,20		
Активный глинозем, $T = 90,1^\circ \text{ К}$		Шабазит, $T = 90,1^\circ \text{ К}$	
6,32 · 10 <sup>-5</sup>	0,00605	2,239 · 10 <sup>-5</sup>	1,575
8,99 · 10 <sup>-4</sup>	0,0382	5,43 · 10 <sup>-5</sup>	1,964
3,488 · 10 <sup>-3</sup>	0,0730	1,818 · 10 <sup>-4</sup>	2,463
7,49 · 10 <sup>-3</sup>	0,0899	3,875 · 10 <sup>-4</sup>	2,818
2,545 · 10 <sup>-2</sup>	0,1449	1,094 · 10 <sup>-3</sup>	3,209
9,95 · 10 <sup>-2</sup>	0,2237	3,217 · 10 <sup>-3</sup>	3,596
1,012 · 10 <sup>-1</sup>	0,2132	8,54 · 10 <sup>-3</sup>	3,979
2,616 · 10 <sup>-1</sup>	0,2937	2,405 · 10 <sup>-2</sup>	4,349
5,29 · 10 <sup>-1</sup>	0,3584	6,75 · 10 <sup>-2</sup>	4,719
1,033 · 10 <sup>0</sup>	0,4246	1,719 · 10 <sup>-1</sup>	5,03
1,827 · 10 <sup>0</sup>	0,4880	4,152 · 10 <sup>-1</sup>	5,27
6,56 · 10 <sup>0</sup>	0,635	8,37 · 10 <sup>-1</sup>	5,44
2,100 · 10 <sup>1</sup>	0,782	1,120 · 10 <sup>0</sup>	5,52
4,64 · 10 <sup>1</sup>	0,876	2,225 · 10 <sup>0</sup>	5,68
9,30 · 10 <sup>1</sup>	0,944	4,950 · 10 <sup>0</sup>	5,79
1,428 · 10 <sup>2</sup>	1,008	1,394 · 10 <sup>1</sup>	5,94
1,994 · 10 <sup>2</sup>	1,073	7,16 · 10 <sup>1</sup>	6,09
		2,028 · 10 <sup>2</sup>	6,26
		4,196 · 10 <sup>2</sup>	6,26

е адсорбции бензола на активных углях линейная зависимость соблюдается при относительных давлениях от 10<sup>-5</sup> — 10<sup>-4</sup> до 0,01 — 0,5.

Полученные в данной работе изотермы адсорбции представлены на с. 4 и 5 в координатах уравнения (2). Здесь же нанесены изотермы сорбции азота на непористых адсорбентах — рутиле [10] и серноокислом рии [11]. Изучение этих, а также ряда других опубликованных данных по адсорбции азота при низких давлениях приводит к выводу, что определенной области значений  $\theta$  уравнению (2) подчиняются не толь-

ко активные угли, но и многие другие адсорбенты — как тонкопористые, так и крупнопористые. Все изотермы имеют прямолинейный участок в координатах  $\lg a - \left(\lg \frac{p}{p_s}\right)^2$  при значениях  $\frac{p}{p_s}$  от  $10^{-5}$ — $10^{-4}$  до 0,005—0,03, т. е. при  $\theta$  от 0,1—0,5 до 0,75—0,9. Отклонение точек от прямой линии при высоких значениях  $p/p_s$  тем больше, чем более крупнопористым является адсорбент, т. е. чем больше  $n$  — максимальное число слоев, которое может адсорбироваться на стенках пор. В случае тонкопористого адсорбента с  $n=1$  величина  $w_0/v$  равна количеству газа  $a$ , адсорбированному в мономолекулярном слое.

Если принять, что уравнение (2) характеризует мономолекулярную адсорбцию, то опытные точки для такого адсорбента должны ложиться вплоть до  $p/p_s = 1$  в указанных координатах на прямую, пересекающую ось ординат в точке с ординатой  $C = \lg a_m$ . С целью проверки этого положения была снята изотерма адсорбции азота при 90,1° К на шабазите. Обезвоженный шабазит имеет очень тонкие поры диаметром около 5 Å, в которых полимолекулярная адсорбция невозможна. Как видно из рис. 4, все опытные точки для шабазита при  $p/p_s > 1-2 \cdot 10^{-4}$  укладываются на прямую, пересекающую ось ординат в точке, соответствующей значению  $a_m = 6,36$  ммоль/г. Активные угли с низкой температурой активации и малой степенью обгара, имеющие ультратонкие поры, также подчиняются уравнению (2) до давлений, близких к давлению насыщения [8].

Уравнение БЭТ, основанное на теории полимолекулярной адсорбции, хорошо выражает изотерму адсорбции, как известно, в узких пределах  $p/p_s$  от 0,05 до 0,35. Внимательное рассмотрение полученных в данной работе изотерм показывает, что отклонения от уравнения БЭТ начинаются при  $p/p_s = 0,01 \div 0,04$ , причем во всех случаях соответствующая кривая характеризуется одновременно началом прямолинейной зависимости в координатах уравнения Дубинина и Радushкевича. Таким образом, на изотерме адсорбции существует определенный участок перехода от уравнения Дубинина и Радushкевича к уравнению БЭТ, представляющий сущности участок постепенного перехода от мономолекулярной к полимолекулярной адсорбции.

М. М. Дубинин и Л. В. Радushкевич положили в основу своего уравнения функцию типа Гаусса для распределения объема адсорбционного пространства  $w$  по адсорбционным потенциалам  $\epsilon$ :

$$w = w_0 e^{-k\epsilon^2}.$$

Выше было высказано предположение, что полученное ими уравнение описывает адсорбцию в мономолекулярной области. В этой области следует рассматривать функцию распределения энергии адсорбции по поверхности, а не по объему. Поэтому уравнение (3) должно быть заменено следующим:

$$\theta = e^{-k\epsilon^2},$$

откуда находим:

$$\lg \theta = \lg \frac{a}{a_m} = -D \left( \lg \frac{p}{p_s} \right)^2$$

Если уравнение (5) справедливо, то экстраполирование прямолинейного участка изотерм адсорбции на рис. 4 и 5 к оси ординат ( $p/p_s = 1$ ) должно привести для любого адсорбента к значению объема газа  $a_m$ , адсорбированного в мономолекулярном слое. Возможность использования уравнения (5) для определения  $a_m$ , а следовательно, и величины поверхности полностью подтверждается расчетами с использованием полученных нами изотерм и измерений других авторов. Величины  $a_m$ , найденные по методу Б

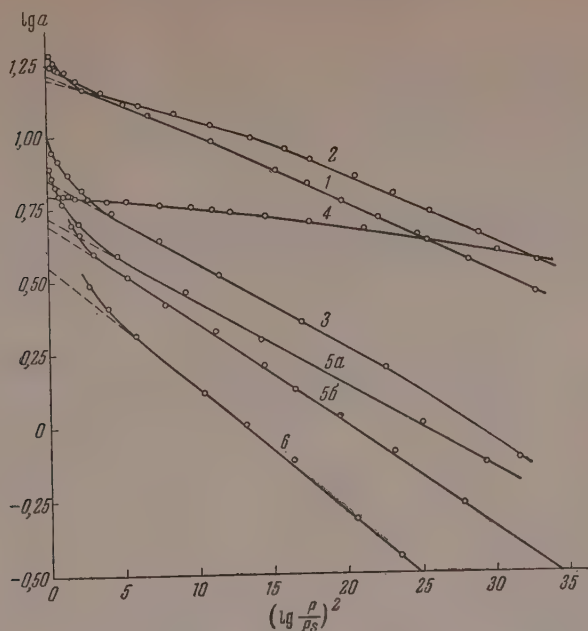


Рис. 4. Изотермы адсорбции азота активными углями, силикагелями и шабазитом в координатах уравнения (2). Цифры на кривых соответствуют номерам образцов в табл. 2

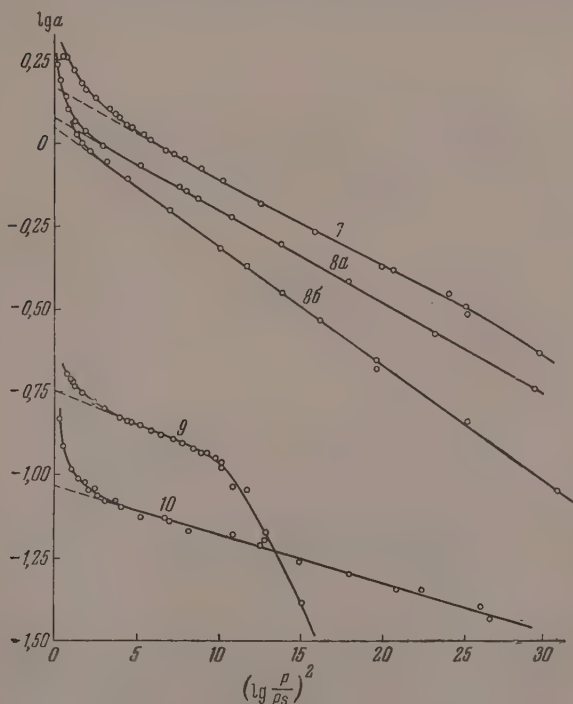


Рис. 5. Изотермы адсорбции азота алюмогелями и непо-  
ристыми адсорбентами в координатах уравнения (2).  
Цифры на кривых соответствуют номерам образцов в  
табл. 2



из данных при относительных давлениях больше 0,05, хорошо согласуются со значениями, полученными указанным способом из данных при более низких давлениях. Новый метод определения удельной поверхности является независимым от других методов, так как основывается на измерениях в области мономолекулярной адсорбции, где методы БЭТ и ГЮ оказываются неприменимыми.

В табл. 2 сопоставлены результаты измерения поверхности ряда адсорбентов по методам БЭТ, ГЮ и предлагаемому автором. При расчетах площадь, занимаемая молекулой азота на поверхности при 77,6° К, была принята равной  $15,8 \text{ \AA}^2$  [12]. При 90,1° К соответствующее значение равно  $16,8 \text{ \AA}^2$ .

Таблица 2

Удельная поверхность адсорбентов, определенная различными методами

№ пп.	Адсорбент	Метод БЭТ		Метод ГЮ		Новый метод $s, \text{ м}^2/\text{г}$
		$s, \text{ м}^2/\text{г}$	откл. %	$s, \text{ м}^2/\text{г}$	откл. %	
1	Кокосовый уголь	1542	-1,2	—	—	1561
2	Уголь СКТ	1522	+0,6	—	—	1513
3	Силикагель С-200	660	-0,6	—	—	664
4	Шабазит	—	—	—	—	644
5а	Силикагель С-204, 77,6° К	509	+2,0	—	—	499
5б	» С-204, 90,1° К	497	-0,8	—	—	501
6	Силикоаэрогель	345	+2,1	—	—	338
7	Алюмогель А-2	151	+5,6	158	+10,5	143
8а	Активный глинозем, 77,6° К	113	-0,9	120	+5,3	114
8б	» » 90,1° К	110	-2,6	119	+5,3	113
9	Рутил	17,0	0,0	—	—	17
10	Серноокислый барий	9,5	+1,1	9,65	+2,7	9

Метод ГЮ не применим к углям и тонкопористым силикагелям С-20 и С-204. Для остальных адсорбентов он дает несколько повышенные значения поверхности сравнительно с двумя другими методами. Метод БЭТ в обычном виде также не применим к углям. Использование полного уравнения БЭТ привело к величинам  $n = 1,4$  для кокосового угля и 1,3 для угля СКТ. Найденные этим способом [4] значения поверхности угля приведены в табл. 2.

Конечно, для таких тонкопористых углей, у которых  $n < 2$ , определение удельной поверхности становится практически нецелесообразным, так как здесь даже второй адсорбированный слой образуется лишь на отдельных участках поверхности, и величина  $a_m$  приближается к величине объема адсорбционного пространства. Определение поверхности может быть все же полезным и в данном случае, в частности, для научных целей.

Величина поверхности шабазита является, конечно, условной, так как диаметр его пор близок к диаметру молекул азота.

Результаты сравнения показывают, что расхождения величин поверхности, полученных методом БЭТ и новым методом, не превышают в среднем 2%. Расхождения имеют для разных адсорбентов различный знак и определяются, по-видимому, не погрешностями методов, а ошибками измерений и расчетах.

Следует подчеркнуть, что новый метод не применим к адсорбентам, у которых функция распределения энергии адсорбции по поверхности не может быть выражена уравнением (4). Он не пригоден также для веществ с энергетически однородной поверхностью, адсорбция на которых рассматриваемой области описывается уравнением Лэнгмюра [13, 14].

Предлагаемый нами метод определения удельной поверхности сводится к измерению адсорбции примерно в трех точках при  $p/p_s = 10^{-4} - 10^{-3}$ .

для азота давление от 0,1 до 10 мм рт. ст. при 77,4°K и от 0,3 до 30 мм рт. ст. при 90,1° K), нанесению точек в координатах  $\lg a - \left( \lg \frac{p}{p_s} \right)^2$  и экстраполиванию полученной прямой линии к оси ординат. Ордината точки пересечения прямой с осью дает значение объема газа  $a_m$ , адсорбированного в мономолекулярном слое. Отсюда известным способом определяется величина поверхности.

Одним из преимуществ нового метода определения поверхности является его универсальность. Он одинаково хорошо применим как к крупнопористым адсорбентам, так и к тонкопористым, для которых метод БЭТ дает неточные результаты. Использование же полного уравнения БЭТ связано со сложными и длительными расчетами.

Второе преимущество метода заключается в упрощении экспериментальной методики. Измерения при сравнительно низких давлениях дают возможность использовать трубки большего диаметра. «Мертвый» объем не вносит в большинстве случаев пренебрежимо малой величины вследствие сравнительно небольшого количества газа, остающегося в системе при равновесном давлении адсорбции. Это позволяет легко определять небольшие величины поверхности непористых веществ. В случае применения метода БЭТ приходится с той же целью подбирать условия эксперимента так, чтобы величина  $p_s$  была достаточно низкой, например, адсорбировать этилен или криптон при температуре кипения жидкого азота.

Новый метод применим в широких пределах давлений, величина отношения верхнего и нижнего пределов превышает 100, достигая в большинстве случаев нескольких тысяч, тогда как при методе БЭТ это отношение составляет приблизительно 7. Поэтому в первом случае значительно легче подобрать условия эксперимента для получения точек изотермы в требуемой области относительных давлений. Так, например, на обычной установке, предназначенной для измерений при давлениях порядка нескольких десятков и сотен мм рт. ст. по методу БЭТ, можно определять поверхность предлагаемым методом, измеряя адсорбцию азота при температуре 90° K или адсорбцию двуокиси углерода при 273° K. При определении малых поверхностей, например для непористых веществ, следует измерять адсорбцию аргона или криптона при 77,4° K.

Наконец, при использовании предлагаемого метода расходуется при прочих равных условиях значительно меньше газа, чем при методах БЭТ и ГЮ.

В данной работе изучена только адсорбция азота. Из условия постоянства величины поверхности следует, что  $a_m$  должно быть обратно пропорционально  $v\%$ . В дальнейшем предполагается провести соответствующие исследования.

### Выводы

1. Сняты изотермы адсорбции азота при относительных давлениях от  $10^{-8}$  до 0,6 на семи адсорбентах при 77,6° K и на трех адсорбентах при 90,1° K.

2. Установлено, что адсорбция азота на многих адсорбентах (активных углях, силикагелях, алюмогелях и некоторых непористых адсорбентах) подчиняется уравнению Дубинина и Радужкевича при значениях  $p/p_s$  от  $10^{-6}$  до  $10^{-4}$  до 0,005 до 0,03. Уравнение описывает мономолекулярную адсорбцию при степени покрытия поверхности от 0,1 до 0,5 до 0,75 до 0,9.

3. Показано, что при  $p/p_s = 0,01$  до 0,05 происходит переход от мономолекулярной адсорбции (уравнение Дубинина и Радужкевича) к полимолекулярной (уравнение БЭТ).

4. Предложен метод определения поверхности по адсорбции газов в мономолекулярной области при давлениях  $p/p_s = 0,0001$  до 0,01. Новый метод основан на использовании видоизмененного уравнения Дубинина

и Радужкевича. Он является независимым от других известных методов определения поверхности и имеет по сравнению с ними ряд преимуществ. Значения поверхности, полученные предложенным методом, согласуются с величинами, найденными по методу БЭТ, с точностью  $\pm 2\%$ .

Поступила  
13.III.1958

#### ЛИТЕРАТУРА

1. И. П. Ишкин, М. Г. Каганер, Ж. физ. химии, 24, 943, 1950.
2. И. П. Ишкин, М. Г. Каганер, Кислород, № 3, 8, 1952.
3. A. G. Parts, Austral. J. Appl. Sci., 6, 183, 1955.
4. L. G. Joynes, E. B. Weinberger, C. W. Montgomery, J. Amer. Chem. Soc., 67, 2182, 1945.
5. М. Г. Каганер, Приборы и техника эксперимента, № 5, 124, 1957.
6. S. Chu Liang, J. Appl. Phys., 22, 143, 1951.
7. М. М. Дубинин, Л. В. Радужкевич, Докл. АН СССР, 55, 331, 1947.
8. М. М. Дубинин, Е. Д. Заверина, Л. В. Радужкевич, Ж. физ. химии, 21, 1351, 1947.
9. М. М. Дубинин, Е. Д. Заверина, Ж. физ. химии, 23, 469, 1949.
10. J. M. Honig, L. H. Reuerson, J. Phys. Chem., 56, 140, 1952.
11. Б. В. Ильин, А. В. Киселев, В. Ф. Киселев, О. А. Пихачева, К. Д. Щербакова, Докл. АН СССР, 75, 827, 1950.
12. A. S. Joy, Vacuum, 3, 254, 1953.
13. S. Ross, W. Winkler, J. Colloid Sci., 10, 319, 1955.
14. M. L. Corrin, J. Phys. Chem., 59, 313, 1955.

#### NEW METHOD FOR DETERMINING THE SPECIFIC SURFACE OF ADSORBENTS AND OTHER FINELY DISPERSE SUBSTANCES

*M. G. Kaganer (Moscow)*

#### Summary

Adsorption isotherms at relative pressures from  $10^{-8}$  to 0.6 have been obtained for 7 adsorbents at 77.6° K and for 3 adsorbents at 90.1° K.

The adsorption of nitrogen on all adsorbents (active carbons, silica gels, alumina gels and non-porous adsorbents) has been found to follow the Dubinin — Radushkevich equation for  $p/p_s$  values from  $10^{-5}$ — $10^{-4}$  to 0.005—0.3. For degrees of coverage from 0.1—0.5 to 0.75—0.9 the equation expresses monomolecular adsorption.

The deviation from the BET equation at  $p/p_s=0.5$  is explained by monomolecular adsorption rather than by the influence of surface heterogeneity. At  $p/p_s=0.01$ —0.6 transition takes place from monomolecular (Dubinin—Radushkevich) to polymolecular (BET) adsorption.

A method has been proposed for determining the surface area from the adsorption of gases in the monomolecular region at pressures  $p/p_s=0.0001$ —0.01. The new method is based on the use of a modification of the Dubinin — Radushkevich equation. It is independent of the other known methods of determining surface areas, having a number of advantages over them. The values of the surface areas obtained by this method are in agreement with those obtained by the BET method with an accuracy of  $\pm 2\%$ .

## СПЕКТРЫ ПОГЛОЩЕНИЯ РАСТВОРОВ ЙОДНОГО ОЛОВА\*

Ю. Н. Вольнов

Исследований, посвященных изучению спектров поглощения растворов йодного олова, в литературе нами не обнаружено. Некоторые свойства растворов йодного олова описаны в [1].

Применявшееся нами для работы йодное олово было получено из химически чистого олова и дважды возогнанного йода кипячением 10 молярного раствора йода в бензоле с 50 %-ным избытком олова. Вещество было повторно перекристаллизовано из бензола и высушено в вакууме. Оно содержало следов свободного йода и плавилось при 143,5°. Применявшееся в работе растворители тщательно обезвожены и очищены трехкратной перегонкой; их константы соответствовали литературным данным.

Для работы применялись свежеприготовленные растворы определенной концентрации йодного олова в воде, этаноле, пропаноле, *n*-бутаноле, этилацетате, этилвалерате, тетраэтоксисилане, ацетоуксусном эфире и изоле. Концентрации растворов подбирались так, чтобы интенсивность поглощения света в точке максимумов лежала не выше 90% шкалы.

Поглощение света изучено в области длин волн от 200 до 750 мμ. Измерение в ультрафиолетовой области проводилось на спектрофотометре Ф-4, в видимой области — спектрофотометром СФ-2.

Было установлено, что свежеприготовленные растворы йодного олова имеют область сплошного поглощения в области 200—340 мμ, полосу поглощения при 400—440 мμ и прозрачны для света длин волн 460—750 мμ. Результаты измерений приведены на рисунке. Как видно из рисунка, максимумы полос поглощения в видимой области изученных растворов отличаются как по интенсивности поглощения, так и по длине волны. Аналогичное явление наблюдалось рядом исследователей [2].

Максимум поглощения растворов

Растворитель	Молярная концентрация раствора	$MR_D$ растворителя	Длина волны максимума, мμ	Интенсивность поглощения, %
Вода	0,002	3,9	400	2,5
Этанол	0,002	13,08	405	11,0
Пропанол	0,002	17,69	407	28,0
Этилацетат	0,002	22,21	421,5	60,0
<i>n</i> -Бутанол	0,002	22,32	423	70,5
Бензол	0,002	26,31	425	83,0
Этилвалерат	0,002	36,06	430	86,5
Тetraэтоксисилан	0,0002	53,26	433	73,0
Ацетоуксусный эфир	0,0018	32,13	440	88,5

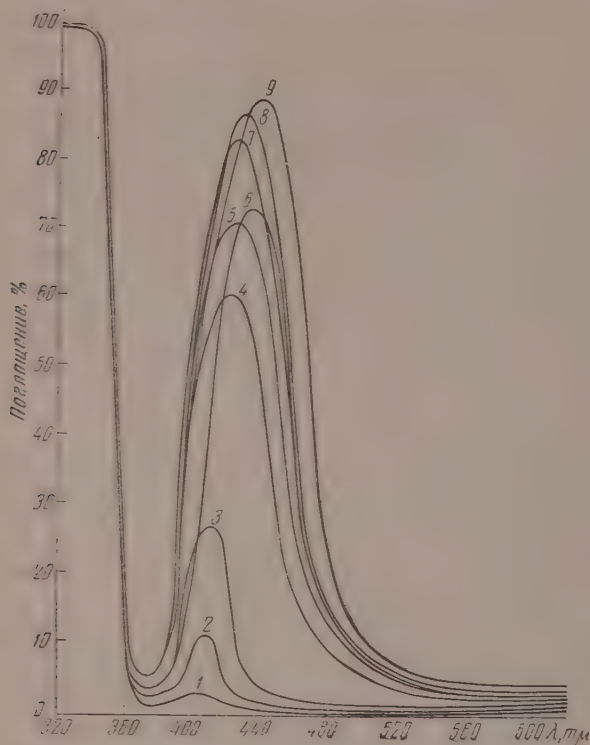
В нашей работе мы сопоставили не только смещение максимумов поглощения по длине волны, но и по интенсивности, изучая растворы строго одинаковой концентрации. Однако интенсивность поглощения растворов йодного олова в тетраэтоксисилане так велика, что для ее изучения были

\* В работе принимал участие студент С. Черняк.



применены в 10 раз более разбавленные растворы, чем в остальных случаях. Концентрация раствора йодного олова в ацетоуксусном эфире не могла быть выше 0.0018 моляльной вследствие ограниченной растворимости. В таблице сопоставлены положения максимумов поглощения в области 400—440 м $\mu$  с молекулярной рефракцией применявшихся растворителей.

Как видно из таблицы, для изученных случаев наблюдается строгая закономерность смещения максимумов поглощения в сторону более длин-



Спектры поглощения растворов  $\text{SnI}_4$ : 1 — в воде; 2 — этаноле; 3 — пропаноле; 4 — этилацетате; 5 — *n*-бутаноле; 6 — тетраэтоксисилане; 7 — бензоле; 8 — этилвалерате; 9 — ацетоуксусном эфире.

ных волн и увеличение интенсивности поглощения с ростом молекулярной рефракции растворителя. Единственным исключением является ацетоуксусный эфир. Эти явления могут быть объяснены тем, что с ростом молекулярной рефракции растворителя поляризуемость его молекул увеличивается, и контрполяризующее действие их на молекулу йодного олова уменьшается. Наблюдающееся отклонение поведения раствора в ацетоуксусном эфире, по-видимому, связано с тем, что молекула ацетоуксусного эфира является аддендом, занимающим два координационных места, и с контрполяризующее действие должно быть отличным от остальных изученных растворителей.

Изучение интенсивности поглощения свежеприготовленных растворов йодного олова в одном и том же растворителе, но при различных концентрациях, показало, что они не подчиняются закону Ламберта—Бера.

Разбавленные, стоявшие в течение суток растворы йодного олова в бензоле, обнаруживают характерный максимум поглощения при  $\lambda = 530$  м $\mu$ .

пиртовые растворы йодного олова после выдерживания в течение суток обнаруживают максимум поглощения в ультрафиолетовой части спектра: для растворов в этиловом спирте он лежит при 300 мμ, для остальных спиртовых растворов — при 350 мμ.

Растворы йодного олова в остальных изученных растворителях соответствующих максимумов не обнаруживают. Расположение максимумов поглощения в выдержанных в течение суток спиртовых и бензольных растворах совпадает с расположением максимумов на кривых поглощения пиртовых и бензольных растворов свободного йода [3]. На основании этого можно предположить, что под влиянием сольватации и комплексообразования в указанных растворах устанавливается равновесие  $\text{SnI}_4 \rightleftharpoons \text{SnI}_2 + \text{I}_2$ .

Подтверждением этого предположения являются более ранние данные [1], свидетельствующие о диссоциации йодного олова в спиртовых растворах.

### Выводы

1. Изучены спектры поглощения растворов йодного олова в воде, этаноле, пропаноле, н-бутаноле, этилацетате, этилвалерате, тетраэтоксисилане, ацетоуксусном эфире и бензоле.
2. Установлено, что смещение максимумов поглощения по длине волны и интенсивности коррелирует с величиной молекулярной рефракции растворителя. Исключением является раствор в ацетоуксусном эфире.
3. Предположено, что появление максимума поглощения при 300—350 мμ в стоявших в течение суток спиртовых растворах обусловлено диссоциацией йодного олова с выделением йода.

Технологический институт  
холодильной промышленности  
Ленинград

Поступила  
15.III.1958

### ЛИТЕРАТУРА

- Ю. Н. Вольнов, Ж. физ. химии, 29, 1646, 1955; 31, 133, 1957.  
G. Scheibe, Ber., 57, 1330, 1924; 58, 586, 1925; 59, 1321, 2617, 1926; 60, 1406, 1927.  
P. Waentig, Z. phys. Chemie, 68, 513, 1910.

### ABSORPTION SPECTRA OF TIN IODIDE SOLUTIONS

Yu. N. Vol'nov (Leningrad)

#### Summary

The results are presented of spectral studies of tin iodide in water, ethanol, propanol, butanol, ethyl acetate, ethyl valerate, tetraethoxysilane, acetoacetic ester and benzene within the wavelength region 200 to 750 mμ. A domain of complete absorption of the solutions is found in the ultraviolet region of the spectrum. The absorption band lies in the region of 400—440 mμ.

Benzene and alcoholic solutions standing for 24 hours reveal an absorption band corresponding to those of iodine in the same solutions, which is evidently connected with association of tin iodide and liberation of iodine.

# РОЛЬ ГЕТЕРОГЕННЫХ ФАКТОРОВ ПРИ ОКИСЛЕНИИ ФОРМАЛЬДЕГИДА

А. М. Маркевич и Л. Ф. Филиппова

Разбор литературы, посвященной окислению формальдегида, показывает, что кинетика этой реакции исследована недостаточно. Даже состав продуктов реакции не всегда установлен. Известно, что в продуктах реакции, кроме основных веществ  $\text{CO}$  и  $\text{H}_2\text{O}$ , содержится также  $\text{CO}_2$ ,  $\text{H}_2$ ,  $\text{HCOOH}$  [1]. В некоторых работах отмечается образование  $(\text{CH}_2\text{OH})_2\text{O}_2$  [1-3] и  $\text{HCOOOH}$  [2, 3]. Недавно было найдено значительное количество  $\text{H}_2\text{O}_2$  [1].

Таблица 1  
Сводка данных по энергии активации

Интервал температур, °C	E, ккал/моль	Ссылка на литературу
267-337	20,6	[16]
277-357	17,6	[17]
300-338	17,9	[8]
31-37	14,1	[6]
37-40	10,4	[11]
37-377	17,4	[7]
37-40	30*	[7]
319-419	26**	

\* Смесь образцов  $\text{K}_2\text{Cr}_2\text{O}_7$ .

\*\* Чистый сосуд.

О кинетике реакции известно, что скорость окисления пропорциональна  $[\text{CH}_2\text{O}]^2$  и не зависит от содержания кислорода. Наряду с этим в литературе отмечается плохая воспроизводимость опытных данных, сильная зависимость скорости реакции от состояния стенок реакционного сосуда [4, 5], что приводит к изменению вида кинетической кривой и соответственно к отсутствию или появлению ускорения в начальной стадии реакции [5]. Трудность сопоставления экспериментальных данных лучше всего иллюстрируется табл. 1, где представлены значения энергии активации, найденные различными авторами, и данные настоящей работы. Разброс величин  $E$  показывает степень воспроизводимости различных кинетических измерений, что связывается, очевидно, с ролью гетерогенных факторов. Последнее — именно влияние природы поверхности на кинетику реакции окисления формальдегида — и явилось основной темой настоящей работы.

## Экспериментальная часть

Опыты проводились в открытых [1] и в статических условиях. В некоторых случаях опыты проводились тем же методом раздельного калориметрирования [11]. Скорость реакции определялась по данным химического анализа и измерению  $\Delta p$ . При работе в статических условиях эта величина регистрировалась стеклянным мембранным манометром.

Формальдегид для приготовления всех двух смесей готовился путем возгонки из триформальдегида. Анализ продуктов реакции на  $\text{CO}$  и  $\text{CO}_2$  проводился методом Кларка с использованием сожжения на платиновой спирали. Растворимые в воде продукты реакции и формальдегид определялись соответственно: формальдегид — титриметрическим методом, муравьиная кислота — 0,1 N  $\text{Ba}(\text{OH})_2$ , пероксид водорода — йодометрически [1] или при помощи титанового реактива на фотоэлектрокалориметре [13].

Первые опыты с применением метода раздельного калориметрирования показали сильную зависимость скорости реакции от состояния поверхности. Рис. 1 иллюстрирует разогрев центрального капилляра (диаметр

м) при изучении реакции в чистом кварцевом сосуде в струевых условиях [11]. Кривая получена при перемещении дифференциальной термоэлемента вдоль реакционного сосуда. Наличие пиков на кривой свидетельствует о высокой чувствительности реакции к природе поверхности, когда такая неоднородность вызывает большие изменения в скорости реакции. После нескольких опытов, (5—10) кривая заметно сглаживается, что указывает на процессы стабилизации поверхности в ходе реакции.

Расчеты теплового баланса, проведенные по данным этой серии опытов в соответствии с методом раздельного калориметрирования, показали, что значительная доля (~70%) всего реакционного тепла выделяется на поверхности, или, во всяком случае, реакция сильно локализована у стенки реакционного сосуда.

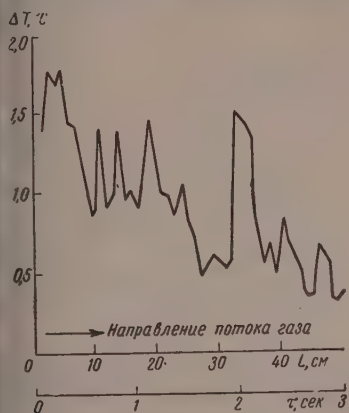


Рис. 1

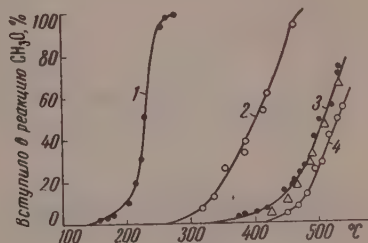


Рис. 2

Рис. 1. Кривая разогрева, полученная методом раздельного калориметрирования в струе, как характеристика чувствительности к состоянию поверхности  $T=370^\circ\text{C}$ ,  $P_0=760$  мм;  $P_{\text{CH}_2\text{O}}=167$  мм (4,2 ммоль/л);  $P_{\text{возд}}=573$  мм рт. ст. Сосуд — чистая кварцевая трубка,  $V=50$  мл, диаметр 30 мм. Скорость струи 45 мл/мин.

Рис. 2. Влияние природы поверхности реакционного сосуда ( $V=122$  мл,  $S/V=10$ ) на скорость реакции окисления. Получено в струевых условиях  $P_0=760$  мм,  $P_{\text{CH}_2\text{O}}=80$  мм,  $P_{\text{возд}}=680$  мм рт. ст. Скорость струи — 75 мл/мин. 1 — поверхность сосуда покрыта  $\text{PbO}$ ; 2 — стекло ничем не обработано; 3 — черные точки  $\text{K}_2\text{B}_4\text{O}_7$ , треугольники  $\text{KCl}$ ; 4 —  $\text{CsCl}$ .

В другой серии опытов (рис. 2), проведенной также в струевых условиях, исследовалась роль различных покрытий, нанесенных на поверхность реакционного сосуда. Некоторые покрытия, например  $\text{PbO}$ , по сравнению с чистым стеклянным сосудом резко катализуют реакцию. Обработка того же реакционного сосуда другими веществами ( $\text{K}_2\text{B}_4\text{O}_7$ ,  $\text{KCl}$ ,  $\text{CsCl}$ ) значительно понижает скорость окисления формальдегида. Исследование продуктов реакции показало, что изменение поверхности существенным образом влияет на химизм реакции. Так, например, в чистом стеклянном сосуде (рис. 2, кривая 2), наряду с конечными продуктами окисления  $\text{CO}$ ,  $\text{H}_2\text{O}$ ,  $\text{CO}_2$ , всегда содержится также перекись водорода, концентрация которой может сильно варьировать в зависимости от условий опыта. С другой стороны, при работе с сосудами, обработанными  $\text{K}_2\text{B}_4\text{O}_7$ , нам никогда не удавалось обнаружить даже следов  $\text{H}_2\text{O}_2$ . Следующие опыты показали, что кинетика реакции в таких различных сосудах также различна. Описанные ниже опыты проводились с двумя парами реакционных сосудов: чистыми, т. е. кварцевыми или стеклянными реакционными сосудами, которые подвергались единственной обработке — обработке хромовой смесью с последующей отмывкой дистиллированной водой, и сосудами, обработанными 2%-ным раствором  $\text{K}_2\text{B}_4\text{O}_7$ .



На рис. 3 представлены значения  $\Delta P$  и измеренные методом раздельного калориметрирования  $\Delta T$ , полученные для статических условий при работе с осевшим, обработанным  $K_2V_8O_{16}$ . Сопоставимость значений  $\Delta T$  и скорости реакции  $\alpha$ , полученной путем дифференцирования кривой 1, показана на кривой 2. Данные этой серии опытов отличались хорошей воспроизводимостью и четким отсутствием периода индукции. Расчет теплового баланса показал, что и в этих условиях роль гетерогенных факторов велика. Покажем это на примере данных рис. 3. Полагая, что основным направлением является  $CH_3O - ^1_2O_2 \rightarrow CO + H_2O$  — 58,5 ккал и принимая теплопроводность газовой смеси равной теплопроводности воздуха  $\lambda_{287} = 12,5 \cdot 10^{-5}$  ккал/см сек.град в соответствии

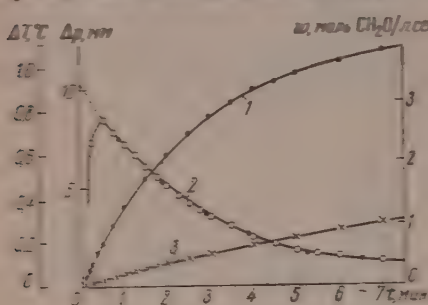


Рис. 3

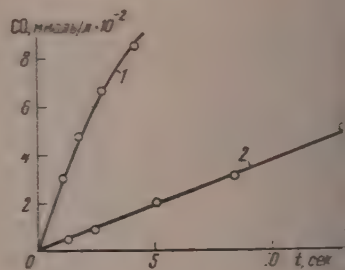


Рис. 4

Рис. 3. Кинетика окисления  $CH_3O$  в кварцевом ( $V = 215$  мл) осевом, обработанном  $K_2V_8O_{16}$ . Получено в статике: 1 — изменение давления:  $T = 487^\circ\text{C}$ ,  $P_0 = 463$  мм рт. ст.,  $P_{CH_3O} = 4$  мм рт. ст.; 2 — изменение температуры; 3 — скорость реакции  $\alpha$  (ммоль  $CH_3O / \text{сек} \cdot 10^3$ ), найденная дифференцированием кривой 1. Символы — значения  $\Delta T$ . Расчет левых кривых при  $t \sim 0,5$  мин. связан с появлением индукционного центрального капилляра; 3 — изменение давления.  $T = 377^\circ\text{C}$ ,  $P_0 = 476$  мм рт. ст.,  $P_{CH_3O} = 58$  мм рт. ст.

Рис. 4. Кинетика окисления  $CH_3O$  в кварцевом осевом (диаметр 28 мм,  $V = 117$  мл) осевом, обработанном  $K_2V_8O_{16}$ . Получено на струевой установке при  $P_0 = 760$  мм рт. ст. для смеси с воздухом. Кривая 1 —  $T = 550^\circ\text{C}$ ,  $P_{CH_3O} = 0,185$  ммоль/л; 2 —  $T = 498^\circ\text{C}$ ,  $P_{CH_3O} = 0,202$  ммоль/л.

методом раздельного калориметрирования, для скорости реакции, отвечающей моменту  $t = 0$ , находим  $\Delta T_{\text{гоме}} = 1,47^\circ$  и  $\Delta T_{\text{гетер}} = 0,25^\circ$ . Опытные данные дают  $\Delta T_{\text{гоме}} = 0,88^\circ$ . Несовместимость значений  $\Delta T_{\text{гоме}}$  и  $\Delta T_{\text{гетер}}$  указывает на большую роль поверхностных процессов. Подобный расчет для других  $t = 0$  приводит к тому же результату.

Приведенные выше значения  $\Delta T$  найдены в предположении, что единственными продуктами реакции являются  $CO$  и  $H_2O$ . Если, однако, учесть, как это следует из наших данных, возможность параллельного образования  $CO_2$  в количестве  $\sim 0,1$  от  $CO$ , то соответственно получим  $\Delta T_{\text{гоме}} = 1,65^\circ$  и  $\Delta T_{\text{гетер}} = 0,28^\circ$ , что никак не меняет сделанный выше вывод о роли гетерогенных факторов.

Для исследования кинетики при более высоких температурах ( $T > 450^\circ\text{C}$ ) была применена струевая методика. По данным анализа были получены зависимости, представленные на рис. 4, где глубина превращения характеризуется содержанием  $CO$  в продуктах реакции.

Сочетая опыты в статических условиях и в струе, удалось исследовать кинетику в интервале от  $377$  до  $550^\circ\text{C}$ . Полученные в этих опытах кинетические кривые не имеют периода индукции, так что максимальная скорость всегда отвечает моменту времени  $t = 0$ .

Эти же данные позволили проверить зависимость скорости реакции от концентрации исходных компонентов. Так, кривые рис. 5 построены

данным серии опытов, проведенных при температурах 437 и 402,5°С, различной начальной концентрации формальдегида. На этом графике начальная скорость реакции  $w = (dP/dt)_{t=0}$  нанесена в зависимости от квадрата исходной концентрации формальдегида. Из рисунка видно, что экспериментальные данные позволяют провести прямые линии, т. е. начальная скорость реакции зависит от концентрации формальдегида по второму порядку, что согласуется с данными многих исследователей. Нам не удалось достаточно точно показать, что этот же закон  $[CH_2O]^2$  справедлив также и по всему ходу опыта. Расчет, основанный на экспериментальных данных (см. например, рис. 3 кривые 1 и 2) в предположении, что  $\Delta[CH_2O] = 2 \Delta P$ , показывает, что второй порядок по формальдегиду

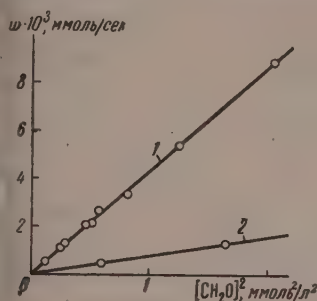


Рис. 5

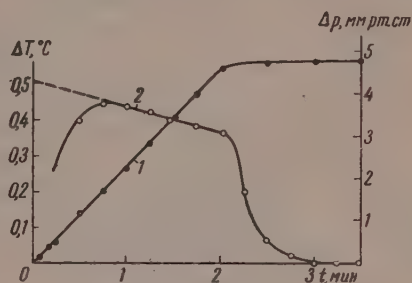


Рис. 6

Рис. 5. Определение порядка реакции по формальдегиду. Получено в статике для смесей с воздухом при  $P_0 = 490$  мм рт. ст. Кварцевый реакционный сосуд ( $V = 215$  мл), обработан  $K_2V_4O_7$ . Кривая 1 —  $T = 437^\circ C$ ,  $P_{CH_2O}$  менялось в пределах 15,6—63 мм рт. ст. (0,355—1,43 ммоль/л·сек); кривая 2 — то же для  $T = 402,5^\circ C$

Рис. 6. Кинетика окисления  $CH_2O$  при малом содержании кислорода. Получено в статике. Кварцевый реакционный сосуд ( $P_0 = 215$  мм), обработан  $K_2V_4O_7$ ,  $T = 408^\circ C$ .  $P_0 = 500$  мм;  $P_{CH_2O} = 66$  мм рт. ст. (1,56 ммоль/л),  $P_{O_2} = 4$  мм;  $P_{N_2} = 420$  мм рт. ст. 1 — изменение давления; 2 — разогрев центрального капилляра

сохраняется лишь примерно до 50% превращения исходного  $CH_2O$ . Возможно, что наблюдаемое отклонение связано с известной неточностью наших измерений и расчетов, в которых, в частности, не учитывается образование  $CO_2$ . В соответствии с имеющимися в литературе сведениями скорость реакции не зависит от содержания кислорода.

В настоящей работе было проведено несколько опытов, в которых содержание кислорода в исходной смеси менялось от 4 до 20 мм рт. ст. Концентрация формальдегида составляла 60 мм рт. ст. Смесь разбавлялась азотом до 480 мм рт. ст. Начальная скорость реакции, определяемая по  $\Delta P$ , не зависела от содержания кислорода. В этих опытах применялся кварцевый реакционный сосуд, обработанный  $K_2V_4O_7$ . На рис. 6 представлены результаты одного из опытов этой серии. По экспериментальным данным скорость реакции может быть найдена либо по величине разогрева  $\Delta T$  (кривая 2), которая пропорциональна скорости реакции окисления, либо по наклону кривой 1, т. е. по изменению давления\*. Оба эти метода позволяют видеть, что при  $t = 2$  мин. реак-

\* Нужно обратить внимание на то, что, как это следует по данным некоторых авторов [2, 9, 10] и нашим, при малой концентрации кислорода (меньше 1 мм рт. ст.)  $P$  уже не может явиться мерилем скорости реакции окисления, поскольку на ее фоне возникает реакция распада, и кривая  $\Delta P$  отвечает уже сумме двух процессов — окислительного и крекингового. В некоторых опытах с малым содержанием кислорода нами наблюдалось даже ускорение роста давления, которое замечалось за 10—20 сек. до полной остановки реакции. Поэтому постоянство наклона кривой 1 рис. 3 нельзя принимать за постоянство скорости реакции окисления.

пия внезапно останавливается, что связано с израсходованием кислорода. На кривой 2 эта остановка искажена тепловой инерционностью термопары и изолирующего ее кварцевого капилляра. Эта же тепловая инерционность вносит искажение и в начальную часть кривой. На этом начальном участке истинный ход кривой  $\Delta T$  показан пунктиром (рис. 6).

Проследим ход реакции в течение первых 2 мин. За это время концентрация формальдегида в смеси падает на  $2\Delta P$ , т. е. становится равной  $66 - 2 \cdot 4,8 = 56,4$  мм рт. ст. Только за счет падения концентрации  $\text{CH}_2\text{O}$  скорость реакции, считая от начала опыта, должна упасть в  $66/56,4 \approx 1,4$  раза. Сравнение значений  $\Delta T$  в начале и при  $t = 2$  мин. дает эту же величину:  $0,52/0,37 \approx 1,4$ . Таким образом скорость, определяемая

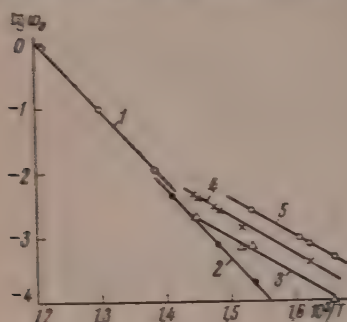


Рис. 7

Рис. 7. Определение энергии активации: 1 — кварцевый сосуд, обработанный  $\text{K}_2\text{V}_4\text{O}_7$ . Получено на струевой установке. Данные пересчитаны для исходной  $P_{\text{CH}_2\text{O}} = 1$  ммоль/л; 2 — то же для статических условий; 3, 4 и 5 — сосуд «чистый». Получено в статике;  $P_{\text{CH}_2\text{O}}$  соответственно 0,44; 0,64 и 0,84 ммоль/л.

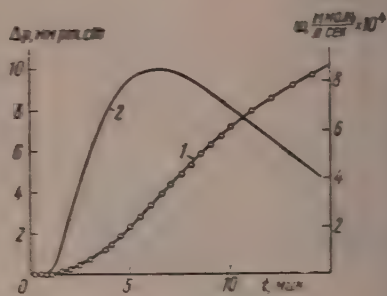


Рис. 8

Рис. 8. Кинетика окисления  $\text{CH}_2\text{O}$  в «чистом» кварцевом ( $V = 200$  мл) сосуде. Получено в статике.  $T = 354^\circ\text{C}$ ,  $P_0 = 487$  мм;  $P_{\text{CH}_2\text{O}} = 38$  мм (0,84 ммоль/л);  $P_{\text{возд}} = 447$  мм рт. ст. 1 —  $\Delta P$ ; 2 — скорость реакции  $\alpha$ , найденная дифференцированием кривой 1

по тепловому эффекту реакции, подчиняется закону  $[\text{CH}_2\text{O}]^2$  и не зависит от концентрации кислорода, которая в рассматриваемом интервале меняется во много раз — от 4 до малых долей мм рт. ст.

Измерение кинетики реакции окисления при разных температурах позволило определить суммарную энергию активации. При этом мы пользовались опытными данными, полученными в струевых условиях в статике. В табл. 2 представлены данные различных опытов. Четыре и шесть приведенных в этой таблице величин скоростей получены по данным, представленным на рис. 3 и 4. Расчет энергии активации проведен применительно к некоторой «приведенной» скорости  $\alpha$ , рассчитанной в соответствии с законом  $\alpha \sim [\text{CH}_2\text{O}]^2$  для концентрации  $\text{CH}_2\text{O}$ , равно 1 ммоль/л. В таблице помещен пересчитанный множитель  $\alpha = 1/[\text{CH}_2\text{O}]^2$ . Полученные таким путем данные представлены на рис. 7 (кривые 1 и 2). Существенно, что в широком температурном интервале, при совершенно разных, но одинаково обработанных  $\text{K}_2\text{V}_4\text{O}_7$  реакционных сосудах на различных установках — струевой и статической, получены практически совместимые результаты. Расчет энергии активации по этим данным приводит к величине 50 ккал, что резко отличается от известных в литературе значений.

При работе с «чистыми» реакционными сосудами кинетика реакции существенно меняется. Значительно снижается температура (рис. 2). Кинетическая кривая, построенная по изменению давления, носит ярче



граженный автокаталитический характер с периодом индукции до одной и более минут (рис. 8) и в корне отличается от аналогичной кривой, полученной при работе с обработанными  $K_2B_4O_7$  сосудами (рис. 3, кривые 1 и 3). В продуктах реакции, наряду с  $CO$ ,  $H_2O$  и  $CO_2$ , содержатся новые вещества:  $H_2O_2$ ,  $(CH_2OH)_2O_2$ ,  $HCOOH$ ,  $H_2$ , которые не обнаруживаются обычными методами анализа в опытах с сосудами, обработанными  $K_2B_4O_7$ . Существование этих соединений оказывается в некоторых случаях значительным, и, если считать в молярных долях, может достигать до  $1/4$  или даже  $3/4$  от исходного формальдегида. Приведем несколько опытных данных,

Таблица 2

Исходные данные и расчет для определения энергии активации  
(сосуд обработан  $K_2B_4O_7$ )

Метод проведения опыта	$T^\circ, C$	$[CH_2O],$ ммоль/л	$\frac{d[CH_2O]_0}{dt}$ ммоль/л. сек	$\alpha$	$W_0,$ ммоль/л. сек	$lg W_0$
Струевые условия	550	0,185	$3,1 \cdot 10^{-2}$	29,2	0,91	-0,04
	498	0,202	$3,9 \cdot 10^{-3}$	24,5	$9,6 \cdot 10^{-2}$	-1,02
	451,5	2,05	$4,6 \cdot 10^{-3}$	0,24	$1,1 \cdot 10^{-2}$	-1,96
Атмосферические условия	437	0,90	$3,2 \cdot 10^{-3}$	1,24	$4,0 \cdot 10^{-3}$	-2,40
	402,5	1,29	$1,31 \cdot 10^{-3}$	0,60	$7,8 \cdot 10^{-4}$	-3,11
	377	1,43	$4,2 \cdot 10^{-4}$	0,49	$2,05 \cdot 10^{-4}$	-3,69

полученных при работе в струевых условиях и атмосферном давлении смесями формальдегида с воздухом. При  $510^\circ C$  и времени пребывания сек. содержание  $H_2O_2$  составило более 25% по отношению к исходному  $H_2O$  [1]. В других опытах, проведенных при 333 и  $355^\circ C$ , времени пребывания  $1\frac{1}{2}$ — $2\frac{1}{2}$  мин. и исходном содержании  $CH_2O$  в смеси 15—25%, было найдено, что количество  $H_2$  и  $HCOOH$  в продуктах реакции составляет соответственно 25 и 34%, считая на исходный  $CH_2O$ . Нами [1] были высказаны соображения о путях образования этих новых продуктов, которые, по-видимому, связаны с первичной равновесной реакцией  $H_2O_2 + 2CH_2O \rightleftharpoons (CH_2OH)_2O_2$  и последующим распадом  $(CH_2OH)_2O_2 \rightarrow H_2 + 2HCOOH$ . Эти вторичные процессы протекают, по-видимому, не в самом реакционном сосуде, а, главным образом, при более низкой температуре во вспомогательных частях установки. Таким образом исходным началом этих новых продуктов, образующихся при работе с чистым сосудом, является  $H_2O_2$ . Контрольные опыты с добавками  $H_2O_2$  подтвердили этот

При окислении формальдегида возможны два пути образования воды. Один из них идет через распад  $(CH_2OH)_2O_2$  с одновременным образованием муравьиной кислоты. При этом необходимо первоначально образование  $H_2O_2$ . Второй путь есть крекинг формальдегида, который можно наблюдать при малом содержании кислорода в смеси. В этом случае окислительное направление  $HCO + O_2 \xrightarrow{w_1} CO + H\dot{O}_2 + 20 \text{ ккал}$  не может конкурировать с распадом  $HCO \xrightarrow{w_2} H + CO - 27 \text{ ккал}$ , образовавшиеся атомы  $H$  быстрее реагируют с молекулой формальдегида  $H + CH_2O \rightarrow H_2 + HCO$ , чем вступают в реакцию с кислородом  $H + O_2 + M \rightarrow H\dot{O}_2 + M$ . Именно этот путь крекинга вызывает ускорение роста  $P$ , наблюдавшееся Ваннее [10] и нами в период, предшествующий полному расходованию кислорода.

Эти соображения можно подтвердить следующим ориентировочным расчетом. Скорость окислительной реакции  $w_1 = [HCO][O_2] \cdot 10^{-10} e^{-E_1/RT}$ , где  $E_1$  не более 4 ккал. Скорость реакции распада  $w_2 = [HCO] \cdot 10^{13} e^{-E_2/RT}$ ,



где  $E_2 \sim 27$  ккал. Соответственно для  $T = 700^\circ\text{K}$  имеем  $w_1/w_2 = 5,5 \cdot 10^{-17} [\text{O}_2]$ . Если концентрация кислорода составляет 1 мм рт. ст. или  $\sim 10^{16}$  молекул/см<sup>3</sup>, то  $w_1/w_2 \sim 2$ , т. е. для принятых в расчете констант и допущений (например, не учитывается старический фактор), окислительное направление еще преобладает над крекингом, а при больших  $P_{\text{O}_2}$  крекинг вообще не имеет места. Понятно, что с изменением температуры эти условия меняются.

При работе в статических условиях кинетические измерения основывались, как это применялось многими авторами, на замерах  $\Delta P$ . В опытах с чистым реакционным сосудом этим методом было установлено наличие периода индукции, так что скорость реакции, определяемая как  $dP/dt$ , начиная от  $t = 0$ , всегда растет и лишь спустя некоторое время (рис. 8 — через 6—7 мин.) достигает максимума.

Для определения энергии активации реакции в чистом сосуде была взята серия опытов, проведенных при одинаковой начальной концентрации формальдегида и в каждом опыте определялась максимальная скорость  $w_{\text{макс}}$ . Эти величины в координатах  $\lg w_{\text{макс}} - 1/T$  для трех различных исходных концентраций  $P_{[\text{CH}_2\text{O}]}$ , представлены на рис. 7 (кривые 3, 4 и 5). Из рисунка видно, что для всех трех серий опытов, которые охватывают интервал температур от  $329$  до  $419^\circ\text{C}$ , можно провести достаточно четкие прямые и найти отсюда энергию активации, равную 26 ккал. Эта величина близка к имеющимся литературным данным (табл. 1).

Проведенные опыты отчетливо иллюстрируют решающую роль поверхности реакционного сосуда, которая определяет не только кинетику реакции окисления  $\text{CH}_2\text{O}$ , но и состав продуктов. По-видимому, своеобразным критерием условий протекания реакции является наличие или отсутствие  $\text{H}_2\text{O}_2$ . Последняя, в свою очередь, образуется, вероятно, в результате  $\text{HO}_2 + \text{CH}_2\text{O} \rightarrow \text{H}_2\text{O}_2 + \text{HCO}$ . Таким образом, чувствительность реакции к состоянию поверхности реакционного сосуда заключается, по-видимому, в том, насколько данная поверхность оказывается активна по отношению к перекиси водорода или радикалу  $\text{HO}_2$ . Что касается перекиси водорода, то известно, что скорость ее термического распада в большой степени зависит от состояния и природы поверхности реакционного сосуда [15]. Имеющиеся данные о гибели радикалов  $\text{HO}_2$  на различных поверхностях [16] также свидетельствуют о том, что  $\epsilon_{\text{HO}_2}$  может меняться в широких пределах до  $10^{-5}$ . Эти примеры дают дополнительные основания связывать такое сильное воздействие поверхности именно с поведением перекиси водорода или перекисного радикала. По-видимому, подобную же роль эти соединения играют и при окислении углеводородов, поскольку, как показано последними работами [17, 18],  $\text{CH}_2\text{O}$  и  $\text{H}_2\text{O}_2$  являются промежуточными продуктами в реакции окисления углеводородов.

Авторы приносят глубокую благодарность проф. А. Б. Налбандяну за ценную дискуссию.

### Выводы

Исследовалось влияние природы поверхности реакционного сосуда на кинетику окисления формальдегида. Применялись два типа реакционных сосудов: чистый и обработанный  $\text{K}_2\text{V}_4\text{O}_7$ . Показано, что в сосудах, обработанных  $\text{K}_2\text{V}_4\text{O}_7$ , реакция протекает без автоускорения. Основными продуктами являются  $\text{CO}$ ,  $\text{H}_2\text{O}$  и  $\text{CO}_2$ . Энергия активации составляет 50 ккал. В чистых стеклянных и кварцевых сосудах наблюдается значительный период индукции по  $\Delta P$ , и появляются новые продукты реакции:  $\text{H}_2\text{O}_2$ ,  $(\text{CH}_2\text{OH})_2\text{O}_2$ ,  $\text{HCOOH}$  и  $\text{H}_2$ . В этих условиях опыта энергия активации составляет 26 ккал.

## ЛИТЕРАТУРА

1. А. М. Маркевич и Л. Ф. Филиппова, Ж. физ. химии, 31, 2649, 1957.
2. M. M. Vanpreé, C. R., 242, 373, 1956.
3. W. A. Bone and J. B. Gardner, Proc. Roy. Soc., A154, 297, 1936.
4. А. А. Анисонян, С. Я. Бейдер, А. М. Маркевич и А. Б. Налбандян, Ж. физ. химии, 33, 1695, 1959.
5. M. D. Scheer, Fifth Symposium (International) on Combustion. New York, 1955, стр. 435.
6. R. Forta, C. Hinshelwood, Proc. Roy. Soc., A129, 284, London, 1930.
7. R. Spence, J. Chem. Soc., 649, 1936.
8. F. F. Showden and D. W. G. Style, Trans. Faraday Soc., 35, 426, 1939.
9. D. W. E. Axford and R. G. W. Norrish, Proc. Roy. Soc., A 192, 518, London, 1948.
10. M. M. Vanpreé, Bull. Soc. chim. belges., 62, 285, 1953.
11. А. М. Маркевич, Ж. физ. химии, 30, 735, 1956.
12. Б. Брунс, Г. Брауде и Д. Циклис, Ж. аналит. химии, 2, 294, 1947.
13. G. M. Eisenberg, Industr. and Engng. Chem. Analyt. ed., 15, 327, 1943.
14. А. М. Маркевич, Р. И. Мошкина, Л. Ф. Филиппова, Изв. АН СССР, Отд. хим. н., № 4, 502, 1958.
15. P. Y. Ciguere, Cand. J. Res., 25B, 135, 1947.
16. А. Б. Налбандян и В. В. Воеводский, Механизм окисления и горения водорода, Изд-во АН СССР, 1949, Москва.
17. A. C. Egerton, G. J. Minkoff and A. Salooja, Combustion and Flame, 1, 25, 1957.
18. И. Н. Антонова, В. А. Кузмин, Р. И. Мошкина, А. Б. Налбандян, М. Б. Нейман, Г. И. Феклисов, Изв. АН СССР. Отд. хим. наук, 5, 789, 1955.

# THE PART PLAYED BY HETEROGENEITY FACTORS IN THE OXIDATION OF FORMALDEHYDE

*A. M. Markevich and L. F. Filippova (Moscow)*

## Summary

A study has been made of the effect of the nature of the surface of a reaction vessel on the kinetics of formaldehyde oxidation. Two types of vessels were used, namely, «uncontaminated» and treated with  $K_2B_4O_7$ . In the latter case the reaction has been shown to proceed without autoacceleration. The principle reaction products are CO,  $H_2O$  and  $CO_2$ . The activation energy is 50 kcal. In uncontaminated glass and quartz vessels a considerable induction period with respect to  $\Delta P$  is observed and few reaction products  $H_2O_2$ ,  $(CH_2OH)_2O_2$ , HCOOH and  $H_2$ , are formed. Under such conditions the activation energy is 26 kcal.

## ДЛИТЕЛЬНАЯ ТВЕРДОСТЬ КАК МЕТОД ФИЗИКО-ХИМИЧЕСКОГО АНАЛИЗА

*В. П. Шишочкин, В. А. Агеева и Н. А. Вихорева*

Длительной твердостью можно назвать механическую характеристику показывающую изменение твердости в зависимости от продолжительности приложения нагрузки.

Ранее было показано [1, 2], что зависимость между диаметром отпечатка  $d$  шариковой пробы при статическом методе определения твердости и продолжительностью нагрузки  $\tau$  может быть выражена функцией вида  $d = a\tau^n$ , где  $a$  и  $n$  — постоянные. Поскольку для значительного интервала диаметров отпечатков (от 1 до 5,5 мм) между величинами бринелевской твердости  $H_B$  и диаметром отпечатка  $d$  существует зависимость [3], выражаемая формулой  $H_B = a_1 d^{-2,04}$ , то будем иметь

$$H_B = a_1 d^{-2,04} = a_1 a^{-2,04} \tau^{-2,04n} = a_2 \tau^{n'}.$$

Величина  $n'$ , равная  $-2,04n$ , представляет собой скоростной показатель твердости. Показатель же  $n$  может быть вычислен по формуле

$$n = \frac{\lg d_2 - \lg d_1}{\lg \tau_2 - \lg \tau_1},$$

где  $d_1$  и  $d_2$  — диаметры отпечатков соответственно при продолжительностях нагрузки  $\tau_1$  и  $\tau_2$ .

В настоящей работе сопоставлены изменения твердости в зависимости от изменения состава при различной температуре и различной продолжительности нагрузки.

### Экспериментальная часть

Образцы готовились обычно под слоем пара, отливались в круглую железную изложницу с вертикальными стенками, отшлифовывались и отжигались в течение продолжительного времени. Сначала была определена твердость образцов при различной температуре, затем образцы были переплавлены, подвергнуты повторному отжигу и испытаны при различной продолжительности нагрузки (5, 30, 150, 720 и 1440 мин.). Повторные анализы показали практическое постоянство состава до и после переплавки. Определения твердости проводились в приборе, описанном ранее [4].

**Висмут — кадмий.** Диаграмма плавкости системы висмут — кадмий представляет собой типичную диаграмму для случая образования эвтектических смесей с весьма малой взаимной растворимостью металлов друг в друге в твердом состоянии [5].

Сплавы висмута с кадмием содержали висмута (в ат. %): 2,7; 18,7; 44,6; 62,2 и 90,9. Отжиг длился 150 час. при  $120^\circ$ . Нагрузка составляла 39 кг.

Результаты испытаний изображены на рис. 1. На трех нижних кривых показано изменение диаметра отпечатка в зависимости от изменения состава сплавов при продолжительности нагрузки 5, 150 и 1440 мин., при

зм кверху отложены уменьшающиеся значения диаметра (в миллиметрах). Поскольку между величинами твердости и диаметром отпечатка существует обратная зависимость, получающиеся при таком способе изображения рывые (изохроны) должны показать характер изменения твердости в зависимости от изменения концентрации.

Следующие три кривые представляют собой изотермы твердости при 0, 90 и 130° (кверху также отложены уменьшающиеся значения диаметра печатка).

Изохроны твердости в данной системе изменяются при увеличении продолжительности нагрузки в общем так же, как изменяются изотермы твер-

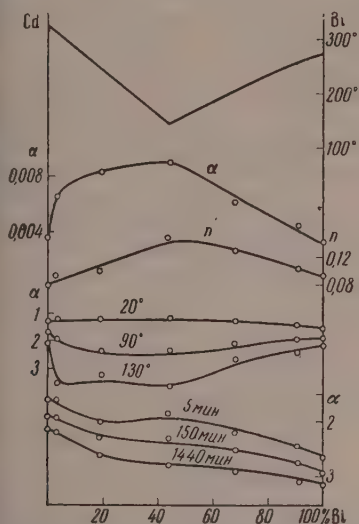


Рис. 1. Изменение твердости при различной продолжительности нагрузки и при различной температуре в системе висмут — кадмий

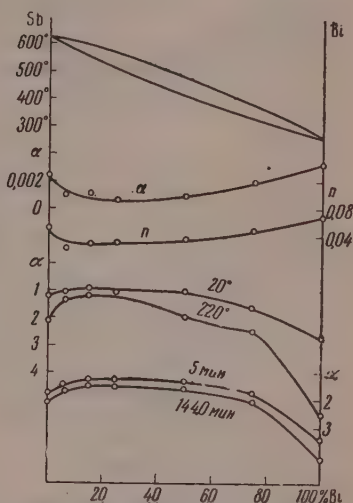


Рис. 2. Изменение твердости при различной продолжительности нагрузки и при различной температуре в системе висмут — сурьма

ости при повышении температуры. Особенно следует отметить, что изохрона при большей выдержке нагрузки (1440 мин.) и изотерма при температуре, близкой к эвтектической (130°), представляют собой кривые, обращенные выпуклостью к оси концентраций, в то время как изохрона при малой продолжительности нагрузки (5 мин.) и изотерма при 20° являются кривыми, обращенными вогнутостью к оси концентраций.

Еще выше расположены кривые, показывающие изменение скоростного показателя твердости  $n$  и температурного коэффициента твердости в зависимости от изменения состава сплава; обе кривые симбатны по отношению друг к другу и имеют максимум при эвтектическом составе (обращены вогнутостью к оси концентраций).

**Висмут — сурьма.** Диаграмму плавкости системы висмут — сурьма можно считать типичным примером образования непрерывного ряда твердых растворов [5].

Сплавы висмута с сурьмой были приготовлены с содержанием 6, 15, 3, 50 и 75 ат. % висмута. Сплавы, богатые сурьмой, готовились в графитовых тиглях под слоем угля, а сплавы, богатые висмутом, — в фарфоровых тиглях под слоем экстравапор. Сплавы отжигались в течение 60 дней при 220°.

Сначала была исследована твердость при 25, 80, 150 и 220° при нагрузке 36 кг в течение 30 мин. Зависимость между логарифмом диаметра



отпечатка и температурой определилась прямыми линиями, что находится в согласии с ранее установленными закономерностями [3, 4]; исключение составил лишь сплав с содержанием 50% висмута, показавший значительное понижение твердости при 220° (что требует специального изучения). На изотермах твердости был выявлен пологий максимум в пределах 6—50% висмута.

Затем те же образцы сплавов висмута с сурьмой, отшлифованные и отожженные в течение 24 час. при 220°, были испытаны на твердость при различной продолжительности нагрузки; нагрузка составляла 69,4 кг. Нагрузка на шарик (диаметром 10 мм) подавалась мгновенно, но без удара

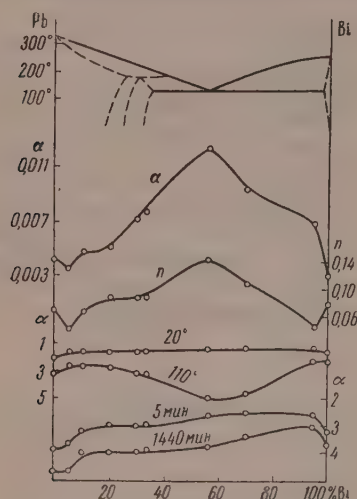


Рис. 3. Изменение твердости при различной продолжительности нагрузки и при различной температуре в системе висмут — свинец

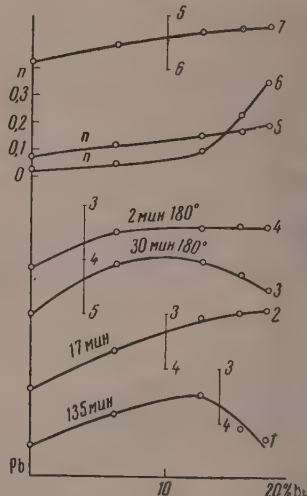


Рис. 4. Изменение твердости при различной продолжительности нагрузки и при различной температуре в твердом растворе висмута в свинце

при помощи рычажного приспособления. Результаты испытаний изображены на рис. 2, на котором две нижние кривые представляют собой изохроны твердости при продолжительности испытания 5 и 1440 мин., эти кривые оказались симбатными по отношению к вышележащим изотермам твердости данной системы при 20 и 220°.

Следующие две кривые показывают изменение скоростного показателя  $n$  и температурного показателя твердости  $\alpha$  в зависимости от состава сплавов; эти кривые тоже симбатны по отношению друг к другу и имеют небольшую выпуклость к оси концентраций.

**В и с м у т — с в и н е ц.** Диаграмма плавкости этой системы показывает значительную область твердых растворов со стороны свинца и небольшую растворимость свинца в висмуте, кроме того, имеется бертоллидная фаза от 25 до 33% висмута [5].

Образцы сплавов висмута со свинцом имели состав: 5; 10; 20; 30; 33,3; 56,3; 70 и 95 ат. % висмута; они были отожжены при 100° в течение 100 час. Длительная твердость определялась при нагрузке 39 кг. Результаты испытаний изображены на рис. 3. На этом рисунке две нижние кривые представляют собой изохроны твердости при длительности испытания 5 и 1440 мин.; в общем они симбатны расположенным выше изотермам твердости при 20 и 110° [7] (значительно большую выпуклость к оси концентраций имеет лишь изотерма при 110°, близкой к эвтектической температуре).

Две следующие кривые, показывающие изменение скоростного показателя твердости  $n$  и температурного коэффициента твердости  $\alpha$  в зависимости от изменения состава, в общем симбатны по отношению одна к другой и имеют максимум при эвтектическом составе.

В данной системе был дополнительно исследован твердый раствор висмута в свинце (при комнатной температуре растворимость висмута в свинце составляет не менее 15 %, а при  $180^\circ \sim 25\%$ ). Сплавы были приготовлены с содержанием висмута: 6,25; 12,5; 15 и 17,5 ат. %. Результаты исследований твердости при различной температуре и различной скорости формирования изображены на рис. 4, на котором по горизонтали отложен состав сплавов, а по вертикали — уменьшающиеся кверху величины метра отпечатка в скользящем масле (кривые 1—4 и 7), а также значащие скоростного показателя твердости  $n$  и температурного коэффициента твердости  $\alpha$  (кривые 5 и 6).

Кривые 1 и 2 показывают изменение твердости при  $20^\circ$ , при постепенном нарастании нагрузки (при водяном нагружении до 43 кг в течение соответственно 1 и 17 мин. Кривые 3 и 4 характеризуют изменение статической твердости, определенной под нагрузкой 12 кг при  $180^\circ$  в течение соответственно 30 и 2 мин. Кривые 5 и 6, определяющие изменение твердости при одинаковых скоростях деформирования (1 и 3 — при малой скорости, 2 и 4 — при большой скорости), симбатны по отношению друг к другу.

Кривые 5 и 6 показывают зависимость скорости деформации от состава и скоростным показателем твердости  $n$  соответственно при статическом нагружении и водяном нагружении; направлены выпуклостью к оси концентрации.

Кривая 7 определяет изменение ударной твердости (характеризуемой максимальным приложением нагрузки и, следовательно, наибольшей скоростью деформирования) в зависимости от изменения состава. Эта кривая симбатна по отношению к кривым 2 и 4.

Алюминий — цинк. Образцы сплавов алюминия с цинком и отожжены в течение 900 час. при  $300^\circ$ . Определение длительной твердости производилось при 69,4 кг. Результаты испытаний изображены на рис. 5. Две нижние кривые на рис. 5, представляющие собой изохроны твердости при продолжительности нагрузки 5 и 1440 мин., в общем симбатны по отношению к выше лежащим изотермам твердости при  $20$  и  $140^\circ$ . Сложный характер изохрон и изотерм твердости в этой системе определяется сложностью диаграммы состояния системы [5].

Линии скоростного показателя твердости  $n$  и температурного коэффициента твердости  $\alpha$  также симбатны друг к другу. Наличие на этих кривых максимума при 80 % цинка указывает на значительное понижение твердости данного сплава как при нагревании, так и при увеличении продолжительности нагрузки. Однако отмеченное в прежних работах [8] повышение твердости этого сплава при нагревании свыше  $260^\circ$  не может, конечно, найти отражения при определении твердости при разных продолжительностях нагрузки.

Адмий — ртуть. Был исследован твердый раствор со стороны кадмия. Растворимость ртути в кадмии составляет при комнатной температуре  $\sim 20$  ат. % и с повышением температуры несколько увеличи-

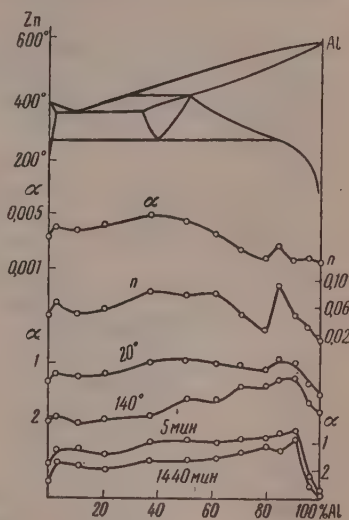


Рис. 5. Изменение твердости при различной продолжительности нагрузки при различной температуре в системе алюминий—цинк

вается. Сплавы были приготовлены с содержанием 6,2; 12,5 и 18,7 ртуты. Результаты определений твердости при различных условиях изображены на рис. 6.

Кривые 1 и 2 показывают изменение статической твердости под нагрузкой 34,4 кг соответственно в течение 30 и 1 мин. при 100°. Кривые 3 и 4 характеризуют изменение статической твердости под нагрузкой 34,4 кг соответственно в течение 30 и 1 мин. при 18°. Обе пары кривых симбатны по отношению друг к другу.

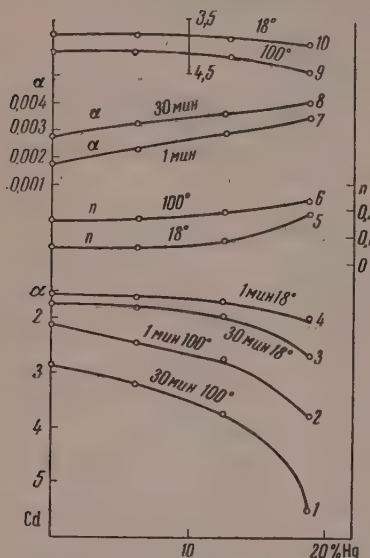


Рис. 6. Изменение твердости при различной продолжительности нагрузки и при различной температуре твердого раствора ртути в кадмии

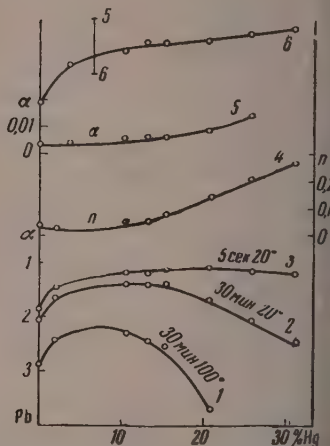


Рис. 7. Изменение твердости при различной продолжительности нагрузки и при различной температуре твердого раствора ртути в свинце

Кривые 5 и 6 определяют изменение скоростного показателя твердости  $n$  соответственно при 18 и 100° и направлены выпуклостью к оси координат, а кривые 7 и 8 — изменение температурного коэффициента твердости  $\alpha$  соответственно при продолжительности нагрузки 1 и 30 мин. В общем обе пары кривых симбатны друг к другу.

На кривых 9 и 10 показано изменение ударной твердости соответственно при 100 и 18°: при 100° наблюдается более резкое понижение твердости при увеличении содержания ртути, чем при 18°. Обе кривые симбатны кривым 1—4.

Свинец—ртуть. Был исследован твердый раствор со стороны свинца. Растворимость ртути в свинце составляет при комнатной температуре ~23 ат. % ртути и с повышением температуры несколько увеличивается. Сплавы были приготовлены с содержанием 5,2; 10,3; 12,15,4; 20,5; 25,6 и 31 % ртути. Результаты определений твердости при различной температуре и различной скорости деформирования представлены на рис. 7.

Кривая 1 показывает изменение статической твердости под нагрузкой 10 кг в течение 30 мин. при 100°. Кривые 2 и 3 характеризуют изменение статической твердости под той же нагрузкой при 20° соответственно при продолжительности нагрузки 30 и 5 мин., причем значительное понижение твердости при увеличении содержания ртути имеет место

при продолжительности нагрузки 30 мин. (т. е. при малой скорости деформации).

Кривые 4 и 5 определяют изменение соответственно скоростного показателя твердости  $n$  и температурного коэффициента твердости  $\alpha$ , обе кривые симбатны друг к другу.

На кривой 6 показано изменение ударной твердости при  $20^\circ$  в зависимости от изменения состава. Практически кривая 6 симбатна по отношению к кривой 3.

### Обсуждение результатов

Диаграммы состав — твердость как для систем с наличием механических смесей, так и для систем с неограниченной и ограниченной растворимостью в твердом состоянии показывают симбатность изотерм и изохрон твердости, определяемых при наковых условиях температуры и скорости деформирования.

В системах с наличием механических смесей компонентов термы и изохроны твердости с увеличением температуры и повышением скорости деформирования постепенно изменяют свой характер, переходя из кривых, обращенных вогнутостью к оси концентраций, в кривые, обращенные выпуклостью к этой оси (рис. 8). Соответственно изменяется температурный коэффициент твердости  $\alpha$  и скоростной показатель твердости  $n$ .

В этих системах обращены вогнутостью к оси концентраций. По Н. С. Курнакову [9] твердые системы, образованные механическим соположением компонентов, представляет линейную функцию состава. Однако в работах Н. С. Курнакова и его сотрудников наблюдается определенность в отношении способа выражения концентрации составляющих системы. Так, в работе Н. С. Курнакова и А. Н. Ахназарова [10] — линейная зависимость между твердостью и составом дается при выражении состава в весовых процентах. А. И. Глазунов и М. М. Матвеев [11] дают прямолинейную зависимость между твердостью и составом, выходящую за пределы атомных процентов. В. А. Немилов [12] считает, что линейная зависимость между твердостью и составом имеет место при выражении состава в объемных процентах. Между тем В. Я. Аносовым [13] было показано, что линейная зависимость между составом и каким-нибудь свойством системы может существовать лишь при каком-либо одном способе выражения концентрации. А. Э. Никеров [14] провел физико-математическое исследование зависимости между составом и свойствами систем, образованных механическим соположением компонентов, и пришел к выводу, что для большинства свойств не может быть установлено однозначного соответствия между составом и свойством, так как последствие часто зависит не только от концентрации сплава, но и от размеров и положения поверхностей раздела фаз.

Кроме того, в системах с наличием механических смесей, в особенности в сплавах эвтектического типа, вследствие наибольшего соприкосновения между фазами (а также относительно низкой температуры плавления)

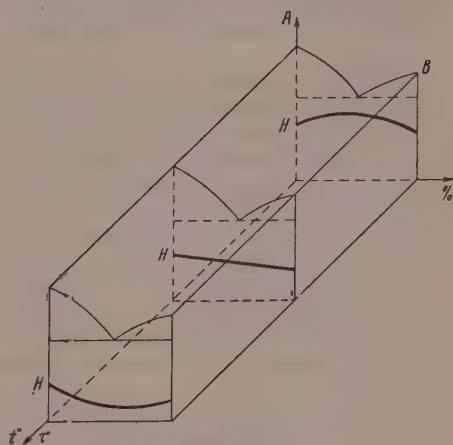


Рис. 8. Инверсия изохрон твердости при увеличении продолжительности нагрузки в системах эвтектического типа



ления) получает наибольшее развитие указываемый А. А. Бочваром [1] растворно-осадительный механизм «залечивания» пороков, возникающих в период деформации. Процессы «залечивания» требуют времени для своего развития: чем медленнее происходит деформация или чем выше температура, при которой она осуществляется, тем более благоприятные условия для развития процессов, восстанавливающих пластичность. Поэтому при очень медленном приложении нагрузки или испытании при повышенной температуре сплавы эвтектического типа могут характеризоваться относительным минимумом твердости, что и вызывает отклонение свойств эвтектических систем от правила аддитивности. На отклонение от аддитивности свойств смесей порошковых тел указывает Л. А. Ротинян [16].

В системах, представляющих собой неограниченные или ограниченные твердые растворы, изотермы и изохроны твердости, определяемые при одинаковых условиях, также являются симбатными по отношению друг к другу. Симбатными в этих системах являются и кривые температурно-коэффициента твердости и скоростного показателя твердости; однако эти кривые обращены выпуклостью к оси концентрации. Последнее обстоятельство имеет практическое значение: твердые растворы менее понижают свою твердость при повышении температуры и уменьшении скорости деформирования, чем чистые металлы и сплавы эвтектического типа (до определенных температур, пока не сказывается разность в температурах плавления).

В некоторых системах (свинец — ртуть, свинец — висмут) изотермы и изохроны твердости образуют при определенных условиях максимумы внутри области первичного твердого раствора; это было также отмечено С. И. Губкиным и Л. А. Захаровым [17] и Е. М. Савицким и В. Ф. Тереховой [18] в системе медь — цинк. В системе кадмий — цинк имеет место постепенное понижение твердости при увеличении концентрации ртути.

Наличие максимума в области существования первичного твердого раствора говорит о том, что на величину твердости влияют причины, действующие в противоположных направлениях. Действительно, твердость определяется равновесием между двумя противоположными направлениями и одновременно протекающими процессами: упрочнением и отдыхом. С одной стороны, при увеличении концентрации растворяемого металла должно происходить увеличение твердости вследствие усиливающего влияния объемного фактора (соотношения размеров атомов), приводящее к увеличению искажения решетки. Этот фактор непосредственно не зависит от температуры и других физических условий. С другой стороны, повышение концентрации растворяющегося металла влечет за собой усиление явления поляризации (взаимного влияния атомов), приводящее к деформированию электронных оболочек атомов. Поляризационные явления определяются физическими условиями, в частности, они усиливаются при повышении температуры и, соответственно, при уменьшении скорости деформирования.

При низких температурах и больших скоростях деформирования величина твердости определяется преимущественно искажениями решетки, вследствие чего и наблюдается повышение твердости по мере увеличения концентрации твердого раствора. При повышенных температурах и малых скоростях деформирования с увеличением концентрации растворяющегося металла все более сказываются поляризационные явления, что и влечет за собою появление максимума твердости внутри области твердого раствора, а при особенно значительных поляризационных эффектах наступает постепенное снижение твердости, что и наблюдалось в твердых растворах ртути в кадмий.

## Выводы

1. При одинаковых условиях температуры и скорости деформирования изохроны твердости являются симбатными по отношению к изотер- твердости.
2. В системах эвтектического типа кривые состав — скоростной пока- ль твердости обращены вогнутостью к оси концентраций.
3. Для твердых растворов кривые состав — скоростной показатель- сти обращены выпуклостью к оси концентраций.
4. Определение твердости при различной продолжительности действия- рузки (разной скорости деформирования) может быть методом физи- мического анализа.

Ленинградский политехнический  
институт им. М. И. Калинина  
Ленинградский педагогический  
институт им. А. И. Герцена

Поступила  
18.III.1958

## ЛИТЕРАТУРА

1. Hargreaves, J. Inst. Metals, № 1, 301, 1928.
2. П. Шишочкин, Ж. техн. физ., 8, 1613, 1938.
3. П. Шишочкин, Изв. Сектора физ.-хим. анализа ИОНХ АН СССР, 12, 11, 1940.
4. П. Шишочкин, Ж. прикл. химии, 2, 675, 1929.
5. М. Хансен, Структуры бинарных сплавов, Металлургиздат, 1941.
6. П. Шишочкин и А. А. Телицын, Ж. техн. физ., 22, 1572, 1952.
7. П. Шишочкин, И. Р. Коган и Н. А. Вихорева, Ж. техн. физ., 7, 476, 1937.
8. А. А. Бочвар и З. А. Свидерская, Изв. АН СССР, Отд. техн. н., № 9, 821, 1945.
9. Н. С. Курнаков и С. Ф. Жемчужный, Изв. СПб. политехн. ин-та, 19, 323, 1913.
10. Н. С. Курнаков и А. Н. Ахназаров, Изв. Петроградск. поли- техн. ин-та, 24, 1, 1915.
11. А. И. Глазунов и М. М. Матвеев, Изв. СПб. политехн. ин-та, 19, 471, 1913.
12. В. А. Немилов, Вестн. АН СССР, № 5, 128, 1949.
13. В. Я. Аносов, Изв. Ин-та физ.-хим. АН СССР, 5, 143, 1931.
14. А. Э. Никеров, Ж. техн. физ., 27, 2043, 1957.
15. А. А. Бочвар, Изв. АН СССР, Отд. техн. н., № 5, 649, 1948.
16. Л. А. Ротинян, Тезисы докладов на 3-м Всес. совещании по ФХА, стр. 75, 1955.
17. С. И. Губкин и П. А. Захаров, Изв. АН СССР. Сер. хим., № 1, 41, 1937.
18. Е. М. Савицкий, Влияние температуры на механические свойства метал- лов и сплавов, Изд-во АН СССР, 1957.

## TIME HARDNESS AS A METHOD OF PHYSICO-CHEMICAL ANALYSIS

K. P. Shishokin, V. A. Ageeva and N. A. Vikhoreva (Leningrad)

## Summary

The hardness of a number of systems (bismuth — cadmium, bismuth — antimony, tin — zinc, bismuth — mercury and cadmium — mercury) at varying time periods per load (5, 30, 150, 720 and 1440 minutes) has been investigated. It has been shown that under equal conditions of temperature and deformation rate the hardness isochrones coincide parallelly with hardness isotherms. In eutectic type of systems composition — hardness index of hardness curves face with their concave side to the concentration axis. In systems of solid solutions (unlimited or limited) the curves face with their convex side to the concentration axis. Determination of hardness at various load times (various deformation rates) may serve as a method of physico-chemical analysis.

## ТЕПЛОТА АДСОРБЦИИ ВОДОРОДА НА НЕКОТОРЫХ ТИПАХ ИОННЫХ РЕШЕТОК

В. А. Цхай

В одной из работ Ф. Ф. Волькенштейна [1] была рассмотрена химическая адсорбция одновалентного атома на одном из типов ионных решеток. Квантово-механический метод, примененный в указанной работе, позволяет привести приближенные расчеты теплот хемосорбции в некоторых конкретных случаях, сохраняя при этом в основном те же начальные условия и приближения, которые там были приняты.

В настоящей работе, как и в упомянутой, предполагается, что атом А, имеющий один валентный электрон в  $s$ -состоянии, адсорбируется на одном из положительных ионов  $M^+$  поверхности решетки (рис. 1). Связь при этом образуется с участием двух электронов: валентного электрона атома А и свободного электрона решетки.

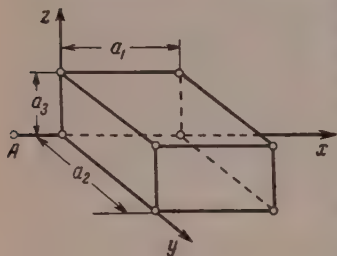


Рис. 1

Начальная постановка задачи (принимаясь приближения, вид волновой функции системы), приемы и пути приближенного решения волнового уравнения те же, что и в вышеуказанной работе. Однако для целого расчета теплот адсорбции мы нашли возможным сохранить в уравнениях интеграл нестогональности  $S'$  для перекрытия атомных

волновых функций  $\psi_g$ , описывающих состояние валентных электронов на двух соседних (в направлении оси  $z$ ) ионах  $M^+$ . Получаемые при этом решения не противоречат результатам, известным из работы Ф. Ф. Волькенштейна, и переходят в последние, если положить  $S' = 0$ .

Решения волнового уравнения используются для приближенного расчета теплот адсорбции водорода на ряде ионных решеток. Последние отличаются между собой постоянной решетки в одном из направлений (в направлении оси  $z$ , рис. 1) и ионизационными потенциалами металлических атомов  $M$ , остовы которых входят в решетку в качестве положительных ионов  $M^+$ .

В расчете учитывается лишь энергия связи, обусловленная перекрытием электронных облаков атома и решетки, — в этом ее принципиальное отличие от известной работы по вычислению теплоты адсорбции водорода на идеальном металле, проведенному по методу электрического изображения [2]. Указанную работу по своему физическому содержанию нельзя считать правильной, так как в ней предполагается, что электронные облака атома водорода и металла не перекрываются, хотя рассматривается химическая адсорбция. Перекрытие электронных облаков составляет специфику хемосорбции [3].

Приближенные вычисления теплот адсорбции водорода на ионных решетках приводятся в данной работе с целью получения качественных результатов, в частности, с целью выяснения зависимости теплоты адсорбции от параметров ионных решеток при соблюдении (хотя бы приближенно) тех же условий и приближений, которые в работе были приняты.

Электронное состояние системы при адсорбции. Координаты ионов решетки и атома А следующие:

ионы  $M^+$

$$x_M = a_1 g_1, \quad y_M = a_2 g_2, \quad z_M = a_3 g_3;$$

ионы  $R^+$

$$x_R = a_1 (g_1 + 1/2), \quad y_R = a_2 (g_2 + 1/2), \quad z_R = a_3 (g_3 + 1/2); \quad (1)$$

атом А

$$x_A = -r, \quad y_A = 0, \quad z_A = 0,$$

$g_1 = 0, 1, 2, \dots; g_2, g_3 = 0, \pm 1, \pm 2, \dots$  (рис. 1).

Атому А припишем номер  $g = (-1, 0, 0)$ . Рассматриваемая система состоит из ионной решетки, иона  $A^+$  и двух электронов: валентного электрона атома А и свободного электрона решетки.

Уравнение Шредингера имеет вид

$$H\Psi = E\Psi, \quad (2)$$

$$H = -\frac{\hbar^2}{2m}(\Delta_1 + \Delta_2) + V(x_1) + V(x_2) + V_{12}(x_1, x_2).$$

где  $x_i$  — тройка пространственных координат для  $i$ -го электрона;  $V_i$  — потенциал  $i$ -го электрона в поле всех ионов системы;  $V_{12}(x_1, x_2)$  — потенциал взаимодействия обоих электронов.

Пространственная часть волновой функции ищется в следующем виде:

$$\Psi(x_1, x_2) = \sum_g a_g [\varphi_g(x_1) \varphi_A(x_2) \mp \varphi_A(x_1) \varphi_g(x_2)], \quad (3)$$

$\varphi_A$  — атомные волновые функции (они предполагаются  $s$ -функциями, удовлетворяющими следующим уравнениям Шредингера:

$$H_g \varphi_g = E_M \varphi_g, \quad \text{где } H_g = -\frac{\hbar^2}{2m} \Delta + V_g(x), \quad (4)$$

$$H_A \varphi_A = E_A \varphi_A, \quad \text{где } H_A = -\frac{\hbar^2}{2m} \Delta + V_A(x);$$

где  $V_g(x)$ ,  $V_A(x)$  — потенциалы электрона соответственно в поле ионов  $M^+$  и  $A^+$ .

Задача сводится к нахождению коэффициентов  $a_g$  в разложении (3) по собственным значениям  $E$ , что представляет вариационную задачу. Рассмотрим две первые из трех приближений, приведенных в работе Ф. Волькенштейна [1]. Третье приближение примем лишь ограничиваясь тем, что будем считать, что  $S_{gg'} = \int \varphi_g \varphi_{g'} dx$  равен  $S'$  для  $g = (g_1, g_2, g_3) = (g_1, g_2, g_3 \pm 1)$ . Примем также  $S_{gg'} = 1$ , если  $g = g'$ ;  $S_{gg'} = S$ , если  $g = (-1, 0, 0)$ ,  $g' = (0, 0, 0)$  или  $g = (0, 0, 0)$  и  $g' = (-1, 0, 0)$ ;  $S = 0$  во всех остальных случаях. Тогда, проводя решение, как и в предыдущей работе, получим следующую систему уравнений:

$$a_g(\varepsilon - E) + (a_{g_1 g_2 g_3 + 1} + a_{g_1 g_2 g_3 - 1})[(\varepsilon - E)S' + \beta - \alpha S'] = 0 \quad \text{для } g \neq (0, g_2, g_3); \quad (5)$$

$$a_g(\varepsilon' - E) + (a_{0 g_2 g_3 + 1} + a_{g_1 g_2 g_3 - 1})[(\varepsilon' - E)S' + \beta' - \alpha' S'] = 0 \quad \text{для } g = (0, g_2, g_3) \neq (0, 0, g_3);$$

$$a_{000}(\varepsilon'' - E)(1 \pm S^2) + (a_{001} + a_{00-1})[(\varepsilon'' - E)S' + \beta' - \alpha' S'] = 0 \quad \text{для } g = (0, 0, 0).$$



В систему уравнений (5) введены сокращенные обозначения

$$\varepsilon = E_A + E_M + \alpha_A + \alpha; \quad (6)$$

$$\varepsilon' = E_A + E_M + \alpha_A + \alpha'; \quad (6)$$

$$\varepsilon'' = E_A + E_M + \frac{\alpha_A + \alpha_M + \eta_0 \pm [(\beta_A + \beta_M) S + \zeta_0]}{1 \pm S^2}, \quad (6)$$

где  $\alpha_A$ ,  $\alpha_M$ ,  $\alpha'$  и  $\alpha$  есть  $\int \varphi_g (V - V_{g'}) \varphi_{g'} dx$  соответственно для случаев

$$g' = g = (-1, 0, 0), \quad g' = g = (0, 0, 0),$$

$$g' = g = (0, g_2, g_3) \text{ и } g = g' = (g_1, g_2, g_3) \neq (0, g_2, g_3), \beta_A, \beta_M, \beta', \beta$$

есть этот же интеграл, соответственно, для случаев:  $g' = (0, 0, 0)$ ;

$$g' = (0, 0, 0), g = (-1, 0, 0), g' = (-1, 0, 0), g = (0, 0, 0); g' = (0, g_2, g_3 \pm 1)$$

$$g = (0, g_2, g_3); g' = (g_1, g_2, g_3 \pm 1), g = (g_1, g_2, g_3) \neq (0, g_2, g_3).$$

Во всех остальных случаях, на основании принятых приближений указанный интеграл был приравнен к нулю.  $\eta_0$  есть

$$\int \varphi_g(x_1) \varphi_A(x_2) V_{12} \varphi_{g'}(x_1) \varphi_A(x_2) dx$$

для

$$g = g' = (0, 0, 0) \text{ и } \zeta_0 \text{ есть}$$

$$\int \varphi_g(x_1) \varphi_A(x_2) V_{12} \varphi_{g'}(x_2) \varphi_A(x_1) dx$$

для

$$g = g' = (0, 0, 0).$$

Решение системы уравнений (5) ищется в следующем виде:

$$a_g = \begin{cases} A'_{g_1 g_2} e^{i\lambda g_1} + A''_{g_1 g_2} e^{-i\lambda g_1} & \text{при } g = (g_1, g_2, g_3) \neq (0, g_2, g_3), \\ B'_{g_2} e^{i\lambda g_2} + B''_{g_2} e^{-i\lambda g_2} & \text{при } g = (0, g_2, g_3) \neq (0, 0, g_3), \\ C' e^{i\lambda |g_3|} + C'' e^{-i\lambda |g_3|} & \text{при } g = (0, 0, g_3) \neq (0, 0, 0), \\ D & \text{при } g = (0, 0, 0). \end{cases}$$

Подставляя (7) в (5), будем иметь

$$(A'_{g_1 g_2} e^{i\lambda g_1} + A''_{g_1 g_2} e^{-i\lambda g_1}) (E - \varepsilon - 2\beta_1 \frac{\cos \lambda}{1 + 2S' \cos \lambda}) = 0;$$

$$(B'_{g_2} e^{i\lambda g_2} + B''_{g_2} e^{-i\lambda g_2}) (E - \varepsilon' - 2\beta_2 \frac{\cos \lambda}{1 + 2S' \cos \lambda}) = 0;$$

$$(C' e^{i\lambda |g_3|} + C'' e^{-i\lambda |g_3|}) (E - \varepsilon' - 2\beta_2 \frac{\cos \lambda}{1 + 2S' \cos \lambda}) = 0;$$

$$C' e^{i\lambda} [(\varepsilon' - E) + (\varepsilon' - E) S' e^{i\lambda} + \beta_2 e^{i\lambda}] + C'' e^{-i\lambda} [(\varepsilon' - E) + (\varepsilon' - E) S' e^{-i\lambda} + \beta_2 e^{-i\lambda}] + D [(\varepsilon' - E) S' + \beta_2] = 0;$$

$$D (\varepsilon'' - E) (1 \pm S^2) + 2 (C' e^{i\lambda} + C'' e^{-i\lambda}) [(\varepsilon' - E) S' + \beta_2] = 0.$$

В уравнениях (8) приняты сокращенные обозначения:

$$\beta_1 = \beta - \alpha S', \quad \beta_2 = \beta' + \alpha' S'.$$

Система (8) имеет решения следующих типов:

$$1) A'_{g_1 g_2} \neq 0, A''_{g_1 g_2} \neq 0, B'_{g_2} = B''_{g_2} = C' = C'' = D = 0;$$

$$2) B'_{g_2} \neq 0, B''_{g_2} \neq 0, A'_{g_1 g_2} = A''_{g_1 g_2} = C' = C'' = D = 0;$$

$$3) C' \neq 0, C'' \neq 0, D \neq 0, A'_{g_1 g_2} = A''_{g_1 g_2} = B'_{g_2} = B''_{g_2} = 0;$$

$$4) C'' \neq 0, D \neq 0, A'_{g_1 g_2} = A''_{g_1 g_2} = B'_{g_2} = B''_{g_2} = C' = 0.$$

Три первых типа решений соответствуют электрону, находящемуся в поверхностной зоне, или в зоне проводимости внутри кристалла. И эти решения будут иметь смысл лишь для

$$2S' < 1. \quad (11)$$

Идем считать, что условие (11) всегда выполняется. В четвертом случае система уравнений (8) дает

$$E = \varepsilon' + 2\beta_2 \frac{\cos \lambda}{1 + 2S' \cos \lambda}, \quad (12)$$

$$C'' = D,$$

$$\gamma k + (kl + 1) \cos \lambda = i \sin \lambda.$$

В систему уравнений (12) введены сокращенные обозначения:

$$k = 1 \pm S^2, \quad l = 2S' \gamma - 1, \quad \gamma = \frac{\varepsilon'' - \varepsilon'}{2\beta_2}. \quad (13)$$

На основании (12), имеем

$$e^{-i\lambda} = \frac{-\gamma k + (-1)^n \sqrt{\gamma^2 k^2 - kl(kl+2)}}{kl+2}; \quad (14a)$$

$$E = \varepsilon' + 2\beta_2 \frac{\gamma k(kl+1) + (-1)^n \sqrt{\gamma^2 k^2 - kl(kl+2)}}{2S' \gamma k(kl+1) - kl(kl+2) + (-1)^n 2S' \sqrt{\gamma^2 k^2 - kl(kl+2)}}, \quad (14b)$$

при  $n = 1, 2$ .

Так как  $S^2 \ll 1$ , то для качественного рассмотрения решений (14) применим в них  $k=1$ , что приводит к

$$e^{-i\lambda} = \frac{-\gamma + (-1)^n \sqrt{\gamma^2(1-4S'^2)+1}}{1+2S'\gamma}; \quad (15a)$$

$$E = \varepsilon' + 2\beta_2 \frac{2S'\gamma^2 + (-1)^n \sqrt{\gamma^2(1-4S'^2)+1}}{1 + (-1)^n 2S' \sqrt{\gamma^2(1-4S'^2)+1}}. \quad (15b)$$

Решения (15) заведомо действительны, если выполнено условие (11).

Рассмотрим лишь случаи, благоприятные образованию адсорбционной связи, т. е. случаи, когда спины взаимодействующих электронов антипараллельны. Поэтому в (15) и для  $k$  в (13) будем учитывать лишь положительные знаки. Ввиду того что обменная часть в  $\varepsilon''$  отрицательна, имеем

$$\varepsilon'' - \varepsilon' < 0. \quad (16)$$

Здесь возможны два случая:  $\beta_2 > 0$  и  $\beta_2 < 0$ .

а) Если  $\beta_2 > 0$ , то на основании (16) и (13)  $\gamma < 0$ , тогда физический смысл имеют решения (14) и (15) при  $n = 1$ . Согласно (7), (10) и (15a) имеем

$$a_g = \begin{cases} = C'' \left( \frac{-\gamma - \sqrt{\gamma^2(1-4S'^2)+1}}{1+2S'\gamma} \right)^{|g_3|} & \text{при } g = (0, 0, g_3), \\ = 0 & \text{во всех остальных случаях.} \end{cases} \quad (17)$$

Легко убедиться решением неравенств, что при любых действительных значениях  $\gamma < 0$  и  $2S' < 1$ , основание степени в (17) по абсолютной величине меньше единицы, и согласно (3) и (17) вероятность нахождения электронов уменьшается по мере удаления от места адсорбции атома. Поскольку  $|\gamma|$  мало, что соответствует малой энергии связи атома А с решеткой [1] и пусть  $2S' \ll 1$ . Тогда, пренебрегая в (17) малыми второго порядка, получим

$$a_g = C'' (|\gamma| - 1)^{|g_3|} \text{ при } g = (0, 0, g_3), \quad (18)$$

т. е. волновая функция (3), представленная через коэффициенты (1), затухает с увеличением  $|g_3|$  тем быстрее, чем больше  $|\gamma|$ . Если  $\gamma$  близко к  $-1/2S'$ , тогда, разложив корень в (17) в ряд по  $(1-4S'^2\gamma^2)$ , ограничившись двумя первыми членами разложения, получим

$$a_g = C'' \left( -\frac{1}{2|\gamma|} - S' \right)^{|g_3|} \text{ при } g = (0, 0, g_3). \quad (18)$$

Если  $\gamma = -1/2S'$ , то (17) переходит в неопределенность. Обращаясь к исходным уравнениям (12), будем иметь (при  $k=1$ )  $e^{-i\lambda} = 1/2\gamma$  и

$$a_g = C'' \left( \frac{1}{2\gamma} \right)^{|g_3|} = C'' (-S')^{|g_3|} \text{ при } g = (0, 0, g_3); \quad (19)$$

т. е. чем больше  $|\gamma|$  и меньше  $S'$ , тем быстрее затухает волновая функция (3) с увеличением  $|g_3|$ . Пусть  $|\gamma| \gg 1$  независимо от  $S'$ , тогда (17) под корнем можно пренебречь единицей по сравнению с  $\gamma^2(1-4S'^2)$ . Извлекая корень из  $\gamma^2$ , разлагая в ряд по  $4S'^2$  и сохраняя два первых члена, имеем

$$a_g = C'' \left( \frac{2S'^2 |\gamma|}{1-2S'^2 |\gamma|} \right)^{|g_3|} \text{ при } g = (0, 0, g_3). \quad (20)$$

Формула (21) не имеет места для  $\gamma$ , близких к  $-1/2S'$ , для которых справедливо (19). При  $2S'|\gamma| \gg 1$  получим

$$a_g = C'' (-S')^{|g_3|} \text{ при } g = (0, 0, g_3), \quad (21)$$

т. е. чем меньше  $S'$ , тем быстрее затухает волновая функция (3) с  $|g_3|$ .

б) Если  $\beta_2 < 0$  и, следовательно, на основании (13) и (16)  $\gamma > 0$ , физический смысл имеют решения (14) и (15) при  $n=2$ . Согласно (7) (15a) имеем

$$a_g = \begin{cases} = C'' \left( \frac{-\gamma + \sqrt{\gamma^2(1-4S'^2) + 1}}{1+2S'\gamma} \right)^{|g_3|} & \text{при } g = (0, 0, g_3), \\ = 0 & \text{во всех остальных случаях.} \end{cases}$$

Можно показать решением неравенств, что при любых действительных значениях  $\gamma > 0$  и  $2S' < 1$  основание степени в (23) меньше единицы, поэтому вероятность нахождения электронов уменьшается по мере удаления от места адсорбции атома А. Более подробное исследование коэффициентов  $a_g$  может быть проведено, как и в случае а), и приводить к аналогичным качественным результатам.

Теплота адсорбции. Пусть  $W(r)$  есть полная энергия системы, состоящей из ионной решетки, иона  $A^+$ , находящегося на расстоянии  $r$  от поверхности решетки, и двух рассматриваемых электронов. Тогда можно принять

$$W(r) = E(r) + V(r), \quad (24)$$

где  $E(r)$  — энергия обоих электронов в поле всех ионов системы, включая ион  $A^+$ . Эта часть энергии была найдена.  $V(r)$  есть энергия взаимодействия иона  $A^+$  с решеткой. Очевидно,  $V(r)$  должно удовлетворять следующим условиям:

$$V = \infty \text{ при } r = 0,$$

$$V = 0 \text{ при } r = \infty.$$

Выясним, чему равна энергия системы, если атом А бесконечно удален от поверхности решетки. Для этого положим  $r \rightarrow \infty$ , тогда

$$\alpha_A \rightarrow 0, \alpha_M \rightarrow \alpha', \beta_A \rightarrow 0, \beta_M \rightarrow 0, S \rightarrow 0, \eta_0 \rightarrow 0, \zeta_0 \rightarrow 0, \quad (25)$$

следовательно, в (6б), (6в) и (13) будем иметь

$$\epsilon' \rightarrow E_A + E_M + \alpha', \quad \epsilon'' \rightarrow E_A + E_M + \alpha', \quad \gamma \rightarrow 0, \quad k \rightarrow 1, \quad l \rightarrow -1. \quad (27)$$

На основании (24), (25), (14б) и (27) получим

$$W(\infty) = E(\infty) = E_A + E_M + \alpha' + \frac{(-1)^n 2\beta_2}{1 + (-1)^n 2S'}, \quad (28)$$

и  $n = 1, 2$ .

При приближении атома из бесконечности на расстояние  $r$  от поверхности решетки полная энергия, согласно (25), (14б), (28), изменится на величину:

$$W(r) - W(\infty) = \alpha_A + V(r) + 2\beta_2 \times \\ \times \left( \frac{\gamma k(kl+1) + (-1)^n V \sqrt{\gamma^2 k^2 - kl(kl+2)}}{2S' \gamma k(kl+1) - kl(kl+2) + (-1)^n 2S' \sqrt{\gamma^2 k^2 - kl(kl+2)}} - \frac{(-1)^n}{1 + (-1)^n 2S'} \right), \quad (29)$$

$n = 1, 2$ . Адсорбция может иметь место, если существует некоторая часть положительных значений  $r$ , для которых выполнено неравенство:

$$W(r) - W(\infty) < 0. \quad (30)$$

ли  $r = r_{\text{равн}}$ , т. е. расстоянию, на котором оказывается адсорбируемый атом в состоянии равновесия, то в этом случае формула (29) дает величину энергии связи атома с решеткой.

Рассмотрим лишь случаи, наиболее благоприятные для адсорбции. Будем считать, что спины взаимодействующих электронов антипараллельны, тогда: а) если  $\beta_2 > 0$ , то  $\gamma < 0$  и физический смысл имеют решения (14а) и соответственно (14б) при  $n = 1$ , и поэтому энергия связи атома с решеткой может быть определена согласно (29), если положить в ней  $n = 1, r = r_{\text{равн}}$ ; б) если  $\beta_2 < 0$ , то  $\gamma > 0$  и физический смысл имеют решения (14а) и (14б) при  $n = 2$ . Следовательно, энергия связи атома найдена согласно (29), если положить в ней  $n = 2$  и  $r = r_{\text{равн}}$ .

Рассмотрим формулы (29) на примере адсорбции атома водорода. В этом частном случае величину кулоновского взаимодействия электрона, принадлежащего иону  $A^+$  ( $\alpha_A$ ), и иона  $A^+$  с решеткой  $[V(r)]$  можно считать равными, но противоположными по знаку, так как волновая функция  $1s$ -состояния электрона атома водорода имеет сферическую симметрию и сильно сконцентрирована у протона (иона  $A^+$ ). Отметим, что при вычислении энергии взаимодействия атома водорода с атомом точного металла аналогичные величины оказываются по абсолютной величине почти равными [5]. Для взаимодействия атома водорода с решеткой эти величины по абсолютной величине должны быть еще более близкими, так как потенциал решетки меняется более плавно, чем потенциал отдельного иона. Приняв во внимание, что  $\alpha_A = -V(r)$ , получим, согласно (29), при  $r = r_{\text{равн}}$

$$W(r_{\text{равн}}) - W(\infty) = 2\beta_2 \times \\ \times \left( \frac{\gamma k(kl+1) + (-1)^n V \sqrt{\gamma^2 k^2 - kl(kl+2)}}{2S' \gamma k(kl+1) - kl(kl+2) + (-1)^n 2S' \sqrt{\gamma^2 k^2 - kl(kl+2)}} - \frac{(-1)^n}{1 + (-1)^n 2S'} \right), \quad (31)$$

$n = 1$ , если  $\beta_2 > 0$  и  $n = 2$ , если  $\beta_2 < 0$ .

Исследование формулы (31) в приближении  $k = 1$  путем решения неравенств показывает, что как в случае а)  $\beta_2 > 0, \gamma < 0$ , так и в случае б)  $\beta_2 < 0, \gamma > 0$  будет всегда выполнено неравенство (30), если  $2S' < 1$ , т. е. может иметь место химическая адсорбция. При этом два



электрона с антипараллельными спинами, осуществляющие адсорбционную связь, оказываются на локальном уровне, расположенном под поверхностной зоной. Как было выяснено в предыдущем параграфе, электроны в этом состоянии образуют облако, сконцентрированное вблизи атома А и размазанное вдоль поверхности решетки. Локализация электронного облака вблизи атома А оказывается тем большей, чем меньше  $S'$  и больше  $|\gamma|$ .

Из (31), (13), (6в) видно, что задача вычисления теплоты адсорбции сводится к нахождению интегралов  $\alpha_A$ ,  $\alpha_M$ ,  $\alpha'$ ,  $\eta_0$ ,  $\beta_M$ ,  $\beta_A$ ,  $\beta'$ ,  $\zeta_0$ ,  $S$ ,  $S'$ .

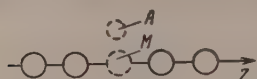


Рис. 2

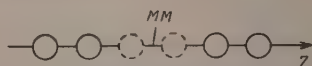


Рис. 3

Интегралы  $\eta_0$ ,  $\zeta_0$ ,  $S$ ,  $S'$  рассматриваются при вычислении энергии взаимодействия двух атомов. Интегралы же  $\alpha_A$ ,  $\alpha_M$ ,  $\alpha'$ ,  $\beta_A$ ,  $\beta_M$ ,  $\beta'$  запишем в таком виде, в котором выделен потенциал, создаваемый ближайшим ионом. Для этого обозначим через  $V(x_A)$ ,  $V(x_M)$ ,  $V(x_{AM})$  значения потенциалов соответственно в области нахождения ионов  $A^+$ ,  $M^+$  и между ними создаваемое всеми ионами решетки в отсутствие ионов  $A^+$  и  $M^+$ , изображенных пунктиром (рис. 2). Аналогично  $V(x_{MM})$  означает потенциал в области между произвольными ионами  $M^+$  поверхности в отсутствие этих ионов, изображенных пунктиром (рис. 3). На рис. 2 и 3 изображена лишь часть ионов  $M^+$ , расположенных на поверхности решетки вдоль оси  $z$  (рис. 1). Тогда

$$\alpha_A = K_A + \int \varphi_A^2 V(x_A) dx; \quad \beta_A = J_A + \int \varphi_{000} V(x_{AM}) \varphi_A dx; \quad (3)$$

$$\alpha_M = K_M + \alpha', \quad \beta_M = J_M + \int \varphi_A V(x_{AM}) \varphi_{000} dx;$$

$$\alpha' = \int \varphi_{0g_2g_3}^2 V(x_M) dx; \quad \beta' = J_{MM} + \int \varphi_{0g_2g_3+1} V(x_{MM}) \varphi_{0g_2g_3} dx,$$

где

$$K_A = \int \frac{\varphi_A}{r_{000}} dx; \quad K_M = \int \frac{\varphi_{000}^2}{r_A} dx; \quad J_A = \int \frac{\varphi_{000} \varphi_A}{r_A} dx; \quad J_M = \int \frac{\varphi_A \varphi_{000}}{r_{000}} dx,$$

$$J_{MM} = \int \frac{\varphi_{0g_2g_3+1} \varphi_{0g_2g_3}}{r_{0g_2g_3}} dx. \text{ Вместо потенциалов } V(x_{AM}) \text{ и } V(x_{MM}) \text{ введем}$$

усредненные значения  $\bar{V}(x_{AM})$  и  $\bar{V}(x_{MM})$ . Учитывая усреднения потенциалов для части интегралов (32), будем иметь

$$\beta_A = J_A + \bar{V}(x_{AM}) S, \quad \beta_M = J_M + \bar{V}(x_{AM}) S, \quad \beta' = J_{MM} + \bar{V}(x_{MM}) S'. \quad (3)$$

На основании (13), (6а), (6б), (9), (32) и (33) для  $\gamma$  получим

$$\gamma = \frac{K_M + \eta_0 + [2\bar{V}(x_{AM}) - \alpha_A - \alpha'] S^2 + (J_A + J_M) S + \zeta_0}{2[J_{MM} + \bar{V}(x_{MM}) S' - \alpha' S'] (1 + S^2)}, \quad (3)$$

где учтен лишь положительный знак, соответствующий антипараллельной ориентировке спинов электронов. В оценке  $\gamma$  пренебрежем в числителе (34) членом с множителем  $S^2$ , тогда

$$\gamma = \frac{K_M + \eta_0 + (J_A + J_M) S + \zeta_0}{2[J_{MM} + \bar{V}(x_{MM}) S' - \alpha' S'] (1 + S^2)}. \quad (3)$$

Теплота адсорбции водорода. Для расчетов волновая функция 1s-состояния атома водорода была взята в виде

$$\varphi_A = A_1 e^{-\alpha r}, \quad (36)$$

где  $A_1$  — нормировочный коэффициент  $\alpha = 1$ .

Волновая функция s-состояния валентного электрона металлического атома может быть взята в форме Слэтера:  $\varphi_g = B r^{n^*-1} e^{-\delta r}$ , где  $B$  — нормировочный коэффициент,  $\delta = z^*/n^*$ ,  $z^*$  — эффективный заряд,  $n^*$  — эффективное квантовое число. Расчеты проводились для ионных решеток, которых положительными ионами являются остовы металлических атомов, могущие иметь валентный электрон в состояниях: 3s, 4s, 5s, 6s. Для вышеуказанных квантовых состояний  $n^*$ , найденное по эмпирическим правилам Слэтера, соответственно равно 3; 3,7; 4; 4,2. Значение параметра  $\delta$  для металлических атомов лучше определять из ионизационных потенциалов атомов [4] по формуле  $\delta = \sqrt{2I}$ , где  $I$  — ионизационный потенциал атома. Однако для проведения расчетов может быть использована несколько видоизмененная «универсальная» функция

$$\varphi_g = B_1 r^3 e^{-\delta' r}, \quad (37)$$

годная одновременно для  $n^* = 3; 3,7; 4; 4,2$ . Параметр волновой функции  $\delta'$  находится по формуле  $\delta' = 4 \frac{\delta}{n^*}$ . Очевидно, что для  $n^* = 4$

функция (37) не отличается от функции Слэтера. Введение для расчета «универсальной» волновой функции (37) основано на том факте, что связь связи двухатомных симметричных молекул  $\text{Li}_2$ ,  $\text{Na}_2$ ,  $\text{K}_2$ ,  $\text{Rb}_2$ , удачно может быть передана через параметры  $n^*$  и  $\delta$  следующей

формулой:  $\epsilon = \text{const} \frac{\delta}{n^*}$ . Как показывают расчеты, энергии связи молекул

$\text{H}_2\text{O}$ ,  $\text{H}_2\text{S}$ ,  $\text{H}_2\text{Se}$ ,  $\text{H}_2\text{Te}$  с применением универсальной волновой функции (37) находятся в хорошем согласии с опытными данными [5]. Очевидно, что для любого металлического атома, имеющего валентный электрон в s-состоянии и определенный ионизационный потенциал, может быть приведена функция (37) с соответствующими  $\delta'$ .

Как было выяснено [6], отсутствие узлов функции Слэтера не сказывается заметно на величине вычисляемой энергии связи, а влияние валентных электронов на энергию связи атомов в молекуле в основном является через экранирование ядерного заряда [7]. Это экранирование также учитывается параметром  $\delta'$ .

Независимо от того, как может быть проведено сравнение вычисленных значений теплот адсорбции с опытными, интересно качественно исследовать вопрос о том:

1. Как зависит теплота адсорбции (гомеополярная часть) от изменения ионизационного потенциала металлического атома  $M$ .

2. Как изменяется величина теплоты адсорбции с изменением постоянной решетки  $a_3$ .

Вычисления были проведены с волновыми функциями (36) и (37) на простых решетках с постоянными  $a_1 = a_2 = 12$  ат. ед.,  $a_3$  менялось, принимая значения 6, 8, 10, 12 ат. ед. Параметр  $\delta'$  волновой функции (37) принимался, принимая значения 0,6; 0,8; 1,0, что соответствует ионизационным потенциалам металлических атомов для  $n^* = 4$ , соответственно 3; 8,94; 13,6 эВ.

Для расчетов интегралов  $K_M$ ,  $\eta_0$ ,  $J_A$ ,  $J_M$ ,  $J_{MM}$ ,  $\zeta_0$ ,  $S$ ,  $S'$  были использованы формулы, приведенные в статье Розена [8], и таблицы в монографии Гельмана [9]. Интегралы были рассчитаны для равновесных

расстояний, на которых, согласно расчету, устанавливаются соответствующие атомы в молекулах [5].

Оценка величины  $\gamma$  проводилась согласно (35). При этом вместо усредненного по области перекрытия атомных волновых функций потенциала  $\bar{V}(x_{\text{мм}})$  был взят потенциал решетки в точке, расположенной посередине между двумя ионами поверхности  $M^+$  (в их отсутствие), т. е. там, где перекрытие атомных волновых функций  $\varphi_g$  наибольшее. Потенциал  $V(x_{\text{мм}})$  был рассчитан по методу Эвальда [10]. Указанный потен-

Таблица 1

$a_3$				
$\delta'$	6	8	10	12
0,6	-0,077	-0,088	-0,132	-0,180
0,8	-0,244	-0,421	-0,797	-1,59
1,0	-0,771	-1,636	-3,60	-8,31

Таблица 2

$a_3$				
$\delta'$	6	8	10	12
0,6	—	—	—	0,084
0,8	—	—	0,31	1,31
1,0	—	1,26	2,28	2,60

циал оказывается во всех рассматриваемых случаях сильно отрицательным. Учитывая отрицательный знак заряда электрона, мы должны при изведении  $\bar{V}(x_{\text{мм}})S'$  в (35) считать положительным, т. е. обратным к знаку  $J_{\text{мм}}$ . Приближенная оценка третьего слагаемого в знаменателе

Таблица 3

$a_3$				
$\delta'$	6	8	10	12
0,6	0,027	0,035	0,049	0,068
0,8	0,16	0,320	0,570	0,860
1,0	0,99	1,62	2,21	2,59

$\alpha'S'$  показывает, что оно всегда положительно и несравненно меньше  $J_{\text{мм}} + V(x_{\text{мм}})S'$  и поэтому и принималось в расчет.

Учет  $\alpha'S'$  должен был бы приводить к несколько меньшим значениям  $|\gamma|$ . Как показывают расчеты,  $\beta_2$  во всех рассматриваемых случаях больше нуля, и поэтому  $\gamma$  всегда оказывается отрицатель-

ной. В табл. 1 приводятся вычисленные значения  $\gamma$ .

Вычисления энергии связи атома водорода с ионными решетками указанного типа были проведены по формуле (31). Ниже приводятся результаты расчетов энергии связи в eV.

Для некоторых значений параметров  $a_3$  и  $\delta'$  условие (11) не выполняется, или  $2S'$  оказывается хотя и меньшим, но близким к единице, и не имело смысла энергию вычислять по формуле (31).

Оценка интегралов  $S'$  показывает, что при  $\delta = 0,6$  и  $0,8$  вычисления для ионных решеток следовало бы проводить с большими значениями параметров  $a_1$ ,  $a_2$ ,  $a_3$ .

Были проведены также вычисления энергии связи согласно формуле приведенной в работе Ф. Ф. Волькенштейна [1], которая получается из (31) при  $S' = 0$ ,  $S^2 = 0$ . Результаты расчетов энергии связи в eV по упрощенной формуле приводятся ниже.

### Обсуждение результатов

Данные табл. 2 и 3 показывают, что теплота адсорбции водорода должна уменьшаться с уменьшением постоянной решетки  $a_3$ . Указанная зависимость станет понятной, если обратиться к результатам первого параграфа. Действительно, с уменьшением  $a_3$  увеличивается перекрытие атомных электронных облаков, принадлежащих двум соседним катионам поверхности (т. е.  $S'$ ). С другой стороны, растет ширина поверхностной зоны (т. е.  $\beta_2$ ), что ведет к уменьшению  $|\gamma|$ . Согласно рассмотренному случаю а) увеличение  $S'$  и уменьшение  $|\gamma|$  должно приводить к более размаза-

у по поверхности электронному состоянию, а следовательно, к уменьшению плотности электронного мостика, осуществляющего гомеополярную связь между атомом А и решеткой. Поэтому энергия связи должна уменьшаться. Если учесть, что энергия диссоциации  $H_2$  равна 103,2 ккал/моль, то для теплоты хемосорбции при  $\delta' = 1$  и  $a_3 = 12$  и 10 ат. ед. будем иметь соответственно 12 ккал/моль и 1,6 ккал/моль (см. табл. 2). При  $a_3 = 6$  ат. ед. энергия связи атома водорода с решеткой уже не обеспечивает разрыва связи в  $H_2$ , и хемосорбция может быть лишь эндотермической и неустойчивой. Таким образом зависимость теплоты хемосорбции от расстояний между ближайшими катионами оказывается весьма значительной, и представляет интерес в этом аспекте обсудить немногочисленные опытные данные [12].

При комнатной температуре хемосорбция водорода на  $ZnO$  не происходит.  $ZnO$  является типичным электронным полупроводником. При наличии электронов проводимости на поверхности  $ZnO$  трудно понять, почему отсутствует хемосорбция на катионах  $Zn^{2+}$ , если предположить, что энергия связи, как и в молекуле  $ZnH^+$ , оказалась бы равной 2,8 eV [11]. Следовательно, в этом случае теплота хемосорбции будет 25 ккал/моль.  $ZnO$  имеет структуру типа вюрцита. Ближайшее расстояние между катионами равно 6,1 ат. ед. Параметр  $\delta$  для валентного электрона на  $Zn^{2+}$ , считанный по правилам Слэтера и пересчитанный на  $\delta'$ , будет равен 1. Образование хемосорбционной связи с участием  $d$ -валентного состояния маловероятно, так как  $Zn^{2+}$  имеет заполненную  $d$ -оболочку. Поэтому можно предположить механизм хемосорбции на катионах  $Zn^{2+}$ , близкий к тому, который рассмотрен в данной работе при  $\delta' = 1$  и  $a_3 = 6$  ат. ед. На основании расчетов следует ожидать сильно уменьшающего влияния ближайших катионов на энергию хемосорбционной связи.

Представляет интерес в этой же связи упомянуть о недавно опубликованной работе [13]. Обсуждая гетерогенную поверхность, автор сопоставляет опытные данные по теплоте хемосорбции водорода на различных металлах и приходит к заключению, что на тех металлах, у которых больше перекрытие  $d$ -орбит соседних атомов, поверхность оказывается более активной с геометрического фактору. На таких металлах наблюдается более сильное падение теплоты хемосорбции с заполнением поверхности.

Из табл. 2 и 3 следует, что теплота адсорбции должна увеличиваться с увеличением ионизационного потенциала атома М, остов которого входит в решетку в качестве положительного иона  $M^+$ . Это находится в согласии с результатами предыдущих работ [11], [14], [15]. Заметим, что исследования на ионных решетках с  $\delta' = 0,8$  и особенно  $\delta' = 0,6$  дают заниженные значения энергии связи, так как связь в этих случаях является чисто ионной.

### Выводы

В определенном приближении проведен расчет энергии связи атома водорода с ионными решетками типа, рассмотренного Ф. Ф. Волькенштей-

на. Результаты расчетов показывают, что теплота адсорбции водорода должна уменьшаться с уменьшением (в определенном интервале изменения постоянной решетки  $a_3$  и увеличиваться с увеличением ионизационного потенциала атома М, остов которого входит в решетку в качестве положительного иона  $M^+$ ).



## ЛИТЕРАТУРА

1. Ф. Ф. Волькенштейн, Ж. физ. химии, 26, 1462, 1952.
2. R. Bosworth, J. Proc. Roy. Soc. (N. S. Wales), 74, 538, 1941.
3. Ф. Ф. Волькенштейн, Успехи физ. наук, 60, 249, 1956.
4. Н. Д. Соколов, Ж. физ. химии, 18, 77, 1944.
5. А. Н. Жанаалинова, Вестн. АН КазССР, № 11, 75, 1954.
6. E. Hutchisson, M. Muskat, Phys. Rev., 40, 340, 1932.
7. М. Г. Веселов, Ж. эксперим. и теор. физ., 8, 7, 1938.
8. N. Rosen, Phys. Rev., 38, 255, 1932.
9. Г. Г. Гельман, Квантовая химия, ОНТИ, Москва, 1937.
10. М. Борн и Гепперт-Мейер, Теория твердого тела, ОНТИ, Москва, 1937.
11. А. Гейдон, Энергия диссоциации и спектры двухатомных молекул, ИИЛ, 1949.
12. Б. Трепнел, Хемосорбция, ИИЛ, 1958.
13. T. Takaiishi, Z. Phys. Chem. (BRD), 14, 164, 1958.
14. В. Л. Бонч-Бруевич, Ж. физ. химии, 27, 662, 1953.
15. В. Л. Бонч-Бруевич, Ж. физ. химии, 27, 960, 1953.

# THE HEAT OF ADSORPTION OF HYDROGEN ON SOME TYPES OF IONIC LATTICES

V. A. Tsckhai (Sverdlovsk)

## Summary

An approximate calculation has been made of the bond energies of hydrogen w ionic lattices of the type considered by F. F. Vol'kenshtein. The results showed that heat of adsorption of hydrogen on the ionic lattices should diminish with decrease value of the  $\alpha_3$  constant (over a definite region of measurements) and increase with incre in the ionization potential of the atom M, the residue of which in the form of the positive ion  $M^+$  becomes part of the lattice.

## ЧАСТИЦЫ КАК СТАБИЛИЗАТОРЫ КОНЦЕНТРАЦИИ ЭЛЕКТРОНОВ

А. А. Аршинов и А. К. Мусин

Из рассмотрения ионизационного равновесия в квазинейтральной среде, состоящей из электронов и однородных частиц с различными зарядами, в работе [1] было получено уравнение для равновесной ионизации частиц в виде

$$\frac{N_e}{N} = \sigma^2 \ln \frac{K}{N_e} + \frac{1}{2}, \quad \sigma^2 = \frac{rkT}{e_0^2} > \frac{1}{2\pi}, \quad (1)$$

где  $N_e$  — концентрация электронов,  $N$  — общая концентрация частиц,  $r$  — радиус частиц,  $k$  — постоянная Больцмана,  $T$  — абсолютная температура,  $e_0$  — заряд электрона,  $K = 2(2\pi m_e kT / h^2)^{3/2} \exp(-\varphi_0 / kT)$  — константа равновесия для реакции однократной ионизации,  $h$  — постоянная Планка,  $m_e$  — масса электрона,  $\varphi_0$  — работа выхода первого электрона. Вывод уравнения (1) учитывалось образование на частицах всевозможных положительных и отрицательных зарядов и было показано, что распределение зарядов по частицам совпадает с плотностью распределения вероятностей по нормальному закону Гаусса:

$$\frac{N_m}{N} = \frac{1}{\sigma \sqrt{2\pi}} \exp \left[ -\frac{(m - \bar{m})^2}{2\sigma^2} \right], \quad (2)$$

где  $N_m$  — концентрация частиц с зарядом  $m^*$ ,  $\bar{m} = N_e / N$  — математическое ожидание величины заряда, или средний заряд ионизующихся частиц,  $\sigma^2 = rkT / e_0^2$  — дисперсия, или мера рассеяния зарядов, причем величина  $\sigma$  соответствует числу зарядов между точками перегиба  $m = \bar{m} \pm \sigma$ . Функция  $N_m / N = f(m)$ . Уравнение (1) при любой степени ионизации справедливо в случае большой дисперсии, когда  $\sigma^2 \gg 1 / 2\pi$ . Для высокой степени ионизации  $N_e / N \gg 1 / 2$ , как это показано в [1], уравнение (1) применимо независимо от величины дисперсии  $\sigma^2$  (см. также [2]).

Из уравнения (1), если его записать в виде:

$$N_e = \frac{2(2\pi m_e kT)^{3/2}}{h^3} \exp \left( -\frac{\varphi_0}{kT} \right) \exp \left[ -\left( \frac{N_e}{N} - \frac{1}{2} \right) \frac{e_0^2}{rkT} \right], \quad (3)$$

следует, что при выполнении неравенства  $\left| \frac{N_e}{N} - \frac{1}{2} \right| \ll \frac{rkT}{e_0^2}$  концентрация электронов  $N_e$  не зависит от концентрации частиц  $N$  и их размеров

\* Величина  $m$  может принимать любые значения как положительные, так и отрицательные (см. работу [1]).

$r$  и образует как бы насыщенный электронный газ:

$$N_e = K = \frac{2(2\pi m_e kT)^{3/2}}{h^3} \exp\left(-\frac{\varphi_0}{kT}\right); \quad (4)$$

$$\left| \frac{K}{N} - \frac{1}{2} \right| \ll \frac{rkT}{e_0^2}. \quad (5)$$

Сущность этого явления заключается в том, что изменение работ выхода за счет заряда частиц  $\Delta\varphi = \left(\frac{N_e}{N} - \frac{1}{2}\right) \frac{e_0^2}{r}$  \* мало по сравнению со средней кинетической энергией электронов:  $\Delta\varphi \ll kT$ . В подобных условиях присутствие в системе каких-либо дополнительных источников или поглотителей электронов не сможет изменить электронной концентрации ввиду стабилизирующего действия частиц.

Выведем условие стабилизации концентрации электронов для системы, состоящей из субмикроскопических частиц  $S$  (стабилизаторов), электронов и атомов или молекул  $A_i$ , являющихся источниками электронов и  $B_j$ , способных образовывать отрицательные ионы.

Электронными процессами в такой системе будут

$$S \rightleftharpoons S^{(\pm 1)} \pm 1e; S \rightleftharpoons S^{(\pm 2)} \pm 2e; \dots; S \rightleftharpoons S^{(m)} + me; \quad (6)$$

$$A_1 \rightleftharpoons A_1^+ + e; A_2 \rightleftharpoons A_2^+ + e; \dots; A_p \rightleftharpoons A_p^+ + e; \quad (7)$$

$$B_1^- \rightleftharpoons B_1 + e; B_2^- \rightleftharpoons B_2 + e; \dots; B_n^- \rightleftharpoons B_n + e. \quad (8)$$

Для этих процессов можно написать константы в виде

$$K_s = N_e \exp\left[\left(\bar{m} - \frac{1}{2}\right)/\sigma^2\right], \quad (6a)$$

$$K_i = \frac{N_i^+ N_e}{N_i}; \quad i = 1, 2, \dots, p; \quad (7a)$$

$$K_j = \frac{N_j^- N_e}{N_j}; \quad j = 1, 2, \dots, n \quad (8a)$$

Здесь  $K_s$ ,  $K_i$  и  $K_j$  — константы равновесия соответствующих процессов;  $N_i$ ,  $N_j$ ,  $N_i^+$  и  $N_j^-$  — концентрации соответственно атомов  $A_i$  и  $B_i$  и ионов  $A_i^+$  и  $B_j^-$ ;  $\bar{m}$  — средний заряд частиц  $S$ .

Условие квазинейтральности рассматриваемой системы

$$\bar{m}N_s + \sum_{i=1}^p N_i^+ = N_e + \sum_{j=1}^n N_j^- \quad (9)$$

вместе с уравнениями (7a) и (8a) приводит к следующему выражению для среднего заряда частиц

$$\bar{m} = \frac{1}{N_s} \left[ N_e \left( 1 + \sum_{j=1}^n \frac{N_j^-}{K_j} \right) - \frac{1}{N_e} \sum_{i=1}^p K_i N_i^+ \right]. \quad (10)$$

Из (6a) видно, что для стабилизации концентрации электронов, т. е. для того, чтобы выполнялось равенство  $N_e = K_s$ , необходимо и дост.

\* Заметим, что для изолированной частицы изменение работы выхода за счет кулоновского поля, образованного зарядом частицы  $m$ , будет  $\Delta\varphi = me_0^2/r$ . В уравнении (4) степень ионизации  $N_e/N$  имеет смысл среднего заряда частиц  $\bar{m}$ , одна  $\Delta\varphi = (\bar{m} - 1/2) e_0^2/r$ . Появление члена  $(-e_0^2/2r)$  связано с распределением зарядов по закону (3).

но выполнение неравенства  $\left| \bar{m} - \frac{1}{2} \right| \ll \sigma^2$ . Подставляя в это неравенство выражение для  $\bar{m}$  [формула (10)], получим условие стабилизации электронной концентрации в виде

$$\left| \frac{K_s}{N_s} \left( 1 + \sum_{j=1}^n \frac{N_j}{K_j} \right) - \frac{1}{N_s K_s} \sum_{i=1}^p K_i N_i - \frac{1}{2} \right| \ll \frac{rkT}{e_0^2}, \quad (11)$$

откуда следует, что стабилизация концентрации электронов поддерживается тем лучше, чем больше размеры стабилизирующих частиц  $r$  и, вообще говоря, чем больше их концентрация  $N_s$ .

Механизм явления стабилизации, как это следует из формулы (10), заключается в том, что средний заряд  $\bar{m}$  стабилизирующих частиц изменяется таким образом, чтобы скомпенсировать изменение концентрации электронов, вызванное присутствием атомов  $A_i$  и  $B_j$ . Так, заряд  $\bar{m}$  растет с увеличением концентрации веществ  $B_j$ , поглощающих электроны, уменьшается при увеличении концентрации веществ  $A_j$ , являющихся источниками электронов.

Явление стабилизации концентрации электронов может иметь место, например, в углеводородных пламенах, вследствие присутствия в них микроскопических углеродных частиц, или в каких-либо других системах, если в них помимо прочих источников ионизации имеются ионы или тела, удовлетворяющие условию (11). В таких системах концентрация электронов не может быть изменена введением деионизирующих веществ, поглощающих электроны, и полностью определяется температурой и потенциалом ионизации стабилизирующих частиц, механизм ионизации которых рассмотрен в [3].

Авторы приносят искреннюю благодарность акад. В. К. Кондратьеву и С. Саясову за внимание к работе и интересное обсуждение результатов.

### Выводы

1. Ионизирующиеся субмикроскопические частицы оказывают стабилизирующее действие на электронную концентрацию в равновесной нейтральной системе, состоящей из частиц-стабилизаторов, электронов и атомов или молекул, являющихся источниками ( $A_i$ ) или поглотителями ( $B_j$ ) электронов.
2. При выполнении определенных условий [соотношение (11)] концентрация электронов не зависит от концентрации источников электронов и поглотителей электронов  $B_j$ . Электронная концентрация в такой системе целиком определяется температурой и потенциалом ионизации частиц-стабилизаторов и не может быть уменьшена введением деионизирующих веществ.
3. Физический смысл явления стабилизации заключается в том, что на поверхности стабилизирующих частиц образуется насыщенный электронный газ.
4. Механизм стабилизации сводится к изменению среднего заряда стабилизирующих частиц, компенсирующему изменение концентрации электронов за счет атомов  $A_i$  и  $B_j$ .

Поступила  
2.IV.1958

### ЛИТЕРАТУРА

- А. А. Аршинов, А. К. Мусин, Докл. АН СССР, 120, 747, 1958.  
 F. E. E. Einbinder, J. chem. Phys., 26, 948, 1957.  
 А. А. Аршинов, А. К. Мусин, Докл. АН СССР, 118, 461, 1958.



## PARTICLES AS STABILIZERS OF ELECTRON CONCENTRATION

A. A. Arshinov and A. K. Mustn

## Summary

From a consideration of the ionization equilibrium in a quasineutral system consisting of submicroscopic ionizing particles  $S$ , electrons and atoms or molecules that are sources ( $A_i$ ) or absorbers ( $B_j$ ) of electrons conditions have been established under which the electron concentration is independent of the concentration of the substances  $A_i$  and  $B_j$ .

It has been shown that when the conditions are fulfilled the electron concentration is completely determined by the temperature and by the ionization potential of the stabilizer particles  $S$  and cannot be lowered by the addition of electron absorbing substances.

The mechanism and physical meaning of the stabilization have been elucidated. Stabilization is due to the fact that change in the mean charge of the stabilizer particles compensates the change in electron concentration due to  $A_i$  and  $B_j$ , which is easily understood if one bears in mind that the electrons form a saturated «gas» over the surface of the particles  $S$ .

---

## ТЕРМОДИНАМИЧЕСКИЕ СВОЙСТВА ЖИДКИХ СПЛАВОВ СВИНЦА И ОЛОВА

Г. Ф. Воронин и А. М. Евсеев

Для сплавов свинца с оловом в литературе известны только теплоты смешения, которые были определены калориметрическими методами. Данных по энтропии и свободной энергии образования сплавов не имеется [4].

Нами было проведено полное исследование термодинамических свойств системы Pb — Sn в интервале 730—790° С методом измерения давлений насыщенных паров свинца, чтобы пополнить данные по термодинамике жидких сплавов и проверить некоторые теоретические соображения. Для нахождения основных термодинамических функций двухкомпонентной системы достаточно знать активность одного из компонентов в растворах разной концентрации при нескольких температурах. Активность компонента сплава  $a_i$  определяется отношением:

$$a_i = \frac{p_i}{p_i^0}, \quad (1)$$

$p_i$  — давление насыщенного пара данного компонента в растворе;  $p_i^0$  — давление насыщенного пара чистого компонента при той же температуре. Очевидно, что это отношение может быть заменено отношением двух величин, пропорциональных давлению насыщенного пара, и, в частности, при низких давлениях отношением скоростей испарения вещества из раствора при постоянстве площади испарения и других величин, определяющих скорость испарения, что вытекает из теории молекулярного потока.

Действительно, согласно формуле Кнудсена:

$$p = k \frac{\Delta G}{\Delta \tau} \sqrt{T}, \quad (2)$$

$\Delta G/\Delta \tau$  — скорость испарения вещества в вакуум;  $p$  — давление насыщенного пара вещества при температуре  $T$ ;  $k$  — коэффициент пропорциональности, зависящий от размеров и формы эффузионной камеры и от молекулярного веса испаряемого вещества. Так как при испарении вещества из одной и той же эффузионной камеры  $k$  сохраняет постоянное значение,

$$a_i = \frac{(\Delta G/\Delta \tau)_i}{(\Delta G/\Delta \tau)_i^0}. \quad (3)$$

Нами был использован простой метод измерения скорости испарения сплавов из растворов с применением непрерывного взвешивания.

В качестве эффузионной камеры служила кварцевая ампула весом 0,3 г и диаметром внутреннего отверстия 2,37 мм. Форма ампулы (рис. 1, 1) обеспечивала постоянство скорости испарения вещества во времени при постоянстве температуры, что было проверено на чистом свинце. Ампула с помощью тонкой медной проволоки подвешивалась к пружинным весам. На верхнем конце проволоки делались петля и горизонтальный ука-

затель положения нижнего конца пружины весов; последняя изготовлена из кварцевой нити (толщиной в 1 мм) и имела 15 витков с диаметром 25 мм. Чувствительность такой пружины 35 мм/г, максимальная нагрузка 1 г. Пружина подвешивалась к крючку стеклянного колпачка, который при помощи шлифа закрывал эвакуированную кварцевую трубку, помещенную в печь. Термопара 2 помещалась внутри кварцевой трубки внутри ампулы. В нижнюю часть шлифа вставлялась диафрагма 3, которая предохраняла пружину от конденсации на ней испаряющегося металла. Измерение температуры производилось при помощи платино-родиевой термопары и потенциометра типа ППТВ-1. Регулирование температуры осуществлялось с точностью 0,1°. Скорость испарения металла измерялась по скорости сжатия кварцевой пружины — положение конца пружины через определенные промежутки времени отмечалось при помощи катетометра с точностью отсчета 0,005 мм.

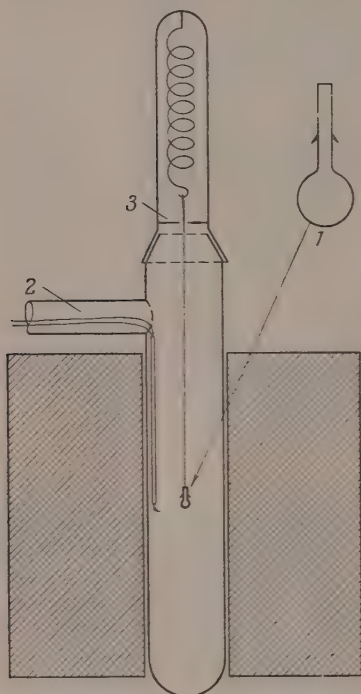


Рис. 1. Схема прибора для определения скорости испарения металлов

ном положении (отверстием вниз) и нагревалась на пламени горелки. После этого ампула промывалась горячей соляной кислотой. Как показывает опыт, для получения сходящихся результатов требуется предварительный прогрев новой ампулы при 700—800°С в течение пяти часов из-за изменения величины и формы отверстия.

В системе, изученной нами, летучим компонентом является свинец. Средний процентный состав сплава вычислялся по результатам взвешивания ампулы с компонентами сплава до опыта и с остатком сплава после опыта. Ввиду того что в отдельном опыте испарялось не более 0,01 г свинца, а навеска последнего в сплавах, даже с содержанием свинца 10 мол. %, составляла не менее 0,08 г, изменение состава сплавов в результате испарения свинца не превышало 2 мол. %.

Из данных об активностях свинца, определенных по формуле (3), были рассчитаны термодинамические функции системы Pb—Sn. В таблице приведены значения коэффициентов активности Pb и Sn, а на рис. 2 — интегральные теплоты смешения сплавов различного состава.

Как видно из хода интегральных теплот смешения в зависимости от концентрации в жидких сплавах, наши данные отличаются от данных И. Ваками [1], полученных непосредственно в калориметре. Ход кривой т

лаженные значения коэффициентов активности свинца и олова в сплавах Pb—Sn

$N_{Pb}$	1061° К		1030° К		1004° К	
	$f_{Pb}$	$f_{Sn}$	$f_{Pb}$	$f_{Sn}$	$f_{Pb}$	$f_{Sn}$
1,0	1,00	1,08	1,00	1,10	1,00	1,16
0,9	0,91	1,37	0,90	1,42	0,88	1,46
0,8	0,89	1,53	0,88	1,66	0,86	1,72
0,7	0,90	1,50	0,89	1,62	0,87	1,67
0,6	0,94	1,41	0,92	1,50	0,91	1,53
0,5	1,00	1,32	0,99	1,37	0,98	1,39
0,4	1,09	1,23	1,11	1,25	1,12	1,26
0,3	1,25	1,15	1,29	1,16	1,32	1,16
0,2	1,57	1,06	1,63	1,07	1,67	1,07
0,1	2,06	1,02	2,14	1,02	2,19	1,02
0,0	2,56	1,00	2,60	1,00	2,70	1,00

ты смешения более соответствует теплотам смешения твердых сплавов, данным Тайлера [3]. Это указывает на сходство молекулярного взаимодействия компонентов как в твердых, так и в жидких сплавах свинца с оловом. Таким образом можно вывести заключение о сохранении характера молекулярного взаимодействия при переходе из твердого в жидкое состояние. Действительно, сплавы Pb—Sn в твердом состоянии образуют большую область тектики на диаграмме состояний, что указывает на энергетическую невыгодность образования однородного твердого раствора. В жидком состоянии это явление также должно иметь место, судя по подобию кривых теплот смешения в зависимости от концентрации в твердом и жидком состоянии. Очевидно, в жидких сплавах не осуществляется молекулярная однородность именно в силу этого же энергетического соотношения.

В пользу положения о молекулярной однородности свидетельствует рентгенографическое исследование жидких сплавов; к выводу о молекулярной неоднородности в системе свинец—олово приходят также Е. Г. Швидковский [6].

Подобные же рассуждения можно привести к объяснению термодинамических свойств систем: Cd—Bi [7], Pb—Bi [8]. Для этих систем также характерно наличие эвтектики в твердой фазе, а следовательно, можно предположить наличие молекулярной неоднородности в жидком состоянии, чем и объясняется сложный ход коэффициента активности в этих системах, как и в случае системы свинец—олово.

По-видимому, наши данные для теплот смешения более достоверны, чем данные Каваками [1], так как пересчет данных Самсон—Гиммельберна [4] при учете того, что теплота образования твердых сплавов (по Тайлеру [3]) не равна нулю, дает кривую, симбатную нашей кривой.

### Выводы

1. Разработан простой метод определения активностей металлов в жидких сплавах, являющийся видоизмененным методом Кнудсена для определения давления паров.

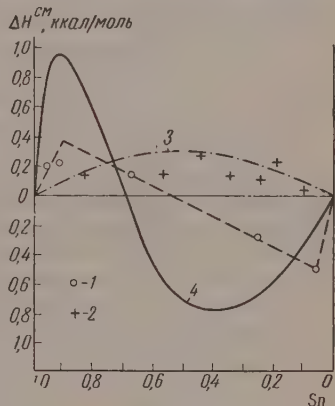


Рис. 2. Интегральная теплота смешения системы Pb—Sn: 1 — по данным [3] при 20°С; 2 — по данным [4] при 500°С; 3 — по данным [1] при 350°С; 4 — наши данные при 750°С



2. Определены термодинамические активности свинца в ряде сплавов системы свинец — олово и рассчитаны термодинамические функции для этих сплавов.

3. Сделано заключение о молекулярной неоднородности в жидких сплавах свинец — олово.

Московский государственный  
университет им. М. В. Ломоносова

Поступила  
[2.X.1957]

#### ЛИТЕРАТУРА

1. M. Kawakami, Z. anorgan. Chem., 167, 345, 1927.
2. A. Magnus, M. Maassheimer, Z. phys. Chem., 121, 267, 1926.
3. J. Taylor, Philos. Mag. J. Sci., 5, 50, 37, 1900.
4. H. Samson-Himmelsjöerna, Z. Metallkunde, 28, 197, 1936.
5. В. И. Данилов, Н. В. Радченко, Ж. эксперим. и теор. физ., 7, 118, 1937.
6. Е. Г. Шилковский, Некоторые вопросы вязкости расплавленных металлов, ГИТТЛ, М., 1955, стр. 184.
7. А. Б. Никольская, Я. И. Герасимов, Ж. физ. химии, 28, 713, 1954.
8. S. C. Wagner, G. Engelhardt, Z. phys. Chem. A, 159, 251, 1937.

#### THERMODYNAMIC PROPERTIES OF LIQUID LEAD AND TIN ALLOYS

G. F. Voronin and A. M. Evseev (Moscow)

#### Summary

The thermodynamic properties of liquid lead-tin alloys have been studied in the temperature range 730–720°C. by the effusion method using a continuous weight-spring balance. The volatile component was lead. The activity of the latter in the alloy was found from the ratio of the rate of compression of the spring balance on vaporization from the alloy and from pure lead. Based on the similarity in shape of the curves for the heat of mixing and of analogous curves for solid alloys it has been inferred that the lead-tin alloys in the liquid state possess a microheterogeneous structure.

# ИЗУЧЕНИЕ КОРРОЗИИ МЕТАЛЛОВ ПРИ ПОМОЩИ ТЯЖЕЛОГО ИЗОТОПА КИСЛОРОДА

## II. ВЛАЖНАЯ АТМОСФЕРНАЯ КОРРОЗИЯ КАДМИЯ

*А. С. Фоменко, Т. М. Абрамова и И. Л. Ганкина*

В предыдущих статьях [1, 2] были изложены результаты изучения механизма коррозии железа и магния при помощи тяжелого изотопа кислорода. Найденное в процессе влажной атмосферной коррозии этих металлов (пределение изотопов кислорода между водой и продуктами коррозии и разном начальном изотопном составе воды и газовой фазы) подтверждает электрохимический механизм с кислородной деполяризацией. Для алюминия и цинка этот способ изучения коррозии оказался неприменим из-за вторичного обмена кислорода продуктов коррозии с водой, приводящего к уравниванию их изотопного состава.

В настоящей работе изучена влажная атмосферная коррозия кадмия. Так как вторичный обмен кислорода между продуктами коррозии и водой может исказить распределение изотопов кислорода, то предварительно был изучен обмен  $\text{Cd}(\text{OH})_2$  с водой. Мы нашли, что за 60 час. свежесозданная гидроксид кадмия, полученная при взаимодействии  $\text{Cd}(\text{NO}_3)_2$  с  $\text{NaOH}$ , не обменивает своего кислорода с водой.

Данные по обмену продуктов коррозии кадмия с тяжелоокислородной водой приведены в табл. 1.

Таблица 1

Результаты опытов обмена кислорода воды и гидроксид кадмия

Навеска, г		Длительность опыта, часы	Содержан. $\text{O}^{18}$ в $\text{H}_2\text{O}^{18}$ в ат. %		
$\text{H}_2\text{O}^{18}$	$\text{Cd}(\text{OH})_2$		до обмена	после обмена	рассчитано для равновесн. обмена
1,30	1,01	60	1,24	1,25	1,09
1,31	1,00	60	1,25	1,25	1,09

Попытки изучить механизм коррозии на стружках кадмия марки О не привели к успеху, так как металл содержал примеси кислорода (окислов, искажавших изотопный состав воды от восстановления продуктов коррозии). По этой причине в контрольных опытах с водой и газом — тяжелым кислородом, имеющими одинаковый избыток  $\text{O}^{18}$ , продукты коррозии содержали меньше  $\text{O}^{18}$ , чем вода и кислород. Удалить окислы кадмия длительным восстановлением в токе водорода не удалось. Поэтому дальнейшие опыты проводились с кадмиевым зеркалом, полученным возгонкой в вакууме порошка кадмия при температуре  $\sim 500^\circ$ . Для получения кадмия его окись, приготовленная прокаливанием при  $600\text{--}700^\circ$  окислого кадмия, восстанавливалась в токе сухого, очищенного водорода. Зеркало осаждалось на холодных стенках той же кварцевой трубки, в которой велись коррозионные опыты. Эта трубка была снабжена вакуумом и двумя кранами, через которые она эвакуировалась и заполня-

лась дозированным количеством электролита (3%-ный раствор NaCl) и кислородом до атмосферного давления. По окончании опыта вода удалялась отгонкой в вакууме. Продукты коррозии в том же сосуде высушивались, прокаливались до 300° и восстанавливались в токе сухого водорода, свободного от кислорода. Содержание  $O^{18}$  в полученной воде и в газообразном кислороде определялось масс-спектрометрическим методом с точностью до 3% [3]. Коррозионные опыты велись как в природной воде в атмосфере тяжелого кислорода, так и в тяжелоокислородной воде в атмосфере природного кислорода. Для ускорения коррозии вода бралась в количествах, достаточных для покрытия поверхности металла тонкой пленкой электролита. Результаты коррозионных опытов представлены в табл.

Таблица 2

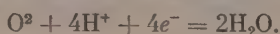
## Коррозия кадмия в 3 %-ном растворе NaCl

№ опыта	Время опыта час	Содержание O <sup>18</sup> в ат. %			
		в исходной воде	в исходном газообразном кислороде	в конечной воде	в воде от гид- рирования продуктов коррозии
1	48	$H_2O^{18} + O_2^{18}$ 1,23	1,20	—	1,23
2	43	$H_2O^{18} + O_2^{18}$ 1,27	0*	1,23	0,84
3	45	1,25	0	1,24	0,99
4	48	1,27	0	1,22	1,01
5	48	1,27	0	1,25	0,99
6	72	1,25	0	1,19	1,06
7	96	1,25	0	1,24	1,02
8	43	$H_2O^{18} + O_2^{18}$ 0*	1,15	0,28	0,36
9	44	0	1,15	0,24	0,30
10	44	0	1,15	0,26	0,30
11	44	0	1,15	0,28	0,36
12	48	0	1,15	0,24	0,29
13	70	0	1,15	0,28	0,35

\* Природный состав.

Наблюдаемые различия изотопного состава воды и продуктов коррозии лежат вне пределов ошибок масс-спектрометрических измерений.

Опыт № 1 с водой и кислородом одинакового изотопного состава был поставлен как контрольный. В опытах с водой и кислородом с разным содержанием  $O^{18}$  (опыты № 2—13) наблюдалось изменение изотопного состава воды в сторону приближения его к составу газовой фазы. В опытах  $H_2O^{18} + O_2^{18}$  вода обеднялась изотопом  $O^{18}$ , а в опытах с  $H_2O^{16} + O_2^{18}$  она им обогащалась. Вода от гидрирования продуктов коррозии отличалась по содержанию тяжелого изотопа кислорода от конечной воды. В опытах первой серии (опыты № 2—7) она содержала меньше, а в опытах второй серии (опыты № 8—13) — больше  $O^{18}$ , чем конечная вода. Изменение изотопного состава воды в ходе коррозии согласуется с электрохимическим механизмом коррозии металлов с кислородной деполяризацией [4]. Этот механизм также нашли Файткнехт и Вилер [5] для коррозии кадмия в растворах нейтральных солей и Я. М. Колотыркин и Л. А. Медведев — в растворах кислых солей. При электрохимическом механизме с кислородной деполяризацией на катодных участках металлической поверхности идет восстановление кислорода до воды (или гидроксильного иона — в зависимости от pH среды) по суммарному уравнению



В момент образования воды ее кислород имеет изотопный состав газовой фазы. Эта вода, смешиваясь с исходной, изменяет изотопный состав следней в направлении приближения к составу газовой фазы. При этом хемизм продукты коррозии не могут содержать меньше  $O^{18}$ , чем конечная вода (в опытах с  $H_2O^{18} + O_2^{16}$ ), или больше, чем конечная вода (в опытах с  $H_2O^{16} + O_2^{18}$ ). Поскольку вторичный обмен отсутствует, их изотопный состав должен быть средним между исходной и конечной водой [1]. И химическом механизме и отсутствии обмена изотопный состав воды должен изменяться в ходе коррозии, а первичные продукты ее (окислы) должны иметь состав газовой фазы или половину его при дальнейшей их тратации. Поэтому результаты, полученные нами для кадмия, должны быть объяснены тем, что последний корродирует одновременно по обоим хемизмам: по электрохимическому с кислородной деполяризацией и по химическому.

Нами были также предприняты попытки изучить тем же методом хемизм коррозии меди, которая, согласно литературным данным, в атмосферных условиях может корродировать по химическому механизму. Предварительно был изучен обмен свежобразованной гидроокиси меди с водой. Обмен  $Cu(OH)_2$ , полученной из  $CuSO_4$  и  $NaOH$ , с  $H_2O^{18}$  давал через час. одинаковое содержание  $O^{18}$  в гидроокиси и в воде, так как за это время он доходил до равновесного. В этих условиях оба механизма (электрохимический и химический) должны дать один и тот же результат, что означает возможность применения того же изотопного метода для изучения механизма коррозии меди.

Авторы признательны акад. А. И. Бродскому за помощь в работе.

### Выводы

1. Изучено распределение изотопов кислорода между водой, газозавным кислородом и окислами при влажной атмосферной коррозии меди в воде и газообразном кислороде разного изотопного состава.
2. Результаты опытов коррозии кадмия в 3%-ном растворе  $NaCl$  в присутствии газообразного кислорода обнаруживают одновременное протекание коррозии по электрохимическому и химическому механизму.
3. За 60 час. не обнаружено обмена кислорода между  $Cd(OH)_2$  и водой.
4. За 48 час. обмен кислорода  $Cu(OH)_2$  с водой доходит до равновесия, что позволило применить ту же методику для изучения механизма коррозии меди.

Академия наук УССР  
Институт физической химии  
им. Л. В. Писаржевского  
Киев

Поступила  
21.III.1958

### ЛИТЕРАТУРА

- И. Бродский, А. С. Фоменко, Т. М. Абрамова, Ж. физ. химии, 30, 676, 1956.
- С. Фоменко, Т. М. Абрамова, И. Л. Ганкина, Тр. IV совещания по электрохимии, Изд. АН СССР, 299, 1959.
- И. Бродский, С. Г. Демиденко, Л. Л. Стрижак, В. Р. Лещебле, Ж. аналит. химии, 10, 256, 1955.
- Д. Томашов, Коррозия металлов с кислородной деполяризацией, Изд-во АН СССР, 1947; Г. В. Акимов, Основы учения о коррозии, Металлургиздат, 1946; Н. Д. Томашов, Теория атмосферной коррозии металлов, Сб. «Атмосферная коррозия», Металлургиздат, 1951, стр. 10; А. Н. Фрумкин, Э. С. Багоцкий, З. А. Иоффа и Б. Н. Кабанов, Кинетика электрохимических процессов, Изд-во МГУ, 1952; А. Н. Фрумкин, Тр. Совещания по электрохимии, Изд-во АН СССР, 1953, стр. 21.
- Feitknecht u Wuyler, Helv. chim. acta, 34, 2269, 1951.
- М. Колотыркин и Л. А. Медведева, Ж. физ. химии, 27, 1344, 1953; 29, 1477, 1955.
- И. Красильщиков и В. А. Андреева, Ж. физ. химии, 20, 199, 1946; Ю. Р. Эванс, Коррозия, пассивность и защита металлов, ГОНТИ, 1941.



## STUDIES OF METALLIC CORROSION WITH THE AID OF THE HEAVY OXYGEN ISOTOPE

## II. MOIST ATMOSPHERIC CORROSION OF CADMIUM

*A. S. Fomenko, T. M. Abramova and I. L. Gankina (Kiev)*

## Summary

The heavy oxygen isotope has been used to study the moist atmospheric corrosion of cadmium.

The corrosion experiments were carried out on a cadmium mirror either in natural water in a heavy oxygen atmosphere or in heavy oxygen water in a natural oxygen atmosphere (in 3% NaCl solution). The isotope analysis of oxygen was made with the aid of a mass spectrometer. The  $O^{18}$  distribution between the water, gaseous oxygen and corrosion products bears witness to the fact that cadmium corrodes according to two concurrent mechanisms, namely the electrochemical mechanism with oxygen depolarization and the chemical mechanism.

---

## О КРИСТАЛЛИЗАЦИИ ТВЕРДОГО РАСТВОРА

М. В. Пикунов

Кристаллизация твердого раствора в неравновесных условиях изучена достаточно подробно [1], особенно применительно к зонной перекристаллизации [2, 3]. Полученные выводы аналогичны основным положениям равновесного испарения жидких растворов [4].

Главные положения механизма неравновесной кристаллизации состоят в том, что диффузионное взаимодействие между слоями выпавших кристаллов и между кристаллами и жидкостью отсутствует, и остающаяся жидкость в каждый момент кристаллизуется как самостоятельный сплав.

Из оригинальных работ, посвященных исследованию равновесной кристаллизации твердого раствора заслуживают внимания работы [5, 6] \*.

Н. М. Витторф [5], разбирая процесс равновесной кристаллизации указывает, что изменение состава кристаллов по линии солидуса может совершаться или путем постепенного растворения первоначально выделившихся кристаллов и появления новых или же легкоплавких кристаллов в постоянно возрастающем количестве, или же благодаря обогащению выпавших уже кристаллов веществом компонента  $A$  (легкоплавкого) путем его диффузии из жидкой фазы в кристаллическую.

Таким образом, Н. М. Витторф выдвигает два предположения, не отдавая предпочтения какому-либо из них. И. В. Горбачев [6] приходит к весьма интересным и в общем верным выводам относительно процесса равновесной кристаллизации. К сожалению, автор допускает ошибку при рассмотрении неравновесной кристаллизации, а также ошибочно доказывает, что изменение состава выпавших кристаллов (при неравновесной кристаллизации) может совершаться лишь путем односторонней диффузии легкоплавкого компонента из кристаллов в жидкость.

Разберем кристаллизацию сплава  $c_0$  (рис. 1) в равновесных условиях. Примем, что линии солидуса и ликвидуса выражаются прямыми соответственно  $c_{\text{тв}}$  и  $c_{\text{ж}}$ . Определим состав жидкости  $c_{\text{ж}}$ , исчезающей в каждый температурный момент в процессе охлаждения. При температуре количество жидкости было  $m_{\text{ж},p}$ , жидкость имела состав  $c_{\text{ж}}$ . При температуре  $t - dt$  количество жидкости уменьшилось на  $dm_{\text{ж},p}$ , а ее состав стал равным  $c_{\text{ж}} - dc_{\text{ж}}$ . Это произошло за счет исчезновения жидкости в количестве  $dm_{\text{ж},p}$  состава  $c_{\text{ж}}$ .

Составим материальный баланс по компоненту  $B$  в жидкости:

$$\text{было} \quad m_{\text{ж},p} c_{\text{ж}}; \quad (I)$$

$$\text{стало} \quad (m_{\text{ж},p} - dm_{\text{ж},p}) \cdot (c_{\text{ж}} - dc_{\text{ж}}); \quad (II)$$

$$\text{ушло} \quad dm_{\text{ж},p} \cdot c_{\text{ж}}; \quad (III)$$

$$(I) - (III) = (II);$$

$$m_{\text{ж},p} c_{\text{ж}} - dm_{\text{ж},p} c_{\text{ж}} = (m_{\text{ж},p} - dm_{\text{ж},p}) (c_{\text{ж}} - dc_{\text{ж}}). \quad (1)$$

\* Подробный обзор работ по равновесной и неравновесной кристаллизации можно найти в [7].

Сделав приведение подобных членов и отбросив величину  $dm_{ж.р}dc_{ж.р}$  как имеющую второй порядок малости, имеем

$$c_x = c_{ж.р} + m_{ж.р} \frac{dc_{ж.р}}{dm_{ж.р}} \quad (2)$$

Так как

$$c_{ж.р} = nt \text{ и } c_{тв} = qt,$$

то

$$m_{ж.р} = \frac{c_{тв} - c_0}{c_{тв} - c_{ж.р}} = \frac{qt - c_0}{qt - nt} \quad (3)$$

и

$$dm_{ж.р} = \frac{(qt - nt) q dt - (qt - c_0) (q - n) dt}{(qt - nt)^2} = \frac{c_0 dt}{(q - n)t^2} \quad (4)$$

Вставляя эти значения в (2), получаем

$$c_x = nt + \frac{qt - c_0}{qt - nt} \frac{ndt}{c_0 dt} = \frac{c_0 nt + n(qt - c_0)t}{c_0} = \frac{nqt^2}{c_0} \quad (5)$$

Как видно, в данном случае  $c_x$  представляет собой параболу (в общем случае кривую), проходящую через точки  $a$  и  $e$  (рис. 1). В

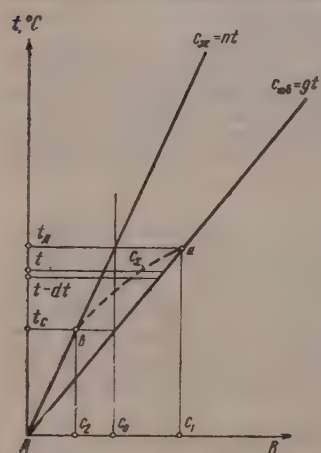


Рис. 1. Диаграмма состояния  $A-B$ . Начало координат находится в точке плавления компонента  $A$

мом деле,  $c_x$  при  $t = t_{л}$  равна  $c_x = \frac{nqt_{л}^2}{c_0}$ , зная  $c_0$  через  $nt_{л}$ , получаем  $c_x = \frac{nqt_{л}^2}{nt_{л}} = qt_{л} = c_1$ . Точно так же при  $t = t_c$ ,  $c_x = \frac{nqt_c^2}{c_0}$

$$c_0 = qt_c, \quad c_x = \frac{nqt_c^2}{qt_c} = nt_c = c_2.$$

Кривая  $c_x$  нанесена на рис. 1 пунктиром.

Выражение (5) можно получить также используя уравнение материального баланса компонента  $B$  в твердой фазе.

Для того чтобы выяснить физический смысл  $c_x$ , определим ее другим путем. Прежде всего необходимо вывести уравнение количества жидкости при неравновесной кристаллизации (см. [1—4]). При кристаллизации сплава в неравновесных условиях к моменту, когда температура достигнет значения  $t$  (рис. 1), количество жидкости состав

$m_{ж.р}$ . Так как при совершенно неравновесных условиях взаимодействия жидкой и твердой фаз отсутствует, то при снижении температуры  $dt$  произойдет лишь выпадение кристаллов состава  $c_{тв}$ , а количество жидкости уменьшится на  $dm_{ж.р}$ . При этом оставшаяся жидкость, обогатившись легкоплавким компонентом  $A$ , изменит свой состав до  $c_{ж.р} - dc_{ж.р}$ . Следующий этап кристаллизации наступит тогда, когда температура жидкости, понизившись, вновь достигнет ликвидуса; таким образом, состав остающейся жидкости при неравновесной кристаллизации меняется так и при равновесной, по линии ликвидуса.

Составляем уравнение материального баланса по компоненту В в кюсти:

было

$$m_{\text{ж.н}} c_{\text{ж}}; \quad (\text{I}')$$

стало

$$(m_{\text{ж.н}} - dm_{\text{ж.н}})(c_{\text{ж}} - dc_{\text{ж}}); \quad (\text{II}')$$

ушло

$$dm_{\text{ж.н}} c_{\text{ТВ}}; \quad (\text{III}')$$

$$m_{\text{ж.н}} c_{\text{ж}} - dm_{\text{ж.н}} c_{\text{ТВ}} = (m_{\text{ж.н}} - dm_{\text{ж.н}})(c_{\text{ж}} - dc_{\text{ж}}).$$

Освобождаясь от подобных членов и  $dm_{\text{ж.н}} dc_{\text{ж}}$ , имеем

$$\frac{dm_{\text{ж.н}}}{m_{\text{ж.н}}} = \frac{dc_{\text{ж}}}{c_{\text{ТВ}} - c_{\text{ж}}}. \quad (6)$$

авляя значения  $c_{\text{ж}}$ ,  $c_{\text{ТВ}}$ ,  $dc_{\text{ж}}$ , получаем

$$\frac{dm_{\text{ж.н}}}{m_{\text{ж.н}}} = \frac{ndt}{qt - nt} = \frac{n}{q-n} \frac{dt}{t}.$$

Интегрирование дает

$$\ln m_{\text{ж.н}} = \frac{n}{q-n} \cdot \ln t + A.$$

$t = t_{\text{л}}$ ,  $m_{\text{ж.н}} = 1$ , следовательно,

$$0 = \frac{n}{q-n} \ln t_{\text{л}} + A; \quad A = -\frac{n}{q-n} \ln t_{\text{л}};$$

$$\ln m_{\text{ж.н}} = \frac{n}{q-n} \ln \frac{t}{t_{\text{л}}}.$$

ода

$$m_{\text{ж.н}} = \left( \frac{t}{t_{\text{л}}} \right)^{n/(q-n)}. \quad (7)$$

дифференцировав (7), получаем выражение  $dm_{\text{ж.н}}$  в явном виде:

$$dm_{\text{ж.н}} = \frac{n}{q-n} \frac{t^{\frac{n}{q-n}-1}}{t_{\text{л}}^{n/(q-n)}} dt. \quad (8)$$

Вернемся к рассмотрению равновесной кристаллизации. Изменение ава и количества жидкой фазы при изменении температуры от  $t$  до  $dt$  можно представить в виде двух последовательных этапов. Первый этап состоит в том, что из жидкости выпадают кристаллы состава в количестве  $dm'$ , т. е. процесс идет так же, как в случае неравновесной кристаллизации, при этом состав жидкости изменяется до  $-dc_{\text{ж}}$ . После этого происходит второй этап, состоящий в диффузионном выравнивании состава выпавших кристаллов и диффузионном взаимодействии между этими кристаллами и жидкостью. В результате этого взаимодействия порция жидкости в количестве  $dm''$  состава  $c_{\text{ж}} - dc_{\text{ж}}$  соединяется к твердой фазе. В итоге, очевидно, должно быть

$$dm' + dm'' = dm_{\text{ж.п}}. \quad (9)$$

В формуле (9)  $dm_{\text{ж.п}}$  определяется соотношением (4). Выясним характер взаимодействия между старыми и вновь выпадающими слоями кристаллов, а также между твердой и жидкой фазами. На рис. 2 изоб-



ражена кривая термодинамического потенциала твердого раствора системы  $A-B$  при температуре  $t_m$ . При этой температуре состав сосуществующих с жидкостью кристаллов определяется точкой  $m$ . Касательная, проведенная к кривой  $Z_A M N Z_B$  в точке  $M$ , будет являться также касательной к кривой термодинамического потенциала жидких растворов (на рисунке не показана) [8]. Как известно, химические потенциалы компонентов  $A$  и  $B$  в твердом растворе состава  $m$  определяются величиной отрезков  $PT$  и  $QS$ , отсекаемых касательной  $TMS$  на ординатах чистых компонентов [9, 10].

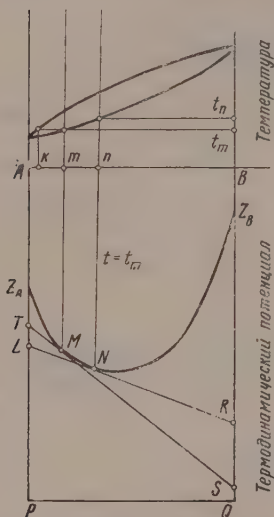


Рис. 2. Кривая термодинамического потенциала твердых растворов системы  $A-B$  при температуре  $t_m$

Потенциал компонента  $A$  в растворе состава  $n$  меньше, чем у состава  $m$ . Поскольку при температуре  $t_m$  в сосуществующем жидком растворе состава  $k$  химические потенциалы компонентов одинаковы с таковыми твердого раствора состава  $m$  (именно поэтому они и сосуществуют), то все сказанное относительно взаимодействия твердого раствора состава  $m$  с твердым раствором состава  $n$  справедливо для взаимодействия жидкости состава  $k$  с кристаллами состава  $n$ . Таким образом, выяснено, что диффузионное взаимодействие между расплавом и кристаллами проявляется в том, что из кристаллов в жидкость выходят атомы тугоплавкого компонента, а в противоположном направлении движутся атомы легкоплавкого компонента. При этом процессе состав твердой фазы достигает равновесного, а количество ее увеличивается на порцию жидкости, которая в результате диффузионного обмена изменяла свой состав от  $c_{жн} - dc_{жн}$  до  $c_{тв} - dc_{тв}$ , и, естественно, затвердела. Очевидно, что это количество жидкости и есть  $dm''$  в формуле (9).

Определим количества  $dm'$  и  $dm''$  в формуле (9).

По определению  $dm'$  есть то количество кристаллов, которое выделяется в сплаве, если он с температуры  $t$  до  $t - dt$  кристаллизует в неравновесных условиях. Поэтому  $dm'$  нельзя заменить формулой, которая справедлива для случая, когда сплав кристаллизуется целиком в равновесных условиях. Член  $dm'$  равен значению  $dm_{ж,н}$  в (6), вместо  $m_{ж,н}$  — неравновесного количества жидкости — следует использовать  $m_{ж,р}$  — равновесное количество жидкости, так как к рассматриваемому

сохранился более высокотемпературный состав  $n$ , то его потенциал будет определяться точкой  $N$ , а химические потенциалы компонентов будут определяться, в соответствии с предыдущим, отрезками  $PL$  и  $QR$ . Поскольку, как известно, кривая термодинамического потенциала всегда обращена выпуклостью вниз, во всех случаях будет следующее соотношение величин отрезков, отсекаемых касательными:  $QR > QS$  и  $PL < PT$ . Иначе говоря, все химический потенциал тугоплавкого компонента  $B$  будет больше по величине в более высокотемпературном растворе, чем в растворе, равновесном для более низкой температуры; химический потенциал легкоплавкого компонента  $A$  во всех случаях у более высокотемпературных растворов будет меньше, чем у низкотемпературных.

Из вышеизложенного следует, что диффузионное взаимодействие между составами  $m$  и  $n$  должно протекать таким образом, что тугоплавкий компонент  $B$  будет переходить из состава  $n$  в состав  $m$ , так как при этом уменьшается его химический потенциал. Легкоплавкий компонент  $A$  должен переходить из состава  $m$  в состав  $n$ , так как химический

менту количество жидкости было действительно равновесным. Итак имеем:

$$dm' = \frac{m_{ж.р} dc_{ж}}{c_{тв} - c_{ж}}. \quad (10)$$

Для определения  $dm''$  необходимо составить уравнение материального баланса компонента  $B$  в кристаллах до диффузионного взаимодействия жидкостью и после него, при этом количество  $dm'$  можно не учитывать, так как его состав является для  $t - dt$  равновесным.

Было

$$m_{тв} c_{тв}; \quad (I'')$$

прибавилось

$$dm'' (c_{ж} - dc_{ж}); \quad (II'')$$

стало

$$(m_{тв} c_{тв} + dm'' (c_{ж} - dc_{ж})); \quad (III'')$$

$$(I) + (II) = (III)$$

$$m_{тв} c_{тв} + dm'' (c_{ж} - dc_{ж}) = (m_{тв} + dm'') (c_{тв} - dc_{тв}).$$

После преобразований получаем:

$$dm'' = \frac{m_{тв.р} dc_{тв}}{c_{тв} - c_{ж}}; \quad (11)$$

Подставляя (10) и (11), получаем

$$\begin{aligned} dm' + dm'' &= \frac{m_{ж.р} dc_{ж}}{c_{тв} - c_{ж}} + \frac{m_{тв.р} dc_{тв}}{c_{тв} - c_{ж}} = \\ &= \frac{1}{qt - nt} \left( \frac{qt - c_0}{qt - nt} ndt + \frac{c_0 - nt}{qt - nt} qdt \right) = \frac{c_0 dt}{(q - n) t^2}. \end{aligned} \quad (12)$$

Как видно, (12) и (4) равны между собой; следовательно, изложенный механизм является правильным. Следует отметить, что  $dm'$  и  $dm''$  представляют собой  $i_{распада}$  и  $i_{взаимодействия}$  по И. В. Горбачеву [6], но он получает их несколько иным путем.

Теперь определим усредненный состав  $c_y$  вещества, переходящего из жидкости в кристаллы путем вышеуказанного процесса. За первый этап перешло  $dm'$  состава  $c_{тв} - dc_{тв}$ ; за второй этап —  $dm''$  состава  $c_{ж} - dc_{ж}$ . Следовательно:

$$c_y = \frac{dm' (c_{тв} - dc_{тв}) + dm'' (c_{ж} - dc_{ж})}{dm' + dm''}.$$

Вставляя соответствующие значения из формул (10), (11), (12), отбрасывая величины высших порядков малости, получаем

$$c_y = \frac{\frac{(qt - c_0)}{(qt - nt)^2} nqtdt + \frac{(c_0 - nt)}{(qt - nt)^2} nqtdt}{\frac{c_0 dt}{(q - n) t^2}} = \frac{nqt^2}{c_0}. \quad (13)$$

Поскольку  $c_x = c_y$  (см. [5]), можно считать доказанным, что  $c_x$  представляет собой усредненный состав вещества, уходящий в каждый температурный момент из жидкости и присоединяющийся к кристаллам в режиме равновесной кристаллизации.

Из этого следует, что  $\int_{t_c}^{t_l} c_x dm_{кр}$  должен быть равен  $c_0$ . В самом деле, вставляя значение  $c_x$  и  $dm_{кр}$  из формул (6) и (4), имеем

$$\int_{t_c}^{t_l} \frac{nq t^2}{c_0} \frac{c_0 dt}{(q-n)t^2} = \frac{nq}{q-n} \int_{t_c}^{t_l} dt = \frac{nq(t_l - t_c)}{q-n}.$$

Так как  $nt_l = c_0$  и  $qt_c = c_0$ , то

$$\int_{t_c}^{t_l} c_x dm_{кр} = \frac{nqt_l - nqt_c}{q-n} = \frac{c_0q - c_0n}{q-n} = c_0.$$

### Выводы

Показано, что диффузионный обмен между жидкостью и кристаллами в ходе равновесной кристаллизации твердого раствора состоит из перехода компонента, повышающего точку ликвидуса, из кристаллов в жидкость, и перехода компонента, понижающего точку ликвидуса, из жидкости в кристаллы. Определен средний состав вещества, уходящего из жидкости и присоединяющегося к кристаллам (кривая  $c_x$ ).

Институт цветных металлов  
и золота им. М. И. Калинина  
Москва

Поступила  
24. III. 1958

### ЛИТЕРАТУРА

1. Д. А. Петров. Вопросы теории сплавов алюминия, Металлургиздат, 1955, стр. 10—24.
2. Германий, Сборник переводов, ИИЛ, 1955, стр. 92.
3. Методы получения чистых металлов, ИИЛ, 1957, стр. 61.
4. А. М. Трегубов. Основные начала перегонки и ректификации, ГОНТИ Баку — Москва, 1938, стр. 132—133.
5. Н. М. Витторф. Учение о сплавах, НХТИ, Ленинград, 1927, стр. 61.
6. И. В. Горбачев. О ходе кристаллизации твердых растворов. Тр. Дальневост. политех. ин-та, вып. 25 и 26, 1941.
7. И. И. Новиков. Диссертация. Московский институт цветных металлов и золота им. М. И. Калинина, 1951 г.
8. А. Б. Млодзеевский. Теория фаз. ОНТИ, М.—Л., 1937.
9. И. Д. Ван-дер-Ваальс — Ф. Констамм. Курс термостатики, часть I. ОНТИ, 1936, стр. 432.
10. К. Вагнер. Термодинамика сплавов, Металлургиздат, 1957, стр. 17.

### ON CRYSTALLIZATION OF A SOLID SOLUTION

M. V. Pikunov (Moscow)

#### Summary

The equilibrium crystallization of a solid solution is usually described as the sum of two processes: a) Precipitation of the solid along the solidus and 2) interaction between the precipitated solid solution and the liquid. With respect to the latter process either nothing is said (D. A. Petrov) or two alternatives are proposed (N. M. Vittorff) or, lastly, it is erroneously asserted that only diffusion of the high melting component from the crystals to the liquid takes place (I. V. Gorbachev).

In the present investigation it is shown that the interaction is manifested in the transition of the high melting (liquidus point raising) component from the crystals to the liquid with simultaneous transition of the low melting (liquidus point lowering) component from the liquid to the crystals. It has also been shown that the mean composition of the substance passing from the liquid to the crystals during equilibrium crystallization is described by a curve passing between the solidus and liquidus (curve  $c_x$ ).

О РОЛИ ПОВЕРХНОСТИ В РЕАКЦИИ ТЕРМИЧЕСКОГО  
РАЗЛОЖЕНИЯ ПРОПАНА

В. А. Полторак, Л. Я. Лейтис и В. В. Воеводский

Реакция термического разложения углеводородов тормозится добавкой различных ингибиторов (NO, пропилен, высшие олефины). Путем дозирования ингибитора можно подавить значительную часть реакции, однако полного подавления процесса в присутствии ингибитора не наблюдается. Скорость остаточной реакции при использовании различных ингибиторов одинакова. На основании этих данных Гиншельвуд [1] предполагает, что процесс термического разложения углеводородов осуществляется двумя параллельным механизмам — цепному, который полностью подавляется в присутствии ингибитора, и молекулярному.

Эта точка зрения не может быть согласована с результатами опытов крекингу углеводородов в присутствии дейтеросодержащих молекул. При проведении крекинга смесей углеводородов с дейтерием [2, 3] или смесями полностью легкого и полностью тяжелого углеводородов [4] образуются молекулы продукта реакции, содержащие как H, так и D атомы. Скорость обмена продуктов не зависит от присутствия NO. Образование побочных продуктов можно рассматривать как указание на наличие в реакции свободных радикалов.

Представление о том, что и в присутствии ингибитора реакция термического разложения углеводородов идет с участием свободных радикалов, рассматривалось целым рядом авторов [5—7]. Для объяснения неполного торможения реакции ингибитором предполагалось, что ингибитор участвует не только в обрыве, но и в зарождении цепей. Так, например, предполагалось, что обрыв цепи происходит в объеме при реакции радикала с ингибитором, а зарождение цепей — при взаимодействии ингибитора с исходным углеводородом [6, 7] — или что зарождение цепей осуществляется путем разложения образующегося соединения молекулы ингибитора с радикалом [5]. При таком механизме, однако, величина скорости остаточной реакции будет определяться отношением констант скоростей цепной обрыва и зарождения при участии данного ингибитора, и, исходя из предложенной схемы, нет никаких оснований ожидать, что для разных ингибиторов остаточная скорость окажется одинаковой, как это наблюдается на опыте.

Реакции термического разложения углеводородов рассматриваются в литературе как чисто гомогенные процессы. В одной из ранних работ по крекингу углеводородов показано, что скорость крекинга *n*-бутана по отношению к поверхности катализатора одинакова при использовании сосудов из кварца, железа и никеля; в случае сосуда из монель-металла скорость гораздо больше, что авторы объясняют наложением каталитического процесса. Случаев уменьшения скорости реакции в результате изменения поверхности сосуда в литературе не отмечалось. Занимаясь специально вопросом влияния поверхности на скорость крекинга углеводородов, Гиншельвуд и его сотрудники нашли, что скорость термического разложения 2-метилпентана (530° С, 1 мм рт. ст.) не зависит от изменения отношения  $S/V$  ( $S$  — поверхность сосуда,  $V$  — его объем), скорость ингибированной реакции при этом уменьшается в 1,5 раза. Как было, однако, показано Райсом и Герцфель-



дом [10], отсутствие зависимости скорости реакции от отношения  $S/V$  нельзя рассматривать как доказательство гомогенности процессов зарождения и обрыва цепей, так как и в том случае, когда и зарождение, и обрыв являются гетерогенными процессами, скорость реакции, так же как и при полной гомогенности процессов, не зависит от  $S/V$ .

Ввиду невозможности объяснения наличия одинаковой скорости реакции в присутствии различных ингибиторов, а также быстрого падения скорости с глубиной превращения на начальных стадиях при крекинге углеводорода без ингибитора, исходя из представлений о гомогенном механизме зарождения и обрыва цепей, В. В. Воеводский и В. А. Полтора́к [11] предположили, что зарождение и обрыв цепей являются гетерогенными процессами и что изменение скорости реакции в ходе превращения и под действием ингибиторов следует связать с изменением поверхности реакционного сосуда. При этом процесс протекает следующим образом. Свежая поверхность реакционного сосуда на начальных стадиях реакции способна в условиях крекинга к необратимому химическому взаимодействию с молекулами углеводорода, в результате которого образуются свободные радикалы, вылетающие в объем, и химическое соединение поверхности с осколком молекулы. За счет этого на начальных стадиях реакции концентрация свободных радикалов может превышать равновесную, скорость достигает больших значений. В ходе реакции поверхность теряет свою химическую активность, и концентрация свободных радикалов уменьшается, приближаясь к равновесной. В случае, когда крекингу подвергается смесь углеводорода с ингибитором, последний сразу же адсорбируется на поверхности, и она теряет свою химическую активность. Таким образом, в присутствии ингибитора реакция с самого начала идет при квазиравновесной концентрации свободных радикалов. Этим и объясняется одинаковое предельное значение скорости реакции в присутствии различных ингибиторов. Таким образом, рассматриваются два вида зарождения: «необратимое» зарождение за счет химического взаимодействия с поверхностью сосуда и «обратимое» зарождение, в котором роль стенки сосуда состоит только в установлении квазиравновесной концентрации радикалов. Из возможных процессов обрыва рассматривается только один находящийся в равновесии с обратимым зарождением [12].

Для проверки того, в какой степени эта гипотеза соответствует истинному механизму процесса, было предпринято систематическое изучение влияния отношения  $S/V$  на кинетику крекинга пропана и изучение возможности отравления и активации поверхности сосуда.

Измерение скорости термического разложения пропана проводилось в статических условиях на обычной вакуумной установке. Опыты проводились в кварцевом цилиндрическом сосудах длиной 200 мм и диаметром 36 мм. Скорость реакции измерялась по росту давления при помощи мембранного манометра. Все опыты проводились при давлении пропана 25 мм рт. ст. и температуре 610° С.

Измерялась скорость реакции крекинга  $C_3H_8$  и смеси  $C_3H_8 + 20\% NO$  в сосудах без набивки и в сосудах, заполненном кварцевыми трубочками (длиной 8—12 мм и диаметром 3—4 мм). При этом отношение  $S/V$  изменялось в 12 раз. Опыт производился следующим образом: снимались кинетические кривые разложения  $C_3H_8$  и смеси  $C_3H_8 + 20\% NO$  в сосудах без набивки, затем в сосуд вносилась набивка и опять снимались кинетические кривые (2—3 раза). Всего было проведено 46 таких опытов. В 43 случаях наблюдалось уменьшение скорости реакции крекинга  $C_3H_8$  от 2,9 до 0,72 мм рт. ст./мин. и уменьшение скорости реакции разложения смеси  $C_3H_8 + NO$  от 0,72 до 0,36 мм. рт. ст./мин. В трех случаях скорость реакции крекинга  $C_3H_8$  и смеси  $C_3H_8 + NO$  в сосудах с набивкой и без набивки была примерно одинаковой. Изучалась также кинетика реакции крекинга  $C_3H_8$  в сосудах, содержащем различные количества набивки. Результаты этой серии опытов представлены на рис. 1.

Для изменения активности поверхности сосуда он промывался раствором различных солей. Наиболее интересные результаты были получены в работе с сосудом, обработанном  $Mg(ClO_4)_2$  [сосуд промывался 10%-м раствором  $Mg(ClO_4)_2$ , затем прокаливался сначала на воздухе, а затем под откачкой]. При проведении в сосуде, обработанном  $Mg(ClO_4)_2$ , второго опыта скорость реакции крекинга  $C_3H_8$  более чем в два раза превышает значение скорости в сосуде без обработки (рис. 2, I и II). В следующем опыте скорость меньше и после нескольких опытов доходит до значения, примерно вдвое меньшего величины скорости в чистом сосуде (рис. 2, II и III). Это предельное значение скорости сохраняется для целого ряда опытов. Если проводить реакцию в сосуде, обработанном  $Mg(ClO_4)_2$ , только до малой глубины превращения (порядка 1%), то скорость сохраняет свое высокое значение в большом числе опытов

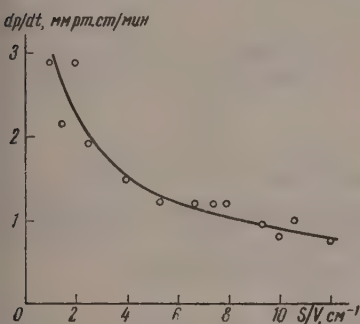


Рис. 1

Рис. 1. Зависимость начальной скорости (1% превращения) реакции крекинга  $C_3H_8$  от отношения  $S/V$

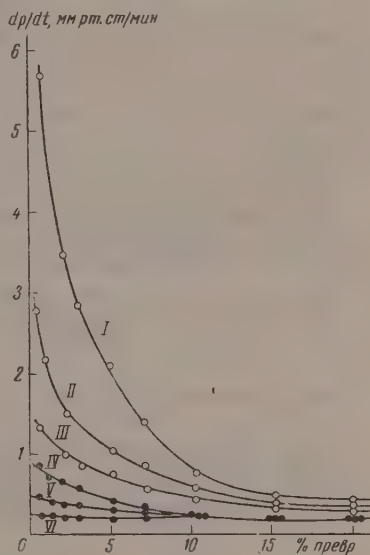


Рис. 2

Рис. 2. Зависимость скорости реакции крекинга  $C_3H_8$  от глубины превращения,  $\circ$  —  $C_3H_8$ ;  $\bullet$  — смесь  $C_3H_8 + 20\% \text{ NO}$ : I, IV — первый опыт после обработки сосуда; II, V — опыт в необработанном сосуде; III, VI — пятый опыт после обработки сосуда

более 20). При разложении в сосуде, обработанном  $Mg(ClO_4)_2$  смеси  $C_3H_8 + NO$  скорость в первом опыте выше, чем в необработанном сосуде (рис. 2, I и V), но через несколько опытов уменьшается до величины, вдвое меньшей обычной (рис. 3, VI). Если сосуд вместе с находящейся в нем набивкой работать раствором  $Mg(ClO_4)_2$ , то все кинетические кривые, снятые в нем, лежат несколько ниже аналогичных кривых для обработанного сосуда без набивки (рис. 4).

Вид кинетических кривых крекинга  $C_3H_8$  можно совершенно изменить, если проводить реакцию в сосуде, который предварительно обработан тем прогоревшим в нем смесью NO и  $HO$  и  $H_2S$ . Мы проводили такую обработку при составе смеси  $NO : H_2S = 1 : 1$  при давлении 20 мм рт. ст. в течение 10 мин. при температуре опыта, после чего сосуд откачивался до 4 мм рт. ст. При проведении реакции крекинга в таком отравленном сосуде скорость в начале реакции близка к скорости заторможенной реакции, затем растет и проходит через максимум (рис. 3).

Основным результатом описанных выше опытов является доказательство возможности изменения скорости реакции термического разложения пропана путем изменения состояния поверхности реакционного сосуда.

Рассмотрим теперь полученные данные в свете предложенной выше гипотезы. Если поверхность сосуда «отравить» путем прогрева в смеси  $\text{NO}$  и  $\text{H}_2\text{S}$ , химического взаимодействия поверхности сосуда с молекулами углеводорода происходить не может и больших значений скорости реакции в начале процесса не наблюдается.

Увеличение скорости реакции при проведении крекинга пропана в сосуде, покрытом основными солями магния, получившимися при прокаливании  $\text{Mg}(\text{ClO}_4)_2$ , можно объяснить увеличением числа активных центров

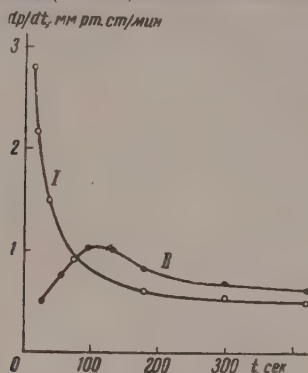


Рис. 3

Рис. 3. Зависимость скорости реакции крекинга  $\text{C}_3\text{H}_8$  от времени: I — обычный сосуд; II — «отравленный» сосуд

Рис. 4. Зависимость скорости реакции крекинга  $\text{C}_3\text{H}_8$  от глубины превращения: верхняя кривая — сосуд без набивки, обработан  $\text{Mg}(\text{ClO}_4)_2$ , пятый опыт после обработки сосуда; нижняя кривая — сосуд с набивкой, обработан  $\text{Mg}(\text{ClO}_4)_2$ , пятый опыт после обработки сосуда

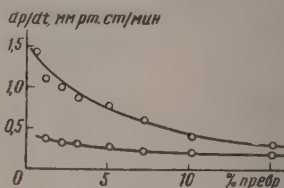


Рис. 4

Согласно рассмотренной выше гипотезе скорость термического разложения углеводородов не должна зависеть от отношения  $S/V$ . Это находится в соответствии с данными Гиншельвуда [8], который нашел, что при крекинге 2-метилпентана изменение  $S/V$  в 12 раз не изменяет скорости реакции. Согласно нашим данным скорость реакции уменьшается при увеличении отношения  $S/V$ . Следует отметить, что в некоторых опытах мы также получали независимость скорости реакции от отношения  $S/V$ . Уменьшение скорости реакции при внесении в сосуд набивки можно было бы объяснить, если предположить, что в некоторых случаях поверхность набивки находится в таком состоянии, что на ней нет «необратимого» зарожения. Однако и в сосуде с набивкой, промытом  $\text{Mg}(\text{ClO}_4)_2$ , скорость меньше, чем в сосуде без набивки, обработанном таким же образом. Из этого следует, что набивка уменьшает скорость реакции, если характер поверхности ее и характер поверхности сосуда одинаковы.

### Выводы

1. Можно считать доказанным факт влияния поверхности на кинетику и скорость реакции термического разложения пропана при температуре  $610^\circ\text{C}$  и давлении 25 мм рт. ст. Что касается рассмотренной здесь гипотезы о гетерогенном характере реакций зарождения и обрыва цепей, которая была предложена для описания кинетических особенностей протекания реакций крекинга углеводородов, то, хотя при ее помощи можно удовлетворительно объяснить найденную нами зависимость скорости крекинга  $\text{C}_3\text{H}_8$  от предварительной обработки сосуда смесью  $\text{NO} + \text{H}_2\text{S}$  и раствором  $\text{Mg}(\text{ClO}_4)_2$ , она не в состоянии объяснить зависимость скорости реакции от величины  $S/V$  без введения дополнительных предположений.

2. Дальнейшее исследование должно решить вопрос о том, должна ли быть сохранена и соответствующим образом дополнена гипотеза о наличии двух механизмов зарождения или для объяснения влияния поверхности термический распад углеводородов должны быть привлечены совсем другие представления.

Московский государственный  
университет им. М. В. Ломоносова

Поступила  
25.III.1958

#### ЛИТЕРАТУРА

- F. J. Stubbs, C. Hinshelwood, Proc. Roy. Soc. A, 200, 458, 1950; 125, 679, 1957.  
В. А. Полтора́к, В. В. Воеводский, Докл. АН СССР, 91, 589 1953.  
C. Y. Danby, B. C. Spall, F. J. Stubbs, C. Hinshelwood, Proc. Roy. Soc. A, 228, 448, 1955.  
R. E. Varnerin, J. S. Dooling, J. Amer. Chem. Soc. 78, 2042, 1956.  
L. S. Echols, R. N. Piase, J. Amer. Chem. Soc., 60, 1701, 1938.  
F. O. Rice, O. L. Polly, J. Chem. Phys., 6, 273, 1938.  
В. И. Гольдманский, Успехи химии, 15, 63, 1946.  
Hurd, Pilgrim, J. Amer. Chem. Soc., 55, 492, 1933.  
Peard, F. J. Stubbs, C. Hinshelwood, Proc. Roy. Soc., A, 124, 771, 1952.  
F. O. Rice, K. F. Herzfeld, J. Phys. Coll. Chem., 55, 975, 1951.  
В. А. Полтора́к, Диссертация, МГУ, 1953.  
В. В. Воеводский, Докл. АН СССР, 90, 815, 1953.

#### ON THE PART PLAYED BY THE SURFACE IN THE THERMAL DECOMPOSITION OF PROPANE

V. A. Poltorak, L. Ya. Leitis and V. V. Voevodskii (Moscow)

#### Summary

It has been shown in the study that the rate of cracking of propane ( $p = 25$  mm Hg,  $= 610^\circ\text{C}$ ) depends upon the surface of the reaction vessel and upon the ratio of the surface area ( $S$ ) to the volume ( $V$ ). With 12 fold increase in  $S/V$  the rate of reaction decreases to one fourth. After preliminary treatment of the vessel with a mixture of  $\text{NO} + \text{H}_2\text{S}$  at  $610^\circ\text{C}$  the rate of reaction is first close to that in the presence of the inhibitor and then increases, passing through a maximum. The rate of reaction increases if the vessel washed with  $\text{Mg}(\text{ClO}_4)_2$  solution prior to the run.

In order to describe the kinetic properties of hydrocarbon cracking an hypothesis has been advanced as to the heterogeneous character of the processes of generation and breaking of chains. Two types of chain generation processes are assumed. The data obtained in the work are discussed from this point of view.



## О МЕХАНИЗМЕ ОБРАЗОВАНИЯ ПОЛИХРОМАТНЫХ РАСТВОРОВ ПРИ ЭЛЕКТРОЛИЗЕ БИХРОМАТА НАТРИЯ В ДИАФРАГМЕННОЙ ВАННЕ

*А. И. Левин и С. С. Савельев*

Электролитическое осаждение хрома приобрело в последние годы все более широкое распространение не только в гальванотехнике, но и в гидрометаллургии [1]. Электролитом при этом служит раствор хромового ангидрида с небольшой добавкой серной кислоты. Однако такая ванна характеризуется плохой рассеивающей способностью, малой устойчивостью и низкими выходами по току [2].

Несомненный практический интерес представляет метод непосредственного анодного образования полихроматных растворов, пригодных для последующего извлечения из таких электролитов толстых катодных отложений металлического хрома [3]. Исходным сырьем здесь служит концентрированный раствор бихромата натрия, который после электролиза в диафрагменном электролизере обогащается хромовым ангидридом [4].

В данном исследовании предпринята попытка рассмотреть механизм образования полихроматных растворов. Первоначально был опробован электролизер с неподвижным ртутным катодом и свинцовым анодом, предложенный И. Г. Щербаковым [5]. Здесь для устранения возможного взаимодействия продуктов электродных реакций катодное и анодное пространства разделялись диафрагмой.

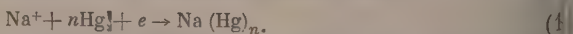
В первом приближении такая ванна может быть описана схемой



Ближайшее рассмотрение электродных процессов в исследуемой системе показывает, что в дальнейшем концентрационные изменения в катодлите и анолите могут быть подчинены некоторым кинетическим закономерностям, ведущим к получению чистой концентрированной щелочи в катодлите и полихроматных растворов в анолите.

### Катодные процессы

При использовании бихромата натрия в качестве исходного электролита наиболее вероятным является процесс восстановления ионов Na на ртутном катоде с образованием натриевой амальгамы:

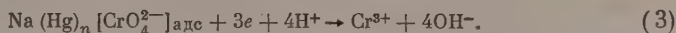


Однако при достаточно больших плотностях тока на неподвижном катоде из-за значительного накопления натрия в ртути становится возможным совместный разряд ионов водорода, вследствие чего pH катодлита резко сдвигается в щелочную сторону. Увеличение значения pH (рис. 1) приводит к сдвигу полного равновесия в сторону образования монохромата [6]:



Указанное изменение в ионном составе катодлита, как это следует из рассмотрения адсорбционных спектров в хроматных растворах, происхо-

весьма быстро [7]. Следствием смещения равновесия между хромат- и анионами является адсорбция  $\text{CrO}_4^{2-}$  и их частичное восстановление на амальгамном катоде:



Этот процесс приводит в дальнейшем к увеличению напряжения на клеммах ванны при падении тока, пропускаемого через электролизер. Как нетрудно заметить, причина этого кроется в пассивировании поверхности неподвижного электрода малорастворимыми соединениями трехвалентного хрома, появляющимися непосредственно после достижения точки гидратообразования  $\text{Cr(OH)}_3$  (при  $\text{pH}=5,6$ ) [8].

Одной из возможных на электроде в дальнейшем становится реакция:



ведущая к еще более заметному защелачиванию катодита. Скорость последнего процесса уменьшается уравниванию замедленного разряда,

$$i = k [\text{H}_2\text{O}] e^{-\alpha F (\varphi_{\text{к}} - \varphi_1) / RT}. \quad (5)$$

где  $i$  — плотность тока на катоде;  $[\text{H}_2\text{O}]$  — поверхностная концентрация воды;  $\varphi_{\text{к}}$  — потенциал катода;  $\varphi_1$  — потенциал на расстоянии одного радиуса от поверхности электрода.

Потенциал электрода в таком случае может быть выражен:

$$\varphi_{\text{к}} = a' + \varphi_1 - \frac{RT}{\alpha F} \ln i. \quad (6)$$

Имея в виду, что в щелочных растворах равновесный потенциал удобно представить в зависимости от концентрации ионов гидроксила, т. е.

$$\varphi_{\text{р}} = \varphi^0 - \frac{RT}{F} \ln [\text{OH}^-], \quad (7)$$

учитывая перенапряжения водорода следующее выражение:

$$\eta = a - \varphi_1 - \frac{RT}{F} \ln [\text{OH}^-] + \frac{RT}{\alpha F} \ln i. \quad (8)$$

Из приведенного уравнения (8) видно, что поляризация зависит главным образом от концентрационных изменений в катодите. С увеличением их концентрации ионов в растворе уменьшается абсолютное значение потенциала [9], что при отрицательных значениях его способствует увеличению поляризации, а при  $\varphi_1 > 0$  тормозит разряд водородных ионов. Учитывая затруднения, связанные с применением неподвижного электрода, в дальнейших опытах был принят электролизер, обеспечивающий отвод ртути из катодного пространства в разлагатель. При этом замечено, что разряд ионов  $\text{Na}^+$  при одной и той же концентрации в растворе протекает тем легче, чем быстрее отводится ртуть из катодного пространства, т. е. чем меньше концентрация металлического натрия на поверхности слоя жидкого катода. Равновесный потенциал такого электрода:

$$\varphi_{\text{Na}} = \varphi_{\text{Na}}^0 + \frac{RT}{F} \ln [\text{Na}^+] - \frac{RT}{F} \ln [\text{Na}] = \varphi'_{\text{Na}} - \frac{RT}{F} \ln [\text{Na}], \quad (9)$$

где  $\varphi_{\text{Na}}^0 = -1,844 \text{ V}$ , — нормальный потенциал амальгамного электрода [Na] — концентрация металлического натрия.

Имея в виду, что ток обмена между металлом и его ионами в данном случае достаточно велик, а скорость разряда ионов водорода мала, можно (в первом приближении) приравнять стационарный потенциал амальгамного электрода его равновесному значению и вывести дифференциальное уравнение реакции разложения амальгамы в сильно щелочных растворах [10]. Для этого в кинетическое уравнение реакции выделения водорода (5) подставим значение равновесного потенциала амальгамного электрода (9).

Учитывая далее, что при постоянной общей концентрации электрода  $\psi_1$ -потенциал становится постоянным, (5) получим

$$i_1 = k' e^{-\alpha F \varphi / RT}.$$

Нетрудно показать, что скорость  $i_1$  — восстановления воды — пропорциональна уменьшению натрия в амальгаме, т. е.

$$i_2 = -k'' \frac{d[\text{Na}]}{d\tau}.$$

Приравнивая обе скорости, получим

$$-\frac{d[\text{Na}]}{d\tau} = \frac{k'}{k''} e^{\frac{\alpha F}{RT} (\varphi_{\text{Na}}^0 - \frac{RT}{F} \ln [\text{Na}])} = K [\text{Na}]^\alpha.$$

Здесь

$$K = \frac{k'}{k''} e^{-\alpha F \varphi_{\text{Na}}^0 / RT}.$$

При выделении водорода на ртути константа  $\alpha = 1/2$ . Поэтому можно записать

$$-\frac{d[\text{Na}]}{d\tau} = K [\text{Na}]^{1/2}.$$

Таким образом скорость разложения амальгамы пропорциональна квадратному корню из концентрации металлического натрия в поверхностном слое ртути\*. Подобная зависимость действительно была установлена на опыте Бренстедом [11], Скляренко [12] и Иофа [13].

В случае достаточно интенсивной циркуляции ртути, т. е. при относительно малом содержании натрия в поверхностном слое ее, представляется возможным не только устранить восстановление хроматных анодных катодов, но и свести до минимума реакцию выделения водорода.

Опытные данные показали, что в диафрагменной ванне с ртутным рожущимся катодом при электролизе растворов бихромата натрия удавалось получить весьма концентрированную щелочь. В такой щелочи практически отсутствуют примеси, в том числе и соединения, содержащие хромат-анионы.

Катодные процессы в рассмотренной системе имеют много общего с реакциями на ртутном катоде в ваннах, применяемых обычно при производстве хлора и щелочей.

### Анодные процессы

На аноде из-за весьма малой активности ионов  $\text{OH}^-$  и большого потенциала напряжения, сопровождающего разряд гидроксильных ионов на двуокиси

\* Выведенная конечная формула (12) верна при постоянном pH и постоянной концентрации ионов натрия.

аца [14], становится возможной одна из следующих реакций:

1.  $2\text{H}_2\text{O} - 4e \rightarrow \text{O}_2 + 4\text{H}^+$ ,  $\varphi_I = \varphi_I^0 + \frac{0,0002T}{z} \lg \frac{[\text{H}^+]^4 [\text{O}_2]}{[\text{H}_2\text{O}]^2}$ ;
2.  $2\text{H}_2\text{O} - 2e \rightarrow \text{H}_2\text{O}_2 + 2\text{H}^+$ ,  $\varphi_{II} = \varphi_{II}^0 + \frac{0,0002T}{z} \lg \frac{[\text{H}^+]^2 [\text{H}_2\text{O}_2]}{[\text{H}_2\text{O}]^2}$ ;
3.  $\text{H}_2\text{O} - 2e \rightarrow 2\text{H}^+ + 0$ ,  $\varphi_{III} = \varphi_{III}^0 + \frac{0,0002T}{z} \lg \frac{[\text{H}^+]^2 [0]}{[\text{H}_2\text{O}]}$ ,

Равновесные потенциалы  $\varphi_I$ ,  $\varphi_{II}$ ,  $\varphi_{III}$ , вычисленные из свободных энергий реакций 1, 2, 3, соответственно равны 1,229; 1,776; 2,42 В [15]. Высокое значение потенциала реакции 3 показывает, что образование атомарного кислорода по уравнению (3) маловероятно, так как при заданной плотности тока потенциал анода колеблется в пределах 1,9—2,4 В, т. е. не превышает  $\varphi_{III}$ .

Зависимость выхода  $\text{CrO}_3$  по току от начальной концентрации  $\text{Na}_2\text{Cr}_2\text{O}_7$  и расход воды в анолите

Концентрация бихромата, г/л	Концентрация $\text{CrO}_3$ к концу электролиза, г/л	Выход $\text{CrO}_3$ по току, %	Расход воды из анолита, см <sup>3</sup>	% разложившейся воды (к исходн. объему)
50	37,5	24,3	14,0	56,0
100	40,0	33,7	9,0	36,0
200	42,5	43,8	8,0	32,0
400	45,0	60,4	6,5	26,0
600	53,0	68,0	5,5	22,0
800	60,8	72,8	4,8	19,2
1000	53,0	76,6	4,6	18,4
Насыщ. при 30°C	64,0	82,0	4,5	18,0

По Глестону [16], все необратимые процессы анодного окисления осуществляются через промежуточное образование перекиси водорода, т. е. по схеме 2. Если следовать этой гипотезе, то можно предположить, что и окисление бихромовой кислоты должно проходить через стадию первичного образования  $\text{H}_2\text{O}_2$  на аноде. Все же подобный механизм разряда в рассматриваемых условиях практически исключен, так как в отсутствие поляризатора перекись водорода быстро разлагается (на воду и кислород), так что ничтожные количества  $\text{H}_2\text{O}_2$ , которые образуются здесь, не успевают оказать заметного окисляющего действия. Поэтому влиянием перекиси водорода на кинетику образования бихромовой кислоты следует также пренебречь.

Вместе с тем наблюдаемая при электролизе раствора бихромата натрия убыль воды в анолите (таблица) указывает на наличие процесса ее разложения. Это происходит, по-видимому, по схеме 1, когда вода окисляется на аноде с образованием молекулярного кислорода. Имея в виду, что окисление воды сопровождается дальнейшим уменьшением pH, можно заключить, что равновесие



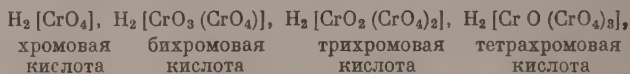
будет сдвигаться в сторону образования свободной бихромовой кислоты и ряда ее аналогов, так называемых изополикислот. Общая формула таких соединений  $\text{H}_2\text{O}(\text{CrO}_3)_n$ . В конечном итоге, следовательно, раствор анолита будет обогащаться хромовым ангидридом.

Действительно, как показывает опыт, выход по току  $\text{CrO}_3$  по мере увеличения анодной плотности тока и концентрации бихромата натрия (ис-



ходного электролита) увеличивается и достигает 80—82% (см. таблицу и рис. 2).

Несмотря на большое разнообразие изополикислот, получаемых в анолите, для них характерен ряд общих свойств [17]. Все они являются сильными кислотами, хорошо растворимыми в воде. По мере усложнения состава изополикислот хромозового ряда сила их обычно повышается. Типичный пример, в ряду:



бихромовая кислота ( $k_2 = 2 \cdot 10^{-2}$ ) значительно сильнее хромовой ( $k_1 = 2 \cdot 10^{-1}$  и  $k_2 = 3 \cdot 10^{-7}$ ).

Превращение монохромата в бихромат, трихромат и т. д. представляет собой реакцию одного и того же типа. В каждом случае два реагирующих иона объединяются, образуя новый анион  $\text{Cr}_2\text{O}_7^{2-}$ ,  $\text{Cr}_3\text{O}_{10}^{3-}$ ,  $\text{Cr}_4\text{O}_{13}^{4-}$ , выходящий тем же зарядом, что и исходный анион. Таким образом, если

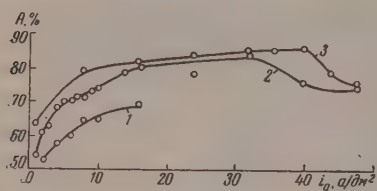


Рис. 2

в большинстве реакций анодного окисления происходит изменение заряда анионов (увеличение положительного, или уменьшение отрицательного заряда). В данном случае вместо изменения заряда вещества становится возможным соединение нескольких однородных анионов в новый полимерный ион (полимеризация анионов) с образованием смеси изополикислот. Обсуждая условия, благоприятствующие образованию

полихроматных растворов, следует подчеркнуть, что обогащение анолита и ополкислотами хромозового ряда становится возможным только потому, что освобождающиеся в результате анодных процессов окисления водородные ионы  $\text{H}^+$  не выводятся из анолита и не подвержены в дальнейшем катодному восстановлению на амальгамном электроде.

Разделение анолита и католита диафрагмой является таким образом важным условием, обеспечивающим быстрое обогащение анолита полихромовыми кислотами, содержащими  $\text{CrO}_3$ . В таком случае скорость процесса образования полихромовых кислот на аноде находится в прямой зависимости от скорости отвода натриевой амальгамы из катодного пространства. Следовательно, увеличению содержания полихроматных ионов в анолите должны способствовать рассмотренные выше катодные процессы. Именно по этому обстоятельству, что ионы  $\text{Na}^+$  принимают преимущественное участие в разряде на катоде и в переносе тока, мы обязаны быстрому обогащению анолита изополихромовыми кислотами.

В смеси с бихроматом натрия, еще не успевшим разложиться, здесь образуются растворы, в составе которых, помимо свободных изохромовых кислот, содержится  $\text{Na}_2\text{O}(\text{CrO}_3)_n$ .

Почти единственным электродным материалом, пригодным для осуществления рассматриваемого процесса образования полихроматных растворов на аноде, является свинец, так как на таком электроде процесс полимеризации анионов, по-видимому, облегчается из-за образования двуокиси свинца. Последняя, как показывает опыт, выполняя роль передатчика кислорода [18], катализирует процесс образования изополихромовых кислот.

За короткий период времени, в течение которого происходит образование большого количества полихромовых кислот, гидролиз их не успевает произойти. Поэтому выход по току  $\text{CrO}_3$  увеличивается с ростом объемной плотности тока и увеличением скорости отвода кислоты из анолита.

Побочные реакции, снижающие выход по току полихромовых кислот ( $\text{CrO}_3$ )<sub>n</sub> при электролизе, устраняются в том случае, если количестволита в пространстве между диафрагмой и анодом из двуокиси свинца не превышает предельно мало. Анолит должен поэтому находиться в виде тончайшего, непрерывно циркулирующего слоя.

В заключение следует заметить, что полихроматные растворы, испытанными в качестве электролитов для последующего извлечения хрома, оказались менее чувствительными к присутствию в них примесей железа (25 г/л) и трехвалентного хрома. Здесь осадки хрома получаются обычного цвета, но они достаточно хорошо полируются. Электролит, содержащий свободные полихромовые кислоты, может быть применен как в гидрометаллургии для получения толстых, снимающихся катодных слоев хрома, так и в гальванотехнике. В последнем случае ванна характеризуется достаточно высокой рассеивающей способностью по сравнению с обычной сернокислой хромовой ванной [19]. Осадки хрома получаются более равномерными, при этом число пор, приходящихся на единицу поверхности изделия, уменьшается в 4—5 раз. Это позволяет применять полихроматный электролит не только для декоративных покрытий, но и для защиты металлов от коррозии. Полихроматная ванна работает при относительно низких температурах (25—30°) с выходами по току хрома до 40% [20].

### Выводы

1. Рассмотрены катодные и анодные процессы при электролизе бихромата натрия в диафрагменной ванне.
2. Показано, что катодные процессы на подвижном амальгамном катоде во многих чертах подобны реакциям, протекающим в ртутной ванне для получения хлора и щелочей.
3. Установлено, что на аноде из двуокиси свинца образуются полихромовые растворы, богатые свободными полихромовыми кислотами. Этому процессу способствует разделение и быстрый отвод продуктов катодной анодной реакций.
4. Образование на аноде изополихромовых кислот является вторичным процессом, протекающим в кислой среде вследствие полимеризации хромовых анионов.
5. Из полихроматных электролитов представляется возможным получать катодные осадки хрома в толстых слоях и с лучшими, по сравнению с обычными хромовыми ваннами, показателями.

Уральский политехнический  
институт им. С. М. Кирова  
Свердловск

Поступила  
25.III.1958

### ЛИТЕРАТУРА

- Получение металлического хрома электролизом — см. Бюллетень Центрального института информации, Металлургиздат, 11—12, 64, 1957.
1. И. Лайнер, Хромирование металлов, М. Металлургиздат, 1932;
  2. И. Д. Бирюков и С. П. Макарьева, ЖПХ, 12, 6, 1939
  3. И. Левин, С. С. Савельев, Н. А. Карнаев, Авторское свидетельство 579980 от 18 апреля 1958 г.
  4. Г. Щербаков, Zeitschrift für Elektrochem, 31, 360, 1925.
  5. Г. Щербаков и О. А. Есин. Известия Ур. политех. ин-та, 5, 109, 1926.
  6. Muller, Zeitschrift für Elektrochem, 38, 833, 1932.
  7. I. Huckerma n и A. Powers Z. Elektroch., 57, 139, 1953.
  8. И. Левин и А. И. Фаличева, Ж. физ. химии, 28, 1652, 1954; 29, 14, 1955; Ж. прикл. химии, 29, 1673, 1956.
  9. Н. Фрумкин, В. С. Багоцкий, З. А. Иофа, Н. Б. Кабанов, Кинетика электродных процессов, Изд. МГУ, 1952.
  10. Н. Фрумкин, Z. phys. Chem., 160, 116, 1932.
  11. Bronsted a, N. Kane, J. Amer. Chem. Soc., 53, 3624, 1941.

12. С. И. Скляренко и Б. А. Сахаров, Ж. физ. химии, **21**, 97, 1947.
13. З. А. Иоффе и З. Б. Печковская, Докл. АН СССР, **59**, 265, 1949.
14. А. И. Гаев и О. А. Есин, Электролиз цинка, ОНТИ, Свердловск, 1949, гл. 2, стр. 63.
15. W. M. Latimer, The Oxydation States of the Elements and their Potentials in Aqueous Solutions, New York, 1932.
16. С. Глестон, Электрохимия растворов, Химтеоретиздат, 1936, стр. 4; Глестон и Хиклинг, Успехи химии, **10**, 308, 1941.
17. В. В. Некрасов, Курс общей химии, стр. 329, 815, Госхимиздат, 1952.
18. В. Г. Хомяков, В. П. Машовец, Л. Л. Кузьмин, Технология электрохимических производств, Госхимиздат, 1949, стр. 405.
19. Сборник «Теория и практика электролитического хромирования», Изд-во АН СССР, 1957.
20. С. С. Савельев и А. И. Левин, Ж. прикл. химии, **32**, 138, 1959.

## ON THE MECHANISM OF FORMATION OF POLYCHROMATE SOLUTIONS DURING ELECTROLYSIS OF SODIUM DICHROMATE IN A DIAPHRAGMED BATH

*A. I. Levin and S. S. Savel'ev (Sverdlovsk)*

### Summary

Cathodic and anodic processes have been examined on the electrolysis of sodium dichromate in a diaphragmed bath. The cathodic processes on a moving amalgam electrode have been shown to be similar in many respects to reactions taking place in a mercury bath for producing chlorine and alkalis. On a lead dioxide anode polychromate solutions enriched in free polychromium acids have been shown to form. This process is facilitated by the separation and rapid withdrawal of the cathodic and anodic reaction products.

Formation of isopolychromium acids on the anode is a secondary process taking place in acid medium as a result of the polymerization of chromate anions.

It is possible to obtain cathodic chromium deposits from polychromate baths with thick layers and with better properties than from ordinary baths.

## ПОСТРОЕНИЕ ДИАГРАММ СОСТАВ — СВОЙСТВО МНОГОКОМПОНЕНТНЫХ РАВНОВЕСНЫХ СИСТЕМ

*Е. А. Кузьмин*

Построение диаграмм состав — свойство представляет наиболее существенную задачу физико-химического анализа. В настоящей статье предлагается новый способ построения прямоугольных диаграмм, устанавливающий зависимость свойств сплава от состава в многокомпонентных равновесных системах состав — свойство.

**Диаграммы четверной системы.** Обычно диаграммы строятся по точкам, отвечающим процентному составу компонентов сплава, определяемому опытным путем.

Положим, что состав системы, составленный из четырех компонентов, принят за 100% и представляет собой квадрат  $ABCD$  (рис. 1), каждая сторона которого разделена на 100 частей. Концентрацию компонентов обозначим буквами:  $a$ ,  $b$ ,  $c$ ,  $d$ ; концентрация каждого компонента в квадрате изобразится площадью прямоугольника в определенном положении от каждой стороны квадрата.

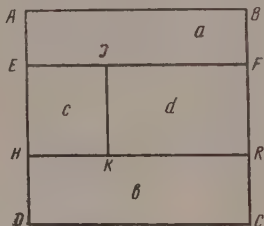


Рис. 1. Расположение площадей прямоугольников, определяющих содержание компонентов сплавов, в четырех компонентных диаграммах

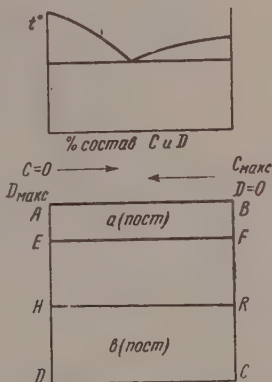


Рис. 2. Схема изменения процентного содержания компонентов сплава  $C$  и  $D$ , в разрезе диаграммы четверной системы

Площади прямоугольников пропорциональны концентрациям каждого компонента системы. Компоненту  $A$  соответствует положение площади прямоугольника  $ABFE$ , где  $EF$  параллельна  $AB$ ; количество компонента  $A$  в процентах откладывается всегда от точки  $B$  по линии  $BC$  и выражается длиной линии  $BF$ . Концентрация компонента  $B$  выражается площадью прямоугольника  $HRCJ$ . Линия  $HR$  проводится параллельно  $DC$ , как и для компонента  $A$ , только с противоположной стороны. Процентное содержание компонента  $B$  изображается линией  $DH$ . Площадь  $EFRH$  делится пропорционально между компонентами  $C$  и  $D$  вертикальной линией  $EJK$ . Прямоугольник  $EIKH$  отвечает компоненту  $C$  и прямоугольник  $JKC$  отвечает компоненту  $D$ . Зная положение линии  $EF$  и  $HR$ , линию  $EJK$  проводят по процентному содержанию  $A$  и  $B$  параллельно  $AD$  на рас-



стоянии от линии  $AD$ , равно  $EI$ . Таким образом линия  $IK$ , проведенная вышеописанным способом, отвечает одному определенному составу, т. точки  $I$  и  $K$  определяют состав.

При постоянных значениях компонентов  $A$  и  $B$  изменению компонентов  $C$  и  $D$  соответствует движение точки  $I$  по линии  $EF$  от нуля до максимума

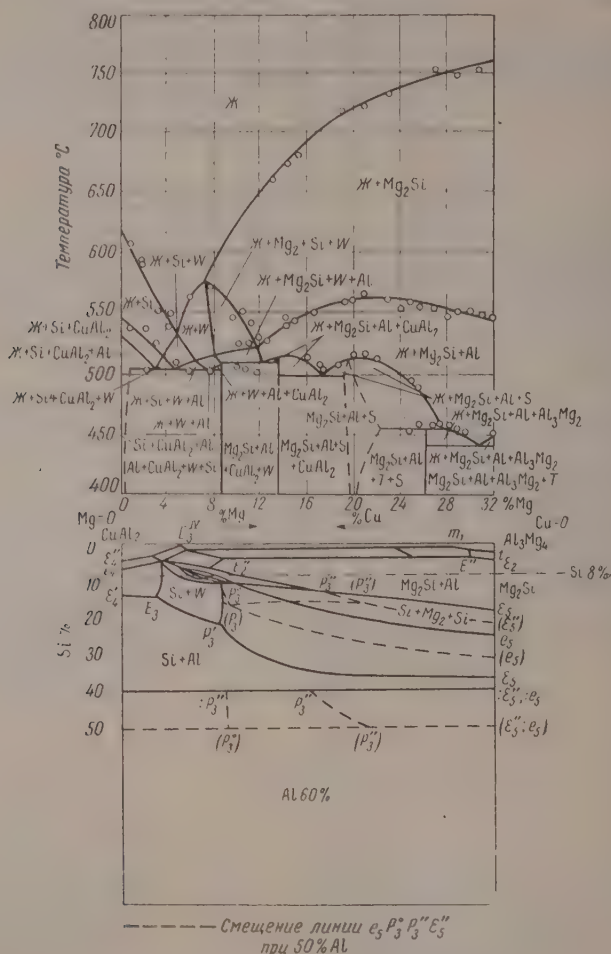


Рис. 3. Совмещение линейного разреза диаграммы 8% Si; 60% Al из плоскостного сечения тетраэдра сплава Al—Cu—Mg—Si с четверным разрезом в прямоугольной диаграмме

ного содержания компонента  $C$  и даст разрез четверной диаграммы состав — свойство (рис. 2).

Если концентрация компонента  $B$  постоянна, то изменение содержания компонента  $A$  будет происходить вдоль перемещения линии  $EF$  до совпадения ее с линиями  $AB$  и  $HR$  (а максимальна), при изменении концентрации компонента  $D$  от нуля до максимума.

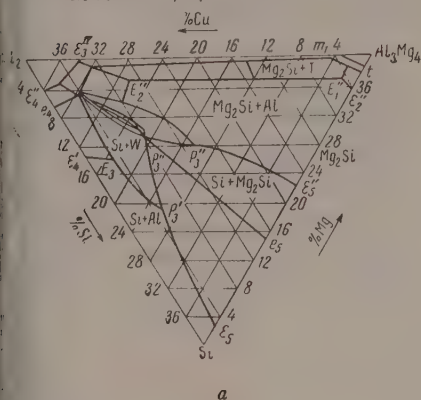
Перемещение точки  $I$  от  $E$  до  $F$  будет соответствовать разрезу тетраэдра при одном постоянном компоненте. При таком исследовании для всех постоянных значений компонента  $B$  от нуля до 100% определение четверной системы будет полным.

Если концентрация компонента  $B$  равна нулю, то система становится некомпонентной.

На рис. 3 и 4 приведены диаграммы плоскостного разреза по тетраэдру сплава  $Al - Cu - Mg - Si$ , содержащего 60%  $Al$  и 8%  $Si$  [1], и перестроена на прямоугольную диаграмму.

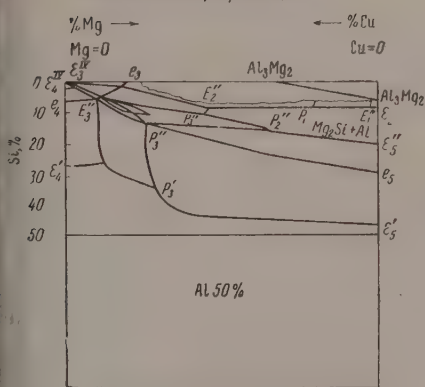
Диаграммы, построенные одним из способов, могут быть перестроены другой.

Плоскостный разрез 60%  $Al$



а

Плоскостный разрез 50%  $Al$



б

Рис. 4

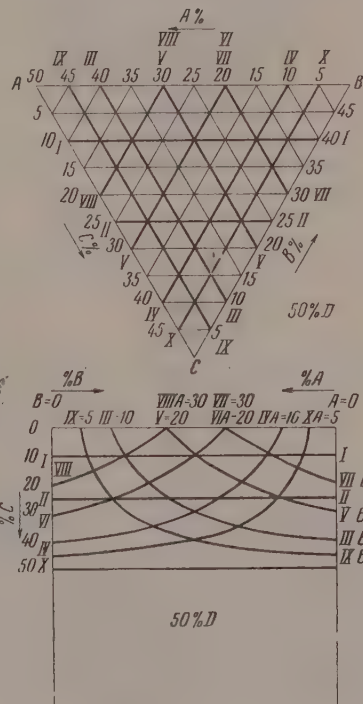


Рис. 5

с. 4. а — Плоскостный разрез диаграммы тетраэдра при 60%  $Al$  сплава  $Al - Mg - Si$ ; б — Плоскостный разрез прямоугольной диаграммы при 50%  $Al$  сплава  $Al - Cu - Mg - Si$

с. 5. Сравнение линий в сетках постоянного содержания компонентов сплава на диаграмме в треугольнике и диаграмме в прямоугольнике

В прямоугольной четверной диаграмме пунктирными линиями показаны изменение положения точек и линий при смещении сечения 60%  $Al$  сечение 50%  $Al$ , которое на диаграмме дополняется изменениями, и положения точки  $K$ , показанного точками и пунктирными линиями (с. 3).

На рис. 5 даны сетки линий для определения процентного состава в треугольной и прямоугольной диаграммах. Положение горизонтальных

линий не изменяется. Наклонные линии на треугольной диаграмме, соответствующие постоянному значению концентрации одного компонента, при переходе к прямоугольной должны давать для компонента площади постоянной величины, что выполняется при условии  $F=xy$  ( $F$  — величина площади прямоугольника,  $x$  и  $y$  — его стороны) или  $y = F/x$  — уравнение гиперболы.

В прямоугольной диаграмме сетка для определения процентного состава компонентов в точке состоит из горизонтальных линий и гипербол.

При нанесении сетки в логарифмических шкалах имеется возможность от сетки гипербол перейти на сетку из прямых линий (рис. 6).

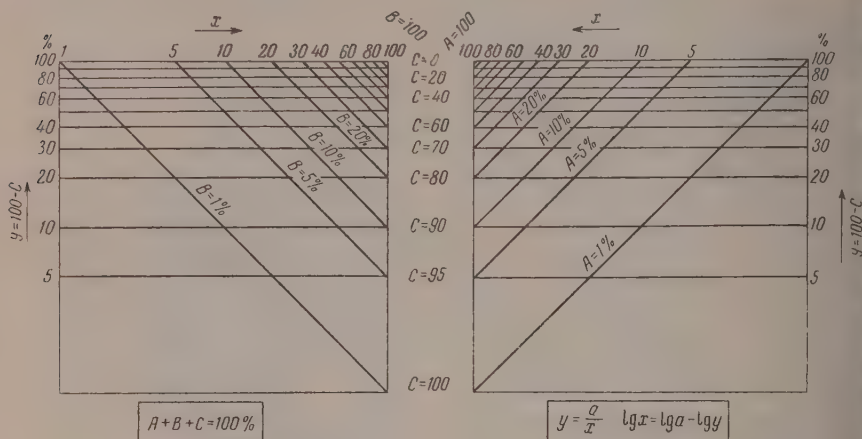


Рис. 6. Логарифмическая сетка для определения содержания трех компонентов сплавов  $ABC$  на основании условий диаграммы в прямоугольнике:  $A + B + C = 100\%$ .  
 $y = a/x$ ,  $\lg x = \lg a - \lg y$

Для гипербол двух семейств, содержащих постоянную концентрацию компонентов  $A$  и  $B$ , на диаграмме представлены два квадрата, между которыми помещена шкала содержания компонента  $C$  в процентах. На их крайних вертикальных линиях в логарифмической зависимости нанесены концентрации двух компонентов  $a+b$  или  $d = 100 - C$ . Содержание компонента  $C$  в логарифмической зависимости соответствует площади, расположенная выше обозначенной горизонтальной линии. По верхним горизонтальным линиям нанесены шкалы в логарифмической зависимости от концентрации компонента  $B$  в левом квадрате и от концентрации компонента  $A$  в правом квадрате, т. е. в том месте диаграммы, где концентрация компонента  $C$  равна нулю (на основании анаморфозы декартова абака [21]).

В левом квадрате проведены наклонные линии постоянных концентраций компонента  $B$  от соответствующих точек на линии, где концентрация компонента  $C$  равна нулю (сумма концентраций компонентов  $a+b = 100$ ), до линии, где концентрация компонента  $A$  равна нулю (сумма концентраций  $B+c = 100$ ). Такие же наклонные линии, указывающие концентрацию компонента  $A$ , изображены в правом квадрате.

В связи с начальной кристаллизацией в сплавах и расположением чисел компонентов в углах треугольника, точки для построения диаграммы берутся на линиях, исходящих из вершин углов. Эти линии из треугольной диаграммы переведены на прямоугольные (рис. 7).

Линии, исходящие из вершины нижнего угла треугольника, в прямоугольной диаграмме выражаются прямыми параллельными линиями, удобными для построения диаграмм состава — свойство многокомпонентных систем. Соответствующие этим параллельным линиям исследованы

сплав с преобладанием в составе одного компонента могут перемещаться в диаграмме, занимая место другого компонента, или быть перенесены в диаграмму треугольника, и тогда снова могут быть проведены исследования другого сплава (в составе преобладает другой компонент) на параллельных линиях в том же положении диаграммы.

Диаграмма системы из пяти компонентов. Диаграмма системы из пяти компонентов представляет квадрат, площадь которого образовывается этими пятью компонентами и равна 100%.

Если обозначим концентрацию компонентов через буквы  $a, b, c, d$  и т.о. каждому входящему в состав компоненту будет отвечать площадь прямоугольника, пропорциональная его количеству, с положением прямоугольников в определенных местах, как в четверной диаграмме.

Концентрация пятого компонента будет соответствовать площади прямоугольника  $ILMK$ , которая остается после нанесения прямоугольников: компонентов  $A, B, C$  и  $D$  (рис. 8). Из рисунка видно, что каждое расположение прямоугольника  $ILMK$  в квадрате  $ABCD$  отвечает только одному составу.

Положение прямоугольника может быть определено двумя точками и  $M$  (минимальное число точек для определения состава данной смеси), иногда диаграмма получается нагляднее, если состав этой смеси задать точками  $L$  и  $K$ .

На рис. 9 показана пятикомпонентная диаграмма кристаллизации солей из морской воды. Здесь виден ход изменения концентраций и кристаллизации солей.

Диаграмма, где приведены кризисные изменения концентраций солей молекулах на 1000 молекул воды при ее испарении (данные Вант-Гоффа) пересчете на проценты, составлена на основании табл. 1—2.

Прямоугольники, определяющие количества компонентов в диаграммах, показанные на рис. 10, могут иметь и другое расположение в зависимости от требующихся задач. Такое расположение прямоугольников (рис. 10) прощает построение диаграмм для изменяющихся концентраций  $a, c$  и  $e$  при постоянных содержаниях компонентов  $b$  и  $d$ , так как соотношение компонентов  $a, c$  и  $e$  выражается диаграммой для трех компонентов в отдельном прямоугольнике  $AFMH$ .

С увеличением числа компонентов площадь  $ILMK$  диаграммы пропорционально делится, т.е. увеличивается число определяющих точек. Так для семи компонентов в диаграмме, минимальное число точек для определения состава равно трем точкам  $I, M$  и  $P$  (рис. 11).

С увеличением числа компонентов число точек, определяющих величину и расположение прямоугольников, увеличивается. Уменьшить число определяющих точек можно построением проекционно-объемных диаграмм.

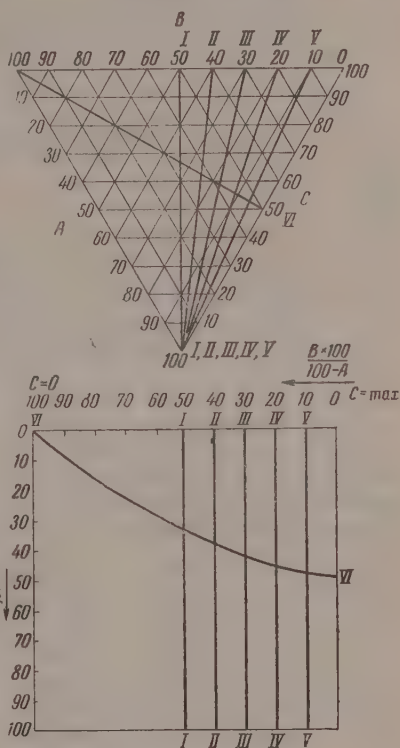


Рис. 7. Сравнение линий содержания компонентов сплава, расположенных в углах диаграммы треугольника с перенесенными линиями на диаграмму в прямоугольнике



Таблица 1

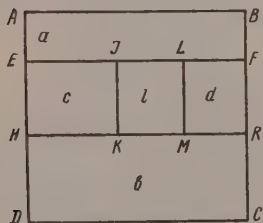
Обо- значе- ние точек	MgCl <sub>2</sub>		Na <sub>2</sub> Cl <sub>2</sub>		K <sub>2</sub> Cl <sub>2</sub>		MgSO <sub>4</sub>		Твердые фазы	Примечание
	М	%	М	%	М	%	М	%		
$\alpha$	0,6	0,059	4,2	0,414	0,1	0,010	0,4	0,04	—	Натуральная мор- ская вода
$\beta$	7,4	0,70	47,0	4,44	1,0	0,094	0,6	0,34	NaCl	Момент насыщения
$\gamma$	40,7	3,77	12,0	1,11	5,8	0,54	20,0	1,35	NaCl + MgSO <sub>4</sub> · 7H <sub>2</sub> O + эпсомит	Момент насыщения

Таблица 2

Обо- значе- ние точек	Na <sub>2</sub> Cl <sub>2</sub>		K <sub>2</sub> Cl <sub>2</sub>		MgCl <sub>2</sub>		MgSO <sub>4</sub>		Твердые фазы (кроме NaCl)
	М	%	М	%	М	%	М	%	
W	9	0,83	7,5	0,7	45	4,17	19,5	1,80	Леонит, каинит MgSO <sub>4</sub> · 7H <sub>2</sub> O
X	3,5	0,32	4	0,37	65,5	6,00	13	1,2	MgSO <sub>4</sub> · 6H <sub>2</sub> O каинит MgSO <sub>4</sub> · 7H <sub>2</sub> O
Y	1,5	0,14	2	0,18	77	7,06	10	0,91	MgSO <sub>4</sub> · 6H <sub>2</sub> O каинит, кирезит
R	1	0,09	1	0,09	85,5	7,81	8	0,73	Карналит, колнит, кизерит
Z	1	0,09	0,5	0,04	100	9,43	5	0,42	Карналит MgCl <sub>2</sub> · 6H <sub>2</sub> O кизерит

Проекционно-объемные диаграммы. Объемные диаграммы строятся по тому же принципу, что и прямоугольные. Объем куба представляет стопроцентный состав из суммы входящих в сплав компонентов. Ребра куба разделены на 100 делений. У каждой грани располагаются прямоугольные параллелепипеды соответственно каждому компоненту. Рассмотрим диаграмму системы из семи компонентов (рис. 12). Сумма концентраций семи компонентов равна 100% объема всего куба. Концентрация компонента *A* соответствует параллелепипеду, объем которого равен количеству входящего в смесь компонента. Переменной величиной параллелепипеда является величина *AB*. Если линия *AB*<sub>1</sub> разделена на 100 делений, то *AB* изображает концентрацию компонента *A* в процентах. Компоненту *B* соответствует параллелепипед на другой стороне куба. Переменной величиной при получении объема, отвечающего компоненту *B*, является линия *CD*. Параллелепипед, расположенный у передней грани куба, по объему пропорционален концентрации компонента *C* и располагается между параллелепипедами компонентов *A* и *B*, постоянной величиной которого остается *BF*, остальные два параметра остаются переменными. Поэтому процентный состав компонента *B*, равный объему параллелепипеда, находится перемножением величины линии *BD*/10 на *BB*<sub>2</sub>/10.

Рис. 8. Расположение площадей прямоугольников, определяющих содержание компонентов сплава в диаграммах для пяти компонентов



Так как каждое ребро представляет из себя линию, разделенную на 100 единиц, то в переводе на проценты  $\sqrt[3]{100} = 10$  и, следовательно, каждое деление на ребре при вычислении по площади *BEE*<sub>3</sub>*B*<sub>2</sub> равно 1/10. Точка, изображающая концентрацию компонента *D*, займет такое же положение, как и компонента *C*, только его параллелепипед располагается у задней грани куба. Процентное содержание компонента *D* вычисляется так же, как и компонента *C*. Точка, изображающая концентрацию компонента *E*, займет другое положение, его параллелепипед расположится

верхней части оставшегося объема куба. Концентрация компонента  $F$  выражена параллелепипедом в нижней части куба, а параллелепипед в середине куба соответствует концентрации компонента  $H$ . Компоненты  $E$ ,  $F$  и  $H$  вычисляются по объему. Так как каждое ребро представляет 100 еди-

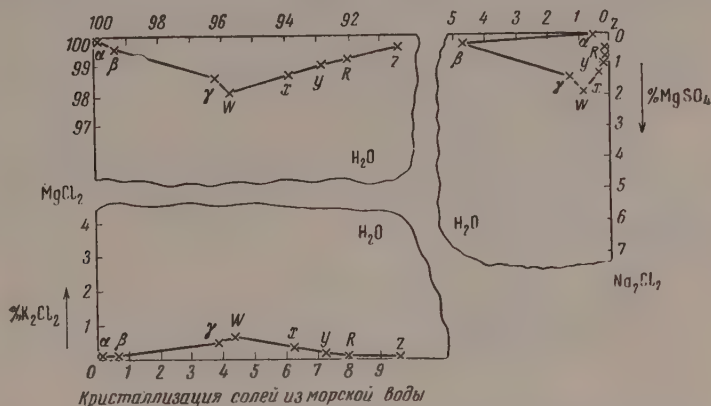


Рис. 9. Пятикомпонентная диаграмма кристаллизации солей из морской воды

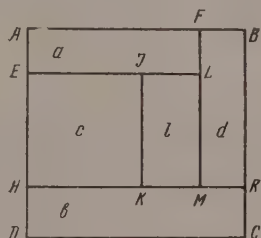


Рис. 10. Расположение прямоугольников, определяющих содержание компонентов сплава в пятикомпонентной диаграмме при двух постоянных компонентах

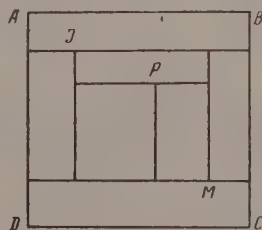


Рис. 11. Расположение прямоугольников, определяющих содержание компонентов сплава в семикомпонентной диаграмме

и, то в процентах это составляет  $\sqrt[3]{100} = 4,6416$ , и, следовательно, каждое деление на ребре равно  $4,6416/100$ . Отсюда объем, отвечающий процентному составу компонента  $E$ , равен

$$E = \frac{4,6416 (EE_1)}{100} \cdot \frac{4,6416 (EE_2)}{100} \cdot \frac{4,6416 (EM_1)}{100} = \frac{(EE_1) (EE_2) (EM_1)}{10\,000}.$$

Так же ведется подсчет процентного состава компонентов  $F$  и  $H$ . Данные объемные диаграммы изображаются тремя проекциями. На рис. 13 представлены проекции объемной диаграммы параллелепипедов.

Размещение параллелепипедов может быть определено проекциями точек  $M$  и  $O$ , находящимися на одной диагонали в вершинах среднего параллелепипеда, который соприкасается этими точками с параллелепипедами, находящимися у поверхностных граней общего объема куба (по принятому размещению параллелепипедов). Определение границы параллелепипеда, соответствующего по объему концентрации компонента  $A$ , нахо-

дится по точке  $M$  проведением параллельной плоскости к грани куба через все сечение. Эта граница на проекции 1 и 2 выразится вертикальной линией, проходящей через точку  $M$ .

Определение границ параллелепипеда, соответствующего концентрации компонента  $B, C, D, E, F$  и  $H$ , производится аналогичным способом путем проведения параллельных плоскостей к граням куба через соответствующие точки.

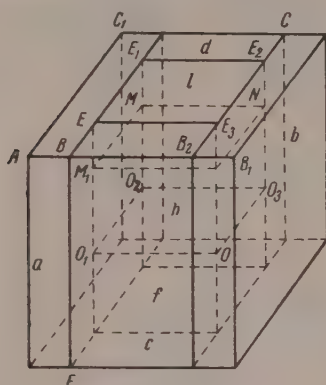


Рис. 12. Расположение параллелепипедов в объемной семикомпонентной диаграмме для определения содержания компонентов сплава

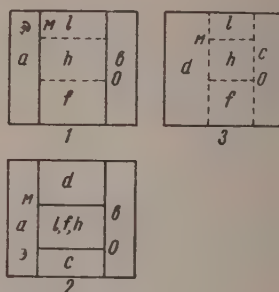


Рис. 13. Расположение параллелепипедов для определения содержания семи компонентов сплава в трехпроекционной диаграмме

При изменении концентрации компонентов, соответственно изменяются объемы параллелепипедов, что вызовет перемещение точек  $M$  и  $O$  на плоскостях проекций. Эти перемещения будут выражены кривыми линиями точек  $M$  и  $O$ .

В объемных диаграммах семь компонентов определяются двумя точками в каждой проекции, а для определения в плоскостных прямоугольных диаграммах семи компонентов требуются три точки.

Представленное расположение параллелепипедов (рис. 12), определяющих концентрации компонентов в системах, могут быть и другими в зависимости от разрешаемых вопросов. Такое расположение удовлетворяет при исследовании систем с постоянным содержанием компонентов  $A, B$ , при котором проекции точек в проекциях 1 и 2 (рис. 13) не изменяются (или отмечаются постоянными точками), а проекция 3 изменяется, как прямоугольная плоскостная диаграмма для пяти компонентов:  $C, D, E, F$  и  $H$ .

Для получения объемных диаграмм состава с числом компонентов более семи производится деление места компонента  $H$  семикомпонентной диаграммы на параллелепипеды в соответствии с числом компонентов, увеличением также и числа точек, определяющих расположение и объем параллелепипедов.

При исследовании требующихся областей в сложных многокомпонентных системах состав — свойство должны быть взяты разрезы, показывающие зависимость на проекциях с меньшим числом компонентов и выделением в них зависимости на диаграммах от изменения трех и двух компонентов.

### Выводы

В данном описании диаграмм зависимость состав — свойство многокомпонентных равновесных систем изображается расположением определяющих точек в прямоугольнике. Расположением точек определяется:

величина и размещение прямоугольников, которые соответствуют числу компонентов, входящих в состав смеси. С увеличением числа компонентов увеличивается число определяющих точек, нужных для определения площадей прямоугольников, выражающих число компонентов.

Диаграммы в сечениях из трех компонентов могут быть перестроены на изображение в треугольнике.

Уменьшение числа точек, определяющих зависимость состав — свойство, показано проекционно-объемными диаграммами. По построению объемно-проекционные диаграммы аналогичны прямоугольным диаграммам на плоскости.

В сечениях диаграммы состав — свойство многокомпонентных равновесных систем, в основном, изображаются распространенным способом построения диаграмм для двух компонентов.

Поступила  
15.II.1958

#### ЛИТЕРАТУРА

- Д. А. Петров, Вопросы теории сплавов алюминия 1951.  
Н. А. Глаголев, Справочник по номографии, 1937.

#### PLOTTING OF COMPOSITION — PROPERTY DIAGRAMS OF MULTICOMPONENT EQUILIBRIUM SYSTEMS

*E. A. Kuz'min (Moscow)*

#### S u m m a r y

In the present method of plotting the diagrams the composition — property relationship of multicomponent equilibrium systems is given by placing the determining points in a triangle. The position of the points is determined by the size and distribution of the rectangles corresponding to the number of components comprising the mixture.

Diagrams in tri-component sections may be transformed to triangular depiction.

A decrease in the number of points determining the composition — property function has been demonstrated by space - projection diagrams. The plotting of the latter is analogous to rectangular diagrams on a plane.

In sections composition — property diagrams are generally depicted by the commonly used method of two-component plotting.



## КИНЕТИКА ПРИЛИПАНИЯ МИНЕРАЛЬНЫХ ЧАСТИЦ К ПУЗЫРЬКАМ ПРИ ФЛОТАЦИИ

### 1. ЭЛЕКТРИЧЕСКОЕ ПОЛЕ ДВИЖУЩЕГОСЯ ПУЗЫРЬКА

*Б. В. Дерягин, С. С. Духин и В. А. Лисиченко*

В тех случаях, когда можно пренебречь движением пузырьков и окружающих минеральных частиц относительно жидкой среды, электрические поля тех и других локализованы, как известно, в пределах соответствующих двойных слоев. При этом, как следует из современной теории коагуляции и гетерокоагуляции [1], взаимодействие между каким-либо пузырьком и частицей может возникнуть только при сближении их поверхностей на расстояния порядка суммы толщин соответствующих ионных атмосфер, т. е. расстояния, в тысячи раз меньшие размеров пузырька. В этом случае двойные слои и их заряды могут проявить свое действие только на вторую стадию флотационного акта [2] — стадию прилипания, а не первую, заканчивающуюся соприкосновением ионных атмосфер.

Положение, однако, изменится, если учесть движение пузырька относительно окружающей среды. В данной работе показывается, что движение пузырька практически всегда приводит к возникновению\* электрического поля, выходящего далеко за пределы ионной атмосферы. На существование таких сил, сравнительно большого радиуса действия, по-видимому, указывают исследования В. А. Лисиченко и его сотрудников [4].

Механизм возникновения электрического поля вблизи подвижной поверхности раздела, покрытой слоем адсорбированных ионов, выясняется при рассмотрении соотношений непрерывности для потоков ионов у поверхности.

Пусть  $\Gamma^+$  и  $\Gamma^-$  — адсорбции в  $г\text{-моль/см}^2$  положительных и отрицательных ионов в поверхностном слое,  $v_i$  характеризует распределение скоростей вдоль поверхности. Движение поверхности сопровождается конвективным переносом положительных и отрицательных ионов. Плотности таких конвективных потоков ионов соответственно равны  $\Gamma^+v_i$  и  $\Gamma^-v_i$ . Нетрудно убедиться, что поверхностные дивергенции этих потоков отличны от нуля. Между тем в стационарных условиях поверхностные плотности ионов должны сохраняться. Разница в поступлении и потере ионов двойного слоя в каждом участке поверхности, имеющая место за счет конвективного поверхностного тока, должна компенсироваться соответствующей нормальной составляющей объемного потока ионов, выступающей в данном случае в роли источника или стока ионов для поверхностного конвективного потока ионов,

$$\operatorname{div}_s \Gamma^+ v_i = j_{n_i}^+ \quad (1)$$

$$\operatorname{div}_s \Gamma^- v_i = j_{n_i}^- \quad (2)$$

\* Впервые возникновение электрического поля при движении жидкой поверхности раздела рассматривалось А. Н. Фрумкин и В. Г. Левичем [3] для случая ртутной капли, падающей в растворе электролита. При этом приходилось учитывать адсорбцию лишь одного сорта ионов, так что оказалось возможным учитывать только миграцию ионов в электрическом поле, пренебрегая диффузией. В рассматриваемом явлении необходимо учитывать адсорбцию ионов двух сортов, при этом различие коэффициентов диффузии ионов выступает в роли основного фактора, определяющего величину и направление возникающего электрического поля.

Нормальные составляющие потоков ионов  $j_n^+$  и  $j_n^-$  обусловлены миграцией ионов в электрическом поле и их диффузией, так что, расписав подробно правые части в (1) и (2), получим

$$\left(-D^+ \frac{\partial c^+}{\partial r} + \frac{F}{RT} D^+ z^+ c^+ E_r\right)_a = \operatorname{div}_s (\Gamma^+ v_t), \quad (3)$$

$$\left(-D^- \frac{\partial c^-}{\partial r} - \frac{F}{RT} D^- z^- c^- E_r\right)_a = \operatorname{div}_s (\Gamma^- v_t), \quad (4)$$

$E_r$  — радиальная компонента напряженности электрического поля;  $F$  — число Фарадея;  $T$  — абсолютная температура,  $R$  — газовая постоянная;  $c^+$ ,  $D^+$  и  $D^-$ ,  $z^+$  и  $z^-$  — концентрации, выраженные в г-моль/см<sup>3</sup>, коэффициенты диффузии и электровалентности положительных и отрицательных ионов в бинарном электролите;  $a$  — радиус пузырька.

Уравнения непрерывности, определяющие распределения электрического поля и ионов в объеме бинарного электролита при прохождении бинарного тока, рассмотрены в [5]:

$$\mathbf{v} \operatorname{grad} c^+ = D^+ \Delta c^+ + \frac{F}{RT} D^+ z^+ \operatorname{div} (c^+ \mathbf{E}), \quad (5)$$

$$\mathbf{v} \operatorname{grad} c^- = D^- \Delta c^- + \frac{F}{RT} D^- z^- \operatorname{div} (c^- \mathbf{E}), \quad (6)$$

$\mathbf{E}$  — напряженность электрического поля.

Основным фактором, облегчающим рассмотрение задачи, является предположение об электронейтральности раствора [5].

$$z^+ c^+ - z^- c^- = 0. \quad (7)$$

В дальнейшем мы оценим отклонение раствора от электронейтральности, характеризующееся зарядом некомпенсированных ионов  $(z^+ c^+ - z^- c^-)e$  (заряд электрона) и установим, что это отклонение относительно

$$(z^+ c^+ - z^- c^-) / z^+ c^+ \ll 1. \quad (8)$$

Условие электронейтральности, аналогичное (7), должно иметь место и на поверхности

$$z^+ \Gamma^+ - z^- \Gamma^- = 0. \quad (9)$$

Используя (7) и (9), удобно ввести объемную молярную концентрацию и поверхностную молярную концентрацию  $\Gamma$ :

$$c = \frac{c^+}{z^+} = \frac{c^-}{z^-}, \quad \Gamma = \frac{\Gamma^+}{z^+} = \frac{\Gamma^-}{z^-}.$$

Исключая из (3) и (4)  $c^+$  и  $c^-$  при помощи (7) и принимая условие (9), получим распределение нормальной составляющей электрического поля на поверхности капли:

$$E_r(a, \theta) = \frac{RT}{F} \frac{D^+ - D^-}{D^+ D^-} \frac{\operatorname{div}_s (\Gamma v_t)}{(z^+ + z^-) c} \quad (10)$$

Аналогично так же, исключая  $E_r$  из (3) и (4) и используя (7) и (9), легко получить граничное условие для определения  $c(r, \theta)$ :

$$\frac{\partial c}{\partial r}(a, \theta) = \frac{\operatorname{div}_s (\Gamma v_t)}{D_{\text{эфф}}}, \quad (11)$$

$$D_{\text{эфф}} = \frac{D^+ D^- (z^+ + z^-)}{z^+ D^+ + z^- D^-}.$$

В [5] показано, что при условии (7) из (5) и (6) сразу же следует уравнение конвективной диффузии, позволяющее определить распределе-

ние молярной концентрации, независимо от электрического поля,

$$D_{\text{эфф}} \Delta c = v \operatorname{grad} c. \quad (1)$$

Второе уравнение, следующее из (5) и (6) при условии (7), после интегрирования дает [5] соотношение, связывающее напряженность электрического поля, градиент концентрации и вектор плотности полного тока

$$\frac{F}{RT} (z^+ D^+ + z^- D^-) c E + (D^+ - D^-) \operatorname{grad} c = \frac{i}{F z^+ z^-}. \quad (2)$$

Используя (1) и (2), убедимся, что при полной электронейтральности поверхности пузыря (9), нормальная составляющая плотности полного тока у поверхности равна нулю

$$i_n = i_n^+ - i_n^- = z^+ e j_n^+ - z^- e j_n^- = \operatorname{div}_s (z^+ \Gamma^+ - z^- \Gamma^-) = 0. \quad (3)$$

Чтобы убедиться, что в рассматриваемом случае плотность полного тока повсюду равна нулю, преобразуем (13) к виду

$$i = c \operatorname{grad} \phi, \quad (4)$$

где

$$\phi = F z^+ z^- \left[ \frac{F}{RT} (z^+ D^+ + z^- D^-) \varphi + (D^+ - D^-) \ln c \right].$$

Выразим через  $\phi$  уравнение непрерывности для полного тока  $\operatorname{div} i = 0$  и граничное условие, легко получаемое из (14) и (15), если учесть, что  $c(a, \theta) \neq 0$ , а также граничное условие на бесконечности  $i|_{r \rightarrow \infty} = 0$ :

$$\operatorname{div} [c(r, \theta) \operatorname{grad} \phi(r, \theta)] = 0, \quad \frac{\partial \phi}{\partial r}(a, \theta) = 0, \quad \phi|_{r \rightarrow \infty} = \text{const}.$$

То, что сформулированная таким образом задача имеет только тривиальное решение

$$\phi(r, \theta) = \text{const}, \quad (5)$$

можно показать, например, методом тепловых аналогий. Аналогичная тепловая задача:

$$\operatorname{div} [\lambda(r, \theta) \operatorname{grad} T(r, \theta)] = 0, \quad \frac{\partial T}{\partial r}(a, \theta) = 0, \quad T|_{r \rightarrow \infty} = T_\infty,$$

где  $T(r, \theta)$  — температурное поле;  $\lambda(r, \theta) \equiv c(r, \theta)$  — изменяющийся от точки к точке коэффициент теплопроводности, формулируется следующим образом. Требуется найти стационарное тепловое поле в среде, в которой отсутствуют объемные источники тепла и температура на бесконечности постоянна после внесения сферы, являющейся идеальным теплоизолятором. Так как ни в самой среде, ни на бесконечности тепловых источников нет, ясно, что потоки тепла в такой системе отсутствуют,  $T(r, \theta) = T_\infty$ , откуда следует (16), так что окончательно получим

$$i(r, \theta) = 0. \quad (6)$$

В важном частном случае, когда выполняется условие

$$c(r, \theta) - c_0 \ll c_0, \quad (7)$$

где  $c_0 = c|_{r \rightarrow \infty}$ , сформулированная выше задача совпадает с внешней задачей Неймана для сферы:

$$\Delta \phi = 0, \quad \frac{\partial \phi}{\partial r}(a, \theta) = 0, \quad \phi|_{r \rightarrow \infty} = \text{const},$$

для которой общеизвестно доказательство теоремы единственности [6] требующей, чтобы выполнялось (16).

Учитывая (17), преобразуем (13) к виду

$$E = \frac{RT}{F} \frac{D^+ - D^-}{z^+ D^+ + z^- D^-} \frac{\text{grad } c}{c}. \quad (19)$$

При условии (18), (19) еще более упрощается

$$E = \frac{RT}{F} \frac{D^+ - D^-}{z^+ D^+ + z^- D^-} \frac{\text{grad } c}{c_0}. \quad (19)$$

распределение скоростей вдоль поверхности пузырька как при  $Re < 1$ , так и при умеренных размерах [7] пузырька, когда  $50 < Re < 800$  и течение почти потенциально, имеет вид

$$v_t = v_0 \sin \theta. \quad (20)$$

Подставляя (20) в (10), получим

$$E_r(a, \theta) = \frac{RT}{F} \frac{(D^+ - D^-)}{D^+ D^-} \frac{v_0 \operatorname{div}_s (\Gamma \sin \theta)}{c}. \quad (21)$$

Рассмотрим теперь процедуру определения электрического поля в объеме раствора. Основная трудность здесь заключается в необходимости решения уравнения конвективной диффузии совместно с граничным условием (11) и граничным условием на бесконечности  $c|_{r \rightarrow \infty} = c_0$ , после чего определение электрического поля осуществляется путем дифференцирования согласно (19). Аналогичная задача, но с существенно иным более простым, чем (11), граничным условием, решалась В. Г. Левичем, изучавшим диффузионный поток электронейтральных молекул на поверхность движущейся капли или пузыря [7]. Составим безразмерные критерии: диффузионное число Прандтля

$$Pr_D = \frac{\nu}{D},$$

где  $\nu$  — кинематическая вязкость воды, и критерий, дающий порядок величины отношения конвективного потока к диффузионному

$$Pe = \frac{ua}{D_{эфф}} = Pr_D Re. \quad (22)$$

Поскольку  $Pr_D \sim 10^3$ , уже при  $Re > 10^{-2}$ ,  $Pe$  оказывается существенно больше единицы. Вследствие этого при  $Re > 10^{-2}$  формируется пограничный диффузионный слой, толщина которого  $\delta$ , согласно В. Г. Левичу, может быть оценена по формуле

$$\delta \sim \frac{a}{Pe^{1/2}}.$$

Градиент концентрации отличен от нуля практически только в пределах диффузионного слоя. Это означает, согласно (19), что и электрическое поле пузырька локализовано в пограничном диффузионном слое. Решение сформулированной выше задачи методами, разработанными в теории пограничного слоя, позволило бы точнее определить толщину диффузионного слоя и установить закон изменения концентрации в пределах диффузионного слоя. Не решая этой задачи, можно, используя общие сведения из теории пограничного диффузионного слоя, указать основные особенности распределения концентрации в его пределах.

Покажем, что значение нормальной составляющей электрического поля, известное в нашем случае на граничной поверхности (11), сохраняется при удалении от поверхности в основной толще диффузионного слоя лишь вблизи внешней границы диффузионного слоя, быстро убывая, стремится к нулю.



Рассмотрим выражение для  $E_r$ , составленное при помощи (19), учитывая, что еще раньше мы ограничили рассмотрение условием (18), в которого следует

$$E_r(r, \theta) \approx E(a, \theta) \frac{\text{grad}_r c(r, \theta)}{\text{grad}_r c(a, \theta)} = E(a, \theta) \frac{\frac{\partial c}{\partial r}(r, \theta)}{\frac{\partial c}{\partial r}(a, \theta)}. \quad (2)$$

Так как  $\frac{\partial c}{\partial r}(r, \theta) \approx \frac{\partial c}{\partial r}(a, \theta)$  в основной толще диффузионного слоя и лишь вблизи его внешней границы, быстро убывая, стремится к нулю, аналогично  $E_r(r, \theta) \approx E_r(a, \theta)$  в основной толще диффузионного слоя.

Отношение  $\text{grad}_\theta c / \text{grad}_r c$  много меньше единицы

$$\frac{1}{a} \frac{\partial c}{\partial \theta} \bigg/ \frac{\partial c}{\partial r} \sim \delta/a \sim Pe^{-1/2}.$$

Но согласно (19), это означает, что тангенциальная составляющая электрического поля при  $Pe \gg 1$  пренебрежимо мала, по сравнению с нормальной,

$$\frac{E_\theta}{E_r} \sim \frac{\text{grad}_\theta c}{\text{grad}_r c} \sim Pe^{-1/2}. \quad (2)$$

Оценим отклонение от электронейтральности в объеме электролита на поверхности пузырька. Отклонение от электронейтральности, характеризуемое величиной  $z^+c^+ - z^-c^-$ , нетрудно оценить при помощи уравнения Пуассона

$$\text{div } \mathbf{E} = -\frac{4\pi}{\epsilon} (z^+c^+ - z^-c^-) F, \quad (2)$$

откуда

$$z^+c^+ - z^-c^- = \frac{\epsilon}{4\pi F} \text{div } \mathbf{E}. \quad (2)$$

Подставляя сюда значение  $\mathbf{E}$  согласно (19), оценим получаемое выражение для основной толщй диффузионного слоя, прилежащей к поверхности пузырька

$$z^+c^+ - z^-c^- = \frac{\epsilon}{4\pi} \frac{RT}{F^2} \frac{D^+ - D^-}{z^+D^+ + z^-D^-} \frac{1}{\delta^2} \sim \left[ \frac{\Delta c}{c} - \left( \frac{\text{grad } c}{c} \right)^2 \right],$$

где  $\text{grad } c$  следует считать постоянным и равным  $c_0/\delta$ , а  $\Delta c$  по этой причине следует положить равным нулю

$$z^+c^+ - z^-c^- \sim \lambda = \frac{\epsilon RT}{4\pi F^2} \frac{D^+ - D^-}{z^+D^+ + z^-D^-} \frac{1}{\delta^2} \sim \frac{10^{-15}}{\delta^2} \text{ г-моль/л}. \quad (2)$$

Даже в случае крупных пузырьков, когда толщина диффузионного слоя очень мала,  $\delta \sim 10^{-4} \text{ см}$ ;  $\lambda \sim 10^{-7} \text{ г-моль/л}$ , т. е. условие (8) выполняется даже при малых концентрациях ионов.

Чтобы оценить отклонение от электронейтральности на поверхности пузырька, выразим  $j_n^+$  и  $j_n^-$  только через  $\partial c^+/\partial r$  и  $\partial c^-/\partial r$ , для чего поставим (19) в (3) и (4):

$$\text{div}_s (\Gamma^+ v_t) = j_n^+ = D_{\text{эфф}} \frac{\partial c^+}{\partial r}, \quad (2)$$

$$\text{div}_s (\Gamma^- v_t) = j_n^- = D_{\text{эфф}} \frac{\partial c^-}{\partial r}. \quad (2)$$

множая (28) на  $z^+$ , (29) на  $z^-$  и вычитая оба уравнения, получим

$$\operatorname{div}_s [(z^+ \Gamma^+ - z^- \Gamma^-) v_t] = D_{\text{эфф}} \frac{\partial}{\partial r} (z^+ c^+ - z^- c^-). \quad (30)$$

В первом приближении, считая раствор электронейтральным (7), отсюда получим (9). Если же учитывать отклонение от электронейтральности в объеме (27), получим оценку отклонения от электронейтральности поверхности, для чего оценим отношение, получаемое из (30) и (28),

$$\frac{\operatorname{div}_s [(z^+ \Gamma^+ - z^- \Gamma^-) v_t]}{\operatorname{div}_s (\Gamma^+ v_t)} = \frac{\frac{\partial}{\partial r} (z^+ c^+ - z^- c^-)}{\frac{\partial}{\partial r} (z^+ c^+)},$$

откуда аналогично следует

$$\frac{z^+ \Gamma^+ - z^- \Gamma^-}{z^+ \Gamma^+} \sim \frac{\lambda}{z^+ c^+} \ll 1. \quad (31)$$

Выведем теперь условие, при котором выполняется (18). Пусть  $\Gamma_0$  — равновесная молекулярная адсорбция положительных ионов, соответствующая объемной молярной концентрации  $c_0$ ,  $\Delta \Gamma = \Gamma(\theta) - \Gamma_0$  — отклонение адсорбции от равновесной,  $\Delta c = c(a, \theta) - c_0$ .

При условии (18) имеем

$$\Delta \Gamma \ll \Gamma_0, \quad (32)$$

если считать, что отклонение от адсорбционного равновесия достаточно мало. Это позволяет представить (11), учтя (20), по порядку величины следующим образом

$$\frac{\Delta c}{c} \sim \frac{\Gamma_0 v_0}{D_{\text{эфф}} a},$$

откуда нетрудно получить требуемое условие,

$$\frac{\Delta c}{c} \sim \left( \frac{v_0}{D_{\text{эфф}} a} \right)^{1/2} \frac{\Gamma_0}{c_0} \ll 1,$$

которое удобнее привести к виду

$$\frac{\Gamma_0}{c_0} \ll \left( \frac{D_{\text{эфф}} a}{v_0} \right)^{1/2}. \quad (33)$$

Оценивая правую часть, принимая  $D_{\text{эфф}} \sim 10^{-5} \text{ см}^2/\text{сек.}$ ;  $a/v_0 \sim 10^{-3} \text{ сек.}$ ,\* получим

$$\frac{\Gamma_0}{c_0} \ll 10^{-4} \text{ сек.} \quad (34)$$

При наличии торможения поверхностно-активным веществом, а также и  $\text{Re} \ll 1$ , правая часть в (33) увеличивается, и это условие становится еще менее жестким. Отношение  $\Gamma_0/c_0$  почти постоянно при малых концентрациях, когда  $\Gamma_0$  далеко от насыщения, и значительно убывает при достаточно высоких значениях  $c_0$ , когда рост  $c_0$  не сопровождается заметным увеличением адсорбции, уже достигшей насыщения. При таких высоких концентрациях условие (33) выполняется с достаточной точностью, видимо, для всех коллоидных электролитов, образующих органические ионы. При малых  $c_0$ , когда  $\Gamma_0$  далеко от насыщения, условие

\* Такой порядок величины для  $a/v_0$  соответствует интервалу значений чисел Рейнольдса  $1 < \text{Re} < 800$  ( $0,2 \text{ мм} < a < 1 \text{ мм}$ ), если не учитывать влияния поверхностно-активных веществ на  $v_0$  и, следуя [8], принять  $v_0 = \frac{1}{3} \frac{ga^2}{\nu}$  при  $\text{Re} < 1$  и  $= \frac{1}{9} \frac{ga^2}{\nu}$  при  $\text{Re} > 50$ .

(33) выполняется для коллоидных электролитов, характеризующихся не слишком высокой поверхностной активностью.

При условии (32), соблюдение которого обеспечивается при выполнении (33), формула для напряженности электрического поля у поверхности пузырька принимает следующий вид:

$$E_r(a, \theta) = \frac{2RT}{(z^+ + z^-)F} \frac{(D^+ - D^-)}{D^+ D^-} \frac{v_0 \Gamma_0}{a c_0} \cos \theta. \quad (35)$$

Наряду с ионогенными поверхностно-активными веществами в растворе могут присутствовать неионогенные поверхностно-активные вещества, возможное влияние которых на электрическое поле следует обсудить. Неионогенные поверхностно-активные вещества в условиях конвективной диффузии распределяются вдоль поверхности пузырька неравномерно. Так как структура двойного электрического слоя изменяется в зависимости от адсорбции неионогенных веществ, изменение последней вдоль поверхности пузырька может повлиять на адсорбцию ионогенного электролита в различных участках поверхности по-разному. При  $Re < 1$ , как показано в [7], относительное изменение адсорбции неионогенных веществ вдоль поверхности пузырька мало, так что условия адсорбции ионогенных веществ на различных участках поверхности пузырька в этом отношении почти одинаковы. Аналогичная ситуация возникает и при  $50 < Re < 800$  для хорошо растворимых неионогенных веществ, удовлетворяющих условию, аналогичному (33),

$$\frac{\Gamma_0}{c_0} \ll \left( \frac{Da}{v_0} \right)^{1/2}, \quad (36)$$

где  $\Gamma_0$  — равновесная адсорбция неионогенного вещества;  $c_0$  — его концентрация вдали от пузырька,  $D$  — его коэффициент диффузии. Это условие получается точно таким же образом, как и (33), так как стационарное распределение неионогенного вещества определяется таким же уравнением конвективной диффузии, как и (12), где следует изменить только коэффициент диффузии. Плохо растворимые поверхностно-активные вещества не удовлетворяющие условию (34), при  $Re \gg 1$  могут распределяться вдоль поверхности пузырька неравномерно, так что равновесная адсорбция ионогенного вещества  $\Gamma_0$ , входящая в формулу (34), в этих условиях является функцией угла  $\theta$ . При достаточной нерастворимости поверхностно-активного вещества оно почти полностью сносится в кормовую часть поверхности пузырька. В этом случае неионогенное вещество тоже не оказывает заметного влияния на электрическое поле пузырька. Следовательно, только некоторые неионогенные вещества могут повлиять на степень равномерного покрытия пузырька при  $Re \sim 10^2 - 10^3$  ионогенным веществом.

Оценим величину электрического поля в диффузионном пограничном слое по формуле (35), подставляя в нее ориентировочные значения параметров:  $v_0/a \sim 10^3$ , что соответствует интервалу значений  $0,2 \text{ мм} < a < 1 \text{ мм}$  в котором это отношение изменяется незначительно,  $\Gamma_0/c_0 \sim 10^{-5} \text{ см}$  и, при условии  $D^- \ll D^+$ ,

$$\frac{D^+ - D^-}{D^+ D^-} \sim \frac{1}{D^-} \sim 10^5 \text{ см}^2/\text{сек.},$$

$$E_r(a, 0) \sim E \cos \theta, \quad (37)$$

где  $E \sim 30 \text{ В/см}$ .

Если же принять  $(D^+ - D^-)/D^+ D^- \sim 10^6 \text{ сек/см}^2$ , учитывая значительные размеры ионов коллоидных электролитов,  $\Gamma_0/c_0 \sim 10^{-4} \text{ см}$ , получим

$$E \sim 3000 \text{ В/см}.$$

Таким образом рассмотренный в данной работе эффект обуславливает значительные электрические поля, могущие существенно повлиять на сближение минеральных частиц с движущимся пузырьком.

## Выводы

В статье изложена теория нового эффекта в области электрокинетических явлений, который имеет место при растяжении или сжатии поверхности раздела и различии величин коэффициентов диффузии ионов. Для случая свободно всплывающего пузырька рассчитано электрическое поле, обусловленное этим эффектом, которое выходит за пределы ионной атмосферы двойного электрического слоя и влияет на процесс сближения минеральной частицы и пузырька при флотации.

Кавказский институт  
минерального сырья

Поступила  
26.III.1958

## ЛИТЕРАТУРА

1. В. Дерягин, Коллоидн. ж., 26, 425, 1954; Disc. Farad. Soc., 18, 85, 1954.
2. С. Духин и В. В. Дерягин, Теория движения минеральных частиц вблизи всплывающего пузырька в применении к флотации, Изв. АН СССР, ОТН, № 1, 1959. Металлургия и топливо.
3. Н. Фрумкин и В. Г. Левич, Acta Physicochimica URSS, 2, 193, 1946; А. Н. Фрумкин, Изв. АН СССР, Серия химич., 223, 1945; В. Г. Левич, Ж. физ. химии, 21, 689, 1947; И. Н. Багоцкая и А. Н. Фрумкин, Ж. физ. химии, 21, 1033, 1947.
4. А. Лисиченко, Отчет Кавказского Института минерального сырья, 1956 г.
5. Г. Левич, Физико-химическая гидродинамика, § 38—39, Изд-во АН СССР, М. 1952.
6. Н. Тихонов и А. А. Самарский, Уравнения математической физики, стр. 294, ГИТТЛ, 1951.
7. Г. Левич, Физико-химическая гидродинамика, § 58.
8. В. Г. Левич, Физико-химическая гидродинамика, § 66, 67.
9. Г. Левич, Физико-химическая гидродинамика, § 59—64.

## KINETICS OF MINERAL PARTICLE ATTACHMENT TO BUBBLES DURING FLOTATION

*B. V. Deryagin, S. S. Dukhin and V. A. Lisichenko (Moscow)*

## Summary

In the paper the theory of a new effect in electrokinetics has been described that takes place on stretching or compressing the interfacial boundary in the case of the existence of a difference in values between the diffusion coefficients of cation and anion. The electrical field due to this effect has been calculated. The field spreads outside the limits of the electrical double layer and affects the process of mutual approach of the mineral particle and the bubble during flotation.



# ТЕРМОДИНАМИЧЕСКИЕ СВОЙСТВА ЭЛЕКТРОЛИТОВ В НЕВОДНЫХ РАСТВОРАХ

## VI. КОНЦЕНТРАЦИОННЫЕ КОЭФФИЦИЕНТЫ АКТИВНОСТИ HCl В СПИРТАХ И СПИРТОВОДНЫХ СМЕСЯХ

*В. В. Александров и Н. А. Измайлов*

В статьях IV и V [1] было рассмотрено влияние свойств растворителя на изменение энергии ионов хлористого водорода при переносе их из водного раствора с нулевой ионной силой в такой же раствор в воде (печивный эффект среды). Настоящая статья посвящена исследованию концентрационных изменений энергии и состояния ионов в растворе в различных растворителях. Количественной характеристикой этих изменений являлись полученные нами из измерений э. д. с. величины средних концентрационных коэффициентов активности HCl, отнесенные к бесконечному разбавлению в данном растворителе как к стандарту —  $\gamma^*$ .

Анализ полученных данных (таблица) по коэффициентам активности хлористого водорода показывает, что характер изменения энергетического состояния ионов в растворе с изменением концентрации электролита также сильно зависит от природы растворителя. Эти изменения могут

Коэффициенты активности HCl в спиртах

<i>m</i>	В и-пропаноле	В и-бутаноле	В и-бутаноле	В и-амиловом спирте	В бензиловом спирте
0,005	0,495	0,500	0,495	0,318	0,387
0,01	0,415	0,482	0,403	0,250	0,320
0,05	0,209	0,200	0,209	0,150	0,148
0,1	0,162	0,175	0,117	0,100	0,100
0,2	0,142	0,142	0,087	0,087	0,055
0,3	0,097	0,095	0,075	0,075	—
0,4	0,085	0,035	0,060	0,060	—
0,5	0,078	0,077	0,070	0,065	—
0,7	0,070	0,070	0,058	0,052	—
1,0	0,052	0,062	0,050	0,043	—
1,5	0,055	0,055	0,048	0,037	—
2,0	—	0,052	0,047	—	—
2,5	—	0,052	0,047	—	—
3,0	—	0,052	0,047	—	—
3,5	—	0,055	0,047	—	—
4,0	—	0,055	0,047	—	—
4,5	—	0,055	0,047	—	—
5,0	—	0,055	0,050	—	—
5,5	—	0,055	0,052	—	—
6,0	—	0,055	0,057	—	—
6,5	—	0,055	0,060	—	—
7,0	—	0,060	—	—	—

быть описаны теорией Дебая лишь в очень ограниченной области концентрации, для крайне разбавленных растворов. Из рассмотрения рис. следует также, что по мере увеличения концентрации коэффициенты активности все время уменьшаются, т. е. на кривых отсутствуют минимумы характерные для водных растворов электролитов.

Мы предположили, что причиной отсутствия минимумов на кривых зависимости коэффициентов активности хлористого водорода от концентрации в растворителях с относительно низкими диэлектрическими постоянными и низкой основностью является ассоциация ионов. Для проверки этого предположения нами были рассчитаны ионные коэффициенты активности хлористого водорода в метиловом и этиловом [2].

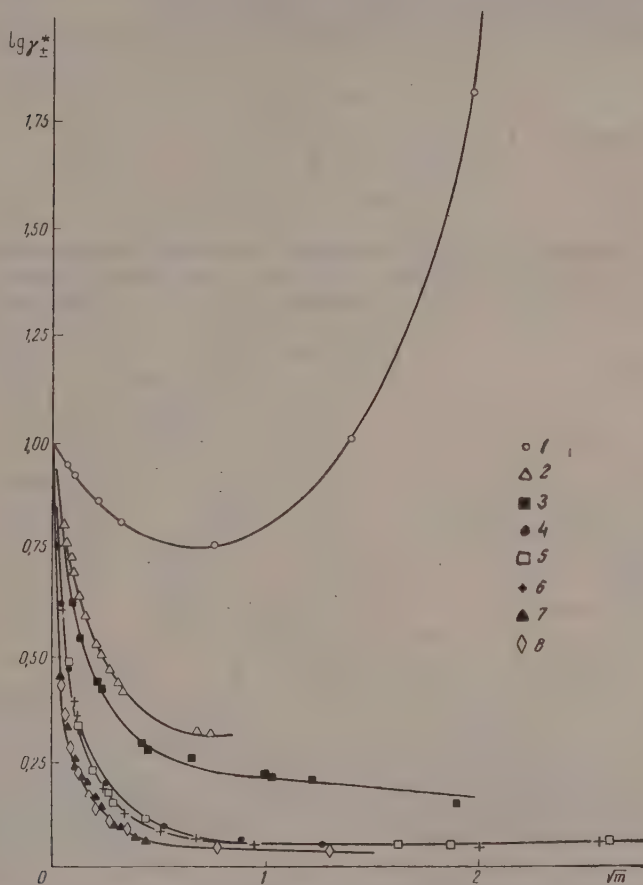


Рис. 1. Зависимость коэффициентов активности HCl от концентрации растворов в воде и спиртах: 1 —  $\text{H}_2\text{O}$ ,  $\Delta$  — метанол; 2 — этанол; 3 — *и*-пропанол; 4 — *н*-бутанол; 5 — *и*-бутанол; 6 — *и*-амиловый, 7 — бензиловый

спиртах. Мы остановились на этих растворителях потому, что для других спиртов данные о константах ассоциации HCl, необходимые для расчетов, в литературе отсутствуют.

Расчет ионных коэффициентов активности HCl производился на основании следующих соображений: константа ассоциации HCl может быть представлена выражением:

$$K_{\text{асс}}^{-1} = \frac{a_{\text{H}^+} a_{\text{Cl}^-}}{a_{\text{HCl}}} \text{ или } K_{\text{асс}}^{-1} = \frac{\gamma_{\pm}^2 m^2}{a_{\text{HCl}}} \quad (1)$$

где  $\gamma_{\pm}$  — средний экспериментальный коэффициент активности.

В то же время  $K_{\text{асс}}^{-1}$  может быть представлена в виде:

$$K_{\text{асс}}^{-1} = \frac{\gamma_i^2 m_{\text{общ}}^2 \alpha^2}{a_{\text{HCl}}},$$

где  $\gamma_i$  — средний ионный коэффициент активности,  $m_{\text{общ}}$  — общая моляльная концентрация HCl,  $\alpha$  — степень диссоциации.

Сопоставление этих двух выражений приводит к соотношению

$$\gamma_i = \frac{\gamma_{\pm}}{\alpha}.$$

Из уравнения

$$K_{\text{асс}}^{-1} = \frac{\gamma_{\pm}^2 m_{\text{общ}} \alpha}{1 - \alpha}$$

находилась степень диссоциации ионных двойников, а затем ионные коэффициенты активности находились делением экспериментальных значений коэффициентов активности на вычисленную степень диссоциации — о

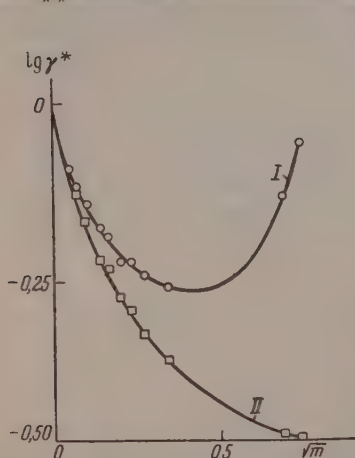


Рис. 2. Зависимость I — ионных и II — обычных коэффициентов активности от концентрации HCl (метанол)

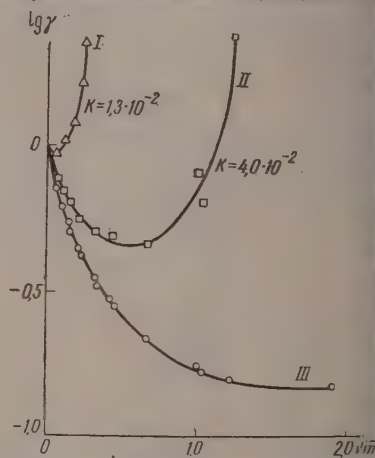


Рис. 3. Зависимость I — ионных II — обычных коэффициентов активности HCl от концентрации (этанол)

На рис. 2 и 3 приведены данные о величинах экспериментальных и ионных коэффициентов активности HCl в метиловом и этиловом спиртах. Рассчитанные ионные коэффициенты активности с изменением концентрации проходят через минимум, в то время как на кривых зависимости экспериментальных [3] коэффициентов активности от концентрации минимума отсутствуют.

Этот расчет показывает, что прохождение кривой зависимости коэффициентов активности от концентрации через минимум наблюдается для растворов сильных электролитов, в которых ассоциация ионов и комплексообразование либо полностью отсутствуют, либо выражены крайне незначительно, и концентрация свободных потенциалобразующих ионов соответствует общей концентрации электролита. Отсутствие же минимума на кривых коэффициентов активности в спиртах связано с ионной ассоциацией, проявляющейся тем сильнее, чем меньше диэлектрическая проницаемость спирта, чем меньше энергия взаимодействия ионов с молекулами растворителя и чем выше концентрация раствора.

Исследование э. д. с. цепей без переноса в спиртоводных смесях позволило нам установить интересные закономерности изменения обычных, концентрационных коэффициентов активности с концентрацией.

На рис. 4—6 приведена эта зависимость. Сплошные линии соответствуют коэффициентам активности HCl в чистом неводном растворителе. При рассмотрении рисунков следует, что в пределах ошибок эксперимента коэффициенты активности хлористого водорода в спиртоводных смесях с малым содержанием воды совпадают с коэффициентами активности HCl в чистом неводном растворителе. Однако такое совпадение наблюдается только в области разбавленных растворов.

По мере увеличения общей концентрации хлористого водорода различия между коэффициентами активности увеличиваются. Например в *n*-бутиловом спирте, в котором измерения были проведены до относительно высоких содержаний HCl, видно, что по мере увеличения концентрации

кривая зависимости  $\lg \gamma^* - \sqrt{\mu}$  для спиртоводной смеси с  $c_{H_2O} = 1$  моль/л проходит через минимум, что характерно для растворителей с высокой диэлектрической проницаемостью. Совпадение численных значений концентрационных коэффициентов активности хлористого водорода в спиртоводных смесях (при малых содержаниях воды) с таковыми для чистого спирта на первых порах кажется совершенно неожиданным. В предыдущей статье уже было указано, что именно малые добавки воды к спиртовым растворам плотности вызывают наиболее существен-

ные изменения э. д. с. и нормальных потенциалов водородхлорсерной цепи, а значит, и энергии ионов. Здесь мы имеем случай, когда изменение химической природы растворителя сказывается лишь на изменении стандартного состояния растворенного вещества ( $\lg \gamma_0$ ), закономерности изменения энергетического состояния ионов с изменением концентрации (при малых концентрациях) остаются те же. Последнее легко объяснить в свете теории Дебая, так как диэлектрические свойства среды при малых добавках воды практически не меняются.

Иное наблюдается при средних и высоких концентрациях HCl. В этом случае изменение коэффициентов активности с концентрацией уже нельзя объяснить лишь в связи с электростатическим межионным взаимодействием, и, естественно, что кривые коэффициентов активности HCl для спиртоводной смеси и чистого спирта не совпадают.

Интересным нам кажется прохождение кривой  $\lg \gamma^* - \sqrt{\mu}$  для спиртоводной смеси через минимум. Как уже говорилось, появление минимума характерно для растворителей с высокой диэлектрической проницаемостью. Не останавливаясь в настоящей статье на обзоре теорий межионного электростатического взаимодействия, необходимо отметить, что появление минимума на кривых  $\lg \gamma^* - \sqrt{\mu}$  в значительной мере обусловлено взаимодействием части молекул растворителя в сольватных оболочках ионов с различием за счет этого между фактической и рассчитанной концентрациями раствора [4]. Однако, как показывают полученные нами данные, прием кривой  $\lg \gamma^* - \sqrt{\mu}$  является результатом не только вышеуказанной причины. Мы считаем, что главную роль играет изменение энергии сольватации ионов с изменением концентрации раствора.

Существенные различия в значениях коэффициентов активности в чис-

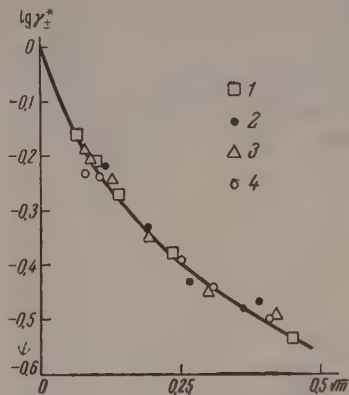


Рис. 4. Зависимость  $\lg \gamma_{HCl}^*$  от  $\sqrt{\mu}$  в этаноле и смесях этанола с водой: 1—этанол, 2 —  $c_{H_2O} = 0,1$  М; 3 —  $c_{H_2O} = 0,5$  М; 4 —  $c_{H_2O} = 1,0$  М



том спирте и спиртоводной смеси и закономерностях их изменения с концентрацией при высоких концентрациях хлористого водорода можно объяснить следующим образом.

Низкие значения коэффициентов активности в чистом спирте и отсутствие минимума на кривых  $\lg \gamma^* - \sqrt{m}$  связано с ассоциацией ионов. Ассоциация проявляется тем больше, чем меньше энергия взаимодействия ионов растворенного вещества с молекулами растворителя и его диэлектрическая проницаемость. В спиртоводной смеси значительная часть ионов водорода прочно связана с молекулами растворителя — водой и существует в виде ионов  $H_3O^+$ . Этим уменьшается возможность ионной ассоциации, и закономерности изменения коэффициентов с концентрацией в концентрированных растворах в спиртоводной смеси с малыми добавками воды значительно ближе к закономерностям в чистой воде (сильно ионизирующей), чем в чистом спирте.

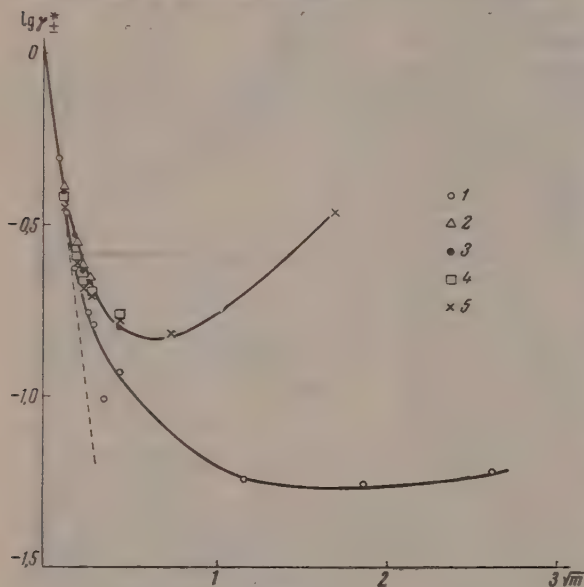


Рис. 5

Рис. 5. Зависимость  $\lg \gamma_{HCl}^*$  от  $\sqrt{m}$  в *n*-бутаноле и смесях *n*-бутанола с водой: 1 — *n*-бутанол; 2 —  $c_{H_2O} = 0,05 M$ ; 3 —  $c_{H_2O} = 0,1 M$ ; 4 —  $c_{H_2O} = 0,5 M$ ; 5 —  $c_{H_2O} = 1,0 M$ .

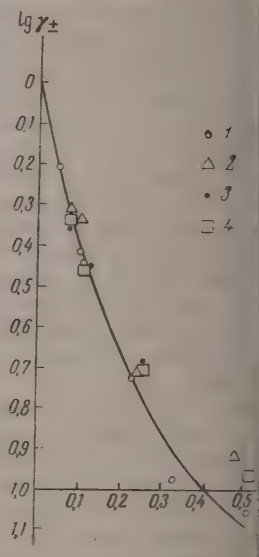


Рис. 6

Рис. 6. Зависимость  $\lg \gamma_{HCl}^*$  от  $\sqrt{m}$  в *i*-бутаноле и смесях *i*-бутанола с водой: 1 — *i*-бутанол; 2 —  $c_{H_2O} = 0,05 M$ ; 3 —  $c_{H_2O} = 0,1 M$ ; 4 —  $c_{H_2O} = 0,5 M$ .

Для более наглядного подтверждения этого положения мы сопоставили коэффициенты активности хлористого водорода в воде, спиртовых смесях и в чистых спиртах, относив их к единому стандартному состоянию — бесконечно разбавленному раствору в воде. Изменения энергии по отношению к этому стандарту —  $RT \ln \gamma$  могут быть представлены суммой двух величин: первичного эффекта среды  $RT \ln \gamma_0$  и энергетически изменений, вызванных изменением концентрации раствора в данном и водном растворителе —  $RT \ln \gamma^*$ , тогда

$$\ln \gamma = \ln \gamma_0 + \ln \gamma^* \text{ или } \gamma = \gamma_0 \gamma^*.$$

На рис. 7 и 8 представлены эти данные.

Из рассмотрения рисунков следует, что по мере роста концентрации хлористого водорода его коэффициенты активности в спиртах, отнесенные

единому стандартному состоянию, становятся примерно одинаковыми. При более высоких концентрациях кривые коэффициентов активности в воде и в спиртах сближаются. Такой ход изменения термодинамических свойств хлористого водорода в различных растворителях можно объяснить следующим образом. В разбавленных растворах, где можно считать молекулярный водород полностью диссоциированным на ионы во всех растворителях, различия в термодинамических свойствах определяются лишь различиями в энергиях взаимодействия ионов с молекулами растворителя (большие различия в величинах  $\lg \gamma_0$ ). В связи с этим наблюдаются большие различия в свойствах растворов HCl в воде и в спиртах, но очень заметные различия между растворами в спиртах (малые различия, в величинах  $\lg \gamma_0$ ). Особенно для водных разбавленных растворов, по сравнению со спиртовыми, можно считать большую энергию связи прото-

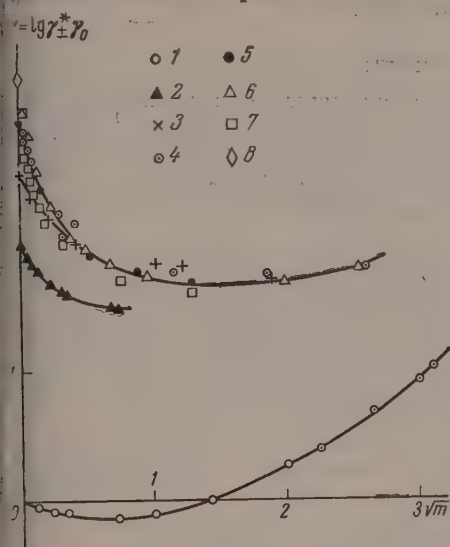


Рис. 7

с. 7. Зависимость  $\lg \gamma_{\text{HCl}}$  от  $\sqrt{m}$  в различных спиртах и в воде: 1 —  $\text{H}_2\text{O}$ ; 2 — метанол; 3 — этанол; 4 — бутанол; 5 — *и*-пропанол, 6 — *н*-бутанол; 7 — *и*-амиловый, 8 — бензиловый

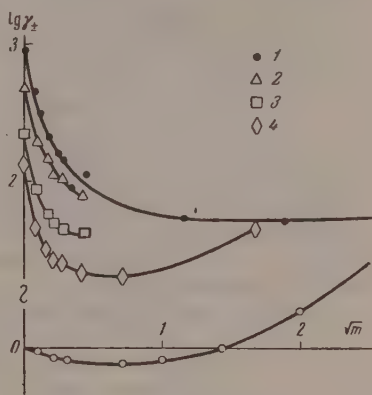


Рис. 8

с. 8. Зависимость  $\lg \gamma_{\text{HCl}}$  от  $\sqrt{m}$ : 0 — в воде; 1 — в бутаноле и смесях *н*-бутанола с водой; 2 —  $c_{\text{H}_2\text{O}} = 0,1 \text{ M}$ ; 3 —  $c_{\text{H}_2\text{O}} = 0,5 \text{ M}$ ; 4 —  $c_{\text{H}_2\text{O}} = 1,0 \text{ M}$

с молекулами воды, в результате чего затруднена передача протона от  $\text{H}_3\text{O}^+$ . Это приводит к существенным различиям в кислотности и талитической активности разбавленных растворов кислоты в воде и спиртах. Выравнивание этих свойств растворов по мере роста концентрации связано с тем, что в насыщенном растворе в различных растворителях энергетические состояния растворенного вещества тождественны.

Начало кривых для спиртоводных смесей, как уже было сказано, повторяет ход кривой в чистом спирте. Затем кривая для спиртоводной смеси с содержанием воды  $c_{\text{H}_2\text{O}} = 1 \text{ моль/л}$  проходит через минимум и идет параллельно кривой коэффициентов активности HCl в чистой воде.

Таким образом влияние добавок воды к неводным растворителям на энергетическое состояние растворенной кислоты сказывается прежде всего в реакции обмена протона между молекулами воды и неводного растворителя, что, в свою очередь, вызывает сильные изменения термодинамических свойств раствора. Характер изменения энергетического состояния концентрацией растворенной кислоты в данной спиртоводной смеси различен в зависимости от интервала концентрации. Для разбавленных растворов эта зависимость определяется законом Дебая. В связи с полной

диссоциацией и близостью диэлектрических проницаемостей спиртовых смесей с малым содержанием воды и чистого спирта коэффициенты активности в этих растворах совпадают. В растворах более концентрированных в чистом спирте характер зависимости коэффициента активности от концентрации в значительной мере определяется ассоциацией ионов, а в спиртоводных смесях уже при малых содержаниях воды ассоциация играет лишь подчиненную роль в связи с большим сродством к протонным молекулам воды, чем молекулам спирта.

Последнее обстоятельство говорит о том, что ионная ассоциация может быть различной при одной и той же величине диэлектрических свойств среды. Она в значительной мере определяется сродством к ионам соли протонных молекул растворителя.

### Выводы

При изучении влияния природы растворителя на величины концентрационных коэффициентов активности хлористого водорода установлено:

1. В отличие от водных растворов большинства электролитов, кривые зависимости коэффициентов активности HCl от концентрации в исследованных спиртах не имеют минимума. Причиной отсутствия минимума является ионная ассоциация.

2. Коэффициенты активности HCl в чистых спиртах и спиртоводных смесях с малыми добавками воды при относительно небольших концентрациях хлористого водорода численно совпадают.

3. Несмотря на большие различия в энергиях ионов в спиртах и спиртоводных смесях ( $\lg \gamma_0$ ), закономерности изменения избыточной энергии с концентрацией в спиртоводной смеси остаются такими же, как в спиртах при малых концентрациях HCl, и становятся такими же, как в воде, при больших концентрациях.

Харьковский государственный  
университет им. А. М. Горького

Поступила  
29.III.1958

### ЛИТЕРАТУРА

1. Н. А. Измайллов, В. В. Александров, Ж. физ. химии, 31, 261, 1957; В. В. Александров, Н. А. Измайллов, Ж. физ. химии, 32, 404, 1958.
2. Н. А. Измайллов, Влияние растворителя на силу кислот, Докторская диссертация, Харьков, 1948.
3. Г. Харнед, Б. Оуэн, Физическая химия растворов электролитов, ИЛ, Москва, 1952, стр. 511.
4. R. H. Stokes, R. A. Robinson, J. Amer. Chem. Soc., 70, 1870, 1948.

### THERMODYNAMIC PROPERTIES OF ELECTROLYTES IN NON-AQUEOUS SOLUTIONS

#### VI. CONCENTRATION ACTIVITY COEFFICIENTS OF HCl IN ALCOHOLS AND ALCOHOL MIXTURES

V. V. Alexandrov and N. A. Izmailov (Kharkov)

### Summary

In contrast to aqueous solutions there is no minimum on the curves depicting the activity coefficient as a function of hydrogen chloride concentration in alcohols. This phenomenon is due to ionic association, leading to a drop in value of the activity coefficients. This is confirmed by the presence of such minima in the case of ionic activity coefficients calculated on the basis of the association constants of HCl.

The activity coefficients of HCl in alcohol-water mixtures coincide with the values for the coefficients in pure alcohol in the case of low HCl concentrations, whereas for higher concentrations they change similarly to the change with concentration in water.

## ИССЛЕДОВАНИЕ ОПТИЧЕСКИХ, АДГЕЗИОННЫХ И МЕХАНИЧЕСКИХ СВОЙСТВ ТОНКИХ ПЛЕНОК ДВУОКИСИ ТИТАНА

*Ю. Н. Андреев*

Пленки двуокиси титана, получаемые в результате гидролиза различных титановых соединений, в частности этилового эфира ортотитановой кислоты, находят большое применение в технике. Их с успехом используют в качестве антикоррозионных покрытий [1, 2] и для понижения коэффициента отражения света от оптических деталей [3, 4]. Высушенный гель двуокиси титана используется как катализатор для реакций гидрирования и дегидратации спиртов [5, 6]. Такая широкая область применения указанного соединения, в особенности пленок, заставила более внимательно изучить их основные физические свойства.

Изучение кристаллической структуры двуокиси титана, прогретой в разных температурах, показало, что, по крайней мере, до температуры 100° она имеет структуру анатаза. После прогрева образца при более высоких температурах в нем обнаруживается структура рутила (при 1000° [7, 8]). Пористая структура указанных пленок была подробно изучена с использованием современной адсорбционной методики. Было показано, что пористая структура пленок не является простой функцией температуры их прогрева, а претерпевает весьма своеобразные изменения при температуре 250° [9, 10].

Продолжая ранее начатые исследования указанных пленок, мы поставили перед собой задачу изучить их некоторые оптические, адгезионные и механические свойства в зависимости от температуры прогрева образцов.

**Методика работы.** Исходный продукт — этиловый эфир ортотитановой кислоты — синтезировался нами так, как это описано в наших предыдущих работах [11, 12]. Спиртовой раствор этого вещества наносился на поверхность пластинки из стекла или флюорита. Под действием влажного воздуха происходил гидролиз исходного вещества с образованием пленки, состоящей из геля двуокиси титана, насыщенного водой. При прогревании в муфельной печи количество воды в пленке постепенно уменьшалось, но полностью обезводить пленку таким образом представляется возможным.

Для полуколичественного определения оставшейся воды в пленках нами была использована методика изучения кривых спектрального поглощения в инфракрасной области. Так как стекло в этой области спектра прозрачно, то пленки наносились на флюоритовые пластинки, которые прозрачны до 11  $\mu$ . Измерения проводились на инфракрасном спектрометре Экмана.

Интегральное отражение света определялось на фотоэлектрическом флексометре В. И. Чернышева по методике, неоднократно описанной [13].

Толщина пленок двуокиси титана на стекле определялась методом акад. В. Обреимова на созданном им приборе [14, 15].

Адгезионные силы между пленкой и каплей воды, помещенной на пленку, оценивались методом, который нами был уже подробно описан [16].

Поверхностная твердость пленок была изучена на специально построенном лабораторном склерометре облегченного типа, работающем на прин-



ципе прибора Шора. В нашем приборе шарик весом 0,5 г (стальной шарик подшипник) падал на изучаемую пленку, предварительно нанесенную на стеклянную пластинку, с высоты 50 см. Из 20 определений высоты отскока бралось среднее значение, которое и характеризовало относительную поверхностную твердость пленки [17]. Так как сорт стекла, на которое нанесена пленка, играет весьма существенную роль в этих определениях, то пленки наносились на полированные пластинки стекла Н и ТФЗ.

### Экспериментальная часть

В одной из предыдущих работ [10] нами было показано, что пористая структура пленок двуокиси титана претерпевает резкие изменения при температуре прогрева  $250^\circ$ , как это видно из нижних графиков рис. 1 и 2, взятых из цитируемой работы. В той же работе было показано, что те

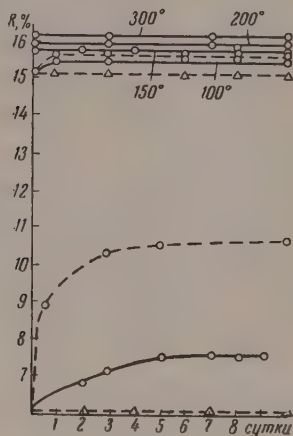


Рис. 1

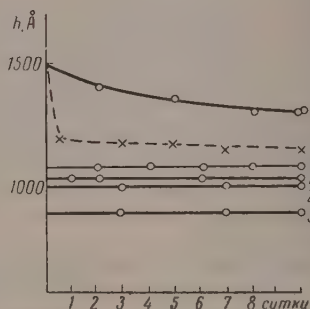


Рис. 2

Рис. 1. Изменение величины коэффициента отражения света от поверхности стекла с пленкой, высушенной в разных условиях

Рис. 2. Изменение геометрической толщины пленок  $h$  в Å, полученных из 10%-ного спиртового раствора этилового эфира ортотитановой кислоты, в зависимости от условий высушивания

кое изменение пористой структуры не может быть вызвано перекристаллизацией анатаза в рутил, так как точка этого перехода лежит при гораздо более высоких температурах.

Для того чтобы разобраться в причине указанного явления, мы решили изучить оптические свойства пленок.

Для этой цели было изготовлено 45 образцов пленок на стеклянных пластинках, которые были разбиты на девять групп. Первая группа образцов (сразу после нанесения пленок) закладывалась в эксикатор, где и выдерживалась над водой в продолжение 10 суток. Каждые 2—3 дня промерялась величина отражения света на рефлексометре В. И. Чернява. Результаты измерений показаны на самом нижнем графике рис. 1, где каждая точка представляет собой среднюю величину из трех определений на каждом из пяти образцов.

Вторая группа образцов высушивалась при комнатной температуре и относительной влажности воздуха  $\sim 60\%$ . Результаты измерений на том же приборе показаны на втором снизу графике того же рисунка. Третья группа образцов выдерживалась в эксикаторе над пятиокисью фосфора

ретий график). Четвертая, пятая и шестая группы были прогреты в течение часа при температуре  $100^\circ$ . После этого четвертая группа образцов была помещена в эксикатор над водой, пятая — оставлена на воздухе, шестая — помещена в эксикатор над пятиокисью фосфора. Последние три группы образцов были прогреты при температурах  $150$ ,  $200$  и  $300^\circ$ .

Рассматривая рис. 1, мы видим, что выдерживание образцов над водой стабилизирует их состояние, так как исключаются условия дегидратации пленок. Дегидратация пленок происходит при выдерживании их на воздухе и еще больше — при выдерживании над пятиокисью фосфора. Это явление имеет место для непрогретых пленок, в меньшей степени, для пленок, прогретых при температуре  $100^\circ$ . Пленки, прогретые при более высоких температурах, оказываются вполне стабильными. Никаких значительных изменений в оптических свойствах пленок, прогретых при температуре  $200$  и  $300^\circ$ , не отмечается.

Естественно предположить, что описанное изменение величины коэффициента отражения от стекла с пленкой вызвано в первую очередь изменением толщины слоя при его высыхании, что и подтверждается рис. 2. На этом рисунке верхний график соответствует образцам, которые выдер-

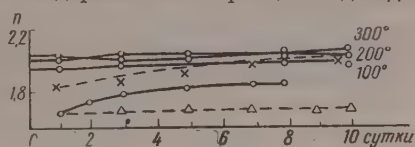


Рис. 3. Изменение показателя преломления  $n$  пленок, полученных из 10%-ного спиртового раствора этилового эфира ортотитановой кислоты, в зависимости от условий высушивания

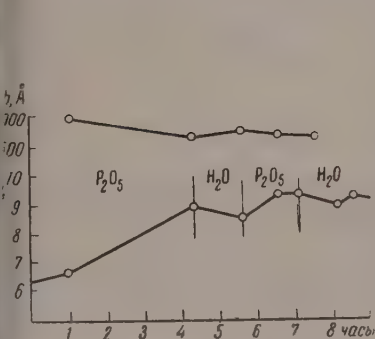


Рис. 4

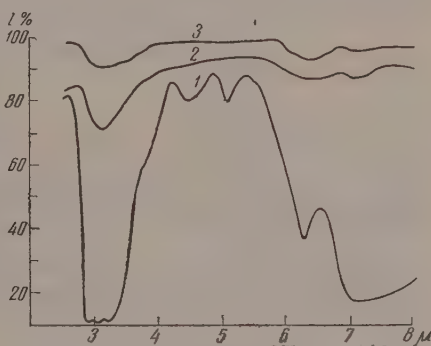


Рис. 5

Рис. 4. Зависимость коэффициента отражения света  $R$ , % от поверхности стекла с пленкой и ее геометрической толщины  $h$  в Å от влажности окружающего воздуха

Рис. 5. Зависимость коэффициента пропускания света  $I$ , % через пленку от длины волпадающего света в м: 1 — пленка не прогрета; 2 — пленка прогрета в продолжении 1 часа при температуре  $130^\circ$ ; 3 — пленка прогрета в продолжении 1 часа при температуре  $190^\circ$

жились на воздухе. Второй сверху график соответствует образцам, выдерживаемым над пятиокисью фосфора. Нижние графики соответствуют образцам, предварительно прогретым до указанных температур.

Одновременно с уменьшением толщины пленок происходит изменение показателя преломления, как это и видно на рис. 3. На этом рисунке и нижних графика соответствуют непрогретым пленкам.

Полученные результаты показывают, что отражение света от пленки стеклом очень сильно зависит от толщины пленки, которая определяется (для непрогретых пленок) количеством адсорбированной воды. Этот вывод очень наглядно подтверждается рис. 4. Нижний график этого рисунка показывает изменение коэффициента отражения от образца, пере-

носимого из эксикатора с водой в эксикатор с пятиокисью фосфора. Верхний график показывает изменение геометрической толщины пленки изчаемого образца.

Для того чтобы с еще большей уверенностью подтвердить получение вывода из первой серии экспериментов, нами были изучены кривые пропускания пленок в инфракрасной области. На рис. 5 показаны кривые пропускания пленок, образовавшихся на флюоритовых пластинках при гидролизе спиртового раствора этилового эфира ортотитановой кислоты и прогреть при различных температурах. К сожалению, не представлялось возможным прогревать флюоритовые пластинки с пленками при более высоких температурах, так как пластинки трескаются. Однако ориентировочные изменения, которые были проведены на потрескавшихся пластинках, прогретых при температуре  $250^{\circ}$ , показывают, что при этом прогреве происходит дальнейшее уменьшение содержания воды в пленках.

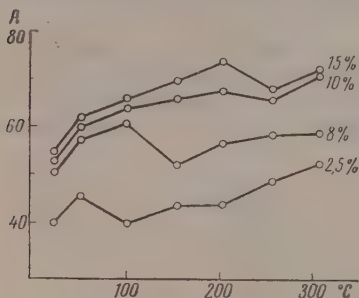


Рис. 6

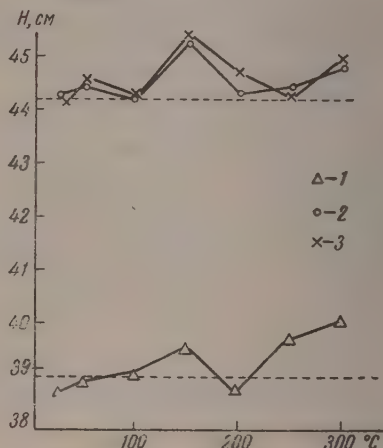


Рис. 7

Рис. 6. Зависимость работы адгезии воды к пленке А, эрг/см² от температуры ее прогрева и начальной концентрации (в %) пленкообразующего вещества в спиртовом растворе

Рис. 7. Зависимость высоты отскока шарика Н, см от стекол с пленками от температуры их прогрева и начальной концентрации (в %) пленкообразующего вещества в спиртовом растворе: 1—2,5%-ный раствор; 2—10%-ный раствор; 3—15%-ный раствор

На приведенных кривых отчетливо видны три полосы поглощения. Наиболее интенсивное поглощение при длине волны в  $3 \mu$  соответствует валентным колебаниям группы  $\text{OH}$ ; полоса поглощения при  $6,3 \mu$  — деформационным колебаниям молекулы воды, а полоса при  $6,9$ — $7,2 \mu$  — деформационным колебаниям группы  $\text{CH}_2$ . Изменение вида кривых при прогревании образцов показывает, что при прогревании образца при  $120^{\circ}$  в пленках почти не остается органических радикалов (почти полное уничтожение полосы поглощения при  $6,9$ — $7,2 \mu$ ). Однако вода в пленках остается и при более высоких температурах прогрева, что свидетельствует о значительно больших силах, которые удерживают воду, по сравнению с силами, удерживающими органические остатки.

Для определения адгезии пленки двуокиси титана к воде было приготовлено по 10 образцов с пленками, полученными из спиртовых растворов этилового эфира ортотитановой кислоты разных концентраций. Разные концентрации растворов давали возможность получать пленки различной толщины. На всех образцах проводилось определение работы адгезии к воде сразу после нанесения пленки, а затем после прогрева образцов в продолжении часа при  $50, 100, 150, 200, 250$  и  $300^{\circ}$ . Средняя величина десяти определений на образцах каждой из указанных серий наносилась точкой на графики рис. 6.

Рассматривая рис. 6, мы видим, что у пленок, полученных из разбавленных растворов (2, 5 и 8%), минимальная адгезия приходится на низкие температуры, что, вероятно, вызвано влиянием подложки при значительном утоньшении пленки при ее нагревании. У пленок, полученных из концентрированных растворов (10 и 15%) зависимость работы адгезии от температуры имеет сложный характер. Отмечается уменьшение работы адгезии при температуре прогрева  $250^\circ$ .

Для определения поверхностной твердости пленок необходимо было предварительно определить поверхностную твердость той стеклянной пластинки, на которую будет нанесена пленка.

Для этой цели нами были выбраны пластинки из стекла К8 и ТФЗ, и для них была определена высота отскока шарика на облегченном лабораторном термометре. Эти величины оказались равными для стекла К8 — 44,4, а для стекла ТФЗ — 38,9 см. После этого на пять пластинок из каждого сорта стекла были нанесены пленки из 15%-ного спиртового раствора этилового эфира ортотитановой кислоты. Дальнейшие испытания проводятся при тех же температурах предварительного прогрева образцов, при которых определялись величины работы адгезии пленок к воде.

Средние величины отскока шарика для каждого из пяти образцов наносилась на графики рис. 7. Рассматривая этот рисунок, мы опять видим, что наименьшая величина отскока шарика наблюдается при предварительном прогреве образцов при температуре  $250^\circ$ .

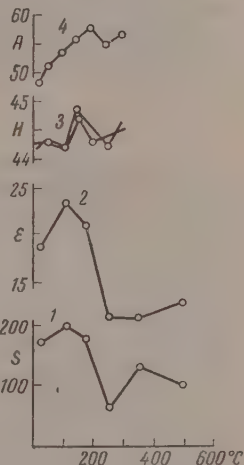


Рис. 8. Изменение свойств пленки в зависимости от температуры ее прогрева: 1 — удельная поверхность пленки  $\text{м}^2/\text{г}$ ; 2 — адсорбционный потенциал в  $\text{ккал}/\text{моль}$ ; 3 — высота отскока шарика в сантиметрах от образца с пленкой, нанесенной на поверхность стекла К8; 4 — работа адгезии воды к пленке в  $\text{эрг}/\text{см}^2$

### Обсуждение результатов

Анализируя полученные экспериментальные данные, мы видим, что изучение оптических свойств пленок дает возможность установить постепенное уменьшение количества воды в пленках при прогревании образцов до все более высоких температур. Однако из-за недостаточной чувствительности этих методов мы не могли установить каких-либо изменений, происходящих в пленках при температуре прогрева  $250^\circ$ . Адгезионные и механические свойства пленок показывают, что при этой температуре в пленках проходят какие-то процессы, не связанные с их температурной гидратацией.

На рис. 8 нами сопоставлены кривые, взятые из ранее упомянутой работы [10], с кривыми, описанными в предыдущем параграфе. К этому можно еще добавить кривую зависимости плотности двуокиси титана от температуры, которую исследовали В. Н. Лещенко и Д. И. Компанский [8]. По данным этих авторов, плотность двуокиси титана непрерывно возрастает до  $260^\circ$ . Начиная с этой температуры и вплоть до  $650^\circ$ , плотность вещества от температуры не зависит. Следовательно, действительно, в температуре  $250-260^\circ$  у двуокиси титана наступает какое-то резкое изменение структуры.

Наиболее естественным является предположение о том, что при данной температуре происходит резкое уменьшение количества кристаллизационной воды. Однако этому заключению противоречат два факта:

1. Кривая зависимости процентного содержания воды в геле двуокиси титана, полученная В. Н. Лещенко и Д. И. Компанским, не имеет резкого перегиба при изучаемой температуре.



2. Если бы действительно изменение свойств вызывалось разрушением кристаллогидрата, то температура перегиба кривых, найденная для ряда свойств двуокиси титана при атмосферном давлении, не соответствовала бы такой при исследованиях в вакууме.

Эти факты заставляют нас согласиться с мнением, которое высказывают В. Н. Лещенко и Д. И. Компанский [18]. Эти авторы говорят о том, что гель двуокиси титана надо рассматривать как фазу переменного состава («бертоллит»), который проходит при своем обезвоживании через сингулярные точки, отвечающие составу стехиометрически определенных гидратов («дальтонилов»).

Причиной найденного температурного перегиба исследуемых кривых является, по-видимому, переход метатитановой кислоты в дититановую по уравнению



Этот процесс проходит при температуре 200—225°. Однако по каким-либо причинам этот процесс не приводит сразу к изменению физических свойств продукта, которое наблюдается при несколько более высокой температуре.

Может быть, это обстоятельство вызвано тем, что переход метатитановой кислоты в дититановую облегчает процесс перекристаллизации двуокиси титана из анатаза в рутил. Образование мельчайших кристалликов рутила не может быть установлено на рентгенограммах при данной температуре, но сказывается на резком изменении пористости образца, что было установлено нами раньше [10].

Проведенные исследования дают возможность обосновать условия приготовления стабильных пленок двуокиси титана для их практического использования. Совершенно несомненно, что непрогретые пленки так же как и пленки, прогретые только при температуре 100°, не могут считаться стабильными. Их физические свойства зависят от влажности окружающего воздуха. Пленки становятся стабильными только после их предварительного прогрева при температуре 130°. При этом их свойства уже не зависят от количества воды, адсорбированной из окружающего воздуха. Такие пленки могут использоваться для различных технических целей.

### Выводы

1. Установлен перегиб на кривых температурной зависимости ряда физических свойств продуктов гидролиза этилового эфира ортотитановой кислоты. Кривые удельной поверхности пленки из указанных продуктов адсорбционный потенциал, поверхностная твердость и работа адгезии воды к пленке проходят через минимум при 250°.

2. Причиной найденного температурного перегиба исследованных кривых является, по-видимому, переход метатитановой кислоты в дититановую кислоту.

3. Установлено, что пленки становятся стабильными только после предварительного прогрева при 130°. При этом их свойства перестают зависеть от влажности окружающего воздуха.

Институт пищевой промышленности  
Ленинград

Поступила  
28.III.1958

### ЛИТЕРАТУРА

1. J. Kraitzer, K. McTagger, G. Winter, Austral. Dept. Mu. Paint Notes, 9, 304, 1947
2. J. Barksdale, Titanium, its occurrence, chemistry and technology, N. 1949.
3. Н. В. Суйковская, Тр. Гос. оптич. ин-та, 24, вып. 245, 1956.
4. Т. Н. Крылова, Тр. Гос. оптич. ин-та, 24, вып. 145, 1956.
5. F. Bischoff, H. Adkins, J. Amer. Chem. Soc., 47, 807, 1925.

- А. М. Рубинштейн, С. Г. Куликов, Изв. АН СССР, ОХН 84, 1925.  
K. Gutbier, Z. anorgan. allgem. Chem., 162, 87, 1927.  
А. М. Рубинштейн, С. Г. Куликов, Изв. АН СССР, ОХН 133, 1951.  
С. П. Жданов, Ю. Н. Андреев, Тр. Гос. оптич. ин-та, 24, вып. 145, 1956.  
Д. П. Добычин, Ю. Н. Андреев, Ж. физ. химии, 28, вып. 4, 1954.  
Ю. Н. Андреев, В. А. Никольский, Ж. общ. химии, Сборник статей, 2, 1428, 1953.  
Ю. Н. Андреев, Ж. общ. химии (в печати).  
И. В. Гребенщиков и др. Просветление оптики. Гостехиздат, 1946.  
И. В. Обреимов, Ж. эксперим. и теор. физики 16, 259, 1946; 17, 513, 1947.  
Э. М. Бронштейн, Ж. эксперим. и теор. физики 14, 431, 1944.  
Ю. Н. Андреев, Научн. тр. Моск. полигр. ин-та, 3, 91, 1955.  
Ю. Н. Андреев, Измерительная техника, № 2, 1959.  
В. Н. Лещенко, Д. И. Компанский, Ж. прикл. химии, № 8, 628, 1935.
- 

## INVESTIGATION INTO THE OPTICAL, ADHESIVE AND MECHANICAL PROPERTIES OF THIN FILMS OF TITANIUM DIOXIDE

*Yu. N. Andreev (Leningrad)*

### Summary

A break has been revealed on curves depicting the temperature dependence of a number of physical properties of the hydrolysis products of ethyl orthotitanate. The curves of the specific surface area of films of these products, of the adsorption potential, of the surface hardness and of the work of adhesion of water to the films pass through a maximum at 250° C. The reason for temperature inflexion of the curves is evidently the transition of metatitanic to dititanic acid. The films have been found to become soluble only on preliminary heating at 130° C. Following this their properties become independent of the humidity of the ambient air.

---

# СПЕКТРОФОТОМЕТРИЧЕСКОЕ ИССЛЕДОВАНИЕ РЕАКЦИИ ВЗАИМОДЕЙСТВИЯ 1,8-ДИОКСИ-2-(2'-ОКСИАЗОБЕНЗОЛ)- 3,6-НАФТАЛИН-ДИСУЛЬФОНАТА НАТРИЯ С ИОНАМИ КАЛЬЦИЯ, СТРОНЦИЯ И БАРИЯ

*В. Н. Толмачев и Г. Г. Ломакина*

В предыдущих статьях нами были приведены результаты определения констант диссоциации 1,8-диокси-2-(2'-оксиазобензол)-3,6-нафталин-дисульфоната натрия [1], а также результаты исследования состава, прочности спектров поглощения комплексов, образуемых этим реактивом с ионами магния [2] и цинка [3]. Настоящая статья посвящена исследованию комплексовых соединений, образуемых красителем с ионами кальция, стронция и бария.

Методика исследования и подготовка реактива к работе были описаны ранее [1, 2]. Источником ионов кальция служил дважды перекристаллизованный хлорид кальция. Концентрация растворов определялась аналитически. Растворы, содержащие ионы стронция и бария, готовились путем растворения нитратов, которые предварительно были соответствующим образом очищены и проанализированы.

Кривые поглощения растворов красителя в присутствии ионов кальция, стронция и бария были получены на спектродензографе при различных значениях pH. На рис. 1 приведены такие кривые для pH 4. Растворы содержали  $1,0 \cdot 10^{-4}$  моль/л красителя и избыточную (в 10 раз) концентрацию ионов металлов. Толщина слоя раствора  $l = 0,5$  см. Как видно из рисунка, заметный эффект наблюдается только в присутствии ионов кальция. Влияние ионов бария на спектр поглощения красителя совершенно незначительно.

Опыты показали, что оптическая плотность растворов, содержащих краситель, буферный раствор и ионы металла, достигает через 15—20 мин постоянного значения после смешения исходных растворов и далее не изменяется на протяжении 2—3 час.

Для изучения влияния pH среды на равновесия, существующие в растворах, были измерены оптические плотности двух серий растворов при различных значениях pH. В растворах первой серии концентрации ионов металлов красителя были следующими:  $c_{Me} = 1,0 \cdot 10^{-3}$  и  $c_R = 2,0 \cdot 10^{-3}$  моль/л. Во второй серии растворы содержали только краситель с той же концентрацией. На основании измеренных значений оптических плотностей растворов были построены кривые  $\Delta D_{600} = f(pH)$ , где  $\Delta D_{600}$  — разность оптических плотностей двух растворов, взятых из первой и второй серий при одинаковых значениях pH. Кривые приведены на рис. 2, из которого видно, что  $\Delta D_{600}$  проходит максимум в области pH ~ 11, где, как нами было установлено ранее, наблюдается максимальная концентрация  $R^{4-}$ -иона красителя [1, рис. 4]. Этот факт дает возможность предположить, что ионы кальция и стронция (очень вероятно, также и ионы бария) взаимодействуют с  $R^{4-}$ -ионами красителя\*, поскольку гидроксо-ионы последующих металлов (типа  $MeOH^+$ ) очень нестойки и вряд ли могут находиться в таком кол-

\* Аналогично комплексным соединениям красителя с ионами цинка [3] и магния [2].

стве, чтобы это могло отразиться на положении максимума кривой  $\epsilon = f(\text{pH})$ .

Состав образующихся комплексных соединений был определен по методу Остромысленского при различных значениях pH, причем учитывалась собственная окраска растворов красителя. На рис. 3 в качестве при-  
 зра приведены типичные графики « $\Delta D$  — состав». Опыты, проведенные  
 на различных значениях pH  $\sim 9,10$  и  $11$  показали, что максимальное зна-  
 чение  $\Delta D_{0,00}$  на диаграмме «состав — свойство» наблюдается при соотно-  
 нии  $\text{Me}^{2+} : \text{R}^{4-} = 1 : 2$ , т. е., что образующиеся комплексы имеют фор-  
 мулы  $\text{CaR}_2^{6-}$  и  $\text{SrR}_2^{6-}$ . По аналогии с этим для комплекса бария также была  
 принята формула  $\text{BaR}_2^{6-}$ .

Посредством определить состав этого комплексного соединения не удалось в свя-  
 с его малой прочностью и  
 злым оптическим эффектом  
 и смещении растворов  
 красителя и растворов со-  
 бария.

Коэффициенты молярного  
 поглощения комплексов бы-  
 определены по методу  
 насыщения — в избытке кра-  
 сителя для  $\text{CaR}_2^{6-}$  и  $\text{SrR}_2^{6-}$  (ко-

эффициенты  $\epsilon$ ) и в избытке ионов соответствующего металла для  $\text{CaR}_2^{6-}$ ,  
 $\text{R}_2^{6-}$  и  $\text{BaR}_2^{6-}$  (коэффициенты  $\epsilon'$ ). На рис. 4 приведены полученные кри-  
 ве  $\epsilon = f(\lambda)$ . Как видно из рисунка, соблюдается зависимость  $\epsilon' \approx 0,5 \epsilon$ ,  
 что подтверждает [4] приведенные выше формулы комплексов. Найден-  
 ные таким образом коэффициенты молярного поглощения были исполь-  
 зованы затем для расчета констант нестойкости комплексных соедине-  
 ний.

Для определения этих констант были измерены оптические плот-  
 ности ряда растворов с различными  
 концентрациями ионов металлов и  
 красителя, но такими, чтобы оставалось постоянным соотношение  $c_{\text{R}} =$   
 $= 2c_{\text{Me}}$ . Опыты проводились при темпе-  
 ратуре  $20-22^\circ$  безбуферным методом,

чтобы не усложнять ионный состав растворов. Ионная сила в связи с этим  
 превышала  $\sim 0,002$ . Оптические плотности растворов измерялись в  
 свете с  $l = 0,05 \text{ см}$  на монохроматоре УМ-2, pH растворов контролиро-  
 вался при помощи стеклянного электрода. В таблице показаны началь-  
 ные концентрации реагирующих веществ и измеренные значения  $D$  и pH,  
 которые были использованы затем для расчета констант нестойкости.

Учитывая условия проведения опытов, при расчете констант нестойко-  
 сти были приняты во внимание только следующие равновесия:



константы которых соответственно обозначим:  $K_1$ ,  $K_2$  и  $K_3$ . Величины  $K_2$   
 для гидроксокомплексов кальция, стронция и бария были приняты  
 следующие:  $5 \cdot 10^{-2}$  [5];  $1,6 \cdot 10^{-1}$  [6];  $2,3 \cdot 10^{-1}$  [5] соответственно. Ве-

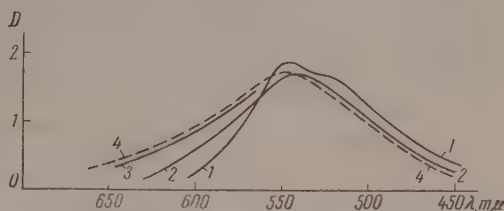


Рис. 1. Кривые поглощения растворов красителя в присутствии: 1 — ионов кальция; 2 — ионов стронция; 3 — ионов бария; 4 — без ионов металлов, pH = 11

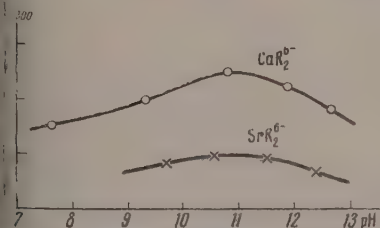


Рис. 2. Влияние pH среды на выход комплексов  $\text{CaR}_2^{6-}$  и  $\text{SrR}_2^{6-}$



Результаты расчета констант нестойкости (измерения при  $\lambda=510$  м в кювете  $l=0,05$  см)

$c_{Me}=10^{-4}$ , моль/л	$CaR_2^{6-}$			$SrR_2^{6-}$			$BaR_2^{6-}$		
	pH	D	$K \cdot 10^{13}$	pH	D	$K \cdot 10^8$	pH	D	$K \cdot 10^{13}$
3,30	11,1	0,600	7,2	11,5	0,427	10,3	10,6	0,380	7,5
2,50	11,2	0,443	3,8	—	—	—	11,0	0,275	20,0
1,66	11,2	0,284	7,2	11,4	0,225	3,0	10,9	0,215	1,5
0,83	11,3	0,139	3,1	11,2	0,123	9,0	10,9	0,109	2,8
3,30	11,1	0,590	7,5	11,4	0,420	10,0	10,9	0,386	11,6
2,50	11,2	0,436	6,9	11,1	0,342	9,0	—	—	—
1,66	11,3	0,282	5,6	11,4	0,228	4,0	11,1	0,216	1,2
0,83	11,3	0,142	1,2	11,2	0,120	8,8	—	—	—
	$(5,3 \pm 2,0) \cdot 10^{-10}$			$(7,7 \pm 2,7) \cdot 10^{-8}$			$7 \cdot 10^{-8}$		

Примечание: Статистическая обработка средних значений констант нестойкости проведена с надежностью  $\alpha=0,95$ .

личина  $K_3$  была найдена нами ранее [1] и равна  $4,1 \cdot 10^{-13}$ . Используя закон действия масс для равновесий (1) — (3), уравнение материального баланса и закон Бера, можно получить систему уравнений, позволяющую рассчитать искомую величину  $K_1$  для данного комплексного соединения [7]. Для одного из частных случаев такого рода задача была решена нами

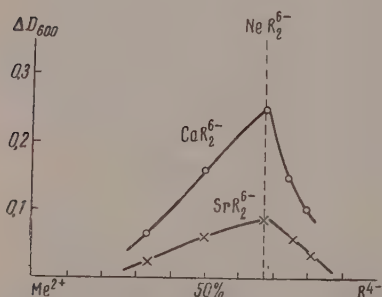


Рис. 3. Определение состава комплексов при pH = 11,2

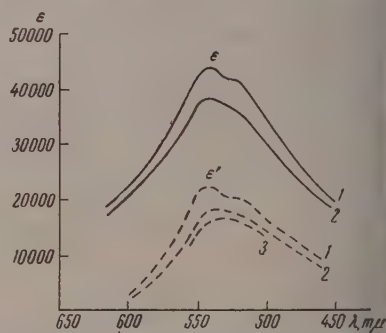


Рис. 4. Коэффициенты молярного поглощения комплексов: 1 —  $CaR_2^{6-}$ , 2 —  $SrR_2^{6-}$ ; 3 —  $BaR_2^{6-}$

при исследовании комплексного соединения, образуемого красителем ионами магния [2]. Расчетная формула имеет вид:

$$K_1 = \frac{4h^3 K_2 \beta (c\varepsilon - D)^3}{\alpha (\beta\varepsilon - \delta)^2 (D\beta - c\delta)},$$

где  $\alpha = hK_2 + K_W$ ,  $\beta = h + K_3$ ,  $\delta = 2h\varepsilon_4 + 2K_3\varepsilon_5$ ,  $h = [H^+]$ ,  $K_W = 10^{-14}$  — начальная концентрация металл-иона;  $D$  — измеренная оптическая плотность раствора, пересчитанная на толщину слоя в 1 см;  $\varepsilon$  — коэффициент молярного поглощения комплекса;  $\varepsilon_4$  и  $\varepsilon_5$  — коэффициенты молярного поглощения ионов  $R^{4-}$  и  $R^{6-}$  красителя. Измерения оптических плотностей растворов производились нами при  $\lambda = 510$  мμ. Для этих длин волны  $\varepsilon_4 = 10500$  и  $\varepsilon_5 = 13920$  [1, рис. 2], а коэффициенты молярного поглощения комплексных соединений ( $\varepsilon$ ), найденные по методу «насыщения» (рис. 4), для комплексов  $CaR_2^{6-}$ ,  $SrR_2^{6-}$  и  $BaR_2^{6-}$  соответственно равны: 37000, 34000 и 30000. В таблице приведены результаты расчетов констант нестойкости комплексов при помощи формулы (4). То

ить найденных констант для комплексов кальция и стронция можно считать удовлетворительной, особенно, если иметь в виду сложность расчетов, связанных с необходимостью учета поглощения трех окрашенных веществ в равновесных растворах. Что касается константы нестойкости соединения  $\text{BaR}_2^{6-}$ , то ее следует считать ориентировочной. Более точное определение этой величины затруднено в связи с малой прочностью комплекса и малыми изменениями в спектрах поглощения красителя в присутствии ионов бария.

На основании данных таблицы и, используя результаты работы [2], эмпирические соединения элементов главной подгруппы 2-й группы таблицы Д. И. Менделеева, можно расположить в следующий ряд по убыванию прочности  $\text{CaR}_2^{6-} > \text{MgR}_2^{6-} > \text{SrR}_2^{6-} > \text{BaR}_2^{6-}$ , примерно соответствующий ряду убывания электроотрицательностей атомов металлов. Специальное рассмотрение этого вопроса в связи со спектрами поглощения комплексов эффектами гидратации ионов металлов будет сделано нами в следующей работе.

### Выводы

1. При помощи спектрофотометрического метода исследованы равновесия в водных растворах, содержащих 1,8-диокси-2-(2'-оксиазобензол)-нафталин-дисульфонат натрия и ионы кальция, стронция или бария.
2. В растворах образуются комплексы  $\text{CaR}_2^{6-}$ ,  $\text{SrR}_2^{6-}$  и  $\text{BaR}_2^{6-}$ , константы нестойкости которых соответственно равны:  $5,3 \cdot 10^{-10}$ ;  $7,7 \cdot 10^{-8}$  и  $10^{-6}$ .
3. Прочность комплексов убывает в соответствии с уменьшением электроотрицательности ионов в ряду  $\text{Ca}^{2+} > \text{Sr}^{2+} > \text{Ba}^{2+}$ .

Харьковский государственный  
университет им. А. М. Горького

(Поступила  
28.III.1958)

### ЛИТЕРАТУРА

- В. Н. Толмачев, Г. Г. Ломакина, Ж. физ. химии, 31, 1027, 1957.  
В. Н. Толмачев, Г. Г. Ломакина, Ж. физ. химии, 31, 1600, 1957.  
В. Н. Толмачев, Г. Г. Ломакина, Ж. физ. химии, 33, 808, 1959.  
В. Н. Толмачев, Тр. Хим. факультета и Н.-и. ин-та химии Харьковск. гос. ун-та, 12, 83, 1954.  
R. Bell, J. Prue, J. Chem. Soc., 362, 1949.  
F. Gimblet, C. Monk, Trans. Faraday, Soc. 50, 965, 1954.  
Н. П. Комарь, Тр. Хим. факультета и Н.-и. ин-та химии Харьковск. гос. ун-та, 12, 64, 1954.

### SPECTROPHOTOMETRIC INVESTIGATION OF THE INTERACTION OF SODIUM 1,8-DIOXY-2- (2'-OXYAZOBENZENE) -3,6-NAPHTHALENE DISULPHONATE AND CALCIUM, STRONTIUM AND BARIUM IONS

V. N. Tolmachev and G. G. Lomakina (Kharkov)

### Summary

The interaction of calcium, strontium and barium ions with sodium 1,8-dioxy-2-(2'-oxyazobenzene)-3,6-naphthalene disulphonate has been investigated with the aid of a spectrophotometric method. At pH 9  $\text{CaR}_2^{6-}$ ,  $\text{SrR}_2^{6-}$  and  $\text{BaR}_2^{6-}$  are formed with stability constants respectively equal to  $5,3 \cdot 10^{-10}$ ,  $7,7 \cdot 10^{-8}$  and  $7 \cdot 10^{-6}$ .

## КИНЕТИКА ТЕРМИЧЕСКОГО РАЗЛОЖЕНИЯ ОЗОНА

*С. Я. Пшежецкий, Н. М. Морозов, С. А. Каменецкая,  
В. Н. Сирятекая и Е. И. Грибова*

Реакция разложения озона  $2O_3 \rightarrow 3O_2$  представляет интерес для химической кинетики в связи с тем, что можно было предполагать на основании данных по фотохимическому разложению наличие в этой реакции энергетических цепей, носителем которых является возбужденная молекула кислорода. Квантовый выход фотохимической реакции в газовой фазе в большинстве случаев больше двух; в жидком озоне, как установили А. В. Панкратов и С. Я. Пшежецкий [1], квантовый выход достигает 20.

В результате исследований кинетики термического разложения озона проведенных главным образом в 30-х годах, вопрос о механизме этой реакции не получил достаточной ясности. Это относится, в частности, к энергии активации, для которой в различных работах получены значения от 23 до 31 ккал. Открытым также оставался вопрос о том, почему предэкспоненциальный множитель константы второго порядка превосходит число двойных соударений в  $10^2$ – $10^3$  раз. Это объяснялось существованием энергетических цепей или участием внутренних степеней свободы в активации. Однако оба эти объяснения были неудовлетворительны. Подробно этот вопрос рассмотрен Касселем [2]. В последнее время снова возник интерес к этой реакции, что в значительной мере обусловлено возможностями применения озона как окислителя. Кинетике термического разложения озона посвящена работа Бенсона и Эксворти [3], которая, однако, не вносит ничего существенно нового в вопрос о механизме этой реакции. Опубликовано также несколько исследований по воспламенению и распространению пламени в озоне [4, 5] и по разложению озона на поверхностях [6–8].

Задачей настоящего исследования являлось уточнение механизма термического разложения озона и получение более достоверных значений кинетических констант. Для этого кинетика реакции была измерена при очень малых, средних и очень больших концентрациях озона, а также в широком интервале температур и при варьировании величины поверхности.

## Методика измерений

Изучение кинетики термического распада озона проводилось статическим методом по изменению давления и динамическим методом (в случае разбавленных смесей).

Озон получали в тихом разряде из электролитического кислорода, конденсировали при температуре жидкого кислорода. Концентрирование озона производили отгонкой кислорода в вакууме. Откачка производилась до давления  $6 \cdot 10^{-2}$  мм рт. ст., что соответствует упругости паров жидкого озона при  $-183^\circ$  [9]. Озон вводили в предварительно откачанный и пагретый кварцевый цилиндрический сосуд емкостью 286 см<sup>3</sup> (установка 1). Сосуд обогревали в ультратермостате или в печи с электрическим обогревом с электронным терморегулятором. Температура измерялась изолированной хромель-копелевой термопарой. Скорость реакции измеряли по приросту давления при помощи стеклянного ложечкового манометра с чувствительностью 1 мм рт. ст. на 60 мм шкалы. Мертвое пространство было небольшим и составляло 1,5% от реакционного объема.

Для стабилизации стенок сосуда эта и другие установки наполнялись оном, который оставался в них до полного прекращения распада. Во второй статической установке давление измеряли сернокислотным манометром. Реакционный сосуд в этой установке был сделан из кварца и имел объем  $103 \text{ см}^3$  и поверхность  $132 \text{ см}^2$ . Сосуд предварительно прокачивали и  $600^\circ$  в вакууме и перед каждым опытом дополнительно при  $300^\circ$  в течение 20 мин. Сосуд обогревался в ультратермостате.

Измерение кинетики реакции в смесях с кислородом при малых начальных концентрациях озона проводилось динамическим методом при атмосферном давлении в интервале температур от  $120$  до  $170^\circ$ . Концентрация озона в исходном газе составляла 1—3 объем. %. Реакционный сосуд цилиндрической формы емкостью  $100 \text{ см}^3$  был сделан из кварца и окружен сляной рубашкой. Скорость потока кислорода рассчитывали по электрическому току (установка 3).

Изменение концентрации озона определяли йодометрическим методом применением буферного раствора [23]. Для кранов и шлифов во всех установках применялась смазка из фторированных углеводородов. Было установлено, что она не оказывает заметного каталитического действия на распад озона.

### Экспериментальные данные

Измерения скорости распада озона проводились в температурном интервале  $70$ — $170^\circ$  и в интервале давлений  $30$ — $760 \text{ мм рт. ст.}$  при различных начальных соотношениях озона и кислорода.

Результаты некоторых типичных опытов, относящихся к разным начальным условиям, приведены в табл. 1, 2 и 3.

Таблица 1\*

$^\circ\text{C}$	Время от начала отсчета, мин.	Давление озона $\text{PO}_2$ , мм. рт. ст.	Давление кислорода $\text{PO}_2$ , мм. рт. ст.	Константа 2-го порядка $\lambda$ , моль/мин.	$^\circ\text{C}$	Время от начала отсчета, мин.	Давление озона $\text{PO}_2$ , мм. рт. ст.	Давление кислорода $\text{PO}_2$ , мм. рт. ст.	Константа 2-го порядка $\lambda$ , моль/мин.
0,6	0	109,4	—	—	119	1,7	32,1	0,15	4,03
	4,3	108,3	1,7	0,465		12,8	30,1	3,45	4,26
	8,0	107,4	3,1	0,462		32,0	27,2	7,81	4,32
	9,0	107,0	3,7	0,482		54,0	24,4	12,00	4,35
	16,0	105,5	5,9	0,460		84,0	21,3	16,65	4,44
	37,0	101,0	12,7	0,442		125,0	17,5	22,35	4,87
	66,0	96,1	20,0	0,410		0	33,1	—	—
	81,0	93,3	24,2	0,416		3,0	30,3	4,2	22,7
	137,0	84,5	37,4	0,420		5,0	28,8	6,5	22,3
	0	110,5	—	—		13,0	23,8	13,9	22,2
0,6	1,7	109,4	1,6	1,110	147	34,8	14,4	28,0	27,4
	3,7	108,1	3,6	1,165		46,5	11,5	32,4	29,6
	7,5	105,9	6,9	1,150		80,0	7,6	38,3	31,2
	18,5	101,2	13,2	0,990		114,0	5,0	42,2	36,8
	34,7	93,5	25,5	1,040		0	33,9	—	—
	58,0	85,0	38,2	1,030		1,3	26,7	10,8	158
	158,7	60,7	74,6	1,025		1,7	24,6	14,0	169
	178,5	59,5	76,5	0,955		4,2	18,1	23,7	160
	0	32,4	—	—		5,0	16,7	25,8	159
9,5	0	32,4	—	—					

\* Данные получены на установке 1.

В последнем столбце таблицы приведены значения констант, рассчитанные по уравнению второго порядка. Как показывают данные, эти константы изменяются в зависимости от отношения озона к кислороду. Уравнение второго порядка сравнительно хорошо выполняется для концентрирован-



Таблица 2\*

Т° С	Время от начала отсчета, мин.	Давление озона $p_{O_3}$ мм рт. ст.	Давление кислорода $p_{O_2}$ мм рт. ст.	Константа 2-го порядка л/моль мин.
80,2	0	153,0	24,5	—
	8,0	146,0	35,0	0,86
	16,0	140,0	44,0	0,83
	38,0	125,0	66,5	0,83
	52,0	116,0	80,0	0,87
	99,0	92,0	116,0	0,95
90,4	0	172,0	48,0	—
	6,0	155,0	73,5	2,150
	16,0	134,0	105,0	2,440
	28,0	112,0	138,0	2,420
	44,0	94,0	165,0	2,530
	61,0	76,0	192,0	2,490
95,4	85,0	60,0	216,0	2,760
	0	110,0	91,0	—
	6,0	100,0	106,0	3,120
	18,0	80,0	136,0	4,550
	28,5	67,0	156,0	4,580
	37,0	59,0	168,0	4,700
100	65,0	40,0	196,0	5,220
	0	127,0	107,0	—
	6,5	103,0	143,5	7,170
	11,0	90,0	163,0	8,650
	15,0	80,0	178,0	8,450
	23,0	64,0	202,0	8,620
	46,0	38,0	241,0	11,100

\* Данные получены на установке 2.

Таблица 3\*

Т°С	Время пребывания газа в реакционной зоне, мин	Начальные концентрации, моль/л		Концентр. озона на выходе $[O_3]$ , моль/л $\times 10$	Константа 2-го порядка, л/моль мин
		$[O_2] \cdot 10^4$	$[O_2] \cdot 10^2$		
120	4,35	8,65	3,11	7,40	45,0
130	4,16	7,18	3,02	5,32	116,5
140	4,05	7,85	2,95	4,42	244,0
150	3,97	6,40	2,88	2,93	466,0
160	3,86	5,79	2,81	1,80	990,0
150	4,96	3,98	2,88	1,98	511,0
150	6,71	3,94	2,88	1,54	590,0
150	9,96	4,26	2,88	1,32	525,0
150	19,7	6,55	2,88	0,985	440,0

\* Данные получены на установке 3.

ных и разбавленных смесей. Для смесей средней концентрации наблюдается регулярный ход константы с изменением состава. Константы не зависят от величины начального давления.

На рис. 1 приведены зависимости логарифма скорости реакции от  $1/T$  при одинаковых степенях превращения озона для различных составов смесей\*.

\* Для смесей, содержащих 2—3 объемн. %  $O_3$ , приведена зависимость логарифма константы скорости второго порядка.

Как видно на графике, уравнение Аррениуса хорошо выполняется, однако, прямые имеют разный наклон для различного содержания озона. Таким образом «эффективная» энергия активации зависит от состава смеси и изменяется примерно от 18 (95—97%  $O_3$ ) до 27 ккал (2—3%  $O_3$ ).

Реакция разложения озона чувствительна к активной поверхности катализаторов. Однако хорошо тренированные и обработанные кварцевая или даже стеклянная поверхности мало влияют на гомогенную реакцию.

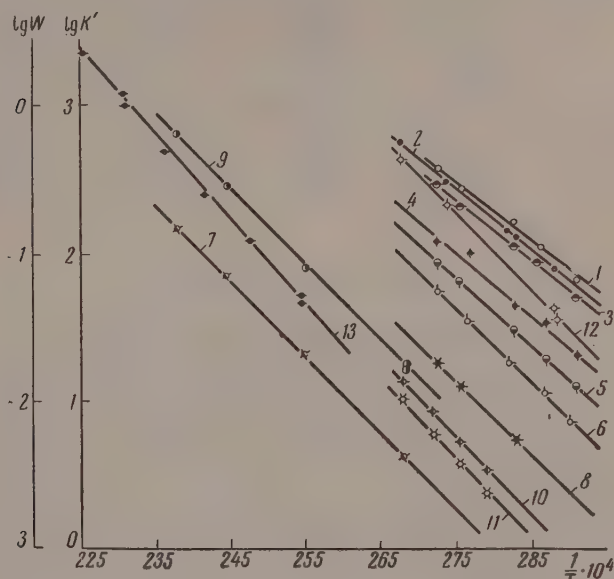


Рис. 1. Зависимость логарифма скорости реакции от  $\frac{1}{T}$ , 1—

$p = 110$  мм рт. ст., 94,5%  $O_3$ ,  $E = 18\,300$  ккал; 2 —  $p = 40$  мм рт. ст., 97%  $O_3$ ,  $E = 18\,800$  ккал; 3 —  $p = 112$  мм рт. ст., 92,5%  $O_3$ ,  $E = 19\,100$  ккал; 4 —  $p = 115$  мм рт. ст., 85,5%  $O_3$ ,  $E = 19\,700$  ккал; 5 —  $p = 118$  мм рт. ст., 79%  $O_3$ ,  $E = 21\,800$  ккал; 6 —  $p = 120$  мм рт. ст., 68,6%  $O_3$ ,  $E = 23\,000$  ккал; 7 —  $p = 33\text{—}35$  мм рт. ст., 64,0%  $O_3$ ,  $E = 23\,700$  ккал; 8 —  $p = 136$  мм рт. ст., 43,8%  $O_3$ ,  $E = 23\,000$  ккал; 9 —  $p = 33\text{—}35$  мм рт. ст., 30,8%  $O_3$ ,  $E = 24\,200$  ккал; 10 —  $p = 260$  мм рт. ст., 30%  $O_3$ ,  $E = 24\,500$  ккал; 11 —  $p = 270$  мм рт. ст., 20%  $O_3$ ,  $E = 24\,500$  ккал; 12 —  $p = 167$  мм рт. ст., 19%  $O_3$ ,  $E = 24\,400$  ккал; 13 —  $p = 760$  мм рт. ст., по оси ординат логарифм константы скорости 2-го порядка, концентрация  $O_3$ , 2—3 объемн. %,  $E = 27\,000$  ккал

Для выяснения роли гетерогенной реакции были проведены опыты с кварцевой насадкой в виде колец диаметром 5 мм. Насадку обрабатывали так же, как реакционный сосуд. Некоторые данные, относящиеся к этим измерениям, приведены в табл. 4. Увеличение отношения поверхности к объему в сравнении с пустым сосудом было в 4,7 раза.

Приведенные в табл. 4 величины констант скорости практически совпадают с величинами, приведенными в табл. 1 и 2. Таким образом увеличение поверхности в 4,7 раза не изменило скорости реакции. Следовательно, поверхностный распад не играет значительной роли в процессе, можно считать, что полученные величины относятся к гомогенной реакции.

Таблица 4

Отношение поверхности к объему:  $6,05 \text{ см}^{-1}$ 

$T^{\circ}\text{C}$	Время от начала отсчета, мин.	Давление озона $\text{PO}_2$ , мм рт. ст.	Давление кислорода, $\text{PO}_2$ , мм рт. ст.	Константа 2-го порядка, $\text{л/моль мин.}$
70,2	0	204,0	56,0	—
	11,0	197,0	66,5	0,338
	44,0	182,0	89,0	0,290
	98,0	156,0	128,0	0,328
	196,0	124,0	176,0	0,336
	269,0	108,0	200,0	0,344
95,4	0	134,0	66,0	—
	6,0	118,0	90,0	3,880
	32,0	77,0	152,0	3,980
	48,0	61,0	176,0	4,270
	74,0	41,0	206,0	5,150

## Обсуждение результатов

Характерной особенностью реакции разложения озона, на которую до сих пор обращали сравнительно мало внимания, является то, что в мере углубления процесса, т. е. с изменением соотношения между озоном и кислородом, изменяются величины кинетических констант.

Прежде всего это относится к измеряемой энергии активации реакции. На рис. 2 приведена зависимость энергии активации от содержания озона в смеси. На графике нанесены наши данные, а также величины, полученные другими исследователями. На графике видно, что все величины группируются вблизи друг друга и закономерно изменяются в зависимости от состава смеси примерно от 18 до 30 ккал. В относительно широком интервале концентраций озона — от 15 до 70% энергия активации практически неизменна и составляет 24—24,5 ккал. Заметим, что величины энергии активации порядка 29—31 ккал получаются в основном при относительно более высоких температурах. Точно так же в зависимости от состава смеси меняется и предэкспоненциальный множитель. В табл. 4 приведены соответствующие данные для константы второго порядка.

Таблица 5

$\% \text{ O}_2$	$K_0$ , л/моль сек.	Общее давление смеси, см рт. ст.	Литература	$\% \text{ O}_2$	$K_0$ , л/моль сек.	Общее давление смеси, мм рт. ст.	Литература
97,0	$9,0 \cdot 10^9$	40	Наши данные	46,7	$1,1 \cdot 10^{13}$	207	[10]
94,5	$3,2 \cdot 10^9$	110	То же	30,8	$6,0 \cdot 10^{12}$	33—35	Наши данные
85,5	$2,0 \cdot 10^{10}$	115	»	30,0	$2,0 \cdot 10^{13}$	260	То же
84,0	$7,0 \cdot 10^{11}$	61,5	[10]	20,0	$2,2 \cdot 10^{13}$	270	»
79,0	$4,5 \cdot 10^{11}$	118	Наши данные	19,0	$4,0 \cdot 10^{13}$	167	»
68,6	$2,5 \cdot 10^{12}$	120	То же	7,4	$4,0 \cdot 10^{13}$	700	[10]
	$9,0 \cdot 10^{12}$	33—35	»	2,0—3,0	$7,6 \cdot 10^{14}$	760	Наши данные
64,0	$9,3 \cdot 10^{12}$	151	[3]				

Как видно из данных табл. 5, изменение предэкспонента происходит более чем на пять порядков. Число двойных соударений в данных условиях — порядка  $10^{11}$ . Таким образом в концентрированных смесях пре-

споненциальный множитель меньше числа двойных соударений в  $10^2$  раз, а в разбавленных смесях больше числа двойных соударений в  $10^2$ — $10^4$  раз. В интервале концентраций озона от 15 до 70% предэкспоненциальный множитель практически постоянен и больше числа двойных соударений примерно в  $10^2$  раз ( $1,5 \cdot 10^{13}$  л./мольсек.).

Изменение эффективной энергии активации и предэкспоненциального множителя с изменением состава, по-видимому, связано с тем, что по мере изменения соотношения между озоном и кислородом в реакционной смеси меняется удельный вес различных элементарных реакций, имеющих разную энергию активации и предэкспоненциальный множитель.

Рассмотрим наиболее вероятные элементарные реакции, из которых состоит процесс:

1.  $O_3 + O_3 \rightarrow 3O_2$ ;
2.  $O_3 + M \rightarrow O_2 + O + M$ ;
3.  $O + O_3 \rightarrow 2O_2$ ;
4.  $O + O_2 + M \rightarrow O_3 + M$ .

$M$  — может обозначать молекулу  $O_3$  и  $O_2$ , либо любого инертного газа. Кроме того,  $M$  может обозначать поверхность; если в реакциях 1 и 3 образуются возбужденные молекулы  $O_2$ , то возможна энергетическая цепь, состоящая из реакций

5.  $O_2^* + O_3 \rightarrow O_2 + O_2 + O$ .

реакции 3. Тогда будут играть роль так-процессы дезактивации.

6.  $O_2^* + M \rightarrow O_2 + M$ .

Бимолекулярная реакция 1, по-видимому, требует меньшей энергии активации, чем реакция 2. Для последней энергия активации должна быть не выше, чем 24 ккал/моль. Хорошая вы-ляемость уравнения 2-го порядка а концентрированного озона и величина энергии активации — 20 ккал, по-видимому, обусловлены преобладанием элементарной акиии 1 в начальной стадии разложения чистого озона. Предэкспонен-альный множитель для концентрированных смесей порядка  $10^9$ — $10^{10}$ , е. на 1—2 порядка меньше числа двойных соударений, также соот-ствует обычному значению стерического фактора для такого рода реак-й — порядка  $10^{-1}$ — $10^{-2}$ . Параллельно с реакцией 1 в чистом или очень нцентрированном озоне может происходить реакция 2, где  $M$  будет обоз-чать молекулу озона. Однако этот процесс при низких температурах, -видимому, менее эффективен, чем реакция 1, так как требует большей ергии активации. По мере образования кислорода и уменьшения кон-центрации озона реакция 2 начинает играть все большую роль. Это при-дит к увеличению эффективной энергии активации, что и наблюдается опыте. При достижении содержания  $O_2$  15—20% реакция 2, идущая и соударениях молекулы озона с молекулой кислорода, по-видимому, нчинает преобладать.

Если в процессе 3 образуются возбужденные молекулы кислорода, то преобладание направления 2—3 над процессом 1 будет еще более значи-тельным. Благодаря участию возбужденных молекул  $O_2$  (реакция 5) эффективная энергия активации может быть несколько ниже. При очень

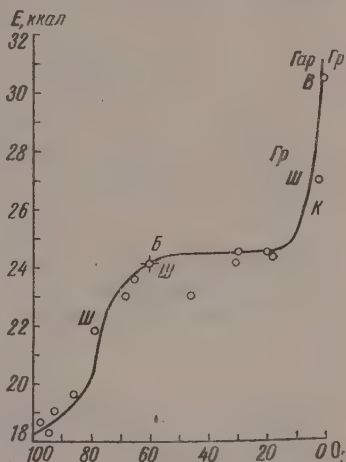


Рис. 2. Зависимость энергии активации от состава смеси.  $O$  — наши данные;  $Ш$  — данные Шумахера и Глиссмана [10];  $Б$  — данные Бенсона и Эксворти [3];  $К$  — данные Клемента [11];  $Гр$  — данные Гриффита [12];  $В$  — данные Вульфа и Толмана [13];  $Гар$  — данные Гарвина [14];  $М$  — данные Маркевича [6, 7]



малых концентрациях озона реакция 1 практически перестает играть заметную роль. В этих условиях также более эффективны и процессы деактивации возбужденных молекул  $O_2$ . Это должно привести к еще большему возрастанию эффективной энергии активации, что и наблюдается для смесей, содержащих 2—3% озона.

Уравнение скорости реакции, учитывающее энергетические цепи, было выведено методом стационарных концентраций Шумахером и Глиссманом [10]. Приведенной выше схеме соответствует следующее уравнение скорости реакции, которое несколько проще уравнения, данного в работе [10]:

$$V = -\frac{d[O_3]}{dt} = 2k_1[O_3]^2 + \frac{2k_2\left[1 + \frac{k_6}{k_5}\right][M][O_3]}{\frac{k_6}{k_5} + \frac{k_4}{k_3}\left[1 + \frac{k_6}{k_5}\right]\frac{[O_2][M]}{[O_3]}}; \quad (2)$$

$k_i$  — константы соответствующих элементарных стадий. При  $[O_2] \approx 0$  если реакция 2 за счет соударений с озоном не имеет места:

$$V \approx 2k_1[O_3]^2. \quad (3)$$

По уравнению (2) можно приближенно определить величину  $k_1$  из данных, относящихся к начальной стадии реакции при низких температурах. Если же происходит параллельно реакция 2:



и следующие за ней реакции 3 и 4, но не играют роли процессы возбуждения, то уравнение скорости реакции также будет соответствовать второму порядку:

$$V \approx 2(k_1 + k_2)[O_3]^2. \quad (4)$$

Уравнение (3) должно выполняться при повышенных температурах. При  $O_2 \approx 0$ , но  $M \gg O_3$ , что соответствует, например, сильному разбавлению инертным веществом, уравнение (1) переходит в уравнение 1-го порядка:

$$V \approx 2k_2'[M][O_3]. \quad (5)$$

Уравнение (4) выполняется при распаде озона и в водных растворах [15] в растворе четыреххлористого углерода [16], а также на поверхности при малых давлениях [8].

При  $[O_2] \gg [O_3]$  уравнение (1) также переходит в уравнение второго порядка, но с более сложной «константой второго порядка»:

$$V \approx \left[2k_1 + \frac{2k_2 \cdot k_3}{k_4[O_2]}\right][O_3]^2. \quad (6)$$

Полагая  $O_2 \approx \text{const}$ , имеем для кажущейся константы 2-го порядка следующее выражение:

$$k' = 2k_1 + \frac{2k_2 k_3}{k_4[O_2]}. \quad (7)$$

Мы получили для  $k_1$  из данных для начального периода реакции по уравнению (2) при температурах до  $100^\circ$  следующее выражение:

$$k_1 = 4,5 \cdot 10^9 e^{-18800/RT} \text{ л/моль сек.} \quad (8)$$

Отношение  $k_2/k_4$  представляет собой константу равновесия реакции  $O_3 \rightleftharpoons O_2 + O$ . Согласно [17]

$$K = \frac{k_2}{k_4} = 7,7 \cdot 10^4 e^{-24800/RT}. \quad (9)$$

Исходя из данных для  $k'$ , приведенных в табл. 3, и приняв для  $k_1$  величины, вычисленные из опытных данных по уравнению (7), а для

$/k_1$ —значения, рассчитанные по уравнению (8), мы рассчитали величины  $k_3$  для различных температур.

На рис. 3 приведена зависимость  $\lg k_3$  от  $1/T$ . Для энергии активации реакции (3) получается  $5 \pm 1$  ккал. Шумахер [18] оценил энергию активации этой реакции в 4—6 ккал.

Энергия активации реакции (4) по различным оценкам близка к нулю [9—21]. Тогда энергия активации реакции (2) будет 25 ккал. В табл. 6 приведены вычисленные нами величины предэкспоненциального множителя и энергии активации основных элементарных реакций.

Рассмотрим вопрос о возможных причинах наблюдаемого превышения предэкспоненциального множителя кажущейся константы второго порядка уравнения (5) над числом двойных соударений, а также причины, по которой энергия активации для разбавленных смесей получается больше 25 ккал. При относительно высоких температурах, в условиях выполнения уравнения (5)

$k_1 < k_2 k_3 / k_4 [\text{O}_2]$  и, следовательно,  $k' = 2k_2 k_3 / k_4 [\text{O}_2]$ . Подставляя величины  $k_3$  и  $k_2/k_4$  и  $[\text{O}_2]$ , получаем

$$K = \frac{2 \cdot 7,7 \cdot 10^4 e^{-24600/RT} \cdot 3 \cdot 10^9 e^{-5000/RT}}{3 \cdot 10^{-2}} = 1,85 \cdot 10^{16} e^{-29600/RT} \quad (9)$$

Таким образом для разбавленных смесей получается предэкспоненциальный множитель кажущейся константы второго порядка больше числа двойных соударений в  $10^4$ — $10^5$  раз. Таким образом в случае разбавленных смесей не имеет места бимолекулярная реакция, и константа второго

Таблица 6

Элементарная реакция	$k_0$ , л/моль сек.	$E$ , ккал
$\text{O}_3 + \text{O}_3 \rightarrow 3\text{O}_2$	$4,5 \cdot 10^9$	18—19
$\text{O}_3 + \text{O}_3 \rightarrow \text{O}_2 + \text{O} + \text{O}_2$	—	25—26
$\text{O}_3 + \text{O}_3 \rightarrow 2\text{O}_2$	$2,3 \cdot 10^9$	5,0

активации внутренних степеней свободы, как это предполагалось в работе [22].

Если не предполагать наличия энергетических цепей, то вместо уравнения (1) получается следующее уравнение скорости реакции:

$$V = 2k_1[\text{O}_3]^2 + \frac{2k_2[\text{M}][\text{O}_3]}{1 + \frac{k_4[\text{O}_2][\text{M}]}{k_3[\text{O}_3]}} \quad (10)$$

Уравнение (10), так же как и уравнение (1), в предельных случаях переходит в уравнения (2), (3) и (4).

Поверхностная реакция, по-видимому, почти всегда имеет место при термическом разложении, но ее удельный вес в общем процессе сильно зависит от свойств поверхности. Этим, вероятно, объясняется различная оценка роли поверхности в реакции разложения озона в различных работах. По-видимому, гетерогенная реакция первого порядка. На это указывают данные работы [8]. Первый порядок был получен также нами для

разложения озона на окиси серебра. Однако истолкование этого результата в работе [8] на основе представления о рекомбинации атомов кислорода на поверхности нам кажется мало обоснованным. Более убедительные данные Маркевича [6, 7], полученные им при помощи метода дифференциального калориметрирования, из которых следует вывод о том, что гетерогенная реакция эндотермическая и представляет собой процесс  $O_3 \rightarrow O_2 + O$  с выходом атома кислорода в объем.

Рекомбинация атомов кислорода на поверхности не является преобладающим процессом и даже может быть незначительна.

В то же время, как показали наши опыты, очень хорошо ототреннированная и длительно обработанная озоном кварцевая поверхность не катализует разложения озона. Поэтому малая величина энергии активации для разложения чистого озона не может быть обусловлена наличием гетерогенной реакции. Если бы это было так, то мы наблюдали бы различие в величинах энергии активации при разных давлениях. Однако, как видно из приведенных данных, этого не наблюдается.

Полученные данные были использованы нами для вычисления критических условий воспламенения озона. Расчет на основании тепловой теории воспламенения привел к хорошему согласию с опытными данными [24].

### Выводы

1. Исследована кинетика термического разложения озона. Установлено, что эффективная энергия активации реакции изменяется в пределах от 18 до 30 ккал/моль в зависимости от глубины превращения или начального состава смеси, что связано с изменением удельного веса различных элементарных стадий, обуславливающих разложение озона.

2. Уравнение кинетики реакции выражает сложную зависимость скорости реакции от состава смеси. Однако в предельных случаях очень больших и очень малых концентраций выполняется в удовлетворительном приближении уравнение второго порядка.

3. Предэкспоненциальный множитель константы второго порядка также регулярно изменяется с изменением состава. Для чистого озона или его очень больших концентраций он меньше числа двойных соударений на 1—2 порядка: при малых концентрациях озона он превышает число двойных соударений на несколько порядков. Это также обусловлено изменением соотношения между элементарными стадиями с изменением состава и тем, что в этих условиях реакция не является строго бимолекулярной.

4. Экспериментальные данные не дают указаний на значительную роль энергетических цепей при термическом разложении озона.

Физико-химический институт  
им. Л. Я. Карпова  
Москва

Поступила  
31.III.1958

### ЛИТЕРАТУРА

1. А. В. Панкратов и С. Я. Пшежецкий, Ж. физ. химии 32, 1605, 1958.
2. Л. С. Кассель, Кинетика гомогенных газовых реакций. Химтеоретиздат, 1937.
3. Sidney W. Benson and Arthur E. Axworthy, J. Chem. Phys., 26, № 6, 1718, 1957.
4. A. J. Streng and A. V. Grosse, J. Amer. Chem. Soc., 79, 1517, 1957.
5. G. Cook, E. Spadinger, A. Kiffer, Eh. Klumpp, Industr. Engng Chem., 48, 736, 1956.
6. А. М. Маркевич, Ж. физ. химии, 30, 735, 1956.
7. Н. А. Клейманов и А. М. Маркевич, Докл. АН СССР, 110, 105, 1956.
8. Harteck, Dondes, J. Chem. Phys., 21, 2241, 1953.
9. Jenkins, Di Paolo, J. Chem. Phys., 25, № 2, 296, 1956.
10. A. Glissmann u H. J. Schumacher, Z. phys. chem., B 21, 323, 1933.
11. Clement, Ann. Physik, 14, 341, 1914.

- N. Belton, O. Griffith, Mc Keown, J. Chem. Soc., 128, 3153, 1926.  
Tolman a. Wulf, J. Amer. Chem. Soc., 49, 1650, 1927.  
D. Garvin, J. Amer. Chem. Soc., 76, № 6, 1523, 1954.  
Ritchie, Proc. Roy. Soc., A146, 846, 1934.  
K. Sennewald, Z. phys. Chem., A164, 305, 1933.  
Nalt. Bur. Standards Tubes Circular № 500.  
Schumacher, Z. phys. Chem. (B), 17, 405, 1932.  
Grot, Z. phys. Chem., B37, 315, 1937.  
И. С. Ениколопи и А. Б. Налбандян. Сборник работ «Кинетика цепных реакций окисления», Изд-во АН СССР, 1950, стр. 38.  
Уотерс, Химия свободных радикалов, ИИЛ, 1948, стр. 107.  
Schumacher u. Sprenger, Z. phys. Chem. (B), 6, 446, 1929.  
Н. М. Морозов, Ж. аналит. химии (в печати).  
С. А. Каменецкая, С. Я. Пшежецкий, Ж. физ. химии 32, 1122, 1958.

## KINETICS OF THE THERMAL DECOMPOSITION OF OZONE

*S. Ya. Pshezhetskii, N. M. Morozov, S. A. Kamenetskaya,  
V. N. Siryatskaya and E. I. Gribova (Moscow)*

### Summary

A study has been made of the thermal decomposition of ozone. It has been established that the effective activation energy of the reaction changes within the limits 18—30 kcal/mole depending upon the depth of conversion or initial composition of the mixture, which is connected with change in the ratio between the various elementary stages comprising the decomposition process.

The kinetic equation of the reaction reveals a complicated dependence of the reaction rate on the mixture composition. However in the limiting cases of very large and very small concentrations the second order equation holds to a satisfactory approximation.

The second order preexponential factor also changes regularly with change in composition. For pure ozone or its very large concentrations it is less by 1—2 orders than the number of binary collisions. At small concentrations it exceeds the number of binary collisions by several orders. This is also due to the change in ratio between the elementary stages with change in composition.

The experimental data give no indication as to the considerable part played by energy chains in the thermal decomposition of ozone.



ТЕОРИЯ ДИФфуЗИОННОГО ИЗВЛЕЧЕНИЯ ВЕЩЕСТВ  
ИЗ ПОРИСТЫХ ТЕЛ

## I. УРАВНЕНИЯ КИНЕТИКИ ИЗВЛЕЧЕНИЯ

*Г. А. Аксельруд*

Процессы извлечения веществ из твердых пористых сред получили широкое распространение в промышленности. Немало примеров реализации этих процессов дают пищевая, химическая, горнодобывающая и другие отрасли промышленности. Широко известны такие процессы, как извлечение сахара из свекловичной стружки, извлечение различных масел из семян; эти и аналогичные им процессы именуются экстрагированием. Химическая промышленность, в особенности производство минеральных солей использует в качестве первого этапа процесс выщелачивания, т. е. извлечение растворимых компонентов из минерального сырья водой или водными растворами солей.

Несмотря на ряд существенных различий, которые несомненно имеются, все упомянутые процессы обладают большой степенью общности точки зрения кинетики их протекания. Если рассматриваемый процесс извлечения не осложнен химической реакцией на границе фаз, то скорость процесса определяется скоростью диффузии извлекаемого вещества. Простое рассмотрение механизма движения вещества указывает на существование двух последовательных этапов этого движения. Первый этап — перенос вещества внутри пористого тела к его границам. Механизмом этого переноса может быть молекулярная диффузия, ослабленная наличием твердого скелета, но описываемая законом Фика и основанная на этом законе дифференциальным уравнением диффузии. Первый этап (внутренняя диффузия) подвергался изучению различными исследователями. П. М. Силин [1] в 1923 г. впервые применил закон диффузии Фика для объяснения кинетики извлечения сахара. В дальнейшем развитие аналитической теории диффузии находилось в тесной связи с решением дифференциального уравнения диффузии. А. В. Лыков в 1941 г. и в последующие годы дал систематическое изложение теории внутренней диффузии [2, 3]. Дифференциальное уравнение нестационарной внутренней диффузии, разумеется, одинаково для всех случаев внутренней диффузии, и конкретные различия в способе проведения процесса математически выглядят как различия краевых условий, которым должна удовлетвориться искомая функция. При формулировке краевых условий следует задать концентрацию извлекающей жидкости на границе пористого тела. Эта концентрация не может быть принята постоянной, так как целью извлечения является получение раствора вещества с все возрастающей во времени концентрацией. Нельзя также считать концентрацию на границе тела наперед заданной функцией времени, так как накопление вещества в извлекающей жидкости тесно связано с отдачей вещества пористыми телами. Отсюда ясно, что граничное условие должно быть задано в виде некоторого балансового уравнения, в котором концентрация окружающей жидкости находилась бы в связи со средней концентрацией в пористых частицах. Вторым этапом перемещения вещества является переход вещества с поверхности пористой частицы в основную массу жидкости (внешняя диффузия).

Раньше рассмотрение внешней диффузии не считалось необходимым. Предполагалось, что только внутренняя диффузия лимитирует процесс, являясь наиболее медленной стадией. Такое допущение, действительно оправдывающееся во многих случаях, основывалось на том факте, что в жидкой среде перенос вещества осуществляется значительно быстрее, чем в неподвижной. Отсюда, однако, следует, что внешняя диффузия зависит от скорости перемещения жидкости относительно частицы, или, точнее, от гидродинамической обстановки обтекания частицы.

В практике извлечения известны случаи, когда игнорировать роль внешней диффузии невозможно.

Несмотря на большую сложность механизма внешней диффузии его изучение значительно продвинулось вперед, благодаря работам В. Г. Лебедева [4], установившего физико-математический аппарат для изучения этого явления. Некоторые конкретные результаты можно найти также и в работах автора [5—7].<sup>1</sup>

### Дифференциальное уравнение и краевые условия

Предметом нашего изучения является пористое тело, поры которого полны жидкостью, содержащей вещество в растворенном виде. Если размер пор достаточно мал, то жидкость, заключенная в них, практически неподвижна, и диффузия вещества внутри тела будет описываться дифференциальным уравнением:

$$\frac{\partial c_2}{\partial t} = D \left( \frac{\partial^2 c_2}{\partial x^2} + \frac{\partial^2 c_2}{\partial y^2} + \frac{\partial^2 c_2}{\partial z^2} \right), \quad (1)$$

— концентрация вещества в жидкости, содержащейся в пористом теле.

Твердый остов пористого тела будет уменьшать не только подвижность жидкости, но и скорость переноса вещества в пределах пористого тела [8]. Мерой такого ослабления диффузии послужит разница между коэффициентом свободной диффузии и коэффициентом «стесненной» диффузии  $D$ , который, таким образом, является функцией строения пористого тела. В основе материала, изложенного в данной статье, лежат два допущения:

- 1) система пористых тел, из которых извлекается вещество, монодисперсна;
- 2) пористые тела однородны и изотропны с точки зрения диффузионного переноса вещества; концентрация вещества в каждой точке пористого тела определяется уравнением (1).

В одних случаях такие допущения оправданы; в других — не соответствуют действительности, поэтому в последующих статьях мы последовательно откажемся вначале от первого, а затем и от второго допущений.

Приступим к составлению краевых условий. Начальное условие соответствует распределению концентраций в момент  $t = 0$ :

$$c_2(x, y, z, 0) = c_0.$$

Условие на границе пористого тела запишется в виде известного уравнения [3]:

$$-D \left( \frac{\partial c_2}{\partial n} \right)_n = k(c_{2n} - c_1), \quad (2)$$

— нормаль к поверхности тела;  $c_{2n}$  — концентрация вещества на поверхности;  $c_1$  — концентрация вещества в массе извлекающей жидкости;  $k$  — коэффициент массоотдачи.

Входящая в приведенное уравнение концентрация  $c_1$  зависит от способа проведения процесса извлечения.

**Периодическое извлечение.** В этом процессе вся жидкость ( $W$  объемных единиц) находится в непрерывном контакте со всеми астицами (объем пор во всех частицах  $V$ ). Наиболее часто такой процесс

осуществляется в аппарате с мешалкой. Средняя концентрация жидкости в порах  $c_2$  непрерывно уменьшается, а концентрация вещества в извлекающей жидкости  $c_1$  возрастает. Уравнение материального баланса запишется в виде:

$$V(c_0 - \bar{c}_2) = W(c_1 - c_n);$$

для любого момента времени.  $c_n$  — начальная концентрация извлекающей жидкости. Иначе:

$$\beta = \frac{V}{W}; \quad c_1 = c_n + \beta(c_0 - \bar{c}_2). \quad (3)$$

Прямоточный процесс (иллюстрируется рис. 1) характеризуется одинаковым направлением движения твердой и жидкой фаз:

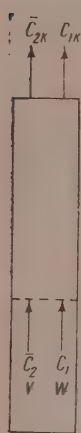


Рис. 1

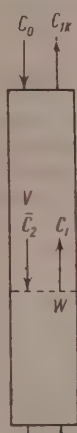


Рис. 2

Вводя обозначения:  $W$  — объем жидкости, поступающей в единицу времени в прямоточный аппарат;  $V$  — объем пор твердой фазы, поступающей в единицу времени в аппарат;  $c_{1n}$  — начальная концентрация извлекающей жидкости; придем к уравнению материального баланса

$$V(c_0 - \bar{c}_2) = W(c_1 - c_{1n});$$

$$c_1 = c_{1n} + \beta(c_0 - \bar{c}_2). \quad (4)$$

Противоточный процесс (иллюстрируется рис. 2) характеризуется противоположным направлением движений твердой и жидкой фаз, что дает возможность достичь высоких концентраций  $c_{1k}$  при низких остаточных концентрациях  $\bar{c}_2$  в пористых частицах.

Имея в виду обозначения рис. 2, придем к уравнению

$$V(c_0 - \bar{c}_2) = W(c_{1k} - c_1);$$

$$c_1 = c_{1k} - \beta(c_0 - \bar{c}_2). \quad (5)$$

Балансовые уравнения (3), (4), (5) можно представить в виде одного уравнения

$$c_1 = c_m + \beta(c_0 - \bar{c}_2); \quad (6)$$

для периодического извлечения  $c_m = c_n$  и  $\beta > 0$ ;

для прямоточного процесса  $c_m = c_{1n}$  и  $\beta > 0$ ;

для противоточного процесса  $c_m = c_{1k}$  и  $\beta < 0$ .

Условие на границе (2) принимает вид:

$$-D \left( \frac{\partial c_2}{\partial n} \right)_n = k \{ (c_{2n} - c_m) - \beta(c_0 - \bar{c}_2) \}. \quad (7)$$

В качестве дополнительных условий следует использовать уравнения

$$\left( \frac{\partial c_2}{\partial x} \right)_{x=0} = 0; \quad \left( \frac{\partial c_2}{\partial y} \right)_{y=0} = 0; \quad \left( \frac{\partial c_2}{\partial z} \right)_{z=0} = 0;$$

которые вытекают из симметричности кривой распределения концентрации в пористом теле.

Условие на границе тела может быть преобразовано при помощи безразмерных величин

$$\varphi = \frac{n}{R}; \quad Bi = \frac{kR}{D};$$

$\delta$  — характерный размер пористого тела

$$-\left(\frac{\partial c_2}{\partial \varphi}\right)_{\varphi=1} = \text{Bi} [(c_{2\text{п}} - c_m) - \beta (c_0 - \bar{c}_2)]. \quad (8)$$

Диффузионный критерий Био является функцией гидродинамической обстановки обтекания твердого тела жидкостью [5—7]. Могут быть созданы условия, при которых

$$\text{Bi} \rightarrow \infty$$

и условие (8) превращается в условие

$$c_{2\text{п}} = c_1 = c_m + \beta (c_0 - \bar{c}_2).$$

### Уравнения кинетики извлечения

1. Извлечение из пластинчатых форм

$$\frac{\partial c_2}{\partial t} = D \frac{\partial^2 c_2}{\partial x^2}; \quad c_2 = f(x, t);$$

$$c_2(x, 0) = c_0; \quad \left(\frac{\partial c_2}{\partial x}\right)_{x=0} = 0;$$

$$-D \left(\frac{\partial c_2}{\partial x}\right)_{x=R} = k [(c_{2\text{п}} - c_m) - \beta (c_0 - \bar{c}_2)].$$

Введем безразмерные величины:

$$\varphi = \frac{x}{R}; \quad \tau = \frac{Dt}{R^2} \quad \text{Bi} = \frac{kR}{D};$$

$R$  — половина толщины пластины;

$$\frac{\partial c_2}{\partial \tau} = \frac{\partial^2 c_2}{\partial \varphi^2}; \quad c_2 = f(\varphi, \tau);$$

$$c_2(\varphi, 0) = c_0; \quad \left(\frac{\partial c_2}{\partial \varphi}\right)_{\varphi=0} = 0;$$

$$-\left(\frac{\partial c_2}{\partial \varphi}\right)_{\varphi=1} = \text{Bi} [(c_{2\text{п}} - c_m) - \beta (c_0 - \bar{c}_2)].$$

Решение выполняется операционным методом. Определим вначале изображения искомых функций

$$F(\varphi, p) = \int_0^\infty e^{-p\tau} c_2(\varphi, \tau) d\tau; \quad T(p) = \int_0^\infty e^{-p\tau} c_1(\tau) d\tau.$$

Применяя преобразование Лапласа к дифференциальному уравнению, придем к обыкновенному дифференциальному уравнению [учитывая  $c_2(\varphi, 0) = c_0$ ]

$$pF - c_0 = \frac{d^2 F}{d\varphi^2},$$

имеющему решение

$$F = \frac{c_0}{p} + A_1 \text{sh} \sqrt{p} \varphi + A \text{ch} \sqrt{p} \varphi.$$

Применяя условие  $(dF/d\varphi)_{\varphi=0} = 0$  получим

$$F = \frac{c_0}{p} + A \text{ch} \sqrt{p} \varphi.$$



Среднее по пластине значение величины  $F$  найдется

$$\bar{F} = \frac{\int_0^1 F d\varphi}{2} = \frac{c_0}{p} + A \frac{\text{sh } \sqrt{p}}{\sqrt{p}}.$$

Постоянная  $A$  определяется еще неиспользованным граничным условием, которое в результате преобразования примет вид:

$$-\left(\frac{dF}{d\varphi}\right)_{\varphi=1} = \text{Bi} \left[ \left(F_n - \frac{c_m}{p}\right) - \beta \left(\frac{c_0}{p} - \bar{F}\right) \right];$$

$$A = \frac{-\text{Bi} (c_0 - c_m)}{p \left[ \left(\text{ch } \sqrt{p} + \beta \frac{\text{sh } \sqrt{p}}{\sqrt{p}}\right) \text{Bi} + \sqrt{p} \text{sh } \sqrt{p} \right]}.$$

Искомые изображения примут вид:

$$\frac{\frac{c_0}{p} - F}{c_0 - c_m} = \frac{\text{Bi ch } \sqrt{p} \varphi}{p \left[ \left(\text{ch } \sqrt{p} + \beta \frac{\text{sh } \sqrt{p}}{\sqrt{p}}\right) \text{Bi} + \sqrt{p} \text{sh } \sqrt{p} \right]};$$

$$\frac{\frac{c_0}{p} - T}{c_0 - c_m} = \frac{\text{Bi ch } \sqrt{p} + \sqrt{p} \text{sh } \sqrt{p}}{p \left[ \left(\text{ch } \sqrt{p} + \beta \frac{\text{sh } \sqrt{p}}{\sqrt{p}}\right) \text{Bi} + \sqrt{p} \text{sh } \sqrt{p} \right]};$$

$$\frac{\frac{c_0}{p} - \bar{F}}{c_0 - c_m} = \frac{\text{Bi} \frac{\text{sh } \sqrt{p}}{\sqrt{p}}}{p \left[ \left(\text{ch } \sqrt{p} + \beta \frac{\text{sh } \sqrt{p}}{\sqrt{p}}\right) \text{Bi} + \sqrt{p} \text{sh } \sqrt{p} \right]}.$$

Эти изображения могут рассматриваться как отношения обобщенных полиномов [3], и, следовательно, переход к оригиналам может быть выполнен при помощи теоремы разложения. Окончательно имеем

$$\frac{c_0 - c_2}{c_0 - c_m} = \frac{1}{1 + \beta} + \sum_{n=1}^{\infty} \frac{2\left(\beta - \frac{\mu_n^2}{\text{Bi}}\right)}{\left(\frac{\mu_n^2}{\text{Bi}} - \beta\right)^2 + \mu_n^2 \left(\frac{1}{\text{Bi}} + 1\right) + \beta} \frac{\cos \mu_n \varphi}{\cos \mu_n} e^{-\mu_n^2 \tau};$$

$$\frac{c_0 - c_1}{c_0 - c_m} = \frac{1}{1 + \beta} + \sum_{n=1}^{\infty} \frac{2\beta}{\left(\frac{\mu_n^2}{\text{Bi}} - \beta\right)^2 + \mu_n^2 \left(\frac{1}{\text{Bi}} + 1\right) + \beta} e^{-\mu_n^2 \tau};$$

$$\frac{c_0 - \bar{c}_2}{c_0 - c_m} = \frac{1}{1 + \beta} - \sum_{n=1}^{\infty} \frac{2}{\left(\frac{\mu_n^2}{\text{Bi}} - \beta\right)^2 + \mu_n^2 \left(\frac{1}{\text{Bi}} + 1\right) + \beta} \cdot e^{-\mu_n^2 \tau}, \quad (9)$$

$\mu_n (n = 1, 2, \dots)$  — корни характеристического уравнения

$$\text{ctg } \mu = \frac{\mu_n}{\text{Bi}} - \frac{\beta}{\mu}.$$

## 2. Извлечение из шарообразных форм.

Уравнение и краевые условия имеют вид:

$$\frac{\partial c_2}{\partial t} = D \left( \frac{\partial^2 c_2}{\partial r^2} + \frac{2}{r} \frac{\partial c_2}{\partial r} \right); \quad c_2 = f(r, t); \quad c_2(r, 0) = c_0; \quad \left( \frac{\partial c_2}{\partial r} \right)_{r=0} = 0;$$

$$-D \left( \frac{\partial c_2}{\partial r} \right)_{r=R} = k [(c_{2n} - c_m) - \beta (c_0 - c_2)].$$

Как и прежде, выведем безразмерные величины:

$$\varphi = \frac{r}{R}; \quad \tau = \frac{Dt}{R^2}; \quad \text{Bi} = \frac{kR}{D}.$$

Ниже приведены решения, полученные тем же операционным методом:

$$\frac{c_0 - c_2}{c_0 - c_m} = \frac{1}{1 + \beta} + \sum_{n=1}^{\infty} \frac{2 \left( 3\beta - \frac{\mu_n^2}{\text{Bi}} \right)}{\left( 3\beta - \frac{\mu_n^2}{\text{Bi}} \right)^2 + \mu_n^2 \left( 1 - \frac{1}{\text{Bi}} \right) + 9\beta} \frac{\sin \mu_n \varphi}{\varphi \sin \mu_n} e^{-\mu_n^2 \tau};$$

$$\frac{c_0 - c_1}{c_0 - c_m} = \frac{1}{1 + \beta} + \sum_{n=1}^{\infty} \frac{6\beta}{\left( 3\beta - \frac{\mu_n^2}{\text{Bi}} \right)^2 + \mu_n^2 \left( 1 - \frac{1}{\text{Bi}} \right) + 9\beta} e^{-\mu_n^2 \tau};$$

$$\frac{c_0 - \bar{c}_2}{c_0 - c_m} = \frac{1}{1 + \beta} - \sum_{n=1}^{\infty} \frac{6}{\left( 3\beta - \frac{\mu_n^2}{\text{Bi}} \right)^2 + \mu_n^2 \left( 1 - \frac{1}{\text{Bi}} \right) + 9\beta} e^{-\mu_n^2 \tau},$$

$\mu_n (n = 1, 2, \dots)$  — корни характеристического уравнения:

$$\text{ctg } \mu = \frac{1}{\mu} + \frac{1}{3\beta - \frac{\mu}{\text{Bi}}}.$$

### 3. Извлечение из цилиндрических форм

$$\frac{\partial c_2}{\partial t} = D \left( \frac{\partial^2 c_2}{\partial r^2} + \frac{1}{r} \frac{\partial c_2}{\partial r} \right); \quad c_2 = f(r, t); \quad c_2(r, 0) = c_0; \quad \left( \frac{\partial c_2}{\partial r} \right)_{r=0} = 0;$$

$$-D \left( \frac{\partial c_2}{\partial r} \right)_{r=R} = k [(c_{2n} - c_m) - \beta (c_0 - c_2)];$$

$R$  — радиус цилиндра:

$$\varphi = \frac{r}{R}; \quad \tau = \frac{Dt}{R^2}; \quad \text{Bi} = \frac{kR}{D}.$$

Решение имеет вид:

$$\frac{c_0 - c_2}{c_0 - c_m} = \frac{1}{1 + \beta} + \sum_{n=1}^{\infty} \frac{2 \left( 2\beta - \frac{\mu_n^2}{\text{Bi}} \right)}{\mu_n^2 + 4\beta + \left( 2\beta - \frac{\mu_n^2}{\text{Bi}} \right)^2} \frac{J_0(\mu_n \varphi)}{J_0(\mu_n)} e^{-\mu_n^2 \tau};$$

$$\frac{c_0 - c_1}{c_0 - c_m} = \frac{1}{1 + \beta} + \sum_{n=1}^{\infty} \frac{4\beta}{\mu_n^2 + 4\beta + \left( 2\beta - \frac{\mu_n^2}{\text{Bi}} \right)^2} e^{-\mu_n^2 \tau};$$

$$\frac{c_0 - \bar{c}_2}{c_0 - c_m} = \frac{1}{1 + \beta} - \sum_{n=1}^{\infty} \frac{4}{\mu_n^2 + 4\beta + \left( 2\beta - \frac{\mu_n^2}{\text{Bi}} \right)^2} e^{-\mu_n^2 \tau};$$

$\mu_n (n = 1, 2, 3, \dots)$  — корни характеристического уравнения:

$$\frac{J_1(\mu)}{J_0(\mu)} = \frac{1}{\frac{\mu}{\text{Bi}} - 2\beta}.$$

## 4. Частные случаи

1. С увеличением критерия  $Bi$  скорость извлечения увеличивается. При  $Bi = \infty$  течение процесса лимитируется только внутренней диффузией.

Уравнения кинетики при этом упрощаются.

Для пластинчатых форм

$$\begin{aligned}\frac{c_0 - c_2}{c_0 - c_m} &= \frac{1}{1 + \beta} + \sum_{n=1}^{\infty} \frac{2\beta}{\mu_n^2 + \beta(1 + \beta)} \cdot \frac{\cos \mu_n \varphi}{\cos \mu_n} e^{-\mu_n^2 \tau}; \\ \frac{c_0 - c_1}{c_0 - c_m} &= \frac{1}{1 + \beta} + \sum_{n=1}^{\infty} \frac{2\beta}{\mu_n^2 + \beta(1 + \beta)} e^{-\mu_n^2 \tau}; \\ \frac{c_0 - \bar{c}_2}{c_0 - c_m} &= \frac{1}{1 + \beta} - \sum_{n=1}^{\infty} \frac{2}{\mu_n^2 + \beta(1 + \beta)} e^{-\mu_n^2 \tau};\end{aligned}$$

$\mu_n (n = 1, 2, \dots)$  определяются из уравнения

$$\operatorname{tg} \mu = -\frac{\mu}{\beta}.$$

Для шарообразных форм

$$\begin{aligned}\frac{c_0 - c_2}{c_0 - c_m} &= \frac{1}{1 + \beta} + \sum_{n=1}^{\infty} \frac{1}{1,5(1 + \beta) + \frac{\mu_n^2}{6\beta}} \frac{\sin \mu_n \varphi}{\mu_n \sin \mu_n} e^{-\mu_n^2 \tau}; \\ \frac{c_0 - c_1}{c_0 - c_m} &= \frac{1}{1 + \beta} + \sum_{n=1}^{\infty} \frac{1}{1,5(1 + \beta) + \frac{\mu_n^2}{6\beta}} e^{-\mu_n^2 \tau}; \\ \frac{c_0 - \bar{c}_2}{c_0 - c_m} &= \frac{1}{1 + \beta} - \sum_{n=1}^{\infty} \frac{1}{1,5(1 + \beta) \beta + \frac{\mu_n^2}{6}} e^{-\mu_n^2 \tau}\end{aligned}$$

$\mu_n (n = 1, 2, \dots)$  определяются из уравнения

$$\operatorname{ctg} \mu = \frac{1}{\mu} + \frac{\mu}{3\beta}.$$

Для цилиндрических форм

$$\begin{aligned}\frac{c_0 - c_2}{c_0 - c_m} &= \frac{1}{1 + \beta} + \sum_{n=1}^{\infty} \frac{1}{(1 + \beta) + \frac{\mu_n^2}{4\beta}} \cdot \frac{J_0(\mu_n \varphi)}{J_0(\mu_n)} e^{-\mu_n^2 \tau}; \\ \frac{c_0 - c_1}{c_0 - c_m} &= \frac{1}{1 + \beta} + \sum_{n=1}^{\infty} \frac{1}{(1 + \beta) + \frac{\mu_n^2}{4\beta}} e^{-\mu_n^2 \tau}; \\ \frac{c_0 - \bar{c}_2}{c_0 - c_m} &= \frac{1}{1 + \beta} - \sum_{n=1}^{\infty} \frac{1}{\beta(1 + \beta) + \frac{\mu_n^2}{4}} e^{-\mu_n^2 \tau};\end{aligned}$$

$\mu_n (n = 1, 2, \dots)$  определяются из уравнения

$$\frac{J_1(\mu)}{J_0(\mu)} = -\frac{\mu}{2\beta}.$$

2.  $Bi = \infty$  и  $\beta = 0$ . Этот случай предусматривает извлечение весьма большим (по сравнению с твердой фазой) объемом жидкости. Концентра-

для  $c_1$  при этом остается постоянной. Мы приходим к хорошо известным уравнениям.

Для пластинчатых форм

$$\frac{c_0 - c_2}{c_0 - c_1} = 1 - \sum_{n=1}^{\infty} (-1)^{n+1} \frac{2}{\mu_n} \cos \mu_n \varphi e^{-\mu_n^2 \tau};$$

$$\frac{c_0 - \bar{c}_2}{c_0 - c_1} = 1 - \sum_{n=1}^{\infty} \frac{2}{\mu_n^2} e^{-\mu_n^2 \tau};$$

$$\mu_n = \frac{2n-1}{2} \pi; (n = 1, 2, \dots).$$

Для шарообразных форм

$$\frac{c_0 - c_2}{c_0 - c_1} = 1 + \sum_{n=1}^{\infty} (-1)^n \frac{2}{\mu_n} \frac{\sin \mu_n \varphi}{\varphi} e^{-\mu_n^2 \tau};$$

$$\frac{c_0 - \bar{c}_2}{c_0 - c_1} = 1 - \sum_{n=1}^{\infty} \frac{6}{\mu_n^2} e^{-\mu_n^2 \tau};$$

$$\mu_n = \pi n; (n = 1, 2, 3).$$

Для цилиндрических форм

$$\frac{c_0 - c_2}{c_0 - c_1} = 1 - \sum_{n=1}^{\infty} \frac{2}{\mu_n} \frac{J_0(\mu_n \varphi)}{J_1(\mu_n)} e^{-\mu_n^2 \tau},$$

$$\frac{c_0 - \bar{c}_2}{c_0 - c_1} = 1 - \sum_{n=1}^{\infty} \frac{4}{\mu_n^2} e^{-\mu_n^2 \tau},$$

$\mu_n$  — корни уравнения  $J_0(\mu) = 0$ ;  $\mu_1 = 2,4048$ ;  $\mu_2 = 5,5201$ ;  $\mu_3 = 8,6537$ ;  $\mu_4 = 11,7915$  и т. д.

Рассмотрим уравнение кинетики (9) для противотока и введем дополнительные допущения

1)  $\tau > 0,1$ .

2)  $\beta$  — величина, близкая к единице.

Допущение 1) даст возможность ограничиться первым членом суммы (9), а допущение 2) — представить приближенно первый корень характеристического уравнения в виде:

$$\mu_1^2 = \frac{1 - \beta}{\frac{1}{3} + \text{Bi}}.$$

В результате простых преобразований приходим к следующему уравнению при  $n = 1/\beta$ :

$$\frac{n}{n-1} \ln \frac{n-1 + \frac{c_2 k}{c_0}}{\frac{c_2 k}{c_0}} = \frac{\tau}{\frac{1}{3} + \text{Bi}}. \quad (10)$$

Известное уравнение П. М. Сплина получится из (10) введением третьего допущения.

3)  $\text{Bi} = \infty$ ; и, следовательно, справедливо при указанных трех допущениях.

В нижеследующих источниках [1, 9, 10] приведены опытные данные, хорошо объяснимые при помощи данных уравнений. Однако во многих случаях существуют значительные расхождения изложенной теории с опытом по причинам, связанным со строением пористых тел. Последнее явится предметом рассмотрения в следующих статьях.



## Выводы

1. Уравнения материального баланса практически реализуемых процессов извлечения могут быть использованы в качестве краевых условий для задач диффузионного извлечения.

2. Получены уравнения кинетики извлечения из изотропных в диффузионном отношении тел простейших форм в условиях периодического извлечения, прямотока и противотока.

Львовский политехнический  
институт<sup>1</sup>

Поступила  
31.III.1958

## ЛИТЕРАТУРА

1. П. М. Силин, Вопросы технологии сахаристых веществ. Пищепромиздат, 1950.
2. А. В. Лыков, Теплопроводность нестационарных процессов, Гостехиздат, М.—Л., 1948.
3. А. В. Лыков, Теория теплопроводности, Гостехиздат, 1952.
4. В. Г. Левич, Физико-химическая гидродинамика. Изд-во АН СССР, Москва, 1952.
5. Г. А. Аксельруд, Ж. физ. химии, 27, 1446, 1953.
6. Г. А. Аксельруд, Ж. физ. химии, 28, 1726, 1954.
7. Г. А. Аксельруд, Ж. физ. химии, 28, 2107, 1954.
8. L. C. Cady, J. W. Williams, J. Phys. Chem., 39, 87, 1935.
9. D. F. Boucher, J. C. Brier, J. O. Osburn, Trans. Amer. Inst. Chem. Engrs, 38, 967, 1942.
10. E. L. Piret, R. A. Ebel, C. T. Kiang, W. P. Armstrong, Chem. Engng Progr., 47, 628, 1951.

# THEORY OF THE DIFFUSIONAL EXTRACTION OF SUBSTANCES FROM POROUS BODIES

## I. EQUATIONS OF EXTRACTION KINETICS

*G. A. Akselrud (Lvov)*

### Summary

The various methods of carrying out extraction processes (batch extraction, cocurrent, countercurrent) are characterized by different material balance equations. The equations may be utilized as limiting conditions during the solving of problems of extraction from diffusionally isotropic bodies. Integration of the differential equation of diffusion together with these limiting conditions leads to kinetic equations specific for each process. The equations are the most general for the simplest geometrical forms since they take account of both internal and external diffusion.

## ВЛИЯНИЕ ОЗОНА НА КРИТИЧЕСКИЕ УСЛОВИЯ ВОСПЛАМЕНЕНИЯ ЭТИЛОВОГО СПИРТА С КИСЛОРОДОМ

*Н. А. Славинская и С. А. Каменецкая*

В этой работе было исследовано влияние озона на положение предела и период индукции воспламенения спирта с кислородом. Представляло интерес сопоставить критические условия воспламенения спирта с соответствующими данными для углеводов и, в частности, выяснить роль группы ОН при взаимодействии с кислородом и озоном, на основании данных о периоде индукции и положении нижнего предела воспламенения. Было интересно также сопоставить эффективность действия озона на воспламенение спирта и углеводов [2, 3, 4].

### Методика эксперимента

Применявшийся в работе этиловый спирт абсолютировался кипячением в течение 6—7 час. с негашеной известью и перегонкой при 78°C над металлическим натрием. Полученный этиловый спирт имел коэффициент рефракции  $n_D^{20} = 1,3620$ . По литературным данным  $n_D^{20} = 1,3610$  [1].

Методика проведения опытов, а также получение озона и кислорода были такие же, как это описано в [2]. Исследование критических условий воспламенения смесей этанола с кислородом проводилось посредством впуска заранее приготовленной смеси в откаченный нагретый кварцевый реакционный сосуд. Диаметр сосуда был 26,5 мм. В опытах с добавками озона этанол и смесь  $O_2-O_3$  вводились в реакционный сосуд отдельно, так как при смешении начиналось медленное взаимодействие озона со спиртом, которое можно было наблюдать по манометру, так же, как это было в случае циклогексана и, особенно, бутилена. Вначале вводился этанол до нужного давления, а затем смесь  $O_2-O_3$ .

Для проверки воспроизводимости результатов после опытов с добавками озона вновь проводились опыты по воспламенению этанола с кислородом. Воспроизводимость результатов была удовлетворительная.

Исследование критических условий воспламенения смеси этиловый спирт — кислород

Воспламенение этанола с кислородом ранее не исследовалось. Однако поскольку задачей данной работы являлось изучение влияния озона на воспламенение этой смеси, мы ограничились только одним составом смеси этанол — кислород, содержащей 80% от стехиометрического количества кислорода по реакции:



На рис. 1 приведена зависимость критического давления воспламенения смеси этанол — кислород от температуры. Для сопоставления даны кривые для смеси бутана, бутилена и циклогексана с кислородом по данным работ [2, 3, 4].

Как видно на рис. 1, кривая зависимости критического давления воспламенения смеси этанол-кислород от температуры идет круче, чем аналогичные кривые для смесей бутана, бутилена и циклогексана с

кислородом. Точность определения нижнего предела составляла 2—3 мм рт. ст. Зависимость критического давления воспламенения смеси этанол-кислород от температуры, так же как и для бутана (2), бутилена (3) и циклогексана (4), удовлетворяет приближенному уравнению тепловой теории воспламенения Н. Н. Семенова [5]:

$$\lg \frac{P}{T} = \frac{A}{T} + B. \quad (2)$$

Выполнимость уравнения (2) иллюстрируется рис. 2. Значение коэффициента  $A$  уравнения (2), вычисленное из угла наклона прямой, равно  $A = 4000$ ;  $B = -5,84$ .

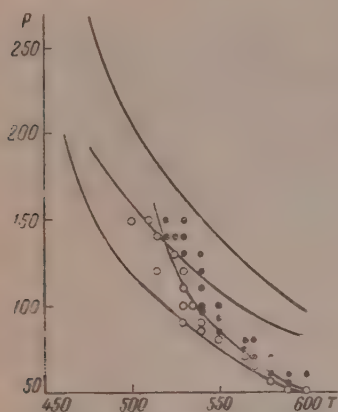


Рис. 1

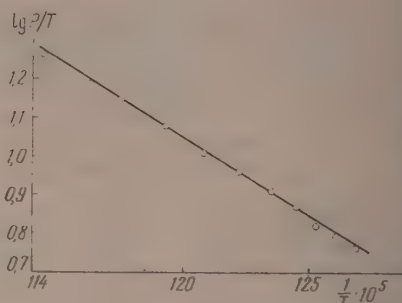


Рис. 2

Рис. 1. Зависимость нижнего предела воспламенения от температуры: кружки относятся к смеси-кислород; верхняя кривая — смесь бутан-кислород; средняя — бутилен-кислород; нижняя — циклогексан-кислород.

По оси ординат отложена величина суммарного давления в мм рт. ст., по оси абсцисс температура °C

Рис. 2. Зависимость  $\lg \frac{P}{T}$  от  $\frac{1}{T}$

Периоды индукции воспламенения лежали в пределах от 1 до 4 сек. в зависимости от давления и температуры и были меньше, чем для углеводородов, где они достигали ~15 сек. Полученные величины периодов индукции удовлетворяют приближенному уравнению Н. Н. Семенова

$$\tau p^n e^{-E/RT} \approx \text{const}. \quad (3)$$

На рис. 3 приведена зависимость  $\lg \tau$  от  $1/T$ . Средний угловой коэффициент прямых дает  $E = 63,3$  ккал.

На рис. 4 приведена зависимость  $\lg \tau$  от  $\lg P$  при постоянных значениях температуры. На графике видно, что опытные данные удовлетворительно ложатся на прямые. Из наклона этих прямых получаем  $n = 2,26$ . Подставляя  $n = 2,3$  и  $A = 4000$  в уравнение  $A = \frac{E}{(n+1)R} \lg e$ , получаем  $E = 62$  ккал, что совпадает с приведенной выше величиной  $E$ , вычисленной из зависимости периода индукции от температуры.

В табл. 1 приведены значения констант уравнения (3), рассчитанные с величинами  $n = 2,3$  и  $E = 62,0$  ккал.

Данные, приведенные в таблице, показывают удовлетворительное постоянство величин const.

Таблица 1

Давление смеси, мм рт. ст.	Температура, °К	Период индукции, сек.	const. $10^{12}$	Давление смеси, мм рт. ст.	Температура, °К	Период индукции, сек.	const. $10^{12}$
140	793	3,2	2,76	110	838	0,7	2,54
140	803	2,4	3,28	110	813	2,9	2,90
140	813	1,3	2,80	100	823	1,7	3,02
140	823	0,9	2,75	100	823	1,8	3,20
130	793	4,2	3,04	100	838	0,8	2,83
130	798	3,4	3,10	92	823	2,0	2,90
130	803	2,7	3,10	90	838	1,0	2,82
130	813	1,7	3,10	85	823	2,3	2,83
120	803	3,2	3,14	80	838	1,4	3,00
120	813	1,9	2,94	80	843	1,0	2,40
120	823	1,0	2,76	75	838	1,6	2,91
110	813	2,3	2,97	70	843	1,4	2,43
110	823	1,3	2,98				

Величина энергии активации этанола с кислородом, равная 62 ккал, значительно больше величин энергии активации реакций углеводов с кислородом, которые для разных углеводов близки и составляют 44 ккал. Такое различие в энергии активации можно отчасти объ-

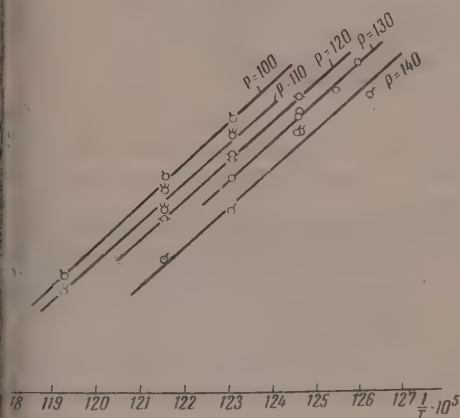


Рис. 3

рис. 3. Зависимость  $\lg \tau$  от  $1/T$  при постоянном давлении:  $\tau$  — период индукции в секундах;  $T$  — температура °К.

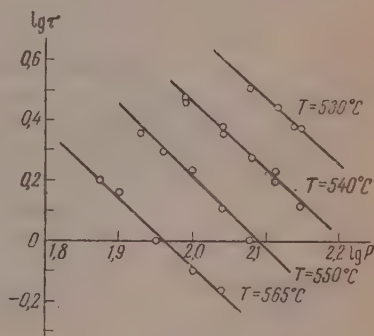


Рис. 4

рис. 4. Зависимость  $\lg \tau$  от  $\lg P$  при постоянной температуре:  $\tau$  — период индукции в секундах;  $P$  — давление смеси в мм рт. ст.

яснить большей прочностью связи С—Н у этана по сравнению с последующими углеводородами парафинового ряда. Так, энергия разрыва связи С—Н в этане равна 98 ккал, а у высших парафинов составляет 88 ккал [6].

Величина энергии активации реакции окисления этана, по данным Н. М. Чиркова и С. Г. Энтелеса [7], составляет 55,6 ккал. Е. А. Андреев [8] получил 60,8 ккал; при исследовании критических условий воспламенения смеси этан-кислород Тейлор и Рибетт получили  $A = 4022$  [9], А. В. Загулин 4900 [10], что соответствует энергии активации 55—68 ккал, если величину  $n$  принять равной двум.



# Влияние озона на критические условия воспламенения смеси этанол-кислород

Исследование влияния озона на воспламенение этанола в кислороде проводилось путем частичной замены кислорода озоном в смеси. Составление смеси производилось так, чтобы общее количество атомов кислорода оставалось постоянным и соответствовало принятому соотношению этанола к кислороду. Содержание озона в озono-кислородных смесях варьировалось от 3 до 15 об. %.

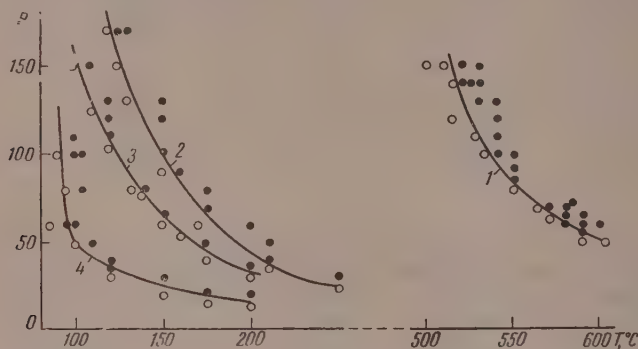


Рис. 5. Зависимость нижнего предела воспламенения от температуры: 1 — этанол-кислород; 2 — 3,52%  $O_3$  в смеси; 3 — 5,0%  $O_3$  в смеси; 4 — 7,0%  $O_3$  в смеси.

По оси ординат отложено суммарное давление смеси в мм рт. ст., по оси абсцисс температура  $^{\circ}C$

На рис. 5 приведены графики нижнего предела воспламенения для различного содержания озона в смеси. В присутствии озона период индукции был практически не измерим.

На рис. 6 приведена зависимость предельного давления воспламенения от содержания озона для одной температуры. Измерения проводились при  $150^{\circ}C$ . Как показывает график, озон сильно влияет на величину предельного давления.

Таблица 2

Процент озона в смеси	$n$	$A$	$B$	$E, \text{ккал}$
0	$2,31 \frac{1}{2}$	4000	-5,84	62,0
3,5	2,3	1567	-4,34	23,8
5,0	2,3	1368	-4,04	20,8
7,0	2,3	1167	-3,97	17,7

На рис. 7 приведены зависимости  $\lg \frac{P}{T}$  от  $\frac{1}{T}$  для всех изученных смесей, содержащих озон. Экспериментальные данные удовлетворяют линейной зависимости между этими двумя величинами. Из угла наклона прямых получаем величины  $A$  и  $B$ . Для того, чтобы оценить значение энергии активации для смесей, содержащих озон, примем для  $n$  то же значение, что и для смеси этанол-кислород, т. е.  $n = 2,3^*$ .

В табл. 2 приведены значения коэффициентов и энергии активации для смесей этанол-кислород-озон различного состава, вычисленные по уравнениям (2) и (3).

Как показывает расчет, озон понижает эффективную энергию активации.

На рис. 5 приведены кривые, характеризующие положение нижнего предела для изученных систем. Как показывает график

\* В случае бутана введение озона не влияет на значение  $n$  [2].

бавление озона понижает температуру воспламенения. Озон влияет на критические условия воспламенения этанола сильнее, чем циклогексана и бутана, но слабее, чем бутилена. Так, смесь, содержащая 3,5%  $O_3$  смеси, при общем давлении 100 мм рт. ст., воспламеняется в случае этанола при  $150^\circ$ , циклогексана при  $175^\circ$  и бутилена при  $75^\circ$ .

Так же как и в случае нафтенных и парафиновых углеводородов, влияние озона, по-видимому, связано, главным образом, не с прямым взаи-

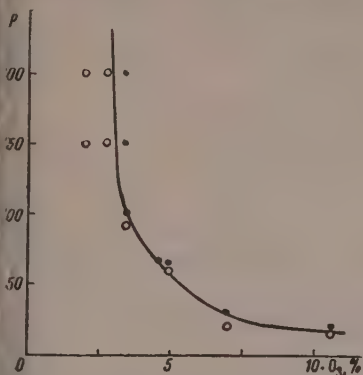


Рис. 6

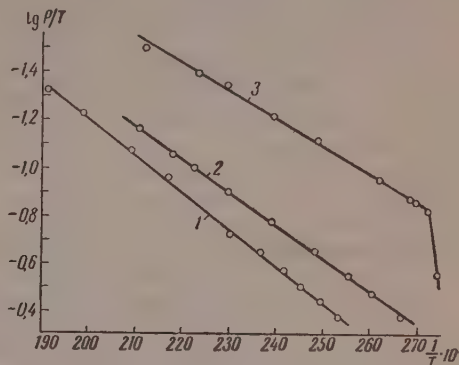


Рис. 7

с. 6. Зависимость критического давления воспламенения от содержания озона в озono-кислородной смеси. Температура опытов  $150^\circ C$ .

По оси ординат отложено суммарное давление смеси в мм рт. ст.; по оси абсцисс — объемные проценты озона в озono-кислородной смеси. Зачерненные кружки соответствуют воспламенению, светлые — отсутствию воспламенения

с. 7. Зависимость  $\lg \frac{P}{T}$  от  $1/T$  ( $P$  в мм рт. ст.,  $T$  в  $^\circ K$ ): 1—3,5%  $O_3$  в смеси; 2—5,0%  $O_3$  в смеси; 3—7,0%  $O_3$  в смеси

действием молекулы озона, а с реакцией атомарного кислорода с молекулой спирта. Резкое увеличение критического давления воспламенения смеси, содержащей 7%  $O_3$  при  $90^\circ$  (рис. 5), наблюдалось нами ранее при температуре  $85^\circ$  для циклогексана. Возможно, что это явление связано с тем, что при этих температурах распад озона протекает медленно и образуется мало атомарного кислорода.

Выражаем благодарность проф. С. Я. Пшежецкому за ценные советы и проведение работы и обсуждении результатов.

### Выводы

1. Исследованы критические условия воспламенения этанола с кислородом в нагретом сосуде и влияние на них озона.

2. Озон значительно понижает температуру и давление воспламенения этанола, а также период индукции воспламенения.

Действие озона на критические условия воспламенения этанола слабее, чем при воспламенении бутилена, и сильнее, чем при воспламенении гексана и циклогексана.

3. Зависимость между температурой и давлением на нижнем пределе воспламенения всех исследованных смесей находится в согласии с теорией теплового воспламенения Н. Н. Семенова.

4. Действие озона, как и в случаях бутана, бутилена и циклогексана, заключается в снижении эффективной энергии активации.

## ЛИТЕРАТУРА

1. Справочник химика т. II, стр. 1035.
2. С. А. Каменецкая, С. Я. Пшежецкий и Н. А. Славинская. Ж. физ. химии, **32**, 2430, 1958.
3. Н. А. Славинская, С. А. Каменецкая и С. Я. Пшежецкий, Ж. физ. химии, **33**, 45, 1959.
4. Н. А. Славинская, С. А. Каменецкая] и С. Я. Пшежецкий, Ж. физ. химии, **33**, 271, 1959.
5. Н. Н. Семенов, Успехи физ. наук, т. **13**, 251, 1940.]
6. M. Szwagze, Chem. Rev., **47**, 158, 1950.
7. Н. М. Чирков и С. Г. Энтелис, Сборник «Кинетика ценных реакций окисления». Изд-во АН СССР, 1950, стр. 118.
8. Е. А. Андреев, Ж. физ. химии, **10**, 859, 1937.
9. Н. А. Taylor, E. Ribett, J. Phys. Chem., **35**, 2667, 1931.
10. А. В. Загулин, Z. Phys. Chem., **B**, **1**, 275, 1928.

THE EFFECT OF OZONE ON THE CRITICAL CONDITIONS OF COMBUSTION  
OF ETHYL ALCOHOL AND OXYGEN

*N. A. Slavinskaya and S. A. Kamenetskaya (Moscow)*

Summary

A study has been made of the critical conditions of combustion of ethanol and oxygen in a heated vessel and of the effect of ozone on the conditions. Ozone has been found to lower considerably the ignition temperature and pressure of ethanol and also the induction period of the combustion. The effect of ozone on ethanol combustion is less than on butylene and greater than on butane and cyclohexane combustion.

The dependence between temperature and pressure at the lower limit is in agreement with the combustion theory of N. N. Semenov for all mixtures investigated.

The effect of ozone as in the case of butane, butylene and cyclohexane consists of a lowering of the effective activation energy.

## РАСТВОРЕНИЕ ТВЕРДЫХ КИСЛОТ В ДВОЙНЫХ ЖИДКИХ РАСТВОРАХ В КРИТИЧЕСКОЙ ОБЛАСТИ

И. Р. Кричевский и Ю. В. Цеханская

Вблизи критической точки двойного раствора химические потенциалы компонентов почти не зависят от состава раствора [1]. Эта особенность рмодинамики критических явлений оказывает решающее влияние на протекание процессов, связанных с переносом вещества. Работы [2, 3] установили, что диффузия в двойных растворах в критической области прекращается.

Измерения скорости растворения терефталевой кислоты в растворах триэтиламин — вода методом вращающегося диска при ламинарном режиме показали, что вследствие прекращения диффузии скорость гетерогенной химической реакции не зависит от состава раствора в критической области двойного раствора [3].

Настоящая работа посвящена выяснению влияния особенностей критической области на кинетику гетерогенных процессов, протекающих при различных гидродинамических режимах.

С этой целью были измерены скорости растворения терефталевой кислоты в растворах триэтиламин — вода\* при  $17^\circ$  и в растворах гексаметиленмин — вода\*\* при  $30$ ,  $40$  и  $67,5^\circ$  при ламинарном и турбулентном режимах методом вращающегося диска. Были измерены также скорости растворения адипиновой, себаценовой и салициловой кислот в растворах триэтиламин — вода при  $17^\circ$  и ламинарном режиме.

Все эти твердые кислоты практически не растворимы или незначительно растворимы в воде [4]. Соли же этих кислот и триэтиламина, а также гексаметиленмина, хорошо растворимы в воде.

## Методика эксперимента

Для измерения скорости растворения твердых кислот при ламинарном режиме кислоты спрессовывали ручным винтовым прессом под давлением  $1250 \text{ кг/см}^2$  в таблетки диаметром  $10 \text{ мм}$  и высотой  $10 \text{ мм}$ .

При диаметре диска  $10 \text{ мм}$ , скоростях вращения  $300$ ,  $500$ ,  $1000 \text{ об/мин}$  при всех значениях кинематической вязкости исследованных растворов триэтиламин — вода и гексаметиленмин — вода режим растворения был ламинарным.

Для измерения скорости растворения терефталевой кислоты при турбулентном режиме кислоту при помощи прессформ впрессовывали в диски нержавеющей стали диаметром  $32$  и  $60 \text{ мм}$  механическим гидравлическим прессом, позволявшим осуществлять нагрузку до  $5 \cdot 10^4 \text{ кг}$ .

Условия прессования были отработаны так, что терефталевая кислота на дисках имела одинаковую плотность  $1,45 \text{ г/см}^3$ , причем с бортами диска нержавеющей стали образовывала ровную поверхность.

\* Система триэтиламин — вода имеет нижнюю критическую температуру  $17,8^\circ$  критический состав  $26,1 \text{ вес.}\%$  триэтиламина [5].

\*\* Система гексаметиленмин — вода имеет нижнюю критическую температуру  $1^\circ$  и критический состав  $24,7 \text{ вес.}\%$  гексаметиленмина [6].



При диаметре диска 32 мм, скоростях вращения 2000, 3000 об/мин и диаметре диска 60 мм, скорости вращения 2000 об/мин для всех значений кинематической вязкости исследованных растворов режим растворения был турбулентным. Число Рейнольдса изменялось от  $2,0 \cdot 10^4$  до  $2,0 \cdot 10^5$ .

Прибор для измерения скорости растворения кислот и методика проведения опыта описаны в [3].

В настоящем исследовании был применен стеклянный стакан диаметром 100 мм и высотой 170 мм.

При измерении скорости растворения кислот при ламинарном режиме объем раствора был равен 0,5 л, а при турбулентном режиме — 1,2 л. Время растворения составляло 5—15 мин.

По разности весов диска с кислотой до и после растворения определяли вес растворившейся кислоты и пересчитывали его на эквивалентный вес триэтиламина или гексаметиленмина.

Измерения скорости растворения производили два-три раза для одной и той же концентрации раствора. Погрешность определения составляла 2—6%.

### Ламинарный режим

Результаты измерения скорости растворения терефталевой кислоты в растворах вода — гексаметиленмин при 30, 40, 67,5° и ламинарном режиме (рис. 1)\*, а также терефталевой, себаценовой, салициловой, адипиновой кислот в растворах триэтиламин — вода при 17° и ламинарном режиме (рис. 2)\*\* приводят к двум основным выводам.

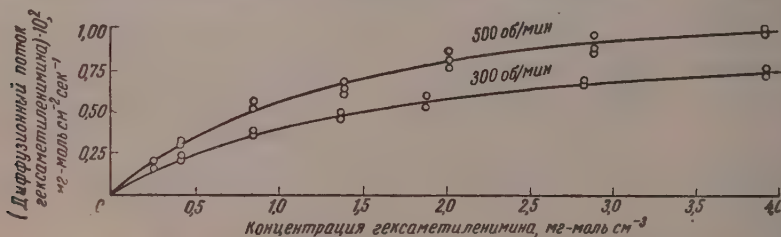


Рис. 1. Скорость растворения терефталевой кислоты в растворах вода — гексаметиленмин при 67,5° и ламинарном режиме

Первый вывод. Экспериментально найденные значения диффузионных потоков триэтиламина при 17° и гексаметиленмина при 30, 40, 67,5° в разбавленных водных растворах, содержащих до 6 вес. % триэтиламина, а также до 3 вес. % гексаметиленмина, совпадают с вычисленными по уравнению В. Г. Левича [7].

Уравнение В. Г. Левича для конвективной диффузии на поверхности вращающегося диска при ламинарном режиме имеет вид [7]:

$$j = 0,62 D^{1/2} \nu^{-1/4} \omega^{3/4} c_0, \quad (1)$$

\* На рис. 1 приведены результаты измерения скорости растворения терефталевой кислоты лишь при 67,5°, так как при 40 и 30° были получены зависимости аналогичного вида.

\*\* На рис. 2 приведены значения диффузионных потоков триэтиламина за вычетом значений диффузионных потоков триэтиламина за счет растворения кислоты в воде при 17° и 500 об/мин. Скорость растворения кислот в воде при этих условиях выражена условно в значениях диффузионных потоков триэтиламина, для адипиновой кислоты равна  $0,7 \cdot 10^{-3}$  для себаценовой  $0,4 \cdot 10^{-3}$  и салициловой  $0,1 \cdot 10^{-3}$  мг-моль триэтиламина см⁻²сек⁻¹.

— диффузионный поток вещества;  $D$  — коэффициент диффузии;  $\nu$  — кинематическая вязкость раствора;  $\omega$  — угловая скорость вращения, — концентрация вещества в ядре раствора (концентрация вещества на поверхности диска равна нулю).

На поверхности диска из терефталевой кислоты, растворяющегося в ламинарном режиме (рис. 3, а), возникают фигуры травления, совпадающие с распределением линий тока жидкости вблизи вращающегося диска [7].

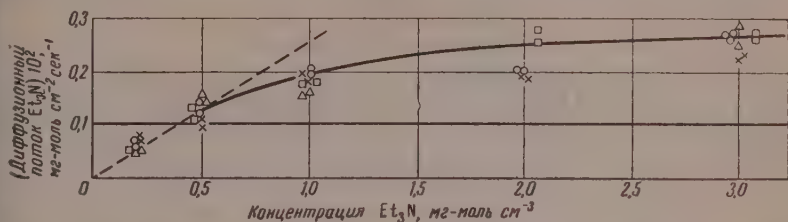


Рис. 2. Скорость растворения терефталевой, себаценовой, адипиновой, салициловой кислот в растворах вода — триэтиламин при  $17^\circ$  и ламинарном режиме: 1 — экспериментальная кривая; 2 — по уравнению В. Г. Левича

**Второй вывод.** При дальнейшем увеличении концентрации триэтиламина и гексаметиленмина в растворе, по мере приближения к критическому составу, диффузионные потоки триэтиламина и гексаметиленмина практически перестают зависеть от состава раствора.

Практическое постоянство диффузионного потока в критической области является следствием прекращения диффузии в этой области.

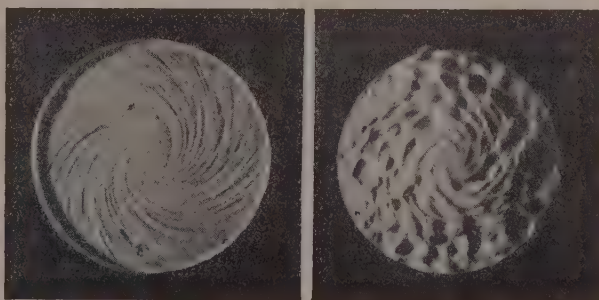


Рис. 3. Поверхность дисков из терефталевой кислоты после растворения: а — при ламинарном режиме; б — при турбулентном режиме

Объяснение результатов опытов было основано на предположении, что лимитирующей стадией является конвективная диффузия, но не химическая реакция или отвод продуктов реакции. Если это предположение справедливо, то скорость растворения различных твердых кислот в одном том же растворе не должна зависеть от природы кислоты. Действительно, терефталевая, адипиновая, себаценовая и салициловая кислоты растворяются в растворах вода — триэтиламин с одной и той же скоростью (рис. 2).

Ю. Б. Иванов и В. Г. Левич [8] развили теорию конвективной диффузии применительно к двойным растворам в критической области, когда коэффициент диффузии сильно зависит от концентрации. Вычисленные

Ю. Б. Ивановым и В. Г. Левичем значения диффузионного потока триэтиламина для случая растворения терефталевой кислоты при 17° и ламинарном режиме в растворах вода — триэтиламин хорошо согласуются со значениями, найденными экспериментально.

Таким образом, решение уравнений конвективной диффузии с учетом особенностей термодинамики критической области и опыт показывают, что скорость гетерогенной химической реакции в критической области не зависит от состава раствора.

### Турбулентный режим

При турбулентном режиме область потока, непосредственно прилегающая к поверхности твердого тела, где протекает химическая реакция, называется вязким подслоем. Согласно взглядам Л. Д. Лапдау [9] и В. Г. Левича [10], при турбулентном режиме перенос вещества в вязком подслое осуществляется турбулентными пульсациями. Молекулярная диффузия играет роль только в самой глубине вязкого подслоя, прилегающего к твердой поверхности.

Л. Прандтль [11] и Г. Карман [12], напротив, считают, что в вязком подслое жидкость движется строго ламинарно и турбулентные пульсации отсутствуют.

Уравнение В. Г. Левича для конвективной диффузии к поверхности вращающегося диска при турбулентном режиме имеет вид [7]:

$$I \approx \frac{0,01 c_0 s}{\alpha \text{Pr}^{3/4}} (a\omega) \left( \frac{\nu}{a^2 \omega} \right)^{1/2}; \quad (2)$$

$I$  — диффузионный поток;  $s$  — площадь диска;  $a$  — радиус диска  $\text{Pr} = \nu/D$  — безразмерный критерий Прандтля;  $\alpha$  — универсальная константа.

На основании данных о скорости растворения терефталевой кислоты при турбулентном режиме в разбавленных водных растворах триэтиламина и гексаметиленмина, когда влияние критической области еще не сказывается, а также в разбавленных водных растворах аммиака, не имеющих критической точки, мы вычислили значение универсальной константы по уравнению (2) (табл.). Значения коэффициентов диффу-

Значения универсальной константы  $\alpha$ , входящей в уравнение В. Г. Левича, для конвективной диффузии при турбулентном режиме

Раствор	$c_0$ , мг-моль щелочи, см <sup>3</sup>	$I$ , мг-моль щелочи, см <sup>2</sup> сек <sup>-1</sup>	$t^\circ$ , C	$\nu \cdot 10^3$ , см <sup>2</sup> сек <sup>-1</sup>	$D_0 \cdot 10^3$ , см <sup>2</sup> сек <sup>-1</sup>	$\text{Re} = \frac{a^2 \omega}{\nu}$	$\alpha$
Вода — аммиак	0,5	0,040	67,5	0,45	6,0	119 000	0,16
То же	0,5	0,052	67,5	0,45	6,0	179 000	0,16
» »	0,5	0,023	40,0	0,65	3,5	82 500	0,15
» »	0,5	0,032	40,0	0,65	3,5	124 000	0,14
» »	0,5	0,018	30,0	0,80	2,6	67 000	0,14
» »	0,5	0,024	30,0	0,80	2,6	100 000	0,14
Вода — гексаметиленмин	0,2	0,0035	40,0	0,75	1,0	71 500	0,14
То же	0,2	0,0055	40,0	0,75	1,0	251 000	0,13
» »	0,2	0,0055	40,0	0,75	1,0	107 000	0,13
» »	0,2	0,0030	30,0	0,9	0,72	59 600	0,12
» »	0,2	0,0045	30,0	0,9	0,72	89 300	0,11
» »	0,2	0,0045	30,0	0,9	0,72	209 000	0,11
Вода — триэтиламин	0,2	0,0020	17,0	1,06	0,43	50 600	0,14
То же	0,2	0,0027	17,0	1,06	0,43	75 800	0,11

$$\alpha_{\text{ср}} = 0,13 \pm 0,003$$

ии аммиака и гексаметиленимина при различных температурах, необходимые для расчета константы  $\alpha$ , мы вычислили по данным о скорости растворения терефталевой кислоты в разбавленных водных растворах аммиака и гексаметиленимина при ламинарном режиме по уравнению 1). Значение коэффициента диффузии триэтиламина при  $17^\circ$  взяли равным  $0,43 \cdot 10^{-5} \text{ см}^2 \text{ сек}^{-1}$  [3]. Кинематическую вязкость разбавленных

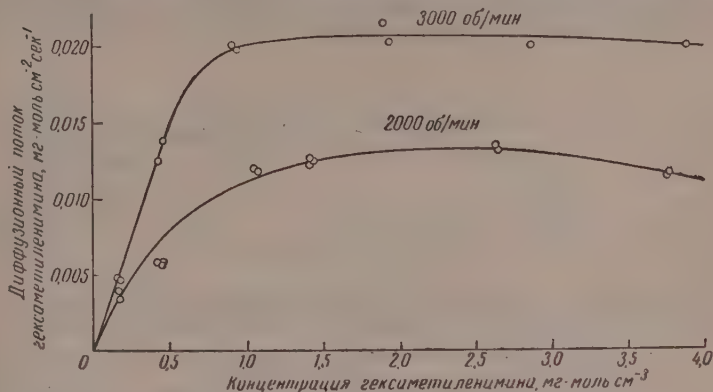


Рис. 4. Скорость растворения терефталевой кислоты в растворах вода — гексаметиленимин при  $40^\circ$  и турбулентном режиме

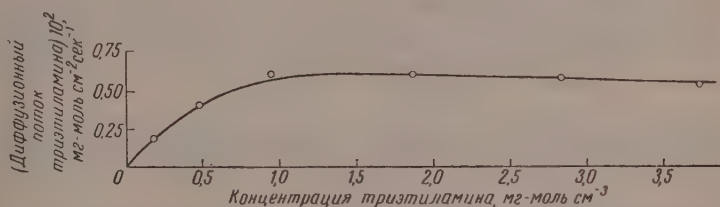


Рис. 5. Скорость растворения терефталевой кислоты в растворах вода — триэтиламин при  $17^\circ$  и турбулентном режиме

растворов аммиака приняли равной кинематической вязкости воды [13]. Кинематические вязкости растворов триэтиламин — вода взяли по данным [14], а растворов гексаметиленимин — вода по данным [6].

Четырнадцать значений константы  $\alpha$  были вычислены нами для трех различных растворов вода — аммиак, вода — гексаметиленимин и вода — триэтиламин, для различных температур от  $17$  до  $67,5^\circ$  при изменении коэффициентов диффузии в 15 раз (от  $6,0 \cdot 10^{-5}$  до  $0,43 \cdot 10^{-5} \text{ см}^2 \text{ сек}^{-1}$  и изменении чисел Рейнольдса от  $\sim 5 \cdot 10^4$  до  $\sim 2,5 \cdot 10^5$ ).

Вероятная ошибка отдельного измерения константы равна  $\pm 0,01$ , а вероятная ошибка среднего значения константы равна  $\pm 0,003$ .

Таким образом, опытные данные подтверждают уравнение (2) и свидетельствуют о правильности взглядов Л. Д. Ландау и В. Г. Левича, что перенос вещества в вязком подслое осуществляется турбулентными пульсациями. Поверхность диска из терефталевой кислоты, растворяющейся в условиях турбулентного режима (рис. 3, б), свидетельствует о хаотическом движении жидкости.

Результаты измерений скорости растворения терефталевой кислоты в растворах гексаметиленимин — вода (рис. 4) и триэтиламин — вода (рис. 5) при турбулентном режиме показывают, что в критической области диффузионные потоки гексаметиленимина и триэтиламина не зависят от состава раствора.



### Растворение в двойном жидком растворе, не обладающем критической точкой

Наряду с измерениями скорости растворения терефталевой кислоты в растворах, обладающих критической точкой, была измерена методом вращающегося диска скорость растворения терефталевой кислоты в водных растворах аммиака, не имеющих критической точки. Измерения были проведены при  $30^\circ$  в условиях ламинарного и турбулентного режимов (рис. 6).

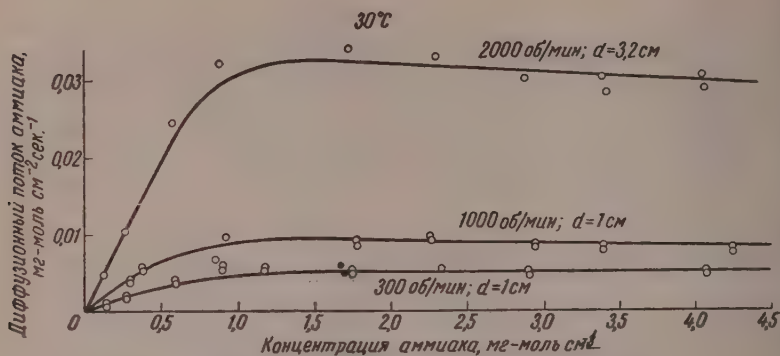


Рис. 6. Скорость растворения терефталевой кислоты в растворах вода — аммиак при  $30^\circ$ : 1 — диаметр диска 10 мм, скорость вращения 300 об/мин и 2 — диаметр диска 10 мм, скорость вращения 1000 об/мин (ламинарный режим); 3 — диаметр диска 32 мм, скорость вращения 2000 об/мин (турбулентный режим)

При этом оказалось, что, начиная от концентрации аммиака в растворе  $1,0 \text{ мг-моль см}^{-3}$ , скорость растворения кислоты не зависит от состава раствора.

Для объяснения было предположено, что при некоторой определенной концентрации терефталата аммония, образовавшегося при реакции происходило насыщение раствора солью и отвод продуктов реакции лимитировал скорость растворения.

Для проверки такого предположения нужно было сравнить скорости растворения терефталевой кислоты и терефталата аммония в водных растворах аммиака при одинаковых условиях. С этой целью была приготовлена соль терефталевой кислоты и аммиака. Вначале готовили водный раствор терефталата аммония, затем из раствора отгоняли воду при остаточном давлении 30—40 мм рт. ст. Терефталат аммония высушивали при  $30^\circ$  до постоянного веса. Соль содержала 94 вес. % терефталата аммония, остальное терефталевая кислота.

Терефталат аммония спрессовывали в диски диаметром 10 мм под давлением  $1250 \text{ кг/см}^2$  и измерили скорость растворения в водных растворах аммиака при  $30^\circ$  и ламинарном режиме. Скорость растворения аммиака при  $30^\circ$  и угловой скорости диска 300 об/мин изменяется в зависимости от концентрации раствора незначительно и равна  $0,22 \text{ мг-моль см}^{-2}\text{сек}^{-1}$  (рис. 7).

Сравнение скоростей растворения терефталевой кислоты и терефталата аммония при одинаковых условиях показывает, что, начиная с концентрации аммиака в растворе  $1,0 \text{ мг-моль см}^{-3}$ , происходит насыщение раствора терефталатом аммония, и скорость растворения терефталевой кислоты лимитирует отвод терефталата аммония с поверхности, где протекает реакция (рис. 7).

Для выяснения влияния продукта реакции на скорость растворения терефталевой кислоты в растворах триэтиламин — вода и гексаметиленмин — вода, обладающих критической точкой, мы измерили скорости растворения солей терефталевой кислоты и триэтиламина, а также терефталевой кислоты и гексаметиленмина методом вращающегося диска.

Соли готовили таким же способом, что и терефталат аммония. Во избежание разложения солей высушивали их в эксикаторе над хлористым кальцием. Соль терефталевой кислоты и триэтиламина содержала 86%

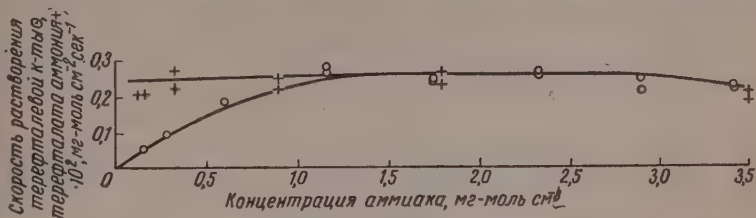


Рис. 7. Скорость растворения терефталата аммония и терефталевой кислоты в растворах вода — аммиак при 30° и ламинарном режиме

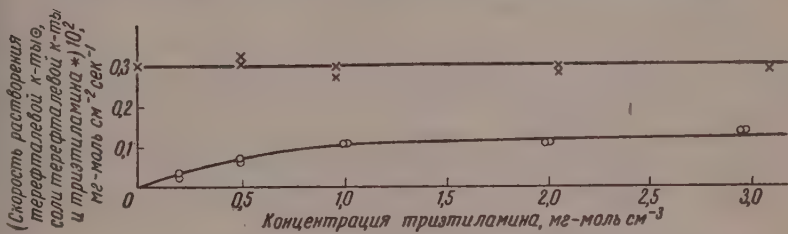


Рис. 8. Скорость растворения соли терефталевой кислоты и триэтиламина, а также терефталевой кислоты в растворах вода — триэтиламин при 17° и ламинарном режиме

основного вещества, а соль терефталевой кислоты и гексаметиленмина — 0% основного вещества, остаток в обоих случаях терефталевая кислота.

Соли спрессовывали в диски диаметром 10 мм под давлением 250 кг см<sup>-2</sup>.

Скорость растворения соли терефталевой кислоты и триэтиламина в растворах триэтиламин — вода при 17° и ламинарном режиме в 1,5 раза больше скорости растворения терефталевой кислоты при тех же условиях (рис. 8).

Скорость растворения соли терефталевой кислоты и гексаметиленмина при 30° и ламинарном режиме в 1,3 раза больше скорости растворения терефталевой кислоты при тех же условиях.

Таким образом, в случае растворения терефталевой кислоты в растворах, обладающих критической точкой, отвод образовавшихся солей лимитирует скорости реакции, так как скорость растворения этих солей больше скорости растворения терефталевой кислоты при тех же условиях.

Независимость скорости гетерогенной реакции от состава в растворах, обладающих критической точкой, и в растворах, где критические явления отсутствуют, вызваны различными причинами.

### Выводы

Термодинамические закономерности для двойных жидких систем, обладающих критической точкой, являются общими. Поэтому результаты, полученные по кинетике растворения твердых кислот в растворах три-

этиламин — вода и гексаметиленимин — вода, позволяют сделать общий вывод: в критической области двойного раствора скорость гетерогенной реакции не зависит от состава раствора как при ламинарном, так и при турбулентном режимах.

Скорость гетерогенной химической реакции в растворах, не обладающих критической точкой, также может не зависеть от состава раствора когда отвод продуктов реакции лимитирует скорость реакции.

Вычислена универсальная постоянная в уравнении В. Г. Левича для конвективной диффузии при турбулентном режиме.

Постоянство значения универсальной константы свидетельствует о справедливости теории, развитой В. Г. Левичем, а также о правильности взглядов Л. Д. Ландау и В. Г. Левича о том, что перенос вещества в вязком подслое осуществляется турбулентными пульсациями.

Институт азотной промышленности  
Москва

Поступила  
31.III.1958

#### ЛИТЕРАТУРА

1. И. Р. Кричевский, Фазовые равновесия в растворах при высоких давлениях, ГХИ, М.—Л., 1952.
2. И. Р. Кричевский, Н. Е. Хазанова, Л. Р. Линшиц, Докл. АН СССР, 99, 113, 1954.
3. И. Р. Кричевский, Ю. В. Цеханская, Ж. физ. химии, 30, 2315, 1956.
4. J. D. Ans, E. Lax, Taschenbuch für Chemiker und Physiker, Berlin, 1942.
5. И. Р. Кричевский, Н. Е. Хазанова, Л. Р. Линшиц, Ж. физ. химии, 29, 547, 1955.
6. Н. Е. Хазанова, Л. Р. Линшиц, Ж. физ. химии, 33, 1811, 1959.
7. В. Г. Левич, Физико-химическая гидродинамика, Изд-во АН СССР, М., 1952.
8. Ю. Б. Иванов В. Г. Левич, Ж. физ. химии 32, 592, 1958.
9. Л. Д. Ландау и Е. М. Лифшиц, Механика сплошных сред, ГТИ, 1944.
10. В. Г. Левич, Acta phys. chim, URSS, 19, 117, 1943.
11. L. Prandtl, Phys. Z., 11, 1072, 1910; 29, 487, 1927.
12. Т. Карман, Ст. в сб. «Проблемы турбулентности», М., 1936.
13. Dörsey, Properties of ordinary water substance, 1940.
14. F. Kohler, Monatsh. Chem., 82, 913, 1951.

#### DISSOLUTION OF SOLID ACIDS IN BINARY LIQUID SOLUTIONS IN THE CRITICAL REGION

*I. R. Krichevskii and Yu. V. Tsekhanskaya (Moscow)*

#### Summary

The effect of the critical region on the kinetics of heterogeneous process taking place under varying hydrodynamic conditions has been studied using the dissolution of solid acids in triethylamine-water and hexamethylenimine-water solutions as examples.

Binary liquid systems possessing critical points obey common thermodynamic law. Hence the results obtained on the kinetics of solution of solid acids in triethylamine-water and hexamethylenimine-water solutions permit of the general conclusion that in the critical region of the binary solution the rate of the heterogeneous reaction does not depend upon the solution composition both under laminary or turbulent conditions.

The rate of a heterogeneous chemical reaction in solutions devoid of a critical point may also not depend upon the solution composition when withdrawal of the reaction products is the rate limiting stage of the reaction.

The universal constant of the Levich equation has been computed for convective diffusion in the turbulent state.

The constant value of the universal constant bears witness to the validity of Levich's theory and also of Landau and Levich's conception as to the transfer of matter in the viscous underlayer by means of turbulent pulsations.



## О ПРИМЕНЕНИИ СТЕКЛА В КАЧЕСТВЕ ЭЛЕКТРОЛИТА ПРИ ИССЛЕДОВАНИИ ТЕРМОДИНАМИЧЕСКИХ СВОЙСТВ СПЛАВОВ НАТРИЯ

*М. Ф. Лантратов и А. Г. Морачевский*

Одним из основных методов исследования термодинамических свойств бинарных, также многокомпонентных металлических систем является измерение электродвижущих сил (э. д. с.) концентрационных цепей амальгамного типа [1, 2]. При этом качестве электролита обычно используют смесь расплавленных хлоридов щелочных металлов, в которой растворено небольшое количество соли металла, участвующего токообразующем процессе. Однако, применение расплавленных солей становится затруднительным при исследовании сплавов магния [3, 4] и практически невозможным при изучении сплавов щелочных металлов, в частности, натрия или калия [1, 2, 5].

Необходимо отметить, что применение расплавленных солей в качестве электролита вообще всегда связано с рядом трудностей [1, 6, 7]. В связи с этим большой интерес представляют исследования сплавов методом э. д. с. с применением твердых электролитов. Так, Вахтер [8] при определении активности серебра в сплавах с золотом потреблял в качестве электролита твердый хлорид серебра. Трюмлер [9] использовал твердый NaCl как защитный электролит при определении электродного потенциала натрия. Необходимость наличия чисто ионной проводимости в значительной мере ограничивает применение твердых солей при исследовании сплавов методом э. д. с.

Ионный характер проводимости в стеклах и строгое выполнение закона Фарадея [10] позволили Хауффе [5] применить стекло, содержащее ионы натрия, в качестве электролита в цепях типа:

натрий | стекло, содержащее ионы натрия | сплав натрия.

Этим методом в дальнейшем был изучен ряд бинарных и тройных сплавов натрия [11—16]. Кубашевский и Хуглер [7] использовали стекло в качестве растворителя ионов серебра при электрохимическом исследовании системы Ag — Au в твердом состоянии. Данные Кубашевского и Хуглера вполне удовлетворительно совпадают с данными Загисера и Энгельгардта [3], применявших в качестве электролита при исследовании этой системы эвтектическую смесь AgCl и KCl. Вьерк [17] успешно применила стекло, содержащее  $Ti_2O_5$ , в качестве электролита при определении активности таллия в жидких сплавах с оловом и висмутом.

Опубликована работа Портера и Фейнлейба [18], в которой определялась активность натрия в богатых свинцом сплавах ( $N_{Na} = 0,15—0,40$ , где  $N_{Na}$  — атомная доля натрия) при температурах от 500 до 1010° С. Активность натрия вычислялась из измерений э. д. с. концентрационных цепей, причем в качестве электролита использовался материал типа корундиза, пропитанный расплавленной содой. Данные Портера и Фейнлейба удовлетворительно согласуются с данными Хауффе и Вьерк [11] и данными А. Ф. Алабышева и А. Г. Морачевского [16].

Все отмеченные работы являются экспериментальным подтверждением возможности применения твердых электролитов и, в частности, стекла при исследовании термодинамических свойств сплавов, в том числе, содержащих натрий.

В настоящей статье предпринята попытка рассмотреть влияние состава стекла на пригодность его в качестве электролита при исследовании жидких сплавов натрия методом э. д. с.

В работах Хауффе [5], Хауффе и Вьерк [11], Фрауэншилл и Халлы [12], Халлы и Херди [13] в качестве электролита при исследовании сплавов натрия использовалось только обычное тюрингенское стекло, содержащее [7]:  $SiO_2 — 69,7\%$ ;  $Na_2O — 16,05\%$ ;  $K_2O — 3,5\%$ . В некоторых из этих работ [11, 12] отмечалось, что при температурах выше 400° С наблюдается недостаточное постоянство значений э. д. с. во времени, что становится особенно заметным при температурах выше 480° С. Это обстоятельство обычно связывается с взаимодействием натрия со стеклом, в частности,



с протеканием реакции между натрием и двуокисью кремния, входящей в состав стекла. Взаимодействие увеличивается с повышением температуры. В литературе отсутствуют какие-либо надежные сведения о степени устойчивости стекол различных составов по отношению к жидкому натрию и его сплавам [19].

Нами экспериментально исследована возможность использования в качестве электролита стекол следующих марок: № 23, № 29, № 46, ЗС-8, ЗС-5К и боронатриевого [19, 20]. Содержание основных компонентов в стеклах приводится в табл. 1.

Таблица 1

Состав стекла

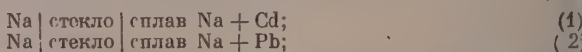
Марка стекла	SiO <sub>2</sub>	B <sub>2</sub> O <sub>3</sub>	Al <sub>2</sub> O <sub>3</sub>	Na <sub>2</sub> O	CaO	K <sub>2</sub> O
№ 23	68,39	2,66	3,89	9,42	8,51	7,14
№ 29	68,6	—	3,7	10,0	7,5	3,0
№ 46	68,25	16,5	4,0	6,00	—	—
ЗС-8	66,5	23,0	3,0	3,7	—	3,8
ЗС-5К	68,0	20,0	3,0	4,0	—	5,0
Борно-натриевое стекло	—	60,0	15,0	13,0	12,0	—

Как известно, боронатриевое стекло, не содержащее SiO<sub>2</sub>, является наиболее устойчивым по отношению к металлическому натрию [19, 20]. Использование такого стекла позволяет решить вопрос о влиянии реакции:



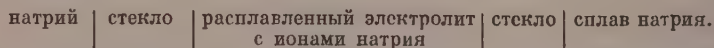
протекающей на поверхности стекла, на величину э. д. с. концентрационных цепей.

Для сравнительного изучения поведения стекол различного состава как электролитов были выбраны следующие цепи:

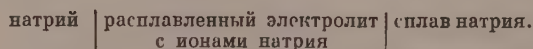


э. д. с. измерялась в интервале температур от 400 до 575° С. Термодинамические свойства жидких сплавов систем Na — Cd и Na — Pb ранее подробно изучены одним из нас совместно с А. Ф. Алабышевым [14, 16].

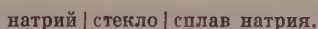
Представляло интерес также исследовать цепи с промежуточным электролитом типа:



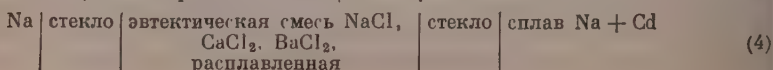
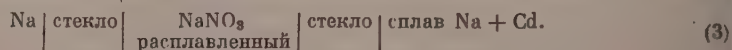
Согласно представлениям, развитым Габером [21], Трюмплером [9] и Трюмплером и Шулдером [22], э. д. с. этой цепи должна быть равна э. д. с. цепи:



В свою очередь, она должна быть равной э. д. с. цепи:



Для экспериментальной проверки этого положения измерялись э. д. с. цепей



В работе применялась описанная ранее методика [5, 15, 16]. Измерения производились потенциометром ППТВ-1 с зеркальным гальванометром чувствительностью  $\cdot 10^{-6}$  А. Совпадение э. д. с. при прямом и обратном ходе по температуре было в пределах  $\pm 0,2$  мВ [цепь (1)] и  $\pm 1$  мВ [цепь (2)]. С каждым сортом стекла было проведено не менее трех независимых опытов. Для работы использовались натрий, кадмий и инец фирмы Кальбаум «для анализа». Измерения проводились в атмосфере аргона. Плавки натрия с кадмием и свинцом готовились заранее в достаточном количестве путем сплавления чистых компонентов в атмосфере аргона при тщательном перемешивании. Сплав натрия с кадмием содержал 31,0 ат. % Na; сплав натрия со свинцом — 48,4 ат. %. При этих составах температурные коэффициенты э. д. с. рассматриваемых систем максимальны, что позволяло более надежно проследить зависимость э. д. с. от температуры при использовании стекол различных сортов. Охранение натрия в сплаве устанавливалось аналитически по обычной методике [16].

### Результаты опытов и их обсуждение

На рис. 1 приведены результаты измерения э. д. с. цепи (1) со стеклами различных составов в интервале температур от 400 до 550° С; э. д. с. цепи линейно зависит от температуры [14]. Следует отметить, что линейная зависимость э. д. с. от температуры в широком интервале температур обычно отмечается при исследовании концентрационных цепей амальгам-ного типа с жидкими сплавами [23—25].

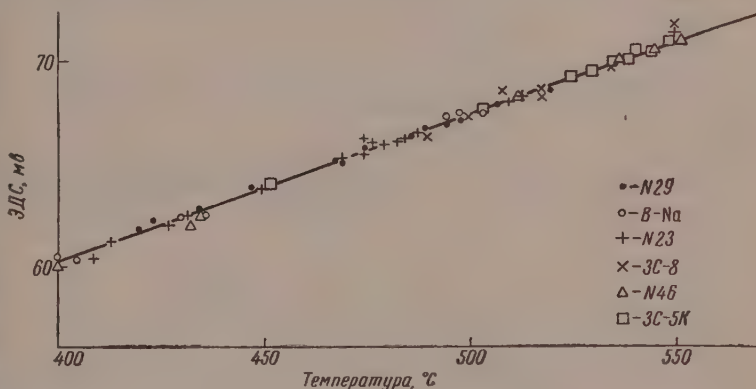


Рис. 1. Зависимость э. д. с. цепи (1) от температуры

В табл. 2 суммированы результаты измерений э. д. с. цепи (1) для температур 400, 450, 500 и 550° С. Средние значения э. д. с. получены из соответствующих кривых зависимости э. д. с. от температуры для различных составов стекол.

Таблица 2

Значения э. д. с. (в мВ) цепи: Na | стекло | сплав Na+Cd при различных составах стекол в зависимости от температуры

Температура, °С	Стекло					
	№ 23	№ 29	№ 46	3C-8	3C-5K	Ворнонатриевое
400	60,0	60,5	60,0	60,0	60,0	60,0
450	63,7	63,8	63,7	64,0	63,8	63,6
500	67,3	67,1	67,5	68,0	67,5	67,2
550	71,0	70,4	71,2	72,0	71,3	—

Как видно из рис. 1 и табл. 2, значения э. д. с. цепи (1) практически не зависят от сорта стекла. Обращает на себя внимание факт весьма хоро-

шего совпадения э. д. с., полученных со стеклами, содержащими  $\text{SiO}_2$  и борнонатриевым стеклом. Как видно, замена обычных силикатных стекол специально изготовленным борнонатриевым не влияет на величину э. д. с. цепи. По-видимому, протекающая на поверхности стекла реакция между  $\text{SiO}_2$  и натрием, не играет существенной роли. Во всех опытах при постоянной температуре мы не замечали изменения э. д. с. цепи во времени.

Аналогичные выводы могут быть сделаны из рассмотрения рис. 2 и табл. 3, где приведены результаты исследования цепи (2). Таким образом

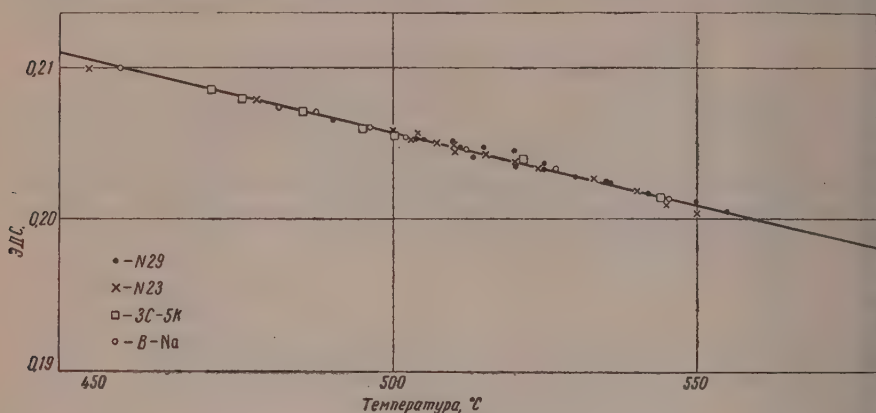


Рис. 2. Зависимость э. д. с. (мв) цепи (2) от температуры.

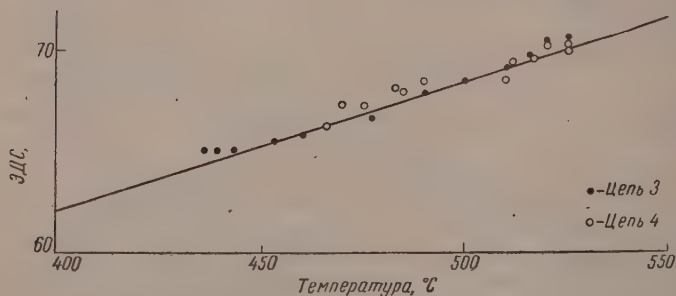


Рис. 3. Зависимость э. д. с. (мв) цепей (3) и (4) от температуры.

как для цепи (1), так и для цепи (2) э. д. с. практически не зависит от состава стекла. Это и следовало ожидать из общих теоретических представлений о независимости э. д. с. концентрационных цепей амальгамного типа от состава электролита. Справедливость такого положения подтверждается и исследованиями концентрационных цепей, выполненными с применением в качестве электролита смесей расплавленных солей [23, 24].

На рис. 3 приведены результаты измерений э. д. с. цепей (3) и (4) со стеклом № 23. Как видно, э. д. с. обеих цепей вполне удовлетворительно согласуются между собой.

Сравнивая кривые зависимости э. д. с. от температуры для цепей (1), (3) и (4), можно видеть, что температурный коэффициент  $dE/dT$  у всех цепей приблизительно одинаков, но абсолютные значения э. д. с. цепей (3) и (4) несколько выше, чем цепи (1). Наибольшее отклонение, однако, лежит в пределах 1—1,5 мВ.

Таблица 3

Значения  $\alpha$ . д. с. цепи: Na |стекло| сплав Na + Pb при различных составах стекол в зависимости от температуры

Температура, °C	Стекло			
	№ 23	№ 29	ЗС-5К	Борнонатриевое
450	210,3	210,5	210,4	210,3
500	205,8	205,7	205,6	205,6
550	201,2	201,0	200,9	201,0

## Выводы

1. Показана пригодность стекол № 23, № 29, ЗС-8, № 46, ЗС-5К и ортонатриевого для использования их в качестве электролита при исследовании термодинамических свойств жидких сплавов натрия в соответствующих интервалах температур. Замена силикатных стекол борнонатриевым не сказывается на величине  $\alpha$ . д. с.

2. Экспериментально подтверждено теоретически ожидаемое равенство  $\alpha$ . д. с. цепей:

натрий | стекло | сплав натрия

натрий | стекло | расплавленный электролит | стекло | сплав натрия  
с ионами натрия

Ленинградский электротехнический  
институт им. В. И. Ульянова (Ленина)

Поступила  
2. IV. 1958

Ленинградский политехнический  
институт им. М. И. Калинина

## ЛИТЕРАТУРА

1. К. Вагнер, Термодинамика сплавов, Металлургиздат, М., 1957.
2. О. Кубашевский, Э. Эванс, Термохимия в металлургии, ИИЛ, М., 1954.
3. C. Wagner, G. Engelhardt, Z. phys. Chem., A, 159, 241, 1932.
4. F. Vetter, O. Kubaschewski, Z. Elektrochem., 57, 243, 1953.
5. K. Hauffe, Z. Elektrochem., 46, 348, 1940.
6. R. A. Oriani, J. Electrochem. Soc., 163, 194, 1956.
7. O. Kubaschewski, O. Hugler, Z. Elektrochem., 52, 170, 1948.
8. A. Wachter, J. Amer. Chem. Soc., 54, 4609, 1932.
9. G. Trümpler, Z. Elektrochem., 30, 103, 1924.
10. W. Eitel, The Physical Chemistry of the Silicates, Chicago, 1954.
11. K. Hauffe, A. L. Vierk, Z. Elektrochem., 53, 149, 1949.
12. H. Frauenschill, F. Halla, Z. Elektrochem., 53, 144, 1949.
13. F. Halla, R. Herdy, Z. Elektrochem., 56, 213, 1952.
14. А. Ф. Алабышев, А. Г. Морачевский, Докл. АН СССР, 111, 369, 1956.
15. А. Ф. Алабышев, А. Г. Морачевский, Ж. неорг. хим., 2, 669, 1957.
16. А. Г. Морачевский, Канд. диссертация, ЛПИ, 1957.
17. A. L. Vierk, Z. Elektrochem., 54, 436, 1950.
18. B. Porter, M. Feinleib, J. Electrochem. Soc., 103, 300, 1956.
19. H. Thiene, Glas, Bd. I. Jena, 1931; Bd. II, Jena, 1939.
20. A. H. Compton, U. S. pat. 1570876; Chem. Abstrs, 20, 976, 1926.
21. F. Haber, Ann. Physik (4), 26, 927, 1908.
22. G. Trümpler, D. Schuler, Helv. chim. acta, 32, 1940, 1949.
23. N. W. Taylor, J. Amer. Chem. Soc., 45, 2865, 1923.
24. М. Ф. Лантратов, Канд. диссертация, ЛТИ, 1950.
25. В. Н. Еременко, О. М. Еременко, Т. П. Бруевич, Укр. хим. ж., 17, 658, 1951.



ON THE USE OF GLASS AS ELECTROLYTE IN STUDIES OF THE  
THERMODYNAMIC PROPERTIES OF SODIUM ALLOYS*M. F. Lantratov, A. G. Morachevskii (Leningrad)*

## S u m m a r y

In the study the suitability has been considered of various types of glass as electrolyte in studying the thermodynamic properties of liquid sodium alloys by measuring the electromotive force of the concentration cells:

sodium |electrolyte containing| sodium alloy  
sodium ions

It has been experimentally shown that the emf of the alloy is independent of the composition and nature of the glass. Substitution of silicate by sodium borate glass not containing  $\text{SiO}_2$  has no effect on the value of the emf.

---

ИССЛЕДОВАНИЕ ВОСПЛАМЕНЕНИЯ ГАЗОВ В ПРОДУКТАХ  
РЕАКЦИИ ПЛАМЕНИ

С. М. Когарко, М. И. Девинев и В. Я. Басевич

Исследование кинетики реакций в пламенах является одной из главных задач теории горения. Экспериментальные трудности, связанные с непосредственным решением этой задачи (большая скорость химической реакции в пламени), вынуждают упрощать условия изучения таких реакций, и, в частности, понижать температурный диапазон, в котором они исследуются.

Одним из путей выяснения кинетики является измерение задержек воспламенения. Задержки воспламенения газовых смесей углеводородов исследовались неоднократно. Температурный диапазон обычно соответствовал условиям статической бомбы (200—600° С). Область высоких температур исследована, главным образом, при высоких давлениях — в адиабатических бомбах, ударных трубках и т. д. Однако при таких условиях воспламенения устраняется одна из главных особенностей пламен — наличие конечных продуктов реакции и активных частиц, радикалов, диффундирующих из зоны горения в зону подогрева.

В настоящей работе исследовались задержки воспламенения при относительно высоких температурах, причем на указанную выше особенность пламени обращено основное внимание, хотя некоторые другие особенности протекания пламенных реакций, в общем, не воспроизведены.

Постановка эксперимента в таком виде имеет непосредственное отношение к изучению механизма горения в турбулентном потоке.

## Методика эксперимента

Схема экспериментальной установки представлена на рис. 1. Воздух компрессора через трубу 1, снабженную электроподогревом 2, поступает к диффузионной горелке 3, работающей на смеси водорода с небольшим количеством городского газа. Расход воздуха составлял 14—18 г/сек. Камера воспламенения 4 имеет на входе сечение  $40 \times 40 \text{ мм}^2$ , расширяется к длине 400 мм до  $40 \times 140 \text{ мм}^2$ , далее ее сечение остается постоянным.

Используя электроподогрев (до 200° С) и диффузионное пламя, температуру в камере воспламенения можно было варьировать от 20 до 1500° С. При этом одновременно изменялась концентрация кислорода, однако, его минимальная концентрация не падала ниже 11 %. Температура измерялась с помощью хромель-алюмелевой термопары 5, причем вносились поправки на лучеиспускание и теплоотдачу по проводам. Неоднородность температуры потока составляла 20—60° С.

Исследуемый газ находился под избыточным давлением 0,1 атм в резервуаре 6 и мог нагреваться до 200° С. Подогрев применялся в случае пользования *n*-гептана и изоктана для полного устранения жидкой фазы. При открывании клапана 7 от электромагнита 8 размыкался контакт и исследуемый газ попадал в камеру, где, перемешиваясь с горячим потоком, воспламенялся. Момент воспламенения регистрировался при помощи сурмяно-цезиевого фотоэлектронного умножителя 10. Сигналы от замыкания контакта и фотоумножителя подаются через смеситель 11, собранный на германиевых диодах, на вход осциллографа 12. Измеряемое

по осциллограммам время между этими двумя сигналами составляло задержку воспламенения  $\tau_n$ . В специальных опытах было измерено время от момента размыкания контакта до начала истечения газа в камеру воспламенения. Для этого газ в резервуаре 6 нагревался до  $100^\circ \text{C}$ , а непосредственно к отверстию впускного клапана 7 подводился чувствительный малоинерционный термометр сопротивления с вольфрамовой нитью диаметром  $19 \mu$ , подключенный к смесителю 11 вместо фотоэлектронного умножителя. Это время оказалось равным  $2,2 \text{ мсек.}$  и для определения действительной задержки  $\tau$  оно всегда вычиталось из  $\tau_n$ .

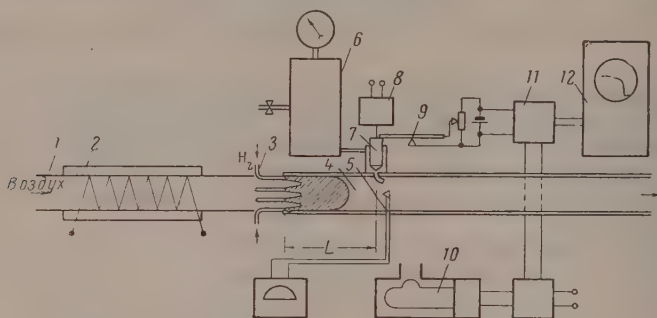


Рис. 1. Схема установки: 1 — труба; 2 — электроподогрев; 3 — диффузионные горелки; 4 — камера воспламенения; 5 — термопара; 6 — резервуар; 7 — клапан; 8 — электромагнит; 9 — контакт; 10 — фотоэлектронный умножитель; 11 — смеситель; 12 — осциллограф

Расстояние от пламени до места впуска газа в камеру воспламенения могло изменяться, так что величина  $L$  составляла  $150 \div 650 \text{ мм.}$  При всех температурах и положениях клапана величина  $L$  была больше длины диффузионного пламени. Электроподогревом воздуха на  $120$  и  $180^\circ \text{C}$  компенсировалась теплоотдача в стенки камеры воспламенения при  $L = 40$  и  $650 \text{ мм.}$  так что при одинаковых температурах концентрация кислорода в этих положениях клапана была почти такая же (на  $1\text{--}2\%$  выше), как и при малых  $L$ .

Открытый конец камеры воспламенения во всех опытах сообщался атмосферой.

На установке имелась возможность регистрировать спектры поглощения гидроксидов в камере воспламенения методом линейчатого поглощения [1]. Для этого использовалась в качестве источника света электрическая дуга между медными электродами в парах воды и спектрограф ИСП-22. Спектрограммы обрабатывались на микрофотометре МФ-2.

### Результаты эксперимента

Для метана на рис. 2 приведены измеренные в опыте задержки воспламенения для различных  $L$ . На оси ординат отложены  $\lg \tau$ , на оси абсцисс  $1/T$ . Как видно из графика, задержки воспламенения составляют в диапазоне температур  $550\text{--}1500^\circ \text{C}$   $1\text{--}200 \text{ мсек.}$  по существенно различны для разных расстояний места впуска от пламени. Кроме того, при разных  $L$  меняются кажущиеся энергии активации, рассчитанные по наклону графика задержек: от  $71 \text{ ккал/моль}$  при  $L = 650 \text{ мм}$  до  $19 \text{ ккал/моль}$  при  $L = 150 \text{ мм.}$

Аналогичный вид имеют задержки воспламенения для других углеводородных топлив парафинового ряда — бутана, изооктана (2-2-4-триметилпентана) и *n*-гептана. Задержки этих топлив при  $L = 650 \text{ мм}$  представлены на рис. 3, а при  $L = 250 \text{ мм}$  — на рис. 4. Для удобства сравнения здесь

же нанесены пунктиром, без указания экспериментальных точек, задержки с рис. 3.

Рассматривая задержки, определенные вблизи пламени, следует обратить внимание на то, что обычная последовательность ряда задержек вос-

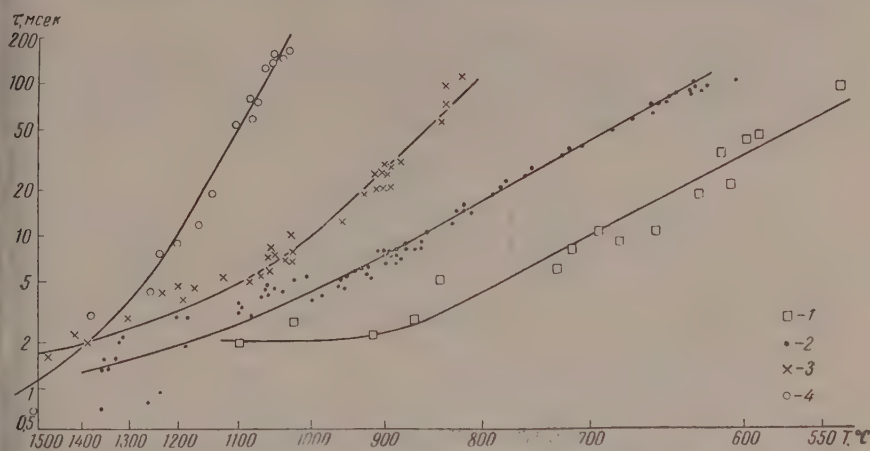


Рис. 2. Задержки воспламенения метана  $L$ , мм: 1—150; 2—250; 3—400; 4—650

пламенения, соответствующая октановым числам топлив (о. ч. метана — 110, изоктана — 100, бутана — 92, *n*-гептана — 0) не выдерживается.

Из сравнения рис. 5 с рис. 2 видно, что для данного значения  $L$  задержки воспламенения для смеси метана с воздухом с коэффициентом избытка воздуха  $\alpha = 0,8$  и для чистого метана мало отличаются друг от друга. По мере обеднения смеси задержки несколько увеличиваются. Значения кажущейся энергии активации получались несколько меньшими. Возможно, это является следствием некоторого отличия условий воспламенения в этой серии опытов: не было электроподогрева основного воздуха, а вместо диффузионного пламени для подогрева использовались гомогенные смеси городского газа разного состава.

В специальной серии опытов были определены концентрации гидроксидов ОН при температуре, средней для исследованной температурной области, в двух точках камеры воспламенения при  $L = 250$  и  $650$  мм. Стабильность спектра ОН источника света контролировалась путем сравнения линией  $\text{Cu } \lambda = 3073,5 \text{ \AA}$ , причем спектр источника света снимался дважды в каждом опыте: до и после поглощения. Измерения поглощения проводились в полосе ОН  $3064 \text{ \AA}$  для линий ветви  $Q_1$ , соответствующих квантовым числам  $7/2, 9/2, 13/2, 15/2$ .

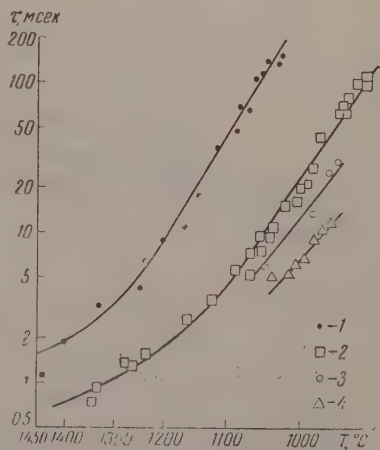


Рис. 3. Задержки воспламенения при  $L = 650$  мм. Топлива: 1 — метан; 2 — *n*-бутан; 3 — изоктан (2-2-4-триметилпентан); 4 — *n*-гептан



При оценке абсолютных концентраций гидроксила использовалась методика В. Н. Кондратьева [2]. Результаты опытов и расчета представлены в таблице.

Коэффициенты поглощения и рассчитанные парциальные давления гидроксила

№ опыта	T, °C	Коэффициенты поглощения				Парциальное давление OH, мм рт. ст.
		$Q_1$ (7/2)	$Q_1$ (9/2)	$Q_1$ (13/2)	$Q_1$ (15/2)	

$L = 250$  мм

1	1010	0,11	0,08	0,08	0,1	0,095
2	1050	0,17	0,165	0,135	0,13	0,154
3	1065	0,11	0,14	0,16	0,14	0,14
4	1090	0,19	0,2	0,25	0,18	0,175

$L = 650$  мм (средние значения)

5—7	1090	0,012	0,0233	0,0166	0,02	0,014
-----	------	-------	--------	--------	------	-------

### Обсуждение результатов

В обсуждении будут рассмотрены задержки воспламенения большие 2 мсек, поскольку на более коротких задержках, по-видимому, существенно сказывается влияние процесса впуска и перемешивания газа.

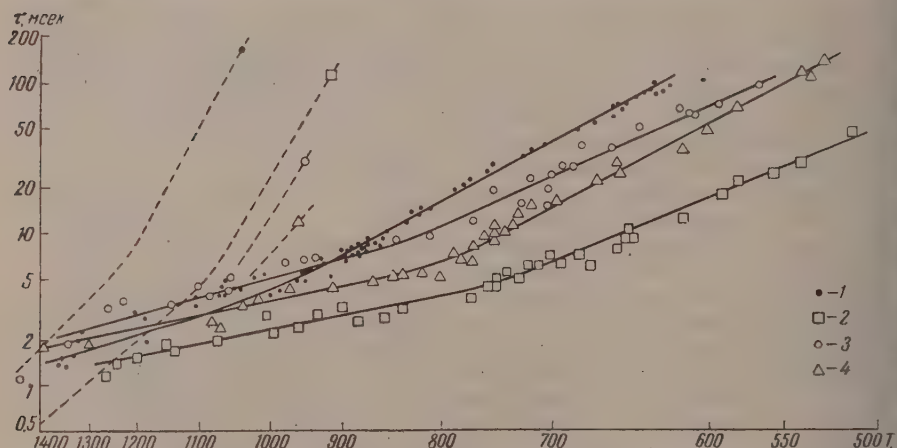


Рис. 4. Задержки воспламенения  $L = 250$  мм (сплошная линия). Топлива: 1 — метан; 2 — н-бутан; 3 — изооктан (2-2-4-триметилпентан); 4 — н-гептан. Пунктир — задержки воспламенения при  $L = 650$  мм согласно рис. 3.

Прежде всего необходимо отметить, что задержки воспламенения в сильной степени зависят от места впуска газа (расстояние  $L$ ), т. е. от времени, истекшего после образования продуктов реакции в пламени водорода.

Это можно видеть из сопоставления задержек при разных значениях  $L$ , но при одинаковой температуре, когда концентрации кислорода приблизительно равны. Сравнение наших данных с опытами Маллинса [3], Сакса [4] и авторов, работавших на статических бомбах, показывает, что в наших опытах при малых значениях  $L$  задержки были на порядок меньше

По-видимому, основным фактором, определяющим различие в задержках воспламенения при разных расстояниях от пламени, является концентрация радикалов, быстро спадающая по времени с удалением от пламени. Известно большое число радикалов и атомов, активная роль которых в цепном окислении не подлежит сомнению. Среди них в первую очередь может быть назван гидроксил  $\text{OH}$  [2], а также  $\text{H}$  и  $\text{O}$ . Как это было указано, таши непосредственные измерения показали, что парциальное давление  $\text{OH}$  при  $L = 250$  мм почти на порядок выше, чем при  $L = 650$  мм, составляя соответственно 0,095—0,175 и 0,014 мм рт. ст. Для сравнения укажем, что вычисленное по константе равновесия для температуры 1350° К и давлении 1 атм в условиях водородного пламени парциальное давление  $\text{OH}$  составляет 0,015 мм рт. ст. [2]. По-видимому, высокая начальная концентрация активных частиц, в частности  $\text{OH}$ , является причиной существенного сокращения задержек воспламенения при приближении места впуска газа к пламени.

Такое воздействие активных частиц может объяснить наблюдаемые относительно малые периоды индукции в зоне подогрева в процессе нормального распространения пламени.

Кажущиеся энергии активации, полученные в условиях наших опытов, соответствующих пониженным концентрациям кислорода (определенные при  $L = 650$  мм), где воздействие начальной концентрации активных частиц ничтожно, удовлетворительно совпадают с данными других авторов (см., например, работу Саксе по смесям метана с кислородом [4]). Из этого сопоставления можно сделать вывод, что, несмотря на имевшее место в опытах изменение концентрации  $\text{O}_2$  с ростом температуры при каждом данном значении  $L$ , температурный ход реакции отражен правильно. Величина кажущейся энергии активации, определенная в условиях повышенной начальной концентрации активных частиц, т. е. на более близких расстояниях места впуска от пламени, значительно ниже и убывает по мере возрастания концентрации активных частиц. Это совпадает с многочисленными оценками величины кажущейся энергии активации в пламенах, сделанные, в частности, в работе [5].

Таким образом, есть основание заключить, что снижение кажущейся энергии активации связано возрастанию концентрации активных центров, в частности, гидроксила, реакции с которыми не требуют высоких энергий активации.

По-видимому, аналогичным эффектом объясняется обнаруженная в опытах при  $L = 250$  мм и при температурах выше 500° С «аномальная» последовательность ряда задержек воспламенения углеводородов (рис. 4), не соответствующая октановой шкале. Как известно, эта шкала установлена для условий, в которых реализуется многостадийный механизм вырожденного разветвления: в области температур 200—600° С. При  $L = 650$  мм в области температур 950° С и более, где концентрация активных частиц ниже, эта «аномалия» частично исчезает.

Согласно нашим данным при нормальных начальных условиях и при изменении скорости потока от 20 до 50 м/сек время пребывания газа в зоне горения углеводородно-воздушных смесей с  $\alpha = 1$  составляет 10—5 мсек. Если сопоставить эту величину с задержками воспламенения при тем-

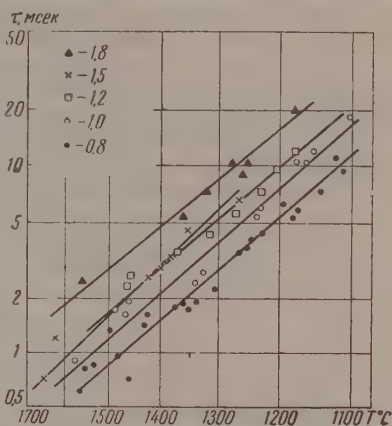


Рис. 5. Задержки воспламенения смесей метана при  $L = 650$  мм. Цифры указывают коэффициент избытка воздуха  $\alpha$

пературах до  $1000^{\circ}\text{K}$ , то оказывается, что задержки воспламенения в этих условиях превосходят время сгорания газа. Отсюда следует, что сгоранием топлива по гомогенному механизму в этой области температур можно пренебречь. Здесь, по-видимому, горение происходит по механизму распространения пламени.

### Выводы

1. В работе показано, что в условиях воспламенения углеводородно-воздушных смесей продуктами реакции пламени в области температур  $550\text{--}1150^{\circ}\text{C}$  при 1 атм задержки воспламенения составляют 2—200 мсек и в сильной степени зависят от начальной концентрации активных частиц, изменяясь для одной и той же температуры на порядок и более.

2. Показано, что задержки воспламенения в условиях, близких к горению в турбулентном потоке, вплоть до температуры  $1000^{\circ}\text{K}$  больше времени пребывания газа в факеле пламени углеводородо-воздушных смесей.

Таким образом, сгоранием по гомогенному механизму, по крайней мере в первой половине турбулентного факела пламени можно пренебречь, так что основное значение здесь имеет механизм распространения пламени.

Академия наук СССР  
Институт химической физики  
Москва

Поступила  
3.IV.1958

### ЛИТЕРАТУРА

1. В. Н. Кондратьев, М. С. Зискин, 6, 1083 1936.
2. В. Н. Кондратьев, Свободный гидроксил. ГОНТИ, М., 1939.
3. B. P. Mullin, Fuel, 32, 211, 1953.
4. H. Sachsse, Z. phys. chem. Abt. B, 33, 229, 1936.
5. J. B. Fenn, H. F. Calcote, 4th Symposium on Combustion, стр. 234, 1953.

### A STUDY OF THE IGNITION OF GASES IN THE REACTION PRODUCTS OF A FLAME

*S. M. Kogarko, M. I. Devishev and V. Ya. Basevich (Moscow)*

### Summary

The delay in ignition has been measured by injection of methane, n-butane, iso-octane (2,2,4-trimethylpentane) and n-heptane in a flow of air heated both electrically and by the heat of the combustion products of a diffusion flame to temperatures of  $500\text{--}1500^{\circ}$  at 1 atm.

The delays exceed the time of existence of the gas in the zone of the turbulent flame of hydrocarbon-air mixtures under normal conditions, whence it follows that there is little probability of the self-oxidation reaction to proceed in the first half of the combustion zone.

It has been found that the time elapsing after the formation of the reaction product of heating the diffusion flame affects the delay in ignition, the delays in the temperature region  $550\text{--}1500^{\circ}\text{C}$  diminishing by an order or more with simultaneous decrease in the activation energy.

This is due to the high initial concentrations of active particles created by the flame hydroxyl, in particular, of which the concentration was measured directly by the method of spectral line absorption.

# К ВОПРОСУ О МЕХАНИЗМЕ РАЗРЫВА С — С СВЯЗИ ПРИ ЖИДКОФАЗНОМ ОКИСЛЕНИИ *n*-ГЕПТАНА МОЛЕКУЛЯРНЫМ КИСЛОРОДОМ

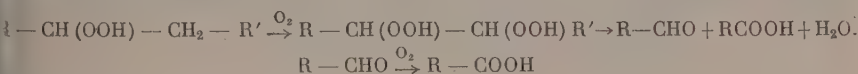
*И. В. Березин и Е. И. Макалец*

В настоящее время можно считать твердо установленным, что первичным продуктом жидкофазного окисления углеводородов, в том числе и углеводородов предельного ряда, являются гидроперекиси различного строения. В зависимости от реакционной способности С — Н связи, а также свойств углеводородного радикала, могут образовываться гидроперекиси различным положением ООН группы в молекуле.

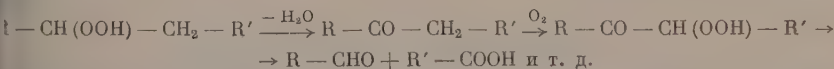
При окислении алканов нормального строения внедрение кислорода в молекулу происходит почти исключительно за счет С — Н связей метиленовых групп приблизительно с равной вероятностью для каждой группы [1]. Вследствие этого в результате первичных актов окисления образуется в основном смесь вторичных гидроперекисей с одинаковым содержанием всех возможных изомеров. Метильные группы окислением практически не затрагиваются.

Гидроперекиси могут претерпевать двоякого рода превращения: во-первых, может происходить дальнейшее окисление с образованием  $\alpha$ -дигидроперекиси [2], в результате распада которой получают равные количества кислот и альдегидов. Во-вторых, гидроперекись может распадаться с образованием кетонов и вторичных спиртов. Эти продукты, подвергаясь дальнейшему окислению, могут давать нестойкие  $\alpha$ -кетогидроперекиси, распад которых, протекающий с разрывом С — С связи, также будет приводить к образованию равных количеств кислот и альдегидов.

Все эти превращения могут быть представлены суммарными схемами:



или



Вторая схема для реакций окисления углеводородов нормального строения экспериментально более обоснована. Доказано [3], что при окислении кетонов образуются в качестве промежуточных соединений  $\alpha$ -кетогидроперекиси. Среди продуктов реакции обнаружены только такие кислоты и альдегиды, которые могут образоваться лишь в результате разрыва связи С — С  $\alpha$ -кетогидроперекиси.

В настоящее время еще не известно насколько полно и с какой скоростью при разных температурах альдегиды окисляются в кислоты в процессе окисления углеводородов в жидкой фазе. Очень мало сведений и о превращении кислот в среде окисляющегося *n*-алкана. Если предположить, что альдегиды количественно доокисляются до кислот, а кислоты заметно не претерпевают каких-либо дальнейших превращений, то следует ожидать, что при окислении *n*-алканов молярные концентрации образовавшихся кислот должны быть одинаковыми. Однако в некоторых работах, где изучался состав кислот при окислении парафинов, этого не наблюдается.



Есть указания, что высших кислот образуется меньше, чем следовало бы, если предположить, что все метиленовые группы подвергаются окислению с одинаковой вероятностью и все изменения молекулы углеводорода в результате окисления протекают по одной из вышеприведенных схем [4].

С целью вскрыть причину этого несоответствия нами было предпринято изучение кинетического поведения кислот, образующихся в результате окисления *n*-гептана в жидкой фазе. Выбор *n*-гептана в качестве объекта исследования обуславливался возможностью осуществить достаточно подробный анализ продуктов его окисления (особенно кислот) и наличием в молекуле этого углеводорода достаточного числа реакционных центров, что может дать возможность проследить влияние места атаки кислородом на состав продуктов окисления.

### Методика

Эталонный *n*-гептан окислялся в проточном автоклаве [5] с приспособлением для взятия отборов по ходу реакции, при температуре 140—150° и давлении 33 атм. Скорость продувания воздуха 32,6 л/мин на один литр гептана. Окисление длилось 4—5 час., в течение этого времени бралось от трех до пяти отборов. Пробы подвергались функциональному анализу. Выделялись также свободные и связанные кислоты и анализировались хроматографически. Перекиси определялись по методике, предложенной Веллером [6], причем водный раствор подистого калия был заменен насыщенным раствором его в метиловом спирте. Карбонильные соединения анализировались гидроксиламиновым методом [7]. Кислоты титровались 0,1 *N* раствором едкого натрия в 90%-ном этиловом спирте. Спирты определялись при помощи 3,5-динитробензоилхлорида [8]. Кислоты выделялись из окисленной смеси и переводились в 5%-ный раствор бутилового спирта в хлороформе по методу, описанному Райном и Гарнером [9]. Для хроматографирования кислот применялась методика, предложенная Ванденхейвелем [10]. Силикагель для хроматографии был приготовлен по Рамзаю [11]. Из колонки вымывались валериановая, масляная и пропионовая кислоты. По разности определялась сумма уксусной и муравьиной кислот, которые оставались адсорбированными на силикагеле. Идентификация кислот проводилась по методу «смещения». К анализируемой смеси прибавлялось определенное количество той или иной известной кислоты. При этом волна идентифицируемой кислоты возрастала на соответствующую величину. Точность анализа  $\pm 5\%$ .

### Экспериментальные результаты

**Х и м и з м р е а к ц и и.** При окислении *n*-гептана образуются перекиси, спирты, карбонильные кислоты и эфиры. Продукты более глубокого окисления образуются в незначительной степени, и при малых глубинах реакции их относительное количество пренебрежимо мало. Альдегидов в реакционной среде очень мало. В значительно большем количестве они были обнаружены в отходящих газах. Следовательно, карбонильные соединения представляют собой в основном кетоны. Хроматографический анализ кислот показал, что образуются следующие кислоты: муравьиная, уксусная, пропионовая, масляная и валериановая. В пределах точности анализа ( $\pm 5\%$ ) капроновой кислоты не обнаружено.

В процессе окисления образуются два слоя — углеводородный (верхний) и водно-кислотный (нижний). Второй слой появляется после окисления примерно 5% исходного углеводорода. Этот факт значительно затрудняет изучение кинетики накопления продуктов реакции при глубоком окислении, так как в силу различной их растворимости они распределяются непропорционально объему слоев (таблица).

Индивидуальные представители продуктов реакции распределяются между слоями также неравномерно. Хроматография свободных кислот углеводородного слоя в случае наличия водно-кислотного слоя дает следующее соотношение кислот:  $C_2 + C_1 : C_3 : C_4 : C_5 = 6 : 1 : 1 : 1$ . Если второй слой еще не образовался (неглубокое окисление), то соотношение кислот совершенно иное:  $C_2 + C_1 : C_3 : C_4 : C_5 = 8 : 4 : 3 : 1$ . Примерно такое же соотношение получается и в случае наличия небольших количеств второго слоя, если кислоты выделить из пропорционального количества углеводородного и воднокислотного слоев.

В силу указанных обстоятельств продолжительность опытов ограничивалась временем появления водно-кислотного слоя.

Кинетические закономерности. Кинетика накопления продуктов реакции изучена при температуре  $140^\circ$  (рис. 1). Реакция идет с автоускорением. В процессе окисления больше всего получается карбонильных соединений и кислот. В образовании продуктов реакции существует определенная последовательность во времени. Позже всех в реакционной среде появляются эфиры.

Распределение продуктов окисления *n*-гептана по слоям ( $T=150^\circ$ )

Продукты	Концентрация в ммоль/г слоя	
	углеводородный	водно-кислотный
Карбонильные соединения	1,10	2,06
Кислоты	1,18	6,6

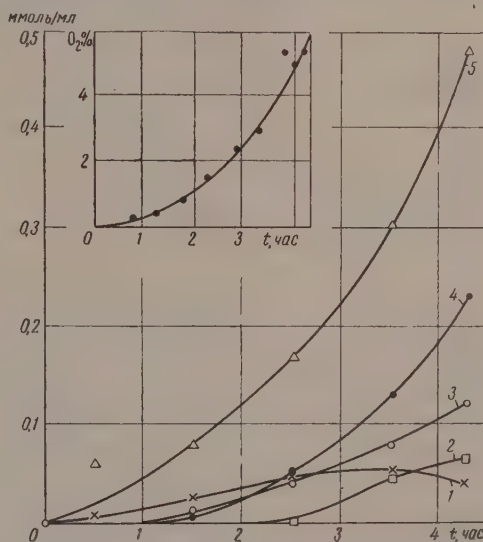


Рис. 1. Кинетические кривые накопления функциональных групп при окислении *n*-гептана ( $T = 140^\circ$ ). 1 — перекиси; 2 — эфиры; 3 — спирты; 4 — кислоты, 5 — кетоны

Хроматографический анализ кислот проведен для опыта при  $150^\circ$ . Результаты анализа приведены на рис. 2. В конечном оксидате, в котором было два слоя, проба для анализа составлялась из пропорционального количества того и другого слоя. Как видно из графика в течение всего опыта наблюдается приблизительное постоянство состава смеси кислот. Количественно муравьиная кислота определялась в последней пробе. Ее концентрация примерно равна концентрации валериановой кислоты

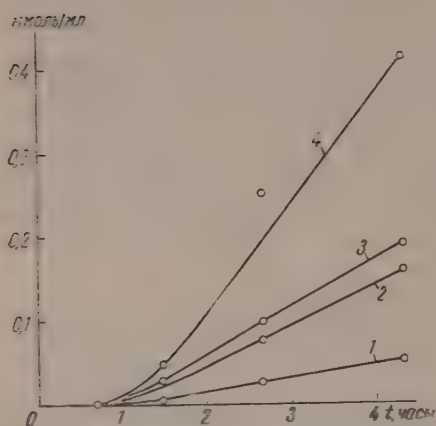


Рис. 2. Кинетические кривые накопления индивидуальных кислот при окислении *n*-гептана (150°). 1 — валериановая; 2 — масляная; 3 — пропионовая; 4 — уксусная + муравьиная кислоты

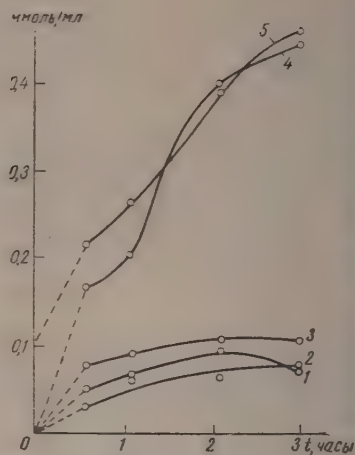


Рис. 3. Кинетические кривые накопления функциональных групп при окислении *n*-гептана с добавкой 0,11 моль/л масляного альдегида ( $T = 140^\circ$ ). 1 — перекиси; 2 — эфиры; 3 — спирты; 4 — кислоты; 5 — карбонильные

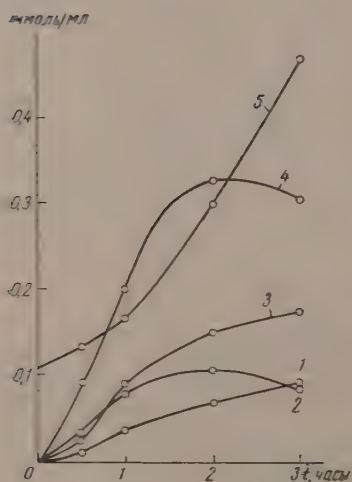


Рис. 4. Кинетические кривые накопления функциональных групп при окислении *n*-гептана с добавкой 0,11 моль/л масляной кислоты ( $T = 140^\circ$ ). 1 — эфиры; 2 — перекиси; 3 — спирты; 4 — кетоны; 5 — кислоты

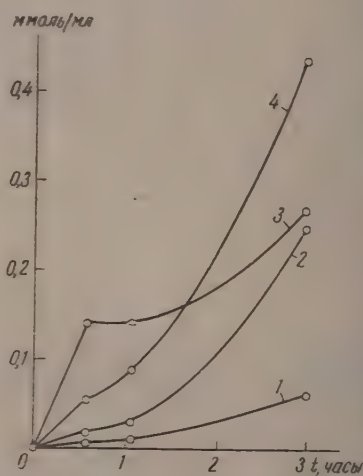


Рис. 5. Кинетические кривые накопления индивидуальных кислот при окислении *n*-гептана с добавкой масляного альдегида. 1 — валериановая; 2 — пропионовая; 3 — масляная; 4 — уксусная + муравьиная кислоты

обращает на себя внимание большое расхождение в концентрациях уксусной и валериановой кислот.

Опыты с добавками. С целью проверки ряда предположений о механизме образования и окисления кислот, а также поведения альдегидов в реакционной среде, были проведены опыты с добавками масляного альдегида и масляной кислоты. Кинетическая картина этих двух опытов приведена на рис. 3 и 4. Кинетика накопления индивидуальных кислот показана на рис. 5 и 6.

В опыте с добавкой альдегида характерен излом, который наблюдается на всех кинетических кривых. Скорость процесса значительно выше, чем в опытах без добавок. В первой же пробе, взятой спустя 35 мин. после начала реакции, качественная реакция на альдегид дала практически отрицательный результат. При этом оказалось, что содержание масляной кислоты почти равно количеству добавленного альдегида. Если учесть, что небольшое количество кислоты образовалось в результате окисления *n*-гептана, то можно считать, что по крайней мере 90% масляного альдегида окислялись до соответствующей кислоты.

Добавка масляной кислоты также ускоряет реакцию. При этом сама кислота заметно не окисляется (рис. 6). В конце периода окисления в обоих случаях соотношение кислот приближается к величинам, которые мы наблюдали в опытах без добавок.

### Обсуждение результатов

Как видно из экспериментальных данных, характерной особенностью состава кислот, образующихся при окислении *n*-гептана, является резкое расхождение в концентрациях уксусной и валериановой кислот. Если принять, что разрыв С — С связи в процессе окисления протекает по механизмам, рассмотренным выше, то такое расхождение может быть объяснено или тем, что альдегиды, образующиеся после распада кетоперекиси или двухатомной перекиси, при своем окислении претерпевают дальнейший распад с укорочением углеродной цепи, или тем, что кислоты в процессе реакции сами подвергаются окислению, которое приводит к образованию кислот с меньшим молекулярным весом. Однако, как мы видели, окисление масляного альдегида приводит почти количественно к образованию масляной кислоты. Поэтому первое предположение не может быть приемлемым. Остается вопрос об окислении высших кислот до низших.

Как было показано ранее [12], карбоновые кислоты в среде окисляющегося углеводорода действительно подвергаются окислению, сопровождающемуся, как правило, их декарбоксилированием. Скорость и характер того окисления зависят от природы кислоты. В молекуле кислоты наиболее реакционноспособным местом по отношению к внедрению кислорода является  $\beta$  —  $\text{СН}_2$ -группа, что приводит к образованию  $\beta$ -кислородного производного (по-видимому, кетокислоты), которое претерпевает декарбоксилирование с образованием соответствующего метилкетона. Окисление этих метилкетонов (аcetона — в случае масляной кислоты и метилэтилкетона — в случае валериановой) должно приводить в нашем случае к

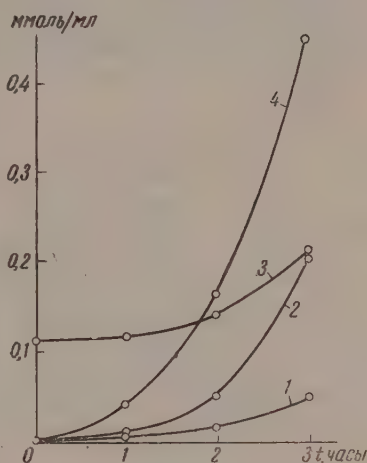


Рис. 6. Кинетические кривые накопления индивидуальных кислот при окислении *n*-гептана с добавкой масляной кислоты. 1 — валериановая; 2 — пропионовая; 3 — масляная; 4 — уксусная + муравьиная кислоты



образованию в реакции дополнительных количеств уксусной кислоты, которая окислению практически не подвергается и должна накапливаться в системе [12].

С этой точки зрения главным поставщиком дополнительных количеств уксусной кислоты должна быть валериановая кислота, так как ацетон, образующийся при окислении масляной кислоты, окисляется значительно труднее, чем метилэтилкетон, молекула которого имеет реакционно-способную метиленовую группу. Окисление пропионовой кислоты также может приводить к образованию уксусной кислоты, однако, оно должно происходить через внедрение кислорода по  $\alpha$ -СН связи, что протекает труднее, нежели внедрение по  $\beta$ -СН связи.

Таким образом, для того чтобы объяснение большой скорости накопления уксусной кислоты в реакции могло быть признано правильным с точки зрения разбираемого механизма разрыва С—С связи молекулы

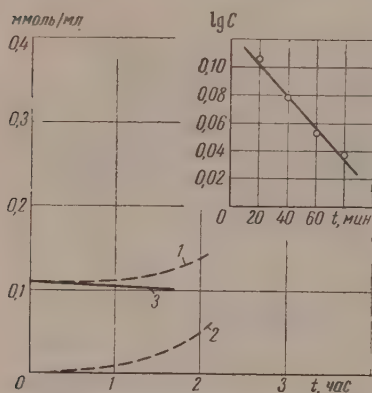


Рис. 7. Установление скорости окисления масляной кислоты. 1 — общее содержание масляной кислоты; 2 — кинетическая кривая масляной кислоты, образовавшейся при окислении; 3 — кинетическая кривая расхода добавленной кислоты

углеводорода необходимо, чтобы скорость окисления валериановой кислоты была равна по меньшей мере половине скорости накопления уксусной кислоты. Скорость окисления валериановой кислоты может быть приблизительно оценена из опыта с добавкой масляной кислоты, так как реакционность этих кислот вряд ли будут сильно отличаться. Как мы видели, соотношение кислот, образующихся при окислении гептана на всем протяжении реакции остается приблизительно постоянным. Поэтому в опыте с добавкой масляной кислоты можно по кинетической кривой накопления, например, пропионовой кислоты построить кинетическую кривую накопления масляной кислоты, образующейся в реакции (см. рис. 6 и 7). Разности ординат кривых 1 и 2 (рис. 7) дадут нам точки кинетической кривой окисления масляной кислоты, прибавленной к гептану. Предполагая, что окисление масляной кислоты подчиняется первому порядку, можно оценить константу скорости этой реакции. В наших условиях она равна  $3 \cdot 10^{-2}$  час<sup>-1</sup>. Если, используя эту константу, оценить скорость окисления валериановой кислоты, то окажется, что она примерно на два порядка меньше скорости накопления уксусной кислоты по всему ходу реакции.

Отсюда следует, во-первых, что окисление высших кислот может давать лишь незначительную часть уксусной кислоты, и, во-вторых, что кинетические кривые кислот почти не искажены их дальнейшим окислением.

Таким образом, второе возможное объяснение резкого расхождения концентраций уксусной и валериановой кислот при окислении *n*-гептана также не выдерживает критики. Это означает, что предложенные в литературе механизмы разрыва С—С связи в процессе жидкофазного окисления углеводородов являются недостаточными для объяснения всего круга наблюдаемых явлений. Более подробные сведения о характере процессов разрыва С—С связи будут нами опубликованы в ближайшее время.

## Выводы

1. Изучены некоторые кинетические закономерности окисления *n*-гептана в жидкой фазе при температуре 140 и 150° и давлении 33 атм. Получены кинетические кривые накопления продуктов реакции по функциональным группам, а также кинетические кривые накопления индивидуальных кислот.

2. Установлено, что соотношение кислот в процессе реакции остается приблизительно постоянным и равным: C<sub>2</sub> + C<sub>1</sub>: C<sub>3</sub>: C<sub>4</sub>: C<sub>5</sub> = 8 : 4 : 3 : 1.

3. Альдегиды, образующиеся в процессе реакции, практически полностью и с большой скоростью доокисляются до кислот.

4. Показано, что предложенные в литературе механизмы разрыва C — C связи в процессах жидкофазного окисления углеводородов не могут полностью объяснить наблюдаемое соотношение образующихся кислот.

Московский государственный  
университет им. М. В. Ломоносова

Поступила  
3.IV.1958

## ЛИТЕРАТУРА

1. J. Z. Benton, M. M. Wirth, Nature, 171, 269, 1953; W. Pritzkow, Angew. Chemie, 67, № 14/15, 399, 1955.
2. К. И. Иванов, Промежуточные продукты и промежуточные реакции автоокисления углеводородов, Гостоптехиздат, 1949 г.
3. W. Pritzkow, Ber. 88, 572, 1955; D. B. Sharp, S. E. Whitcomb, L. W. Patton, D. Moorhead, J. Amer. Chem. Soc., 74, 1802, 1952.
4. А. Н. Башкиров, Я. Б. Чертков, Изв. АН СССР, Отд. техн. н. № 7, 817, 1947. E. Jantzen, W. Rheinheimer, W. Asche, Fette u. Seifen, 45, 388, 1938; Witzel, Fette u. Seifen, 46, 21, 1939.
5. И. В. Березин, А. А. Емелин, А. А. Константинов, Азерб. нефт. хозяйство, № 6, 15, 1954.
6. D. Wheller, Oil and Soap, 9, 89, 1932.
7. D. M. Smith, J. Mitchell, Analyt. Chem., 22, 750, 1950.
8. И. В. Березин, Докл. АН СССР, 99, 563, 1954.
9. T. L. Raine, F. Garner, Trans. Faraday Soc., 47, 896, 1952.
10. F. A. Vandenheuvel, E. R. Hayes, Analyt. Chem. 24, 960, 1952.
11. L. Ramsay, W. Patterson. J. Assoc. Offic., Agric. Chemists., 28, 644, 1945.
12. И. В. Березин, Б. И. Макалец, Л. Г. Чучукина, ж. органич. химии 28, 2718, 1959.

ON THE MECHANISM OF RUPTURE OF THE C — C BOND IN THE LIQUID PHASE OXIDATION OF *n*-HEPTANE BY MOLECULAR OXYGEN

I. V. Beresin and B. I. Makalets (Moscow)

## Summary

Based on data concerning the kinetics of accumulation severally of the acids formed at the liquid phase oxidation of *n*-heptane by molecular oxygen it has been concluded that the mechanism of the C — C bond rupture of a *n*-alkane molecule reported in the literature cannot completely explain the observed acid ratios.

## ЭЛЕКТРИЧЕСКАЯ ТЕОРИЯ ОЗОНАТОРОВ

### VI. ВЛИЯНИЕ ВЕЛИЧИНЫ РАЗРЯДНОГО ПРОМЕЖУТКА НА ЭЛЕКТРИЧЕСКИЕ ХАРАКТЕРИСТИКИ ОЗОНАТОРОВ

*Ю. В. Филиппов и В. П. Вендилло*

Электрические характеристики озонаторов зависят от ряда конструктивных параметров. Основную роль среди этих параметров играет величина разрядного промежутка. Влияние величины разрядного промежутка на электрические характеристики озонаторов затрагивалось в ряде работ [1], однако эти работы имели чисто экспериментальный характер.

Электрическая теория озонаторов позволяет объяснить некоторые закономерности в изменении электрических характеристик озонаторов в зависимости от величины разрядного промежутка. С целью выяснения этих закономерностей нами было произведено изучение электрических характеристик озонаторов с переменной величиной разрядного промежутка.

Опыты проводились на озонаторах с переменными внутренними электродами, которые вставлялись в озонатор на шлифе. Такая конструкция позволяла достичь большую идентичность озонаторов с различными разрядными промежутками, обеспечивая в то же время достаточную равномерность промежутков по длине реакционной зоны. Конструкция озонаторов приведена на рис. 1.

Нами были использованы озонаторы с разрядными промежутками 0,5; 1,25; 2,0; 2,3; 3,0; 3,5 и 4,0 мм, геометрические размеры которых приведены в таблице. Опыты проводились на установке, схема которой описана ранее [2].

Геометрические размеры озонаторов

Озонатор	Диаметр, мм		Разрядн. промежуток, мм	Длина реакционной зоны, мм
	внутр. электрод	внешн. электрод		
1	23,0	24,0	0,5	250
2	22,5	25,0	1,25	250
3	20,0	24,0	2,0	250
4	20,4	25,0	2,3	250
5	19,0	25,0	3,0	250
6	17,0	25,0	3,5	250
7	16,0	24,0	4,0	250

Электрические характеристики озонаторов определялись при пропуске кислорода с постоянной скоростью 100 л/час. Давление газа в установке поддерживалось постоянным и равнялось 780 мм рт. ст., температура воды, охлаждающей электроды, равнялась 23° С, частота тока составляла 1250 пер./сек.

### Влияние величины разрядного промежутка на вольтамперные характеристики озонаторов

На рис. 2 приведены вольтамперные характеристики озонаторов с различными разрядными промежутками. Из приведенных вольтамперных характеристик можно видеть, что величина разрядного промежутка, как это и следует из электрической теории озонаторов, оказывает различное действие на части характеристик, соответствующих напряжениям ниже и выше критического.

При отсутствии разряда (при напряжениях ниже критического) наклон характеристик определяется общей электрической емкостью озона-

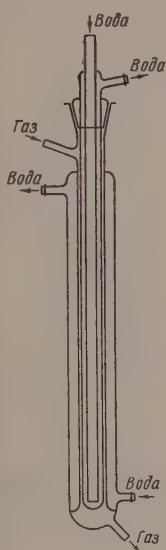


Рис. 1

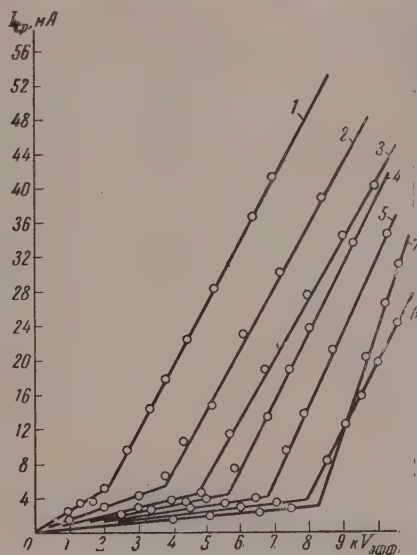


Рис. 2

Рис. 1. Схема озонатора

Рис. 2. Вольтамперные характеристики озонаторов с разрядными промежутками: 1—0,5 мм; 2—1,25 мм; 3—2 мм; 4—2,3 мм; 5—3 мм; 6—3,5 мм; 7—4 мм

торов [2, 3]. Поэтому величина разрядного промежутка оказывает существенное влияние на наклон этой части вольтамперной характеристики.

С изменением величины разрядного промежутка изменяется только емкость разрядного промежутка, следовательно, можно написать, что

$$C_n = \frac{a\epsilon S}{4\pi d} = \frac{C_n^0}{d}, \quad (1)$$

где  $C_n$  — электрическая емкость разрядного промежутка;  $a$  — числовой коэффициент, зависящий от принятых единиц измерения;  $\epsilon$  — диэлектрическая постоянная газа, находящегося в озонаторе;  $S$  — площадь электродов озонатора;  $d$  — величина разрядного промежутка в миллиметрах;  $C_n^0$  — емкость разрядного промежутка подобного озонатора с величиной разрядного промежутка в 1 мм.

В таком случае для обратной величины общей емкости озонатора получим

$$\frac{1}{C_{\text{общ}}} = \frac{1}{C_0} + \frac{a}{C_n^0}, \quad (2)$$



где  $C_{\text{общ}}$  — общая емкость озонатора;  $C_b$  — емкость барьеров, т. е. если озонаторы имеют равную емкость барьеров, то обратные величины их емкостей должны быть линейной функцией от величины разрядного промежутка.

На рис. 3 приведен график зависимости обратных емкостей озонаторов, рассчитанных по их вольтамперным характеристикам, от величины разрядного промежутка. Как видно из графика, данные для большинства озонаторов приблизительно соответствуют линейной зависимости. Это говорит о том, что использованная конструкция озонаторов обеспечила равенство емкости их барьеров для большинства исследованных озонаторов.

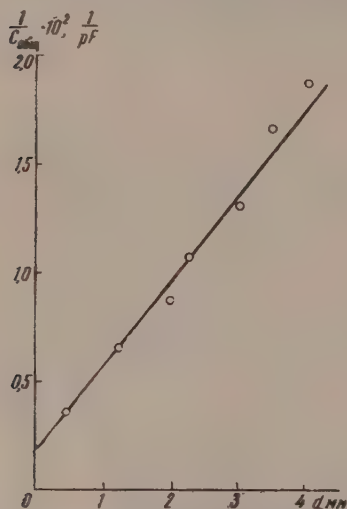


Рис. 3. Зависимость обратных емкостей озонаторов от величины разрядного промежутка

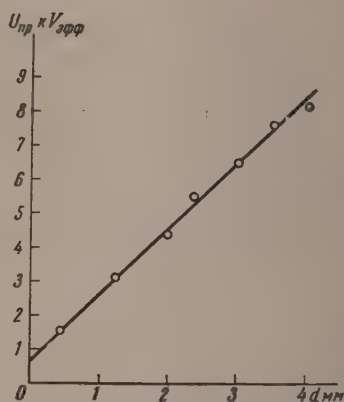


Рис. 4. Зависимость напряжения пробоя от величины разрядного промежутка

При напряжениях выше критического, т. е. при наличии разряда в озонаторе, наклон вольтамперных характеристик определяется в первом приближении емкостью диэлектрических барьеров озонаторов. Но возможны искажения этих частей характеристик, особенно для озонаторов с большими разрядными промежутками, заключающиеся как в нарушении прямолинейности этих участков характеристик, так и в изменении их наклона [2, 3]. Однако общий вид характеристик, полученных нами, позволяет сделать некоторые выводы о влиянии на них величины разрядного промежутка.

Так как величина разрядного промежутка не оказывает влияния на емкость диэлектрических барьеров, которая у используемых озонаторов, как мы видели ранее, примерно одинакова, то характеристики для различных озонаторов должны в первом приближении идти параллельно друг другу, что и наблюдается на опыте для большинства озонаторов.

Сдвиг характеристик по оси напряжений определяется изменением величины напряжения горения разряда с изменением величины разрядного промежутка. Правда, искажения характеристик озонаторов с большими разрядными промежутками затрудняют точное определение для них напряжения горения. Однако можно примерно определить величину напряжения на разрядном промежутке при первичном возникновении разряда, т. е. при токе через озонатор, близком к критическому, или токе разряда, близком к нулю. Эти напряжения определялись по отрезкам,

гсекаемым на оси абсцисс прямыми, проведенными через участки характеристик, соответствующие горящему разряду.

Напряжение на разрядном промежутке при первичном возникновении азрида некоторым образом напоминает напряжение «пробоя» разрядного промежутка. Поэтому в дальнейшем мы будем называть его, правда до-зисности условно, «напряжением пробоя». На рис. 4 приведен график за-исимости напряжения пробоя от величины разрядного промежутка. Как-дно из графика, для большинства озонаторов соблюдается линейная-зисимость. Эта зависимость описывается уравнением:

$$V_{\text{пр}} = 0,7 + 1,9d, \quad (3)$$

де  $V_{\text{пр}}$  — напряжение пробоя в kV (киловольтах).

Подобная зависимость говорит о том, что в нашем случае выполняется закон Пашена, т. е. осуществляется форма разряда, близкая к началь-ой стадии возникновения самостоятельного разряда.

Однако величина градиента потенциала (19,7 kV/cm) несколько меньше-робивного потенциала для воздуха при атмосферном давлении. Постоян-тво градиента потенциала при изменении разрядного промежутка, а так-е наличие постоянного падения потенциала, к которому стремится раз-ость потенциалов при уменьшении разрядного промежутка до нуля, налогична картине, имеющей место в обычных формах разряда (тлеющий азряд, дуга) с их катодным падением потенциала и с постоянным гради-нтом потенциала в положительном столбе.

Величина градиента потенциала в нашем случае во много раз больше-радиента потенциала в тлеющем разряде. Этот факт может быть связан-значительным увеличением убыли энергии электронов благодаря на-ичию большого числа столкновений, ответственных, в частности, за-имические процессы, протекающие в разряде.

Из-за искажения вольтамперных характеристик озонаторов с боль-шими разрядными промежутками из полученных данных трудно опреде-ить зависимость напряжения горения разряда от величины разрядного-ромежутка. Для решения этой задачи необходимы специальные осцил-ографические исследования разряда. Однако некоторые выводы в этом-гношении могут быть сделаны из зависимости напряжения пробоя от-еличины разрядного промежутка.

Напряжение пробоя примерно равно напряжению горения ( $V_r$ ) раз-яда для озонаторов с малыми разрядными промежутками. Для озона-ров с большими разрядными промежутками напряжения пробоя и горе-ия разряда могут значительно отличаться друг от друга. Однако и в-ом случае мы можем считать, что  $V_r \approx V_{\text{пр}}$ , если ток близок к критичес-ому.

Полученное выше соотношение (3) позволяет вычислить зависимость-реднего значения тока от величины разрядного промежутка при постоян-ом напряжении (если только, в силу отмеченного выше, ток через озона-ры с большими разрядными промежутками при этом напряжении бли-ок к критическому). В этом случае будем иметь согласно [3]:

$$I = \frac{2}{\pi} (V_0 - a - bd) C_0 \omega, \quad (4)$$

$$I = A - Bd, \quad (5)$$

де  $V_r = a + bd$  из уравнения (3),  $\omega$  — круговая частота,  $V_0$  — амплитудное-начение напряжения,  $A$  и  $B$  — постоянные.

Таким образом, средний ток должен быть убывающей линейной функ-цией от величины разрядного промежутка.

На рис. 5 приведен график зависимости средних значений тока от ве-ичины разрядного промежутка для различных озонаторов при напряже-

нии 8 кВ<sub>эфф</sub>. Экспериментальные данные хорошо удовлетворяют линейной зависимости, тем более, если учесть, что для соблюдения этой зависимости требуется постоянство емкости диэлектрических барьеров у различных озонаторов.

### Зависимость мощности озонаторов от величины разрядного промежутка

Так же как и для тока зависимость мощности от величины разрядного промежутка может быть количественно определена из полученных данных только при постоянном напряжении и когда ток через озонатор с большими разрядными промежутками при этом напряжении близок к критическому.

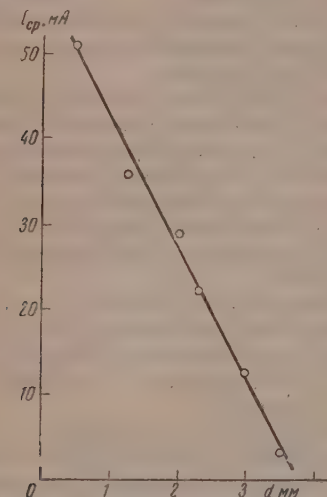


Рис. 5. Зависимость средних значений токов от величины разрядного промежутка

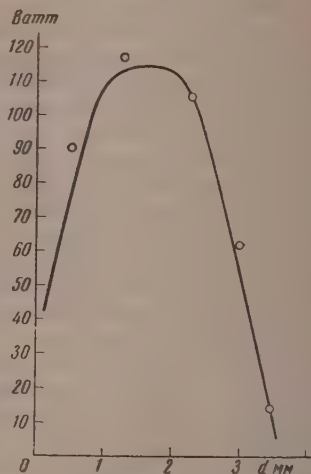


Рис. 6. Зависимость активной мощности озонаторов от величины разрядного промежутка

Вольтамперная мощность при постоянном напряжении, если определять ее как произведение амплитудного напряжения на среднее значение силы тока [4], будет, как это можно видеть из уравнения (5), убывающей линейной функцией от величины разрядного промежутка. Активная мощность озонатора может быть найдена, если подставить в уравнение для определения [5]:

$$W = V_r \left[ \frac{2}{\pi} (V_0 - V_r) C_0 \omega - V_r C_{п\omega} \right], \quad (6)$$

значения  $C_{п}$  и  $V_r \approx V_{пр}$  из уравнений (1) и (3).

$$W = (a + bd) \left[ \frac{2}{\pi} (V_0 - a - bd) C_0 \omega - (a + bd) \frac{C_{п\omega}}{d} \right]. \quad (7)$$

Полученная формула не содержит неизвестных параметров и поэтому позволяет теоретически рассчитать зависимость активной мощности озонаторов от величины разрядного промежутка при заданном напряжении  $V_0$ .

Нами был произведен такой расчет для исследованных озонаторов при напряжении 8 кВ<sub>эфф</sub>. На рис. 6 приведена теоретически рассчитанная кривая зависимости активной мощности от величины разрядного промежутка. Измеренные при напряжении 8 кВ<sub>эфф</sub> калориметрическим методом [

мощности озонаторов нанесены в виде точек. Как видно из графика, совпадение экспериментальных и теоретических данных достаточно удовлетворительно.

Активная мощность озонаторов проходит через максимум при величине разрядного промежутка, примерно равной 2 мм, а затем резко падает и становится равной нулю уже при разрядном промежутке меньшем 4 мм. Легко показать из анализа уравнения (7), что активная мощность обращается в нуль при величине разрядного промежутка, для которого взятое напряжение 8 кВ<sub>эфф</sub> равно критическому. Положение максимума на кривой также может быть найдено аналитически. Приравнявая нулю производную от активной мощности по величине разрядного промежутка, получим

$$d_m^3 - d_m^2 \left( \frac{V_0}{2b} - \frac{a}{b} - \frac{C_n^0}{2C_0} \right) - \frac{a^2 C_n^0}{2b^2 C_0} = 0 \quad (8)$$

Решение полученного уравнения в общем виде затруднительно, однако можно найти приближенное решение, по крайней мере для случая, когда  $d_m$  не слишком мало. Сравнение отдельных членов уравнения (8) показывает, что член, не содержащий  $d_m$ , мал по сравнению с другими членами. Он имеет величину порядка  $10^{-2}$ , в то время как остальные члены — порядка целых единиц, если  $d$  выражать в миллиметрах). Поэтому мы можем в первом приближении пренебречь этим членом:

$$d_m \approx \frac{V_0}{2b} - \frac{a}{b} - \frac{C_n^0}{2C_0}. \quad (9)$$

Полученное уравнение легко разрешается относительно  $d_m$ .

Вычисление для нашего случая дает  $d_m = 1,7$  мм, что хорошо согласуется с экспериментальными данными.

Из уравнения (9), кроме того, можно сделать важный вывод о том, что величина  $d_m$  зависит от приложенного к озонатору напряжения  $V_0$ . Поэтому нет никакой оптимальной величины разрядного промежутка в отношении мощности озонатора, и следовательно, выбор величины разрядного промежутка зависит от режима работы озонатора.

Искажение вольтамперных характеристик озонаторов с большими разрядными промежутками не позволяет количественно определить зависимость мощности озонатора от величины разрядного промежутка при постоянной силе тока. Однако качественно эта зависимость может быть найдена. Принимая по-прежнему, что:

$$V_r = V_{пр} = a + bd, \quad (10)$$

получим из уравнения для определения мощности при постоянной силе тока [5]:

$$W = (a + bd) \left[ I - \frac{2}{\pi} (a + bd) \frac{C_n^0 \omega}{d} \right]. \quad (11)$$

Для выяснения наличия экстремальных точек приравняем нулю производную мощности по величине разрядного промежутка

$$\frac{dW}{dd} = \left[ b \left( I - \frac{2}{\pi} b \omega C_n^0 \right) + \frac{2}{\pi} \frac{a^2 \omega C_n^0}{d^2} \right] = 0. \quad (12)$$

Из полученного уравнения (12) найдем выражение для  $d_{\text{экстр}}$

$$d_{\text{экстр}} = \sqrt{\frac{\frac{2}{\pi} a^2 C_n^0 \omega}{b \left( \frac{2}{\pi} b \omega C_n^0 - I \right)}}. \quad (13)$$



Из уравнения (13) видно, что  $d_{\text{экстр}}$  может иметь действительное значение только при  $I < \frac{2}{\pi} b\omega C_{\Pi}^0$ , но при этом  $W$  отрицательно, что не имеет физического смысла. Легко показать, что в этом случае величина  $\frac{2}{\pi} b\omega C_{\Pi}^0$  меньше критического тока, т. е. что разряд в озонаторе не происходит. Действительно, критический ток равен  $\frac{2}{\pi} V_{\Gamma} C_{\Pi} \omega$ . Так как  $V_{\Gamma} \approx a + bd$  и  $C_{\Pi} = \frac{C_{\Pi}^0}{d}$ , то

$$\frac{2}{\pi} V_{\Gamma} C_{\Pi} \omega = \frac{2}{\pi} (a + bd) C_{\Pi} \omega > \frac{2}{\pi} b d C_{\Pi} \omega = \frac{2}{\pi} b C_{\Pi}^0 \omega. \quad (14)$$

Таким образом, при постоянной силе тока кривая зависимости активной мощности от величины разрядного промежутка не имеет экстремальных точек в области сил токов, отвечающих горящему разряду. Активная мощность монотонно возрастает с увеличением разрядного промежутка.

### Выводы

1. Проведено изучение зависимости вольтамперных характеристик и мощности озонаторов от величины разрядного промежутка.

2. Величина разрядного промежутка оказывает различное влияние на вольтамперные характеристики озонаторов при напряжениях ниже и выше критического. При напряжениях ниже критического происходит изменение наклона характеристик. При напряжениях выше критического происходит сдвиг характеристик по оси напряжений, что связано с изменением напряжения горения разряда.

Найдено, что напряжение горения разряда при токах, близких к критическому (напряжение пробоя), является линейной функцией от величины разрядного промежутка.

3. Выведены уравнения зависимости активной мощности озонаторов от величины разрядного промежутка при постоянном напряжении на озонаторе и при постоянной силе тока. Показано, что при постоянном напряжении активная мощность озонатора с увеличением разрядного промежутка проходит через максимум, положение которого, в основном, определяется величиной напряжения, приложенного к озонатору. При постоянной силе тока активная мощность не имеет экстремальных точек и монотонно возрастает с увеличением разрядного промежутка.

Московский государственный  
университет им. М. В. Ломоносова

Поступила  
3. IV. 1958

### ЛИТЕРАТУРА

1. Nernst, Wied. Ann., 57, 212, 1893; A. W. Ewell, Ann. J. of Sciences (4) 22, 368, 1906; E. Warburg u. G. Leithäuser, Ann. Physik, 28, 17, 1908; E. Warburg, Z. techn. Phys., 4, 450, 1923.
2. Ю. В. Филиппов, Ю. М. Емельянов, Ж. физ. химии, 31, 896, 1957.
3. Ю. В. Филиппов, Ю. М. Емельянов, Ж. физ. химии, 32, 2317, 1958.
4. Ю. В. Филиппов, Ю. М. Емельянов, Ж. физ. химии, 33, 180, 1959.
5. Ю. М. Емельянов, Ю. В. Филиппов, Ж. физ. химии, 33, 1042, 1959.

### ELECTRICAL THEORY OF OZONIZERS

#### VI. EFFECT OF THE SIZE OF THE DISCHARGE GAP ON THE ELECTRICAL CHARACTERISTICS OF OZONIZERS

*Yu. V. Filippov and V. P. Vendillo (Moscow)*

#### Summary

The voltampere characteristics of ozonizers have been studied as a function of the size of the discharge gap. The size of the latter affects the characteristics differently below or above the critical voltage.

The active capacity of ozonizers at constant voltage passes through a maximum with increase in the discharge gap. At constant current strength the active power increases unilaterally with the gap.

## ТЕРМОДИНАМИЧЕСКИЕ СВОЙСТВА СЕЛЕНАТА СЕРЕБРА

Н. М. Селиванова, Г. А. Зубова и Е. И. Финкельштейн

Термодинамические свойства селената серебра изучены недостаточно, и рекомендуемые величины для этой соли не являются надежными.

Так Меднер [1] измерял при  $15^\circ$  теплоты реакции взаимодействия нитрата серебра с селенатом калия и получил в одном случае  $-2,12$  и в другом  $-8,48$  ккал/моль; автор не вводил поправки на разбавление сливаемых растворов.

В последней сводке термодинамических констант [2] для теплоты образования из элементов кристаллического селената серебра рекомендуется величина  $\Delta H_{298,16}^0 = -94,7$  ккал/моль с ссылкой на работу Мецнера. Однако проведенные нами расчеты с использованием рекомендуемых в этом же справочнике значений  $\Delta H_{298,16}^0$  для ионов  $\text{Ag}_{\text{aq}}^+$  и  $\text{SeO}_4^{2-}$  показывают, что величина  $-94,7$  ккал представляет собою теплоту образования  $\text{Ag}_2\text{SeO}_4$  в бесконечно разбавленном растворе. Поэтому значение энтропии  $\text{Ag}_2\text{SeO}_4$  крист (48 энтр. ед. [2,3]), вычисленное с использованием этой величины, не может быть верным.

Последующие вычисления энтропии водного иона  $\text{SeO}_4^{2-}$  из имеющихся данных для селената серебра с устранением указанной выше ошибки приводят к величине 8,78 энтр. ед.; эта величина заметно отличается от значений энтропии  $\text{SeO}_4^{2-}$ , полученных по другим селенатам (по  $\text{SrSeO}_4$  5,48; по  $\text{BaSeO}_4$  5,16 и по  $\text{PbSeO}_4$  5,41 энтр. ед. [4]) и по селеновой кислоте (5,70 энтр. ед. [2,3]).

Таким образом, термодинамические исследования селената серебра не приводят к взаимосогласующимся результатам. Поэтому мы предприняли ревизию этих исследований, пользуясь двумя разными методами, а именно: 1) определением растворимости  $\text{Ag}_2\text{SeO}_4$  в воде при  $25^\circ$  и 2) калориметрическим определением теплоты осаждения  $\text{Ag}_2\text{SeO}_4$  из водного раствора при стандартных условиях с последующей термодинамической обработкой полученных экспериментальных данных.

## Свободная энергия, растворимость и произведение растворимости селената серебра в водном растворе

Растворимость селената серебра в воде впервые была определена Мейером и Хинке [5], которые при  $25^\circ$  нашли ее равной  $6,04 \cdot 10^{-5}$  моль/л. При этом концентрация серебра в растворе определялась титрованием с соляной кислотой и не контролировалось время достижения равновесного состояния.

Позднее Гельбах и Кинг [6] нашли растворимость селената серебра в воде при этой же температуре равной  $2,42 \cdot 10^{-3}$  моль/л; авторы контролировали время достижения равновесного состояния и концентрацию серебра в растворе определяли весовым методом в виде бромида. В обоих случаях полученные значения растворимости сильно отличаются друг от друга.

В наших опытах селенат серебра был получен смешением стехиометрических количеств дважды перекристаллизованного из бидистиллата нитрата серебра и селеновой кислоты, с последующими промывкой водой и

высушиванием при температуре  $\sim 50^\circ$  выпавшего осадка. Селеновая кислота синтезировалась по описанному ранее способу [7].

Содержание серебра в полученной сухой соли составляет 60,04% против 60,14% от теории. Удельный вес (пикнометрические определения в ацетоне)  $d_4^{20} = 5,63$ . В поле зрения микроскопа видны очень мелкие блестящие ромбические кристаллы.

Равновесие растворимости  $\text{Ag}_2\text{SeO}_4$  достигалось в термостате при  $25 \pm 0.1^\circ$  в течение 15—20 дней и затем в полученном растворе определялась концентрация серебра.

Так как полярографический метод, которым мы ранее пользовались для определения растворимости труднорастворимых селенатов [7], а так-

Таблица 1

Растворимость  $\text{Ag}_2\text{SeO}_4$  в воде при  $25^\circ$ 

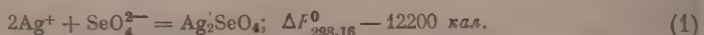
№ опыта	Время перемешивания в термостате в днях	$\text{Ag}_2\text{SeO}_4$ , мг/л	$L_p$ , $\text{Ag}_2\text{SeO}_4$
1	15	$1,25 \cdot 10^{-3}$	
	18	$1,24 \cdot 10^{-3}$	
2	15	$1,23 \cdot 10^{-3}$	
	18	$1,25 \cdot 10^{-3}$	
	20	$1,24 \cdot 10^{-3}$	
Среднее:		$1,24 \cdot 10^{-3}$	$1,91 \cdot 10^{-6}$

же калориметрический и нефелометрический методы [8, 9] определения малых количеств серебра оказались непригодными при работе с  $\text{Ag}_2\text{SeO}_4$  (аскорбиновая кислота, глюкоза, гидрохинон и другие восстановители одновременно с серебром выделяют свободный селен), концентрация серебра в полученном растворе определялась турбидиметрическим путем. При этом использовалась способность малых количеств ионов серебра давать опалесцирующую муть с ионами  $\text{Cl}^-$  [9]. Определение производилось следующим образом: к 2—10 мл исследуемого раствора селената

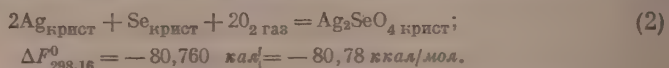
серебра добавлялись 10 капель 1%-ного раствора желатинны, 2 мл  $\text{HCl}$  (1:1) и общий объем доводился до 100 мл. Через 15 мин. раствор колориметрировался в фотоколориметре с применением синего светофильтра. Для приготовления стандартных растворов использовался нитрат серебра. Результаты определений приведены в табл. 1.

Полученные результаты заметно отличаются от данных Мейера и Хинке и более близки к величинам Гельбаха и Кинга.

Произведение активных концентраций ионов селената серебра вычислялось по формуле  $L_a = \gamma^3 L_p$  и оказалось равным  $1,23 \cdot 10^{-9}$ . Необходимые значения  $\gamma$  рассчитывались по формуле первого приближения Дебая — Гюккеля ( $\gamma = 0,866$ ). При помощи  $L_a = 1,23 \cdot 10^{-9}$  вычислялась величина изменения свободной энергии селената серебра при образовании его из водных ионов ( $\Delta F_{298,16}^0 = -RT \ln L_a$ ):



Заимствуя из последней сводки термодинамических констант [2] значения свободных энергий образования водного селенат-иона ( $-105\,420$ ) и иона серебра ( $18\,430$ ), а также учитывая приведенные выше наши данные, получаем величину изменения свободной энергии (изобарного потенциала) при образовании селената серебра из элементов:



#### Теплота образования из элементов кристаллического селената серебра

Теплота образования из элементов  $\text{Ag}_2\text{SeO}_4$  крист определялась путем измерения теплот осаждения этой соли из водных растворов. Измерения производились в изотермическом калориметре, описанном нами ранее [4].

При этом в калориметрический стакан вводился водный раствор нитрата серебра, а в ампулу 7,07 M раствор селеновой кислоты. В начале главного периода ампула раздавливалась стеклянной палочкой, и кислота реагировала с раствором нитрата серебра. Продолжительность главного периода во всех случаях не превышала 1—1,5 мин. Водяное число определялось в конце каждого опыта. Поправка на радиацию вносилась, как обычно, по формуле Реньо — Пфаундлера — Усова; величина ее колебалась в пределах от 0,19 до 0,60 %.

Ввиду отсутствия в литературе точных данных о теплоте разбавления 0,07 M селеновой кислоты с получением растворов используемых нами концентраций (разбавление 1 : 850), нами предварительно были произведены соответствующие измерения, результаты которых представлены табл. 2.

Таблица 2

Теплота разбавления 7,07 мол. раствора  $\text{H}_2\text{SeO}_4$   
(до концентрации 1 : 850)

№ опытов	Вес воды, г	Вес чистой $\text{H}_2\text{SeO}_4$ в ам- пуле (3 мл 7,07 мол рас- твора), г	Подъем тем- пературы при растворении (испр.), °C	Поправка на радиа- цию, %	Подъем тем- пературы при определении водяного числа (испр.), °C	Поправка на радиа- цию, %	Теплота раз- бавления $\text{H}_2\text{SeO}_4$ ккал/моль $Q_{\text{разб.}}$
1	320,00	3,0753	0,339	0	0,773	0,63	5,920
2	320,00	3,0753	0,340	0,20	0,936	0,66	5,920
3	320,00	3,0753	0,340	0,14	1,123	0,70	5,990

Среднее 5,94 ( $\pm 0,02$ )

Полученная величина использовалась для определения теплоты осаждения селената серебра, которая вычислялась по разности:

$$Q_{\text{осажд}} = Q_{\text{реакции}} - Q_{\text{разб.}}$$

Ниже в табл. 4 приведены результаты определений теплоты осаждения  $\text{Ag}_2\text{SeO}_4$  из водных растворов в калориях ( $t = 25^\circ$ ). В среднем мы принимаем  $0,37 \pm 0,03$  ккал/моль ( $\pm 0,18\%$ ). Данные анализа образовавшегося в калориметре осадка селената серебра показывают, что содержание в нем серебра составляет 60,02% против 60,15% по теории для  $\text{Ag}_2\text{SeO}_4$ ; удельный вес  $d_{40}^{20} = 5,62$ ; рентгенограмма Дебая — Шеррера этого осадка совпадает рентгенограммой ранее синтезированного  $\text{Ag}_2\text{SeO}_4$  (табл. 3).

Таблица 3

Межплоскостные расстояния ( $d$ ) наиболее интенсивных  
линий  $\text{Ag}_2\text{SeO}_4$  (отфильтрованное Си-излучение)

Синтезированный $\text{Ag}_2\text{SeO}_4$		$\text{Ag}_2\text{SeO}_4$ , полученный в калориметре	
$d$	Интенсивность линий по 10-балльной шкале	$d$	Интенсивность линий по 10-балльной шкале
3,35	8	3,34	8
3,20	10	3,20	10
2,71	6	2,70	6
1,95	6	1,97	6
1,74	6	1,74	6
1,61	8	1,61	8
1,262	6	1,263	6
1,132	6	1,132	6



Таблица 4

Теплота осаждения селената серебра (теплота образования  $\text{Ag}_2\text{SeO}_4$  из водных ионов)

№ опыта	Вес чистой $\text{H}_2\text{SeO}_4$ в ампуле, г	Вес $\text{AgNO}_3$ , г	Вес раствора $\text{AgNO}_3$ , г	Подъем температуры при реакции (испр.), °C	Поправка на радиацию, %	Подъем температуры при определении водяного числа (испр.), °C	Поправка на радиацию, %	Теплота реакции на моль $\text{Ag}_2\text{SeO}_4$ , ккал	Теплота осаждения на моль $\text{Ag}_2\text{SeO}_4$ , ккал
1	3,0753	7,2045	325,00	0,951	0,31	0,791	0,48	16,30	10,38
2	3,0753	7,2046	325,00	0,950	0,60	0,828	0,25	16,29	10,27
3	3,0753	7,2047	325,00	0,953	0,31	0,767	0,53	16,37	10,45
4	3,0753	7,2047	325,00	0,950	0,19	0,795	0,75	16,27	10,35
5	3,0753	7,2047	325,00	0,950	0,39	1,304	1,50	16,32	10,40

Среднее: 16,31 10,37

Комбинируя полученную величину ( $-10,37$  ккал/моль с применением термодинамического правила знаков) с данными для теплот образования ионов  $\text{Ag}_{\text{aq}}^+$  (25,31 ккал) и  $\text{SeO}_4^{2-}$  ( $-145,30$  ккал) по последней сводке термодинамических констант [2], получаем для теплоты образования из элементов  $\text{Ag}_2\text{SeO}_4$  крист.  $\Delta H_{298,16}^0 = -105,05$  ккал/моль (вместо  $-94,70$  ккал/моль по [2,3] и  $-106,25$  ккал/моль по Меннеру [1]).

#### Вычисление энтропии селената серебра и селенат-иона в водном растворе

Полученный нами материал дает возможность произвести некоторые расчеты энтропии. Ее изменение в реакции (2) может быть найдено из свободной энергии, равной по нашим определениям  $-80\,780$  кал и теплоты образования селената серебра из элементов, составляющей  $-105\,070$  кал.

Изменение энтропии в реакции равно

$$\Delta S = \frac{-105\,050 + 80\,780}{298} = -81,44 \text{ энтр. ед.}$$

Учитывая значения абсолютных энтропий селена, кислорода и металлического серебра (2), вычисляем абсолютную энтропию кристаллического селената серебра:

$$S_{298,16}^0 = 46,91 \text{ энтр. ед.}$$

Значение энтропии  $\text{Ag}_2\text{SeO}_4$  позволяет нам использовать уравнение (1) для нахождения энтропии водного селенат-иона. Применяя наши данные для теплоты осаждения селената серебра из насыщенного водного раствора ( $\Delta H_{298,16}^0 = -10\,370$  ккал) и данные для изменения свободной энергии в этом же процессе ( $\Delta F_{298,16}^0 = -12\,200$  ккал), получаем для  $\Delta S_{298,16}^0$  в реакции (1):

$$\Delta S_{298,16} = -\frac{10\,390 + 12\,200}{298} = 6,14 \text{ энтр. ед.}$$

Комбинируя полученную величину с значением энтропии водного иона серебра [17,67 энтр. ед. (2)], получаем для энтропии водного селенат-иона в водном растворе

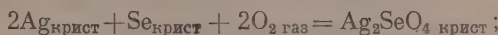
$$S_{298,16}^0 = 5,50 \text{ энтр. ед.}$$

Полученная величина находится в хорошем соответствии с значениями энтропии водного селенат-иона, вычисленными из данных для других селенатов и селеновой кислоты (5,70 энтр. ед.).

В заключение выражаем глубокую благодарность чл.- корр. АН СССР А. Ф. Капустинскому за критическое обсуждение данной работы.

### Выводы

1. В результате измерений, описанных в нашей статье, найдено: растворимость селената серебра в воде при 25° равна  $1,26 \cdot 10^{-3}$  моль/л; для реакции



$$\Delta H_{298,16}^{\circ} = -105,05 \text{ ккал/моль}$$

$$\Delta F_{298,16}^{\circ} = -80,78 \text{ ккал/моль}.$$

2. Из полученных данных вычислено значение энтропии иона  $\text{SeO}_{4\text{aq}}$

$$S_{298,16}^{\circ} = 5,50 \text{ энтр. ед.}$$

Химико-технологический  
институт им. Д. И. Менделеева  
Москва

Поступила  
4. V. 1958

### ЛИТЕРАТУРА

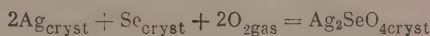
1. M. K. Metzner, C. R., 123, 999, 1896; Ann. chim. phys., 15, (7), 203, 1898.
2. F. Rossini, D. Wagman, W. Evans, S. Levine and I. Jaffe, Selected values of chemical thermodynamic properties, Washington, 1952.
3. В. М. Латимер, Окислительные состояния элементов и их потенциалы в водных растворах, перевод под ред. проф. К. В. Астахова, М., 1954, стр. 196.
4. Н. М. Селиванова, А. Ф. Капустинский, Г. А. Зубова, Термодинамические свойства труднорастворимых селенатов и энтропия селенат-иона в водном растворе.
5. J. Meyer, W. Hinke, Z. anorgan. Chem., 204, 30, 1932.
6. R. W. Gelbach, G. B. King, J. Amer. Chem. Soc., 64, 1054, 1942.
7. Н. М. Селиванова, А. Ф. Капустинский, Ж. физ. химии, 27, 565, 1953.
8. Е. А. Никитина, Заводск. лаборатория, № 9, 1040, 1953.
9. Е. Б. Сендэл, Колориметрическое определение следов металлов, Госхимиздат, 1949, стр. 457.

### THERMODYNAMIC PROPERTIES OF SILVER SELENATE

N. M. Selivanova, G. A. Zubova and E. I. Finkel'shtein (Moscow)

#### Summary

Determination of the solubility and heat of precipitation of silver selenate gave the following results: solubility of  $\text{Ag}_2\text{SeO}_4$  in water at 25° equals  $1.26 \cdot 10^{-3}$  moles/l. For the reaction



$$\Delta H_{298,16}^{\circ} = -105.05 \text{ kcal/mole and } \Delta F_{298,16}^{\circ} = -80.78 \text{ kcal/mole}$$

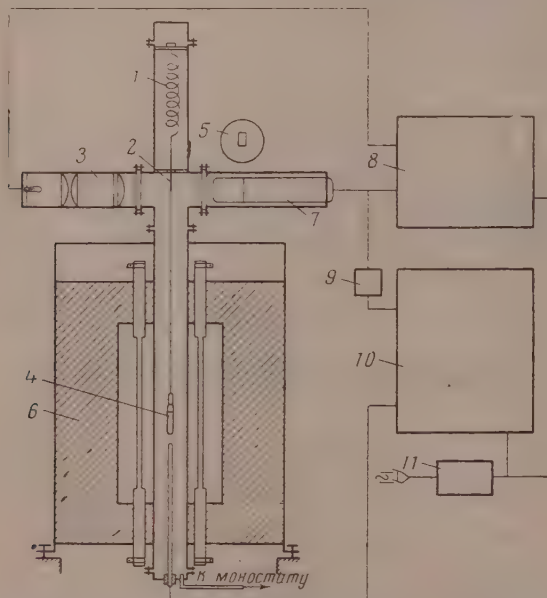
The value of entropy of the hydrated ion  $\text{SeO}_{4\text{aq}}$   $S_{298,16}^{\circ}$  calculated from the data obtained proved to be 5.50 e. u.

## МЕТОДЫ И ТЕХНИКА ФИЗИКО-ХИМИЧЕСКОГО ИССЛЕДОВАНИЯ

### АВТОМАТИЧЕСКИЕ ВЕСЫ ДЛЯ ОПРЕДЕЛЕНИЯ УПРУГОСТИ ПАРА ДИНАМИЧЕСКИМ МЕТОДОМ

М. М. Ветюков, Р. Г. Чувильев и С. Н. Школьников

Определение упругости пара динамическим методом основано на изменении скорости испарения вещества при переходе через точку кипения. Пробирка с исследуемым веществом равномерно нагревается при постоянном давлении в системе. Вес пробирки и температура фиксируются во времени. По перегибу на кривой вес — время определяют температуру кипения вещества при данном давлении.



Общая схема автоматических весов: 1 — стальная пружина; 2 — алюминиевый экран; 3 — осветитель равномерного света; 4 — пробирка с исследуемым веществом; 5 — диафрагма фотоумножителя; 6 — печь; 7 — фотоэлектронный умножитель; 8 — высоковольтный выпрямитель; 9 — сопротивление в анодной цепи фотоумножителя; 10 — электронный потенциометр ЭПП-09; 11 — стабилизатор напряжения

Описываемые весы (рисунок) позволяют на одном графике одновременно записывать температуру и изменение веса пробирки. Они состоят из стальной пружины 1, на которой подвешена пробирка 4, и регистрирующего устройства.

Нас не интересовала воспроизводимость показаний пружинных весов, поскольку при определении упругости пара необходимо определить лишь относительное изменение веса пробирки в течение одного опыта.

Регистрирующее устройство построено на принципе прямого фотометрирования, но состоит из осветителя равномерного света 3, экрана 2, диафрагмы 5 и фотоэлектронного умножителя 7.

Осветитель собран из источника света (автомобильная лампочка), конденсатора, точечной диафрагмы с отверстием диаметром 0,5 мм, плоскопараллельного стекла, создающего осветитель от печного пространства, и коллиматорной линзы. Диафрагма 5 имеет прямоугольное отверстие  $6 \times 10$  мм. Фотоэлектронный умножитель типа ЭУ-11 с плоским (торцовым) полупрозрачным сурьмяноцезиевым фотокатодом сквозного действия обладает постоянной зонной характеристикой и позволяет иметь прямую зависимость между световым потоком и анодным током до 50 мА.

Питание фотоэлектронного умножителя и осветителя осуществляется от электроагнитного стабилизатора напряжения 11, высоковольтного выпрямителя 8, собранного на кенотронах, и делителя напряжения, состоящего из цепочки газовых стабилизаторов напряжения. В анодную цепь фотоумножителя включено сопротивление 9, напряжение с которого подается на регистрирующий прибор 10 — электронный потенциометр ЭПП-09. К нему же подключена термопара, измеряющая температуру печи.

Равномерный поток света, падающий на диафрагму, перекрывается экраном, перемещение которого пропорционально изменению веса пробирки. Ток в анодной цепи фотоумножителя пропорционален падающему световому потоку, а напряжение, снимаемое с сопротивления 9, пропорционально протекающему по нему току и, в конечном счете, перемещению экрана, т. е. весу пробирки. Таким образом, на диаграмме ЭПП-09 одновременно записываются температура и вес пробирки во времени.

Пропорциональность между перемещением экрана и анодным током фотоумножителя была предварительно проверена. Оказалось, что соответствующая характеристика отклоняется от прямой не более чем на 0,5%, что не превышает класс точности ЭПП-09.

Чувствительность регистрирующей схемы может варьироваться в зависимости от размеров точечной диафрагмы осветителя, ширины диафрагмы фотоумножителя и длины сопротивления 9.

Диапазон взвешивания определяется высотой отверстия диафрагмы 5 и жесткостью примененной пружины. Чувствительность весов представляет собой отношение диапазона взвешивания к длине шкалы регистрирующего прибора.

Разработанная регистрирующая система может быть применена к любым пружинным весам, пригодным для непрерывной регистрации веса образца, помещенного в герметическую печь. Эта система отличается компактностью и простотой изготовления.

Политехнический институт  
им. М. И. Калинина  
Ленинград

Поступила  
25.III.1959

## AUTOMATIC BALANCE FOR VAPOR PRESSURE DETERMINATION BY THE DYNAMIC METHOD

*M. M. Vetyukov, R. G. Chuvilyaev and S. N. Shkol'nikov (Moscow)*

### Summary

In the paper a description has been made of a self-recording spring balance in which the recording is based on the direct photometry principle. The intensity of the light beam recorded by a photoelectric multiplier and electronic potentiometer connected in the nodic circuit.

The balance is readily hermetized, enabling it to be used for any processes taking place with change in weight of the specimen with time.



## МАЛОГАБАРИТНЫЙ АВТОКЛАВ С ТЕРМОСТАТОМ И ПЕРЕМЕШИВАЮЩИМ УСТРОЙСТВОМ

Е. М. Петров и В. Ф. Кохова

Изучение фазовых равновесий при температуре выше  $100^{\circ}\text{C}$  в системах, включающих жидкие компоненты, невозможно проводить без применения специальных устройств. Для этих целей разработана установка, состоящая из малогабаритного автоклава, термостата с терморегулятором и устройства для перемешивания содержимого автоклава (рис. 1).

Конструкция малогабаритного автоклава (рис. 2) состоит из цилиндра 9 с наружным диаметром 38 мм, толщиной стенки 2 мм и высотой 102 мм. Цилиндр разделен перегородкой на две полости, по концам на внутренней поверхности сделана метрическая резьба — вверх  $\text{M}43 \times 1$ , вниз  $\text{M}36 \times 1$ .

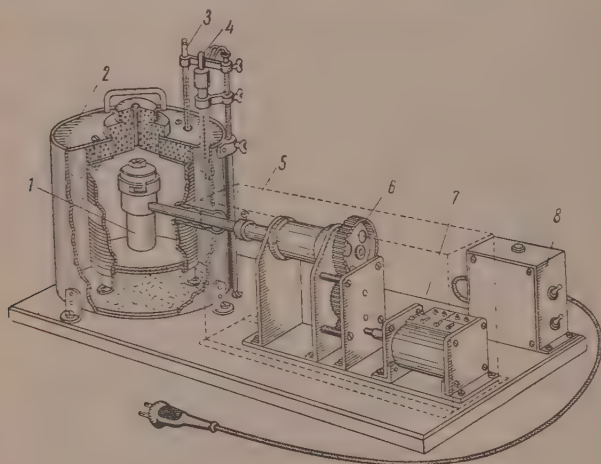


Рис. 1. Малогабаритный автоклав: 1 — трубка; 2 — прижимная гайка; 3 — вентиль; 4 — круглая гайка  $\text{M}40 \times 1$ ; 5, 6, 11, 13, 15 — кольцевые прокладки из фторпласта; 7 — крышка; 8 — реакционный сосуд; 9 — цилиндр с внутренней перегородкой; 10 — проволочный фильтр; 12 — запорная игла; 14 — гайка; 16 — сборник фильтрата; 17 — круглая гайка  $\text{M}36 \times 1$

Одну полость цилиндра занимает реакционный сосуд 8, который на резьбе  $\text{M}40 \times 1$  ввертывается внутрь этого цилиндра, своим дном сосуд уплотняется на прокладочном кольце 11 из фторпласта и прижимает фильтр 10, заложенный в конусное углубление в центре перегородки стакана. Фильтр делается из платиновой или серебряной проволоки диаметром 0,2 мм скатыванием ее в шарик.

Дно реакционного сосуда — конусное и имеет в центре пять отверстий диаметром 1,5 мм для прохода фильтрата при отделении твердой фазы от жидкой.

Реакционный сосуд закрывается крышкой 7, которая уплотняется на прокладке из фторпласта круглой верхней гайкой  $\text{M}40 \times 1$  при помощи зубчатого ключа. Центральное отверстие в крышке 7 для проведения испарения жидкой фазы закрывается конусом на торцевой поверхности вентили 3. Внутренняя часть его имеет выточку с резьбой  $\text{M}12 \times 1$  и центральное отверстие, сообщающееся четырьмя боковыми отверстиями с полостью над крышкой.

Прижимной гайкой 2 на конусной выточке, внутри вентиля, укрепляется развальцованная с одного конца отводная трубка 1 из нержавеющей стали с внутренним диаметром 3 мм и наружным 4 мм.

При испарении жидкой фазы автоклав помещается в термостат в вертикальном положении. По окончании испарения вентиль закрывается, прижимная гайка 2 с трубой 1 отвертывается торцевым ключом снаружи термостата. Ключ вводится в термостат через отверстие в пробке.

В нижнюю полость цилиндра вставляется сборник фильтрата 16, имеющий в центре глу 12 с сальниковым уплотнением 14, 15. Игла закрывает центральное отверстие срезом цилиндра 9. Сборник фильтрата уплотняется на кольцо 13 из фторпласта руглой гайкой 17 (М16 × 1). Игла 12 должна всегда закрывать донное отверстие стакана открывать только при фильтровании.

Фильтрование производится путем центрифугирования. Автоклав помещают в центрифугу, имеющую обогрев и усиленную конструкцию поддерживающих колец. При вращении он должен быть уравновешен грузом, равным весу автоклава. Все детали автоклава изготавливаются из коррозионно устойчивой стали марки 1×189ТН или 1×18Н1Б.

**Термостат.** Термостат выполнен в виде двух цилиндров из листовой, миллиметровой стали. Наружный цилиндр имеет высоту 235 мм, диаметр 220 мм, высота внутреннего — 195 мм и диаметр 140 мм.

Оба цилиндра имеют боковые соосные отверстия для прохода внутри термостата ала, при помощи которого производится вращение автоклава внутри термостата. В отверстие пропускается втулка диаметром 7 мм.

Образующие поверхности обоих цилиндров обклеиваются асбестовым картоном толщиной 1—1,5 мм, для этого металлические поверхности покрываются силикатным клеем, на них наворачивается предварительно слегка смоченный картон. Толщина накрученного слоя 2,5—3 мм. После просушки поверхность картона прогирают жидким раствором шамотной глины с добавкой в него силикатного клея (10—15%).

На хорошо высушенную поверхность меньшего цилиндра наматывают нагревательную обмотку, рассчитанную на мощность 300—350 вт. Около отверстия в стенке цилиндра обмотка раздвигается на ширину 25 мм. Концы обмотки крепятся на колодке из асбестоцементной массы, укрепленной на боковой поверхности малого цилиндра. Внутренняя колодка соединяется с наружной клеммной колодкой, укрепленной на корпусе термостата. Наружная колодка клеим прикрывается щитком. Днища обоих цилиндров делают с отбортовкой и крепятся к образующей поверхности точечной сваркой или заклепками. Для уменьшения теплопередачи лапы, поддерживающие термостат и внутренний цилиндр, крепятся на подкладке из листового асбеста заклепками.

Крышка термостата составная — из двух пробок, входящих одна в другую, и кольца, прикрепленного к верхней металлической крышке четырьмя болтами. Кольцо и пробки вытачиваются из пеношамота или асбестоцемента, они могут быть также изготовлены из шамотной глины с последующим обжигом. С целью уменьшения тепловых потерь пространство между цилиндрами заполняется стеклянной ватой. В крышке термостата делают два отверстия для установки контактного и контрольного термометров.

**Устройство для перемешивания содержимого автоклава.** Конструкция состоит из держателей автоклава и редуктора с электродвигателем. Держатель в форме кольца имеет замок для захвата автоклава и укрепляется на одном конце консольной оси, пропущенной через боковое отверстие термостата. Второй конец оси вала укрепляется на оси редуктора.

Редуктор имеет общее понижающее передаточное число, равное 85,6, и состоит из трех пар шестерен с модулем 0,6:

Первая пара  $z_1 = 17$ ,  $z_2 = 58$ .

Вторая пара  $z_1 = 17$ ,  $z_3 = 74$ .

Третья пара  $z_1 = 17$ ,  $z_4 = 98$ .

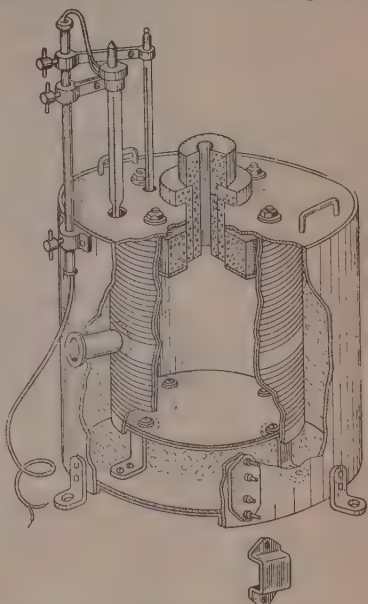


Рис. 2. Общий вид термостата

Шестерни напрессованы на стальные закаленные валики диаметром 6 мм, которые размещены по вертикали между двумя платами. В нижней части платы имеют отбортовку с отверстиями для крепления редуктора на основании (плата из асбестомента).

При монтаже редуктора и термостата необходимо выдержать соосность центр выходной оси редуктора с центром бокового отверстия термостата. Редуктор приводится во вращение двухфазным асинхронным двигателем типа 2АСМ-50 при питании его однофазным током со сдвигом фазы емкостью в 1  $\mu\text{F}$ .

Электродвигатель через редуктор приводит во вращение держатель автоклава и автоклав, укрепленный в нем. Автоклав делает один оборот за четыре секунды, при этом содержимое автоклава перемещается от дна реакционного сосуда к крышке и обратно. Для безопасности редуктор и электродвигатель закрываются защитным кожухом.

**Терморегулятор.** Температура в термостате поддерживается на заданном режиме автоматически. Следящим устройством является контактный термометр исполнительным — электронное реле.

При разомкнутой цепи контактного термометра лампа ГП6 открыта, и анодный ток протекая через катушку электромагнитного реле, вызывает замыкание контактов и включение нагревательной обмотки термостата в сеть 220 В. Замыкание ртутного столбика на иглу в контактном термометре создает дополнительное отрицательное смещение на сетке лампы, отчего лампа зашорается, и анодный ток прекращается, нагревательная обмотка термостата при этом отключается (лампа работает в режиме электронного реле).

В терморегуляторе использовалось реле марки МКУ-48РХ 450-115-01 с разрывной мощностью на контактах 500 Вт при напряжении  $\sim 220$  В. Ток срабатывания 0,007 А. Реле смонтировано на текстолитовой плате в отдельный корпус; на ней же размещены предохранители на 2 А, сигнальная лампа 6,3 В и два малогабаритных выключателя, размыкающих цепь электродвигателя и цепь нагревателя.

При настройке термостата на заданную температуру в пределах от 100 до 200°С контактный термометр надо располагать около нагревательной обмотки и регулировать иглу с небольшим понижением температуры против заданной (понижение около 10%, которая определяется контрольным термометром, пропущенным внутрь термостата).

Регулятор дает возможность поддерживать температурный режим внутри термостата в пределах  $\pm 0,2^\circ\text{C}$ .

Установка изготовлена, опробована в работе и позволила вести изучение фазового равновесия в многокомпонентной системе при 150°С, для работы при более высоких температурах потребуется некоторое увеличение толщины стенок цилиндра автоклава и некоторого увеличения мощности электродвигателя.

Научно-исследовательский  
институт теплоэнергетического приборостроения  
Академии наук СССР  
Институт органической и неорганической химии  
Москва

Поступила  
10.II.1959

## SMALL SCALE AUTOCLAVE WITH THERMOSTAT AND STIRRING DEVICE

*E. M. Petrov and V. F. Kokhova (Moscow)*

### Summary

A description is presented of a small scale apparatus comprising an autoclave, thermostat and rotating device.

The autoclave has a removable reaction vessel and a receiver for filtrate. Housed in a single container, they may be easily removed and weighed.

The autoclave permits separation of liquid from solid phase by centrifugation.

The construction of the thermostat for automatic maintenance of constant temperature is described. It is actuated by a contact thermometer and electronic relay.

The device for rotating the autoclave within the thermostat consists of an electric motor with reductor and console shaft, the autoclave support being passed into the thermostat.

# ПРИБОР ДЛЯ ИЗМЕРЕНИЯ ЭЛЕКТРОПРОВОДНОСТИ НЕВОДНЫХ РАСТВОРОВ

С. И. Скляренко, Ю. У. Самсон и В. Е. Бару

Для определения электропроводности неводных растворов предлагалось много способов. Большинство из них, обеспечивая весьма высокую точность измерений, обладает одним общим недостатком: приготовление исследуемых растворов и подготовка приборов к работе требует очень много времени, поскольку эти операции должны проводиться так, чтобы было совершенно исключено попадание в раствор даже следов

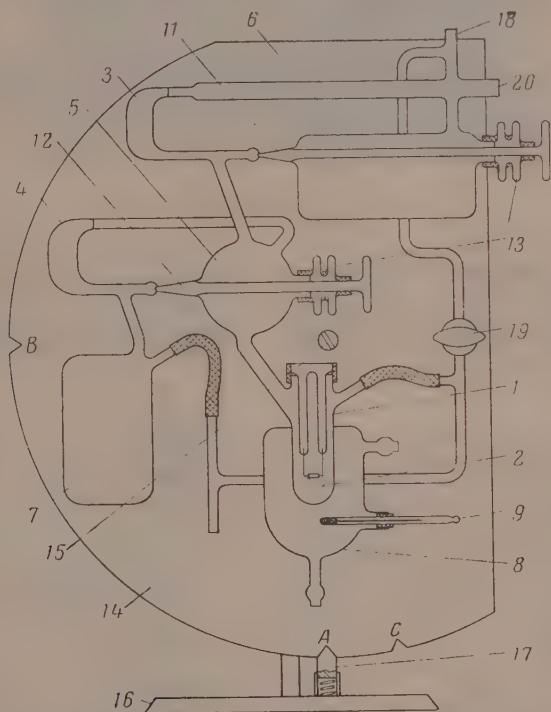


Рис. 1. Прибор для измерения электропроводности

влаги. Так как во многих случаях при исследовании электропроводности можно ограничиться точностью измерений порядка 1—2%, то представлялось целесообразным разработать быстрый метод снятия кривых электропроводности, который удовлетворял бы следующим условиям: 1) точность измерений должна быть не ниже 1%; 2) в растворы не должны попадать даже следы влаги; 3) приготовление растворов и подготовка прибора должны занимать возможно меньше времени.

Сконструированный прибор изображен на рис. 1. Он состоит из электролитической ячейки 1 с платиновыми электродами 2, двух мерников 3 и 4, промежуточного сосуда 5, питателя 6 и сборника 7. Электролитическая ячейка заключена в кожух 8, через который пропускается жидкость из термостата ТС-15 м. Температура определяется термометром 9. Мерники имеют одинаковую емкость по 10 мл. Питатель и промежуточный сосуд снабжены игольчатыми кранами 11 и 12, присоединенными при помощи



весьма гибких полиэтиленовых сильфонов 13. Прибор смонтирован на щитке 14, укрепленном винтом 15 на штативе 16. Щиток может вращаться вокруг винта и удерживается в определенных положениях фиксатором 17.

Электрическая часть установки была собрана по обычной схеме моста Уитстона с устранением электростатических и электромагнитных связей [1]. В качестве источника переменного тока был использован звуковой генератор ЗГ-12, в качестве нуль-инструмента — ламповый вольтметр ЛВ9-2.

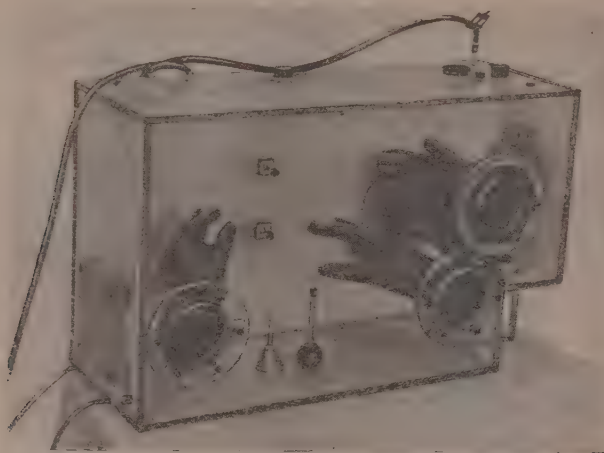


Рис. 2. Герметичная камера

Методика проведения опыта такова. Приготовление исходного раствора, вскрытие ампул с растворителем и тому подобные операции проводятся в герметичной камере изображенной на рис. 2. Для загрузки веществ в прибор последний соединяется с камерой гибким полиэтиленовым сильфоном. Перед загрузкой прибор продувается инертным газом, подавая последний через трубку 18 при открытом кране 19 (трубку 2

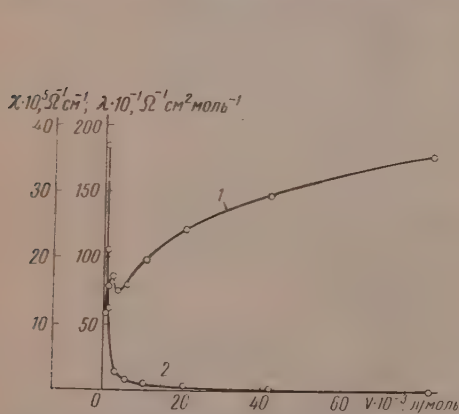


Рис. 3. Электропроводность системы тетрагидрид кремния — пиридин при 25°

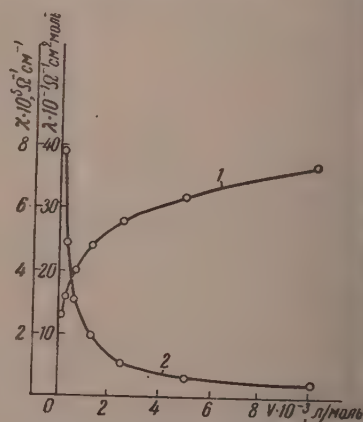


Рис. 4. Электропроводность системы тетрагидрид кремния — анилин при 25°

при этом закрывают). Через 3—4 мин. кран 19 закрывают и продолжают продувку еще 10—12 мин., открыв игольчатые краны 11 и 12. Скорость подачи инертного газа должна составлять примерно 100 мл/мин. После продувки прибор устанавливают так, чтобы фиксатор был в точке А, закрывают краны 11 и 12, соединяют трубку 18 с герметичной камерой, помещенной над прибором, и наполняют питатель растворителем. Затем трубку 18 снова соединяют с линией инертного газа, поворачивают прибор на 90°

фиксатор в точке В), соединяют трубку 20 с герметичной камерой и открывают кран 19. При помощи длинной воронки наполняют мерник 3 до риски предварительно приготовленным исходным раствором или чистым компонентом (если он жидкий). Прибор отсоединяют от камеры и, закрыв трубку 20, поворачивают его так, чтобы фиксатор был в точке С. Раствор при этом стекает через промежуточный сосуд в электролитическую ячейку. После этого прибор поворачивают в прежнее положение (фиксатор в точке В; раствор из ячейки при этом стекает в промежуточный сосуд) и повторяют операцию заполнения мерника 3 исходным раствором (или чистым компонентом). Раствор из мерника поворачиванием прибора сливают в ячейку, куда при этом вновь попадает и предыдущая порция раствора. Таким образом объем электролита в ячейке становится равным двум объемам мерника.

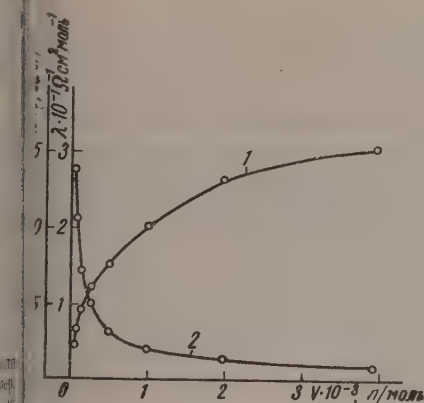


Рис. 5. Электропроводность системы тетраиодид кремния — нитробензол — при 25°

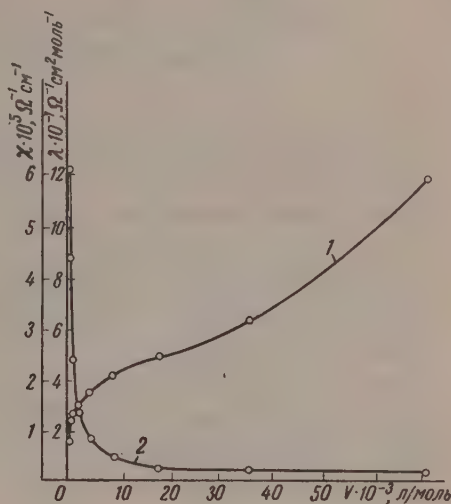


Рис. 6. Электропроводность системы тетраиодид кремния — дихлордиэтиловый эфир при 25°

Затем прибор устанавливают так, чтобы фиксатор был в точке А, и производят измерение электропроводности. После измерения прибор поворачивают (фиксатор в точке В) и через кран 12 наполняют до риски мерник 4. Затем через кран 11 наполняют мерник 3, прибор поворачивают так, чтобы фиксатор был в точке С и, после небольшой выдержки, устанавливают его в положение для измерения (фиксатор в точке А). В результате этой операции раствор в ячейке разбавляется вдвое, а раствор из мерника 4 сливается в сборник. Затем производится измерение электропроводности разбавленного раствора. Эта операция разбавления повторяется до тех пор, пока не опорожнится питатель. Объемы аппаратуры подобраны таким образом, чтобы обеспечить возможность последовательного проведения разбавления растворов вдвое 10—12 раз, что уменьшит начальную концентрацию не менее чем в 1000 раз.

Таким образом однократная загрузка прибора практически обеспечивает возможность снятия всей кривой электропроводности.

Электролитическая емкость ячейки была определена по раствору хлористого калия и оказалась равной  $0,272 \text{ см}^{-1}$ . Работа прибора была проверена путем измерения электропроводности растворов уксусной кислоты. Результаты проверки представлены в таблице, где в первом столбце указана концентрация раствора уксусной кислоты в  $\text{моль/л}$ ; во втором — сопротивление ячейки в омах; в третьем — измеренная удельная электропроводность в  $\text{ом}^{-1} \cdot \text{см}^{-1}$ ; в четвертом — значения удельной электропроводности, взятые по литературным данным [2]; в пятом — относительная ошибка в процентах.

Эти результаты позволяют считать, что разработанный метод дает достаточно надежные результаты. Максимальная относительная ошибка не превышает 1%.

Разработанная методика была использована для измерения электропроводности систем: тетраиодид кремния — пиридин, тетраиодид кремния — нитробензол, тетраиодид кремния — анилин и тетраиодид кремния — дихлордиэтиловый эфир.

Системы, содержащие тетраиодид кремния, были выбраны для того, чтобы провести опробование прибора в наиболее жестких условиях, поскольку, во-первых, тетраиодид кремния — одно из наиболее чувствительных к влаге соединений и, во-

## Результаты проверки прибора по уксусной кислоте

$C$ , моль/л	$R$ , $\Omega$	$\chi \cdot 10^5$ , $\Omega^{-1} \text{см}^{-1}$	$\chi_{\text{лит}} \cdot 10^5$ , $\Omega^{-1} \text{см}^{-1}$	$\Delta\chi$ , %
$3,38 \cdot 10^{-2}$	898	30,3	30,3	0,00
$1,69 \cdot 10^{-2}$	1270	21,4	21,3	0,47
$8,45 \cdot 10^{-3}$	1820	14,8	14,9	0,68
$4,22 \cdot 10^{-3}$	2620	10,4	10,5	0,95
$2,11 \cdot 10^{-3}$	3790	7,18	7,25	0,97
$1,06 \cdot 10^{-3}$	5480	4,97	5,00	0,60
$5,27 \cdot 10^{-4}$	8050	3,38	3,35	0,89
$2,64 \cdot 10^{-4}$	12180	2,28	2,27	0,44
$1,32 \cdot 10^{-4}$	18300	1,49	1,50	0,67
$6,60 \cdot 10^{-5}$	28700	0,948	—	—
$3,30 \cdot 10^{-5}$	41300	0,658	—	—
$1,65 \cdot 10^{-5}$	46000	0,592	—	—
$8,25 \cdot 10^{-6}$	51000	0,533	—	—

вторых, предварительные опыты показали, что вышеупомянутые системы обладают весьма малой электропроводностью.

Эти измерения представляли интерес также и потому, что электропроводности систем, образованных тетраидидом кремния и органическими растворителями, до сих пор не исследовалась. Тетраидид кремния, применявшийся при проведении данной работы, получался йодированием элементарного кремния с последующей перекристаллизацией полученного продукта и сублимацией в вакууме. Органические растворители тщательно высушивались соответствующими осушителями и затем перегонялись в атмосфере аргона. Приготовленные таким образом исходные вещества хранились в запаянных стеклянных ампулах. Для того чтобы предотвратить попадание влаги воздуха в органические растворители и предохранить тетраидид кремния от гидролиза, приготовление раствора производилось в упомянутой выше герметичной камере, продуваемой сухим аргоном.

Результаты измерений представлены на рис. 3—6, где кривая 1 относится к  $\lambda$ , а кривая 2 — к  $\chi$ .

Малая величина удельной электропроводности (порядка  $10^{-5} \text{ом}^{-1} \cdot \text{см}^{-1}$ ) и ход кривых показывают, что исследуемые системы относятся к разряду слабых электролитов.

Проведенные опыты показали, что разработанные конструкция и методика измерений обеспечивают возможность снятия кривой электропроводности за 3—4 часа (включая приготовление раствора и загрузку прибора), а также совершенно исключают возможность попадания в растворы даже следов влаги.

Поступила  
27.III.1959

## ЛИТЕРАТУРА

1. В. Б. Поляков, А. В. Иванов, Изв. АН СССР, Сер. хим., 1119, 1938
2. D. A. McInnes, Th. Shedlovsky, J. Am. Ch., Soc., 54, 1429 (1932)
3. К. А. Андрианов, Кремнийорганические соединения, Госхимиздат, М., 1955.

## APPARATUS FOR MEASURING THE ELECTROCONDUCTIVITY OF NON-AQUEOUS SOLUTIONS

S. I. Sklyarenko, Yu. V. Samson and V. E. Baru (Moscow)

## Summary

An apparatus has been devised and a procedure developed for the rapid determination of the electroconductivity of non-aqueous solutions. The apparatus was calibrated with the aid of a KCl solution and checked by measuring the electroconductivity of solutions of acetic acid. The results obtained showed good agreement with published data. The procedure permits of an accuracy of the order of 1%. The electroconductivity has been determined at 25° of solutions of silicon tetraiodide in pyridine, aniline, nitrobenzene and dichloroethyl ether.

## ДИСКУССИЯ

К ДИСКУССИИ ПО ВОПРОСУ О НЕСТАЦИОНАРНОЙ  
КОНЦЕНТРАЦИОННОЙ ПОЛЯРИЗАЦИИ

В течение длительного времени между С. В. Горбачевым, с одной стороны, Сму-  
жком, Н. Н. Туницким и В. Г. Левичем, — с другой, велась дискуссия по вопросу о не-  
стационарной концентрационной поляризации. Дискуссия получила отражение в ряде  
статей, в докладах, выступлениях и письмах, которыми стороны обменивались через  
редакцию журнала физической химии. Основными участниками дискуссии были  
С. В. Горбачев и В. Г. Левич.

Материал, посвященный этой дискуссии, по просьбе редакции журнала физи-  
ческой химии был рассмотрен на заседании кафедры электрохимии Ленинградского  
университета. В обсуждении приняли участие: проф. Я. В. Дурдин, проф. Р. Л. Мюл-  
ер, проф. Б. П. Никольский, проф. А. Л. Ротинян, проф. О. М. Тодес, доц. Краси-  
ов, доц. Л. С. Рейншприт, доц. М. М. Шульц, доц. В. В. Скорчеллетти (ЛПИ), ст.  
аучн. сотр. Д. П. Добычин, ст. научн. сотр. В. И. Кравцов (ГОИ), ст. научн. сотр.  
В. Строкан (ЦНИИ), ст. научн. сотр. И. П. Твардовский (ГИПХ), ст. научн.  
сотр. Хейфец (Гипроникель), асс. Д. К. Авдеев (ЛГУ), асс. А. И. Парфенов (ЛГУ),  
асс. О. К. Стефанов, мл. научн. сотр. А. Б. Шейнин (Гипроникель), асп. Е. Г. Цвен-  
гирный. Все они присоединились без каких-либо оговорок к мнению В. Г. Левича.

Редколлегия журнала считает целесообразным предоставить спорящим сторонам  
возможность еще раз кратко резюмировать свою точку зрения по основным вопросам  
дискуссии.

В этом номере Редколлегия публикует окончательную формулировку мнений дис-  
кутирующих сторон по вопросу «о нестационарной концентрационной поляризации».

Редакция журнала физической химии полагает, что в этом изложении достаточно  
сна суть расхождений по тем пунктам, по которым С. В. Горбачев и В. Г. Левич не  
могли найти общей точки зрения.

По мнению В. Г. Левича задача о переносе ионов в процессе электролиза пред-  
ставляет крайнюю задачу, поскольку уравнения переноса ионов представляют урав-  
нения в частных производных.

Для нахождения распределения ионов в электролитической ячейке необходимо-  
мимо уравнений переноса знание граничных условий. Последние определяются  
физическими условиями проведения электролиза.

С. В. Горбачев игнорирует эти общеизвестные положения математической физики.  
Безононным образом, не учитывая миграционных членов в уравнении переноса ионов  
бинарном электролите в электрическом поле, С. В. Горбачев описывает движение  
ионов простым уравнением диффузии. Выписанное им распределение концентрации:

$$c_0 - c = \frac{A}{\sqrt{4\pi Dt}} \exp \left\{ -\frac{x^2}{4Dt} \right\}, \quad (1)$$

является известным частным решением этого уравнения, отвечающим решению зада-  
чи: в момент времени  $t = 0$  в плоскости  $x = 0$  действует мгновенный источник мощ-  
ности  $A$ .

Это частное решение уравнения диффузии не имеет ничего общего с решением  
задачи о прохождении постоянного тока через электролизер, которая поставлена  
в работе С. В. Горбачевым.

Для нахождения неизвестной постоянной  $A$  в (1) С. В. Горбачев использует усло-  
вие:

$$\int_0^{\infty} (c_0 - c) dx = \frac{I}{S} \frac{U_A t}{n_A n_K}, \quad (2)$$

где  $I/S$  — плотность тока,  $U_A$  — подвижность и  $n_A$  и  $n_K$  — зарядности ионов. Это усло-  
вие выражает баланс количества электричества и должно удовлетворяться коррект-  
ным решением. Оно удовлетворяется решением (3), приведенным в работе В. Г. Ле-



вича [13]. С. В. Горбачев, однако, подставляет в условие (2) не корректное решение краевой задачи, а частное решение уравнения диффузии. При этом он приходит к явно ошибочному результату  $A = In_A t / U_A$ , в котором постоянная  $A$  оказывается пропорциональной времени, а полученное С. В. Горбачевым решение:

$$c_0 - c = \frac{In_A t}{U_A \sqrt{4\pi Dt}} \exp \left\{ -\frac{x^2}{4Dt} \right\}, \quad (3)$$

не удовлетворяет более исходному уравнению и дает ток на поверхность электрода, равный нулю.

В работе С. В. Горбачева приводится формула, охватывающая концентрационную и химическую поляризацию, в которой диффузионный ток умножается на фактор

$$\exp \left\{ \frac{\frac{3}{2} A}{\frac{3}{2} RT + nF \Delta E + N \left( \frac{dE}{dx} \right)^2 (\alpha_i \alpha_u) - N \mu_p \left( \frac{dE}{dx} \right)} \right\},$$

учитывающий конечную скорость электродной реакции.

Если в последнем выражении положить  $T = 0$ , то при этом получится, что скорость электродной реакции остается конечной при абсолютном нуле. Это полностью противоречит законам химической кинетики.

В дискуссионной статье С. В. Горбачевым допущены новые грубые ошибки.

Формулу закона Ома

$$I = \sigma (E + E_{\text{стор}}) = (U_K n_K + U_A n_A) F^2 n_K n_A c E + (D_A - D_K) n_A n_K F \frac{dc}{dx}$$

С. В. Горбачев дважды записывает неверно. Он пишет формулу

$$I = -n_A n_K F (D_A + D_K) \frac{dc}{dx} - n_K n_A F^2 (U_A n_A - U_K n_K) c E.$$

В последней формуле оба члена — второй, содержащий электропроводность, и первый, выражающий стороннюю э. д. с. (диффузионное поле) в ячейке, написаны неверно. Электропроводность, как известно, пропорциональна сумме подвижностей диффузионное поле — их разности, а не наоборот, как у С. В. Горбачева. Ниже той же статье С. В. Горбачев пишет закон Ома в форме

$$I = \mu \cdot 10^3 c E,$$

в котором сторонняя э. д. с. в ячейке с переменной от точки к точке концентрационная вовсе отсутствует.

В статье «Расчет концентрационной поляризации при нестационарном режиме электролиза» С. В. Горбачев полностью изменяет свою позицию и пытается использовать граничные условия для решения задачи о концентрационной поляризации. Это было бы несомненным шагом вперед к признанию общезвестного решения этой задачи, данного в работах ряда авторов, если бы при формулировке граничных условий С. В. Горбачевым не были допущены две грубые ошибки:

а) С. В. Горбачев, повторяя наш вывод граничного условия, рассматривает баланс вещества в как угодно тонком приэлектродном слое  $\delta$ . При этом, однако, он приходит к формуле (24), имеющей вид:

$$\frac{IU_A}{Fn_A} D_A \left( \frac{\partial c}{\partial x} \right)_{x \rightarrow 0} - \int_0^\infty \frac{\partial c(x, \tau)}{\partial \tau} dx = D_A \left( \frac{\partial c}{\partial x} \right)_{x \rightarrow 0} - \delta \left( \frac{\partial c}{\partial \tau} \right), \quad (4)$$

положенной в основу всех дальнейших расчетов и которая находится в вопиющем противоречии с правилами дифференциального исчисления и физическим смыслом рассматриваемой задачи.

Действительно, первый и второй члены этого соотношения представляют конечное выражение, тогда как третий член, содержащий бесконечно малую величину  $\delta$ . С. В. Горбачев не замечает, что  $\delta$  есть величина бесконечно малая и не опускает правил дифференциального исчисления в соотношении [1] бесконечно малого члена.

б) С. В. Горбачев в этой своей работе, как и в предыдущих, повторяет утверждение о том, что процесс электролиза представляет процесс диффузии с источником. Он пишет: «убыль вещества при электролизе с постоянной плотностью тока для любого момента времени  $t$  выразится как

$\frac{IU_A}{nF} t$ . Отсюда мощность источника  $I_2 = IU_A / nF$ ».

Эта мощность источника представляется С. В. Горбачевым в известную формулу для распределения концентрации, дающую решения уравнения диффузии при наличии объемных источников с мощностью и нулевых граничных условиях.

Все это плод сплошного недоразумения. Действительно, при постоянном токе был бы вещества дается выражением  $\frac{IU_A}{nF} t$ . Это количество вещества уходит из раствора через плоскость  $x = 0$  (поверхность электрода), которая и служит стоком вещества. Однако никаких объемных источников в электролизере не существует и мощность объемных источников равна нулю. В объеме раствора ионы не исчезают и вновь образуются.

Подставлять в качестве объемного источника в решение уравнения диффузии при наличии источников выражение для числа частиц, уходящих из объема через плоскость  $x = 0$ , как это делает С. В. Горбачев, означает лишь неправильное использование этой общеизвестной математической формулы. Считать же, что в объеме раствора существуют источники, мощностью  $(IU_A/nF)$ , означает непосредственное нарушение закона сохранения вещества.

Поскольку величина, которую С. В. Горбачев называет мощностью объемных источников  $IU_A/nF$  и которую он представляет в качестве таковой в решение диффузионного уравнения, не является мощностью объемных источников, она имеет другую размерность. Ясно, что подставляя в формулу для решения диффузионного уравнения место мощности объемных источников величину с неправильной размерностью, С. В. Горбачев не мог не получить результат с ошибочной размерностью (в чем можно убедиться непосредственной проверкой).

С. В. Горбачев высказал по поводу вышеизложенного следующие соображения: Расчет стационарной концентрационной поляризации, как он излагается в монографиях [11—13], был дан А. П. Соколовым [14], Сендом [15] и несколько подробнее Райдилом [16]. Данное ими решение находится в более или менее удовлетворительном согласии с опытными данными в области полярографии. Для полярографии характерно применение фона, когда подвергаемое электролизу вещество присутствует в среде с большим избытком постороннего электролита. В этих условиях задача расчета упрощается, так как миграция ионов основного вещества практически прекращается, и его подход к электроду получает чисто диффузионный характер.

Если же указанное решение применить к объектам, которые интересуют не аналитиков, а инженеров-электрохимиков, ведущих электролиз без применения фона, то указанное решение оказывается грубо неточным. Даваемые им величины плотности тока оказываются преуменьшенными в 2—5 раз, не говоря уже о принципиальной ошибочности многих вытекающих из него следствий.

В 1950 г. нами [7] сделана попытка уточнить подход к решению задачи расчета стационарной концентрационной поляризации для условий, интересующих электрохимиков. В этой работе мы обратили внимание теоретиков на то, что запросы электрохимии требуют пересмотра постановки задачи. Нельзя игнорировать миграцию ионов при электролизе, нельзя игнорировать изменение концентрации при электролизе раствора в ходе электролиза. Со своей стороны мы предложили несколько упрощенное решение задачи, полагая, что теоретики дадут более строгое решение, учитывающее указанные запросы современной электрохимии. Если бы теоретики дали более совершенное решение задачи, это было бы нормальным развитием теории концентрационной поляризации и не было бы, конечно, никакой дискуссии. Однако теоретики упустили на путь защиты устаревшего, не пригодного для современной электрохимии решения, данного А. П. Соколовым и Сендом.

Нам пришлось самим искать более точное решение. В статье 1956 г. [18] сделан существенный шаг вперед. Решение задачи исходит из уравнения для режима приэлектродного слоя

$$\frac{Iu_a}{nF} = D \frac{\partial c}{\partial x} - \delta \frac{\partial c}{\partial \tau}, \quad (11)$$

где  $I$  — плотность тока;  $u_a = 1 - u_k$  — число переноса разряжающихся ионов, — концентрация;  $x$  — расстояние;  $\tau$  — время;  $D$  — коэффициент диффузии;  $\delta$  — толщина обменного диффузионного слоя.

Полученное решение уже близко к опытным данным, но и оно имеет слабое звено, заключающееся в использовании приближенного уравнения Эйнштейна для перемещения фронта диффузии. В совместной работе с Л. П. Холпановым удалось это слабое звено устранить и получить решение с полной математической строгостью, а также разработать метод расчета. Эти результаты будут вскоре опубликованы. Десятки исследователей разными способами измеряли эту величину, подходили к количественной оценке ее значений. В. Г. Левич едва ли может этого не знать и в то же время считает возможным на этом основании пытаться критиковать мою работу. В. Г. Левича смущает, что его действительно могут спросить о физическом смысле его утверждения, будто слагаемое  $\delta \partial c / \partial \tau$  следует отбросить. Игнорировать, отбрасывать эту величину значит отрицать, что при включении тока концентрация у катода постепенно падает. Ни один электрохимик не сможет принять подобное заявление В. Г. Левича, тем более, чем элементарную для электрохимика ошибку.

Большая работа, затянувшаяся на девять лет, нами успешно завершена, и значительные полемические В. Г. Левича оказались только в том, что о завершающих этапах этой большой работы я ограничиваюсь кратким указанием в этой заметке.

К сожалению, в настоящей дискуссии нам пришлось познакомиться с большим количеством абсолютно необоснованных, не имеющих отношения к делу упреков, ни в одном звене развития теории мы не получили хотя бы небольшой помощи от наших оппонентов. В дискуссии, к сожалению, не было столкновения мнений о решении задачи. В. Г. Левич просто отрицал саму задачу и отстаивал неопровержимость решений, данных А. П. Соколовым и Сендом.

При решении задачи о концентрационной поляризации нельзя в основу решения класть краевые условия, которые мотивируются только их умозрительной правдоподобностью, а по существу оказываются чисто произвольными, как это делает В. Г. Левич. Задаваемые краевые условия предвещают ход процесса у поверхности электрода, т. е. там, где концентрационная поляризация сильнее всего сказывается и где правильное количественное решение особенно важно. Нами показано [18], что обоснованное выражение краевых условий требует решения дополнительной задачи о режиме приэлектродного слоя. Дифференциальное уравнение приэлектродного слоя дается уравнением (1). В. Г. Левич считает, что он обнаружил у меня ошибку. Эту ошибку он увидел в том, что я «не заметил», что толщина обменного диффузионного слоя есть величина бесконечно малая. Общеизвестно, что величина  $\delta$  не является бесконечно малой.

Публикацией вышеприведенных соображений гг. В. Г. Левича и С. В. Горбачева редакция и заканчивает дискуссию между этими авторами.

Поступила  
15.II.1958

#### ЛИТЕРАТУРА

1. С. В. Горбачев, Ж. физ. химии, 24, 888, 1517, 1950.
2. Н. Н. Туницкий, Ж. физ. химии, 24, 1515, 1950.
3. М. Смутек, Сб. хим. работ «Химия», 19, вып. 1, 24, 1924.
4. В. Г. Левич, Ж. физ. химии, 29, 734, 1955.
5. А. Н. Фрумкин, В. С. Багоцкий, Б. Н. Кабанов, З. А. Иоффе, Кинетика электродных процессов, Изд-во, МГУ, 1952.
6. Cottrell, Z. phys. Chem., 42, 385, 1902.
7. И. Кольтгоф и Дж. Лингейн, Полярография, Госхимизд. М., 1948.
8. В. Н. Скобеев и Н. С. Кавецкий, Ж. физ. химии, 24, 1486, 1950.
9. Stackelberg, Pilgram, Toome 57, 342, 1953.
10. С. В. Горбачев, Ж. физ. химии, 30, 1484, 1956.
11. А. Н. Фрумкин, В. С. Багоцкий, З. И. Иофа, Б. Н. Кабанов, Кинетика электродных процессов, Изд-во МГУ, 1952.
12. И. М. Кольтгоф, Д. Д. Лингейн, Полярография, Госхимиздат, М., 1948.
13. В. Г. Левич, Физико-химическая гидродинамика, Изд-во АН СССР, 1950.
14. А. П. Соколов, Тр. О-ва любителей естествозн., 3, 22, 1890.
15. M. Sand, Philos. Mag., 1, 48, 1901.
16. D. McGillavry, E. K. Rideal, Recueil trav. chim. 56, 1013, 1937; 57, 33, 1938.
17. С. В. Горбачев, Ж. физ. химии, 24, 888, 1950.
18. С. В. Горбачев, Ж. физ. химии, 30, 1484, 1956.
19. С. В. Горбачев, Ж. физ. химии, 30, 1151, 1956 и др.
20. Л. П. Холпанов, в Сборнике «Исследования в области электрохимии» Изд. МХТИ им. Менделеева, М., 1959.



## ИЗ ИСТОРИИ ФИЗИЧЕСКОЙ ХИМИИ

О НЕКОТОРЫХ РАБОТАХ РУССКИХ УЧЕНЫХ В ОБЛАСТИ  
ТЕРМОДИНАМИКИ ФАЗОВЫХ РАВНОВЕСИЙ

А. Я. Кипнис

Настоящая статья имеет целью привлечь внимание современных исследователей, разрабатывающих теорию гетерогенных равновесий, к некоторым забытым, но важным работам отечественных ученых, посвященных этой области химической термодинамики\*.

В России, как и во всем мире, теория фазовых равновесий проделала длительную эволюцию — начиная с установления эмпирических формул, переходя затем к изучению простейших гетерогенных равновесий методами догиббсовской термодинамики и кончая общими исследованиями, основанными на использовании наиболее действенных термодинамических методов Гиббса.

К раннему периоду развития термодинамики фазовых равновесий относится разработка Д. П. Коноваловым своеобразного термодинамического метода исследования, основанного на использовании давления (упругости пара) в качестве термодинамической функции, характеризующей равновесие. Так, при выводе законов равновесия жидкость — пар Д. П. Коновалов исходит из общего условия устойчивости равновесия между раствором и паром, которое состоит в том, что при изотермическом увеличении объема пара (т. е. при частичном испарении раствора) давление в системе не должно возрастать. Отсюда при помощи несложных выкладок и получаются законы Коновалова ([3] гл. IV). Условие устойчивости, сформулированное Д. П. Коноваловым, непосредственно вытекает из принципа равновесия Гиббса [4]. Поэтому метод Коновалова если не формально, то по существу является термодинамическим. Этим методом Коновалов получил также ряд других важных теоретических результатов.

Он доказал, что при неизменной температуре состав и упругость пара над расслаивающимся раствором постоянны во всей области неоднородности в случае бинарной системы и зависят от состава жидких фаз в тройной системе — положение, представляющее собой частный случай правила фаз ([3], гл. VI). Далее, рассматривая упругость пара в функции от определяющих ее условий, Коновалов указал на аналогию между равновесиями жидкость — пар и жидкость — жидкость, распространяющуюся и на критические явления; он отметил, что «температура полного смещения расслаивающихся жидкостей будет своего рода критической температурой» ([3], стр. 68) — обобщение, которым впервые в Европе были объединены критические явления в одно- и многокомпонентных системах (работа Гиббса в это время была еще мало известна). Позже, анализируя кривые упругости водорода над водородистым палладием, Д. П. Коновалов предсказал существование критических явлений при равновесии между твердыми фазами в этой системе [5].

При помощи этого же метода Д. П. Коновалов внес важные разъяснения в теорию осмотического равновесия, определив осмотическое давление как «давление, которое нужно приложить к раствору, чтобы увеличить его упругость пара на величину, равную потере упругости пара при растворении взятого вещества» [6]. Эта формулировка отличается от современной лишь тем, что она выражена в терминах упругости пара, а не в терминах потенциалов или летучестей.

Таким образом тензиметрия в руках Д. П. Коновалова действительно являлась по существу термодинамическим методом исследования фазовых равновесий. Преимуществами этого метода являются его большая простота и наглядность, в связи с чем он и ныне нередко применяется в преподавании (см., например, [7]). Однако возможности его используются пока недостаточно.

\* Многие из важнейших достижений отечественных ученых в области теории фазовых равновесий хорошо известны и не нуждаются в повторном рассмотрении. Таковы законы Д. П. Коновалова и М. С. Вревского, характеризующие равновесие в двойных газообразно-жидких системах (см. [1]), и логарифмика Шредера, описывающая растворимость в идеальных растворах (см. [2]).



Период становления гиббсовского направления в термодинамике фазовых равновесий в России (90-е годы) ознаменовался появлением замечательной обзорной монографии П. Т. Пасальского [8]. В этой книге дано четкое и содержательное изложение термодинамической теории химических и фазовых равновесий на основе метода химических потенциалов. Рассмотрев наиболее общие основы теории — два начала термодинамики, принцип равновесия и фундаментальные уравнения Гиббса, П. Т. Пасальский последовательно излагает применение их к отдельным случаям равновесия: сначала простым, а затем все более сложным: смесям идеальных газов, равновесиям с фазами постоянного состава, растворам и, наконец, к многокомпонентным многофазным равновесиям. В этом последнем разделе излагаются общие условия фазового равновесия по Гиббсу, приводится вывод правила фаз и рассматривается геометрическая интерпретация фазовых равновесий. Отдельная глава книги посвящена термодинамической теории капиллярности. Хотя монография П. Т. Пасальского и не содержит новых результатов, она и в настоящее время может служить полноценным пособием при изучении химической термодинамики, в особенности — термодинамики фазовых равновесий.

Начиная с 900-х годов, теория гетерогенных равновесий разрабатывается методами Гиббса. В 1909 г. Н. М. Витторф [9] применил геометрический метод построения диаграмм состояния из кривых термодинамического потенциала и последовательно вывел около 100 типов диаграмм состояния двойных систем. До настоящего времени эта уникальная сводка остается единственным источником полных данных о диаграммах состояния двойных систем.

Особенно большой вклад в термодинамику фазовых равновесий был внесен Р. Ф. Холлманом. Пользуясь методом Ван-Рейн Ван-Алкемаде — Розебома, который он развил применительно к тройным системам, Холлман [10] обстоятельно проанализировал условия устойчивости различных гидратов смешанных кристаллов изоморфных веществ в зависимости от температуры и вывел 15 типов диаграмм состояния для таких систем. При этом он установил ряд закономерностей, в частности, следующие положения, являющиеся обобщением законов Коновалова применительно к рассматриваемому случаю:

1. При равновесии смешанного кристаллогидрата с продуктами его расщепления — жидким раствором и низшим кристаллогидратом — «смешанные кристаллы расщепляющегося гидрата в сравнении с продуктами расщепления всегда богаче той солью, от прибавления которой температура расщепления повышается» ([10], стр. 70).

2. «Если при известной температуре из одной или нескольких фаз уравновешенной системы без изменения их состава образуются все остальные фазы, то эта температура в общем будет максимальной или минимальной температурой относительно абсолютной устойчивости одной или нескольких присутствующих фаз. Если при этом система моновариантная, то данной температуре равновесия соответствует на диаграмме \*  $J, T$  геометрический максимум или минимум непрерывной кривой равновесия. Если же система невариантная, то данной температуре равновесия соответствует на диаграмме  $J, T$  острый максимум или минимум области абсолютной устойчивости одной или нескольких фаз системы» ([10], стр. 83).

В этой работе были найдены также многие другие правила и соотношения.

В капитальной монографии «К термодинамике насыщенных растворов» Холлман [11] создал детальную картину фазовых соотношений в двойных системах и установил ряд закономерностей. Так, анализируя при помощи уравнения ван-дер-Ваальса\*\* знаки вторых производных  $(d^2p/dx^2)_T$  и  $(d^2T/dx^2)_p$ , Холлман пришел к уточнению закона Гиббса — Коновалова для сосуществующих фаз одинакового состава, которое может быть сформулировано следующим образом: если дифференциальные изменения объема и теплота перехода моля одной фазы в другую имеют один и тот же знак, то минимуму температуры сосуществования отвечает максимум давления сосуществования, и наоборот: если же указанные изменения объема и теплота перехода имеют разные знаки, то максимуму или минимуму температуры сосуществования отвечает такой же экстремум давления сосуществования ([11], стр. 101).

Другой важный результат работы Холлмана относится к вопросу о смещении экстремумов кривых состав — температура при изменении давления. Ответ на этот вопрос дается уравнением

$$\left(\frac{dx'}{dp}\right)_{x'=x''} = \frac{\left(\frac{d^2T}{dp^2}\right)_{x'=x''} - \left(\frac{d^2T}{dp^2}\right)_{x'}}{\left(\frac{\partial\theta'}{\partial x'}\right)_p},$$

\*  $U$  и  $1 - U$  — молярные доли первой и второй солей в сухом остатке.

\*\* Это уравнение может быть записано [для фазы(\*)] в виде

$$\Delta'v \cdot dp = \Delta'SdT + (x'' - x') \left(\frac{\partial^2\Phi}{\partial x^2}\right)_{pT} dx', \quad (11)$$

где  $\Delta'v$  и  $\Delta'S$  — дифференциальные изменения объема и энтропии при образовании моля фазы (\*\*) из фазы (\*)  $x'$  и  $x''$  — молярные доли независимого компонента в фазах (\*),  $\Phi$  — молярный термодинамический потенциал.

$\theta' = (\partial T / \partial p)_{x'}$ . Анализ показывает, что для систем с минимумом температуры существования числитель этого уравнения отрицателен, а для систем с максимумом температуры сосуществования — положителен. Поэтому направление смещения определяется знаком производной  $d\theta' / dx' = \partial^2 T / \partial p \partial x'$ , что дает следующие правила: «Концентрация минимума кривых  $x, T$  перемещается при повышении давления направлению к меньшим значениям производных  $(\partial T / \partial p)_{x'}$  и  $(\partial T / \partial p)_{x''}$ ».

«Концентрация максимума кривых  $x, T$  перемещается при повышении давления направлению к большим значениям производных  $(\partial T / \partial p)_{x'}$  и  $(\partial T / \partial p)_{x''}$ » ([11], с. 158).

Аналогичные правила могут быть получены для смещения экстремумов давления сосуществования с температурой\*.

Большой интерес представляет проведенный Холлманом анализ величин  $\Delta v$ ,  $\Delta S$ , входящих в уравнение ван-дер-Ваальса. Характером зависимости этих величин состава, температуры и давления (Холлман связывает эту зависимость с зависимостями  $v$  и  $S$  от  $p, T$  и для каждой из фаз, т. е. с непосредственным экспериментальным материалом теории растворов) определяются геометрические свойства диаграмм соания, в частности условия появления на них экстремумов. В качестве одной из изобретенных Холлманом закономерностей приведем следующее правило о виде этих плавкости и затвердевания изоморфных смесей:

«Разности  $(x'' - x')_T$  и  $(T'' - T')_x$  тем больше, чем больше разность точек плавления компонентов  $T_1 - T_2$  или, другими словами, чем круче поднимается неоднородная линия между кривыми  $S$  и  $L^{**}$ , тем она шире» ([11], стр. 143).

Переходя к исследованию трехфазных (моновариантных) систем, Холлман прибегает к комбинированию дифференциальных уравнений ван-дер-Ваальса для каждой из фаз рассматриваемой системы. Так он получает уравнения для зависимости состава каждой из сосуществующих фаз от температуры (или от давления), а также уравнения для зависимости давления сосуществования от температуры (последние являются обобщением уравнения Клапейрона — Клаузиуса). Исследование этих уравнений приводит к ряду правил о взаимном расположении поверхностей дивариантного равновесия, исходящих из линии моновариантного равновесия и о смещении состава фаз с температурой и давлением. Получено также правило, согласно которому для двух одномерных из шести кривых дивариантного равновесия, сходящихся поочередно на диаграмме  $(x, T)_p$  [или на диаграмме  $(x, p)_T$ ] при температуре (или при давлении) моновариантного равновесия, взаимно касаются, то и остальные кривые попарно касаются и  $p$  во всех функциях  $p = f(T)$ ,  $p = f_1(x')$ ,  $p = f_2(x'')$ ,  $p = f_3(x''')$  (или  $T$  во всех функциях  $T = \phi(p)$ ,  $T = \phi_1(x')$ ,  $T = \phi_2(x'')$ ,  $T = \phi_3(x''')$  проходит через максимум или минимум» ([11], стр. 177).

Подобным же образом для случая четырехфазной системы (невариантные равновесия) установлены соотношения для определения относительного направления линий инвариантного равновесия, исходящих из точки невариантного равновесия.

Таковы лишь некоторые из многочисленных результатов, содержащиеся в труде Холлмана. Несправедливо забытые работы Р. Ф. Холлмана бесспорно и в наше время полностью сохранили свое значение и заслуживают специального изучения и продолжения.

В России была начата и разработка термодинамики многокомпонентных систем. В 1913 г. Г. А. Мазинг [12], исходя из общего условия термодинамического равновесия Гиббса, вывел систему дифференциальных уравнений, характеризующих равновесие двухфазной  $n$ -компонентной системы.

Используя эту развернутую форму уравнений равновесия, он получил уравнение для теплоты испарения единицы массы  $n$ -компонентной фазы. Кроме того, он дал обобщение первого закона Вревского для случая двойных систем любой природы и показал, как это общее выражение в случае газообразно-жидких систем, удаленных от критического состояния, упрощается до формулы Вревского. Наконец, Г. А. Мазинг указал, как из найденной им системы уравнений выводится условие появления экстремумов температуры и давления сосуществования фаз. К сожалению, использование работы Г. А. Мазинга затрудняется моздкой математической формой, обусловленной тем, что вместо химических по-

Дальше он ввел в свои вычисления величины  $\phi_{ik} = m_i \frac{\partial^2 \Phi}{\partial m_i \partial m_k}$  Планка. Однако несмотря на этот недостаток, работа Г. А. Мазинга и ныне представляет несомненный и значительный интерес.

В заключение укажем на исследования П. Н. Павлова [13], относящиеся к термодинамике поверхностных явлений, — область, которая смыкается с теорией фазовых переходов. П. Н. Павловым была сделана первая попытка термодинамического анализа влияния степени дисперсности на упругость пара и температуру плавления

\* Эти правила близки по смыслу ко второму закону Вревского и могут быть ему приведены, если учесть, что согласно уравнению ван-дер-Ваальса  $\theta = (\partial T / \partial p)_{x'} = \Delta'v / \Delta'S$ . Непосредственный вывод второго закона Вревского, обобщенного на фазы любой природы, был дан А. В. Сторонкиным [4].

\*\* Т. е. солидуса и ликвидуса.

твёрдого тела. Наиболее значительным из полученных им результатов является обобщение правила фаз применительно к коллоидным системам: если в системе играют роль капиллярные силы, то число ее степеней свободы возрастает против обычного на число удельных поверхностей раздела в системе. При помощи обобщенного правила фаз П. Н. Павлов дал систематику различных коллоидных систем.

Таким образом в области термодинамики фазовых равновесий в России был выполнен ряд выдающихся теоретических исследований, сохранивших свое значение до наших дней.

Поступила  
7.IV.1959

#### ЛИТЕРАТУРА

1. А. В. Сторонкин, Вестн. Ленингр. ун-та, № 8, 187, 1953.
2. М. И. Шахпаронов, Усп. химии, 21, 1154, 1952.
3. Д. П. Коновалов, ЖРФХО, ч. хим., 16, 11, 1884.
4. Д. Ж. В. Гиббс, Термодинамические работы, М.—Л., стр. 148 и след. 195.
5. Д. П. Коновалов, ЖРФХО, ч. хим., 34, 766, 1902.
6. Д. П. Коновалов, ЖРФХО, ч. хим., 22, 71, 1890.
7. В. А. Кипреев, Курс физической химии, М., стр. 353—356, 1955.
8. П. Т. Пасальский, Приложение термодинамики к изысканию равновесия соприкасающихся масс, разнородных по своему составу или различны по своему физическому состоянию, Одесса, 1895.
9. Н. М. Витторф, Теория сплавов в применении к металлическим системам, СПб, 1909.
10. Р. Ф. Холлман, Об образовании и расщеплении смешанных кристаллографических изоморфных веществ с точки зрения правила фаз Gibbs'a, Юрьев, 1907.
11. Р. Ф. Холлман, К термодинамике насыщенных растворов, Саратов, 1911.
12. Г. А. Мазинг, ЖРФХО, ч. физ., 45, 174, 1913.
13. П. Н. Павлов, Влияние поверхностной энергии на гилотропные превращения твёрдого кристаллического вещества. Одесса, 1912; см. также ЖРФХО, ч. хим., 42, 1034, 1374, 1910.





**ЕВГЕНИЙ НИКОЛАЕВИЧ ЕРЕМИН**

(К 50-летию со дня рождения)

14 января 1959 г. исполнилось пятьдесят лет со дня рождения профессора Московского государственного университета, доктора химических наук Евгения Николаевича Еремина, известного физико-химика, крупного исследователя в области газовой электрохимии — осуществления химических реакций в электрических разрядах.

Окончив в 1930 г. химический факультет Московского университета, Е. Н. Еремин работал в ряде производственных учреждений, институтов и учебных заведений.

Первые самостоятельные научные исследования Е. Н. Еремина, относящиеся к 1931 г., когда он работал на Чернореченском химическом комбинате, были посвящены очистке сероводорода, получаемого железо-паровым способом. В это же время проводились исследования в области термодинамики газовых высокотемпературных процессов. Эти работы были посвящены вычислению по молекулярным константам свободной энергии диссоциации водорода и объяснению инверсии аммиачного равновесия при высоких температурах. Полученные результаты позволили дать законченное количественное объяснение температурному обращению диссоциации аммиака.

Дальнейшая научная деятельность Е. Н. Еремина сосредоточивается в основном на изучении двух важнейших с теоретической и прикладной стороны электрогазовых реакций — электроокисления азота и электрокрекинга метановых газов до ацетилена.

Эти исследования, начатые в 1932 г. в Институте азота и продолжающиеся в настоящее время на химическом факультете Московского университета, внесли фундаментальный вклад в развитие процессов электросинтеза окислов азота, озона, электрокрекинга метановых газов и газовой электрохимии вообще.

К периоду 1932—1937 гг. относятся работы Е. Н. Еремина (совместно с Н. И. Кобозевым и С. С. Васильевым), в результате которых была разработана кинетика реакций в электрических разрядах, и даны рациональные схемы для расчета констант реакций в электрических разрядах, равновесных выходов продуктов и их предельных энергетических выходов. Были разработаны кинетические схемы для реакций электроокисления азота, электрокрекинга метана, электросинтеза озона и ряда других процессов.

Важным достижением явилось открытое Е. Н. Ереминым на примере электрического окисления азота специфическое действие высокочастотного разряда. Было обнаружено смещение электрического равновесия в высокочастотных разрядах, изменение кинетики окисления азота и видоизменение спектральной картины этого азряда. Результаты этих исследований легли в основу кандидатской диссертации Е. Н. Еремина, защищенной им в 1937 г.

В это же время Е. Н. Еремин вместе с Н. И. Кобозевым и С. С. Васильевым была разработана теория энергетического катализа в разрядах, рассматривающая



специфическое химическое действие разряда как следствие его высокой электронной температуры, приводящей к интенсивному возбуждению колебательных уровней молекул через удары 2-го рода. Эта теория была распространена на важнейшие процессы и подтверждена спектральными исследованиями разряда и применением энергетических катализаторов.

Развитие теоретических представлений и анализ полученного экспериментального материала привело Е. Н. Еремина, Н. И. Кобозева и С. С. Васильева к введению в газовую электрохимию нового параметра «удельной энергии»  $U/v$ , представляющего отношение мощности разряда к скорости потока газа. Этот параметр аналогичен времени реакции в обычной химической кинетике и на основании данных процессов при малых мощностях способен предсказывать его ход при больших мощностях. Этот параметр может быть применим для любых газовой-электрохимических реакций.

В военные годы под руководством Е. Н. Еремина на крупной модельной установке был осуществлен электрокрекинг естественного метана до ацетилена с хорошими выходами и энергетическими показателями.

В 1949 г. Е. Н. Еремин разрабатывает новую конструкцию реактора для электрокрекинга метана до ацетилена, а в 1950 г. метод электросинтеза концентрированной азотной кислоты из воздуха и воды и улавливания разбавленных нитрозных газов (в соавторстве с Н. И. Кобозевым и др.).

В тех же годах Е. Н. Еремин экспериментально доказывает, что спектр после разрядного свечения при окислении азота в разряде обязан реакции окиси азота с О-атомами, и, таким образом, обнаруживается образование значительных концентраций атомарного кислорода в разряде.

Начиная с 1948—1949 гг. Е. Н. Еремин принимает участие в работах по электро синтезу перекиси водорода и озона, проводившихся в лаборатории катализа и газовой электрохимии химического факультета. В результате этих исследований Е. Н. Еремин является соавтором (совместно с Н. И. Кобозевым и Л. И. Некрасовым) открытия метода получения высшей перекиси водорода  $H_2O_4$  путем бомбардировки жидкого озона атомарным водородом.

После окончания Московского университета основная научная деятельность Е. Н. Еремина связана с химическим факультетом МГУ. На химическом факультете в 1937 г. им была защищена кандидатская диссертация, в 1951 г. — докторская диссертация. С 1952 г. Е. Н. Еремин — профессор кафедры физической химии, читающий общие и специальные курсы, руководящий дипломниками и аспирантскими работами.

Замечательная черта Е. Н. Еремина как ученого — не терять связи с практикой химического производства — и сейчас накладывает отпечаток на его научную деятельность.

Совершенствуя в лабораторных условиях технологию электрокрекинга углеводородных газов, Е. Н. Еремин поддерживает самую тесную связь со строителями первого в СССР завода по электрокрекингу.

Пожелаем Е. Н. Еремину, находящемуся сейчас в расцвете своих творческих сил, здоровья и новых успехов в его научно-педагогической деятельности.

Н. И. Кобозев, Л. И. Некрасов

# СОДЕРЖАНИЕ

април Попов. Реакция окисления смесей пропана с кислородом при постоянных температуре и давлении с термодинамической точки зрения . . . . .	2121
А. Сутягина и К. М. Горбунова. Электрокристаллизация никеля в условиях переменного тока. II . . . . .	2128
Е. Луцкий и Л. А. Кочергина. Внутримолекулярная водородная связь и дипольные моменты органических соединений. VI . . . . .	2135
М. Егоров, В. Ф. Киселев и К. Г. Красильников. К вопросу об адсорбционной способности единицы поверхности кварца . . . . .	2141
М. Сухотин и К. М. Карташова. Динамический метод измерения емкости электродов и его применение для определения потенциалов нулевого заряда . . . . .	2145
Я. Ефремов, М. Б. Нейман и В. Н. Панфилов. Кинетический метод применения меченых атомов для исследования сложных химических и биохимических процессов. VIII . . . . .	2151
И. Зыков. Восстановление аниона $\text{BrO}_3^-$ на ртутном капельном электроде. III. . . . .	2156
М. Глазов и В. Н. Вигдорович. К изучению кинетики реакций дассоциации и образования интерметаллических соединений в расплавах методом измерения вязкости. . . . .	2164
А. Добренъков, Р. К. Банковский и Р. Ш. Нигматуллин. Об использовании емкостных явлений у ртутного капельного электрода для исследования химической кинетики . . . . .	2169
Б. Титова. О действии добавок 8-оксихинолина на скорость растворения железа и алюминия в соляной кислоте . . . . .	2173
С. Гурман и А. М. Чайкин. К вопросу о роли поверхности в термической реакции водорода с хлором . . . . .	2178
П. Моисеев и О. С. Попова. Рентгенографическое исследование электролитических осадков марганца . . . . .	2183
В. Мнюх. Рентгеноструктурное исследование полиэфира эйкозандиола и декаметилендикарбоновой кислоты. . . . .	2190
П. Пугачевич и О. А. Тимофеевичева. Экспериментальное изучение поверхностного натяжения металлических растворов. II. . . . .	2196
Г. Каганер. Новый метод определения удельной поверхности адсорбентов и других мелкодисперсных веществ. . . . .	2202
Н. Вольнов. Спектры поглощения растворов йодного олова . . . . .	2211
М. Маркевич и Л. Ф. Филиппова. Роль гетерогенных факторов при окислении формальдегида. . . . .	2214
П. Шишочкин, В. А. Агеева и Н. А. Вихорева. Длительная твердость как метод физико-химического анализа . . . . .	2222
А. Цхай. Теплота адсорбции водорода на некоторых типах ионных решеток. . . . .	2230
А. А. Аршинов и А. К. Мусин. Частицы как стабилизаторы концентрации электронов. . . . .	2241
Ф. Воронин и А. М. Евсеев. Термодинамические свойства жидких сплавов свинца и олова. . . . .	2245
С. Фоменко, Т. М. Абрамова и И. Л. Ганкина. Изучение коррозии металлов при помощи тяжелого изотопа кислорода. II. . . . .	2249
В. Пикунев. О кристаллизации твердого раствора . . . . .	2253
А. Полторацк, Л. Я. Лейтис и В. В. Воеводский. О роли поверхности в реакции термического разложения пропана. . . . .	2259
И. Левин и С. С. Савельев. О механизме образования полихроматных растворов при электролизе бихромата натрия в диафрагменной ванне. . . . .	2264
А. Кузьмин. Построение диаграмм состав — свойство многокомпонентных равновесных систем. . . . .	2271
В. Дерягин, С. С. Духин и В. А. Лисиченко. Кинетика прилипания минеральных частиц к пузырькам при флотации. I. . . . .	2280
В. Александров и Н. А. Измайлов. Термодинамические свойства электролитов в неводных растворах. VI. . . . .	2288
Н. Андреев. Исследование оптических, адгезионных и механических свойств тонких пленок двуокиси титана. . . . .	2295
Н. Толмачев и Г. Г. Ломакина. Спектрофотометрическое исследование реакции взаимодействия 1-8-диокси-2-(2'-оксизобензол)-3,6-нафталени дисульфоната натрия с ионами кальция, стронция и бария . . . . .	2302
Я. Пшежецкий, Н. М. Морозов, С. А. Каменецкая, В. Н. Сирятская и Е. И. Грибова. Кинетика термического разложения озона. . . . .	2306
А. Аксельруд. Теория диффузионного извлечения веществ из пористых тел. I. . . . .	2316
Н. А. Славинская и С. А. Каменецкая. Влияние озона на критические условия воспламенения этилового спирта с кислородом . . . . .	2325
И. Р. Кричевский и Ю. В. Цеханская. Растворение твердых кислот в двойных жидких растворах в критической области . . . . .	2331

М. Ф. Лантратов и А. Г. Морачевский. О применении стекол в качестве электролита при исследовании термодинамических свойств сплавов натрия. . . . .	233
С. М. Когарко, М. И. Девিশев и В. Я. Басевич. Исследование воспламенения газов в продуктах реакции пламени. . . . .	234
И. В. Березин и Б. И. Макалец. К вопросу о механизме разрыва С—С связи при жидкофазном окислении <i>n</i> -гептана молекулярным кислородом. . . . .	235
Ю. В. Филиппов и В. П. Вендillo. Электрическая теория озонаторов. VI. . . . .	235
Н. М. Селиванова, Г. А. Зубова и Е. И. Финкельштейн. Термодинамические свойства селената серебра. . . . .	236

#### Методы и техника физико-химического исследования

М. М. Ветюков, Р. Г. Чувильев и С. Н. Школьников. Автоматические весы для определения упругости пара динамическим методом. . . . .	237
Е. М. Петров и В. Ф. Кохова. Малогабаритный автоклав с термостатом и перемешивающим устройством. . . . .	237
С. И. Скляренко, Ю. У. Самсон и В. Е. Бару. Прибор для измерения электропроводности неводных растворов. . . . .	237

#### Дискуссия

К дискуссии по вопросу о нестационарной концентрационной поляризации. . . . .	237
---	-----

#### Из истории физической химии

А. Я. Кипнис. О некоторых работах русских ученых в области термодинамики фазовых равновесий. . . . .	238
--	-----

#### Хроника

Н. И. Кобозев и Л. И. Некрасов. Евгений Николаевич Еремин (К 50-летию со дня рождения). . . . .	238
---	-----

#### CONTENTS

Kyrill Porov. Thermodynamical Approach to the Oxidation of Propane-Oxygen Mixtures at Constant Temperature and Pressure. . . . .	241
A. A. Sutyagina and K. M. Gorbunova. Electrocrystallisation of Nickel under Alternating Current Conditions. . . . .	241
A. E. Lutskiy and L. A. Kochergina. Intramolecular Hydrogen Bond and the Dipole Moments of Organic Compounds. . . . .	241
M. M. Egorov, V. F. Kiselev and K. G. Krasilnikov. Adsorption Capacity of Unit Surface of Quartz. . . . .	241
A. M. Sukhotin and K. M. Kartashova. Dynamic Method of Capacitance Measurement of Electrodes and Its Application in Determinations of the Zero Charge Potential. . . . .	241
V. Ya. Efremov, M. B. Neiman and V. N. Panfilov. Kinetic Method of Tracer Atom in Studies of Involved Chemical and Biochemical Processes. VIII. . . . .	241
V. I. Zikov. Reduction of the $\text{BrO}_3^-$ Anion on the Dropping Mercury Electrode. III. . . . .	241
V. M. Glazov and V. N. Vigdorovich. Contribution to the Study of the Kinetics of Dissociation and Formation of Intermetallic Compounds in Melts by the Viscosity Method. . . . .	241
G. A. Dobrenkov, R. K. Bankovskiy and R. Sh. Nigmatullin. On the Use of Capacitance Phenomena at the Dropping Mercury Electrode to Study Chemical Kinetics. . . . .	241
I. E. Titova. Effect of 8-Oxyquinoline on the Rate of Solution of Iron and Aluminum in Hydrochloric Acid. . . . .	241
V. S. Gurman and A. M. Chaikin. On the Role of the Surface in the Thermal Reaction between Hydrogen and Chlorine. . . . .	241
V. P. Moiseev and O. S. Popova. X-Ray Study of Electrolytic Manganese Deposits. . . . .	241
Yu. V. Mnyukh. X-Ray Analysis of the Polyester of Eicosandiol and Decamethylenedicarboxylic Acid. . . . .	241



P. Pugachevich and O. A. Timofeevicheva. Experimental Study of the Surface Tension of Metallic Solutions . . . . .	2196
G. Kaganer. New Method for Determining the Specific Surface Area of Adsorbents and Other Finely Disperse Substances . . . . .	2202
N. Vol'nov. Absorption Spectra of Tin Iodide Solutions . . . . .	2211
M. Markevich and L. F. Filippova. The Part Played by Heterogeneity Factors in the Oxidation of Formaldehyde . . . . .	2214
P. Shishokin, V. A. Ageeva and N. A. Vikhoreva. Time Hardness as a Method of Physico-Chemical Analysis . . . . .	2222
A. Tskhai. The Heat of Adsorption of Hydrogen on Some Types of Ionic Lattices . . . . .	2230
A. Arshinov and L. K. Musin. Particles as Stabilizers of Electron Concentration . . . . .	2241
F. Voronin and A. M. Evseev. Thermodynamic Properties of Liquid Lead and Tin Alloys . . . . .	2245
S. Fomenko, T. M. Abramova and I. L. Gankina. Studies on Metallic Corrosion with the Aid of the Heavy Oxygen Isotope. II . . . . .	2249
V. Pikunov. On Crystallization of a Solid Solution . . . . .	2253
A. Poltorak, L. Ya. Leitis, V. V. Voevodskii. On the Part Played by the Surface in the Thermal Decomposition of Propane . . . . .	2259
I. Levin and S. S. Savel'ev. On the Mechanism of Formation of Polychromate Solutions during Electrolysis of Sodium Chromate in a Diaphragmed Bath . . . . .	2264
A. Kuz'min. Plotting of Composition-Property Diagrams of Multicomponent Equilibrium Systems . . . . .	2271
V. Deryaguin, S. S. Dukhin, V. A. Lisichenko. Kinetics of Attachment of Mineral Particles to Bubbles during Flotation . . . . .	2280
V. Aleksandrov and N. A. Izmailov. Thermodynamic Properties of Electrolytes in Non-Aqueous Solutions. VI. . . . .	2288
N. Andreev. Investigation into the Optical, Adhesive and Mechanical Properties of Thin Films of Titanium Dioxide . . . . .	2295
N. Tolmachev and G. G. Lomakina. Spectrophotometric Investigation of the Interaction of Sodium 1,8-Dioxy-2-(2'-oxyazobenzene)-3,6-naphthalene Disulphonate and Calcium, Strontium and Barium Ions . . . . .	2302
Ya. Pshezhetskii, N. M. Morozov, S. A. Kamenetskaya, V. N. Siryatskaya and E. I. Gribova. Kinetics of Thermal Decomposition of Ozone . . . . .	2306
A. Akseirod. Theory of the Diffusional Extraction of Substances from Porous Bodies. I. . . . .	2316
A. Slavinskaya and S. A. Kamenetskaya. The Effect of Ozone on the Critical Conditions of Combustion of Ethyl Alcohol and Oxygen . . . . .	2325
R. Krichevskii and Yu. V. Tsekanskaya. Dissolution of Solid Acids in Binary Liquid Solutions in the Critical Region . . . . .	2331
F. Lantratov and A. G. Morachevskii. On the Use of Glass as Electrolyte in Studies of the Thermodynamic Properties of Sodium Alloys . . . . .	2339
M. Kogarko, M. I. Devishev, V. Ya. Basevich. A Study of the Ignition of Gases in the Reaction Products of a Flame . . . . .	2345
V. Berezin and B. I. Makalets. On the Mechanism of Rupture of the C—C Bond in the Liquid Phase Oxidation of n-Heptane by Molecular Oxygen . . . . .	2351
V. Filippova and V. P. Vendillo. Electrical Theory of Ozonizers. VI. . . . .	2358
M. Selivanova, G. A. Zubova and E. I. Finkel'shtein. Thermodynamic Properties of Silver Selenate . . . . .	2365
Experimental Methods and Techniques	
M. Votyukov, R. G. Chuvilaev and S. N. Shkol'nikov. Automatic Balance for Vapor Pressure Determination by the Dynamic Method . . . . .	2370
M. Pertov and V. F. Kokhova. Miniature Autocalve for Investigation of Phase Equilibria at Temperatures above 100° . . . . .	2372
I. Sklyarenko, Yu. U. Samson, V. S. Bary. Apparatus for Measuring the Electroconductivity of Non-Aqueous Solutions . . . . .	2375
Discussion	
Concerning the Discussion of the Question of Non-Steady State Concentration Polarization . . . . .	2379
From the History of Physical Chemistry	
Ya. Kipnis. Some Works of Russian Scientists on the Thermodynamics of Phase Equilibria . . . . .	2383
Miscellany	
I. Kobozev and L. I. Nekrasov. E. N. Eremin (On His Fiftieth Birthday Anniversary). . . . .	2387



Комиссия по химической термодинамике при Отделении химических наук АН СССР отмечает, что в публикуемых различными авторами результатах измерения тепловых величин (имеются в виду как оригинальные экспериментальные работы, так различного рода таблицы, эмпирические соотношения и другие материалы, использующие литературные данные) нет согласованности в отношении единиц измерения.

В подавляющем большинстве случаев авторы выражают результаты своих работ в калориях, однако далеко не всегда указывают при этом, какая калория является единицей измерения и каково ее соотношение с абсолютным джоулем.

Причиной такой несогласованности является, по-видимому, то, что параллельно с приказом № 56 Комитета по делам мер и измерительных приборов от 13.IV.1948 устанавливающим, что единицей измерения любого вида энергии должен являться абсолютный джоуль, продолжал еще свое действие ОСТ/ВКС 6259, стандартизирующий двадцатиградусную калорию как единицу измерения тепловых величин в СССР.

Последний ОСТ был отменен только в 1957 г. в связи с введением ГОСТ 8550-

ГОСТ 8550-57 устанавливает, что основной единицей измерения тепловых величин должен являться абсолютный джоуль и оставляет калорию лишь как внесистемную единицу. Определением калории является только ее соотношение с абсолютным джоулем.

Указанная выше несогласованность в единицах измерения вносит большие неудобства при сравнении данных различных авторов и является причиной многих недоразумений.

Для устранения этой несогласованности и унификации единиц Комиссия рекомендует всем авторам в публикациях руководствоваться следующими положениями:

1. Единицей измерения во всех публикуемых результатах должен являться абсолютный джоуль. Допускается выражение результатов работ в калориях, но с постоянным указанием в каждой публикации, какое соотношение калории и абс. джоуля принято в данной работе.

2. Что касается соотношения калории и абс. джоуля, Комиссия считает, что в зависимости от характера и цели измерений в качестве соотношения калории и джоуля может быть использована одна из двух величин:

а)  $1 \text{ кал} = 4,1868 \text{ абс. дж.}$ , принятое ГОСТ 8550-57 и совпадающее с принятой международной калорией для таблиц свойств пара 5-й международной конференции по свойствам воды и пара, Лондон, 1956 г.;

б)  $1 \text{ кал} = 4,1840 \text{ абс. дж.}$ , являющееся пересчетом на абс. джоули принятой в 1934 г. Постоянной термохимической комиссией соотношения  $1 \text{ кал} = 4,1833 \text{ инч. дж.}$  Соотношение  $1 \text{ кал} = 4,1840 \text{ абс. дж.}$  имеет в настоящее время очень широкое распространение во многих странах мира для выражения результатов работ по термодинамике и химической термодинамике.

Комиссия должна отметить, что поскольку основная единица измерения — абсолютный джоуль — точно установлена, выбор того или иного коэффициента для соотношения внесистемной единицы (калории) и основной единицы (абсолютного джоуля) уже не имеет принципиального значения и должен обосновываться лишь соображениями практического удобства. С этой точки зрения, второе соотношение ( $1 \text{ кал} = 4,1840 \text{ абс. дж.}$ ) предпочтительнее для выражения результатов работ по химической термодинамике по следующим соображениям.

а) В очень большом числе опубликованных работ, монографий, справочников и других материалов это соотношение уже использовано, причем иногда без четких указаний на это.

б) При использовании соотношения  $4,1840$  полученные данные сопоставимы с данными подавляющего большинства зарубежных работ без пересчета.

Председатель Комиссии, чл.-корр, АН СССР Я. И. Герасимов

\* Принято на заседании Комиссии 20. IV.1959 г.

Технический редактор *Н. А. Колгурина*

T-10046	Подписано к печати 20/X 1959 г.	Печ. л. 23,29+3 вкл.	Уч.-изд. л. 26,2
Формат бумаги	70×108 <sup>1/16</sup>	Бум. л. 8 <sup>1/2</sup>	Зак. 2191
			Тираж 3569 экз.

2-я типография Издательства Академии наук СССР. Москва, Шубинский пер., 10



# **ОТКРЫТА ПОДПИСКА НА 1960 ГОД НА ЖУРНАЛЫ АКАДЕМИИ НАУК СССР**

Названия журналов	Номеров в год	Подписная цена	
		годовая	полугодовая
<b>ОБЩЕАКАДЕМИЧЕСКИЕ ЖУРНАЛЫ</b>			
Вестник Академии наук СССР	12	96	48
Доклады Академии наук СССР (без папок)	36	518—40	259—20
Доклады Академии наук СССР (с 6-ю колленкорными папками с тиснением)	36	542—40	272—20
Известия Карельского и Кольского филиалов АН СССР	4	28	14
Известия Сибирского отделения АН СССР	12	84	42
Природа	12	84	42
<b>ФИЗИКО-МАТЕМАТИЧЕСКИЕ НАУКИ</b>			
Акустический журнал	4	48	24
Астрономический журнал	6	90	45—50
Журнал технической физики	12	126	63
Журнал экспериментальной и теоретической физики	12	288	144
Известия Академии наук СССР, серия геофизическая	12	180	90
Известия Академии наук СССР, серия математическая	6	90	45
Известия Академии наук СССР, серия физическая	12	144	72
Кристаллография	6	90	45
Математический сборник	12	144	72
Оптика и спектроскопия	12	162	81
Приборы и техника эксперимента	6	90	45
Теория вероятностей и ее применения	4	45	22—50
Физика твердого тела	12	150	75
<b>ХИМИЧЕСКИЕ НАУКИ</b>			
Высокомолекулярные соединения	12	150	75
Геохимия	8	72	36
Журнал аналитической химии	6	72	36
Журнал научной и прикладной фотографии и кинематографии	6	45	22—50
Журнал неорганической химии	12	270	135
Журнал общей химии	12	330	165
Журнал прикладной химии	12	225	112—50
Журнал физической химии	12	270	135
Известия Академии наук СССР, Отделение химических наук	12	180	90
Коллоидный журнал	6	72	36
Радиохимия	6	72	36
Успехи химии	12	96	48
<b>ТЕХНИЧЕСКИЕ НАУКИ</b>			
Автоматика и телемеханика	12	135	67—50
Известия Академии наук СССР, Отделение технических наук. Металлургия и топливо	6	75	37—50
Известия Академии наук СССР, Отделение технических наук. Механика и машиностроение	6	75	37—50
Известия Академии наук СССР, Отделение технических наук. Энергетика и автоматика	6	75	37—50
Прикладная математика и механика	6	117	58—50
Радиотехника и электроника	12	165	82—50

ПОДПИСКА ПРИНИМАЕТСЯ в пунктах подписки Союзпечати, почтамтах, конторах и отделениях связи, общественными уполномоченными на предприятиях и в учреждениях, в научно-исследовательских институтах и учебных заведениях.

Подписка принимается также магазинами «Академкнига» и конторой «Академкнига» по адресу:

**Москва, К-12, Б. Черкасский пер., 2/10.**

**«АКАДЕМКНИГА»**